

COMPARAÇÃO DE MÉTODOS DE CÁLCULO
TERMO-HIDRÁULICO PARA TROCADORES
DE CALOR CASCO E TUBO, SEM MUDAN-
ÇA DE FASE

DSC 2

UNIVERSIDADE ESTADUAL DE CAMPINAS
FACULDADE DE ENGENHARIA DE CAMPINAS
DEPARTAMENTO DE ENGENHARIA MECÂNICA

Celina Maria Cunha Ribeiro

Tese apresentada à Faculdade de Engenharia de Campinas da UNICAMP
como parte dos requisitos necessários à obtenção do Título de
MESTRE EM ENGENHARIA MECÂNICA.

Prof. Dr. Leonardo Goldstein Junior
Orientador

Este exemplar corresponde à redação
final da tese defendida por Celina Maria
Cunha Ribeiro e aprovada pela Comissão
Julgadora em 28.11.1984

Leonardo Goldstein Jr

- CAMPINAS -
1984

UNICAMP
BIBLIOTECA CENTRAL

A meus pais Severino e Maria das Neves.

A meus irmãos Gildo Hermene, Hélio Roberto,
Lúcio Walter, Célia Rejane, Denise Maria
e Helena Doris.

A Márcio e seus pais Manoel e Mariquinha.

AGRADECIMENTOS

Ao Professor Dr. LEONARDO GOLDSTEIN JUNIOR, pela pronta e segura orientação dada no desenvolvimento deste trabalho.

A UFPB e UNICAMP pela oportunidade oferecida para realização deste trabalho.

Aos Professores Cleântho da Câmara Torres, Paulo Martins de Abreu e Severino Rodrigues de Araújo por todo apoio recebido.

Aos Professores do DEM/FEC/UNICAMP pela acolhida e ajuda recebida.

Aos amigos Carlos Antonio Cabral dos Santos, Francisco Belo, Sidnei de Souza, Sérgio Luiz Zarpellon, Washington Pichinin e Carlos Umberto Lima pela ajuda imprescindível nos trabalhos de computação.

Aos amigos Dalva Maria da Nóbrega, Maria Leonor de Souza, Maria Lúcia Nunes, Eurípedes Nóbrega, Ademar Cândido Simões Lins, Antonio Souto Coutinho, Harley Araken Rocha, Antonio Raimundo da Silva Costa, Kil Jim Park, José Suassuna Filho e a todos que moraram na rua Martagão Gesteira pelo companheirismo e apoio durante o desenvolvimento deste trabalho.

A Edina e Taka (datilógrafas) e à Sidnei Ferraz dos Santos, Wilton Furquim e Edinaldo (desenhistas) pela excelente qualidade da apresentação deste trabalho.

A todos que direta ou indiretamente contribuíram para a realização deste trabalho.

R E S U M O

Neste trabalho é feita uma comparação entre os métodos de KERN, TINKER e BELL, para o cálculo termo-hidráulico de trocadores de calor casco e tubo, sem mudança de fase, sendo dada ênfase à discussão sobre a perda de carga e o coeficiente de película para o escoamento do lado do casco. Os dados experimentais aplicados aos cálculos são de 12 trocadores testados e foram obtidos na literatura consultada, citados por BELL e TINKER. Os cálculos da comparação foram realizados em computador e os resultados listados em tabelas. Para facilitar a comparação, as razões entre os valores dos coeficientes de película calculado e experimental e as razões entre as perdas de carga calculada e experimental, foram colocadas na forma de gráficos, em função do número de REYNOLDS para cada método.

Os resultados obtidos com os métodos de TINKER e BELL foram comparados com valores provenientes dos testes efetuados pelo Heat Transfer Research, Inc., HTRI, uma instituição de pesquisa privada que não detalha seus trabalhos na literatura aberta. Ressalta-se, também, o fato de não se conhecer na literatura aberta nenhuma análise comparativa do método de KERN com outros métodos de cálculo e com valores experimentais.

É feita ainda uma proposição de cálculo para o dimensionamento da área de troca de calor para o tipo de trocador acima citado, sendo apresentado um programa de computador, para a realização do cálculo. É analisado um exemplo de aplicação e seus resultados são comentados.

O trabalho é apresentado de maneira didática, trazendo as sequências de cálculo da troca de calor e perda de carga pelos métodos de KERN, TINKER e BELL bem como do dimensionamento da área de troca de calor para trocadores de calor casco e tubo, sem mudança de fase.

A B S T R A C T

A comparison of KERN, TINKER and BELL's methods is made relative to the thermal-hydraulic calculation of shell and tube heat exchangers without phase change, emphasis being given to the discussion about the pressure loss and the heat transfer coefficient for the shell side flow. The experimental results used are from 12 tested exchangers and were obtained in the literature, from the work by BELL and TINKER. The calculations were done by computer and the results were listed in tables. In order to facilitate the comparison, the ratio of the calculated and the experimental values of the heat transfer coefficients and of the calculated and experimental values of the pressure losses were plotted in figures, as a function of the REYNOLDS number, for each method.

The results obtained with TINKER and BELL's methods were compared with tests done by the Heat Transfer Research, Inc., HTRI, a private research institution, that usually doesn't publish its results in the open literature. It is worthwhile mentioning that it was not found in the literature a comparison of KERN's method with other design methods or experimental results.

It was also prepared a proposition for the design of the heat exchange surface for the kind of exchanger above mentioned. A computer program is presented and one example is analised, the results being commented.

This work is purposefully presented in a didatic way, showing all the calculation steps for the heat transfer and pressure loss by KERN, TINKER and BELL's methods, also detailing the design steps for the heat exchange surface area required for shell and tube heat exchangers, without phase change.

Í N D I C E

Pág.

CAPÍTULO 1

INTRODUÇÃO	1
REFERÉNCIAS BIBLIOGRÁFICAS	8

CAPÍTULO 2

MÉTODOS DE CÁLCULO DE TRANSFERÊNCIA DE CALOR E PERDA DE CARGA PARA O LADO DO CASCO	10
2.1. MÉTODO DE KERN	10
2.1.1. Temperatura calórica dos fluidos	10
2.1.2. Chicanas	12
2.1.3. Arranjo dos tubos	12
2.1.4. Fluxo de massa para o escoamento do lado do casco	12
2.1.5. Diâmetro equivalente do lado do casco	13
2.1.6. Fator de troca de calor para o lado do casco	14
2.1.7. Temperatura da parede do tubo	17
2.1.8. Correção do efeito da variação da viscosidade	18
2.1.9. Perda de carga para o escoamento do lado do casco	19
2.2. MÉTODO DE TINKER	21
2.2.1. Distribuição do escoamento para efeito do cálculo da troca de calor no lado do casco	24
2.2.2. Espaçamentos e cortes de chicanas	26
2.2.3. Fluxo através da janela da chicana	28
2.2.4. Coeficiente de película do lado do casco	28
2.2.5. Distribuição do escoamento para efeito de cálculo da perda de carga no lado do casco	33
2.2.6. Perda de carga para o escoamento do lado do casco	35
2.3. MÉTODO DE BELL	40
2.3.1. Fluxo através de bancos de tubos	40
2.3.2. Trocadores cilíndricos com chicanas, considerando desvios e vazamentos desprezíveis	48

2.3.3. Trocadores com vazamentos entre a chicana e o casco e entre os tubos e os furos na chicana	55
REFERÊNCIAS BIBLIOGRÁFICAS	63

CAPÍTULO 3

COMPARAÇÃO DOS MÉTODOS DE CÁLCULO	65
3.1. DADOS EXPERIMENTAIS	65
3.1.1. Dados de BELL	65
3.1.2. Dados de TINKER	68
3.2. APLICAÇÃO DOS MÉTODOS DE KERN, TINKER E BELL	74
3.3. RESULTADOS PROVENIENTES DOS CÁLCULOS	75
3.4. COMPARAÇÃO E DISCUSSÃO DOS RESULTADOS	98
3.4.1. Análise geral dos três métodos	98
3.4.2. Análise segundo os regimes de escoamento ..	99
3.4.3. Análise dos resultados quanto aos trocadores que forneceram os dados experimentais .	100
3.4.4. Comparação dos resultados obtidos com a literatura disponível	103
REFERÊNCIAS BIBLIOGRÁFICAS	106

CAPÍTULO 4

DIMENSIONAMENTO TERMO-HIDRÁULICO DE TROCADORES DE CALOR CASCO E TUBO, SEM MUDANÇA DE FASE	108
4.1. CONDIÇÕES DE PROCESSO	108
4.1.1. Temperaturas de operação	108
4.1.2. Propriedades físicas dos fluidos	108
4.1.3. Perdas de carga admissíveis e velocidades de circulação	109
4.1.4. Fatores de depósito para o fluido dos tubos e para o fluido do casco	109
4.1.5. Localização dos fluidos no trocador	113
4.1.6. Folhas de dados	113

4.2. DEFINIÇÕES PRELIMINARES DE PROJETO E CARACTERÍSTICAS GEOMÉTRICAS DO TROCADOR	113
4.2.1. Tipos de trocadores de calor casco e tubo	113
4.2.2. Bocais e placas de impacto	120
4.2.3. Tubos	122
4.2.4. Temperaturas de projeto	128
4.2.5. Pressões de projeto	129
4.2.6. Pressões de projeto para o bocal do casco e dos tubos	128
4.2.7. Calor trocado	129
4.2.8. Diferença média de temperaturas	129
4.2.9. Trocadores em série ou em paralelo	133
4.2.10. Área de troca de calor	134
4.2.11. Número total de tubos no trocador	136
4.2.12. Diâmetro interno do casco	138
4.2.13. Chicanas	139
4.2.14. Tirantes de ligação e espaçadores	146
4.2.15. Tiras selantes (sealing strips)	146
4.2.16. Número de tubos por chicana	147
4.2.17. Considerações gerais	147
4.3. TROCA DE CALOR E PERDA DE CARGA	148
4.3.1. Troca de calor do lado dos tubos	148
4.3.2. Perda de carga do lado dos tubos	152
4.3.3. Troca de calor e perda de carga do lado do casco	157
4.4. ROTEIRO DE CÁLCULO	160
4.5. APLICAÇÃO DO COMPUTADOR PARA A REALIZAÇÃO DA SÉQUENCIA DE CÁLCULO APRESENTADA NOS ITENS 4.1 a 4.4	162
4.6. EXEMPLO DE APLICAÇÃO	165
REFERÊNCIAS BIBLIOGRÁFICAS	215
CAPÍTULO 5	
CONCLUSÕES	218

A N E X O S

Pág.

ANEXO A

SEQUÊNCIA DE CÁLCULO DO COEFICIENTE DE PELÍCULA E PERDA DE CARGA PARA O ESCOAMENTO NO CASCO	A.1
A.1 - SEQUÊNCIA DE CÁLCULO PARA A DETERMINAÇÃO DO COEFICIENTE DE PELÍCULA E DA PERDA DE CARGA PARA O ESCOAMENTO DO LADO DOS TUBOS E DO LADO DO CASCO ATRAVÉS DO MÉTODO DE KERN	A.1
A.2 - SEQUÊNCIA DE CÁLCULO PARA A DETERMINAÇÃO DO COEFICIENTE DE PELÍCULA E DA PERDA DE CARGA PARA O ESCOAMENTO DO LADO DO CASCO ATRAVÉS DO MÉTODO DE TINKER	A.5
A.2.1 - Sequência de cálculo	A.5
A.2.2 - Dedução das expressões finais para os parâmetros de troca de calor N_h e de perda de carga N_p , definidas no método de TINKER	A.7
A.3 - SEQUÊNCIA DE CÁLCULO PARA A DETERMINAÇÃO DO COEFICIENTE DE PELÍCULA E DA PERDA DE CARGA PARA O LADO DO CASCO PELO MÉTODO DE BELL	A.16

ANEXO B

DIAGRAMA DE BLOCOS E LISTAGENS DOS PROGRAMAS DOS MÉTODOS DE CÁLCULO DA TROCA TÉRMICA E PERDA DE CARGA NO CASCO	B.1
B.1 - DIAGRAMA DE BLOCOS	B.1
B.2 - LISTAGENS	B.1

ANEXO C

DIAGRAMA DE BLOCOS E LISTAGENS DOS PROGRAMAS PARA O DIMENSIONAMENTO TERMO-HIDRÁULICO	C.1
C.1 - DIAGRAMA DE BLOCOS	C.1
C.2 - LISTAGENS	C.1

Pág.

ANEXO D

MÉTODOS DE CÁLCULO NUMÉRICO PARA O AJUSTE DE CURVAS ...	D.1
D.1 - MÉTODO DOS MÍNIMOS QUADRADOS	D.1
D.2 - MÉTODO DAS DIFERENÇAS DIVIDIDAS	D.4

LISTA DAS FIGURAS

	Pág.
CAPÍTULO 2	
Figura 2.1 - Fator de troca de calor para o lado do casco, para feixes com chicanas segmentares com cortes de 25%^(2.1)	16
Figura 2.2 - Corte transversal de um tubo para a dedução da temperatura da parede do tubo, considerando o tubo limpo^(2.1)	17
Figura 2.3 - Coeficiente de atrito do lado do casco para feixes com chicanas segmentares com cortes de 25%^(2.1)	21
Figura 2.4 - Diagrama esquemático das correntes do lado do casco no trocador casco e tubo com chicanas^(2.4)	22
Figura 2.5 - Fator de troca de calor para o lado do casco. Arranjo triangular de tubos^(2.5)	30
Figura 2.6 - Fator de troca de calor para o lado do casco. Arranjo quadrado de tubos^(2.5)	31
Figura 2.7 - Fator de troca de calor para o lado do casco. Arranjo quadrado rotacionado de tubos^(2.5) ..	31
Figura 2.8 - Coeficiente de atrito no escoamento cruzado para o cálculo da perda de carga. Arranjo triangular de tubos^(2.5)	38
Figura 2.9 - Coeficiente de atrito no escoamento cruzado para o cálculo da perda de carga. Arranjo quadrado de tubos^(2.5)	38
Figura 2.10- Coeficiente de atrito no escoamento cruzado para o cálculo da perda de carga. Arranjo quadrado rotacionado de tubos^(2.5)	39
Figura 2.11- Coeficiente de atrito e fator de troca de calor para o banco de tubos ideal^(2.7)	45

Figura 2.12 - Fator de troca de calor para o banco de tubos ideal ^(2.8)	45
Figura 2.13 - Coeficiente de atrito para o banco de tubos ideal, para os arranjos de tubos triangular e quadrado rotacionado ^(2.8)	46
Figura 2.14 - Coeficiente de atrito para o banco de tubos ideal, para o arranjo quadrado de tubos ^(2.8)	46
Figura 2.15 - Efeito dos vazamentos da chicana sobre a perda de carga para o lado do casco ^(2.7)	58
Figura 2.16 - Efeito dos vazamentos da chicana sobre o coeficiente de troca de calor para o lado do casco ^(2.7)	59

CAPÍTULO 3

Figura 3.1 - Comparação dos coeficientes de película calculado e experimental - Método de KERN	91
Figura 3.2 - Comparação dos coeficientes de película calculado e experimental - Método de TINKER	92
Figura 3.3 - Comparação dos coeficientes de película calculado e experimental - Método de BELL	93
Figura 3.4 - Comparação das perdas de carga calculada e experimental - Método de KERN	94
Figura 3.5 - Comparação das perdas de carga calculada e experimental - Método de TINKER	95
Figura 3.6 - Comparação das perdas de carga calculada e experimental - Método de BELL	96
Figura 3.7 - Estimativa da troca de calor pelos métodos de BELL e TINKER, segundo PALEN e TABOREK ^(3.12) ..	97

Figura 3.8 - Estimativa da perda de carga pelos métodos de BELL e TINKER, segundo PALEN e TABOREK^(3.12) .

97

CAPÍTULO 4

Figura 4.1 - Folha de dados com as especificações necessárias ao projeto de trocadores de calor casco e tubo, padrão da TEMA ^(4.2)	114
Figura 4.2 - Tipos padrão de cabeçote estacionário, casco e cabeçote traseiro, segundo a TEMA ^(4.2)	115
Figura 4.3 - Disposição dos tubos ^(4.2)	123
Figura 4.4 - Pressão para os bocais do trocador ^(4.7)	129
Figura 4.5 - Distribuição de temperatura num trocador de calor com correntes opostas, de passo único..	130
Figura 4.6 - Chicanas planas ^(4.3)	142
Figura 4.7 - Fator λ_{31f} para o espaçamento mínimo entre o espelho e a chicana de entrada ^(4.1)	144
Figura 4.8 - Fator λ_{32f} para o espaçamento mínimo entre e espelho e a chicana de saída ^(4.1)	144
Figura 4.9 - Coeficientes de perda de carga num feixe de tubos com contração abrupta na entrada e expansão abrupta na saída ^(4.19)	156
Figura 4.10 - Perdas no bocal do casco ^(4.1)	159
Figura 4.11 - Folha de dados para o exemplo de aplicação ^(4.1)	166
Figura 4.12 - Folha de dados com o trocador dimensionado ..	214

ANEXOS

ANEXO A

Figura A.1.1 - Fator de troca de calor para o fluido escoando no interior dos tubos ^(2.1)	A.2
Figura A.1.2 - Coeficiente de atrito para o fluido escoando dentro dos tubos ^(2.1)	A.4
Figura A.1.3 - Desenho de um trocador com suas dimensões representadas	A.21

LISTA DAS TABELAS

Pág.

CAPÍTULO 2

Tabela 2.1 - Variação de h_m/h_∞ com N_r , em escoamento turbulento para arranjos de tubos não alinhados ^(2.7)	44
Tabela 2.2 - Valores da constante α_1 para os regimes de fluxo laminar e turbulento ^(2.7)	48

CAPÍTULO 3

Tabela 3.1 - Características geométricas dos trocadores utilizados para a comparação entre os métodos de BELL, TINKER e KERN ^(3.1, 3.2)	66
Tabela 3.2 - Propriedades físicas do óleo GÜLF 896 ^(3.1) ...	62
Tabela 3.3 - Dados experimentais apresentados por BELL e TINKER ^(3.1, 3.2)	69
Tabela 3.4 - Propriedades físicas do óleo NAVAC 2190 ^(3.2) ..	73
Tabela 3.5 - Resultados do método de KERN	78
Tabela 3.6 - Resultados do método de TINKER	82
Tabela 3.7 - Resultados do método de BELL	86

CAPÍTULO 4

Tabela 4.1 - Fatores de depósito ^(4.2)	110
Tabela 4.2 - Recomendações para a escolha do tipo de feixe de tubos para trocadores de calor casco e tubo ^(4.1)	119
Tabela 4.3 - Recomendações para os diâmetros das conexões ao casco ^(4.5)	121

Tabela 4.4 - Características dos tubos ^(4.2)	124
Tabela 4.5 - Recomendações para a escolha da disposição dos tubos no trocador ^(4.1)	125
Tabela 4.6 - Distância entre centros de tubos adjacentes (4.5)	126
Tabela 4.7 - Tolerância para a corrosão nos espelhos de tubos ^(4.2)	127
Tabela 4.8 - Coeficiente global de troca de calor ^(4.11) ..	137
Tabela 4.9 - Valores aproximados de d_3 e d_1 ^(4.13)	140
Tabela 4.10 - Contagem dos tubos ^(4.14)	140
Tabela 4.11- Cortes de chicanas ^(4.15)	145
Tabela 4.12- Espaços entre d_1 e d_{chi} ^(4.2)	145
Tabela 4.13 - Valores de expoente i da correção da viscosi- dade para o fluido dos tubos ^(4.12)	153
Tabela 4.14- Fatores de correção para os efeitos do depósi- to na perda de carga nos tubos ^(4.1)	157
Tabela 4.15- Parâmetros listados pelo computador, para aná- lise das tentativas do dimensionamento da área de troca de calor.	209
Tabela 4.16- Resultados dos parâmetros do trocador, dimen- sionados no computador	213

ANEXOS

ANEXO A

Tabela A.1 - Quantidades relativas das correntes de fluido no trocador para os arranjos de tubos triangular, quadrado e quatrado rotacionado^(2.5) ... A.8

Tabela A.2 - Suposições quanto às dimensões e fatores de resistência para trocadores comerciais, com os correspondentes erros de aproximação^(2.5). A.9

NOMENCLATURA

SÍMBOLO FORTRAN	SÍMBOLO ALGÉBRICO	SIGNIFICADO
A	A	Área total de troca de calor (pé^2)
-	A_a	Área de troca de calor das aletas (pé^2)
-	A_{aet}	Área da seção de escoamento antes da entrada do fluido nos tubos.
ACCARB	-	Aço carbono
ACOPUR	-	Aço puro
-	A_{dst}	Área da seção de escoamento depois da saída do fluido dos tubos
AEX	A_{ex}	Área efetiva do fluxo cruzado (pol^2)
AFTUBO	a_t	Área de seção de escoamento nos tubos (pé^2)
-	A_i	Área total interna de troca de calor (pé^2)
AJ	A_j	Área de uma janela de chicana (pé^2)
ALFA	α	Porção da seção do casco não ocupada por tubos
ALFA1	α_1	Constante empírica dada na Tabela 2.2, para a troca de calor (BELL)
ALFA2	α_2	Constante empírica dada na Tabela 2.2, para a perda de carga (BELL)
AQUECI	-	Aquecimento do fluido do casco
ARR	-	Arranjo de tubos no trocador
ASSPE	a_s	Área do fluxo cruzado através do feixe de tubos
AT	A_T	Área total da seção do casco (pol^2)
-	A_{ta}	Área de troca de calor da superfície externa dos tubos, para tubos aletados externamente (pé^2)
-	A_{ti}	Área de troca de calor da superfície interna dos tubos, para tubos aletados internamente (pé^2)
ATJ	A_{tj}	Área total das seções de duas janelas (pol^2)
ATS	A_{ts}	Área de troca de calor por casco (pé^2)

ATUBOT	a'_t	Área da seção de escoamento nos tubos, por tubo (pol^2)
AX	A_x	Área da seção do escoamento cruzado (pol^2)
AXSPE	A_x	Área da seção do escoamento cruzado (pé^2)
A0	A_0	Área total de troca de calor estimada inicialmente (pé^2)
A2	A_2	Constante para o cálculo do coeficiente de atrito isotérmico do fluido dos tubos
BWG	BWG	Especificação da espessura da parede dos tubos (Birmingham Wire-Gage)
B0	B_0	Fator de transferência de calor para o fluxo através do feixe de tubos, do método de TINKER
B2	B_2	Constante para o cálculo do coeficiente de atrito isotérmico do fluido dos tubos
C	C	Constante geométrica do trocador; depende do arranjo de tubos.
CA	C_a	Constante para a determinação da área do escoamento cruzado.
CCH1	C_{chi}	Corte da chicana (%)
-	C_g	Coeficiente do orifício tubo-chicana (BELL)
-	C_p	Calor específico à pressão constante
CS	C_s	Calor específico do fluido do casco ($\text{BTU}/\text{lbm}^{\circ}\text{F}$)
CT	C_t	Calor específico do fluido dos tubos ($\text{BTU}/\text{lbm}^{\circ}\text{F}$)
CTIPOL	-	Trocador tipo L
CTIPOM	-	Trocador tipo M
CTIPON	-	Trocador tipo N
CTIPOP	-	Trocador tipo P
CTIPOS	-	Trocador tipo S
CTIPOT	-	Trocador tipo T
CTIPOU	-	Trocador tipo U
CTIPOW	-	Trocador tipo W
CX	C_x	Constante para as fileiras dos tubos cruzados no escoamento cruzado (TINKER)

-	c_1	Fator aproximado para a contagem dos tubos (TINKER)
C2	c_2	Fração cortada do círculo para construir a chicana (TINKER)
C3	c_3	Porção do círculo da chicana excluída a janela da chicana: $c_3=1-c_2$ (TINKER)
C4	c_4	Largura média do feixe de tubos entre as <u>janelas</u> de chicanas
-	c_5	Arco do casco, adjacente ao topo da chicana (TINKER)
-	c_6	Perda de altura dinâmica do escoamento através do orifício tubo-chicana.
C7	c_7	Perda de altura dinâmica do escoamento através de uma fileira no arranjo quadrado de tubos.
-	c_8	Perda de altura dinâmica do escoamento através de uma fileira no arranjo triangular de tubos.
-	c_9	Porção do diâmetro do feixe atravessado pelo escoamento entre sucessivas janelas de chicanas.
-	c_{10}	Multiplicador do fator de atrito para a alta <u>velocidade</u> da corrente C (TINKER)
C11	c_{11}	Perda de altura dinâmica no escoamento entre a chicana e o casco
-	c_{12}	Perda de altura dinâmica do escoamento através da janela da chicana
C14	c_{14}	Proporção geométrica do trocador
C15	c_{15}	Proporção geométrica do trocador
C16	c_{16}	Proporção geométrica do trocador
D	d	Distância entre dois tubos adjacentes (pol)
DBS1	D_{bs1}	Diâmetro interno do bocal de entrada do casco (pé)
DBS2	D_{bs2}	Diâmetro interno do bocal de saída do casco (pé)
DBSMIN	D_{bsmin}	Diâmetro mínimo para os bocais do casco (pol)
DBT1	D_{bt1}	Diâmetro interno do bocal de entrada dos tubos (pé)

DBT2	D_{bt2}	Diâmetro interno do bocal de saída dos tubos (pé)
DBTMIN	$D_{bt\min}$	Diâmetro mínimo para os bocais dos tubos (pol)
DCHIPO	d_{chi}	Diâmetro das chicanas (pol)
DELA	ΔT_a	Diferença de temperaturas no terminal "a" (Figura 4.5)
DELB	ΔT_b	Diferença de temperaturas no terminal "b" (Figura 4.5)
DELBP		Folga para o desvio feixe-casco
DELPAS	ΔP_{as}	Perda de carga admissível para o lado do casco (lbf/pol^2)
DELPAT	ΔP_{at}	Perda de carga admissível para o lado dos tubos (lbf/pol^2)
-	δ_p	Diferença efetiva de pressão para o vazamento tubo-chicana (BELL)
DELPB	ΔP_b	Perda de carga para o banco de tubos ideal (lbf/pé^2)
DELPBO	ΔP_{bocais}	Perda de carga nos bocais dos tubos (lbf/pol^2)
DELPBP	ΔP_{bp}	Perda de carga do fluxo cruzado, corrigido para o efeito do desvio, sem vazamento (lbf/pé^2)
DELPB1	$\Delta P_{bocal\ 1}$	Perda de carga no bocal de entrada do casco (lbf/pé^2)
DELPB2	$\Delta P_{bocal\ 2}$	Perda de carga no bocal de saída do casco (lbf/pé^2)
-	ΔP_c	Perda de carga devido à contração
-	ΔP_e	Perda de carga devido à expansão
DELPEC	ΔP_{ecr}	Perda de carga na expansão, contração e retorno no cabeçote (lbf/pé^2)
DELPEK	-	Perda de carga experimental para comparação com a calculada pelo método de KERN, que inclui a perda de carga nos bocais do casco (lbf/pé^2)
DELPJ	ΔP_j	Perda de carga na janela da chicana (lbf/pé^2)
-	ΔP_λ	Perda de carga para o trocador com vazamento (lbf/pé^2)

-	ΔP_{nl}	Perda de carga para o trocador sem vazamento (lbf/pé^2)
DELPR	ΔP_r	Perda de carga no retorno dos tubos
DELPS	ΔP_s	Perda de carga do lado do casco, sem incluir a perda de carga nos bocais do casco (lbf/pé^2)
DELPSE	-	Perda de carga experimental para comparação com a calculada pelos métodos de BELL e de TINKER
DELPST	ΔP_{st}	Perda de carga total do lado do casco.
DELPT	ΔP_t	Perda de carga por atrito nos tubos (lbf/pé^2)
DELPTT	ΔP_{tt}	Perda de carga total nos tubos (lbf/pé^2)
-	ΔP_x	Perda de carga no fluxo cruzado (lbf/pol^2) (TINKER)
DELT	ΔT	Diferença média de temperaturas ($^{\circ}\text{F}$)
DELTS	ΔT_s	Diferença entre as temperaturas de entrada e de saída do fluido do casco ($^{\circ}\text{F}$).
-	ΔT_t	Diferença entre as temperaturas de entrada e de saída do fluido dos tubos ($^{\circ}\text{F}$).
DEPE	D_e	Diâmetro equivalente do lado do casco (pé) (em polegada: DEPO = d_e)
DIF	-	Diferença entre o diâmetro interno do casco e o diâmetro externo da chicana (pol.).
DIPE	D_i	Diâmetro interno do tubo (pé) (em pol.: DIPO = d_i)
DJPE	D_j	Diâmetro volumétrico equivalente da janela (pé)
DMLT	DMLT	Diferença média logarítmica de temperaturas ($^{\circ}\text{F}$)
DRELT	s_t	Densidade relativa do fluido dos tubos
DIPO	d_1	Diâmetro interno do casco (pol) (em pé: DIPE = D_1)
D2PO	d_2	Diâmetro externo dos tubos (pol) (em pé: D2PE = D_2)
D3PO	d_3	Diâmetro do feixe de tubos (pol) (em pé: D3PE = D_3)
D4PO	d_4	Diâmetro do orifício da chicana (pol) (em pé:

E	e	Espessura da parede dos tubos (pol)
EE	e_e	Espessura dos espelhos de tubos (pol)
EMINHO	m	Fator definido pela equação: $m=Mj/c_{14}^{1/2}$ (TINKER)
ERP	c	Altura média das asperezas da superfície interna dos tubos (pé)
ES	E_S	Fator de correção para o coeficiente de película do lado do casco (TINKER)
-	f_D	Coeficiente de atrito de Darcy
-	f_F	Coeficiente de atrito de FANNING
-	f_j	Coeficiente de atrito do escoamento na janela (TINKER)
-	F_j	Fração da vazão total que atravessa uma janela de chicana
F	f_t	Coeficiente de atrito do fluido dos tubos, corrigido considerando a variação da viscosidade com a temperatura, dada por CHURCHIL
FBELL	f_x	Coeficiente de atrito para o fluxo cruzado no banco de tubos ideal (não isotérmico) (BELL)
FBP	F_{bp}	Fração da área do fluxo cruzado disponível para o desvio feixe de tubos-casco.
FD	f_d	Fator de correção para a perda de carga considerando a formação de depósito dentro dos tubos
FH	F_h	Fração da vazão total que atravessa a região do fluxo cruzado, para o cálculo do coeficiente de película, para o trocador limpo (TINKER)
FI	ϕ_B	Fator de correção para o coeficiente de película do feixe ideal para levar em conta os efeitos das chicanas e das janelas (BELL)
FIS	ϕ_s	Fator de correção para considerar a variação da viscosidade com a temperatura, para o fluido do casco
FIT	ϕ_t	Fator de correção para considerar a variação da viscosidade com a temperatura, para o fluido dos tubos

FP	F_p	Fração modificada da vazão total que atravessa a região do fluxo cruzado, para o cálculo da perda de carga para o trocador com depósitos (TINKER)
FQCASQ	-	Variável lógica para testar se o fluido quente está no casco
FSKERN	f_s	Fator de atrito para o lado do casco (KERN)
FT	F_t	Fator de correção para a diferença média de temperaturas
FTINK	f_x	Idem FBELL (TINKER)
FTKERN	f_t	Fator de atrito para o lado dos tubos (KERN)
F1	f	Coeficiente de atrito isotérmico do fluido dos tubos
-	ψ	Eficiência das aletas
GC	g	Aceleração da gravidade = 32,1739 pé/s ²
GC	-	Constante gravitacional de conversão = 32,1739 lbm pé/lbf s ² = 4,17x10 ⁵ lbm pé/lbf h ²
GM	G_m	Fluxo de massa baseada em S_m (BELL)
GS	G_s	Fluxo de massa do fluido do casco (lbm/h pé ²)
GT	G_t	Fluxo de massa do fluido dos tubos (lbm/h pé ²)
-	h_b	Coeficiente de película para o banco de tubos ideal (BTU/h pé ² °F)
-	h_{bp}	Coeficiente de película para o fluxo cruzado, depois da correção do desvio, sem vazamentos (BTU/h pé ² °F)
HI	h_i	Coeficiente de película para o lado dos tubos (BTU/h pé ² °F)
-	h_j	Coeficiente de película para a região da janela
-	h_ℓ	Coeficiente de película para o trocador com vazamento (BTU/h pé ² °F)
-	h_m	Coeficiente de película médio para um banco de tubos com um número dado de fileiras de tubos
-	h_{n_ℓ}	Coeficiente de película para o trocador sem vazamentos (BTU/h pé ² °F)

HO	h_o	Coeficiente de película para o lado do casco (BTU/h pé ² °F)
HOB	h_{ob}	Coeficiente de película para o escoamento <u>atra</u> vés do feixe de tubos entre as chicanas extremas no trocador (BTU/h pé ² °F)
HOE	-	Coeficiente de película experimental do lado do casco, para comparar com os calculados pelos mé- todos de KERN, TINKER e BELL
-	h_x	Coeficiente de película para o fluxo cruzado
-	h_∞	Coeficiente de película para um banco de tubos ideal
J	J	Fator de troca de calor de COLBURN, definido por PIERCE, corrigido
-	j_b	Fator de troca de calor de COLBURN, para bancos de tubos ideal, corrigido
-	J_b	Fator de correção para o desvio feixe de tubos- casco, na troca de calor no casco (BELL)
JBELL	j_b	Fator de troca de calor de COLBURN, no método de BELL
-	J_c	Fator de correção que considera o corte e o <u>espa</u> çamento de chicanas, na troca de calor no casco (BELL)
-	J_ℓ	Fator de correção que considera os efeitos dos vazamentos das chicanas, na troca de calor no <u>cas</u> co (BELL)
-	J_r	Fator de correção para o gradiente adverso de <u>tem</u> peratura que se forma no regime laminar, na tro- ca de calor no casco (BELL)
-	J_s	Fator de correção que considera a diferença de espaçamento entre as chicanas intermediárias e as seções de entrada e saída do trocador, na <u>tro</u> ca de calor no casco (BELL)
JSKERN	j_s	Fator de troca de calor para o lado do casco, no método de KERN
JTKERN	j_t	Fator de troca de calor para o lado dos tubos, no método de KERN

J4	J_4	Fator de troca de calor de COLBURN, definido por PIERCE, não corrigido (isotérmico)
KPT	K_{pt}	Condutividade térmica da parede dos tubos (BTU/h pé $^{\circ}$ F)
KS	K_s	Condutividade térmica do fluido do casco (BTU/h pé $^{\circ}$ F)
KT	K_t	Condutividade térmica do fluido dos tubos (BTU/h pé $^{\circ}$ F)
L	L	Comprimento total do tubo (pé)
LCPO	ℓ_c	Corte da chicana em polegadas
LINFER	-	Ligas não ferrosas
LIQS,LIQT	-	Referência ao fluido do casco e dos tubos, respectivamente, para a determinação da viscosidade em uma figura da TEMA
L1PE	L_1	Comprimento efetivo dos tubos (pé) (em polegada: L1PO = ℓ_1)
L3PE	L_3	Espaçamento entre chicanas adjacentes (pé) (em polegada: L3PO = ℓ_3)
L2PO	ℓ_2	Comprimento dos tubos entre as chicanas extremas (pol) (em pé: L2PE = L_2)
L31	ℓ_{31}	Espaçamento entre o espelho e a chicana de entrada (pol) (em pé: L31PE = L_{31})
L31F	ℓ_{31f}	Fator para a estimativa do espaçamento mínimo entre o espelho e a chicana de entrada (pol)
L31MIN	ℓ_{31min}	Espaçamento mínimo entre o espelho e a chicana de entrada (pol)
L32	ℓ_{32}	Espaçamento entre o espelho e a chicana de saída (pol) (em pé: L32PE = L_{32})
L32F	ℓ_{32f}	Fator para a estimativa do espaçamento mínimo entre o espelho e a chicana de saída (pol)
L32MIN	ℓ_{32min}	Espaçamento mínimo entre o espelho e a chicana de saída (pol)
M	M	Multiplicador de A_x para o cálculo do número de REYNOLDS para a troca de calor
MATERS	-	Material do casco

MATERT	-	Material dos tubos
MIS	μ_s	Viscosidade absoluta do fluido do casco à temperatura média T_s (lbm/h pé) (à temperatura de entrada: MIS1, à temperatura de saída: MIS2)
MISCP	μ_s (cp)	μ_s em centipoises
MIT	μ_t	Viscosidade absoluta do fluido dos tubos à temperatura média T_t (lbm/h pé) (à temperatura de entrada: MIT1, à temperatura de saída: MIT2)
MITCP	μ_t (cp)	μ_t em centipoises
MITE	μ_{Te}	Viscosidade do fluido à temperatura da superfície externa da parede do tubo (fluido do casco: MITES, fluido dos tubos: MITET)
MITECP	μ_{Te} (cp)	μ_{Te} em centipoises
MITI	μ_{Ti}	Viscosidade absoluta à temperatura da superfície interna dos tubos (lbm/h pé)
MITICP	μ_{Ti} (cp)	μ_{Ti} em centipoises
MJ	M_j	Multiplicador de A_x para a obtenção da média geométrica de A_x e A_j
N	n	Número de trajetos de tubos
NB	N_{e_c}	Número de espaço entre chicanas
NC	n_c	Número de tubos na fileira central do trocador
NCHI	N_{chi}	Número de chicanas
NCRUZA	N_{cruza}	Número de vezes que o feixe de tubos é atravessado pelo escoamento
NCS	n_{cs}	Número de cascos em série
NESPJ	N_{espj}	Número de espaçadores na janela da chicana
NH	N_h	Número estimativo para efeito de cálculo do coeficiente de película do lado do casco
NJ	N_j	Número médio de restrições encontradas pelo fluxo cruzado através da janela da chicana
NMEDAQ	-	Número de medições de aquecimento do fluido do casco, na comparação entre os métodos de KERN , TINKER e BELL.

NP	N_p	Número estimativo para efeito do cálculo da perda de carga do lado do casco
NR	N_r	Número de fileiras de tubos atravessadas no escoamento cruzado
NR1	N_{rl}	Número efetivo de fileiras de tubos do fluxo cruzado em série num trocador com chicana
NSS	N_{ss}	Número de pares de tiras selantes (sealing strips)
NT	N_t	Número total de tubos no trocador
NTCHI	N_{tchi}	Número de tubos por chicana
NTJ	N_{tj}	Número de tubos na janela da chicana
NTJ1	N_{tj1}	Número de tubos na janela da chicana mais os espaçadores
NTT	N_{tt}	Número de tubos por trajeto
NUMED	-	Número de medições experimentais para cada trocador da comparação entre os métodos de KERN, TINKER e BELL
-	η	Eficiência total da superfície de troca de calor para tubos aletados (η_o - da superfície externa dos tubos, η_i - da superfície interna dos tubos)
PI	π	Constante = 3,1415926
PPBS	P_{pbs}	Pressão de projeto para o bocal do casco (lbf/pol^2)
PPBT	P_{pbt}	Pressão de projeto para o bocal dos tubos (lbf/pol^2)
PPO	p	Distância entre centros de tubos adjacentes (paralela ao escoamento: $PPPO = p_p$, normal ao escoamento: $PNPO = p_n$)
PPS	P_{ps}	Pressão de projeto para o fluido do casco (lbf/pol^2)
PPT	P_{pt}	Pressão de projeto para o fluido dos tubos (lbf/pol^2)
PR	p_r	Razão entre a distância entre centros de tubos adjacentes e o diâmetro externo dos tubos.

PRDTL	Pr_{dt}	Número de PRANDTL para o fluido dos tubos
PROCES	-	Processo requerido para o fluido do casco
Q	Q	Calor trocado (BTU/h)
-	Q_{AR}	Vazão parcial, através dos orifícios tubo-chicana.
-	Q_{BR}	Vazão parcial através da área A_x
-	Q_{CR}	Vazão parcial através do desvio feixe de tubos-casco
-	Q_{ER}	Vazão parcial através do vazamento casco-chicana
QCIIH	ξ_h	Fator de correção considerando o desvio no coeficiente de película no fluxo cruzado
QCIPC	$\xi_{\Delta P}$	Fator de correção considerando o desvio na perda de carga, no escoamento cruzado.
QUADRA	-	Arranjo quadrado de tubos
QUAROT	-	Arranjo quadrado rotacionado de tubos
R	R	Grupo de temperatura para o cálculo de F_t
-	R_b	Fator de correção para os efeitos do desvio feixe de tubos-casco, na perda de carga do casco (BELL)
RCHIPO	r_{chi}	Raio da chicana (pol)
RDI	rd_i	Fator de depósito para o fluido dos tubos ($h \text{ pé}^2 \text{F}/\text{BTU}$)
RDIO	rd_{io}	rd_i corrigido considerando a superfície externa dos tubos ($h \text{ pé}^2 \text{F}/\text{BTU}$)
RDO	rd_o	Fator de depósito para o fluido do casco ($h \text{ pé}^2 \text{F}/\text{BTU}$)
RD1PO	r_1	Raio do casco (pol)
REH	Re_h	Número de REYNOLDS para a troca de calor, para o lado do casco (TINKER)
RELH	-	Relação entre h_ℓ e $h_{n\ell}$ para o trocador = $(1-h_\ell/h_{n\ell})_{\text{trocador}}$
RELHID	-	Relação entre h_ℓ e $h_{n\ell}$ para o banco de tubos ideal = $(1-h_\ell/h_{n\ell})_{\text{ideal}}$

RELP	-	Relação entre ΔP_{ℓ} e $\Delta P_{n\ell}$ para o trocador = $(1-\Delta P_{\ell}/\Delta P_{n\ell})_{trocador}$
RELPID	-	Relação entre ΔP_{ℓ} e $\Delta P_{n\ell}$ para o banco de tubos ideal = $(1-\Delta P_{\ell}/\Delta P_{n\ell})_{ideal}$
REP	Re_p	Número de REYNOLDS para a perda de carga para o lado do casco (TINKER)
RES	Re_s	Número de REYNOLDS para o lado do casco
RESFRI	-	Resfriamento do fluido do casco
RET	Re_t	Número de REYNOLDS para o fluido dos tubos
-	R_{ℓ}	Fator de correção para os efeitos dos vazamentos na perda de carga no casco (BELL)
-	R_s	Fator de correção que considera a diferença de espaçamento entre as chicanas intermediárias e as seções de entrada e saída do trocador, na perda de carga no casco (BELL)
ROS	ρ_s	Densidade do fluido do casco à temperatura média T_s (lbm/pé^3) (à temperatura de entrada: ROS1, à temperatura de saída: ROS2)
ROT	ρ_t	Densidade do fluido dos tubos à temperatura média T_t (lbm/pé^3) (à temperatura de entrada: ROT1, à temperatura de saída: ROT2)
R1	r	Razão entre a área total de duas seções de janela de chicana e a área total da seção do casco
R2	r_5	Razão entre a área de uma janela de chicana e a área total da seção do casco.
S	S	Grupo de temperatura para o cálculo do F_t
SBPSPO	S_{bp}	Área para o desvio em torno do feixe de tubos (pol^2)
SJ	S_{sj}	Fração da superfície de troca de calor em duas janelas de chicana (TINKER)
SJSPE	S_j	Área livre para o escoamento através da janela da chicana (pé^2)
SLSPE	S_{ℓ}	Área total do vazamento para uma chicana (pé^2)
SMSPE	S_m	Área mínima da seção do fluxo cruzado através da fileira de tubos mais próxima à linha central do trocador (pé^2) (em pol^2 :SMSPO)

SN2N	S_{N-2N}	Fator de temperatura para o número de cascos em série maior do que 2 para o cálculo de F_t
SSBSPE	S_{sb}	Área de seção do vazamento casco-chicana (pe^2)
STBSPE	S_{tb}	Área da seção do vazamento tubo-chicana (pe^2)
STI	S_{ti}	Área da seção interna de escoamento em um tubo
-	S_{tit}	Área da seção de escoamento através dos tubos do trajeto
-	T_c	Temperatura calórica do fluido quente ($^{\circ}\text{F}$)
-	t_c	Temperatura calórica do fluido frio ($^{\circ}\text{F}$)
TE	T_e	Temperatura externa da parede dos tubos ($^{\circ}\text{F}$)
TET	θ	Ângulo de corte da chicana (radiano) (em graus: TETA)
TF1	t_1	Temperatura de entrada do fluido frio ($^{\circ}\text{F}$)
TF2	t_2	Temperatura de saída do fluido frio ($^{\circ}\text{F}$)
TI	T_i	Temperatura interna da parede dos tubos ($^{\circ}\text{F}$)
TIPO	-	Tipo de casco do trocador especificado pela TEMA
TMFF	t_m	Temperatura média do fluido frio ($^{\circ}\text{F}$)
TMFQ	T_m	Temperatura média do fluido quente ($^{\circ}\text{F}$)
TPS	T_{ps}	Temperatura de projeto para o fluido do casco ($^{\circ}\text{F}$)
TPT	T_{pt}	Temperatura de projeto para o fluido dos tubos ($^{\circ}\text{F}$)
TQ1	T_1	Temperatura de entrada do fluido quente ($^{\circ}\text{F}$)
TQ2	T_2	Temperatura de saída do fluido quente ($^{\circ}\text{F}$)
TRIANG	-	Arranjo triangular de tubos no trocador (equilateral)
TS	T_s	Temperatura média do fluido do casco ($^{\circ}\text{F}$)
TS1	T_{s1}	Temperatura de entrada do fluido do casco ($^{\circ}\text{F}$)
TS2	T_{s2}	Temperatura de saída do fluido do casco ($^{\circ}\text{F}$)
TT	T_t	Temperatura média do fluido dos tubos ($^{\circ}\text{F}$)
TTI	T_{ti}	Temperatura intermediária na saída do 2º para o 3º trajeto dos tubos quando é o caso de 1 passe do lado do casco e 4 trajetos de tubos ($^{\circ}\text{F}$)

TT1	T_{t1}	Temperatura de entrada do fluido dos tubos ($^{\circ}\text{F}$)
TT2	T_{t2}	Temperatura de saída do fluido dos tubos ($^{\circ}\text{F}$)
TUBO	-	Especifica o tipo de tubo usado no trocador
TUBOEU	-	Tubos em U
TUBORE	-	Tubos retos
U	U	Coeficiente global de troca de calor (BTU/h pé 2 $^{\circ}\text{F}$) (no terminal frio: U_f , no terminal quente: U_q)
UMAX	-	Coeficiente global máximo de troca de calor retirado da Tabela 4.8, para o fluido do processo (BTU/h pé 2 $^{\circ}\text{F}$)
UMIN	-	Coeficiente global mínimo de troca de calor retirado da Tabela 4.8, para o fluido do processo (BTU/h pé 2 $^{\circ}\text{F}$)
U0	U_0	Coeficiente global de troca de calor estimado inicialmente
V	V	Constante no cálculo de F_t no casco de 1 passe do lado do casco e 4 trajetos de tubos
VBSMAX	$V_{bs_{max}}$	Velocidade máxima para o fluido nos bocais do casco (pé/s)
VBT	V_{bt}	Velocidade média do fluido nos bocais dos tubos (pé/s)
VBTMAX	$V_{bt_{max}}$	Velocidade máxima para o fluido nos bocais dos tubos (pé/s)
VBS1	V_{bs1}	Velocidade do fluido no bocal de entrada do casco (pé/s)
VBS2	V_{bs2}	Velocidade do fluido no bocal de saída do casco (pé/s)
VJ	V_j	Velocidade do escoamento na janela, baseada em S_j (pé/s)
VM	V_m	Velocidade máxima no escoamento cruzado, baseada em S_m (pé/s)
VT	V_t	Velocidade média do fluido no escoamento dentro dos tubos (pé/s)

VZ	V_z	Velocidade média geométrica de V_m e V_j (pé/s)
WS	W_s	Vazão do fluido do casco (lbm/h)
WT	W_t	Vazão do fluido dos tubos (lbm/h)
-	x	Razão entre ΔP_j e ΔP_x
XIS	X	Fator de correção para considerar no coeficiente de película, o efeito do número real de fileiras de tubos no trocador frente ao número de fileiras do banco de tubos ideal, correspondente à região do escoamento cruzado entre dois cortes de chicanas consecutivos.
Y ₁	Y	Fator de perda de carga para a janela da chicana (TINKER)
YZINHO	y	Fator que considera as proporções da janela da chicana (TINKER)
Z1	Z_1	Altura geométrica no bocal de entrada do casco
Z2	Z_2	Altura geométrica no bocal de saída do casco
-	(1+x)	Fator para a perda de carga no escoamento cruzado e janela da chicana

CAPÍTULO 1

INTRODUÇÃO

. HISTÓRICO

O trocador de calor casco e tubo é o tipo de trocador mais amplamente usado, devido à sua construção resistente, maior flexibilidade de projeto e de adaptação às condições de processo, tais como:

- condensação, vaporização e troca de calor sem mudança de fase;
- posicionamento na horizontal ou na vertical;
- ampla faixa de pressão de operação desde o vácuo até altos valores de pressão;
- ampla faixa de variação da perda de carga permitida;
- possibilidade de ajuste do projeto para cada fluido, devido à variedade de tipos de casco e arranjos dos feixes de tubos;
- adaptação às tensões térmicas quase sem aumento nos custos;
- ampla gama de capacidade;
- grande variedade de materiais utilizados, de acordo com a resistência à corrosão, pressão e temperatura;
- uso ou não de superfícies aletadas;
- facilidade de remoção do feixe de tubos para limpeza e reparo.

Os primeiros projetos de trocadores de calor casco e tubo surgiram no início do século para suprir as necessidades da indústria de petróleo e das usinas de potência^(1.1,1.2). O problema mais sério no primeiro estágio de desenvolvimento dos trocadores não foi a troca de calor mas o cálculo mecânico dos vários componentes, especialmente os espelhos de tubos. Seguiram-se vários problemas de fabricação mas, por volta de 1920, eles

foram contornados graças aos esforços de um número crescente de fabricantes.

A referência (1.1) menciona como um dos primeiros documentos sobre a tecnologia e o projeto de trocadores de calor casco e tubo o "Bulletin 358", da Ross Heaters & Mfg. Co., publicado em 1931.

A base científica da troca de calor surgiu como resultado de pesquisas isoladas em algumas universidades.

O conceito do feixe tubular foi desenvolvido a partir de trocadores de tubo duplo, permitindo um maior coeficiente de troca de calor ao forçar o fluxo através de feixe de tubos. Foi reconhecido que, do ponto de vista físico e de construção, o meio mais efetivo para troca de calor é o fluxo através de um banco de tubos ideal¹ e que o escoamento do fluido do lado do casco em trocadores com chicanas comporta-se de maneira semelhante.

Para aplicação das correlações de troca de calor e perda de carga obtidas no banco de tubos ideal, foram necessárias correções significativas as quais, no início, eram feitas através de fatores constantes de multiplicação.

Com base em experimentos foi observado, no entanto, que o fluxo do lado do casco está sujeito a interações entre parâmetros hidrodinâmicos e de construção.

A primeira correlação de troca de calor foi sugerida por COLBURN em 1933; dados em bancos de tubos ideal para fluxo turbulento foram obtidos por GRIMISON em 1937, o que confirmou a correlação de COLBURN para geometrias usuais de trocadores de calor. Ela foi modificada para incluir a forma de SIEDER-TATE para efeitos não isotérmicos. Os dados para escoamento laminar não existiam até os resultados do programa sistemático de pesquisa, desenvolvido na Universidade de Delaware nos anos 50. Para a perda

¹Banco de tubos ideal é um feixe retangular de tubos, no qual o escoamento cruza a superfície de troca de calor em um único trajeto, tendo uma seção de escoamento bem definida, arranjada de tal modo que não ocorram desvios nem vazamentos.

de carga, a análise se mostrou bem mais difícil e menos precisa. Dados para o banco de tubos ideal foram compilados por GRIMISON para escoamento turbulento e, em 1942, COLBURN estendeu essas relações para o escoamento laminar.

Durante esse período de desenvolvimento foi sentida a necessidade de padrões para o projeto mecânico dos trocadores, por razões de segurança, uniformização das tolerâncias e controle de qualidade. O primeiro documento publicado nesse sentido foi "Standards of Tubular Exchanger Manufacturers Association", de 1941.

O passo seguinte foi a consolidação das correlações obtidas, para a formulação de um método de projeto mais rigoroso, que se apoiou nas correlações modificadas de COLBURN, e que foi publicado por DONOHUE em uma primeira versão^(1.3), e depois numa versão mais refinada^(1.4).

Um segundo método é devido à KERN, que o publicou em 1950 no livro "Process Heat Transfer"^(1.5). Consiste de modificações das correlações ao nível das aproximações de DONOHUE. A importância da contribuição de KERN é a consideração do problema do projeto de trocador de calor casco e tubo como um todo, isto é, levando em conta as considerações de construção, escoamento do lado dos tubos, diferença média de temperatura e depósito, em adição às do escoamento do lado do casco. Assim, o método de KERN tornou-se o padrão para o projeto termo-hidráulico de trocadores de calor e muito popular, sendo ainda hoje o método mais divulgado da literatura aberta.

O livro de KERN significou o ponto mais alto do período mais dinâmico do desenvolvimento científico da transferência de calor, dos anos 20 até os anos 40, realizado nas universidades e foi interrompido na época da segunda guerra mundial. Com isso, indústrias e centros privados de pesquisa como o Heat Transfer Research, Inc. (HTRI) nos Estados Unidos, Heat Transfer and Fluid-Flow Service (HTFS) na Inglaterra, e outros, entraram no campo da pesquisa industrial. Isso resultou na suspensão da divulgação dos conhecimentos disponíveis e do intercâmbio científico^(1.2). Hoje, os métodos mais aperfeiçoados de projeto de trocadores de calor pertencem a esses centros privados e só podem ser adquiridos através de contratos mediante pagamento.

É importante notar que, enquanto trocadores de calor têm sido projetados durante décadas, um processo para tanto nunca foi sistematicamente formalizado; mesmo no livro de KERN os vários exemplos de projeto são, sem exceção, cálculos do desempenho de unidades já completamente especificadas, que se ajustam às condições desejadas.

Depois de KERN, o próximo grande passo na pesquisa de transferência de calor do lado do casco foi dado por TINKER, que sugeriu em 1947 o conceito da subdivisão do escoamento do lado do casco em quatro correntes: a do fluxo cruzado puro, a do vazamento casco-chicana, a do vazamento tubo-chicana e a do desvio feixe-casco, cada uma com suas próprias características de troca de calor. O modelo requer solução por tentativas, já que as resistências encontradas pelos escoamentos são funções das velocidades, nenhuma das quais conhecida a priori^(1.6). Devido à insuficiência de dados e dificuldades de cálculo, TINKER lançou mão de simplificações para deixar o modelo na forma não reiterativa. Apresentado em 1958 no artigo "Shell-Side Characteristics of Shell-and-Tube Heat Exchangers"^(1.7), o método de TINKER permaneceu relativamente complicado e não se tornou muito popular.

Toda pesquisa subsequente relativa ao escoamento do lado do casco foi então influenciada pelo modelo proposto por TINKER.

A partir da iniciativa de COLBURN, um projeto maciço de pesquisa foi realizado na Universidade de Delaware entre 1948 e 1959. Consistiu de várias pesquisas independentes relativas a assuntos específicos ao escoamento do lado do casco; os resultados dos testes estão contidos em um grande número de teses e publicações. Esses resultados foram avaliados e reformulados por BELL, publicados primeiramente em 1960^(1.8) e, mais tarde, como um relatório final do Projeto Delaware^(1.9).

O método de BELL (método Delaware) reconhece, a princípio, os escoamentos parciais do modelo de correntes definido por TINKER mas, para evitar procedimentos de cálculo reiterativos, a inclusão dos efeitos de iteração das correntes foi substituída por fatores independentes de correção. Ele usou essencialmente a equação básica de troca de calor baseada no banco de tubos ideal que foi estendida às regiões de transição e laminar. Procedimento similar é usado para perda de carga usando o coeficiente

de atrito para o banco de tubos ideal, com correções apropriadas.

Recentemente a OTAN patrocinou a realização de um seminário avançado sobre o projeto termo-hidráulico de trocadores, o Advanced Study Institute on "Heat Exchangers Thermal-Hydraulic Fundamentals and Design", em Istambul, na Turquia, em agosto de 1980. Neste seminário, o método de projeto divulgado para trocadores sem mudança de fase no casco é o método BELL-Delaware^(1.10), embora não se apresente argumentos para tanto.

. JUSTIFICATIVAS E OBJETIVOS

O histórico apresentado mostra que o projeto de trocadores de calor casco e tubo é um assunto de extremo interesse, não só das refinarias de petróleo, usinas de potência e indústrias em geral, como também dos centros de pesquisa e universidades.

As características de troca de calor e perda de carga do escoamento do lado do casco são complexas e, até o momento, os métodos básicos para o cálculo dessas características, existentes na literatura aberta são os de KERN, TINKER e BELL.

O método de KERN não é muito elaborado e não permite caracterizar a influência dos vários parâmetros no desempenho do trocador, mas é de fácil compreensão e, por isso, é até hoje muito utilizado, principalmente pelas pequenas indústrias; as de grande porte e as firmas de engenharia compram os projetos ao HTRI e HTFS.

Vários estudos e trabalhos realizados recentemente ainda são baseados no método de KERN como, por exemplo, na última edição da Chemical Engineering dedicada a projeto de trocadores de calor, publicada em julho de 1983^(1.11). Um outro exemplo é o da "Wolverine Tube Engineering Data Book", da indústria WOLVERINE, fabricante de tubos de trocadores no Alabama, EUA, cuja discussão a respeito das características de troca de calor e perda de carga é completamente baseada no método de KERN. O mesmo ocorre com outros fabricantes.

O método de TINKER, mesmo na sua forma simplifica-

da, é a aproximação mais completa da análise do escoamento do lado do casco, tanto assim que foi utilizado como base para o desenvolvimento dos métodos privados do HTRI e HTFS.

O método de BELL, que utilizou grande número de novos dados para fixar os fatores de correção, é o mais novo método publicado para o cálculo das características do escoamento do lado do casco.

Com base nas considerações acima, tomou-se como objetivo da realização do presente trabalho:

- comparar os métodos de KERN, TINKER e BELL, e discutir os resultados, dando ênfase ao problema da perda de carga e do coeficiente de película para o escoamento do lado do casco;

- apresentar uma proposição para o dimensionamento da área de troca de calor para trocadores de calor casco e tubos sem mudança de fase no casco, aplicando para o cálculo da perda de carga e do coeficiente de película o método de cálculo cujos resultados forem os mais próximos dos dados experimentais disponíveis, utilizados para a comparação.

. DESENVOLVIMENTO DO TRABALHO

O desenvolvimento do trabalho constou das seguintes etapas principais:

- obtenção na bibliografia das sequências de cálculo termo-hidráulico pelos métodos de KERN, TINKER e BELL para a comparação, bem como de todos os detalhes de projeto;

- preparo de uma proposição de cálculo para o dimensionamento da área de troca de calor para trocadores de calor casco e tubo, sem mudança de fase no casco, utilizando computador;

- levantamento dos dados experimentais para a utilização nos cálculos de comparação efetuados no computador;

- preparação de exemplos de cálculo para o dimensionamento;

- análise dos resultados, discussão e conclusão da

comparação entre os 3 métodos.

Para a obtenção da bibliografia necessária ao desenvolvimento deste trabalho houve dificuldade, já que grande parte não estava disponível nas bibliotecas da instituição onde foi realizado, e algumas só foram encontradas no exterior. Entre estas, o Relatório final do Projeto Delaware de BELL^(1.9), estritamente necessário, que foi enviado pelo próprio autor depois de várias tentativas em se obtê-lo. Outra referência importante para este trabalho também só foi conseguida no exterior: o "Shell Side Characteristics of Shell and Tube Heat Exchangers" de TINKER^(1.12).

Os dados experimentais necessários para a comparação dos métodos deveriam ser obtidos através de testes experimentais, mas não se tem conhecimento de que tenham sido realizados em alguma indústria ou universidade do país e sua obtenção transcende de longe o objetivo da presente tese. Na tentativa de se conseguir mais subsídios para a comparação, foram escritas cartas para indústrias de trocadores de calor do exterior, solicitando dados de alguns testes com trocadores (características geométricas e resultados experimentais); as que responderam afirmaram que não poderiam dispor desses dados, porque os mesmos eram confidenciais e não se encontravam abertos ao público. Assim, os dados utilizados foram os únicos encontrados na bibliografia obtida e são resultados dos testes experimentais realizados por TINKER e pelo projeto Delaware, apresentados nos importantes trabalhos das referências (1.9 e 1.12).

. APRESENTAÇÃO DO TRABALHO

Optou-se por apresentar este trabalho de maneira didática e trazendo informações tais, que ele é praticamente auto-suficiente para os cálculos de troca de calor e perda de carga pelos métodos de KERN, TINKER e BELL, como também para o dimensionamento da área de troca de calor para trocadores de calor casco e tubo, sem mudança de fase no casco.

REFERENCIAS BIBLIOGRÁFICAS

- 1.1 - TABOREK, J. - "Evolution of Shell and Tube Heat Exchanger Design Practices", Heat Transfer Engineering, vol. 2, nº 2, Oct.-Dec., pp. 69-73 (1980).
- 1.2 - TABOREK, J. - "Evolution of Heat Exchanger Design Techniques", Heat Transfer Engineering, vol. 1, nº 1, July-Sep., pp. 15-19 (1979).
- 1.3 - DONOHUE, A.D. - "Heat Transfer and Pressure Drop in Heat Exchangers", Industrial and Engineering Chemistry, vol. 41, nº 11, pp. 2499-2511, November (1949) (referência 9 citada em^(1.1)).
- 1.4 - DONOHUE, A.D. - "Heat Exchanger Design", Petroleum Refiner, Part 1 - August (1955), Part 2 - October (1955), Part 3 - November (1955), Part 4 - January, 1956 (referência 10 citada em^(1.1)).
- 1.5 - KERN, D.Q. - "Process Heat Transfer", McGraw-Hill Book Co., New York (1950).
- 1.6 - PALEN, J.W. and TABOREK, J. - "Solution of Shell Side Flow Pressure Drop and Heat Transfer by Stream Analysis Method", Chemical Engineering Progress Symposium Series, nº 92, vol. 65, pp. 53-63 (1969).
- 1.7 - TINKER, T. - "Shell Side Characteristics of Shell and Tube Heat Exchangers - A Simplified Rating System for Commercial Heat Exchangers", Transactions of the ASME, January, pp. 36-52 (1958).
- 1.8 - BELL, K.J. - "Exchanger Design based on the Delaware Research Program", Petro./Chem. Engineer, October, pp. C26-C36 e C40a-C40c (1960).
- 1.9 - BELL, K.J. - "Final Report of the Cooperative Research Program on Shell and Tube Heat Exchangers", Bulletin nº

S., Engineering Experimental Station, University of Delaware, Newark, June (1963).

- 1.10 - BELL, K.J. - "Delaware Method for Shell Side Design", do livro "Heat Exchanger Thermal-Hydraulic Fundamentals and Design", editado por S. Kakaç, A.E. Bergles e F. Mayinger, McGraw-Hill Book Company, New York, pp. 581-618 (1980).
- 1.11 - CRANE, R. and GREGG, R. - "Program for Evaluation of Shell-and-Tube Heat Exchangers", Chemical Engineering, July 25, pp. 76-80 (1983).
- 1.12 - TINKER, T. - "Shell Side Characteristics of Shell and Tube Heat Exchangers", Proceedings of General Discussion on Heat Transfer, The Institution of Mechanical Engineers, London, England, Parts I, II and III, pp. 89-116 (1951).

CAPÍTULO 2

MÉTODOS DE CÁLCULO DE TRANSFERÊNCIA DE CALOR E PERDA DE CARGA PARA O LADO DO CASCO

Neste capítulo são apresentados os métodos de cálculo de transferência de calor e perda de carga para o escoamento do lado do casco segundo os métodos de KERN, TINKER e BELL, ficando sua comparação e discussão para o próximo capítulo².

2.1 - MÉTODO DE KERN

O método de KERN para o cálculo do coeficiente de película e perda de carga do lado do casco^(2.1,2.2) é baseado em algumas premissas simplificadoras, que envolvem as características do escoamento do fluido e os fatores geométricos do lado do casco, os quais afetam o coeficiente de película, como: espaçamento entre chicanas, dimensões dos tubos, espaço livre entre os tubos e tipo de arranjo de tubos.

2.1.1 - Temperaturas calóricas dos fluidos

Na dedução da correlação para o coeficiente de película para fluidos que escoam em tubos, as propriedades dos fluidos costumam ser determinadas à temperatura média dos pontos de entrada e saída dos tubos, embora a precisão dessa consideração possa ser melhorada.

Em trocadores de calor líquido-líquido, o fluido quente possui uma viscosidade na entrada que aumenta à medida que ele vai se esfriando. O fluido frio, por sua vez, entra com uma viscosidade que decresce à medida que ele vai se aquecendo. Os valores do coeficiente de película para o lado do casco(h_o) e do coeficiente de película para o lado dos tubos(h_i) variam através do comprimento do trocador e produzem um coeficiente global de troca de calor(U) maior no terminal quente ($T_1 - t_2$) do que no terminal frio ($T_2 - t_1$). O cálculo

²A Figura A.1.3 (pág. A.21, Anexo A) mostra um trocador onde as dimensões encontram-se representadas.

lo do U em cada ponto ao longo do trocador é bastante trabalhoso; por isso COLBURN^(2.3) tentou contornar o problema supondo que a variação de U é linear com a temperatura, conforme a expressão $U=a(1+bt)$ onde a e b são constantes. Supondo constantes o fluxo de massa e o calor específico, e que não há mudança parcial de fase, ele deduziu uma expressão para a temperatura de cada fluido nas quais as propriedades que entram no cálculo de h_i e h_o são determinadas. Esta temperatura é denominada temperatura calórica e é dada por:

- para o fluido quente:

$$T_c = T_2 + F_c(T_1 - T_2) \quad \text{e ,} \quad (2.1)$$

- para o fluido frio:

$$t_c = t_1 + F_c(t_2 - t_1) \quad (2.2)$$

A fração de temperatura calórica F_c é:

$$F_c = \frac{\frac{1}{k_c} + \frac{rel}{rel-1}}{1 + \frac{\log_e(k_c+1)}{\log_e(rel)}} - \frac{1}{k_c}, \quad (2.3)$$

dada na Figura 17 da referência (2.4) em função do fator calórico (k_c) e de rel :

$$k_c = \frac{U_q - U_f}{U_f} \quad (2.4a)$$

$$rel = \frac{\Delta t_f}{\Delta t_q} \quad (2.4b)$$

onde:

U_q, U_f = coeficiente global de troca de calor no terminal quente e no terminal frio, respectivamente.

$\Delta t_q, \Delta t_f$ = diferença de temperatura no terminal quente e no terminal frio, respectivamente.

2.1.2 - Chicanas

Quando chicanas são usadas para direcionar o fluido do lado do casco através do feixe de tubos, o coeficiente de película é maior do que para o fluxo escoando ao longo do eixo dos tubos. Tomando-se trocadores com o mesmo comprimento de feixe de tubos, mas com números diferentes de chicanas, foi observado que as de maior número de chicanas e por isso com espaçamentos menores entre si, apresentaram uma maior turbulência o que acarretou um maior coeficiente de película. O espaçamento entre chicanas recomendado por KERN é o mesmo dado pela TEMA^(2.4), ou seja, no mínimo igual a um-quinto do diâmetro interno do casco ($1/5 d_1$) e até, no máximo, igual ao diâmetro interno do casco (d_1).

2.1.3 - Arranjo dos tubos

O tipo de arranjo dos tubos influencia no coeficiente de película, tendo-se verificado que, sob condições comparáveis de fluxo e dimensão dos tubos, os coeficientes para o arranjo triangular são aproximadamente 25% maiores do que para o arranjo quadrado.

2.1.4 - Fluxo de massa para o escoamento do lado do casco

Para o cálculo do fluxo de massa não existe uma área de fluxo bem definida, já que a mesma varia através do diâmetro do feixe; em cada fileira longitudinal de tubos há um número diferente de tubos e com isso um número diferente de passagens entre os tubos. A largura da área de fluxo deve ser tomada, segundo KERN, na fileira de tubos hipotética que possui a área máxima de fluxo,

o que corresponde ao centro do casco. Na realidade, na maioria das unidades não existe fileira de tubos no centro, mas duas fileiras, uma acima e uma abaixo da linha central do trocador, cada uma com menos tubos do que o calculado para o centro. Esse fato não é levado em conta.

O comprimento da área de fluxo é considerado igual ao espaçamento entre as chicanas (ℓ_3). A menor distância entre centros de tubos adjacentes (p) é igual à soma do diâmetro dos tubos (d_2) com a distância livre entre os tubos adjacentes (d).

O número de tubos no centro do casco é admitido igual ao resultado da divisão do diâmetro interno do casco pela menor distância entre tubos adjacentes (d_1/p).

Assim, a área do fluxo cruzado através do feixe de tubos (a_s), é dada por:

$$a_s = \frac{d_1 d \ell_3}{144 p} (\text{pé}^2) \quad (2.5)$$

Daí, o fluxo mássico para o escoamento do lado do casco é dado por:

$$G_s = \frac{W_s}{a_s} (\ell \text{bm}/\text{hpé}^2) \quad (2.6)$$

onde:

W_s = vazão em massa do fluido do lado do casco ($\ell \text{bm}/\text{h}$)

2.1.5 - Diâmetro equivalente do lado do casco

Como a área da seção do escoamento normal aos eixos longitudinais dos tubos é variável de fileira em fileira de tubos, fica difícil a definição de um diâmetro equivalente baseado nessa área que faça distinção entre os arranjos triangular e quadrado. Para obter uma correlação simples, combinando as dimensões e distâncias entre os tubos, bem como o tipo de arranjo de tubos, definiu-se um diâmetro equivalente do lado do casco (d_e), tomado-se o raio hidráulico ao longo do eixo longitudinal dos tubos. Assim, uma cor-

relação é obtida e o diâmetro equivalente definido como 4 vezes o raio hidráulico:

$$d_e = 4 \left(\frac{\text{área livre}}{\text{perímetro molhado}} \right)$$

Então, para o arranjo quadrado de tubos:

$$d_e = \frac{4 \left(p^2 - \frac{\pi d_2^2}{4} \right)}{\pi d_2} \text{ (pol)} \quad (2.7)$$

e, para o arranjo triangular de tubos:

$$d_e = \frac{4 \left(0,43 p^2 - \frac{\pi d_2^2}{8} \right)}{\frac{1}{2} \pi d_2} \text{ (pol)} \quad (2.8)$$

onde,

d_2 = diâmetro externo dos tubos (pol).

A referência (2.2) cita que, para o diâmetro equivalente não é feita a distinção entre o arranjo quadrado e o arranjo quadrado rotacionado de tubos, podendo então ser usada a equação (2.8) para a determinação do diâmetro equivalente para o arranjo quadrado rotacionado de tubos.

2.1.6 - Fator de troca de calor para o lado do casco

A correlação obtida para o escoamento dentro de tubos não é aplicável para o escoamento através do feixe de tubos com chanas segmentares, conforme se verifica experimentalmente. Contudo, no estabelecimento do método de correlação para o casco, a forma do fator de troca de calor (j) para o lado dos tubos foi retida:

$$j_t = \frac{h_i D_i}{K_t} \left(\frac{C_t \mu_t}{K_t} \right)^{-\frac{1}{3}} \left(\frac{\mu_t}{\mu_{Te}} \right)^{-0,14}, \quad (2.9)$$

sendo usados os valores do diâmetro equivalente e do fluxo de massa para o escoamento do lado do casco, ficando:

$$j_s = \frac{h_o D_e}{K_s} \left(\frac{C_s \mu_s}{K_s} \right)^{-\frac{1}{3}} \left(\frac{\mu_s}{\mu_{Te}} \right)^{-0,14} \quad (2.10)$$

onde o número de REYNOLDS para o escoamento do lado do casco é definido por:

$$Re_s = \frac{D_e G_s}{\mu_s} \quad (2.11)$$

K_s = condutividade térmica do fluido do lado do casco (BTU/hp \cdot F)

C_s = calor específico do fluido do lado do casco (BTU/lbm $^{\circ}$ F)

μ_s = viscosidade do fluido do lado do casco (lbm/hp \cdot s)

μ_{Te} = viscosidade do fluido do lado do casco à temperatura externa da parede do tubo (T_e) (lbm/hp \cdot s)

A Figura 2.1 mostra a correlação de dados obtidos na indústria, com resultados satisfatórios para hidrocarbonetos, com postos orgânicos, água, soluções aquosas e gases, válida quando o feixe de tubos contém chicanas, e os espaçamentos entre os tubos e as chicanas e entre o casco e as chicanas são os recomendados pela TEMA.

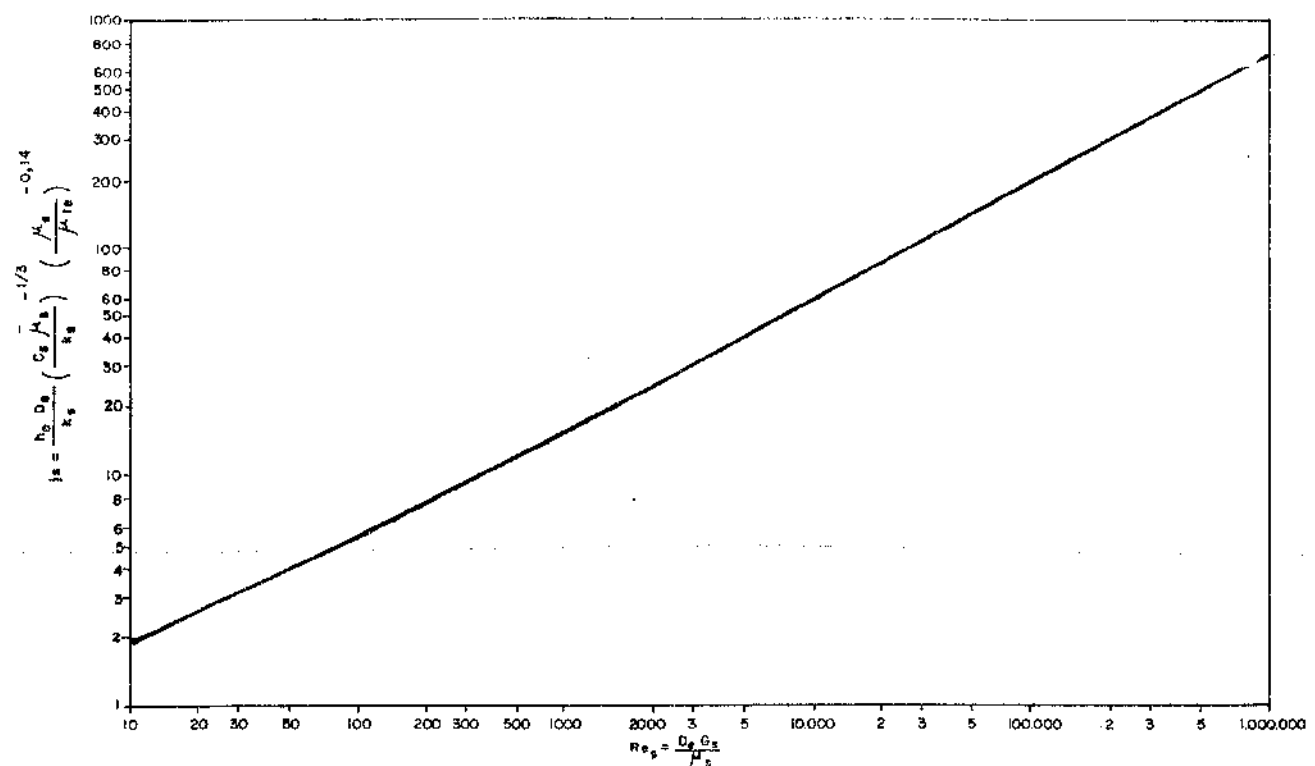


FIGURA 2.1 - FATOR DE TROCA DE CALOR PARA
O LADO DO CASCO, PARA FEIXES COM CHICANAS
SEGMENTARES, COM CORTEs DE 25% (2.1)

2.1.7 - Temperatura da parede do tubo

A temperatura da parede do tubo pode ser calculada a partir das temperaturas calóricas, se os coeficientes de película h_o e h_i são conhecidos. Analisando a Figura 2.2 e desprezando a diferença entre as temperaturas interna (T_i) e externa (T_e) da parede do tubo, KERN considera que a parede inteira está com a mesma temperatura T_e da superfície externa.

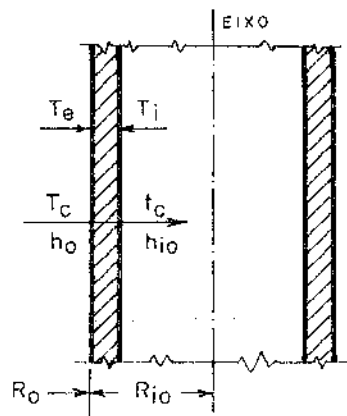


FIGURA 2.2 - CORTE TRANSVERSAL DE UM TUBO, PARA A DEDUÇÃO DA TEMPERATURA DA PARDE DO TUBO, CONSIDERANDO O TUBO LIMPO^(2.1)

Se a temperatura calórica do lado externo é T_c e a temperatura calórica do lado interno é t_c , e:

$$h_{io} = \frac{1}{R_{io}} = h_i \frac{A_i}{A} = h_i \frac{d_i}{d_2}$$

então,

$$Q = \frac{\Delta t}{\Sigma R} = \frac{T_c - t_c}{R_o + R_{io}} = \frac{T_e - t_c}{R_{io}}$$

O sub-índice "io" refere-se à relação entre a superfície interna e a superfície externa do tubo (A_i/A).

Substituindo as resistências pelos coeficientes de troca de calor correspondentes:

$$\frac{T_c - t_c}{\frac{1}{h_o} + \frac{1}{h_{io}}} = \frac{T_c - t_c}{\frac{1}{h_{io}}}$$

Dai resulta para o fluido frio dentro dos tubos:

$$T_e = t_c + \frac{h_o}{h_{io} + h_o} (T_c - t_c) \quad (2.12a)$$

ou,

$$T_e = T_c - \frac{h_{io}}{h_{io} + h_o} (T_c - t_c) \quad (2.12b)$$

Para o fluido quente dentro dos tubos:

$$T_e = t_c + \frac{h_{io}}{h_{io} + h_o} (T_c - t_c) \quad (2.13a)$$

ou,

$$T_e = T_c - \frac{h_{io}}{h_{io} + h_o} (T_c - t_c) \quad (2.13b)$$

2.1.8 - Correção do efeito da variação de viscosidade

Para fluidos não viscosos, o desvio do fluxo isotérmico durante o aquecimento ou resfriamento não introduz um erro a preciável no cálculo do coeficiente de película e o fator de correção é:

$$\phi = \left(\frac{\mu}{\mu_{T_c}} \right)^{0,14} = 1,0.$$

Quando a temperatura da parede do tubo difere muito da temperatura calórica do fluido de controle e este é viscoso, então o valor real de

$$\phi = \left(\frac{\mu}{\mu_{Te}} \right)^{0,14} \quad \text{deve ser considerado.}$$

Para incluir a correção por ϕ , a temperatura da parede deve ser determinada pelas equações (2.12) ou (2.13), tomando-se os valores não corrigidos $\frac{h_o}{\phi_s}$ e $\frac{h_{io}}{\phi_t}$, corrigidos posteriormente pela multiplicação por ϕ_s e ϕ_t , respectivamente. Os coeficientes de película corrigidos quando $\phi \neq 1,0$ são:

$$h_o = \left(\frac{h_o}{\phi_s} \right) \phi_s \quad (2.14)$$

$$h_{io} = \left(\frac{h_{io}}{\phi_t} \right) \phi_t \quad (2.15)$$

Para a determinação da temperatura da parede do tubo, bem como do valor corrigido do coeficiente de troca de calor para o lado do casco, deve-se determinar o valor do coeficiente de película do lado dos tubos (h_i). O fator de troca de calor para o lado dos tubos foi definido na equação (2.9) e é discutido no Capítulo 6 da referência (2.1).

2.1.9 - Perda de carga para o escoamento do lado do casco

A perda de carga para o lado do casco é proporcional ao número de vezes que o fluido cruza o feixe de tubos entre sucessivas chicanas. É também proporcional à distância do escoamento cruzado através do feixe.

Usando uma modificação da equação de FANNING:

$$\Delta P = 4f \frac{L_1}{D_2} \frac{G_t^2}{2\rho_t},$$

KERN obteve uma correlação para a perda de carga, tomando a distância percorrida pelo escoamento através do feixe como o diâmetro do casco em pés (D_1), multiplicado pelo número de vezes em que o feixe é cruzado (N_{cruza}).

Se L_1 é o comprimento do tubo em pé, N_{cruza} é definido como:

$$N_{cruza} = N_{chi} + 1 = \frac{\text{comprimento dos tubos(pé)}}{\text{espaçamento entre chicanas(poí)}} \quad (2.16)$$

onde:

N_{chi} = número de chicanas

Daí,

$$N_{cruza} = \frac{12L_1}{\ell_3}$$

O diâmetro equivalente para o cálculo da perda de carga no lado do casco é o mesmo adotado para o cálculo do coeficiente de película do lado do casco.

O atrito adicional do escoamento na parede do casco é desprezado.

A equação isotérmica para a perda de carga do escoamento do lado do casco, sendo o fluido aquecido ou resfriado, é dada por:

$$\Delta P_{ST} = \frac{f_s G_s^2 D_1 N_{cruza}}{2 \rho_s D_e \phi_s} \quad (\text{lbf/pé}^2) \quad (2.17)$$

que inclue as perdas na entrada e saída do fluido no casco, onde:

f_s = fator de atrito para o escoamento no casco.

Para se obter a perda de carga dada pela equação (2.17) em lbf/poí^2 , o fator de atrito f_s traçado na Figura 2.3, tem as dimensões $\text{pé}^2/\text{poí}^2$.

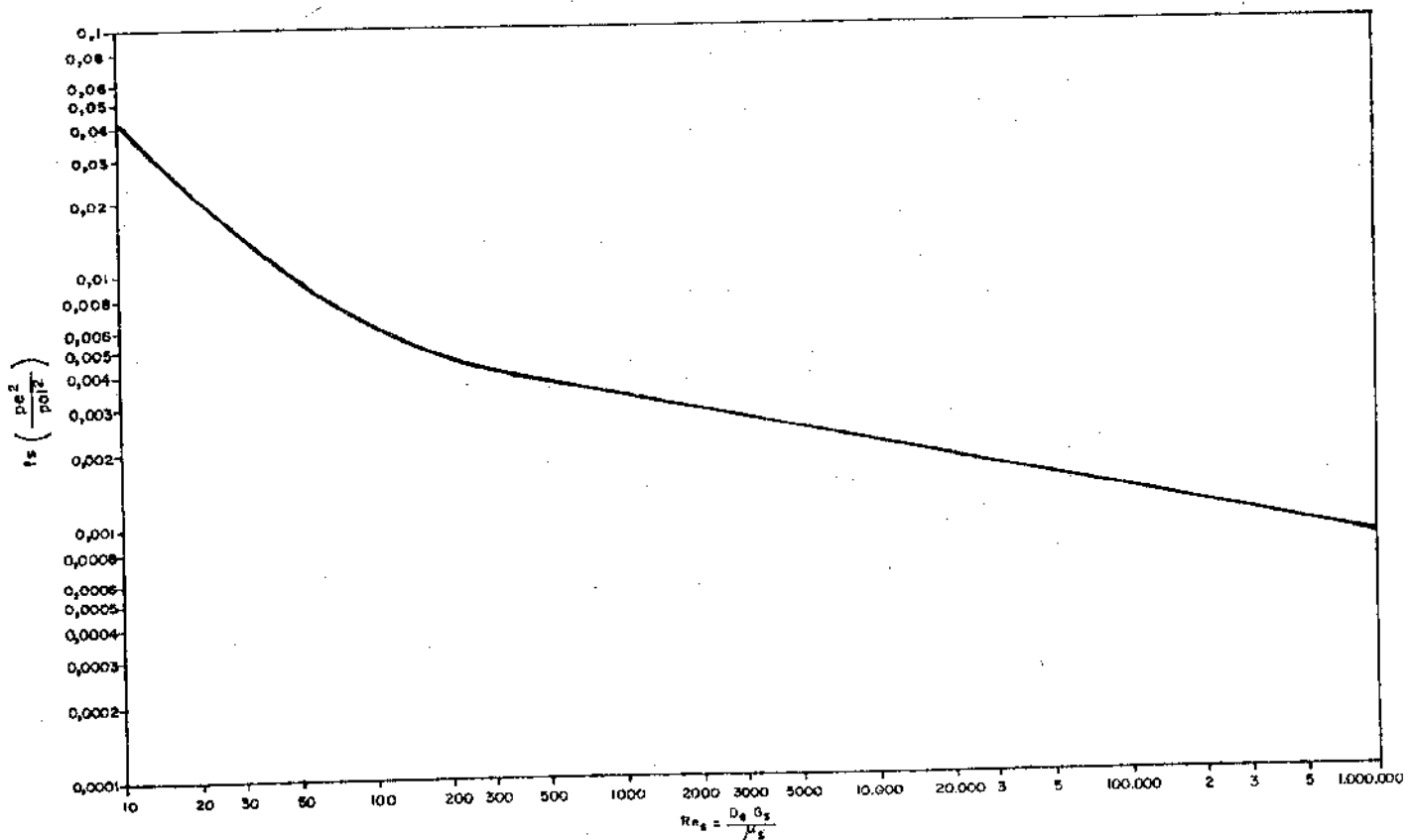


FIGURA 2.3 - FATOR DE ATRITO DO LADO DO CASCO, PARA FEIXE COM CHICANAS SEGMENTADAS COM CORTES DE 25%^(2.1).

No Anexo A.1 é dada uma sequência de cálculo para a determinação do coeficiente de película e perda de carga do lado dos tubos e do lado do casco, através do método de KERN.

2.2 - MÉTODO DE TINKER

O método de TINKER^(2.5) para o cálculo do coeficiente de película e perda de carga do lado do casco é baseado numa análise esquemática do escoamento do lado do casco. TINKER admitiu que a corrente total é dividida em correntes parciais, considerando como efetiva para troca térmica a corrente que atravessa o fluxo cruzado, a qual é tomada como base para os cálculos.

A corrente do fluxo cruzado é definida como indo de centro a centro das janelas das chicanas adjacentes, limitada pelo feixe de tubos. As correntes parciais são identificadas na Figura 2.4 abaixo:

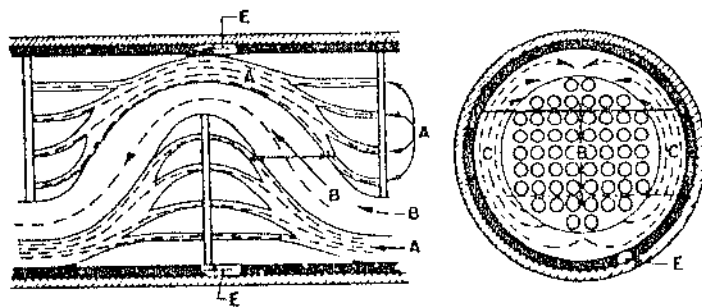


FIGURA 2.4 - DIAGRAMA ESQUEMÁTICO DAS CORRENTES DO LADO DO CASCO NO TROCADOR CASCO E TUBO COM CHICANAS^(2.5)

Corrente A - corrente de vazamento no espaço entre a chiquana e os tubos;

Corrente B - corrente do fluxo cruzado;

Corrente C - corrente de desvio pelo espaço entre o limite mais externo do feixe de tubos e o casco;

Corrente E - corrente de vazamento pelo espaço entre a chiquana e o casco.

As equações desenvolvidas baseiam-se em dados experimentais com bancos de tubos ideais (cuja definição está no Capítulo 1) e trocadores de calor comerciais casco e tubo.

O autor recomenda a aplicação dos dados e correlações do fluxo cruzado puro para o dimensionamento das unidades comerciais, feitas as modificações necessárias. As expressões para o coeficiente de película e perda de carga são escritas num formato simples, baseadas em certas considerações primárias, relacionadas com: distribuição do escoamento, trajeto do escoamento cruzado,

escoamento pela janela da chicana, corte da chicana, coeficiente de troca de calor e perda de carga no escoamento cruzado e pela janela da chicana.

2.2.1 - Distribuição do escoamento para efeito de cálculo da troca de calor no lado do casco

As vazões relativas das correntes de fluido através dos vários caminhos no lado do casco, definidas na Figura 2.4, se aplicam a unidades completamente limpas; assim sendo, a distribuição do fluxo é governada pelas dimensões e espaços do projeto original. Para definir a distribuição do escoamento, as resistências a essas correntes parciais têm de ser estabelecidas. Entretanto, tais resistências são funções das ainda desconhecidas vazões parciais, resultando num sistema de cálculo por tentativas. Como nessa forma reiterativa o método não seria prático, TINKER lançou mão de um número de suposições, relacionadas na Tabela A.2 do Anexo A.2.2, a partir das quais os valores das resistências podem ser consideradas independentes das vazões.

As expressões para as vazões relativas das correntes A, B, C e E (Figura 2.4) foram desenvolvidas por TINKER quando da dedução da equação para a área efetiva do fluxo cruzado no feixe de tubos^(2.6). Os passos da dedução foram os seguintes:

- 1 - cálculo das áreas de fluxo para as correntes, baseado nas dimensões reais do trocador de calor;
- 2 - estabelecimento das pressões diferenciais impostas pelas correntes, bem como das resistências ao escoamento;
- 3 - determinação das velocidades relativas das correntes a partir das pressões diferenciais e resistências ao escoamento;
- 4 - com as velocidades relativas e as áreas de fluxo, determinação das vazões de fluido para cada corrente.

As equações das vazões obtidas para os arranjos de tubos triangular, quadrado e quadrado rotacionado são apresentadas na Tabela A.2 do Anexo A.2.2^(2.6), Parte I).

A fração (F_h) da vazão total que atravessa a área de fluxo cruzado (A_x), para efeito de cálculo da troca de calor é determinada considerando o efeito da resistência hidráulica e das dimensões nas várias correntes pelo casco do trocador. A fórmula para o F_h é expressa em termos das dimensões básicas e espaçamentos do lado do casco; ela é dada por:

$$F_h = \frac{Q_{BR}}{Q_{BR} + Q_{CR} + Q_{AR} + Q_{ER}} \quad (2.18)$$

onde Q_{AR} , Q_{BR} , Q_{CR} e Q_{ER} são as vazões correspondentes às correntes no casco. Dividindo por Q_{BR} vem:

$$F_h = \frac{1}{1 + \frac{Q_{CR}}{Q_{BR}} + \frac{Q_{CR}}{Q_{BR}} + \frac{Q_{ER}}{Q_{BR}}}$$

$$\text{Fazendo } F_h = \frac{1}{1 + \left(\frac{d_1}{p}\right)^{1/2} \left[\frac{Q_{CR}}{Q_{BR}} \left(\frac{p}{d_1}\right)^{1/2} + \frac{Q_{AR}}{Q_{BR}} \left(\frac{p}{d_1}\right)^{1/2} + \frac{Q_{ER}}{Q_{BR}} \left(\frac{p}{d_1}\right)^{1/2} \right]} \quad (2.19)$$

pode-se definir:

$$F_h = \frac{1}{1 + N_h \left(\frac{d_1}{p}\right)^{1/2}} \quad (2.20)$$

onde N_h é um número estimativo para efeito de cálculo do coeficiente de película.

De (2.19) e (2.20) tira-se

$$N_h = \frac{Q_{CR}}{Q_{BR}} \left(\frac{p}{d_1}\right)^{1/2} + \frac{Q_{AR}}{Q_{BR}} \left(\frac{p}{d_1}\right)^{1/2} + \frac{Q_{ER}}{Q_{BR}} \left(\frac{p}{d_1}\right)^{1/2} \quad (2.21)$$

A dedução de N_h para os arranjos de tubos triangular, quadrado e quadrado rotacionado é apresentada no Anexo A.2.2; as equações resultantes são as seguintes:

- para o arranjo triangular de tubos:

$$N_h = \frac{1,26 (c_{14}-1)^{3/2}}{c_{14}^{1/2}} \left(\frac{p}{p-d_2} \right)^{3/2} + 0,82 \frac{c_3 c_{15}}{c_{14}^{3/2}} \left(\frac{d_1}{\ell_3} \right) \left(\frac{d_2}{p} \right)^2 \left(\frac{p}{p-d_2} \right) +$$

$$+ 1,48 c_{16} c_{14}^{1/2} \left(\frac{d_1}{\ell_3} \right) \left(\frac{p}{p-d_2} \right) \left(1 - \frac{\ell_c}{d_1} \right) \quad (2.22)$$

- para o arranjo quadrado de tubos:

$$N_h = 1,26 \frac{(c_{14}-1)^{3/2}}{c_{14}^{1/2}} \left(\frac{p}{p-d_2} \right)^{3/2} + 0,661 \frac{c_3 c_{15}}{c_{14}^{3/2}} \left(\frac{d_1}{\ell_3} \right) \left(\frac{d_2}{p} \right)^2 \left(\frac{p}{p-d_2} \right) +$$

$$+ 1,378 c_{16} c_{14}^{1/2} \left(\frac{d_1}{\ell_3} \right) \left(\frac{p}{p-d_2} \right) \left(1 - \frac{\ell_c}{d_1} \right) \quad (2.23)$$

- para o arranjo quadrado rotacionado de tubos:

$$N_h = 0,9 \frac{(c_{14}-1)^{3/2}}{c_{14}^{1/2}} \left(\frac{p}{p-d_2} \right)^{3/2} + 0,281 \frac{c_3 c_{15}}{c_{14}^{3/2}} \left(\frac{d_1}{\ell_3} \right) \left(\frac{d_2}{p} \right)^2 \left(\frac{p}{p-d_2} \right) +$$

$$+ 1,167 c_{16} c_{14}^{1/2} \left(\frac{d_1}{\ell_3} \right) \left(\frac{p}{p-d_2} \right) \left(1 - \frac{\ell_c}{d_1} \right) \quad (2.24)$$

c_{14} , c_{15} , c_{16} e c_3 são certas proporções geométricas características dos trocadores, definidas como:

$$c_{14} = \frac{d_1}{d_3} \quad (2.25a)$$

$$c_{15} = \frac{d_4 - d_2}{d_2} \quad (2.25b)$$

$$c_{16} = \frac{d_1 - d_{chi}}{d_1} \quad (2.25c)$$

$$c_3 = 1 - c_2 \quad (2.25d)$$

onde:

c_3 = porção do círculo da chicana, excluída a janela;

c_2 = fração cortada do círculo para construir a chicana. Segundo TINKER^(2.6), c_2 é admitida como igual ao corte da chicana.

d_3 = diâmetro do feixe de tubos (pol);

d_4 = diâmetro dos orifícios das chicanas (pol);

d_{chi} = diâmetro das chicanas (pol).

No caso do uso de tiras selantes no trocador, recomenda-se que as expressões que contém c_{14} sejam calculadas com base em um novo c_{14} , dado por:

$$c_{14} = 1 + \left(\frac{c_{14} - 1}{4} \right) + 1,5 c_{16} \quad (2.25e)$$

2.2.2 - Espaçamentos e cortes de chicanas

Foram recomendados cortes de chicanas (ℓ_c/d_1) corres-

pondentes aos espaçamentos entre as chicanas (d_1/ℓ_3) de tal modo que, a razão entre a área da janela da chicana e a área do fluxo cruzado seja tão constante quanto possível. Assim, cada espaçamento tem um único corte padrão podendo-se desenvolver uma expressão para M_j para cada razão p/d_2 (de 1,25 a 1,50) e espaçamento entre chicanas, dada por:

$$M_j = (C_{14})^{1/2} m \quad (2.26)$$

com:

$$m = \left(\frac{0,786 c_2 d_1 \alpha}{144 C_a \ell_3} \right)^{1/2} \quad (2.27)$$

$$\alpha = 1 - \frac{0,786}{C} \left(\frac{d_2}{p} \right)^2 \quad (2.28)$$

onde:

α = porção da seção do casco não ocupada por tubos;

ℓ_3 = espaçamento entre chicanas (pol);

C_a = constante para cálculo da área do fluxo cruzado;

C = fator geométrico para o trocador.

C_a e C são definidos para os arranjos de tubos triangular, quadrado e quadrado rotacionado,

C_a :

$$\text{arranjo triangular} : C_a = \frac{1}{144} c_4 \left(\frac{p-d_2}{p} \right) \quad (2.29a)$$

$$\text{arranjo quadrado} : C_a = \frac{1}{144} c_4 \left(\frac{p-d_2}{p} \right) \quad (2.29b)$$

$$\text{arranjo quadrado rotacionado} : C_a = \frac{1,414}{144} c_4 \left(\frac{p-d_2}{p} \right) \quad (2.29c)$$

com o valor de $C_4 = 0,97$ (Tabela A.1, Anexo A.2.2).

C:

- . arranjo triangular : $C = 0,866$
- . arranjo quadrado : $C = 1,0$
- . arranjo quadrado rotacionado : $C = 0,9999$

2.2.3 - Fluxo através da janela da chicana

A vazão através da janela da chicana é admitida como sendo a mesma que cruza o feixe de tubos. Acredita-se que a imprecisão introduzida por essa suposição é pequena relativamente a possíveis erros existentes no estabelecimento dos vários fatores de resistência que determinam a distribuição do escoamento através dos vários caminhos no trocador.

2.2.4 - Coeficiente de película do lado do casco

O efeito do fluxo através da janela da chicana no ficiente de película é levado em conta, considerando que o coeficiente de película na região da janela varia com a potência 0,6 da média geométrica das velocidades do escoamento pela janela e cruzado, e que o coeficiente de película do escoamento cruzado varia também com a potência 0,6 da velocidade do fluido neste escoamento. O coeficiente de película do lado do casco (h_o), é tomado como proporcional a:

$$\frac{1}{(MA_x)^{0,6}} = \frac{S_{sj}}{(MjA_x)^{0,6}} + \frac{1-S_{sj}}{(A_x)^{0,6}}$$

de onde resulta uma expressão para M, definido como o multiplicador de A_x para o cálculo do número de REYNOLDS usado para efeito do cálculo da troca de calor no casco.

$$M = \left[\frac{1}{1 + S_{sj} \left(\frac{1}{M_j} - 1 \right)} \right]^{1/67} \quad (2.30)$$

onde:

S_{sj} = fração da superfície de troca de calor em duas janelas de chicanas, dada por:

$$S_{sj} = 0,7 \frac{\ell_3}{d_1} \quad (2.31)$$

O número de REYNOLDS para a troca de calor é definido como:

$$Re_h = \frac{d_2 F_h W_s}{29 \mu_s M A_x} \quad (2.32)$$

onde:

d_2 = diâmetro externo dos tubos (pol);

W_s = vazão em massa do fluido do casco (lbm/h);

μ_s = viscosidade do fluido do casco (centipoises);

A_x = área do fluxo cruzado limitado pelo feixe de tubos, dada por:

$$A_x = C_a \ell_3 d_3 \quad (\text{pé}^2) \quad (2.33)$$

Com base nessa discussão, o fator de transferência de calor para o escoamento através do casco (B_o) é definido por:

$$B_o = \frac{h_{ob} d_2}{16,1 K_s} \left(\frac{C_s \mu_s}{K_s} \right)^{1/3} \phi_s^{-1} \quad (2.34)$$

onde:

ϕ_s = fator de correção para a variação da viscosidade, dado por:

$$\phi_s = \left(\frac{\mu_s}{\mu_{Te}} \right)^{0,14} \quad (2.35)$$

μ_{Te} = viscosidade do fluido à temperatura da superfície externa da parede do tubo (T_e);

$\frac{C_s \mu_s}{K_s}$ = número de PRANDTL;

K_s

h_{ob} = coeficiente de película para o escoamento através do feixe de tubos entre as chicanas extremas no trocador (BTU/hp 2 °F).

As curvas de B_o , apresentadas nas Figuras 2.5, 2.6 e 2.7, foram calculadas através da equação (2.34), usando os dados dos coeficientes de troca de calor obtidos em testes com bancos de tubos e trocadores de calor comerciais. As curvas são traçadas em função do número de REYNOLDS para troca de calor (Re_h), para p/d_2 igual a 1,25 e 1,50, e para os arranjos de tubos triangular, quadrado e quadrado rotacionado, respectivamente.

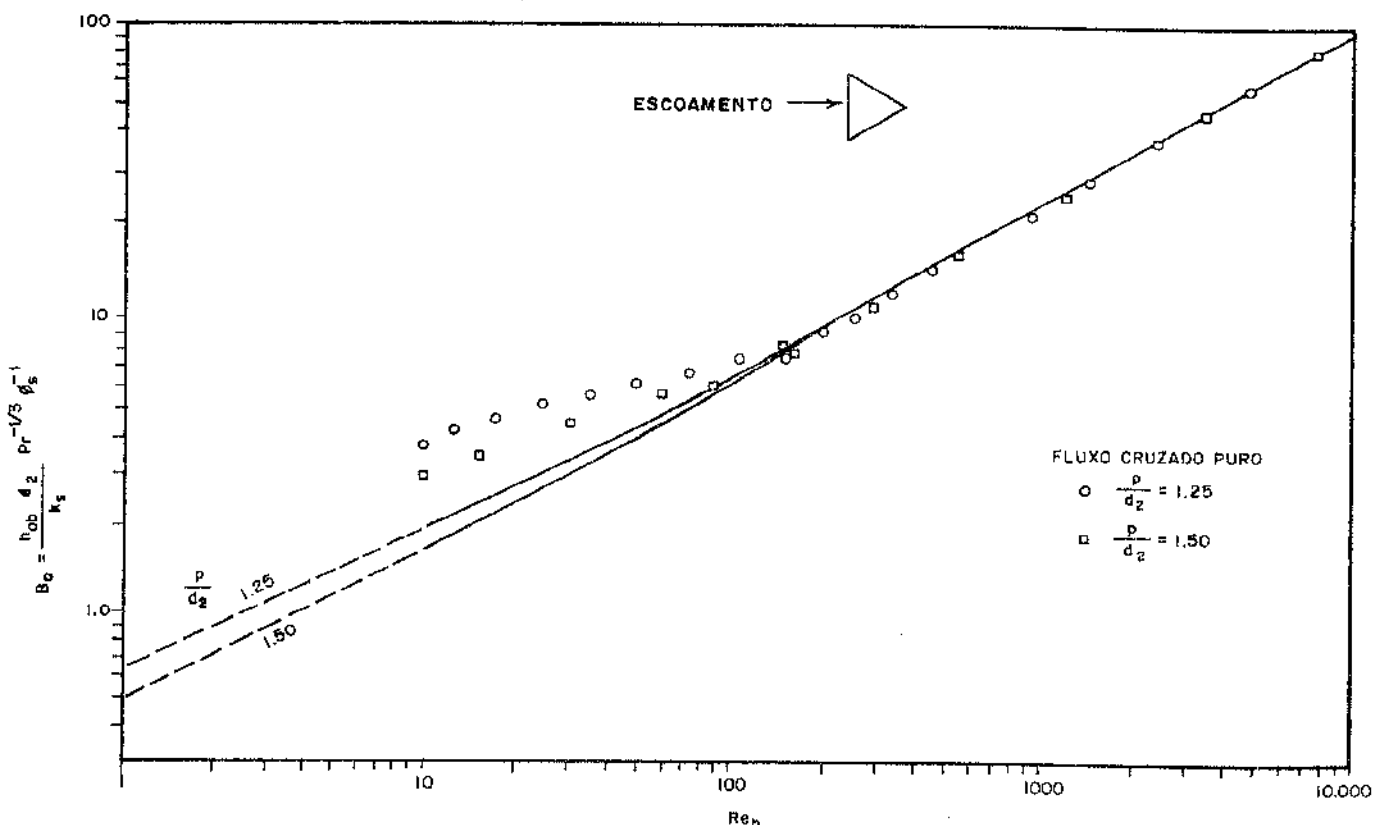


FIGURA 2.5 - FATOR DE TROCA DE CALOR PARA O LADO DO CASCO. ARRANJO TRIANGULAR DE TUBOS^(2.5)

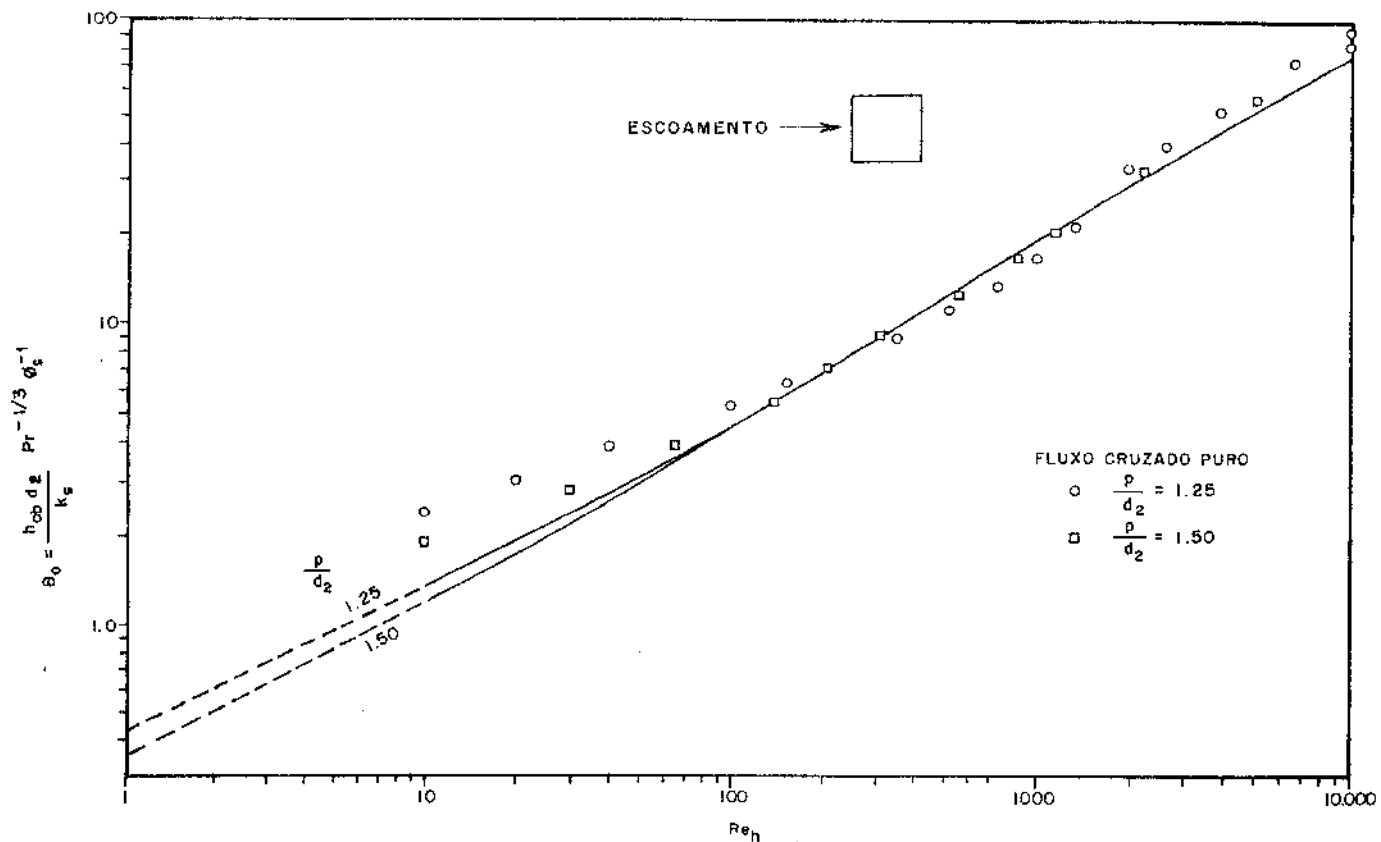


FIGURA 2.6 - FATOR DE TROCA DE CALOR PARA O LADO DO CASCO. ARRANJO QUADRADO DE TUBOS^(2.5).

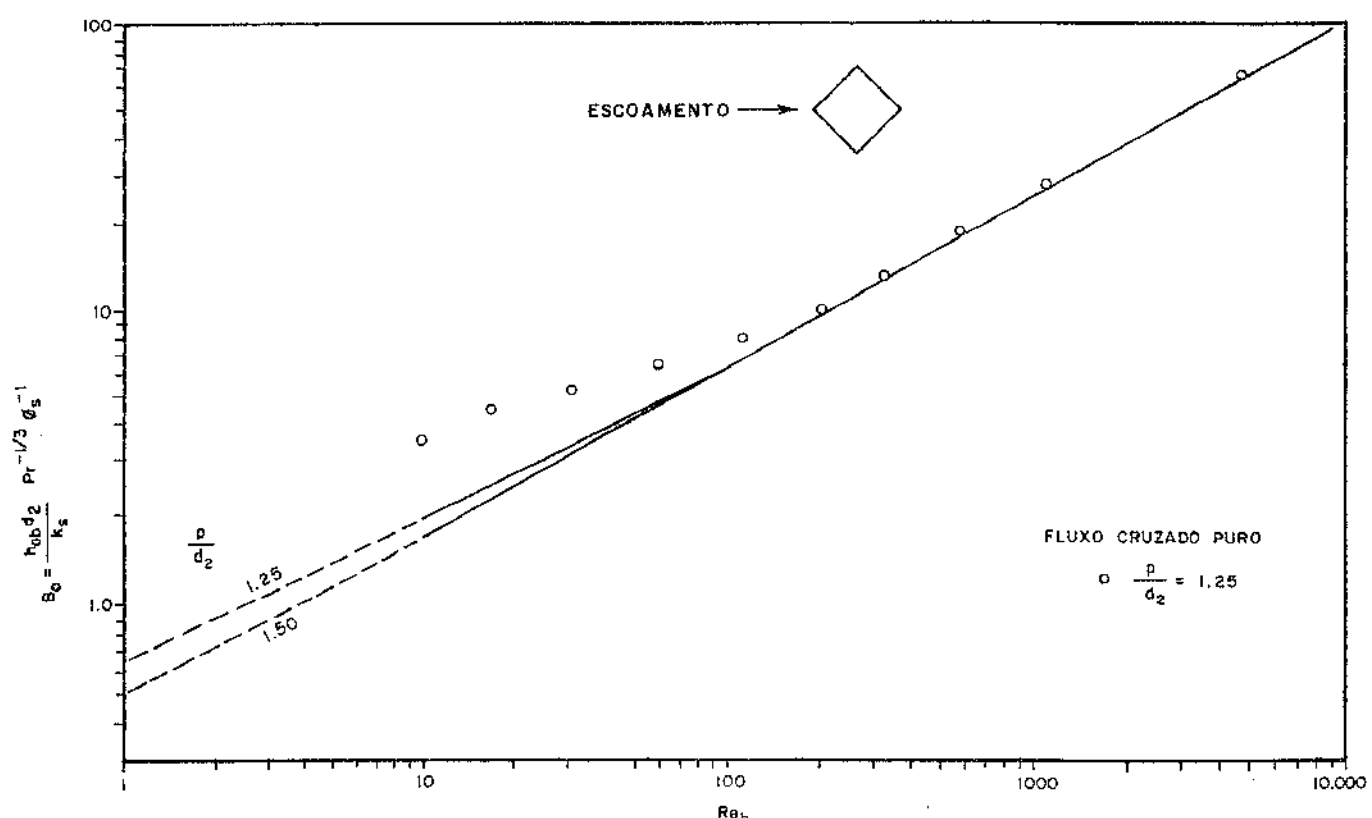


FIGURA 2.7 - FATOR DE TROCA DE CALOR PARA O LADO DO CASCO. ARRANJO QUADRADO ROTACIONADO DE TUBOS^(2.5).

Da equação (2.34) vem:

$$h_{ob} = \frac{16,1}{d_2} B_o K_s \left(\frac{C_s \mu_s}{K_s} \right)^{1/4} \phi_s \quad (\text{BTU/h pé}^{20}\text{F}) \quad (2.36)$$

Nos trocadores cujos espaçamentos entre os espelhos e as chicanas extremas são maiores do que o espaçamento entre as chicanas internas, o escoamento nessas regiões é menos efetivo do que o escoamento entre as chicanas do ponto de vista da troca de calor. Este efeito no coeficiente de troca de calor pode ser compensado supondo-se que o fluxo de massa nessa região é inversamente proporcional ao espaçamento e que o coeficiente de película é proporcional à potência 0,6 do fluxo de massa. Para isso, TINKER definiu uma efetividade do lado do casco (E_s):

$$E_s = \frac{\ell_2 + (\ell_1 - \ell_2) \left(\frac{2\ell_3}{\ell_1 - \ell_2} \right)^{0,6}}{\ell_1} \quad (2.37)$$

onde:

ℓ_1 = comprimento dos tubos entre os espelhos de tubos (pol);

ℓ_2 = comprimento dos tubos entre as chicanas extremas;

$$\ell_2 = \ell_3 (N_{chi} - 1) \quad (\text{pol}) \quad (2.38)$$

N_{chi} = número de chicanas;

ℓ_3 = espaçamento entre chicanas (pol).

O coeficiente de película do lado do casco é dado então por:

$$h_o = h_{ob} E_s \quad (\text{BTU/h pé}^{20}\text{F}) \quad (2.39)$$

2.2.5 - Distribuição do escoamento para efeito de cálculo da perda de carga no lado do casco

Para o trocador considerado limpo, a distribuição do escoamento segue as mesmas premissas de distribuição de fluxo válidas para o cálculo do coeficiente de película. A fração (F_p) da vazão total que atravessa a área do fluxo cruzado (A_x) é dada por:

$$F_p = F_h = \frac{1}{1 + N_p \left(\frac{d_1}{P} \right)^{1/2}}$$

onde $N_p = N_h$.

Para o trocador considerado sujo os depósitos alteraram a distribuição de fluxo, que já não toma como base as dimensões e espaçamentos do projeto original.

Para a determinação de F_p , pode-se supor que os espaços anulares tubo-chicana estejam completamente fechados com depósitos, reduzindo a zero o escoamento e a área desses espaços.

Da equação (2.18), tem-se

$$F_p = \frac{Q_{BR}}{Q_{BR} + Q_{CR} + Q_{ER}} \quad (2.40)$$

A área que existia para a passagem do fluxo fica reduzida para aproximadamente 80% do valor considerando o trocador limpo. A unidade atua como se a massa do fluido que atravessa o feixe fosse acrescida de

$$\frac{1}{0,80} = 1,25 \text{ vezes o valor de } F_p.$$

Tem-se, então, por analogia com a equação (2.19) fazendo $Q_{AR} = 0$, que:

$$F_p = 1,25 \frac{1}{1 + \left(\frac{d_1}{P} \right)^{1/2} \left[\frac{Q_{CR}}{Q_{BR}} \left(\frac{P}{d_1} \right)^{1/2} + \frac{Q_{ER}}{Q_{BR}} \left(\frac{P}{d_1} \right)^{1/2} \right]} =$$

$$= \frac{1}{0,80 + \left(\frac{d_1}{p}\right)^{1/2} \left[\frac{Q_{CR}}{1,25Q_{BR}} \left(\frac{p}{d_1}\right)^{1/2} + \frac{Q_{ER}}{1,25Q_{BR}} \left(\frac{p}{d_1}\right)^{1/2} \right]} \quad (2.41)$$

Esta expressão pode ser reescrita como:

$$F_p = \frac{1}{0,8 + N_p \left(\frac{d_1}{p}\right)^{1/2}} \quad (2.42)$$

onde:

N_p = número estimativo para efeito de cálculo da perda de carga.

De (2.41) e (2.42) obtém-se:

$$N_p = \frac{Q_{CR}}{1,25Q_{BR}} \left(\frac{p}{d_1}\right)^{1/2} + \frac{Q_{ER}}{1,25Q_{BR}} \left(\frac{p}{d_1}\right)^{1/2} \quad (2.43)$$

A dedução de N_p para os arranjos de tubos triangular, quadrado e quadrado rotacionado é dada no Anexo A.2.2 e as equações resultantes são as seguintes:

arranjo triangular de tubos:

$$N_p = \frac{(c_{14}-1)^{3/2}}{c_{14}^{1/2}} \left(\frac{p}{p-d_2}\right)^{3/2} + 1,18 c_{16} c_{14}^{1/2} \left(\frac{d_1}{\ell_3}\right) \left(\frac{p}{p-d_2}\right) \left(1 - \frac{\ell_c}{d_1}\right) \quad (2.44)$$

arranjo quadrado de tubos:

$$N_p = \frac{(c_{14}-1)^{3/2}}{c_{14}^{1/2}} \left(\frac{p}{p-d_2}\right)^{3/2} + 0,93 c_{16} c_{14}^{1/2} \left(\frac{d_1}{\ell_3}\right) \left(\frac{p}{p-d_2}\right) \left(1 - \frac{\ell_c}{d_1}\right) \quad (2.45)$$

. arranjo quadrado rotacionado de tubos:

$$N_p = 0,72 \frac{(c_{14}-1)^{3/2}}{c_{14}^{1/2}} \left(\frac{p}{p-d_2} \right)^{3/2} + 0,93 c_{16} c_{14} \frac{1/2}{\ell_3} \left(\frac{d_1}{\ell_3} \right) \left(\frac{p}{p-d_2} \right) \left(1 - \frac{\ell_c}{d_1} \right) \quad (2.46)$$

2.2.6 - Perda de carga para o escoamento do lado do casco

O número de REYNOLDS para a perda de carga é definido como:

$$Re_p = \frac{d_2 F_w s}{29 \mu_s A_x} \quad (2.47)$$

A perda de carga para o escoamento cruzado (ΔP_x) foi definida a partir de uma modificação da equação de FANNING^(2.5), e é dada por:

$$\Delta P_x = 0,335 f_x C_x \frac{d_1}{p} \frac{N_{ec}}{\rho_s \phi_s} \left(\frac{F_w s}{10^5 A_x} \right)^2 (\ell_b f / p \cdot l^2) \quad (2.48)$$

onde:

f_x = coeficiente de atrito do escoamento cruzado.

As curvas para f_x são apresentadas nas Figuras 2.8, 2.9 e 2.10, em função do número de REYNOLDS para a perda de carga (Re_p), para as razões p/d_2 de 1,25, 1,30, 1,40 e 1,50, e para os arranjos de tubos triangular, quadrado e quadrado rotacionado. Elas foram obtidas pelo mesmo procedimento usado na determinação das curvas de B_o .

N_{cc} = número de espaços entre chicanas,

$$N_{ec} = N_{chi} + 1 \quad (2.49)$$

C_x = constante para as fileiras dos tubos cruzados no escoamento cruzado. Ela é definida para os arranjos de tubos como segue:

. arranjo triangular:

$$C_x = 1,155 \left(1 - \frac{\ell_c}{d_1} \right) \quad (2.50a)$$

. arranjo quadrado:

$$C_x = 1 - \frac{\ell_c}{d_1} \quad (2.50b)$$

. arranjo quadrado rotacionado:

$$C_x = 1,414 \left(1 - \frac{\ell_c}{d_1} \right) \quad (2.50c)$$

A perda de carga na janela da chicana (ΔP_j) tem como base a perda de altura dinâmica do escoamento através da janela (c_{12}), por chicana, e é dada por:

$$\Delta P_j = 0,084 c_{12} \frac{N_{ec}}{\rho_s \phi_s} \left(\frac{F_j W_s}{10^5 A_j} \right)^2 \quad (\text{lbf/pol}^2) \quad (2.51)$$

onde:

F_j = fração da vazão total que atravessa uma janela de chicana;

A_j = área de uma janela de chicana.

A expressão:

$$\Delta P_s = 0,335 f_x C_x \frac{d_1}{p} \frac{N_{ec}}{\rho_s \phi_s} \left(\frac{F_p W_s}{10^5 A_x} \right)^2 \left[1 + \frac{p}{d_1 C_x} \frac{f_j}{f_x} \frac{A_x}{A_j} \right]^2, \quad (2.52)$$

é resultado da combinação das equações (2.48) e (2.51) e da hipótese de que $F_j = F_p$ e $c_{12} = 4f_j$, onde:

f_j = coeficiente de atrito do escoamento na janela.

TINKER supôs ainda que os coeficientes de atrito variam com $Re_p^{-0,3}$. Tem-se que:

$$f_x \propto \frac{c_8}{4} (Re_p)^{-0,3}$$

$$f_j \propto \frac{c_{12}}{4} (Re_p)^{-0,3}$$

De onde:

$$\frac{f_j}{f_x} = \frac{c_{12}}{c_8} \left(\frac{\Lambda_x}{\Lambda_j} \right)^{-0,3} \quad (2.53)$$

com:

c_8 = perda de altura dinâmica do escoamento através de uma fileira de tubos no arranjo triangular de tubos.

Partindo das equações (2.52) e (2.53), supondo que $c_{12}=2$, $c_8=0,6$ e que a perda de carga na janela varia com a média geométrica das velocidades na janela e no escoamento cruzado, TINKER produziu a expressão para a perda de carga do lado do casco, não incluindo a perda de carga nos bocais do casco:

$$\Delta P_s = 0,335 f_x C_x \frac{d_1}{P} \frac{N_{cc}}{\rho_s \phi_s} \left(\frac{F_w s}{10^5 \Lambda_x} \right)^2 \left(1 + Y \frac{P}{d_1} \right) \quad (2.54)$$

(lbf/pol²)

onde:

Y = fator de perda de carga para a janela da chicana, dado por:

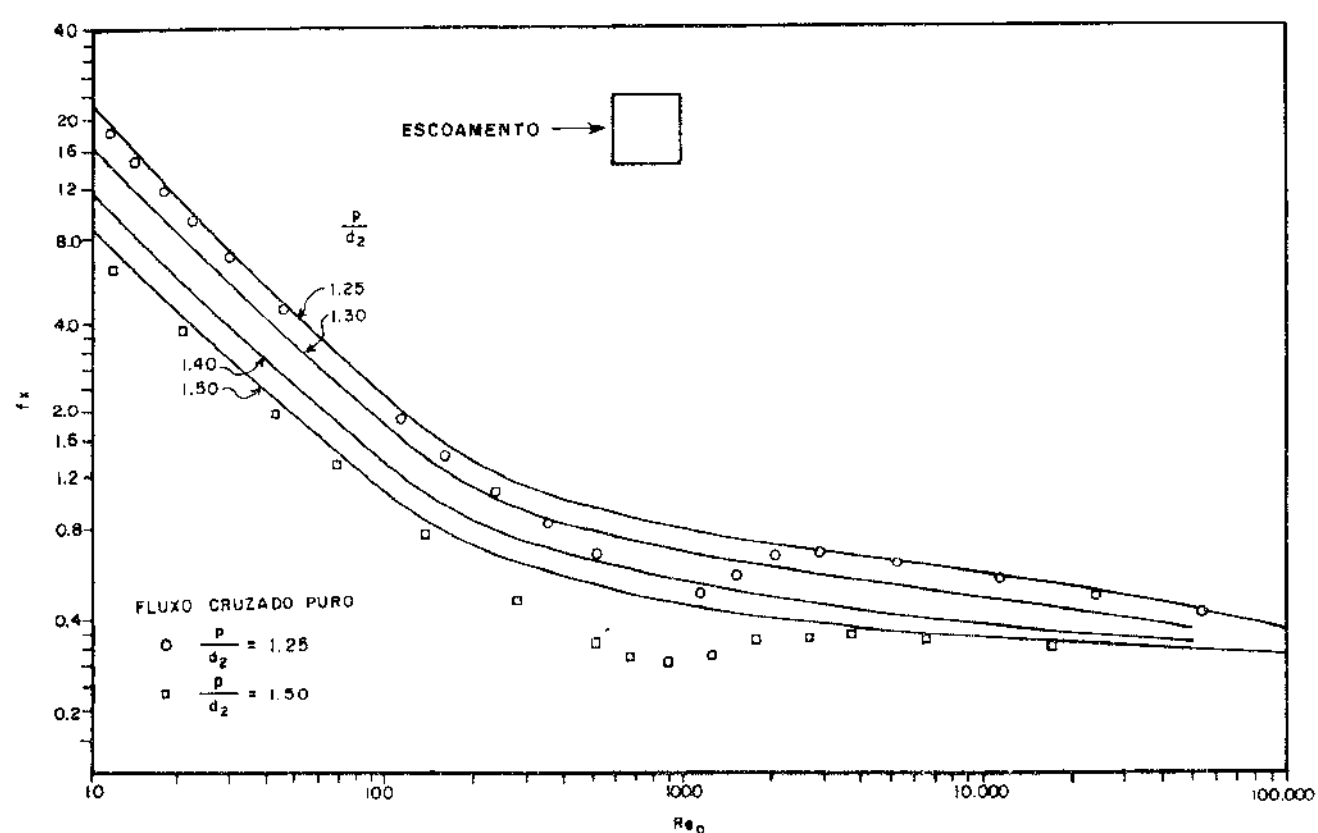
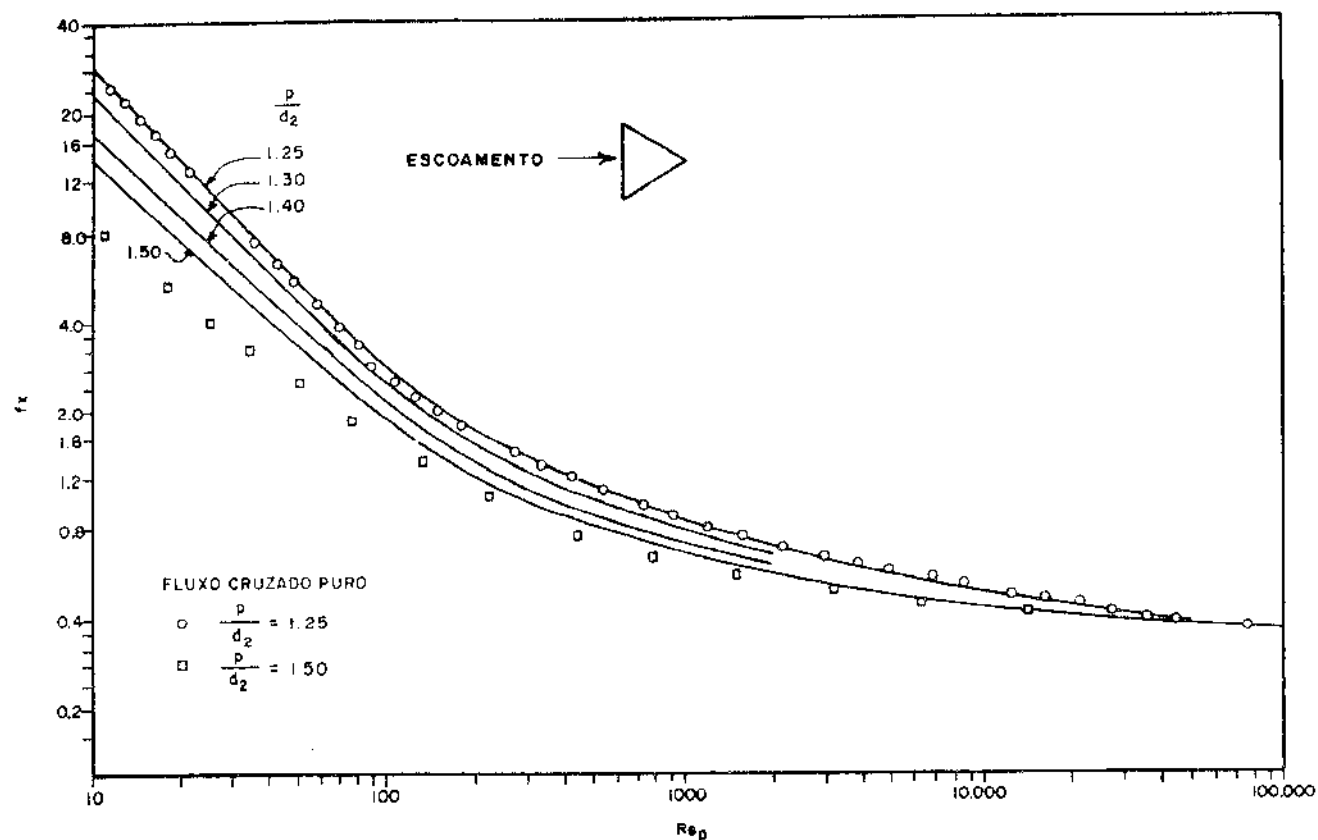
$$Y = \frac{y}{(c_{14})^{0,85}} \quad (2.55)$$

com:

y = fator que considera as proporções da janela da chicana, dado por:

$$y = \frac{4,08}{C_x} \left(\frac{144 C_a \ell_3}{c_2 d_1 \alpha} \right)^{0,85} \quad (2.56)$$

O Anexo A.2.1 contém uma sequência de cálculo para determinação do coeficiente de troca de calor e perda de carga do lado do casco, através do método de TINKER.



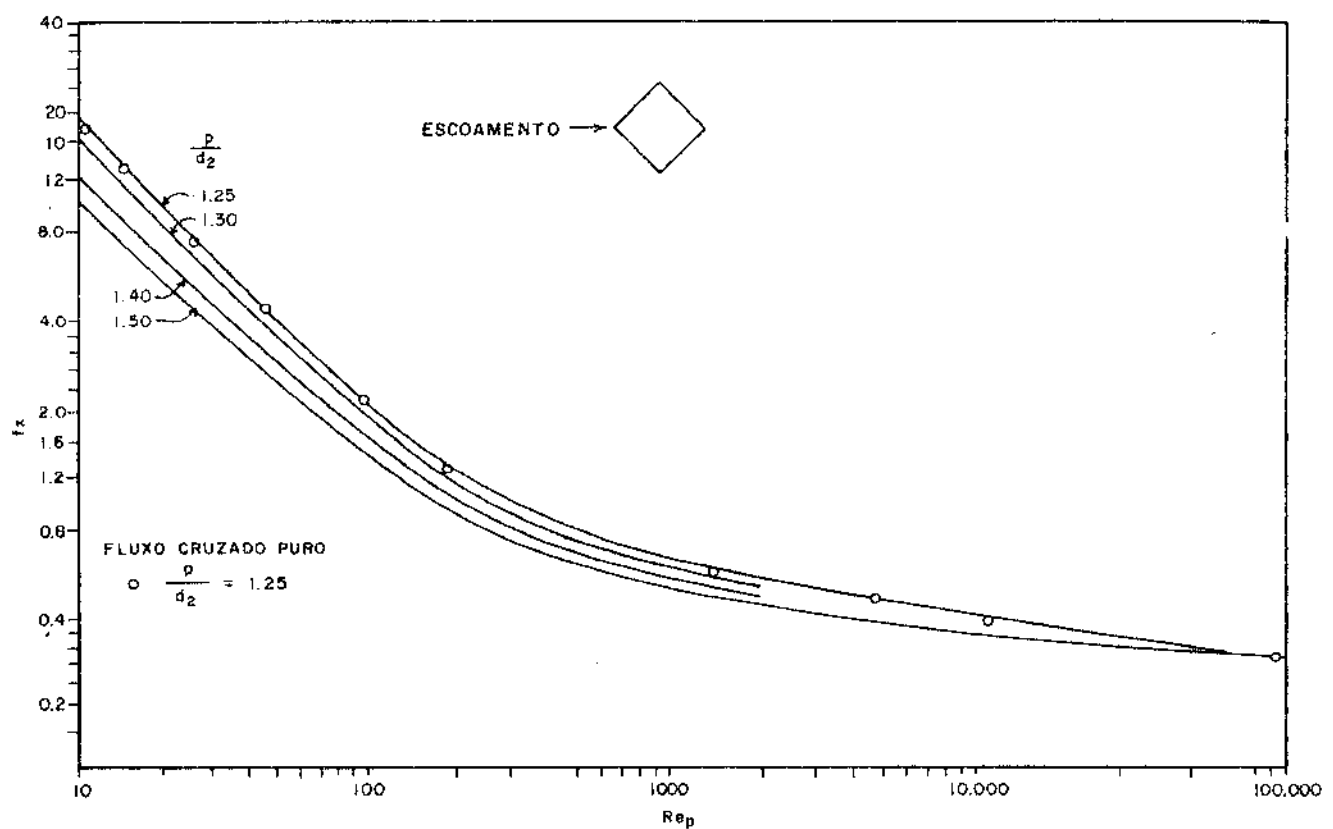


FIGURA 2.10 - COEFICIENTE DE ATRITO NO ESCOAMENTO CRUZADO PARA O CÁLCULO DA PERDA DE CARGA. ARRANJO QUADRADO ROTACIONADO DE TUBOS^(2.5).

2.3 - MÉTODO DE BELL

O método de BELL para o cálculo do coeficiente de película e perda de carga para o escoamento do lado do casco^(2.7) é baseado em dados experimentais sobre o comportamento termo-hidráulico de trocadores de calor comerciais, obtidos em duas etapas. Na primeira, foi feito um estudo da dinâmica do fluido e das características de troca de calor em bancos de tubos ideais. Na segunda, partindo dos dados do comportamento ideal, foram estudados os efeitos da introdução de algumas alterações mecânicas no banco de tubo ideal, tornando-o similar aos feixes encontrados em trocadores de calor comerciais.

Para isso os bancos de tubos estudados foram divididos em três classes:

1^a - feixe de tubos ideal;

2^a - feixe de tubos uniforme com arranjo geométrico regular e com folga permitida entre a fileira de tubos mais externa do feixe e a parede do banco;

3^a - feixe de tubos conforme trocadores casco e tubo comerciais, com folgas que causam desvios e vazamentos do escoamento.

2.3.1 - Fluxo através de bancos de tubos

O uso do fluxo de massa (G_m) através da área da seção transversal mínima de fluxo no banco de tubos é praticamente universal nos estudos dos bancos de tubos. Assim o número de REYNOLDS usado foi definido como:

$$Re = \frac{D_2 G_m}{\mu_b} \quad (2.55)$$

onde pode-se observar o uso do diâmetro externo dos tubos no lugar do diâmetro equivalente como dimensão característica.

Várias definições foram propostas para o coeficiente de atrito nos bancos de tubos, sendo adotada a definição seguinte:

$$f_x = \frac{2 \Delta P_b \rho_b}{4 G_m^2 N_r} \left(\frac{\mu_b}{\mu_{Te}} \right)^m \quad (2.56)$$

onde:

ΔP_b = perda de carga para o escoamento cruzado através do feixe de tubos ideal.

N_r = número de fileiras de tubos atravessadas no escoamento cruzado, dado por^(2.8):

$$N_r = \frac{d_1 - 2 \ell_c}{p_p} \quad (2.57)$$

com :

ℓ_c = corte da chicana em polegada:

$$\ell_c = c_{chi} d_1 \quad (2.58)$$

p_p = distância entre centros de tubos adjacentes paralela ao escoamento, definida para os arranjos de tubos usuais:

. arranjo triangular: $p_p = 0,866p$ (2.59a)

. arranjo quadrado: $p_p = p$ (2.59b)

. arranjo quadrado rotacionado: $p_p = 0,707p$ (2.59c)

$\left(\frac{\mu_b}{\mu_{Te}} \right)^m = \phi$ = gradiente de viscosidade para correção dos efeitos não isotérmicos definido por SIEDER e TATE.

Vários estudos foram realizados para corrigir o efeito das condições não isotérmicas e valores experimentais d

$\frac{\mu_{Te}}{\mu_b}$ de 0,05 a 4,4 foram obtidos. Para a maioria dos casos, foi encontrado que o valor de 0,14 para o expoente m é satisfatório para a faixa completa do número de REYNOLDS^(2.9). BELL menciona que HULL^(2.10) recomenda o uso de $(\frac{\mu_{Te}}{\mu_b})^m$ para a correção dos efeitos não isotérmicos em f_x , para o regime de escoamento laminar onde $m=1,57 Re^{-0,25}$ mas, para a maioria das aplicações esse refinamento parece desnecessário.

O fator de COLBURN para a correlação dos dados de troca de calor foi definido como:

$$j_b = \frac{h_b}{C_b G_m} \left(\frac{C_b \mu_b}{K_b} \right)^{2/3} \left(\frac{\mu_{Te}}{\mu_b} \right)^{0,14} \quad (2.60)$$

Para o escoamento através de feixes de tubos os regimes laminar, de transição e turbulento não são bem delimitados como no caso de condutos cilíndricos. Como a área da seção transversal do canal de fluxo não é constante, os termos inerciais da equação de NAVIER-STOKES não são nulos e o início da verdadeira turbulência é mascarado na perda de carga pelos efeitos inerciais. A equação de NAVIER-STOKES indica que para o número de REYNOLDS se aproximando de zero, a perda de carga através do banco de tubos é proporcional à velocidade; em termos de quantidades adimensionais, o coeficiente de atrito é inversamente proporcional ao número de REYNOLDS. Na faixa do número de REYNOLDS em que essa relação persiste o fluxo é chamado de fluxo STOKES, no qual para geometrias de interesse comercial o número de REYNOLDS está limitado entre 20 e 100. Por isso, o regime de fluxo STOKES é frequentemente tomado como sendo o regime laminar.

A divisão dos regimes de escoamento considerada por BELL é:

- Regime laminar: número de REYNOLDS entre 0 e 100.
- Regime de transição: número de REYNOLDS entre 100 e 4000.
- Regime turbulento: número de REYNOLDS acima de 4000.

(a) Feixe de tubos ideal

Como havia poucos dados disponíveis para o regime

laminar, dois estudos foram realizados. O primeiro foi um estudo visual, que somente verificou o que estava na teoria, isto é, com f_x proporcional a Re^{-1} o fluxo padrão preenche completamente o canal de fluxo sem separação, é lateral e longitudinalmente simétrico em torno do eixo de simetria e não varia com o tempo. O segundo foi um estudo quantitativo do atrito do fluido e das características de troca de calor.

No regime laminar foi observada que a dependência de f_x em relação ao número de fileiras de tubos se mostrou desprezível, como esperado, mas que j_b depende do número de fileiras de tubos; j_b é então proporcional a N_r^{-n} com $n=0,18$, verificado através de um número limitado de dados^(2.9).

Para o regime de transição, os fenômenos viscosos e inerciais são significativos, mas uma análise é quase impossível e a extrapolação de dados causa uma certa imprecisão. Entretanto, em bancos de tubos o fluxo em transição se mostrou estável, em contraste com o que ocorre em condutos de seção transversal constante.

Não existe método preciso para o cálculo de f_x e j_b para o banco de tubos no regime de transição, mas isso é contornável considerando que nas curvas para os dois fatores, ele se situa na região de ligação entre o laminar e o turbulento, que são ambos conhecidos.

No regime turbulento, tendo em vista a grande quantidade de dados disponíveis e a existência de correlação adequada, os estudos do projeto Delaware foram feitos mais para confirmação e para verificar a continuidade dos resultados para os números de REYNOLDS mais baixos.

Vários estudos demonstraram que no regime turbulento o efeito das fileiras de tubos é significativo. Esses efeitos são apresentados na Tabela 2.1 para arranjos de tubos não alinhados.

TABELA 2.1 - VARIACAO DE $\frac{h_m}{h_\infty}$ COM N_r , EM ESCOAMENTO TURBULENTO PARA ARRANJOS DE TUBOS NAO ALINHADOS^(2.7).

N_r	1	2	3	4	5	6	7	8
$\frac{h}{h_\infty}$	0,63	0,76	0,93	0,98	0,99	1,0	1,0	1,0
$\frac{h_m}{h_\infty}$	0,63	0,70	0,77	0,83	0,86	0,88	0,90	0,91
N_r	9	10	12	15	18	25	35	72
$\frac{h}{h_\infty}$	1,0	1,0	1,0	1,0	1,0	1,0	1,0	1,0
$\frac{h_m}{h_\infty}$	0,92	0,93	0,94	0,95	0,96	0,97	0,98	0,99

Nesta tabela,

$\frac{h}{h_\infty}$ = razão entre o coeficiente de película em uma dada fileira e o valor para um banco de tubos ideal.

$\frac{h_m}{h_\infty}$ = razão entre o valor médio do coeficiente de película para um banco com um número dado de fileiras de tubos e o valor para um banco de tubos ideal.

Dos estudos para o banco de tubos ideal resultaram as curvas para o coeficiente de atrito (f_x) e para o fator de troca de calor (j_b), mostradas na Figura 2.11^(2.7), para os números de REYNOLDS entre 10 e 10.000, para as razões $p/d_2 = 1,25$ e 1,50 e para os arranjos de tubos triangular, quadrado e quadrado rotacionado.

As curvas de f_x e j_b também são mostradas na referência (2.8), para uma faixa maior do número de REYNOLDS que vai de 0 a 100.000, para as razões $p/d_2 = 1,25, 1,30$ e $1,33$ e para os três arranjos de tubos usuais. A Figura 2.12 traz as curvas do fator de troca de calor e as Figuras 2.13 e 2.14 as curvas do coeficiente de atrito.

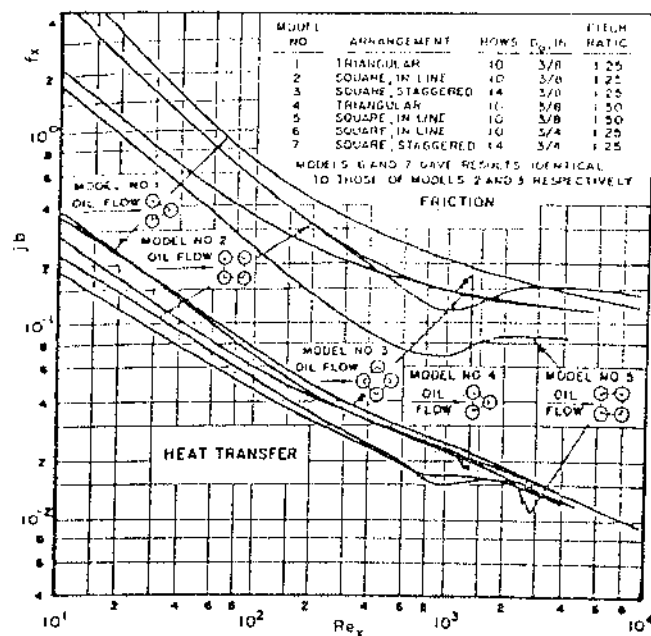


FIGURA 2.11 - COEFICIENTE DE ATRITO E FATOR DE TROCA DE CALOR PARA O BANCO DE TUBOS IDEAL (2.7).

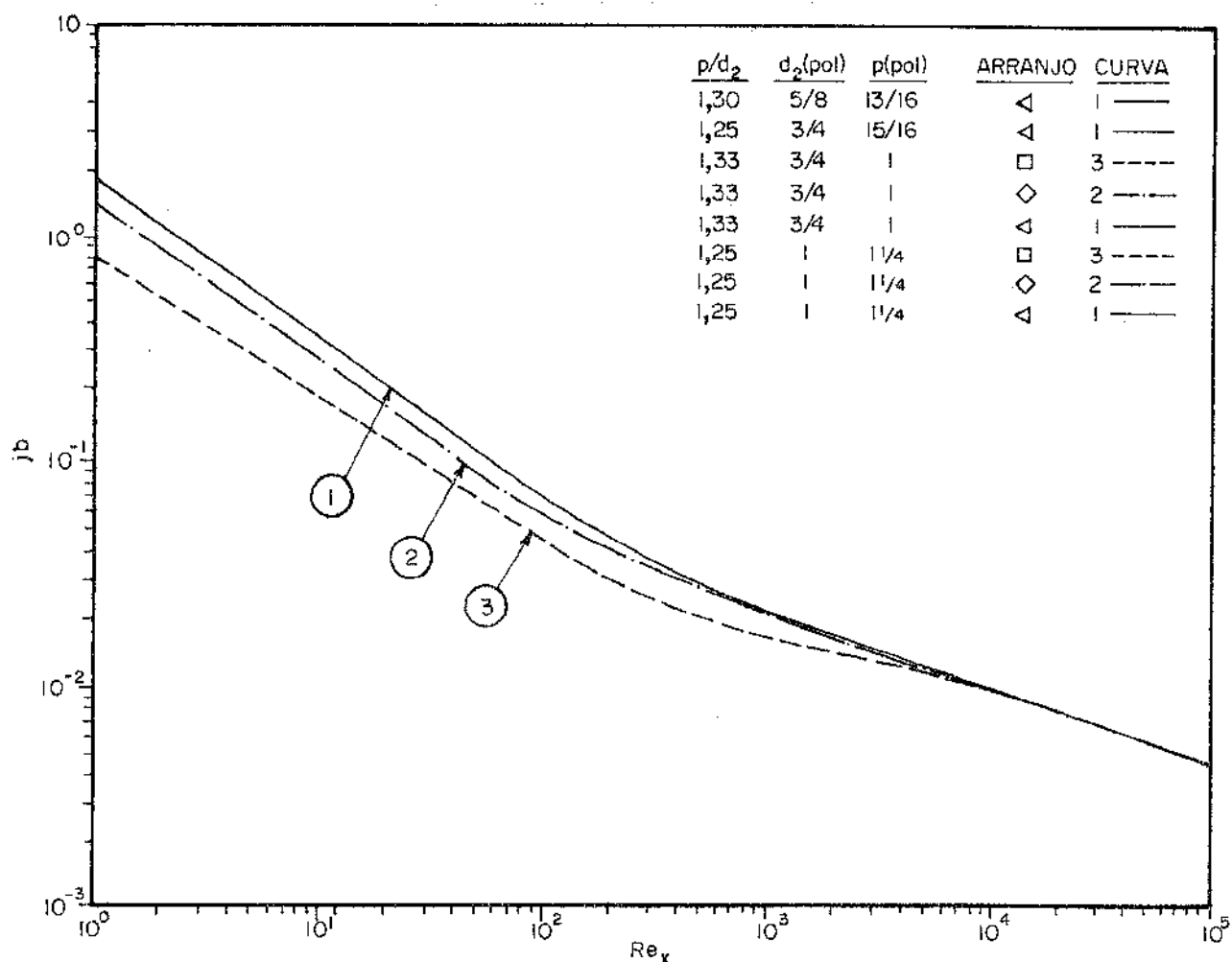


FIGURA 2.12 - FATOR DE TROCA DE CALOR PARA O BANCO DE TUBOS IDEAL (2.8).

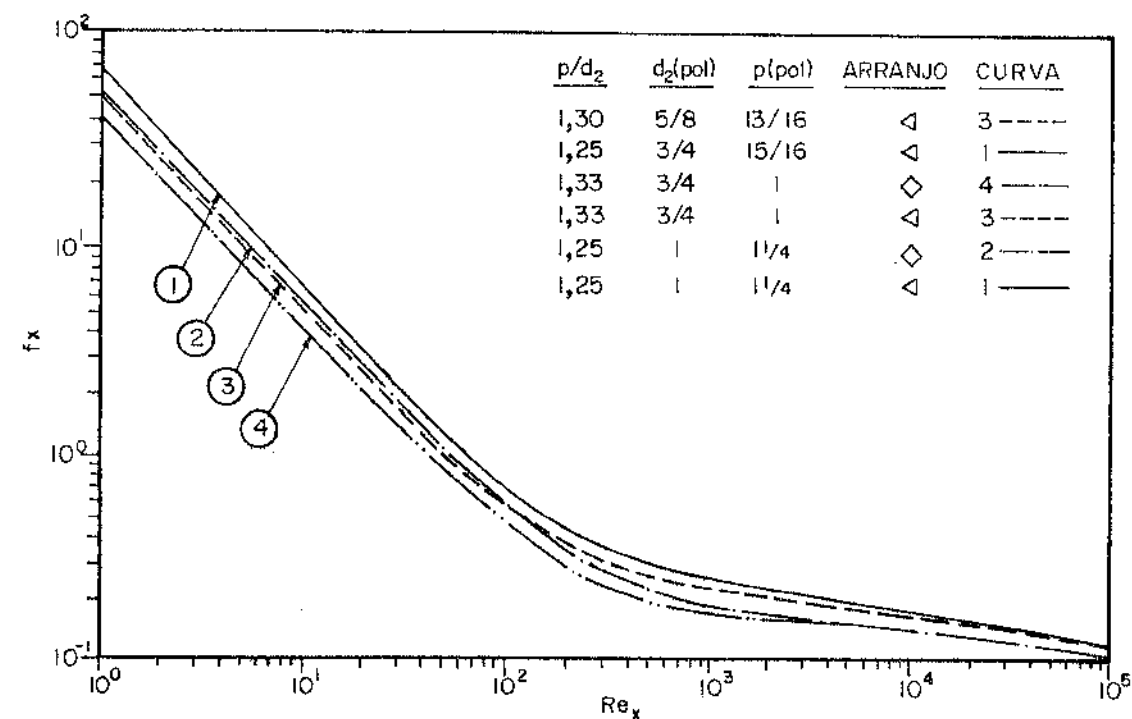


FIGURA 2.13 - COEFICIENTE DE ATRITO PARA O BANCO DE TUBOS IDEAL, PARA OS ARRANJOS DE TUBOS TRIANGULAR E QUADRADO ROTACIONADO^(2.8).

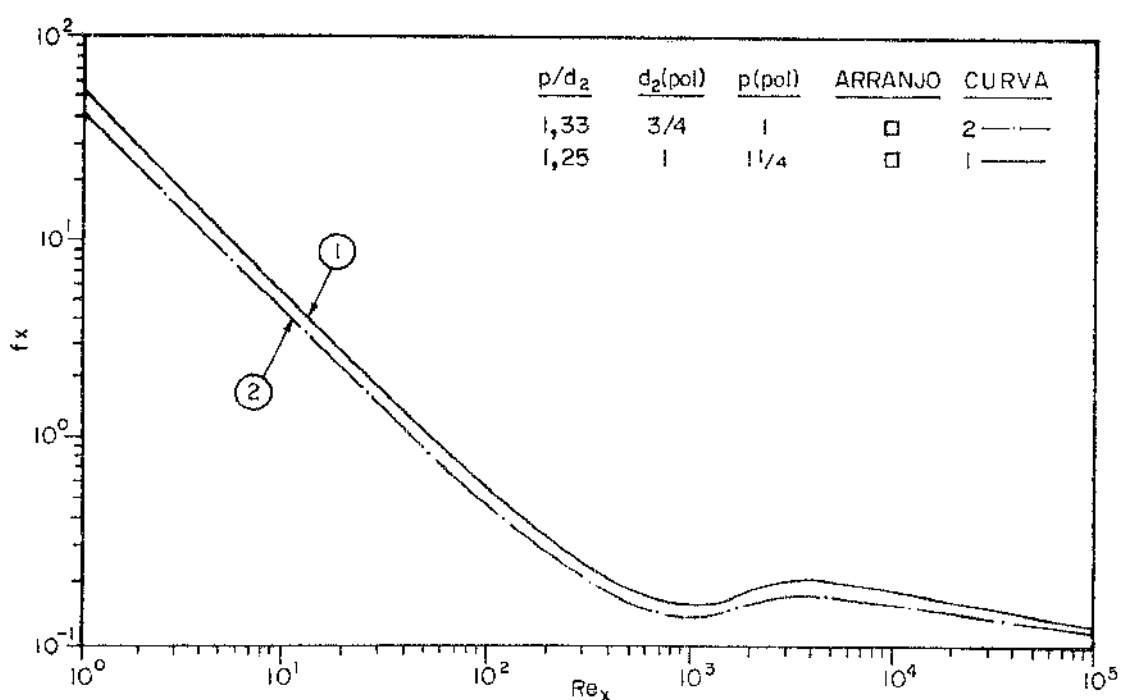


FIGURA 2.14 - COEFICIENTE DE ATRITO PARA O BANCO DE TUBOS IDEAL, PARA O ARRANJO QUADRADO DE TUBOS^(2.8).

(b) Feixe de tubos conforme o feixe ideal, mas com corrente de desvio

Considerações mecânicas de projeto frequentemente requerem a existência de um espaço entre a fileira de tubos mais externa e o casco do trocador. Esse canal tem uma resistência relativamente pequena ao fluxo, porque um lado é livre de obstrução, e ele é relativamente inefetivo na troca de calor, já que o casco não é superfície de troca de calor.

Vários estudos foram feitos para analisar este fluxo de desvio, principalmente quanto à sua magnitude: para geometrias mais usadas, aproximadamente três-quartos (regime laminar) e metade (regime turbulento) do escoamento total fluem através do desvio. Correspondentemente, a perda de carga é um pouco menor do que um-quarto da calculada para o feixe de tubos ideal e o fator de troca de calor decresce para menos de dois-terços dos resultados do feixe de tubos ideal.

A definição da área fracional de desvio F_{bp} é quase arbitrária. BELL^(2.7) sugere que o banco de tubos no qual o espaço mínimo entre os tubos mais externos e a parede é a metade do espaço entre os tubos adjacentes corresponde bem aos bancos de tubos ideais estudados anteriormente, nos quais os tubos mais externos têm a metade (longitudinalmente) engastada na parede do banco.

A área da seção de escoamento entre o feixe e o casco sendo S_{bp} , define-se F_{bp} como:

$$F_{bp} = \frac{S_{bp}}{S_m} \quad (2.61)$$

onde:

S_m = área mínima de seção do fluxo cruzado através da fileira de tubos mais próxima à linha central do trocador.

O uso de tiras selantes não só aumenta a resistência oferecida pelo canal de desvio como também força a corrente de desvio a penetrar no feixe de tubos e a se misturar com a corrente de fluxo cruzado normal aos tubos.

Os resultados dos estudos foram apresentados empiricamente pelas relações:

$$\xi_{\Delta P} = \frac{\Delta P_{bp}}{\Delta P_b}, \quad \xi_h = \frac{h_{bp}}{h_b} = \exp \left[-\alpha_1 F_{bp} \left(1 - \sqrt{\frac{2N_{ss}}{N_r}} \right) \right] \quad (2.62)$$

para $N_{ss} \leq \frac{N_r}{2}$, e

$$\xi_{\Delta P} = \xi_h = 1 \quad \text{para} \quad N_{ss} > \frac{N_r}{2} \quad (2.63)$$

onde:

$\xi_{\Delta P}, \xi_h$ = fatores de correção para levar em conta o efeito do desvio na parda de carga e no coeficiente de película no fluxo cruzado.

$\Delta P_{bp}, h_{bp}$ = perda de carga e coeficiente de película para o fluxo cruzado depois da correção do desvio, sem vazamentos. (lbf/pe^2 , $\text{BTU/h pe}^2 {}^\circ\text{F}$).

$\Delta P_b, h_b$ = perda de carga e coeficiente de película para o banco de tubos ideal (lbf/pe^2 , $\text{BTU/h pe}^2 {}^\circ\text{F}$)

N_{ss} = número de pares de tiras selantes.

α_1 = constante empírica, dada na Tabela 2.2, abaixo.

TABELA 2.2 - VALORES DA CONSTANTE α_1 PARA OS REGIMES DE FLUXO LAMINAR E TURBULENTO (2.7).

RELAÇÃO	REGIME	
	LAMINAR	TURBULENTO
ξ_h	1,5	1,35
$\xi_{\Delta P}$	5,0	4,0

2.3.2 - Trocadores cilíndricos com chicanas, considerando desvios e vazamentos desprezíveis.

O passo seguinte no estudo dos bancos de tubos foi

o estudo de trocadores cilíndricos com chicanas, nos quais as correntes de desvio e vazamento foram eliminadas ou minimizadas por técnicas experimentais e de projeto. Para minimizar a corrente de desvio na folga feixe-casco, foi usado um "layout" dos tubos rigorosamente correspondente à curvatura do casco.

(a) Perda de carga na região do fluxo cruzado.

Uma primeira questão a ser resolvida foi a da área a ser usada no cálculo das velocidades do fluxo cruzado no trocador cilíndrico. Nos testes efetuados a área de fluxo variou muito pouco de fileira para fileira de tubos e os valores correspondentes às fileiras de tubos centrais foram adotados. Dentro dos limites usuais dos projetos comerciais, o uso da área mínima de fluxo próxima ou na linha central do trocador (S_m) introduz pequenos erros na perda de carga calculada, e ainda menores no cálculo do coeficiente de película.

O número de REYNOLDS que correlaciona esses resultados é o dado pela equação (2.55).

Para o regime de escoamento laminar, a perda de carga na seção do fluxo cruzado apresentou valores de 0 a 60% menores do que para o banco de tubos ideal. Na prática é aconselhado o uso da correlação para o coeficiente de atrito do banco de tubos ideal, equação (2.56), corrigida para os efeitos do desvio pelas equações (2.62) e (2.63), usando o α_1 da Tabela 2.2 para o regime laminar.

Para o escoamento turbulento, os estudos foram feitos em dois modelos, um com um pouco mais do que o dobro de fileiras de tubos na seção do fluxo cruzado do que o outro. Eles apresentaram resultados para a perda de carga que variam de $\pm 10\%$ relativamente ao banco de tubos ideal, e foi demonstrado que os resultados do banco de tubos ideal se adaptam melhor às unidades que possuem um número maior de fileiras de tubos na seção do fluxo cruzado^(2.8). Concluiu-se portanto que, para a perda de carga no fluxo cruzado, é bom o uso das curvas do coeficiente de atrito do banco de tubos ideal e da equação (2.56), com os efeitos do desvio levados em conta pelas equações (2.62) e (2.63), com α_1 da Tabela 2.2 para o regime turbulento.

Os resultados para aquecimento e resfriamento são novamente corrigidos para os efeitos não isotérmicos pelo uso de

$$\left(\frac{\mu_s}{\mu_{Te}}\right)^{0,14}$$

(b) Perda de carga na região da janela

Para o escoamento laminar na região da janela, verificou-se que nenhuma velocidade é adequada para correlacionar os dados de perda de carga, mas que as velocidades na seção do fluxo cruzado (V_m) e na seção da janela (V_j) devem ser consideradas através de sua média geométrica, dada por:

$$V_z = \sqrt{V_m V_j} \quad (\text{pé/s}) \quad (2.64)$$

COLBURN^(2.11) sugeriu a divisão da perda de carga na região da janela em efeitos individuais que são avaliados e posteriormente somados para dar a perda de carga total. Esse argumento é arbitrário mas se mostrou bastante confiável para aplicação na maioria das geometrias desejadas. No regime laminar, os fenômenos que dissipam energia, e assim contribuem para a perda de carga na janela, são: a perda por atrito devido ao fluxo normal aos tubos, a perda por atrito devido ao fluxo paralelo aos tubos e os efeitos na energia cinética devido à mudança de direção do fluxo na janela. Como medida de perda por atrito no escoamento laminar, COLBURN definiu $\left(\frac{V_m \mu_s}{d}\right)$, aplicável ao caso da janela usando como velocidade, a velocidade média geométrica (V_z).

Como o fluxo normal aos tubos não penetra uniformemente na janela COLBURN tomou a média das restrições encontradas pelo fluxo cruzado através da janela (N_j) como igual ao número de fileiras de tubos entre o topo da chicana e o casco. Na janela a última ou as duas últimas fileiras geralmente não têm muitos tubos, e admitiu-se em consequência, que as fileiras tendo menos da metade do número de tubos da fileira central do trocador não são incluídas no cálculo de N_j . Foi sugerido que o comprimento efetivo do fluxo cruzado na janela fosse tomado como a metade da distância do topo da chicana ao centro de gravidade do segmento da janela; essa distância é aproximadamente 0,4 vezes a altura da janela (l_c) para as geometrias de interesse comercial. Assim:

$$N_j = \frac{0,8 \ell_c}{p_p} \quad (2.65)$$

com ℓ_c e p_p definidos anteriormente.

Na referência (2.7), a perda de carga devida ao fluxo normal aos tubos é dada por $28 \frac{V_z^2 \mu_s N_j}{d}$.

A referência (2.9) cita que, para o fluxo normal aos tubos a perda de carga para o modelo testado é igual a $23 \frac{V_z^2 \mu_s N_j}{d}$, sendo corrigida para o efeito de desvio através da relação $\xi \Delta p$ para o regime laminar. Já na referência (2.8) BELL apresenta a referida perda de carga como igual a $26 \frac{V_z^2 \mu_s N_j}{d}$.

Para o caso do fluxo paralelo aos tubos foi aplicado o conceito $(\frac{V_m \mu_s}{d})$, usando novamente a velocidade média geométrica (V_z) e, como dimensão característica, o diâmetro volumétrico equivalente da janela (D_j), definido como quatro vezes a razão entre a área livre de escoamento e o perímetro molhado na janela:

$$D_j = 4 \frac{S_j}{Nt_{j1} \pi d_2 + r_1 \theta} \quad (\text{pé}) \quad (2.66)$$

onde:

Nt_{j1} = número de tubos na janela mais os espaçadores;

θ = ângulo de corte da chicana, dado por^(2.8):

$$\theta = 2 \cos^{-1} \left(1 - \frac{2 \ell_c}{d_1} \right) \quad (2.67)$$

O comprimento do trajeto do fluxo paralelo é dado pela razão do espaçamento entre as chicanas (ℓ_3) e o diâmetro volumétrico (D_j). A perda de carga devido ao fluxo paralelo na janela é dada por $26 (\frac{V_z^2 \mu_s}{D_j}) (\frac{\ell_3}{D_j})$.

A perda devida à mudança de direção do fluxo na janela é tomada como sendo $2 (\frac{\rho_s V_z^2}{2})$.

Somando esses efeitos obtém-se a perda de carga na janela da chicana para o regime laminar de escoamento^(2.8):

$$\Delta P_j = 26 \left(\frac{V_z \mu_s}{d} \right) N_j + 26 \left(\frac{V_z \mu_s}{D_j} \right) \left(\frac{\ell_3}{D_j} \right) + 2 \frac{\rho_s V_z^2}{2} \quad (2.68)$$

Para o regime turbulento, as medidas feitas com várias combinações de cortes e espaçamentos de chicanas mostraram que as perdas de carga encontradas eram $\pm 15\%$ em torno do valor médio obtido para a perda de carga para o regime laminar. As mais altas perdas de carga foram encontradas em combinações de pequenos espaçamentos com grandes cortes de chicana, indicando que uma alta velocidade no fluxo cruzado leva a uma alta perda de carga na janela. COLBURN^(2.11) sugeriu que a perda de carga fosse dividida em duas partes: a primeira seria a perda de carga devido à mudança de direção do escoamento de uma seção do fluxo cruzado para outra e a segunda seria a perda de carga devido ao fluxo do fluido através do número característico de restrições na janela. A velocidade média geométrica é usada e a perda devida à mudança de direção do fluxo é dada por $2(\frac{\rho_s V_z^2}{2})$

Para os bancos de tubos testados, a perda por restrição durante o fluxo através dos bancos é em torno de 60% da perda de altura dinâmica. COLBURN sugeriu, então, que a perda por atrito devido às restrições na janela fosse tomada como igual a $0,6 N_j$ da perda de altura dinâmica, onde N_j é o mesmo definido para o regime laminar. Nenhuma informação foi dada a respeito dos efeitos do desvio na perda de carga na janela para o regime turbulento. Assim, a perda de carga é dada por:

$$\Delta P_j = (2 + 0,6 N_j) \frac{\rho_s V_z^2}{2} \quad (\text{lbf/pé}^2) \quad (2.69)$$

(c) Troca de calor nas regiões do fluxo cruzado e janela da chicana.

No regime turbulento, para se chegar a uma correlação para o coeficiente de troca de calor do lado do casco, foi necessário analisar até que ponto seria bom somar ou fazer a média dos coeficientes de troca de calor do fluxo cruzado e da janela e postular uma forma adequada para as equações desses coeficientes. A dedução foi feita e está apresentada no Apêndice IV da referência (2.7) onde os coeficientes de troca de calor para o fluxo cruzado (h_x) e para a região da janela (h_j) são baseados na velocida-

de máxima do fluxo cruzado (V_m) e na velocidade média geométrica (V_z), respectivamente, e são dados por:

$$h_x = b V_m^{0,6}$$

$$h_j = \beta V_z^{0,6}$$

onde:

b , β = constantes dimensionais que dependem da geometria do banco de tubos e das propriedades do fluido; geralmente são diferentes.

O coeficiente h_{n_g} para o lado do casco é dado por:

$$h_{n_g} A_T = h_x A_x + A_j A_{Tj}$$

onde:

A_T = área total da seção do casco, dada por:

$$A_T = \frac{\pi d_1^2}{4} (\text{pol}^2) \quad (2.70)$$

A_x = área da seção do escoamento cruzado;

A_{Tj} = área total das seções de duas janelas:

$$A_{Tj} = 2A_j \quad (\text{pol}^2) \quad (2.71)$$

A_j = área de uma janela de chicana, dada por:

$$A_j = \frac{1}{2} r_1^2 (\theta - \text{sen}\theta) \quad (\text{pol}^2) \quad (2.72)$$

com θ estimado pela equação (2.67), sendo r_1 o raio do casco.

As equações resultantes da dedução são as seguintes:

$$h_{n_g} = \phi_B h_x \quad (\text{BTU/h pé}^2 {}^0\text{F}) \quad (2.73)$$

$$\phi_B = 1 - r + 0,524r^{0,32} \left(\frac{S_m}{S_j}\right)^{0,03} \quad (2.74)$$

$$r = \frac{A_{Tj}}{A_T} \quad (2.75)$$

onde o coeficiente h_x é o mesmo determinado pela equação (2.60) e,

h_{n_ℓ} = coeficiente de troca de calor médio do lado do casco para o trocador sem desvio e sem vazamentos;

ϕ_B = fator de correção para o coeficiente de película do feixe ideal (correspondente à seção de escoamento cruzado no trocador estudado), para levar em conta os efeitos das chicanas e das janelas.

Se ϕ_B não variar muito com (S_m/S_j) , o termo $(S_m/S_j)^{0,03}$ pode ser tomado igual a 1.

O fator de troca de calor para o regime turbulento é dado por:

$$j_s = \frac{h_{n_\ell} x_t}{\phi_B \xi_{h,t} C_s G_m} \left(\frac{C_s \mu_s}{K_s} \right)^{2/3} \left(\frac{\mu_{Te}}{\mu_s} \right)^{0,14}, \quad (2.76)$$

onde

x_t é um fator de correção para considerar no coeficiente de troca de calor, o efeito do número real de fileiras de tubos do trocador frente ao número de fileiras do banco de tubos ideal, correspondente à região de escoamento cruzado entre dois cortes de chicanas consecutivas; é encontrado através dos dados da Tabela 2.1 e é dado por:

$$x_t = \frac{\left(\frac{h_m}{h_\infty}\right) \text{feixe de tubos ideal}}{\left(\frac{h_m}{h_\infty}\right) \text{trocador considerado}} \quad (2.77)$$

As relações $\frac{h_m}{h_\infty}$ para o feixe de tubos ideal e para o trocador são funções de N_r e N_{r1} , respectivamente, onde:

N_{r1} = número efetivo de fileiras de tubos do fluxo cruzado em série num trocador com chicanas. É definido por:

$$N_{rl} = (N_{chi} + 1)N_r + (N_{chi} + 2)N_j \quad (2.78)$$

N_{chi} é o número de chicanas e N_j é definido pela equação (2.65).

Para o regime laminar, o fator de troca de calor recomendado é dado por:

$$j_s = \frac{h_{n_\ell} X_\ell}{\phi_B \xi_h, \ell C_s G_m} \left(\frac{C_s \mu_s}{K_s} \right)^{2/3} \left(\frac{\mu_{Te}}{\mu_s} \right)^{0,14} \quad (2.79)$$

Deve ser enfatizado que as correlações propostas até agora referem-se à trocadores com chicanas segmentares sem vazamentos nem desvios e estão sempre relacionadas com as curvas para o correspondente banco de tubos ideal.

2.3.3 - Trocadores com vazamentos entre as chicanas e o casco e entre os tubos e os furos nas chicanas.

Para o trocador com vazamentos nas chicanas e desvio do escoamento pelo espaço entre o feixe de tubos e o casco, o escoamento do lado do casco se distribui conforme mostrado na Figura 2.4.

Os vazamentos na chicana afetam as características do escoamento do lado do casco; parte do escoamento é desviada para outros trajetos, o que reduz a velocidade do fluxo normal aos tubos, consequentemente, a perda de carga e o coeficiente de perda. Essa parcela desviada não sofre a mesma mudança de temperatura do fluxo cruzado, o que distorce o perfil ideal de temperatura do fluido do lado do casco. É necessário distinguir entre os efeitos das correntes de vazamento tubo-chicana e casco-chicana: as correntes de vazamento tubo-chicana fluem ao longo dos tubos na vizinhança imediata da chicana em alta velocidade, tornando significante o processo de troca de calor do lado externo dos tubos; a corrente de vazamento casco-chicana não flue em contato com a superfície de troca de calor e isso representa uma certa perda no processo de troca de calor.

Os vários estudos e testes do projeto Delaware mostraram que os vazamentos nas chicanas em um trocador têm um efeito bem maior na perda de carga do que no coeficiente de troca de calor. Verificou-se também que a área de vazamento entre a chicana e o casco têm um efeito maior no coeficiente de troca de calor e na perda de carga do que a área correspondente ao vazamento tubo-chicana.

(a) Efeito das folgas das chicanas na perda de carga.

Para efeito de projeto, os resultados obtidos devem ser interpretados quantitativamente. SULLIVAN^(2.12) obteve uma solução analítica para o efeito dos vazamentos nas chicanas sobre a perda de carga, usando um trocador com uma única chicana, com vários cortes e espaços tubo-chicana (o espaço casco-chicana não foi considerado). Este estudo foi estendido mais tarde para o caso de trocadores com várias chicanas. As variáveis que descrevem o efeito dos vazamentos foram correlacionadas pelo termo:

$$\frac{S_\ell C_\ell}{S_m} (f_x N_r)^{1/2} \left(\frac{\delta p}{\Delta P_b} \right)^{1/2} \quad (2.80)$$

onde:

S_ℓ = área total do vazamento para uma chicana;

C_ℓ = coeficiente do orifício tubo-chicana;

δp = diferença efetiva de pressão para o vazamento tubo-chicana;

S_m , f_x e N_r foram definidos anteriormente.

Na relação acima, o grupo $S_\ell C_\ell (\delta p)^{1/2}$ é uma medida da velocidade do escoamento através das áreas de vazamento, e o grupo

$$\frac{S_m (\Delta P_b)^{1/2}}{(f_x N_r)^{1/2}}$$

é uma medida do escoamento através do banco de tubos entre as chicanas.

Para facilitar os cálculos, várias relações versus o termo dado por (2.80) foram propostas^(2.7), onde:

ΔP_ℓ = perda de carga para o trocador com vazamentos;

$\Delta P_{n\ell}$ = perda de carga para o trocador sem vazamentos.

O vazamento casco-chicana é concentrado na região oposta ao corte da chicana, e a perda de carga que é determinada, é dominante comparada com a do vazamento tubo-chicana. Para cada valor de $\frac{S_\ell}{S_m}$, a relação $(1 - \frac{\Delta P_\ell}{\Delta P_{n\ell}})$ para o vazamento tubo-chicana dá em torno de 50% do valor correspondente ao vazamento casco-chicana. Ponderando os valores de $(1 - \frac{\Delta P_\ell}{\Delta P_{n\ell}})$ para o vazamento tubo-chicana por 0,5 e os valores correspondentes ao vazamento casco-chicana por 1, os resultados caem em uma única curva. BELL admitiu aditivos os efeitos dos dois vazamentos quando cada um é ponderado por sua área da seção de escoamento correspondente, isto é

$$\left(1 - \frac{\Delta P_\ell}{\Delta P_{n\ell}}\right)_{\text{trocador}} = \left(1 - \frac{\Delta P_\ell}{\Delta P_{n\ell}}\right)_{\text{banco ideal}} \left(\frac{S_{tb} + 2S_{sb}}{S_\ell}\right) \quad (2.81)$$

onde:

S_{tb} = área da seção do vazamento tubo-chicana (pe^2);

S_{sb} = área da seção do vazamento casco-chicana (pe^2).

A relação $(1 - \frac{\Delta P_\ell}{\Delta P_{n\ell}})$ para o banco de tubos ideal em função de S_ℓ/S_m é dada pela equação^(2.82) (2.82) e pela Figura 2.15. Como pode ser visto na figura, o valor máximo para a relação é 0,7, que não deve ser extrapolado; ela se aplica a todas as geometrias de trocadores^(2.7). MUELLER^(2.13) em sua apresentação do método de BELL, sugere que seja adotado para os cálculos um valor da relação entre 0,75 a 0,80.

$$\left(1 - \frac{\Delta P_\ell}{\Delta P_{n\ell}}\right)_{\text{ideal}} = 0,57 \frac{S_\ell}{S_m} + 0,27 \left[1 - \exp(-20 \frac{S_\ell}{S_m})\right] \quad (2.82)$$

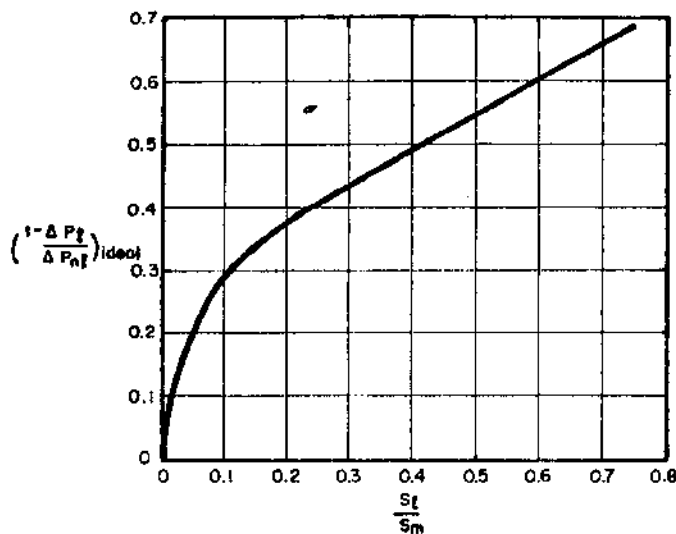


FIGURA 2.15 - EFEITO DOS VAZAMENTOS DA CHICANA SOBRE A PERDA DE CARGA PARA O LADO DO CASCO^(2.7).

A equação geral para o cálculo da perda de carga lado do casco fica:

$$\Delta P_s = 2\Delta P_{bp} \left(1 + \frac{N_j}{N_r} \right) + \left[(N_{chi} - 1)\Delta P_{bp} + N_{chi} \Delta P_j \right] \frac{\Delta P_\ell}{\Delta P_{n_\ell}} \quad (2.83)$$

(lbf/pol^2)

com $\frac{\Delta P_\ell}{\Delta P_{n_\ell}}$ obtida da equação (2.81).

É importante lembrar que, de acordo com as observações experimentais, o primeiro termo do lado direito da equação (2.83) considera as duas seções extremas do trocador, que se limitam com os espelhos, como seções onde não ocorrem vazamentos.

(b) Efeito das folgas das chicanas no coeficiente de película.

O efeito dos vazamentos na troca de calor é mais complexo do que na perda de carga. O efeito do vazamento tubo-chicana na troca térmica é diferente do efeito do vazamento casco-chicana. Para uma área equivalente de vazamento, o vazamento tubo-chicana dá uma redução de h_o que é cerca da metade da redução causada pelo vazamento casco-chicana. Os coeficientes h_ℓ e h_{n_ℓ} são

definidos tendo como base a diferença média logarítmica de temperatura.

A relação $\frac{h_\ell}{h_{n_\ell}}$ em função de $\frac{S_\ell}{S_m}$ foi sugerida como uma forma adequada de considerar os efeitos dos vazamentos. Segundo a mesma argumentação adotada para levar em conta os efeitos na perda de carga, obteve-se a expressão:

$$\left(1 - \frac{h_\ell}{h_{n_\ell}}\right)_{\text{trocador}} = \left(1 - \frac{h_\ell}{h_{n_\ell}}\right)_{\text{ideal}} \left(\frac{S_{tb} + 2S_{sb}}{S_\ell}\right) \quad (2.84)$$

com $\left(1 - \frac{h_\ell}{h_{n_\ell}}\right)_{\text{ideal}}$ dada em função de $\frac{S_\ell}{S_m}$ na Figura 2.16 e pela equação abaixo:

$$\left(1 - \frac{h_\ell}{h_{n_\ell}}\right)_{\text{ideal}} = 0,45 \frac{S_\ell}{S_m} + 0,10 \left[1 - \exp - \left(30 \frac{S_\ell}{S_m}\right)\right] \quad (2.85)$$

onde:

h_{n_ℓ} = coeficiente de película para o trocador sem vazamentos (BTU/ $\text{h pe}^2 0^\circ\text{F}$)

h_ℓ = coeficiente de película para o trocador com vazamentos (BTU/h $\text{pe}^2 0^\circ\text{F}$)

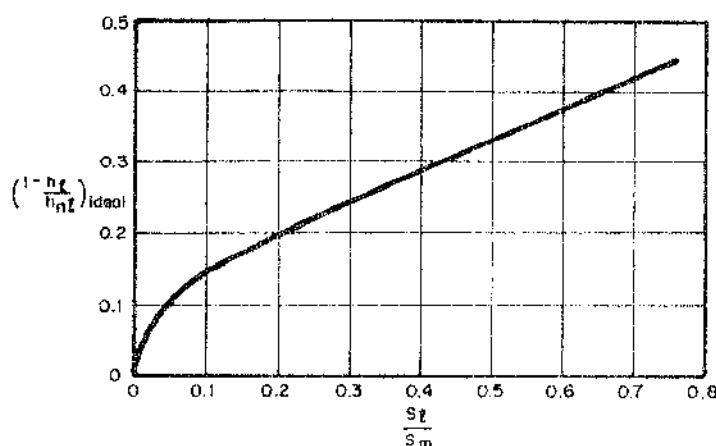


FIGURA 2.16 - EFEITO DOS VAZAMENTOS DA CHICANA SOBRE O COEFICIENTE DE TROCA DE CALOR PARA O LADO DO CASCO^(2.7).

BELL em publicação recente^(2.8), apresenta o método de cálculo para o coeficiente de película e para a perda de carga do lado do casco de uma forma diferente, mas que corresponde e se baseia na apresentação feita neste trabalho. A partir dos dados experimentais, ele criou novas curvas que dão os fatores de correção para os efeitos da geometria dos trocadores na perda de carga e nos coeficientes de película obtidos para o banco de tubos ideal.

A perda de carga do lado do casco, dada anteriormente pela equação (2.83), é re-escrita como:

$$\Delta P_s = 2\Delta P_b \left(1 + \frac{N_j}{N_r} \right) R_b R_s + \left[(N_{chi} - 1)\Delta P_b R_b + N_{chi} \Delta P_j \right] R_\ell \quad (2.86)$$

(lbf/pol²)

onde R_b , R_s e R_ℓ são fatores de correção e ΔP_b é a perda de carga definida pela equação (2.56).

R_b corrige os efeitos da corrente de desvio feixe de tubos-casco e é plotado em função de F_{bp} e do número de pares de tiras selantes, com curvas para $Re_s > 100$ e $Re_s < 100$. R_b varia em torno de 0,5 a 0,8, sendo que os valores mais baixos ocorrem em trocadores tipo "pull-through" com 1 ou 2 pares de tiras selantes, e os valores mais altos nos trocadores tipo espelho fixo.

R_s é o fator de correção aplicado a trocadores cujas seções de entrada e saída possuem espaçamentos diferentes daquele entre as chicanas intermediárias. É dado pela relação:

$$R_s = \frac{1}{2} \left[\left(\frac{\lambda_{31}}{\lambda_3} \right)^{-n'} + \left(\frac{\lambda_{32}}{\lambda_3} \right)^{-n'} \right] \quad (2.87)$$

onde:

$$n' = 1,0 \text{ para } Re_s < 100$$

$$n' = 1,6 \text{ para } Re_s \geq 100$$

R_ℓ é o fator de correção para os efeitos dos vazamentos das chicanas; varia entre 0,4 e 0,5, embora valores mais baixos possam ser encontrados em trocadores com pequenos espaços-

mentos entre chicanas. R_ℓ é plotado em função da relação $\frac{S_\ell}{S_m}$, com curvas para valores de $\frac{S_{sb}}{S_\ell}$ iguais a 0; 0,25; 0,5; 0,75 e 1,0.

O coeficiente de película do lado do casco é dado pela expressão:

$$h_o = h_b J_c J_\ell J_b J_s J_r \quad (\text{BTU/h pé}^2\text{F}) \quad (2.88)$$

onde o coeficiente h_b foi definido pela equação (2.60).

J_c é o fator de correção que considera o corte e o espaçamento entre chicanas; é dado em uma curva em função da porcentagem do número total de tubos do trocador no fluxo cruzado. J_c varia em torno de 1,15 a 0,52, sendo igual a 1 para trocadores sem tubos na janela.

J_ℓ é o fator de correção para os efeitos dos vazamentos nas chicanas; é plotado em função da razão (S_ℓ/S_m) entre a área total de vazamento por chicana e a área do fluxo cruzado e da razão (S_{sb}/S_ℓ) entre as áreas de vazamento casco-chicana e a área total dos vazamentos. J_ℓ tem peso maior para o vazamento casco-chicana do que para o vazamento tubo-chicana, sendo recomendados valores entre 0,7 e 0,8.

J_b é o fator de correção para o desvio feixe de tubo-casco. Para trocadores de espelho fixo e para pequenas folgas casco-feixe, J_b é próximo de 0,9, ficando em torno de 0,7 para trocadores tipo "pull-through" e grandes folgas casco-feixe. É dado em função de F_{bp} , com curvas para valores de $\frac{N_{ss}}{N_r}$ iguais a 0; 0,05; 0,1; 0,167; 0,3 e 0,5, diferenciando-se os casos em que $Re_s \geq 100$ e $Re_s < 100$.

J_s é o fator de correção que considera a diferença de espaçamento entre as chicanas intermediárias e as seções de entrada e saída do trocador. É dado por:

$$J_s = \frac{\left(\frac{N_{chi}-1}{x_3}\right)^{1-n''} + \left(\frac{x_{31}}{x_3}\right)^{1-n''} + \left(\frac{x_{32}}{x_3}\right)^{1-n''}}{\left(\frac{N_{chi}-1}{x_3}\right)^{1-n''} + \left(\frac{x_{31}}{x_3}\right)^{1-n''}} \quad (2.89)$$

onde:

$$n'' = 1/3 \text{ para } Re_s < 100$$

$$n'' = 0,6 \text{ para } Re_s \geq 100$$

Para o caso em que $\ell_{31} = \ell_{32}$, J_s é dado em duas figuras, uma para o escoamento laminar e outra para o escoamento turbulento, ambas com J_s em função do número de chicanas e as curvas para a relação $\frac{\ell_{31}}{\ell_3} = \frac{\ell_{32}}{\ell_3}$ de 0,5; 1,0; 1,25; 1,5; 2,0 e 3,0.

J_r é o fator de correção para o gradiente adverso de temperatura que se forma no regime de escoamento laminar; ele é dado em duas figuras, em função do número de chicanas, da quantidade $N_r + N_j$ e do número de REYNOLDS, que vai até 100, para o qual $J_r = 1$.

Para um bom trocador ($J_c J_\ell J_b J_s J_r$) deve ser em torno de 0,6, isto é, $h_o = 0,6 h_x$.

A referência (2.8) traz todas as expressões necessárias à determinação dos fatores de correção, bem como ao cálculo de h_o e de ΔP_s .

O Chemical Engineers Handbook^(2.14) também traz, de maneira semelhante, a proposição de cálculo para a perda de carga e para o coeficiente de troca de calor do lado do casco, apresentada pelo próprio BELL.

O Anexo A.3 apresenta uma sequência de cálculo para a determinação do coeficiente de película e da perda de carga do lado do casco, pela versão original de BELL, mais adequada ao emprego de computação.

REFERENCIAS BIBLIOGRAFICAS

- 2.1 - KERN, D.Q. - "Process Heat Transfer", McGraw-Hill Book Co., New York (1950).
- 2.2 - WOLVERINE TUBE ENGINEERING DATA BOOK - Section 1 pp. 5-43, Section 2 pp. 3-91. Wolverine Division, Alabama, EUA.
- 2.3 - COLBURN - Trans. AIChE, 29, 174-210 (1933).
- 2.4 - STANDARDS OF TUBULAR EXCHANGER MANUFACTURERS ASSOCIATION , TEMA-Inc., 5th edition, 4th printing, New York (1974).
- 2.5 - TINKER, T. - "Shell Side Characteristics of Shell and Tube Heat Exchangers - A Simplified Rating System for Commercial Heat Exchangers", Transactions of the ASME. January, pp. 36-52 (1958).
- 2.6 - TINKER, T. - "Shell Side Characteristics of Shell and Tube Heat Exchangers", Proceedings of General Discussion of Heat Transfer, Institution of Mechanical Engineers, London, England, Part I, II and III, pp. 89-116 (1951).
- 2.7 - BELL, K.J. - "Final Report of the Cooperative Research Program on Shell and Tube Heat Exchangers", Bulletin N° 5, Engineering Experimental Station, University of Delaware, Newark, June (1963).
- 2.8 - BELL, K.J. - "Delaware Method for Shell Side Design" - do livro Heat Exchangers Thermal-Hydraulic Fundamentals and Design, editado por S. Kakaç, A. E. Bergles e F. Mayinger, McGraw-Hill Book Company, New York, pp. 581-618 (1980).
- 2.9 - BELL, K.J. - "Exchanger Design Based on the Delaware Research Program", Petro.Chem. Engineer, pp. C26-C36 e C40a-C40c, October (1960).

- 2.10 - BERGELIN, O.P., COLBURN, A.P. and HULL, H.L. - "Heat Transfer and Pressure Drop During Viscous Flow Across Unbaffled Tube Banks", Bulletin nº 2, University of Delaware Engineering Experimental Station (1950) (referência 6 citada em^(2.9)).
- 2.11 - BERGELIN, O.P., BRAWN, G.A. and COLBURN, A.P. - "Heat Transfer and Fluid Friction During Flow Across Banks of Tubes-V: A Study of a Cylindrical Baffled Exchanger, Without Internal Leakage", Transactions of the ASME, 74, pp. 841-850 (1952).
- 2.12 - SULLIVAN, T.W. and BERGELIN, O.P. - "Heat Transfer and Fluid Friction in a Shell and Tube Heat Exchanger with a Single Baffle", Chem. Eng. Prog. Symposium Series, Heat Transfer; Louisville, nº 18, vol. 52, pp. 85-94 (1956) (referência citada em^(2.9)).
- 2.13 - MUELLER, A.C. - "Heat Exchangers" - Handbook of Heat Transfer, editado por W.M. Rohsenow e J. P. Hartnett, Capítulo 18, McGraw-Hill Book Co., New York (1973).
- 2.14 - BELL, K.J. - "Thermal Design of Heat Transfer Equipment" Chemical Engineers Handbook, de R.H. Perry e C. H. Chilton, Capítulo 10, pp. 10-22 a 10-47 (1973).

CAPÍTULO 3

COMPARAÇÃO DOS MÉTODOS DE CÁLCULO

3.1 - DADOS EXPERIMENTAIS

Os dados experimentais utilizados para a comparação entre os métodos de KERN, TINKER e BELL, para o cálculo do coeficiente de película e da perda de carga do lado do casco, foram obtidos em testes realizados com trocadores de calor, e estão apresentados nos trabalhos de BELL^(3.1) e de TINKER^(3.2).

3.1.1 - Dados de BELL

Os dados finais apresentados por BELL, são provenientes de medições em processos de aquecimento e resfriamento de um óleo, o chamado ÓLEO GÜLF 896, sendo água o outro fluido. Para tanto, utilizou-se um trocador cujo único parâmetro modificado durante os testes foi o número de pares de tiras selantes. No presente trabalho, foram designados três trocadores ao invés de um só, cada um tendo as mesmas características dos outros dois mas com o número diferente de pares de tiras selantes.

Como não foram explicitados o número de trajetos de tubos no trocador (n) e a espessura da parede dos tubos (e), admitiu-se $n=1$ e $e=0,194$ pol correspondente ao BWG=22 na tabela das características de tubos padrão da TEMA^(3.3); isto foi feito por referência a outros trocadores do Programa Delaware e por se tratar de trocadores pequenos, de laboratório.

As características dos Trocadores 1, 2 e 3 são mostradas na Tabela 3.1.

As propriedades físicas do óleo GÜLF 896 apresentadas por BELL foram determinadas em experimentos (viscosidade e densidade), e por cálculos a partir de dados experimentais (calor específico à pressão constante e condutividade térmica). Elas são conhecidas para as temperaturas de 80, 110, 140, 170 e 200°F, e mostradas na Tabela 3.2^(3.1).

TABELA 3.1 - CARACTERÍSTICAS GEOMÉTRICAS DOS TROCADORES UTILIZADOS PARA A COMPARAÇÃO ENTRE OS MÉTODOS DE BELL, TINKER e KERN (3.1, 3.2).

PARAMETROS DO TROCADOR - ENTRADA	SÍMBOLOS - DIMENSÕES	TROCADORES											
		1	2	3	4	5	6	7	8	9	10	11	12
Arranjo de tubos	Arr	Triang.	Triang.	Triang.	Triang.	Triang.	Triang.	Triang.	Triang.	Triang.	Triang.	Triang.	Triang.
Corte da chicana	cchi	0,204	0,204	0,204	0,18	0,18	0,22	0,19	0,24	0,20	0,245	0,50	0,20
Diâmetro interno do casco	d ₁ (pol)	9,136	9,136	9,136	8,031	8,07	10,23	3,527	5,981	8,007	7,959	7,959	8,02
Diâmetro do feixe de tubos	d ₃ (pol)	-	-	-	7,50	7,50	9,125	3,25	5,50	7,25	7,844	7,844	7,10
Diâmetro externo dos tubos	d ₂ (pol)	0,2493	0,2493	0,2493	0,375	0,375	0,375	0,375	0,375	0,625	0,375	0,375	0,625
Diâmetro orifícios chicanas	d ₄ (pol)	0,2598	0,2598	0,2598	0,395	0,395	0,395	0,385	0,385	0,64	0,386	0,386	0,638
Espaçamento entre chicanas	l ₃ (pol)	2,643	2,643	2,643	1,062	1,062	1,562	1,156	2,031	1,562	5,50	5,50	3,125
Número de chicanas	nchi	5	5	5	12	18	9	10	9	23	11	11	19
Número de tubos na janela	Ntj	46	46	46	19	20	38	4	15	7	33	67	9
Número de tubos na chicana	Ntchi	424	424	424	151	150	224	36	109	61	210	176	59
Número de tubos janela+Esp.	Ntjl	49	49	49	20	21	39	5	16	8	34	68	10
Número de tiras selantes	Nss (pares)	0	2	3	3	3	4	0	0	3	0	0	1
Compr. efetivo dos tubos	l ₁ (pol)	16,125	16,125	16,125	24,00	24,00	24,00	24,00	24,00	48,00	80,00	80,00	72,00
Dist. Centros tubos adjac.	p (pol)	0,3323	0,3323	0,3323	0,531	0,531	0,531	0,453	0,453	0,750	0,453	0,453	0,750
Distância entre tubos	d (pol)	0,083	0,083	0,083	0,156	0,156	0,156	0,078	0,078	0,125	0,078	0,078	0,125
"Pitch ratio"	pr	1,375	1,375	1,375	1,416	1,416	1,416	1,208	1,208	1,20	0,208	1,208	1,20
"Birmingham ware gage"	Bwg	22	22	22	18	18	18	20	20	18	24	24	18
Diâmetro das chicanas	dchi (pol)	9,056	9,056	9,056	7,969	7,969	10,160	3,510	5,958	7,940	7,922	7,922	7,976
Número Total de tubos	Nt	470	470	470	170	170	262	40	124	68	243	243	68
Número de trajeto de tubos	n	1	1	1	1	1	1	1	1	2	1	1	1

Neste trabalho, a determinação do calor específico à pressão constante e da condutividade térmica é feita através das mesmas equações utilizadas por BELL, dadas em^(3.4) e^(3.5), respectivamente; elas são:

$$c_p = [0,6811 - 0,308s + t(0,000815 - 0,000306s)] (0,055k + 0,35) (\text{BTU}/\text{lbm}^{\circ}\text{F}) \quad (3.1)$$

$$K = \frac{1}{12} \frac{0,813}{s} [1 - 0,0003(t - 32)] \quad (\text{BTU}/\text{h pé}^{\circ}\text{F}) \quad (3.2)$$

onde:

t = temperatura do fluido ($^{\circ}\text{F}$);

s = densidade relativa a 60°F ;

k = fator de caracterização.

Nas equações (3.1) e (3.2) são utilizados os valores médios de s e k , que foram determinados com os dados da Tabela 3.2 ($s = 0,8203$, $k = 18,33$).

Para a determinação da viscosidade e da densidade no presente trabalho, foram estabelecidas duas funções lineares, uma para cada propriedade, utilizando os dados da referida tabela.

TABELA 3.2 - PROPRIEDADES FÍSICAS DO ÓLEO GÜLF 896^(3.1).

TEMPERATURA ($^{\circ}\text{F}$)	CALOR ESPECÍFICO (BTU/ $\text{lbm}^{\circ}\text{F}$)	CONDUT.TÉRMICA (BTU/hpé $^{\circ}\text{F}$)	VISCOSIDADE ($\text{lbm}/\text{h pé}$)	DENSIDADE ($\text{lbm}/\text{pé}^3$)
80,0	0,486	0,0814	10,1	50,6
110,0	0,504	0,0807	6,82	49,9
140,0	0,521	0,0799	4,91	49,2
170,0	0,538	0,0792	3,72	48,5
200,0	0,558	0,0784	2,91	47,8

Os resultados das medições apresentados por BELL,

(correspondentes aos Trocadores 1, 2 e 3) estão na Tabela 3.3. Ne la, estão relacionadas as vazões dos fluidos, as temperaturas de entrada e saída dos fluidos, os coeficientes de película do lado do casco calculados com os dados experimentais, e os resultados das perdas de carga do lado do casco. Cada perda de carga mostrada na tabela é o somatório para cada medição, das perdas de carga em vários pontos do trocador, de bocal a bocal do casco. A penúltima coluna mostra as perdas de carga incluindo a dos bocais; na última coluna, as perdas não incluem as dos bocais do casco.

3.1.2 - Dados de TINKER

Os dados mostrados no artigo de TINKER, são resultados de testes de resfriamento do ÓLEO NAVAC 2190 em 11 trocadores; o outro fluido utilizado foi a água. Para o presente trabalho só foram consideradas as unidades cujos resultados também incluem as perdas de carga medidas: são os trocadores de 4 a 12 (que correspondem aos trocadores de 3 a 11 no artigo) cujas características são mostradas na Tabela 3.1, juntamente com os dados de BELL.

Para os trocadores 4 a 12 algumas características não foram dadas no artigo, e foram estimadas de acordo com a prática usual para o dimensionamento da área de troca de calor, apresentada no Capítulo 4.

As características estimadas são:

. os valores do número de tubos na chicana (N_{tchi}) foram calculados pelas relações (2.70) e (2.72) do Capítulo 2 e pelas relações (4.42) e (4.43) apresentadas no Capítulo 4.

. os valores do número de tubos em uma janela de chicana (N_{tj}) e do número de tubos em uma janela mais os espaçadores (N_{tj1}) foram determinados por:

$$N_{tj} = N_t - N_{tchi} \quad (3.3)$$

$$N_{tj1} = N_{tj} + N_{espj} \quad (3.4)$$

TABELA 3.3 - DADOS EXPERIMENTAIS APRESENTADOS POR BELL E TINKER (3.1, 3.2).

T	P	M	μ_{Te} (cp)	Ws(lbm/h)	$t_1(^{\circ}F)$	$t_2(^{\circ}F)$	Wt(lbm/h)	$T_1(^{\circ}F)$	$T_2(^{\circ}F)$	h_{oBtu} $h_{pe}^{20^{\circ}F}$	$\Delta Pe_k(lbf/in^2)$	$\Delta Pe_s(lbf/in^2)$
1	A	1	—	88.410	144,7	155,2	115.600	175,2	172,4	695,0	1.577,000	1.265,400
	A	2	—	47.390	142,6	157,1	114.300	176,5	173,6	442,0	491,000	441,500
	A	3	—	29.240	141,5	158,7	114.700	176,3	174,3	310,0	206,000	92,600
	A	4	—	37.600	142,2	157,5	112.900	175,8	173,5	376,0	208,000	283,000
	R	5	—	88.330	123,4	127,1	115.000	155,0	145,2	639,0	1.570,000	1.326,100
	R	6	—	74.980	122,8	126,5	113.900	154,9	144,7	573,0	1.160,000	931,200
	R	7	—	46.700	123,8	126,3	114.900	156,4	143,5	404,0	460,000	426,100
	R	8	—	31.280	123,9	126,1	114.900	157,9	142,2	309,0	212,000	199,500
	R	9	—	87.920	122,9	126,9	114.100	154,9	145,3	667,0	1.470,000	1.214,000
2	A	1	—	65.670	145,4	154,4	51.540	174,2	168,4	618,0	1.020,000	853,670
	A	2	—	38.510	142,2	157,5	113.400	174,4	173,0	403,0	362,000	359,100
	A	3	—	25.900	140,2	159,0	113.500	175,9	174,1	308,0	179,000	168,150
	A	4	—	14.040	138,6	161,5	113.300	175,9	174,9	200,0	78,300	56,530
	R	5	—	65.670	123,7	126,6	116.600	151,8	143,1	428,0	997,000	628,900
	R	6	—	38.240	123,6	126,0	114.300	156,8	143,2	325,0	340,000	367,000
	R	7	—	25.870	123,9	125,9	113.900	157,7	142,2	249,0	196,000	178,980
	R	8	—	13.590	123,9	125,8	115.100	160,6	140,0	164,0	77,500	57,020
	R	9	—	13.860	124,9	125,6	115.100	160,1	140,4	167,0	75,900	59,408
	R	10	—	38.250	123,7	126,3	112.600	156,5	143,5	314,0	389,000	364,150
	R	11	—	26.260	123,5	125,6	117.000	158,1	141,9	254,0	175,500	171,370
3	A	1	—	89.210	144,5	155,6	112.200	177,2	172,9	834,0	1.920,000	1.699,200
	A	2	—	75.400	143,7	156,0	113.100	177,1	173,1	734,0	1.430,000	1.298,600
	A	3	—	47.390	142,5	157,7	113.600	176,7	173,7	524,0	602,000	559,800
	A	4	—	30.040	141,0	148,6	113.100	175,6	173,9	390,0	270,000	237,640
	A	5	—	14.040	138,9	161,4	113.900	175,0	174,0	211,0	63,500	56,930
	A	6	—	58.470	144,2	157,4	115.200	177,2	173,9	589,0	928,000	860,500
	A	7	—	20.080	139,9	159,3	114.300	173,9	172,3	275,0	1.395,000	131,610
	R	8	—	87.930	123,2	127,4	113.500	155,0	145,0	643,0	1.920,000	1.711,900
	R	9	—	74.630	123,8	127,6	114.700	156,5	145,0	584,0	1.432,000	1.269,400
	R	10	—	47.000	124,0	126,9	114.500	156,9	143,3	425,0	566,000	570,500
	R	11	—	29.780	123,5	125,9	116.000	158,4	141,2	311,0	254,000	237,360
	R	12	—	13.810	123,8	125,4	114.000	161,7	138,9	180,0	69,400	68,880
	R	13	—	20.200	124,1	126,1	108.600	160,0	140,3	239,0	157,000	136,860
	R	14	—	59.240	123,6	127,0	115.000	156,1	144,0	506,0	990,000	730,300
4	R	1	168,0	930	85,0	85,6	25.000	150,0	122,5	7,6	14,683	14,544
	R	2	163,0	1.860	84,7	85,6	25.000	150,0	124,5	13,7	27,331	26,928
	R	3	150,0	3.180	85,1	86,6	25.000	150,0	126,0	23,0	48,384	45,936
	R	4	139,0	4.500	85,8	87,5	25.000	150,0	127,5	31,1	69,552	64,656
	R	5	120,0	9.380	85,8	88,8	25.000	150,0	131,5	55,0	171,360	149,760
	R	6	112,0	13.700	85,0	88,9	25.000	150,0	134,0	70,0	290,680	244,800
	R	7	112,0	17.900	85,2	89,6	25.000	150,0	137,0	73,5	413,280	355,520
	R	8	104,0	22.800	84,8	89,8	25.000	150,0	138,5	82,8	612,000	486,720
	R	9	96,0	31.500	85,0	90,8	25.000	150,0	140,0	106,0	1.055,520	800,640
5	R	1	168,0	450	85,1	85,6	25.000	150,0	98,0	10,9	27,360	27,360
	R	2	163,0	750	84,9	85,6	25.000	150,0	100,5	18,3	36,000	36,000
	R	3	157,0	1.320	84,9	86,0	25.000	150,0	106,0	23,2	64,800	64,800
	R	4	150,0	2.070	85,1	86,6	25.000	150,0	111,0	26,4	89,280	87,840
	R	5	139,0	2.880	85,3	87,2	25.000	150,0	115,0	36,9	122,400	119,520
	R	6	129,0	4.000	85,2	87,6	25.000	150,0	118,5	44,5	167,040	162,720
	R	7	125,0	5.700	85,5	88,6	25.000	150,0	121,0	59,7	237,600	226,960
	R	8	116,0	8.370	85,0	88,9	25.000	150,0	125,5	72,0	371,520	352,800
	R	9	108,0	11.800	85,0	89,8	25.000	150,0	128,5	91,0	587,520	557,280
	R	10	96,0	16.200	85,2	90,9	25.000	150,0	132,0	105,0	950,400	891,280
	R	11	94,0	20.200	85,2	91,7	25.000	150,0	134,0	119,0	1.257,120	1.160,560

TABELA 3.3 - DADOS EXPERIMENTAIS APRESENTADOS POR BELL
E TINKER (continuação).

T	P	M	$\mu_{Te}(cp)$	W _s (lbm/h)	t ₁ (°F)	t ₂ (°F)	W _t (lbm/h)	T ₁ (°F)	T ₂ (°F)	hoeB TU $\Delta P_{te}^2 \rho_F^2$	$\Delta P_{te}(lbf/\rho_F^2)$	$\Delta P_{se}(lbf/\rho_F^2)$
6	R 1	163,0	4.380	85,0	85,8	92.500	150,0	117,0	30,4	73,440	70,560	
	R 2	157,0	7.200	85,3	86,4	92.500	150,0	120,5	43,8	115,200	106,560	
	R 3	150,0	11.000	85,0	86,4	92.500	150,0	126,0	51,0	195,840	175,680	
	R 4	145,0	13.700	85,1	86,7	92.500	150,0	127,0	60,5	233,280	201,600	
	R 5	145,0	15.500	85,1	86,8	92.500	150,0	128,0	65,3	293,760	254,880	
	R 6	145,0	20.200	85,1	87,1	92.500	150,0	131,0	72,5	408,960	341,280	
	R 7	139,0	22.800	85,0	87,1	92.500	150,0	132,0	78,0	482,400	394,560	
	R 8	139,0	25.000	84,8	87,0	92.500	150,0	133,0	79,3	524,160	419,040	
7	R 1	150,0	475	87,7	88,0	18.500	149,0	119,0	32,4	73,440	73,440	
	R 2	150,0	675	86,3	86,8	18.500	151,0	120,0	46,0	97,920	96,480	
	R 3	145,0	945	87,0	87,5	18.500	150,0	123,5	53,5	122,400	120,960	
	R 4	137,0	1.260	85,0	85,5	18.500	149,0	124,0	65,3	164,160	161,280	
	R 5	129,0	3.540	85,8	87,0	18.500	150,5	134,8	109,0	540,000	514,080	
	R 6	129,0	4.410	84,9	86,5	18.500	151,0	136,5	122,0	720,000	676,680	
	R 7	290,0	612	69,5	69,9	18.500	121,0	97,2	39,4	164,160	164,160	
	R 8	350,0	900	67,0	67,5	18.500	121,0	101,0	42,9	239,040	237,600	
	R 9	322,0	1.550	67,2	67,9	18.500	119,5	102,0	67,5	385,920	381,600	
	R 10	309,0	1.980	66,8	67,4	18.500	121,5	106,0	70,4	460,800	452,160	
	R 11	309,0	2.250	67,3	68,2	18.500	119,5	105,0	80,0	555,840	545,760	
	R 12	268,0	3.050	68,4	69,4	18.500	121,0	109,0	87,0	835,200	816,480	
	R 13	268,0	3.620	68,7	69,7	18.500	120,0	109,0	98,0	914,400	887,040	
	R 14	258,0	4.710	68,8	69,8	18.500	121,5	111,2	116,0	1310,400	1267,200	
	R 15	240,0	6.060	70,2	71,5	18.500	120,0	112,0	120,0	1900,800	1828,800	
8	R 1	163,0	1.020	85,6	85,9	57.500	151,5	120,0	13,1	48,960	48,960	
	R 2	168,0	1.770	85,2	85,6	57.500	150,0	121,0	21,1	97,920	97,920	
	R 3	163,0	4.260	84,5	85,4	57.500	149,0	122,0	48,3	213,120	210,240	
	R 4	163,0	4.880	83,3	84,4	57.500	151,0	122,5	55,0	218,880	214,560	
	R 5	163,0	5.800	83,8	85,1	57.500	150,0	123,5	63,0	295,200	289,440	
	R 6	163,0	7.750	82,4	83,9	57.500	150,0	126,0	69,5	426,240	416,160	
	R 7	160,0	8.600	84,3	85,9	57.500	151,0	127,0	83,0	426,240	414,720	
	R 8	145,0	13.900	82,6	84,8	57.500	150,0	131,0	102,0	914,400	880,160	
	R 9	133,0	17.300	85,4	87,5	57.500	150,0	133,5	115,0	1.195,200	1.152,000	
	R 10	125,0	27.000	84,6	87,5	57.500	150,0	135,0	151,0	2.217,600	2.102,400	
	R 11	365,0	2.510	66,6	67,0	57.500	121,0	102,0	21,8	228,960	227,520	
	R 12	290,0	3.040	70,7	71,1	57.500	120,0	102,0	28,0	262,080	260,640	
	R 13	365,0	3.690	66,2	66,8	57.500	120,0	101,5	31,9	311,040	308,160	
	R 14	365,0	4.210	65,9	66,6	57.500	121,0	102,0	36,9	391,680	388,800	
	R 15	309,0	6.240	67,6	68,5	57.500	119,5	102,5	52,3	355,840	350,080	
	R 16	309,0	10.800	65,9	67,4	57.500	121,0	105,0	82,0	1.048,320	1.029,600	
	R 17	290,0	13.500	65,8	67,4	57.500	120,0	106,0	89,0	1.425,600	1.396,800	
	R 18	268,0	18.200	66,7	68,5	57.500	121,0	108,5	109,0	2.016,000	1.958,400	
9	R 1	129,0	11.400	90,3	92,2	65.000	140,0	119,5	70,0	868,320	856,800	
	R 2	129,0	14.300	89,5	91,5	65.000	139,5	120,5	80,0	1.137,600	1.123,200	
	R 3	125,0	17.100	90,3	92,5	65.000	140,0	122,0	91,0	1.670,400	1.641,600	
	R 4	125,0	20.700	89,2	91,8	65.000	140,0	123,5	97,0	2.160,000	2.116,800	
	R 5	125,0	23.900	90,0	92,9	65.000	140,0	124,0	112,0	2.707,200	2.649,600	
	R 6	116,0	28.100	90,3	93,5	65.000	140,0	125,0	125,0	3.600,000	3.528,000	
10	R 1	21,1	27.000	154,0	160,0	83.500	190,2	164,6	128,0	1.147,680	1.117,440	
	R 2	21,1	34.000	154,0	160,0	83.500	190,2	166,0	147,0	1.483,200	1.438,560	
	R 3	21,1	36.100	154,0	160,0	83.500	189,6	165,8	156,0	1.738,000	1.684,800	
	R 4	20,8	40.500	154,0	160,0	83.500	190,2	166,4	171,0	2.016,000	1.958,400	
	R 5	20,8	45.000	154,0	160,0	83.500	190,2	167,2	181,0	2.361,600	2.275,200	
	R 6	20,8	49.500	154,0	160,0	83.500	189,8	167,8	190,0	2.592,000	2.491,200	
	R 7	20,8	54.000	155,0	161,0	83.500	190,2	169,0	206,0	2.808,000	2.692,800	

T - TROCADOR

P - PROCESSO

M - MEDIDAÇÃO

TABELA 3.3 - DADOS EXPERIMENTAIS APRESENTADOS POR BELL
E TINKER (continuação).

T	P	M	$\mu_{Te}(\text{cp})$	Ws(lbm/h)	$t_1(^{\circ}\text{F})$	$t_2(^{\circ}\text{F})$	Wt(lbm/h)	$T_1(^{\circ}\text{F})$	$T_2(^{\circ}\text{F})$	hoe BTU		
										$h_{pe}^2(^{\circ}\text{F})$	$\Delta P_{Pe}(\text{lbf}/\text{pe}^2)$	$\Delta P_{Te}(\text{lbf}/\text{pe}^2)$
11	1	21,1	18.000	154,0	157,0	83.500	189,0	162,8	87,2	417,600	403,200	
	2	21,1	27.000	154,0	158,0	83.500	190,3	165,5	107,0	705,600	676,800	
	3	21,1	29.700	154,0	158,0	83.500	190,5	166,8	119,0	799,200	764,640	
	4	21,1	33.700	154,0	159,0	83.500	190,3	167,5	125,0	972,000	927,360	
	5	20,8	36.100	155,0	160,0	83.500	190,0	168,0	132,0	1.051,200	1.008,000	
	6	20,8	40.500	154,0	159,0	83.500	190,3	168,3	144,0	1.209,600	1.152,000	
	7	20,8	45.000	154,0	160,0	83.500	190,0	169,3	152,0	1.440,000	1.353,600	
	8	20,8	49.500	154,0	160,0	83.500	189,8	169,5	164,0	1.641,600	1.540,800	
	9	20,8	54.000	154,0	161,0	83.500	190,3	170,5	175,0	1.886,400	1.771,200	
12	1	38,5	490	79,9	120,2	140.000	125,0	125,0	7,5	6,480	6,480	
	2	38,5	950	80,0	116,6	140.000	125,0	125,0	10,7	14,832	14,832	
	3	39,0	1.800	80,1	113,3	140.000	125,0	125,0	16,2	42,480	42,480	
	4	42,2	2.700	80,0	111,0	140.000	125,0	124,0	21,3	67,824	57,824	
	5	42,2	4.950	80,0	106,8	140.000	125,0	125,0	30,2	150,480	150,480	
	6	42,2	6.300	80,0	104,4	140.000	125,0	124,0	33,9	216,720	214,560	
	7	42,2	11.300	80,0	101,8	140.000	125,0	124,0	51,5	419,040	416,160	
	8	42,2	14.400	80,0	100,2	140.000	125,0	124,0	59,5	636,480	630,720	
	9	42,2	18.500	80,1	99,1	140.000	125,0	123,0	71,0	884,160	876,960	
	10	42,2	23.000	80,2	97,9	140.000	125,0	123,0	82,0	1.152,000	1.140,480	
	11	42,2	27.000	80,0	97,0	140.000	125,0	123,0	90,0	1.504,800	1.483,200	
	12	24,0	900	141,0	141,0	140.000	180,4	151,0	923	6,480	6,480	
	13	25,0	2.430	140,0	140,0	140.000	180,4	151,3	22,9	19,584	19,584	
	14	25,0	4.560	140,0	140,0	140.000	179,6	163,0	37,8	43,200	43,200	
	15	24,4	8.190	140,0	140,0	140.000	180,6	154,8	46,8	64,800	63,360	
	16	24,4	8.540	140,0	141,0	140.000	180,4	157,1	54,9	105,120	103,680	
	17	24,4	11.100	140,0	141,0	140.000	180,0	158,2	66,7	164,160	161,280	
	18	24,4	18.200	140,0	141,0	140.000	179,6	160,4	90,4	354,240	347.040	
	19	23,4	22.700	140,0	141,0	140.000	180,0	162,0	104,0	524,160	511,200	
	20	23,4	27.300	140,0	142,0	140.000	180,2	163,0	120,0	734,400	720,000	
	21	23,4	33.500	140,0	142,0	140.000	180,6	164,1	139,0	1.042,560	1.015,200	
	22	23,4	38.200	140,0	142,0	140.000	180,4	164,6	152,0	1.310,400	1.267,200	
	23	23,4	44.700	140,0	142,0	140.000	180,0	165,2	169,0	1.749,600	1.699,200	
	24	23,4	57.000	140,0	143,0	140.000	180,0	166,3	198,0	2.736,000	2.649,600	

T - TROCADOR

P - PROCESSO

M - MEDIDAÇÃO

Nesta tabela:

Medição = número da medição

Processo: A = aquecimento do fluido do casco

R = resfriamento do fluido do casco

μ_{Te} = viscosidade do fluido do casco à temperatura externa da rede dos tubos (centipoise).

W_s = vazão do fluido do casco ($\ell\text{bm}/\text{h}$)

t_1, t_2 = temperaturas de entrada e saída do fluido frio ($^{\circ}\text{F}$)

W_t = vazão do fluido dos tubos ($\ell\text{bm}/\text{h}$)

T_1, T_2 = temperaturas de entrada e saída do fluido quente ($^{\circ}\text{F}$)

h_{oe} = coeficiente de película do lado do casco, proveniente dos testes experimentais de BELL e TINKER (BTU/h pé 2 $^{\circ}\text{F}$)

ΔP_{ek} = perda de carga experimental do lado do casco proveniente dos testes de BELL e TINKER, incluindo as perdas de carga nos bocais do casco ($\ell\text{bf/pé}^2$) (para KERN)

ΔP_{se} = perda de carga experimental do lado do casco, proveniente dos testes de BELL e TINKER, sem incluir as perdas de carga nos bocais do casco ($\ell\text{bf/pé}^2$) (para BELL e TINKER)

onde:

N_{espj} = número de espaçadores na janela, dado no item 4.5(j) do Capítulo 4.

. como nada foi mencionado a respeito do número de pares de tiras selantes, verificou-se a necessidade das mesmas, de acordo com as dimensões dos trocadores utilizados, através dos testes citados no item 4.2.15. Para os trocadores que teriam a necessidade do uso de tiras selantes, estas foram consideradas, sendo seu número determinado pelas equações (2.57), (2.58), (2.59) e (4.41).

. as razões p/d_2 (pitch ratio) foram re-calculadas, porque as que foram dadas não correspondem à divisão entre "p" e " d_2 ".

. as espessuras das paredes dos tubos (BWG) foram retiradas da Tabela R-2-21 da TEMA (Classe R)^(3.3), em função do diâmetro externo dos tubos (d_2) e do material dos tubos.

As propriedades físicas do ÓLEO NAVAC 2190 foram apresentadas em uma tabela (calor específico e densidade específica) e em uma figura (viscosidade e a relação viscosidade x raiz cúbica do número de PRANDTL). Para a aplicação dessas propriedades foram estabelecidas funções que utilizam os dados lidos na figura e na tabela; para o calor específico e a densidade, as funções são lineares e para a viscosidade e a condutividade térmica elas são de grau 2.

Os valores das propriedades acima citadas são dadas na Tabela 3.4, em função da temperatura.

TABELA 3.4 - PROPRIEDADES FÍSICAS DO ÓLEO NAVAC 2190^(3.2)

TEMPERATURA (°F)	CALOR ESPECÍFICO (BTU/lbm °F)	CONDUT.TÉRMICA (BTU/hpé °F)	VISCOSIDADE (lbm/h pé)	DENSIDADE (lbm/pé³)
50,0	0,429	0,0887	2420,0	57,375
60,0	0,435	0,0797	1331,0	57,125
70,0	0,440	0,0756	774,4	56,9375
80,0	0,446	0,0739	508,2	56,6875
90,0	0,452	0,07305	387,2	56,5
100,0	0,457	0,0740	242,0	56,25
150,0	0,485	0,0712	67,76	55,125
180,0	0,502	0,0680	37,51	54,4375
200,0	0,513	0,0690	24,2	54,0

As viscosidades à temperatura externa da parede dos tubos (μ_{T_e}) foram apresentadas por TINKER e foram utilizadas nos cálculos do presente trabalho.

Os dados experimentais correspondentes às medições efetuadas com os trocadores de 4 a 12 estão mostrados na Tabela 3.3, bem como os valores de μ_{T_e} . As perdas de carga estão diferenciadas em duas colunas, uma considerando as perdas de carga nos bocais do casco e a outra não, de maneira análoga à apresentação dos dados de BELL.

Para a água, as propriedades físicas foram consideradas da seguinte maneira:

- . para os valores da viscosidade foi montada uma função linear em aplicação da Figura 14 do KERN^(3.6), só para o caso da água, onde as coordenadas da tabela da figura são X=10,2 e Y=13,0.
- . com os dados fornecidos na tabela de propriedades da água^(3.7), foram estabelecidas funções de grau 2 para a densidade e o calor específico à pressão constante, e uma função linear para a condutividade térmica, todas correspondendo ao intervalo de temperatura de 32 a 212°F (0 a 100°C).

3.2 - APLICAÇÃO DOS MÉTODOS DE KERN, TINKER e BELL

Para a aplicação dos métodos de KERN, TINKER e BELL, foram obedecidas as sequências de cálculo correspondentes, apresentadas no Anexo A.

É importante observar que, os métodos de KERN e de BELL para o cálculo do coeficiente de película e da perda de carga se aplicam a trocadores considerados limpos, enquanto o método de TINKER considera o trocador limpo para o cálculo do coeficiente de película mas considera o trocador com depósitos para efeito do cálculo da perda de carga do lado do casco.

Algumas suposições foram consideradas para os cálculos:

- . para o método de KERN, as temperaturas nas quais as propriedades físicas dos fluidos foram determinadas, foram as temperaturas

médias já que, se verificou que as temperaturas médias dos fluidos para cada processo são bem próximas de suas temperaturas caloricas. Para os métodos de BELL e TINKER as propriedades físicas foram consideradas à temperatura média dos fluidos.

- . os tubos dos trocadores não são considerados aletados.
- . no método de BELL, a expressão para o cálculo do número de fileiras de tubos encontradas pelo escoamento na janela (N_j) (equação 2.65), geralmente resulta em um número fracionário. BELL^(3.1) recomenda que esse valor seja aplicado assim mesmo, isto é, como um número real no lugar de um número inteiro.
- . os dados apresentados por BELL não trazem os valores das correções para os efeitos não isotérmicos (variação da viscosidade com a temperatura) no coeficiente de película e na perda de carga. No método de KERN esta correção é feita de acordo com a discussão apresentada no item 2.1.8. Para os métodos de TINKER e BELL, esta forma de correção foi assumida na aplicação dos dados de BELL, para o cálculo do coeficiente de película e da perda de carga do lado do casco.
- . TINKER definiu $C_7 = C_8$, correspondendo à perda de altura dinâmica do escoamento através de uma fileira de tubos nos arranjos quadrado e triangular, respectivamente^(3.2).
- . para o cálculo através do método de BELL não foi considerado o trocador 11 (da Tabela 3.1) porque o mesmo possui o corte da chicanha igual a 50% e isso faz com que o número de fileiras de tubos encontradas pelo escoamento cruzado (N_r) seja zero, o que impossibilita a continuação dos cálculos.

3.3 - RESULTADOS PROVENIENTES DOS CÁLCULOS

Os cálculos da comparação entre os métodos de KERN, TINKER e BELL foram efetuados no computador, em terminais ligados ao PDP10 da Central de Computação da Universidade Estadual de Campinas (UNICAMP). Os programas foram desenvolvidos em FORTRAN 10 (uma versão mais sofisticada do FORTRAN IV), tendo sido feitos cálculos à mão para a verificação da integridade dos cálculos e, con-

sequentemente, dos resultados dos mesmos.

No Anexo B é mostrado o diagrama de blocos que indica a lógica utilizada para a realização dos cálculos de comparação efetuados pelo computador. Lá estão também, as listagens dos programas dos três métodos: KERN, TINKER e BELL (subrotinas) bem como a do programa principal; este último fornece os dados de entrada necessários, chama essas subrotinas e prepara a saída dos resultados.

Para a leitura no computador de fatores e coeficientes das curvas ajustadas aos gráficos pertinentes aos três métodos, foram analisados dois métodos de cálculo numérico. O primeiro foi o método das diferenças divididas^(3.8) e o outro o método dos mínimos quadrados (regressão linear e polinomial)^(3.9), ambos discutidos no Anexo D. O método dos mínimos quadrados apresentou resultados mais precisos do que os do método de diferenças divididas, tendo sido escolhido para o ajuste das curvas dos referidos gráficos.

Para o cálculo da perda de carga pelo método de TINKER, os gráficos do coeficiente de atrito f_x utilizados no computador, foram retirados do livro de FRAAS e OZISIK^(3.10); eles possuem os valores dos coeficientes iguais a 4 vezes os valores correspondentes, dos gráficos originais de TINKER^(3.11). Por isso, a expressão para o cálculo da perda de carga encontra-se dividida por 4.

• Tabelas

Os resultados dos cálculos de comparação estão listados nas Tabelas 3.5, 3.6 e 3.7, para cada método, preparadas pelo computador. Cada tabela apresenta os resultados correspondentes aos doze trocadores estudados. Os seguintes parâmetros são listados:

MED = Número de medição

PRÓCES = Aquecimento ou resfriamento do fluido do casco

RES = Re_s = Número de REYNOLDS para o fluido do casco (KERN e BELL)

REH = Re_h = Número de REYNOLDS para o fluido do casco, para a troca de calor (TINKER)

REP = Re_p = Número de REYNOLDS para o fluido do casco, para a perda de carga (TINKER)

HO = h_o = Coeficiente de película do lado do casco, calculado pelos três métodos (BTU/h pé² °F)

HOE = h_{oe} = Definido anteriormente (BTU/h pé² °F)

DELPS = ΔP_s = perda de carga do lado do casco, calculada pelos três métodos (lbf/pé^2)

DELPEK = ΔP_{ek} = definido anteriormente (lbf/pé^2)

DELPSE = ΔP_{se} = definido anteriormente (lbf/pé^2)

HO/HOE = razão entre os coeficientes de película calculado e experimental

DELPS/DELPEK, DELPS/DELPSE = razões entre as perdas de carga calculada e experimental.

TABELA 3.5 - RESULTADOS DO MÉTODO DE KERN.

TROCADOR # 1 - KERN

MED	PROCES	RFS	HO	HOF	DELPs	DELPEK	HO/HOE	DELPs/DELPEK
1	AQUEC	9534.4	744.65	695.00	7581.503	1577.000	1.071439	4.807548
2	AQUEC	5104.9	538.67	447.00	2452.342	491.000	1.218703	4.994581
3	AQUEC	3158.7	419.28	318.00	1025.458	206.000	1.352527	4.977951
4	AQUEC	4071.8	478.70	376.00	1631.311	208.000	1.273137	4.842842
5	RESFR	9542.0	707.32	630.00	7965.577	1570.000	1.106917	5.073616
6	RESFR	8072.3	647.98	573.00	5925.142	1160.000	1.130847	5.107881
7	RESFR	5036.3	504.91	404.00	2528.699	460.000	1.249786	5.497172
8	RESFR	3377.2	408.80	309.00	1230.244	212.000	1.322965	5.803035
9	RESFR	9497.7	705.36	667.00	7901.310	1470.000	1.057513	5.375041

TROCADOR # 2 - KERN

MED	PROCES	RFS	HO	HOF	DELPs	DELPEK	HO/HOE	DELPs/DELPEK
1	AQUEC	7078.0	633.77	618.00	4450.826	1020.000	1.025517	4.363555
2	AQUEC	4148.3	482.90	403.00	1688.625	362.000	1.198257	4.664711
3	AQUEC	2782.1	393.34	308.00	824.316	179.000	1.277090	4.605120
4	AQUEC	1513.8	286.39	200.00	272.911	78.300	1.431931	3.485455
5	RESFR	6882.5	602.53	429.00	4675.334	997.000	1.407775	4.689112
6	RESFR	3047.2	387.27	325.00	1023.918	340.000	1.191585	3.011524
7	RESFR	2789.9	369.84	249.00	874.506	196.000	1.485304	4.461766
8	RESFR	1471.4	263.79	164.00	274.731	77.500	1.608448	3.544920
9	RESFR	1499.8	266.66	167.00	284.477	75.900	1.596742	3.748052
10	RESFR	4127.3	454.53	314.00	1766.133	389.000	1.447540	4.501088
11	RESFR	2833.6	372.56	254.00	898.865	175.000	1.466779	5.136372

TROCADOR # 3 - KERN

MED	PROCES	RFS	HO	HOF	DELPs	DELPEK	HO/HOE	DELPs/DELPEK
1	AQUEC	9631.6	726.07	834.00	7941.490	1920.000	.870588	4.136193
2	AQUEC	8122.1	685.83	734.00	5671.484	1430.000	.934370	3.966072
3	AQUEC	5119.4	538.87	524.00	2451.765	602.000	1.028372	4.072700
4	AQUEC	3052.9	422.79	398.00	1079.748	270.000	1.064072	3.999068
5	AQUEC	1517.6	286.15	211.00	273.155	63.500	1.356139	4.301659
6	AQUEC	6366.5	601.77	587.00	3579.901	978.000	1.021679	3.680431
7	AQUEC	2156.9	343.93	275.00	521.787	1395.000	1.250664	0.374041
8	RESFR	9488.0	705.63	643.00	7899.875	1920.000	1.097401	4.114518
9	RESFR	8115.2	647.48	584.00	5850.472	1432.000	1.108695	4.055525
10	RESFR	5077.2	506.97	425.00	2556.450	566.000	1.192860	4.516696
11	RESFR	3206.1	398.07	311.00	1126.865	254.000	1.279962	4.436475
12	RESFR	1495.2	265.94	186.00	282.869	69.400	1.477426	4.075919
13	RESFR	2183.4	324.96	239.00	560.112	157.000	1.359670	3.567595
14	RESFR	6395.9	572.68	506.00	3876.326	990.000	1.131788	3.915481

TABELA 3.5 - RESULTADOS DO MÉTODO DE KERN (continuação)

TRIAC DUR # 4 - KERN							
	PROCES	RFS	HQ	HQR	DELPKS	DELPEK	HQ/HQE
							DELPKS/DELPEK
1	RECFC	22.1	72.78	7.60	38.259	14.688	9.578595
2	RESFR	45.2	100.50	13.70	83.507	27.792	7.336072
3	RESFR	78.7	129.53	23.00	163.947	46.384	5.631987
4	RESFR	113.4	153.59	31.10	269.138	69.552	4.938728
5	HESFR	255.6	223.76	56.00	915.021	171.360	4.06453
6	RESFR	372.3	267.18	70.00	1670.402	290.880	3.816849
7	HESFR	503.6	307.20	73.50	2686.772	413.280	4.179536
8	HESFR	652.5	348.71	82.00	4175.955	612.000	4.211509
9	RESFR	916.9	414.04	106.00	7540.423	1055.520	3.06017

MED	PROCES	RFS	HO	HOF	DELPS			HO/HOF	DELPS/DELPEK
					DELPEK	HO/HOF	DELPS/DELPEK		
1	RESFR	7.8	52.09	10.90	24.890	27.360	4.778938	0.909714	
2	RESFR	13.4	66.00	16.30	38.510	36.000	4.048919	1.059728	
3	RESFR	25.4	85.72	21.70	65.396	64.800	3.695016	1.009202	
4	RESFR	42.4	105.67	26.40	105.420	89.280	4.001084	1.180779	
5	RESFR	62.1	123.30	36.00	154.546	122.400	3.341446	1.262630	
6	RESFR	90.0	144.13	44.50	233.275	167.040	3.238940	1.396523	
7	RESFR	132.2	171.48	59.70	396.046	237.600	2.872389	1.664862	
8	RESFR	204.9	206.83	72.00	724.255	371.520	2.872601	1.449439	
9	RESFR	299.3	246.38	91.00	1287.745	587.520	2.797467	2.191831	
10	RESFR	428.1	290.34	105.00	2234.005	950.400	2.765158	2.350595	
11	RESFR	546.4	325.85	110.00	3338.116	1257.120	2.738198	2.655368	

TROCADOR # 6 - KERN								
MED	PROCES	RFS	HO	HOF	DELPs	DELPEK	HO/HOE	DELPs/DELPEK
1	RESFR	51.9	111.64	30.40	99.753	73.440	3,672315.	1.358299
2	PESFR	89.0	140.55	41.90	187.278	115.200	3.208881	1.625674
3	RESFR	145.3	170.98	51.50	354.311	195.840	3.352496	1.869188
4	RESFR	183.1	189.36	60.50	503.833	233.280	3.129889	2.159777
5	PESFR	209.6	201.33	65.30	616.577	293.760	3.083155	2.058914
6	PESFR	233.9	229.75	72.50	961.713	466.960	3.169024	2.351608
7	RESFK	323.2	244.25	70.60	1186.116	482.400	3.131367	2.458782
8	RESFR	350.5	255.98	70.30	1394.461	524.160	3.228001	2.660374

TABELA 3.5 - RESULTADOS DO MÉTODO DE KERN (continuação).

TRÓCADOR 1.7 - KFRP

REL	PROCES	RFS	HD	HDE	DELPs	DELPk	HD/HDE	DELPs/DELPk
1	RESFR	19.1	129.51	32.40	72.940	73.140	4.105442	1.02211
2	RESFR	20.1	160.11	46.00	103.500	97.970	3.568171	1.52211
3	RESFR	40.5	171.82	52.50	156.167	122.400	3.585341	1.22211
4	RESFR	51.7	219.12	65.70	214.986	166.100	3.355633	1.32211
5	RESFR	174.3	155.11	100.00	913.943	540.000	3.258146	1.62211
6	RESFR	222.7	396.01	122.00	1300.432	720.000	3.245968	1.52211
7	RESFR	12.5	156.00	32.40	168.471	164.160	3.961245	1.02211
8	RESFR	17.5	186.07	42.00	236.981	239.640	4.137499	1.82211
9	RESFR	33.3	239.94	67.50	413.977	385.920	3.555267	1.12211
10	RESFR	46.4	268.63	72.40	549.247	460.800	3.815769	1.12211
11	RESFR	50.5	285.60	46.00	686.226	555.840	3.570017	1.12211
12	RESFR	74.3	330.03	87.00	936.551	635.200	3.743465	1.12211
13	RESFR	86.7	157.25	98.00	3182.042	914.400	3.645367	1.12211
14	RESFR	116.9	403.94	116.00	1731.179	1310.400	3.452013	1.22211
15	RESFR	151.4	155.41	120.20	2575.962	1900.800	3.784783	1.32211

TRÓCADOR 1.6 - KFRP

REL	PROCES	RFS	HD	HDE	DELPs	DELPk	HD/HDE	DELPs/DELPk
1	RESFR	12.3	119.68	12.10	70.227	48.960	9.135822	1.52221
2	RESFR	24.7	154.59	21.10	139.663	97.920	7.326486	1.42221
3	RESFR	59.5	232.45	49.70	398.086	213.120	4.812548	1.92221
4	RESFR	69.1	245.52	55.00	457.512	216.880	4.463977	2.02221
5	RESFR	83.5	268.15	62.00	589.019	295.200	4.256319	1.92221
6	RESFR	114.9	306.60	69.50	900.434	426.240	4.411477	2.11221
7	RESFR	130.6	322.10	83.00	1050.307	426.240	3.860713	2.42221
8	RESFR	218.6	104.82	102.00	2271.434	914.400	3.968813	2.42221
9	RESFR	286.1	455.70	115.00	3252.232	1195.200	3.962566	2.72211
10	RESFR	349.9	574.71	151.00	7065.063	2217.000	3.606012	3.12221
11	RESFR	18.5	180.28	21.80	340.004	228.960	8.262674	1.44221
12	RESFR	22.1	198.25	28.50	418.820	262.080	7.080246	1.52221
13	RESFR	20.6	215.81	31.00	523.528	311.040	6.705090	1.62221
14	RESFR	31.0	229.38	35.00	598.087	391.580	6.216250	1.52221
15	RESFR	45.3	276.40	52.30	960.483	555.840	5.254697	1.72221
16	RESFR	83.1	356.54	82.00	1886.497	1048.320	4.348093	1.72221
17	RESFR	103.9	395.87	89.00	2622.844	1425.000	4.447933	1.82211
18	RESFR	147.3	455.79	109.00	4100.295	2016.000	4.161525	2.02211

TRÓCADOR 1.9 - KFRP

REL	PROCES	RFS	HD	HDE	DELPs	DELPk	HD/HDE	DELPs/DELPk
1	RESFR	222.8	288.03	70.80	3334.078	668.320	4.114701	3.835234
2	RESFR	281.2	321.98	86.00	4907.385	1137.600	4.024721	4.311773
3	RESFR	344.8	352.91	91.80	6684.515	1670.400	3.878120	4.021765
4	RESFR	494.5	391.08	97.00	9309.286	2160.000	4.631795	4.327935
5	RESFR	494.1	419.24	112.00	12128.819	2707.200	3.743222	4.632220
6	RESFR	588.2	457.11	125.00	16259.829	3600.000	3.656491	4.516519

TABELA 3.5 - RESULTADOS DO MÉTODO DE KERN (continuação).

TROCADOR #10 - KERN

Nº	PROCES	RFC	HD	HOF	DELPs	DELPEK	HO/HOE	DELPs/DELPEK
1	RESFR	252.3	334.27	128.00	1091.213	1147.580	2.611452	0.950799
2	RESFR	323.0	374.98	147.00	1624.781	1483.200	2.550892	1.075456
3	RESFR	340.4	386.30	156.00	1807.252	1728.000	2.476277	1.045863
4	RESFR	386.2	409.58	171.00	2216.768	2016.000	2.395225	1.099587
5	RESFR	432.3	431.95	181.00	2663.635	2361.000	2.386473	1.177894
6	RESFR	476.3	453.41	150.00	3171.530	2592.000	3.022747	1.223584
7	RESFR	527.3	474.68	206.00	3715.662	2808.000	2.304262	1.123241

TROCADOR #11 - KERN

Nº	PROCES	RFC	HD	HOF	DELPs	DELPEK	HO/HOE	DELPs/DELPEK
1	RESFR	164.2	273.86	87.70	559.465	417.500	3.140555	1.339714
2	RESFR	255.6	334.07	107.00	1090.329	705.500	3.122111	1.545251
3	RESFR	285.0	350.41	118.00	1282.529	799.200	2.944611	1.604765
4	RESFR	324.9	373.36	125.00	1598.253	972.000	2.986866	1.644294
5	RESFR	348.7	386.71	132.00	1803.507	1051.200	2.929803	1.715760
6	RESFR	393.3	409.56	144.00	2216.564	1209.000	2.844149	1.832477
7	RESFR	439.8	432.24	152.00	2663.070	1440.000	2.843671	1.849354
8	RESFR	483.8	453.70	164.00	3170.923	1641.600	2.766449	1.931605
9	RESFR	535.1	474.80	175.00	3716.398	1886.400	2.713124	1.970101

TROCADOR #12 - KERN

Nº	PROCES	RFC	HD	HOF	DELPs	DELPEK	HO/HOE	DELPs/DELPEK
1	AQUEC	2.0	51.61	7.50	66.190	6.480	6.880981	10.214581
2	AQUEC	3.7	69.95	10.70	108.343	14.832	6.537284	7.304663
3	AQUEC	6.7	93.92	16.20	187.151	42.480	5.797641	4.405622
4	AQUEC	9.6	113.15	21.30	276.779	67.824	5.312440	4.080847
5	AQUEC	16.4	149.70	30.20	527.844	150.480	4.957076	3.507736
6	AQUEC	20.0	167.18	33.90	701.895	216.720	4.931643	3.238716
7	AQUEC	34.3	218.98	51.50	1392.499	419.040	4.252103	3.323069
8	AQUEC	42.4	244.91	59.50	1895.401	636.480	4.116173	2.977943
9	AQUEC	53.5	274.82	76.00	2616.569	884.160	3.870731	2.959384
10	AQUEC	65.2	303.90	89.00	3501.580	1152.000	3.706101	3.039540
11	AQUEC	75.0	327.26	96.00	4374.767	1504.600	3.636173	2.907208
12	RESFR	99.6	67.90	9.23	19.269	6.480	7.356232	2.973562
13	RESFR	53.0	107.53	22.00	60.708	19.584	4.695450	3.099876
14	RESFR	100.4	144.02	37.00	142.039	43.200	3.810112	3.287947
15	RESFR	128.1	166.09	46.00	231.757	64.800	3.548936	3.576500
16	RESFR	197.2	192.82	54.90	379.398	105.120	3.512147	3.669185
17	RESFR	258.1	219.86	68.70	589.579	164.160	3.296238	3.591491
18	RESFR	430.6	281.71	96.40	1400.793	354.240	3.116282	3.954361
19	RESFR	547.5	315.51	104.00	2098.962	524.160	3.033757	4.004430
20	RESFR	666.1	347.35	120.00	2940.418	734.400	2.894605	4.001837
21	RESFR	829.1	386.63	130.00	4276.270	1042.560	2.781510	4.101701
22	RESFR	948.1	414.25	152.00	5442.899	1310.400	2.725302	4.153616
23	RESFR	1111.6	442.41	168.00	7221.715	1749.500	2.633422	4.127638
24	RESFR	1432.3	503.10	198.00	11171.543	2736.000	2.540901	4.03166

TABELA 3.6 - RESULTADOS DO MÉTODO DE TINKER.

TROCADOR # 1 - TINKER

MED	PpDCEs	REH	RDP	HO	HOE	DELPs	DELPSE	HO/HOE	DELPs/DELPSE
1	AQUEC	2031.0	3102.2	443.76	496.00	999.978	1265.400	0.638507	0.790247
2	AQUEC	1037.4	1661.0	311.11	442.00	322.882	441.500	0.703861	0.731168
3	AQUEC	672.9	1027.8	233.10	310.00	136.363	92.600	0.751941	1.472602
4	AQUEC	667.4	1324.9	270.30	376.00	215.438	283.000	0.718893	0.761265
5	RESFR	2032.6	3104.7	414.64	439.00	1068.110	1326.100	0.648887	0.805452
6	RESFR	1719.5	2626.5	376.86	473.00	793.791	931.200	0.657694	0.852438
7	RESFR	1072.8	1638.7	286.92	404.00	338.089	426.100	0.710209	0.793449
8	RESFR	719.4	1098.8	224.99	309.00	165.590	199.500	0.728116	0.830027
9	RESFR	2023.2	3090.3	413.34	467.00	1059.563	1214.000	0.619694	0.872820

TROCADOR # 2 - TINKER

MED	PpDCEs	REH	RDP	HO	HOE	DELPs	DELPSE	HO/HOE	DELPs/DELPSE
1	AQUEC	2567.0	4695.5	504.79	618.00	2159.536	851.670	0.816808	2.525708
2	AQUEC	1504.5	2752.0	373.97	403.00	808.912	359.100	0.927953	2.752608
3	AQUEC	1009.0	1845.6	298.36	308.00	393.962	168.150	0.968699	2.342922
4	AQUEC	549.7	1005.6	207.25	200.00	132.042	56.530	1.036266	2.335784
5	RESFR	2496.0	4565.8	472.85	428.00	2296.721	628.900	1.104790	3.651965
6	RESFR	1105.1	2021.5	261.71	325.00	493.088	367.000	0.897580	1.349013
7	RESFR	1011.8	1850.8	277.30	249.00	422.885	178.980	1.113639	2.362752
8	RESFR	533.6	976.1	188.57	164.00	135.922	57.020	1.149834	2.383767
9	RESFR	543.9	995.0	190.87	167.00	140.756	59.408	1.142907	2.369304
10	RESFR	1496.8	2738.1	347.71	314.00	856.171	364.150	1.107370	2.351149
11	RESFR	1027.6	1879.8	279.59	256.00	434.613	171.370	1.100737	2.536110

TROCADOR # 3 - TINKER

MED	PpDCEs	REH	RDP	HO	HOE	DELPs	DELPSE	HO/HOE	DELPs/DELPSE
1	AQUEC	3493.0	6389.6	579.98	934.00	3944.875	1699.200	0.695422	2.321607
2	AQUEC	2945.6	5388.2	548.42	734.00	2775.058	1298.600	0.747171	2.136961
3	AQUEC	1856.6	3396.2	421.89	524.00	1178.945	559.800	0.805143	2.106010
4	AQUEC	1107.2	2025.3	322.53	390.00	515.569	237.640	0.826994	2.169538
5	AQUEC	550.4	1006.7	207.04	211.00	132.192	66.930	0.981209	1.975081
6	AQUEC	2308.9	4223.5	475.98	589.00	1733.377	860.500	0.808113	2.014384
7	AQUEC	782.2	1436.9	254.35	275.00	250.219	131.610	0.924898	1.901217
8	RESFR	3441.0	6294.3	560.98	643.00	3937.656	1711.900	0.872449	2.300167
9	RESFR	2943.1	5383.6	511.20	584.00	2899.116	1269.400	0.875346	2.283847
10	RESFR	1841.3	3368.2	391.83	425.00	1244.469	570.500	0.921964	2.181366
11	RESFR	1152.7	2126.9	300.69	311.00	544.857	237.360	0.966833	2.295489
12	RESFR	542.3	991.9	190.28	180.00	139.977	68.880	1.057138	2.032191
13	RESFR	791.8	1446.4	237.89	239.00	271.485	136.860	0.995347	1.983667
14	RESFR	2319.6	4243.0	447.46	506.00	1900.775	730.300	0.884303	2.602731

TABELA 3.6 - RESULTADOS DO MÉTODO DE TINKER (continuação).

TROCADOR # 4 - TINKER

MED	PROCES	REH	REP	HO	ROE	DELPs	DELPSE	HO/HOE	DFLPS/DELPSE
1	RESFR	5,2	12,2	13,68	7,60	98.387	14.544	1.800270	6,764774
2	RESFR	10,6	24,9	19,88	13,70	208.526	26,928	1,451290	7,743826
3	RESFR	18,5	43,3	26,24	23,00	369.957	45,936	1,140800	8,053742
4	RESFR	20,6	62,4	31,50	31,10	532.137	64,656	1,012887	8,230240
5	RESFR	60,0	140,7	47,01	55,00	1255.509	149,760	0,854811	8,383471
6	RESFR	87,4	205,0	56,40	70,00	1953.648	244,800	0,805729	7,981406
7	RESFR	118,2	277,3	66,95	73,50	2824.655	355,520	0,909566	7,945137
8	RESFR	153,1	359,3	78,28	82,90	3999.956	486,720	0,945395	8,218188
9	RESFR	215,2	504,9	96,32	106,00	6568.382	800,640	0,908692	9,203914

TROCADOR # 5 - TINKER

MED	PROCES	REH	REP	HO	ROE	DELPs	DELPSE	HO/HOE	DFLPS/DELPSE
1	RESFR	1,6	3,3	11,36	10,90	58.906	27,360	1,042047	2,153010
2	RESFR	2,7	5,6	14,87	16,30	101.218	36,000	0,912458	2,911605
3	RESFR	5,1	10,6	20,08	23,20	179.535	64,800	0,865505	2,770607
4	RESFR	8,5	17,8	25,56	26,40	281.287	87,840	0,968217	3,202263
5	RESFR	12,4	26,0	30,90	36,90	387.029	119,520	0,837522	3,244888
6	RESFR	18,0	37,7	16,77	44,50	536,481	162,720	0,826195	3,296957
7	RESFR	26,5	55,3	44,02	59,70	775,396	220,960	0,737411	3,186601
8	RESFR	41,1	85,7	53,85	72,00	1135,133	352,600	0,747865	3,217496
9	RESFR	60,0	125,3	64,50	91,00	1667,440	557,280	0,708792	2,992104
10	RESFR	85,9	179,2	76,76	105,00	2430,608	881,280	0,731013	2,758043
11	RESFR	109,6	228,6	98,44	119,00	3257,917	1150,560	0,743168	2,831593

TROCADOR # 6 - TINKER

MED	PROCES	REH	REP	HO	ROE	DELPs	DELPSE	HO/HOE	DFLPS/DELPSE
1	RESFR	13,3	30,5	25,77	30,40	280.819	70,560	0,847752	3,979867
2	RESFR	22,8	52,3	33,15	43,80	471,315	105,560	0,756939	4,422998
3	RESFR	37,2	85,3	41,19	51,00	717,601	175,680	0,807719	4,084706
4	RESFR	46,9	107,5	46,15	60,50	920,914	201,600	0,762781	4,568026
5	RESFR	53,7	123,1	49,06	65,30	1065,770	254,880	0,751373	4,161458
6	RESFR	72,4	166,1	55,97	72,50	1474,389	341,280	0,771955	4,320175
7	RESFR	82,8	189,7	59,79	78,00	1717,072	394,560	0,766496	4,351865
8	RESFR	91,8	210,4	62,59	79,30	1940,431	419,040	0,789242	4,630658

TABELA 3.6 - RESULTADOS DO MÉTODO DE TINKER (continuação).

TROCADOR # 7 - TINKER

REP	PROCES	REH	REP	HO	HOE	DELPs	DELPSE	HO/HOE	DELPs/DELPSE
1	RESFR	11.7	18.1	32.02	32.40	171.163	73.440	0.988310	2.330653
2	RESFR	17.3	26.7	48.07	46.00	231.935	96.480	0.827676	2.403972
3	RESFR	25.0	38.5	45.15	53.50	310.116	126.960	0.843905	2.563793
4	RESFR	33.1	51.1	52.42	65.30	407.310	161.280	0.802729	2.525487
5	RESFH	107.4	165.8	87.48	109.00	1144.331	514.080	0.902603	2.725979
6	RESFR	137.2	211.8	99.79	122.00	1515.737	679.680	0.817938	2.230075
7	RESFR	7.7	11.9	32.93	39.40	435.491	164.160	0.935799	2.652845
8	RESFR	12.0	18.5	38.73	42.90	614.868	237.600	0.902792	2.587828
9	RESFR	20.5	31.6	51.18	67.50	1029.106	381.600	0.758292	2.396820
10	RESFR	28.6	44.1	58.10	70.40	1196.254	452.160	0.825294	2.645644
11	RESFR	31.1	48.0	61.85	80.00	1405.281	545.760	0.773116	2.574906
12	RESFR	45.4	70.7	73.63	87.00	1674.335	816.480	0.844036	2.050675
13	RESFR	53.4	82.4	79.75	98.00	2041.261	887.040	0.813737	2.301205
14	RESFR	73.2	113.0	91.28	116.00	2670.081	1267.200	0.786911	2.107072
15	RESFR	93.3	144.0	104.36	120.20	3637.069	1828.800	0.868247	1.988773

TROCADOR # 8 - TINKER

REP	PROCES	REH	REP	HO	HOE	DELPs	DELPSE	HO/HOE	DELPs/DELPSE
1	RESFR	7.4	11.8	24.37	13.10	132.195	48.960	1.860665	2.700059
2	RESFR	12.8	20.3	31.74	21.10	226.158	97.920	1.504329	2.309620
3	RESFR	30.8	48.9	49.09	49.30	521.835	210.240	1.016264	2.482091
4	RESFR	35.8	56.8	52.07	55.00	569.546	214.560	0.946690	2.654485
5	RESFR	43.3	68.6	57.14	63.00	682.598	289.440	0.907044	2.358347
6	RESFR	59.6	94.4	65.91	69.50	897.409	416.160	0.948411	2.156403
7	RESFR	67.7	107.3	70.20	83.00	987.908	414.720	0.845837	2.382109
8	RESFR	113.3	179.6	89.31	102.00	1767.141	880.160	0.875562	2.007750
9	RESFR	145.2	230.2	103.09	115.00	2316.603	1152.000	0.896463	2.010940
10	RESFR	233.3	369.7	135.44	151.00	4320.546	2102.400	0.896940	2.055054
11	RESFR	9.6	15.2	33.43	21.80	621.437	227.520	1.533623	2.731351
12	RESFH	11.4	18.1	38.14	29.00	732.342	260.640	1.362288	2.809783
13	RESFR	13.8	21.8	40.62	31.90	916.378	308.160	1.273484	2.973708
14	RESFR	16.1	25.5	43.35	36.90	1019.301	388.800	1.174809	2.621659
15	RESFH	23.5	37.2	53.84	52.30	1470.251	550.080	1.029390	2.672795
16	RESFR	43.1	68.3	70.53	82.00	2358.890	1029.600	0.860102	2.291074
17	RESFR	53.9	85.4	79.41	89.00	2902.035	1396.800	0.892211	2.077631
18	RESFR	76.4	121.1	93.02	109.00	3958.331	1958.400	0.853413	2.021207

TROCADOR # 9 - TINKER

REP	PROCES	REH	REP	HO	HOE	DELPs	DELPSE	HO/HOE	DELPs/DELPSE
1	RESFR	120.6	223.8	58.87	70.00	2763.067	858.800	0.840997	3.248211
2	RESFR	152.3	282.6	67.29	80.00	3920.415	1123.200	0.840978	3.401367
3	RESFR	186.7	346.5	75.24	91.00	4893.543	1641.600	0.826817	2.980960
4	RESFR	257.8	497.0	85.62	97.00	6217.646	2116.800	0.883185	2.437266
5	RESFR	267.6	496.5	91.79	112.00	8105.952	2649.600	0.819584	3.059311
6	RESFR	316.5	591.0	107.12	125.00	10353.352	3528.000	0.816996	2.934623

TABELA 3.6 - RESULTADOS DO MÉTODO DE TINKER (continuação).

TROCADOR #10 - TINKER

MED	PROCES	REH	REP	HO	HOE	DELPs	DELPsE	HO/HOE	DELPs/DELPsE
1	RESFR	283.5	420.8	133.73	128.00	1924.356	1117.440	1.044741	1.722111
2	RESFR	363.0	536.8	153.37	147.00	2748.160	1438.560	1.043362	1.910355
3	RESFR	342.6	567.9	158.73	156.00	3030.377	1684.800	1.017512	1.798657
4	KESFR	434.0	644.2	170.36	171.00	3636.762	1958.400	0.996263	1.457007
5	KESFR	405.8	721.0	181.37	181.00	4322.882	2275.200	1.002051	1.400004
6	KESFR	535.3	794.6	191.84	190.00	5071.577	2491.200	1.278933	2.93597
7	RESFR	592.6	879.6	202.22	206.00	5870.216	2692.800	0.981632	2.179967

TROCADOR #11 - TINKER

MED	PROCES	REH	REP	HO	HOE	DELPs	DELPsE	HO/HOE	DELPs/DELPsE
1	RESFR	175.7	287.4	102.17	87.20	723.266	403.200	1.171656	1.793813
2	RESFR	273.5	447.4	130.14	107.00	1309.848	676.800	1.216253	1.935355
3	RESFR	305.1	499.0	137.83	119.00	1514.598	764.640	1.158272	1.980799
4	RESFR	347.7	568.8	148.51	125.00	1850.205	927.360	1.188118	1.995131
5	RESFR	373.2	610.4	154.97	132.00	2063.023	1008.000	1.174037	2.046650
6	RESFR	421.6	686.6	165.89	144.00	2486.862	1152.000	1.152019	2.160471
7	RESFR	470.8	770.0	176.59	152.00	2964.317	1353.600	1.161799	2.189951
8	RESFR	517.9	847.1	196.75	164.00	3483.998	1540.800	1.138708	2.261162
9	RESFR	572.7	936.0	196.83	175.00	4039.488	1771.200	1.124731	2.280651

TROCADOR #12 - TINKER

MED	PROCES	REH	REP	HO	HOE	DELPs	DELPsE	HO/HOE	DELPs/DELPsE
1	AQDEC	1.8	2.8	15.21	7.50	125.090	6.480	2.027352	19.303961
2	AQDEC	3.3	5.2	20.55	10.70	246.710	14.832	1.920915	16.633629
3	AQDEC	6.0	9.3	27.48	16.20	475.231	42.480	1.696193	11.187181
4	AQDEC	8.6	13.4	32.71	21.30	731.997	67.824	1.535728	10.792603
5	AQDEC	14.7	22.9	43.99	30.20	1387.976	150.480	1.456685	9.223561
6	AQDEC	17.9	27.9	49.43	33.90	1812.126	214.560	1.458027	9.445779
7	AQDEC	30.7	47.7	65.71	51.50	3286.612	416.160	1.275888	7.897472
8	AQDEC	38.0	59.1	73.93	59.50	4244.459	630.720	1.242474	6.729545
9	AQDEC	48.0	74.6	83.54	71.00	5356.194	876.960	1.176625	6.106539
10	AQDEC	58.4	90.8	92.89	82.00	6963.015	1140.480	1.13284	6.105337
11	AQDEC	67.2	104.5	100.43	90.00	8529.560	1483.200	1.115888	5.750782
12	RESFR	17.5	27.3	21.20	9.23	47.197	6.480	2.296525	7.283549
13	RESFR	47.5	73.8	34.30	22.90	118.529	19.000	1.497977	6.238350
14	RESFR	89.9	139.8	46.71	37.80	249.387	43.200	1.235808	5.772843
15	RESFR	114.0	176.4	54.42	46.80	382.062	63.360	1.162749	6.030317
16	RESFR	176.7	274.7	66.51	54.90	566.180	103.680	1.211425	5.460840
17	RESFR	231.7	359.4	77.51	66.70	828.907	161.280	1.163615	5.139553
18	RESFR	385.8	599.7	103.91	90.40	1782.190	347.040	1.149403	5.135373
19	RESFR	490.5	762.5	119.22	104.00	2541.145	511.200	1.146343	4.970941
20	RESFR	596.8	927.6	133.01	120.00	3472.927	720.000	1.108379	4.923510
21	RESFR	742.9	1154.6	150.19	139.00	4936.784	1015.200	1.080532	4.764366
22	RESFR	849.5	1320.4	162.26	152.00	6000.597	1267.200	1.067497	4.735320
23	RESFR	995.9	1548.0	177.95	168.00	7782.240	1699.200	1.059238	4.579944
24	RESFR	1283.3	1994.7	208.90	198.00	11661.917	2649.600	1.055068	4.401348

TABELA 3.7 - RESULTADOS DO MÉTODO DE BELL.

TROCADOR 1 - BELL

MED	PROCES	RFG	HO	HOF	DELPs	DELPse	HO/HOE	DELPs/DELPse
1	AQUEC	7298.8	556.13	695.00	1164.301	1265.400	.803063	0.920105
2	AQUEC	3907.9	326.42	442.00	344.307	441.500	.738497	0.779858
3	AQUEC	2418.1	245.29	310.00	135.636	92.600	.791263	1.464747
4	AQUEC	3117.1	285.39	376.00	222.440	283.000	.759004	0.786009
5	RESFR	7304.6	527.02	639.00	1189.514	1326.100	.824763	0.897001
6	RESFR	6179.6	474.15	573.00	864.655	931.200	.827488	0.928539
7	RESFR	3855.4	302.32	404.00	344.493	426.100	.748323	0.808478
8	RESFR	2585.3	237.72	300.00	159.345	199.500	.769326	0.798720
9	RESFR	7270.7	525.26	667.00	1178.963	1214.000	.787496	0.971139

TROCADOR 2 - BELL

MED	PROCES	RFG	HO	HOF	DELPs	DELPse	HO/HOE	DELPs/DELPse
1	AQUEC	5418.4	530.68	619.00	1072.116	853.670	.858704	1.255890
2	AQUEC	3175.6	389.74	403.00	386.590	359.100	.987090	1.076583
3	AQUEC	7129.7	308.93	309.00	182.696	168.150	1.003022	1.036508
4	AQUEC	1160.4	214.86	200.00	58.395	56.530	1.074284	1.032993
5	RESFR	5268.7	500.42	428.00	1109.544	628.900	1.169201	1.754261
6	RESFR	2332.7	303.85	325.00	225.100	367.000	.934909	0.613352
7	RESFR	2135.7	288.32	249.00	191.031	178.980	1.157907	1.057329
8	RESFR	1126.4	195.85	164.00	57.915	57.020	1.194234	1.015695
9	RESFR	1148.1	198.29	167.00	60.024	59.408	1.187381	1.010370
10	RESFR	3159.6	364.34	314.00	398.132	364.150	1.160317	1.093318
11	RESFR	2169.2	290.81	254.00	196.513	171.370	1.144893	1.146720

TROCADOR 3 - BELL

MED	PROCES	RFG	HO	HOF	DELPs	DELPse	HO/HOE	DELPs/DELPse
1	AQUEC	7373.2	764.46	834.00	2170.765	1699.200	.916618	1.277522
2	AQUEC	6217.7	709.94	734.00	1537.801	1298.600	.967216	1.184199
3	AQUEC	1919.0	460.58	524.00	627.954	559.800	.878979	1.121764
4	AQUEC	2337.1	349.31	390.00	265.200	237.540	.895671	1.115973
5	AQUEC	1161.7	224.36	211.00	64.447	66.930	1.063296	0.962904
6	AQUEC	4873.7	521.30	589.00	937.272	860.500	.885056	1.059217
7	AQUEC	1651.2	276.88	275.00	125.127	131.510	1.006851	0.950744
8	RESFR	7263.3	743.01	643.00	2138.780	1711.900	1.155539	1.249361
9	RESFR	6212.4	670.45	584.00	1558.273	1269.400	1.148035	1.227567
10	RESFR	3886.8	430.78	425.00	645.077	570.500	1.013604	1.130722
11	RESFR	2454.4	327.71	311.00	273.591	237.360	1.053720	1.152642
12	RESFR	1144.6	206.73	180.00	65.915	68.880	1.144477	0.956961
13	RESFR	1671.4	260.01	239.00	132.780	136.860	1.087694	0.970187
14	RESFR	4896.2	424.13	506.00	1000.620	730.300	.976542	1.370149

TABELA 3.7 - RESULTADOS DO MÉTODO DE BELL (continuação).

TROCADOR 4 - BELL.

MED	PROCES	RPS	HO	HDF	DELPs	DELPS/E	HO/HDE	DELPs/DELPS/E
1	PESFR	10.6	13.05	7.50	16.431	14.544	1.716675	1.257264
2	RESFR	34.0	16.41	17.70	37.940	26.928	1.199209	1.408929
3	RESFR	49.2	19.86	23.00	70.409	45.936	.863183	1.532771
4	RESFR	45.3	22.91	31.10	107.796	64.656	.736792	1.657221
5	RESFR	192.2	56.02	55.00	307.629	149.760	1.018624	2.054149
6	RESFR	280.0	67.81	70.00	519.694	244.800	.968970	2.122935
7	RESFR	378.7	80.42	73.50	796.563	355.520	1.094191	2.240559
8	RESFR	490.7	94.62	82.80	1181.479	486.720	1.142719	2.427430
9	RESFR	689.6	117.16	106.80	2051.117	600.640	1.105242	2.561847

TROCADOR 5 - BELL.

MED	PROCES	RPS	HO	HDF	DELPs	DELPS/E	HO/HDE	DELPs/DELPS/E
1	PESFR	5.8	7.07	10.00	9.521	27.360	.649036	0.348004
2	RESFR	10.0	8.37	15.30	16.594	36.000	.513759	0.450954
3	RESFR	18.9	10.05	23.20	26.852	64.800	.433009	0.414378
4	RESFR	31.6	11.63	25.40	41.295	87.840	.440366	0.470119
5	RESFR	46.2	13.02	35.00	58.027	119.520	.352848	0.485500
6	RESFR	67.0	14.67	44.50	84.011	162.720	.329697	0.516289
7	RESFR	98.4	16.99	50.70	130.923	228.960	.284581	0.571815
8	RESFR	152.6	36.54	72.00	218.707	352.800	.507531	0.619918
9	RESFR	222.9	44.46	91.00	359.312	557.280	.488524	0.634761
10	RESFR	318.8	53.78	105.00	577.762	881.280	.512231	0.655594
11	RESFR	406.8	62.04	119.00	823.577	1150.560	.521331	0.715806

TROCADOR 6 - BELL.

MED	PROCES	RPS	HO	HDF	DELPs	DELPS/E	HO/HDE	DELPs/DELPS/E
1	RESFR	35.5	23.92	30.40	62.459	70.560	.786852	0.885193
2	RESFR	60.9	28.27	42.40	109.385	106.560	.645389	1.026515
3	RESFR	99.4	33.55	51.00	181.143	175.680	.657766	1.031097
4	RESFR	125.2	59.93	60.00	238.298	201.600	.990508	1.182032
5	RESFR	143.4	63.64	65.10	283.828	254.880	.974516	1.113577
6	RESFR	193.6	73.13	72.50	416.915	341.280	1.008757	1.221623
7	RESFR	221.0	78.74	78.00	498.013	394.560	1.009468	1.262197
8	RESFR	245.2	83.09	79.30	573.388	419.040	1.047782	1.358338

TABELA 3.7 - RESULTADOS DO MÉTODO DE BELL (continuação).

TROCADOR # 7 - BELL

NED	PROCES	RFS	HO	HOF	DELPs	DELPse	HO/HOE	DELPs/DELPse
1	RESFR	25.1	21.49	32.10	26.979	73.440	.663142	0.357354
2	RESFR	36.3	23.79	46.00	37.584	96.480	.517155	0.329550
3	RESFR	53.3	26.41	51.50	52.908	120.960	.493703	0.437398
4	RESFR	70.6	29.47	65.30	73.830	161.280	.451256	0.457774
5	RESFR	229.4	69.77	109.00	249.723	514.080	.640064	0.495767
6	RESFR	293.0	77.25	122.00	358.243	679.560	.633221	0.527076
7	RESFR	10.5	23.84	32.10	68.209	164.160	.605045	0.415503
8	RESFR	25.6	25.99	42.00	95.312	237.600	.603397	0.401146
9	RESFR	43.8	30.77	67.50	168.881	381.600	.455420	0.442561
10	RESFR	61.0	33.35	70.40	206.630	452.160	.473715	0.456984
11	RESFR	66.4	35.08	86.00	247.800	545.760	.438480	0.454046
12	RESFR	97.8	39.36	87.00	336.202	816.480	.452428	0.411770
13	RESFR	114.0	70.58	98.00	351.440	887.040	.720165	0.396195
14	RESFR	156.4	76.95	116.00	511.009	1267.200	.663368	0.493258
15	RESFR	199.2	84.67	120.00	759.274	1826.800	.704386	0.415176

TROCADOR # 8 - BELL

NED	PROCES	RFS	HO	HOF	DELPs	DELPse	HO/HOE	DELPs/DELPse
1	RESFR	18.1	19.22	13.10	23.861	46.960	1.466989	0.437355
2	RESFR	31.2	22.70	21.10	41.036	97.920	1.075788	0.419072
3	RESFR	75.1	30.35	48.30	104.749	210.240	.628323	0.498237
4	RESFR	87.3	31.50	55.00	117.384	214.560	.572674	0.547094
5	RESFR	105.4	56.98	67.00	124.393	289.440	.904463	0.429771
6	RESFR	145.2	62.59	69.50	185.181	416.160	.900637	0.444976
7	RESFR	164.9	65.35	81.00	212.123	414.720	.787345	0.511485
8	RESFR	276.1	77.80	102.00	441.560	880.160	.762786	0.50162
9	RESFR	353.8	90.54	115.00	623.328	1152.000	.787295	0.541083
10	RESFR	568.3	120.79	151.00	1323.540	2102.400	.799906	0.679538
11	RESFR	23.4	25.36	21.00	110.704	227.520	1.163245	0.486568
12	RESFR	27.9	27.85	28.00	133.295	260.640	.994720	0.511416
13	RESFR	33.6	28.66	31.00	165.555	308.160	.898584	0.537236
14	RESFR	39.2	29.74	36.00	185.842	388.300	.805841	0.477990
15	RESFR	57.2	34.61	52.70	283.034	550.080	.661669	0.514533
16	RESFR	105.0	70.37	82.00	428.948	1029.600	.858191	0.416616
17	RESFR	131.3	76.59	89.00	583.059	1398.300	.860554	0.417425
18	RESFR	186.1	84.95	100.00	882.531	1958.400	.779362	0.450639

TROCADOR # 9 - BELL

NED	PROCES	RFS	HO	HOF	DELPs	DELPse	HO/HOE	DELPs/DELPse
1	RESFR	276.9	63.14	70.00	685.603	856.800	.902006	0.800191
2	RESFR	349.6	72.71	80.00	959.678	1123.200	.908920	0.854592
3	RESFR	428.6	81.87	91.00	1249.981	1641.600	.899628	0.751440
4	RESFR	614.8	94.33	97.00	1653.171	2116.300	.972423	0.780976
5	RESFR	614.2	101.07	112.00	2160.868	2649.600	.902369	0.815545
6	RESFR	731.2	113.00	125.00	2810.911	3520.000	.904690	0.796743

TABELA 3.7 - RESULTADOS DO MÉTODO DE BELL (continuação).

TROCADOR #10 - BELL

HED	PROCES	RES	HO	HOF	DELPs	DELPsE	HO/HOE	DELPs/DELPsE
1	PESFR	412.7	136.31	128.00	641.923	1117.440	1.065111	0.574459
2	RESFR	528.4	157.62	147.00	942.350	1438.560	1.072259	0.655070
3	RESFR	557.0	163.41	156.00	1045.324	1684.800	1.047476	0.620444
4	PESFR	631.8	176.10	171.00	1287.908	1958.400	1.029801	0.657633
5	RESFR	707.2	188.16	181.00	1556.705	2275.200	1.039574	0.641569
6	RESFR	779.3	199.65	158.00	1836.505	2491.200	1.331008	0.777197
7	RCSFR	862.7	211.14	206.00	2141.373	2692.800	1.024974	0.725222

TROCADOR #12 - BELL

HED	PROCES	RES	HO	HOF	DELPs	DELPsE	HO/HOE	DELPs/DELPsE
1	AQUEC	2.4	15.34	7.50	24.757	6.480	2.045582	3.820535
2	AQUEC	4.3	18.91	10.70	50.726	14.832	1.767251	3.420054
3	AQUEC	7.8	23.12	15.70	101.511	42.480	1.426998	2.399624
4	AQUEC	11.2	26.03	21.70	159.875	67.824	1.222000	2.357205
5	AQUEC	19.0	31.56	30.70	297.023	150.480	1.048182	1.973837
6	AQUEC	23.2	34.29	33.70	389.589	214.560	1.011451	1.815757
7	AQUEC	37.7	41.29	51.50	733.962	416.160	.801676	1.753654
8	AQUEC	49.2	44.58	59.50	975.235	630.720	.749326	1.516226
9	AQUEC	62.1	48.82	71.00	1306.461	870.960	.687563	1.489761
10	AQUEC	75.6	52.78	82.00	1703.010	1140.480	.643671	1.493239
11	AQUEC	87.0	55.90	96.00	2087.998	1483.200	.621141	1.407766
12	PESFR	22.7	14.77	9.73	9.272	6.480	1.599800	1.436907
13	RESFR	61.5	20.07	22.70	26.014	19.000	.876546	1.359170
14	RESFR	116.4	45.73	37.00	43.916	43.200	1.209773	1.016578
15	RESFR	148.5	51.22	46.70	70.179	63.360	1.094353	1.10712
16	RESFR	228.6	55.81	54.00	111.083	103.580	1.056613	1.071403
17	RESFR	299.2	63.19	66.70	169.746	161.280	.947311	1.052491
18	RESFR	499.2	86.03	96.40	392.723	347.040	.951624	1.131636
19	RESFR	634.7	99.49	104.00	583.755	511.200	.956616	1.141931
20	RESFR	772.1	111.71	120.00	815.644	720.000	.930915	1.132839
21	RESFR	961.1	127.06	139.00	1184.824	1015.200	.914084	1.157084
22	RESFR	1099.1	147.37	152.00	1506.145	1267.200	.969536	1.190140
23	RESFR	1288.6	162.47	168.00	2015.735	1699.200	.967078	1.186285
24	RESFR	1660.4	189.13	192.00	3163.903	2649.600	.955221	1.194106

. Figuras

Como as definições dos números de REYNOLDS variam de método a método, os resultados da comparação entre os valores calculados e os experimentais do coeficiente de película e da perda de carga, apresentados nas tabelas, estão dispostos em seis figuras em função dos números de REYNOLDS, de 1 a 10.000, correspondentes a cada método.

As Figuras 3.1, 3.2 e 3.3 trazem os resultados da troca de calor correspondentes aos três métodos, e as Figuras 3.4, 3.5 e 3.6 os resultados da perda de carga. Cada figura contém dados dos 12 trocadores citados, exceto as duas do BELL, que contêm dados de 11 trocadores.

Os símbolos que representam os trocadores são os seguintes:

▲	TROCADOR	1	△	TROCADOR	7
×	TROCADOR	2	○	TROCADOR	8
■	TROCADOR	3	▷	TROCADOR	9
◆	TROCADOR	4	◀	TROCADOR	10
+	TROCADOR	5	□	TROCADOR	11
◊	TROCADOR	6	●	TROCADOR	12

Para as figuras, tomou-se como referência o formato das Figuras 3.7 e 3.8 de PALEN e TABOREK, do HTRI^(3.12). Estas figuras mostram o comportamento das previsões de cálculo de troca de calor e perda de carga segundo os métodos de TINKER e de BELL, que foram considerados os dois melhores métodos da literatura aberta analisados pela referida instituição.

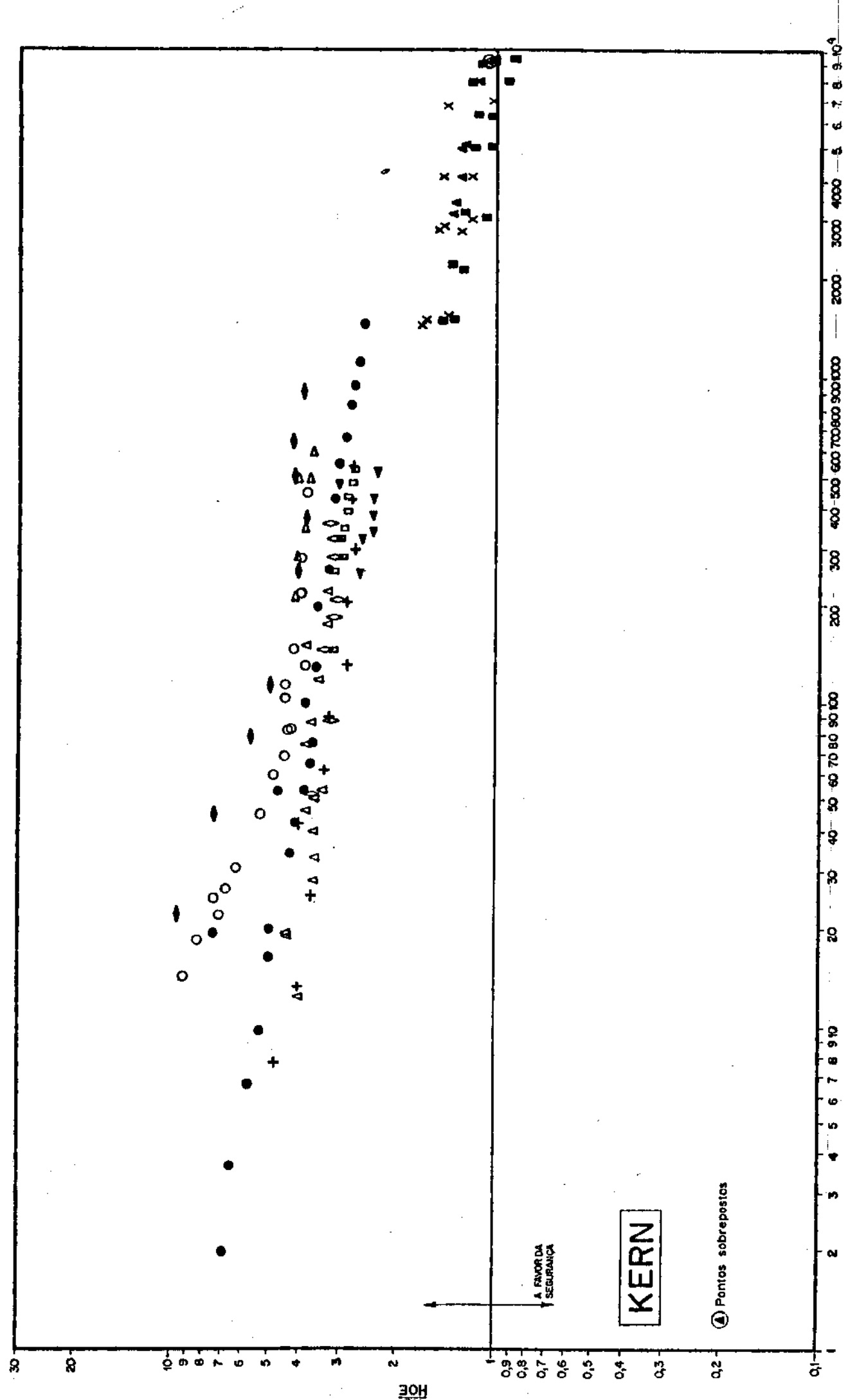


FIGURA 3.1 - COMPARAÇÃO DOS COEFICIENTES DE PELÍCULA CALCULADO E EXPERIMENTAL - MÉTODO DE KERN.

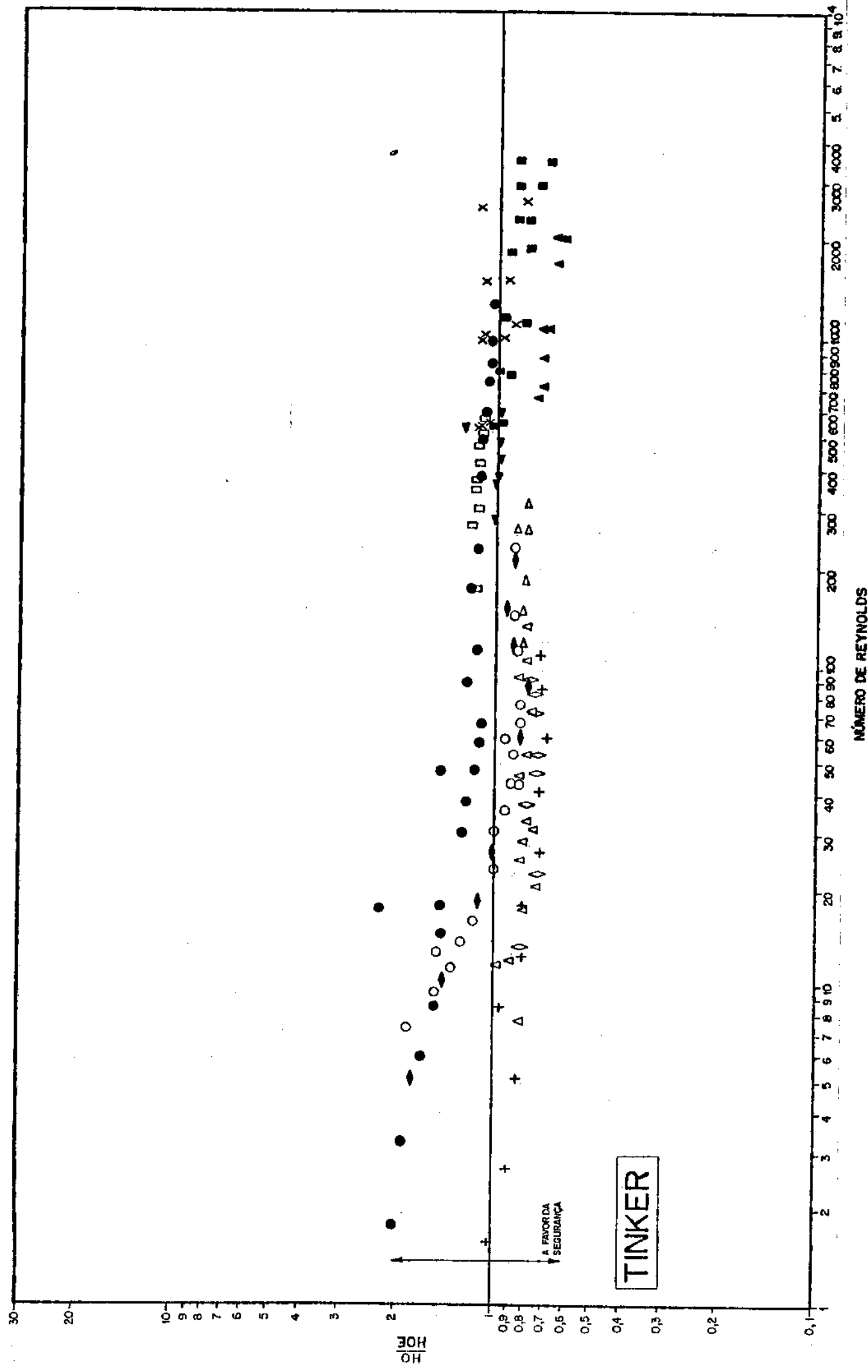


FIGURA 3.2 - COMPARAÇÃO DOS COEFICIENTES DE PELÍCULA CALCULADO E EXPERIMENTAL - MÉTODO DE TINKER.

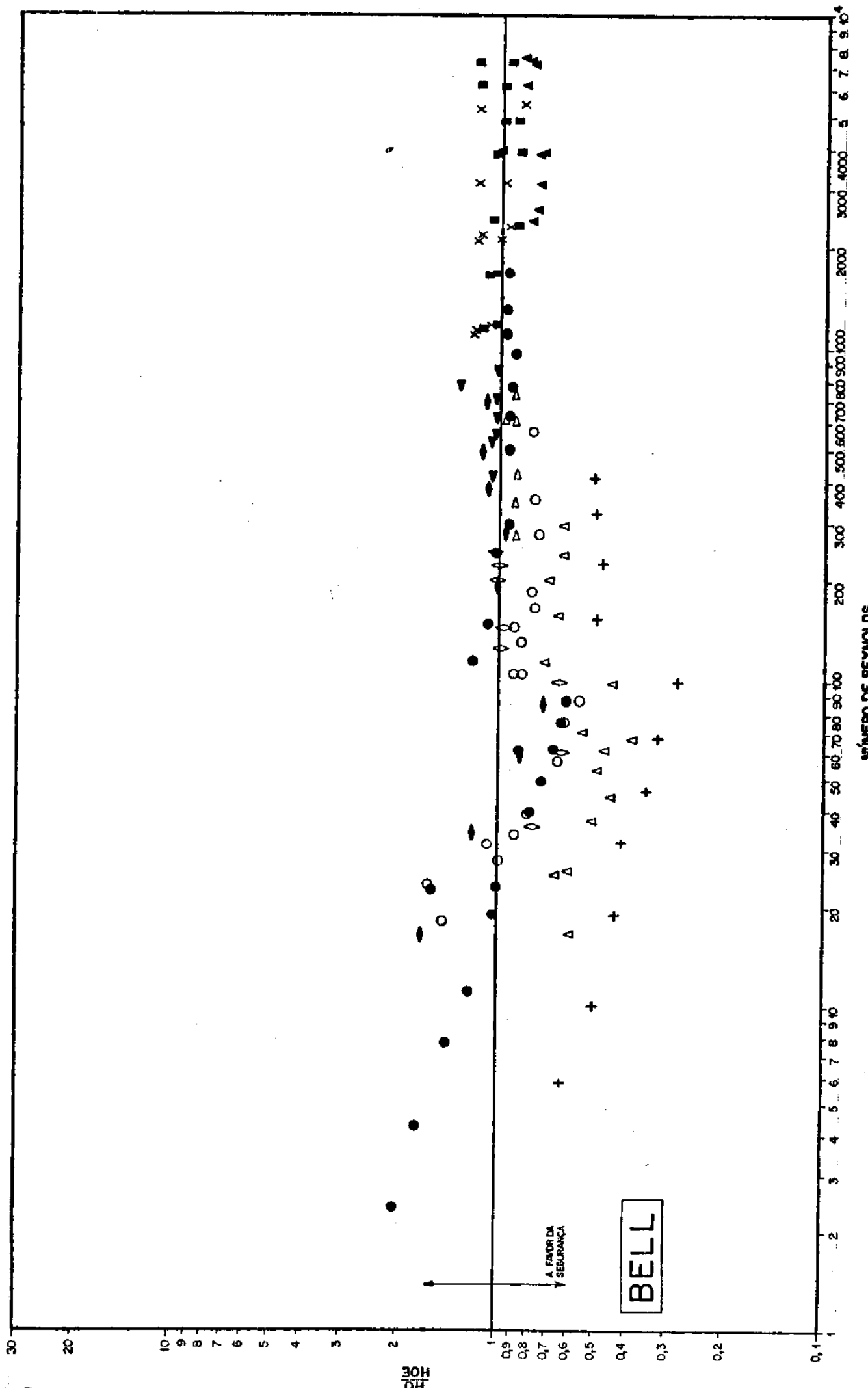


FIGURA 3.3 - COMPARAÇÃO DOS COEFICIENTES DE PELÍCULA CALCULADO E EXPERIMENTAL - MÉTODO DE BELL.

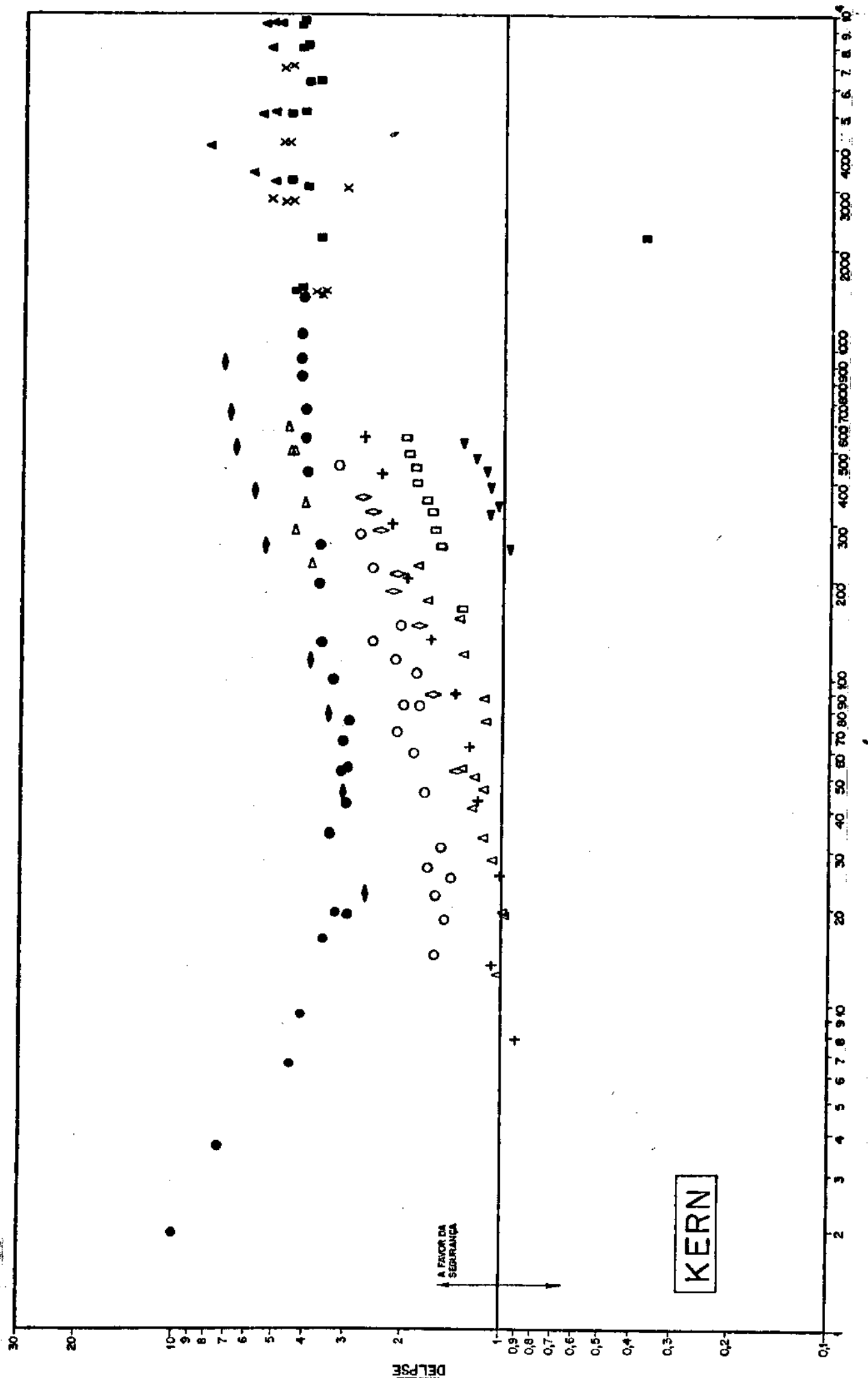


FIGURA 3.4 - COMPARAÇÃO DAS PERDAS DE CARGA CALCULADA E EXPERIMENTAL - MÉTODO DE KERN.

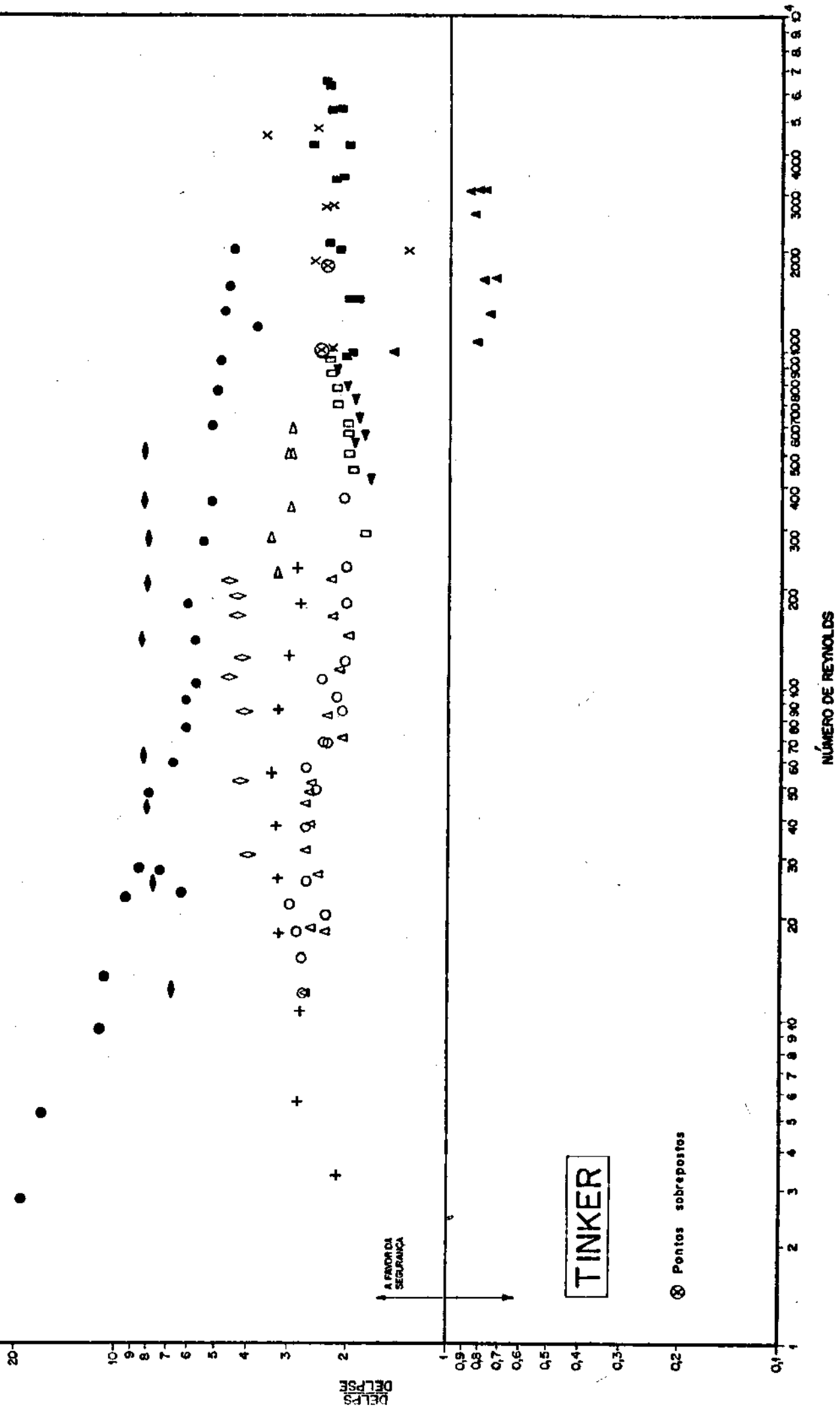


FIGURA 3.5 - COMPARAÇÃO DAS PERDAS DE CARGA CALCULADA E EXPERIMENTAL - MÉTODO DE TINKER.

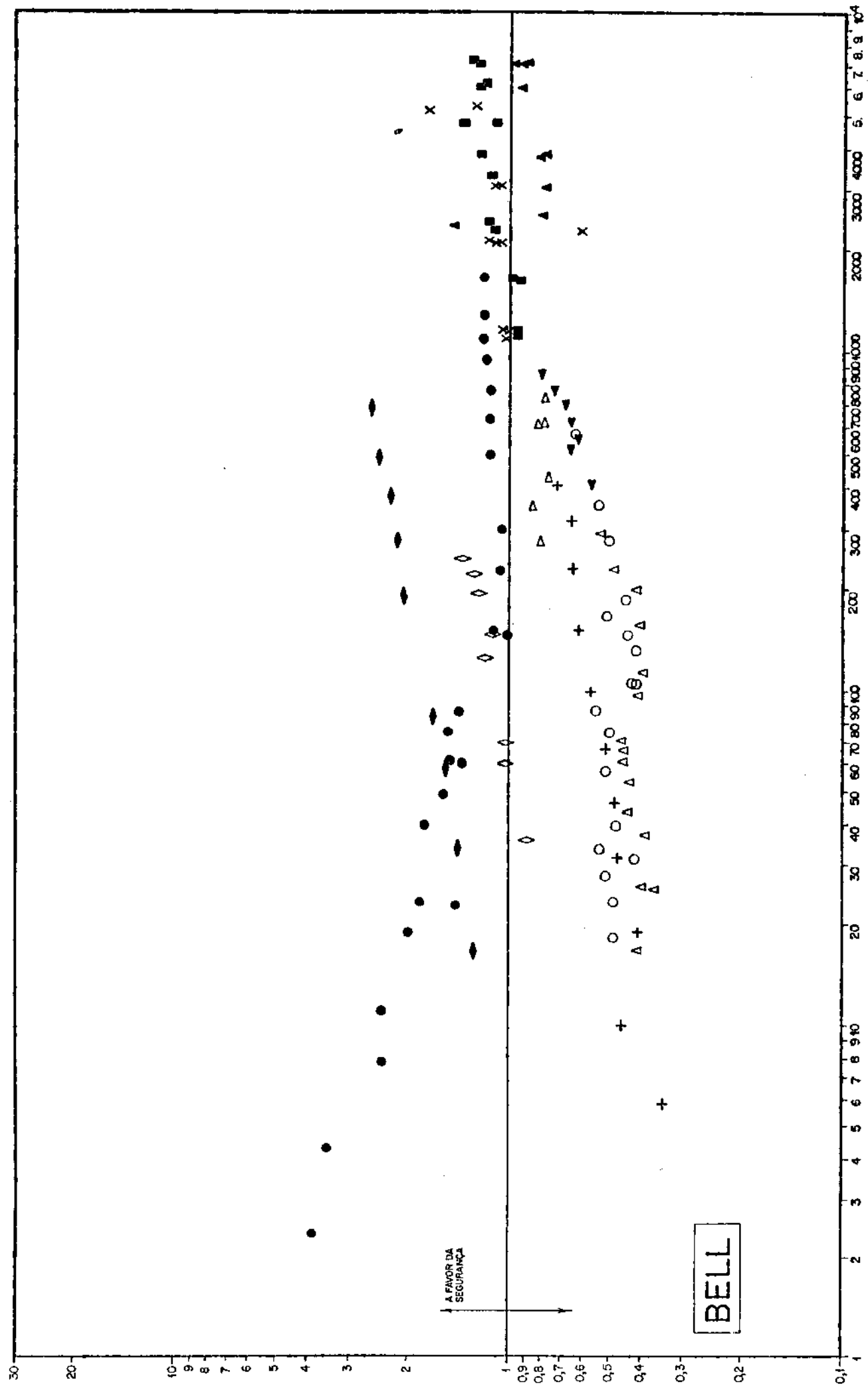


FIGURA 3.6 - COMPARAÇÃO DAS PERDAS DE CARGA CALCULADA E EXPERIMENTAL - MÉTODO DE BELL.

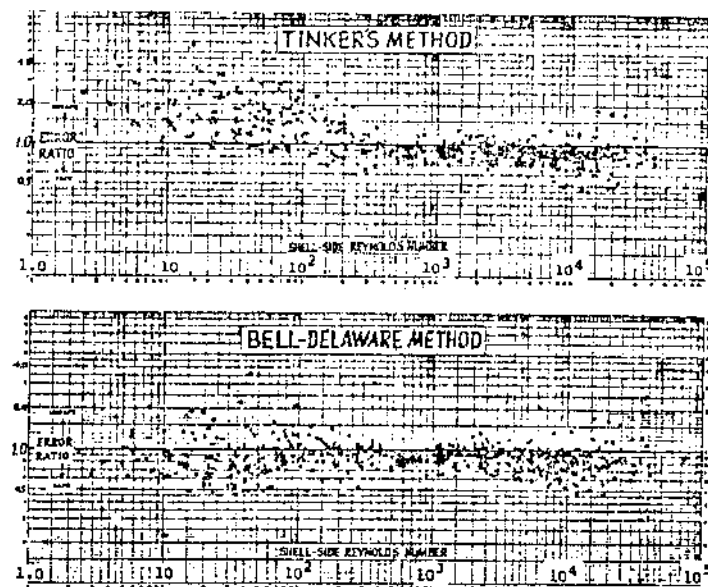


FIGURA 3.7 - ESTIMATIVA DA TROCA DE CALOR PELOS MÉTODOS DE BELL E TINKER, SEGUNDO PALEN E TABOREK^(3.12).

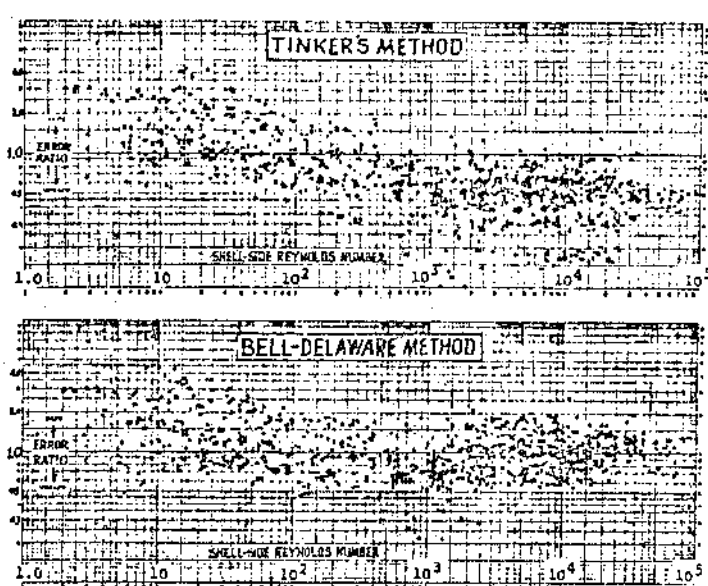


FIGURA 3.8 - ESTIMATIVA DA PERDA DE CARGA PELOS MÉTODOS DE BELL E TINKER, SEGUNDO PALEN E TABOREK^(3.12).

3.4 - COMPARAÇÃO E DISCUSSÃO DOS RESULTADOS

A discussão dos métodos de cálculo termo-hidráulico de KERN, TINKER e BELL para o escoamento do lado do casco tem como base os resultados correspondentes aos 12 trocadores, apresentados nas Figuras 3.1 a 3.6, considerando todos os dados e hipóteses relacionados com os mesmos.

Para cada figura, a razão entre o valor calculado e o valor experimental igual a 1,0, corresponde a uma estimativa correta oferecida por cada método. Os valores situados na região acima de 1,0, correspondem à superestimação da perda de carga ou à subestimação da troca de calor.

3.4.1 - Análise geral dos três métodos

(a) Troca de calor. Os métodos de KERN, TINKER e BELL apresentam razões h_o/h_{oe} entre as faixas de 0,76 a 9,6, 0,54 a 2,3 e 0,28 a 2,1, respectivamente. TINKER e BELL apresentam uma gama de valores próximos ao valor 1,0, sendo que TINKER, apesar de apresentar seus pontos mais próximos de 1,0 do que BELL, tanto acima como abaixo, possui maior número de pontos na região contra a segurança do que este último; os dois apresentam uma melhora na estimativa da troca de calor à medida que o número de REYNOLDS aumenta. KERN, por sua vez, tem a maioria dos resultados na região contra a segurança, isto é, de subestimação da troca de calor, com os pontos distantes do valor 1,0 para pequenos números de REYNOLDS, se aproximando de 1,0, com o aumento do número de REYNOLDS.

(b) Perda de carga. Os resultados de KERN, TINKER e BELL encontram-se nas faixas de erro entre 0,9 a 10,1, 0,72 a 19,5 e 0,34 a 3,9, respectivamente. Pode-se ver que os resultados de KERN e TINKER encontram-se praticamente na região a favor da segurança mas com valores muito espalhados e distantes da razão 1,0, significando que os mesmos oferecem uma razoável superestimação para a perda de carga no casco. O método de KERN apresenta pontos menos dispersos e mais próximos de 1,0 do que o de TINKER, mas possui mais pontos na faixa contra a segurança do que este último.

Analizando a faixa de erro em que os resultados de BELL se apresentam, verifica-se que, eles estão mais próximos do valor 1,0 do que os outros dois métodos, formando um conjunto bem agrupado em torno desse valor e oferecendo melhor estimativa para a perda de carga, apesar de apresentar muitos pontos na região contra a segurança.

3.4.2 - Análise segundo os regimes de escoamento

(a) Regime laminar. O regime laminar ocorre para números de REYNOLDS entre zero e 100. Os três métodos apresentam uma tendência em direção à razão 1,0 quando o número de REYNOLDS vai se aproximando de 100, tanto para a troca de calor como para a perda de carga. Para a troca de calor, o método de TINKER apresenta uma melhor uniformidade em torno do valor 1,0 do que o método de BELL, embora este tenha mais pontos na região a favor da segurança do que o TINKER, para os resultados disponíveis no regime considerado. Para a perda de carga, BELL possui valores agrupados (acima e abaixo) em torno do valor 1,0, o que não ocorre com os outros dois métodos.

(b) Regime de transição ($100 < Re_s < 1000$). O comportamento dos pontos varia um pouco apesar de continuar a tendência à 1,0 com o aumento do número de REYNOLDS. Na troca de calor os três métodos mostram esta tendência, com TINKER e BELL mais próximos do valor 1,0 do que no regime laminar. Quanto à perda de carga, somente o método de BELL mostra a tendência em direção ao valor 1,0 embora seus pontos se encontrem na região contra a segurança. Os três métodos mostram uma dispersão dos resultados, na região a favor da segurança, ao contrário do verificado no regime laminar.

(c) Regime Turbulento (REYNOLDS acima de 1000). Para a troca de calor os métodos de TINKER e BELL apresentam valores na região a favor da segurança, embora se distanciando da estimativa 1,0 com o aumento do número de REYNOLDS. A maioria dos pontos obtidos pelo método de KERN se situa na região contra a segurança e se aproxima do valor 1,0, com o aumento do número de REYNOLDS. Para a perda de carga, KERN resulta em valores na faixa

a favor da segurança. BELL e TINKER encontram-se com boa parte dos resultados na região a favor da segurança, sendo que BELL oferece melhor estimativa para a perda de carga do que TINKER.

De uma maneira geral, observa-se que para os mesmos dados, o método de TINKER resulta em números de REYNOLDS menores do que os obtidos pelos métodos de BELL e KERN, principalmente no que diz respeito à troca de calor, sendo que KERN apresenta os maiores números de REYNOLDS. Isto faz com que o método de TINKER tenha mais pontos no regime laminar e menos pontos no regime turbulento do que os outros dois, o que de uma certa forma torna mais difícil a comparação entre os três métodos.

3.4.3 - Análise dos resultados quanto aos trocadores que forneceram os dados experimentais

Os dados experimentais apresentados por BELL são referentes aos trocadores 1, 2 e 3, e os dados experimentais de TINKER aos trocadores de 4 a 12.

(a) Análise dos trocadores de BELL

Os trocadores empregados por BELL possuem as mesmas características geométricas, exceto pelo número de pares de tiras selantes, que varia de um para outro: o trocador 1 não usa tiras selantes, o trocador 2 tem 2 pares e o trocador 3 tem 3 pares de tiras selantes. Pode-se ver nas figuras que, para as condições correspondentes aos dados de BELL, os resultados obtidos da aplicação dos métodos de KERN e BELL se situam na região do escoamento turbulento, enquanto os resultados dos cálculos da troca de calor com o método de TINKER encontram-se, uma parte no regime de transição e a outra no regime turbulento, já que os números de REYNOLDS são menores do que para KERN e BELL. A perda de carga pelo método de KERN é superestimada e o trocador 3, que possui 3 pares de tiras selantes, oferece resultados mais próximos da razão 1,0 do que os trocadores 1 e 2. A troca de calor é quase sempre subestimada para os três trocadores, aproximando-se os resultados da estimativa correta à medida que o número de REYNOLDS tende à 10.000; o trocador 3 apresenta os melhores resultados. Os métodos de TINKER e BELL têm aproximadamente o mesmo comportamento quanto à

troca de calor e à perda de carga. Na troca de calor, os dois métodos dão valores superestimados; o trocador 1 apresenta resultados visivelmente mais baixos do que os trocadores 2 e 3, sendo o trocador 2 um pouco melhor do que o trocador 3. Na perda de carga os dois métodos apresentam os trocadores 2 e 3 na região de superestimação ficando o trocador 1 subestimado. Ao trocador 3 correspondem resultados mais precisos que ao trocador 2. O método de BELL oferece em conjunto uma estimativa mais próxima da correta do que os demais métodos.

(b) Análise dos trocadores de TINKER

Para os trocadores estudados por TINKER algumas das características geométricas não foram apresentadas e precisaram ser determinadas. O número de pares de tiras selantes, por exemplo, foi estimado através de teste de sua necessidade, tendo em vista as práticas usuais de projeto. Os trocadores 4, 5, 6, 9 e 12 requereram o uso de tiras selantes e estas foram consideradas nos cálculos. Os resultados desses trocadores foram verificados, no entanto, sem o uso das tiras selantes, tendo-se observado que os valores mais afetados corresponderam à perda de carga pelos métodos de BELL e TINKER, piorando os valores correspondentes ao primeiro e melhorando muito pouco para o método de TINKER. Os resultados dos trocadores de TINKER encontram-se na região dos regimes de escoamento laminar e de transição, com alguns pontos do trocador 12 na região do regime turbulento.

A análise a seguir considera alguns dos 9 trocadores dados por TINKER, agrupados conforme apresentam características em comum, que facilitem a visão geral do comportamento dos três métodos de cálculo.

Trocadores 10 e 11 - eles possuem as mesmas características geométricas, sendo a única diferença o corte das chicanas: o trocador 10 tem o corte igual a 24,5% e o trocador 11 aproximadamente o dobro, isto é, 50%. Os métodos de KERN e de TINKER apresentaram valores da troca térmica e da perda de carga mais próximos da estimativa correta para o trocador 10. Pelo método de BELL, o trocador 10 apresenta-se na região de subestimação, sendo que a troca de calor se situa muito próxima da estimativa correta.

Trocadores 4 e 5 - eles possuem diferentes números de chicanas e valores aproximados do diâmetro do casco, sendo os outros parâmetros iguais. Em todas as figuras observa-se que o trocador 4 apresentou resultados mais elevados do que o trocador 5. Na troca de calor segundo TINKER e BELL, o trocador 4 apresentou-se mais próximo da relação 1,0 do que o trocador 5. Para KERN os valores estão subestimados encontrando-se o trocador 5 mais próximo de 1,0 do que o trocador 4. Quanto à perda de carga, KERN e TINKER oferecem resultados na região de superestimação, o trocador 5 se mostrando melhor do que o trocador 4. Segundo o método de BELL, o trocador 4 se localiza na região de superestimação ficando subestimado o trocador 5; segundo este ponto de vista, ao trocador 4 correspondem os melhores resultados.

Os trocadores 1, 2, 3 e 12 têm resultados correspondentes a processos de aquecimento e resfriamento do fluido do casco, enquanto para os demais trocadores os resultados são unicamente para resfriamento.

Quando o fluido do casco é resfriado, os resultados do trocador 12 pelos métodos de TINKER e BELL são mais precisos do que quando ele é aquecido, entretanto deve-se observar que no caso do resfriamento, o escoamento se estende aos regimes de transição e turbulento, para os quais os resultados, em geral, são melhores. No caso do método de KERN a tendência é oposta embora, no todo seus resultados já sejam mais imprecisos.

Para o trocador 1 os resultados de aquecimento se misturam com os de resfriamento nos três métodos tanto para a troca de calor como para a perda de carga. Os trocadores 2 e 3 em geral apresentam os resultados de aquecimento próximos, mas menores do que os de resfriamento, o que não implica em maior ou menor precisão pois os mesmos se distribuem ao longo do erro nulo.

Com base na informação disponível não parece que os métodos devam ser discriminados quanto à sua aplicação a processos de aquecimento ou resfriamento, podendo ser aplicados a ambos os casos.

Em suma, o trocador 3, com 3 pares de tiras selantes foi o que apresentou os melhores resultados, mostrando que nos trocadores onde a folga feixe-casco é considerável, o uso de tiras selantes favorece a uma melhor estimativa por parte dos três métodos.

A análise feita com os trocadores 10 e 11, que diferem apenas no corte das chicanas, mostrou que para o trocador com chicanas de corte 25%, os resultados são melhores do que para o trocador com chicanas de corte 50%.

O trocador 5 tem mais chicanas do que o trocador 4 e a ele corresponde uma perda de carga experimental maior, apesar das descargas menores pelo casco. Os dois trocadores têm o mesmo comprimento e o mesmo espaçamento entre chicanas mas, o trocador 4 (12 chicanas) tem as distâncias entre as chicanas extremas e os espelhos de tubos maiores do que as do trocador 5 (18 chicanas). Os cálculos com os três métodos apresentaram, no entanto, os resultados da perda de carga do trocador 5 menores do que os do trocador 4, o que seria de se esperar, pois o efeito das descargas é maior do que o do número de chicanas. Como os métodos de KERN e TINKER resultam em superestimação da perda de carga, o trocador 5 oferece melhor estimativa do que o trocador 4. Para os cálculos com o método de BELL, o trocador 4 se aproxima mais da melhor estimativa.

3.4.4 - Comparação dos resultados obtidos com a literatura disponível.

Para se fazer uma comparação entre os resultados obtidos pelos métodos de TINKER e BELL, e os apresentados nas Figuras 3.7 e 3.8 de PALEN e TABOREK^(3.12), deve-se observar inicialmente que:

. as Figuras 3.2, 3.3, 3.5 e 3.6 possuem em média 140 pontos cada, enquanto que as figuras do HTRI apresentam cerca de 1000 pontos cada. Isto quer dizer que a comparação entre as mesmas oferece apenas uma visão aproximada do comportamento dos pontos do presente trabalho;

. a comparação é feita considerando a faixa do número de REYNOLDS entre 1 e 10000, que abrange os resultados obtidos neste trabalho.

Na troca de calor, os métodos de TINKER e de BELL apresentam-se em geral, com comportamento análogo ao obtido nos cálculos do HTRI. Na perda de carga o método de BELL acompanha bem a distribuição dos pontos do HTRI, enquanto o método de TINKER,

com resultados superestimados, mostrou-se diferente do HTRI, cujos pontos passam da região de superestimação para a região de subestimação ao longo dos regimes de escoamento.

Em uma análise considerando cada regime de escoamento observa-se que:

. regime laminar – na troca de calor o método de TINKER apresenta-se bom, comparado ao do HTRI, mas tem mais pontos na região a favor da segurança. Os resultados obtidos pelo método de BELL têm a mesma distribuição dos pontos do HTRI. Na perda de carga, os resultados de TINKER encontram-se na faixa entre 2 e 19,5 (região de superestimação), enquanto os pontos do HTRI estão na faixa de 0,4 a 5,0. Os pontos obtidos dos cálculos com TINKER estão muito dispersos e defasados com relação ao valor 1,0 comparados aos resultados do HTRI. O método de BELL acompanha bem os pontos do HTRI mas possui menos pontos na região a favor da segurança.

. regime de transição – na troca de calor, os métodos de TINKER e BELL estão com uma distribuição uniforme em torno da razão 1,0 como os do HTRI. O método de TINKER, no entanto, apresenta muitos pontos na região contra a segurança, na faixa de REYNOLDS entre 500 e 1000, enquanto a maior parte dos resultados do HTRI encontram-se na região a favor da segurança. Na perda de carga, o método de BELL segue os resultados do HTRI, mas o de TINKER com a totalidade dos pontos na região de superestimação, não acompanha a distribuição do HTRI, que apresenta os pontos passando da região de superestimação para a de subestimação, à medida que eles se aproximam do regime de escoamento turbulento.

. regime turbulento – na troca de calor, TINKER e BELL se mostram bem parecidos com os resultados do HTRI, possuindo quase todos os pontos na região a favor da segurança. Nos resultados da perda de carga, o método de BELL também se aproxima bem dos resultados de HTRI, como o fez nos outros regimes de escoamento, embora apresente mais pontos na região de superestimação do que este último, que apresenta uma distribuição equitativa em torno do valor 1,0. O método de TINKER, mesmo apresentando os resultados mais próximos do valor 1,0, está com a maior parte dos pontos na região de superestimação, enquanto os valores obtidos pelo HTRI encontram-se quase totalmente subestimados.

E importante enfatizar que, com relação ao método de KERN, não se tem conhecimento de que exista na literatura aberta algum artigo que apresente resultados de troca de calor e de perda de carga obtidos em testes e calculados através desse método, que estejam disponíveis para uma comparação com os outros métodos de cálculo conhecidos.

Como pode ser visto nas análises feitas, o método de KERN apresenta uma considerável superestimação da perda de carga e uma subestimação da troca de calor. Como se sabe, o método de KERN continua sendo bastante usado para o dimensionamento termo-hidráulico de trocadores de calor, pela sua disponibilidade e maior facilidade. Os erros inerentes ao método não têm dado maiores problemas até hoje, porque em geral, a superestimação da perda de carga é absorvida nos erros de dimensionamento da rede em que o trocador vai ser instalado e o fator de depósito que é acrescentado ao cálculo da troca de calor oferece uma margem de segurança ao desempenho do mesmo.

Vale observar que os vários métodos de cálculo termo-hidráulico foram comparados pelo HTRI, embora os resultados divulgados sejam apenas os das figuras apresentadas na referência (3.12). Neste artigo, PALEN e TABOREK citam que o método que o "Heat Transfer Research, Inc." escolheu para desenvolver mais a fundo foi o método de TINKER, porque o mesmo oferece maior flexibilidade na descrição dos fenômenos físicos relativos às correntes que se distribuem dentro do trocador. O método de BELL não foi considerado para ser melhorado devido às limitações inerentes aos seus princípios básicos.

Do ponto de vista dos métodos prontamente disponíveis na literatura e como resultado das comparações efetivadas neste trabalho pode-se recomendar o método proposto por BELL para o dimensionamento termo-hidráulico dos trocadores casco e tubo considerados, pois apresenta resultados consistentemente mais precisos e mais uniformes para o coeficiente de película e a perda de carga ao longo dos regimes de escoamento explorados, aumentando a precisão com o estabelecimento do escoamento turbulento.

REFERÉNCIAS BIBLIOGRÁFICAS

- 3.1 - BELL, K.J. - "Final Report of the Cooperative Research Program on Shell and Tube Heat Exchangers", Bulletin nº 5, Engineering Experimental Station, University of Delaware, Newark, June (1963).
- 3.2 - TINKER, T. - "Shell Side Characteristics of Shell and Tube Heat Exchangers", Proceedings of General Discussion on Heat Transfer, The Institution of Mechanical Engineers, London, England, Parts I, II and III, pp. 89-116 (1951).
- 3.3 - STANDARDS OF TUBULAR EXCHANGER MANUFACTURERS ASSOCIATION, TEMA-Inc., 5th edition, 4th printing, N. Y. (1974).
- 3.4 - WATSON, K.M. and NELSON, E.F. - "Improved Methods of Approximating Critical and Thermal Properties of Petroleum Fractions" - Industrial and Engineering Chemistry, vol. 25, pp. 880-887 (1933) (referência citada em^(1.1)).
- 3.5 - CRAGUE, C.S. - Bureau of Standards Misc. Publication nº 97 (referência citada em^(3.1)).
- 3.6 - KERN, D.Q. - "Process Heat Transfer" - McGraw-Hill Book Co., New York (1950).
- 3.7 - COLLIER, J.G. - "Convective Boiling and Condensation", 2nd edition, McGraw-Hill (1982).
- 3.8 - BAKHVALOV, N.S. - "Numerical Methods - Analysis, Algebra, Ordinary Differential Equations", Moscow State University, Mir Publishers, Moscow (1977).
- 3.9 - DORN, W.S. and MCGRACKEN, D.D. - "Cálculo Numérico com Estudos de Casos em Fortran IV", Editora Campus.

- 3.10 - FRAAS A.P. and OZISIK, M.N. - "Heat Exchanger Design", Chapter nine: Liquid-to-liquid Heat Exchangers, John Wiley & Sons, pp. 143-157 (1965).
- 3.11 - TINKER, T. - "Shell Side Characteristics of Shell and Tube Heat Exchangers - A Simplified Rating System for Commercial Heat Exchangers" - Transactions of the ASME, January, pp. 36-52 (1958).
- 3.12 - PALEN, J.W. and TABOREK, J. - "Solution of Shell Side Flow Pressure Drop and Heat Transfer by Stream Analysis Method", Chemical Engineering Progress Symposium Series, n° 92, vol. 65, pp. 53-63 (1969).

CAPÍTULO 4

DIMENSIONAMENTO TERMO-HIDRÁULICO DE TROCADORES DE CALOR CASCO E TUBO, SEM MUDANÇA DE FASE

Neste capítulo é apresentada uma sequência de cálculo para o dimensionamento da área de troca térmica de trocadores de calor casco e tubo, para operar sem mudança de fase.

Os itens abaixo devem ser analisados na sequência do dimensionamento da área de troca de calor:

- . Condições de processo;
- . Definições preliminares de projeto e características geométricas do trocador;
- . Troca de calor e perda de carga;
- . Roteiro de cálculo.

4.1 - CONDIÇÕES DE PROCESSO

4.1.1 - Temperaturas de operação

As temperaturas de operação são definidas pelas condições do processo ou, em certos casos, pelo projetista do trocador.

Para trocadores que utilizam água, existem certos limites para a temperatura de saída da água, relacionados com problemas de corrosão dos materiais empregados na fabricação dos mesmos. Para água doce e água salgada recomenda-se temperaturas máximas de 55°C e 50°C, respectivamente^(4.1).

4.1.2 - Propriedades físicas dos fluidos

As mais importantes são: viscosidades (μ_s, μ_t), conductividades térmicas (K_s, K_t), calores específicos à pressão constante (C_s, C_t) e densidades (ρ_s, ρ_t). Os índices s e t referem-se ao

fluido no casco e ao fluido nos tubos, respectivamente. As propriedades físicas dos fluidos utilizados são consideradas nas suas temperaturas médias para o cálculo das características térmicas do trocador.

4.1.3 - Perdas de carga admissíveis e velocidades de circulação

As perdas de carga admissíveis dependem do tipo do fluido. As mais usuais são:

- para líquidos: valores entre 10 e 15 psi;
- para gases e vapores: valores entre 2 e 10 psi, para pressões de operação intermediárias e altas.
- para gases e vapores operando a vácuo ou pressões próximas à da atmosfera: valores entre 0,3 e 2 psi.

Deve-se procurar sempre usar toda a perda de carga disponível.

As velocidades de circulação (V_s, V_t) podem ser limitadas: as mínimas, para evitar problemas que ocorrem devido à deposição de sólidos, e as máximas para minimizar problemas de erosão e corrosão:

- para líquidos: valor máximo de 3 a 4,5 m/s
valor mínimo de 0,9 m/s. Em geral, utiliza-se de 1,5 a 1,8 m/s.
- para gases ou vapores: em geral utiliza-se de 25 a 30 m/s.

Às vezes, a velocidade dos fluidos é especificada em lugar da perda de carga admissível.

4.1.4 - Fatores de depósito para o fluido dos tubos (rd_i) e para o fluido do casco (rd_o)

Eles são produtos de sujeira, corrosão, ou outros materiais estranhos, que se depositam na superfície de troca de calor,

aumentando a resistência térmica e diminuindo o coeficiente global de troca de calor no trocador.

Para que o trocador mantenha desempenho satisfatório em operação normal, com um tempo de serviço razoável entre uma limpeza e outra, é importante que se estime fatores de depósito apropriados ao projeto. Para isso são envolvidas considerações econômicas e físicas na avaliação da grandeza dos fatores de depósito como: natureza do fluido e material depositado, temperatura e velocidade do fluido, material, acabamento e temperatura da parede do tubo, frequência e custo das limpezas requeridas, etc.

A Tabela 4.1, proveniente do manual da TEMA - Tubular Exchanger Manufacturers Association^(4.2), fornece valores de fatores de depósito e, na ausência de dados específicos para a determinação desses fatores, ela pode ser usada no projeto.

TABELA 4.1 - FATORES DE DEPÓSITO^(4.2)

FOULING RESISTANCES FOR WATER

Temperature of Heating Medium	Up to 240° F.		240° - 400° F.*			
	125° F. or Less		Over 125° F.			
	Water Velocity Ft./Sec.	3 and Less	Over 3	Water Velocity Ft./Sec.	3 and Less	Over 3
Temperature of Water						
Types of Water						
Sea Water	.0005	.0005	.001	.001		
Brackish Water	.002	.001	.003	.002		
Cooling Tower and Artificial Spray Pond:						
Treated Makeup	.001	.001	.002	.002		
Untreated	.003	.003	.005	.004		
City or Well Water (Such as Great Lakes)	.001	.001	.002	.002		
River Water:						
Minimum	.002	.001	.003	.002		
Average	.003	.002	.004	.003		
Muddy or Silty	.003	.002	.004	.003		
Hard (Over 15 grains/gal.)	.003	.003	.005	.005		
Engine Jacket	.001	.001	.001	.001		
Distilled or Closed Cycle Condensate	.0005	.0005	.0005	.0005		
Treated Boiler Feedwater	.001	.0005	.001	.001		
Boiler Blowdown	.002	.002	.002	.002		

*Ratings in columns 3 and 4 are based on a temperature of the heating medium of 240°-400° F. If the heating medium temperature is over 400° F. and the cooling medium is known to scale, these ratings should be modified accordingly.

FOULING RESISTANCES FOR NATURAL GAS-GASOLINE PROCESSING STREAMS

GASES AND VAPORS

Natural Gas001
Overhead Products001

LIQUIDS

Lean Oil002
Rich Oil001

TABELA 4.1 - FATORES DE DEPÓSITO (continuação)

FOULING RESISTANCES FOR OIL REFINERY STREAMS**CRUDE & VACUUM UNIT GASES AND VAPORS**

Atmospheric Tower Overhead Vapors.....	.001
Light Naphthas001
Vacuum Overhead Vapors.....	.002

CRUDE & VACUUM LIQUIDS**Crude Oil**

	0-199°F.			200°-299°F.		
	Velocity Ft./Sec.			Velocity Ft./Sec.		
	Under 2	2-4	4 and Over	Under 2	2-4	4 and Over
Dry Salt†	.003 .003	.002 .002	.002 .002	.003 .005	.002 .004	.002 .004
	300°-499°F.			500°F. and Over		
	Velocity Ft./Sec.			Velocity Ft./Sec.		
Dry Salt†	Under 2 .004 .006	2-4 .003 .005	4 and Over .002 .004	Under 2 .005 .007	2-4 .004 .006	4 and Over .003 .005

† Normally desalted below this temperature range. († to apply to 200-299°F., 300-499°F., 500°F. and over.)

Gasoline001
Naphtha & Light Distillates.....	.001
Kerosene001
Light Gas Oil002
Heavy Gas Oil003
Heavy Fuel Oils.....	.005
Asphalt & Residuum.....	.010

CRACKING & COKING UNIT STREAMS

Overhead Vapors002
Light Cycle Oil002
Heavy Cycle Oil.....	.003
Light Coker Gas Oil.....	.003
Heavy Coker Gas Oil.....	.004
Bottoms Slurry Oil (4½ ft./sec. minimum).....	.003
Light Liquid Products002

CATALYTIC REFORMING, HYDROCRACKING, & HYDRODESULFURIZATION STREAMS

Reformer Charge002
Reformer Effluent001
Hydrocracker Charge & Effluent**.....	.002
Recycle Gas001
Hydrodesulfurization Charge & Effluent**.....	.002
Overhead Vapors001
Liquid Product over 50° A.P.I.001
Liquid Product 30°-50° A.P.I.002

**Depending on charge characteristics and storage history, charge resistance may be many times this value.

LIGHT ENDS PROCESSING STREAMS

Overhead Vapors & Gases.....	.001
Liquid Products001
Absorption Oils002
Alkylation Trace Acid Streams.....	.002

TABELA 4.1 - FATORES DE DEPÓSITO (continuação)

LUBE OIL PROCESSING STREAMS

Feed Stock002
Solvent Feed Mix.....	.002
Solvent001
Extractt003
Raffinate001
Asphalt005
Wax Slurries.....	.003
Refined Lube Oil.....	.001

[†]Precautions must be taken to prevent wax deposition on cold tube walls.

FOULING RESISTANCES FOR INDUSTRIAL FLUIDS**OILS**

Fuel Oil005
Transformer Oil001
Engine Lube Oil001
Quench Oil004

GASES AND VAPORS

Manufactured Gas01
Engine Exhaust Gas01
Steam (non-oil bearing).....	.0005
Exhaust Steam (oil bearing).....	.001
Refrigerant Vapors (oil bearing).....	.002
Compressed Air002
Industrial Organic Heat Transfer Media.....	.001

LIQUIDS

Refrigerant Liquids001
Hydraulic Fluid001
Industrial Organic Heat Transfer Media.....	.001
Molten Heat Transfer Salts.....	.0005

FOULING RESISTANCES FOR CHEMICAL PROCESSING STREAMS**GASES AND VAPORS**

Acid Gas001
Solvent Vapors001
Stable Overhead Products.....	.001

LIQUIDS

MEA & DEA Solutions002
DEG & TEG Solutions002
Stable Side Draw and Bottom Product.....	.001
Caustic Solutions002
Vegetable Oils003

4.1.5 - Localização dos fluidos no trocador

Conhecendo-se as condições do processo e considerando fatores econômicos e de manutenção, coloca-se no lado dos tubos o fluido cuja temperatura de operação seja mais elevada, o fluido a alta pressão, fluidos corrosivos ou que causem maior depósito, água de resfriamento, vapores de água em condensação; coloca-se no lado do casco o fluido com a maior vazão, o fluido mais viscoso, fluidos cuja diferença de temperaturas entre a saída e a entrada seja maior do que 150°C se o número de trajetos de tubos for maior do que 1, vapores de fluido de processo, corrente com mais baixa perda de carga admissível.

No caso de conflito entre os dados acima, por exemplo, onde colocar um fluido mais viscoso e o outro mais corrosivo, o projetista deve fazer a escolha mais econômica, sem esquecer que o objetivo principal do trocador é seu desempenho térmico, com alto grau de confiabilidade e atendendo aos requisitos do processo.

4.1.6 - Folha de dados

A Figura 4.1 mostra uma folha de dados com as especificações necessárias ao projeto do trocador de calor padronizada pela TEMA.

4.2 - DEFINIÇÕES PRELIMINARES DE PROJETO E CARACTERÍSTICAS GEOMÉTRICAS DO TROCADOR

4.2.1 - Tipos de trocadores de calor casco e tubo

O código da TEMA traz exigências e recomendações para o projeto mecânico de trocadores de calor casco e tubo, mas algumas delas regem algumas definições do projeto térmico. De acordo com a TEMA, o tipo de trocador é identificado por 3 letras, que correspondem às partes: cabeçote estacionário, casco e cabeçote traseiro.

A Figura 4.2 apresenta a notação usada pela TEMA para cada parte dos trocadores existentes.

FOLHA DE DADOS - TROCADOR DE CALOR

CLIENTE:

UNIDADE:

LOCAL :

OPERAÇÃO	Nº DO DOCUMENTO	REV.
----------	-----------------	------

FOLHA _____ DE _____

AUT. _____ DATA _____

ITEM Nº	QUANT.			
1. SERVIÇO				
2. DIMENSÃO	TIPO	LIGADOS EM		
3. SUPERF./ UNIDADE	CASCO / UNID.	SUPERFÍCIE / CASCO		
CARACTERÍSTICAS DE UMA UNIDADE				
5.	LADO DO CASCO	LADO DOS TUBOS		
6. FLUIDO EM CIRCULAÇÃO				
7. QUANTIDADE TOTAL FLUIDO ENT. (kg/h) (lb/h)				
8. VAPOR (kg/h) (lb/h)				
9. LÍQUIDO (kg/h) (lb/h)				
10. VAPOR D'ÁGUA (kg/h) (lb/h)				
11. NÃO CONDENSÁVEIS (kg/h) (lb/h)				
12. FLUIDO VAPORIZ. OU CONDENS. (kg/h) (lb/h)				
13. VAPOR CONDENSAO (kg/h) (lb/h)				
14. DENSIDADE DO LÍQUIDO (kg/m³) (lb/pé³)				
15. VISCOSIDADE ENT. E SAÍDA (cP) (lb/hpé)				
16. PESO MOLECULAR DO VAPOR				
17. CALOR ESPECÍFICO DO LÍQ. (kcal/kg°C) (Btu/lb°F)				
18. CALOR LATENTE (kcal/kg) (Btu/lb)				
19. CONDUT. TÉRMICA (kcal/hm°C) (Btu/hpé°F)				
20. TEMP. ENTRADA (°C) (°F)				
21. TEMP. SAÍDA (°C) (°F)				
22. PRESSÃO DE OPERAÇÃO (kgf/cm²mon)				
23. NÚ. DE PASSOS POR CASCO				
24. VELOCIDADE DE CIRCULAÇÃO (m/seg) (ft/seg)				
25. QUEDA DE PRESSÃO (kgf/cm²) (psi)	CALC.	PERM.	CALC.	PERM.
26. FATOR INCROSTACAO (kcal/hm°C) (Btu/hpé°F)				
27. CALOR TROCADO (kcal/h) (Btu/h)			MUD (CORRIGIDO) (C) (F)	
28. RENDIMENTO - SERVIÇO (%)			LIMPO	
DETALHES DE CONSTRUÇÃO E MATERIAIS				
30. PRESSÃO DE PROJETO (kgf/cm²mon) (psig)				
31. PRESSÃO DE TESTE (kgf/cm²mon) (psig)				
32. TEMP. DE PROJETO (°C) (°F)				
33. TUBOS QUANT.	D.E.	BWG	COMP.	PASSO
34. CASCO D.E.	D.I.		ESPESS.	
35. TAMPO DO CASCO			TAMPO DO CABEDETE FLUTUANTE	
36. CARRETEL			TAMPO DO CARRETEL	
37. ESPelho FIXO			ESPELHO FLUTUANTE	
38. CHICANAS TRANSVERSAIS		PASSO	TIPO	ESPESS.
39. CHICANAS LONGITUDINAIS		TIPO		ESPESS.
40. SUPORTES DOS TUBOS		ESPESS.	Nº TIRANTES	
41. JUNTAS DE VEDAÇÃO			JUNTAS DE VEDAÇÃO SOBRESSAIENTES	
42. CONEXÕES DO CASCO - ENTRADA		SAÍDA	TIPO	
43. CONEXÕES DO CARRETEL-ENTRADA		SAÍDA	TIPO	
44. TOL. P/CORROSÃO: LADO DO CASCO			LADO DOS TUBOS	
45. CÓDIGOS TEMA			ANEL DE TESTE	
46. PESOS: CASCO FEIXE TUBULAR			CHEIOS D'ÁGUA	
47. FABRICANTE:				
48. DESSENHO DE CONJUNTO				
OBSERVAÇÕES:				

FIGURA 4.1 - FOLHA DE DADOS COM AS ESPECIFICAÇÕES NECESSÁRIAS AO PROJETO DE TROCADORES DE CALOR CASCO E TUBO, PADRÃO DA TEMA (4.2).

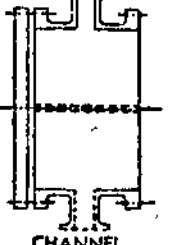
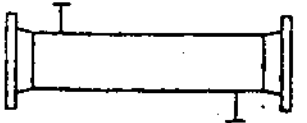
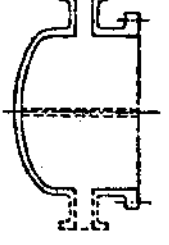
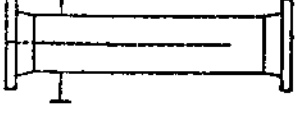
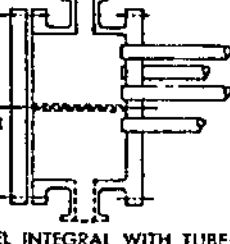
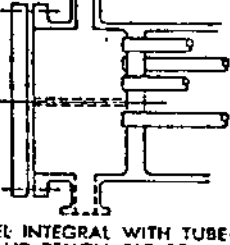
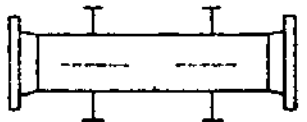
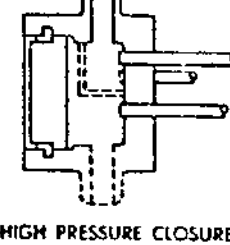
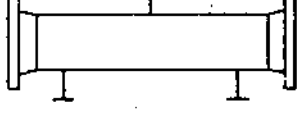
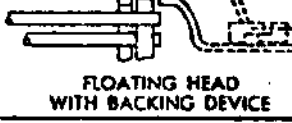
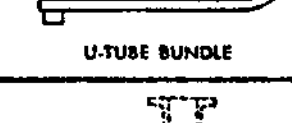
CABEÇOTE ESTACIONÁRIO		CASCO	CABEÇOTE TRASEIRO
A		E	 ONE PASS SHELL
B		F	 TWO PASS SHELL WITH LONGITUDINAL BAFFLE
C	 REMOVABLE TUBE BUNDLE ONLY	G	 SPLIT FLOW
N	 CHANNEL INTEGRAL WITH TUBE-SHEET AND REMOVABLE COVER	H	 DOUBLE SPLIT FLOW
D		J	 DIVIDED FLOW
		K	 KETTLE TYPE REBOILER
		X	 CROSS FLOW
		L	 FIXED TUBESHEET LIKE "A" STATIONARY HEAD
		M	 FIXED TUBESHEET LIKE "B" STATIONARY HEAD
		N	 FIXED TUBESHEET LIKE "N" STATIONARY HEAD
		P	 OUTSIDE PACKED FLOATING HEAD
		S	 FLOATING HEAD WITH BACKING DEVICE
		T	 PULL THROUGH FLOATING HEAD
		U	 U-TUBE BUNDLE
		W	 EXTERNALLY SEALED FLOATING TUBESHEET

FIGURA 4.2 - TIPOS PADRÃO DE CABEÇOTE ESTACIONÁRIO, CASCO E CABEÇOTE TRASEIRO, SEGUNDO A TEMA (4.2).

(a) Cabeçotes estacionários

Tipo A - com carretel e flange removíveis, usado em trocadores com espelhos fixos, tubos em U ou feixe de tubos removível. Para limpeza dos tubos não é preciso desconectar as tubulações do trocador. É o mais utilizado.

Tipo B - com fundo abaulado, usado em trocadores com espelhos fixos, tubos em U ou feixe de tubos removível como no Tipo A. Para limpeza dos tubos deve ser desconectado das tubulações externas.

Tipo C - é integral com o espelho do trocador e possui flange de abertura removível; de difícil manutenção é, por isso, pouco usado.

Tipo N - com carretel integrado ao casco, usado em trocadores com espelhos fixos.

Tipo D - com carretel integral com o espelho, usado para altas pressões (em torno de 1000 psi).

(b) Cascos^(4.3)

Tipo E - de passe único, é o mais barato e mais comum. O fluido entra numa extremidade e sai na outra extremidade, com os bocais do mesmo lado ou de lados opostos. Os tubos podem ser em um ou mais trajetos e são suportados por chicanas transversais. É o mais usado nas aplicações em que o fluido do lado do casco não muda de fase.

Tipo F - tem dois passes do lado do casco, com uma chicana longitudinal, com isso os fluxos são em contracorrente e a efetividade do trocador é maior. Recomenda-se não utilizar o casco Tipo F quando a perda de carga no casco for maior do que 10 psi e quando a diferença entre as temperaturas de entrada e saída do fluido do casco for maior do que 180°C.

Tipo G - com fluxo bipartido, tem chicanas horizontais com extremidades removíveis. Os bocais do casco são separados

de 180° no ponto médio dos tubos. Pode ser usado para fluxos em uma única fase mas é frequentemente usado como revedor horizontal em termosifão.

Tipo H - com fluxo duplamente bipartido, é similar ao casco Tipo G mas com dois bocais de entrada, dois bocais de saída e duas chicanas horizontais.

Tipo J - com fluxo dividido, fornece aproximadamente $1/8$ da perda de carga de um Tipo E comparável e, portanto, é usado para aplicações com baixa perda de carga como, por exemplo, na condensação em vácuo.

Tipo K - revedor tipo chaleira, com feixe de tubos na base do casco cobrindo 60% do diâmetro do casco. É usado só para revedores com vaporização total, onde o líquido ocupa o feixe de tubos e o vapor o espaço acima, que está sem tubos. A chicana vertical atua como represa do condensado e o excesso de líquido que transborda é drenado. O feixe utilizado é o feixe de tubos em U.

Tipo X - com fluxo cruzado. Nesse tipo não são usadas chicanas mas placas de suporte para suprimir as vibrações induzidas pelo fluxo no casco. A perda de carga para o fluido do lado do casco é muito baixa. É mais usado para resfriamento de gás com tubos aletados e/ou condensação.

(c) Cabeçotes traseiros

Os cabeçotes traseiros com espelho fixo devem ser usados quando a diferença entre as temperaturas de entrada dos fluidos não for maior do que 60°C ^(4.4).

Tipos L, M, N - usados para trocadores com espelhos fixos. O Tipo L é similar ao Tipo A, o Tipo M similar ao Tipo B e o Tipo N similar ao outro Tipo N.

O objetivo dos cabeçotes flutuantes é resolver o problema da expansão térmica; cada configuração tem vantagens e desvantagens que devem ser consideradas no momento de sua escolha, de modo que o objetivo principal seja alcançado.

Tipo T - ("pull through") é o tipo mais simples de cabeçote flutuante. O espelho é menor e aparafusado diretamente na tampa, de maneira que pode ser removido para inspeção e limpeza do lado do casco. Neste tipo, alguns tubos devem ser omitidos na periferia do feixe, para acomodar os parafusos de fixação da tampa. Isso aumenta a folga entre o feixe e o casco e faz com que diminua o fluxo através do feixe, prejudicando o desempenho térmico do trocador. Esse problema pode ser reduzido com o uso de tiras selantes ("sealing strips"), colocadas longitudinalmente.

Tipo S - com anel bipartido. O espelho flutuante é fixado a uma tampa interna pelo anel bipartido, ganhando flexibilidade para se movimentar e absorver os deslocamentos causados pela expansão térmica. Neste tipo, os tubos ficam mais próximos do casco e com isso o desempenho térmico do trocador é melhor. É o mais utilizado.

Tipo P - com caixa de gaxetas externas que selam o fluido do lado do casco, permitindo o movimento do cabeçote e evitando que ocorra vazamento e mistura com o fluido do tubo.

Tipo W - com uma junta em anel ao redor do espelho, para selar os fluidos durante o movimento do espelho. Não deve ser usado para hidrocarbonetos ou fluidos tóxicos, pois apresenta risco de vazamento nas juntas.

Os cabeçotes tipo P e W não são tão bem selados como os tipos S e T, mas têm a vantagem de permitir a construção de um único passe do lado dos tubos^(4.4).

Tipo U - com feixe de tubos em U.

(d) Feixes tubulares

Para o trocador com espelho fixo e tubos retos, o uso da junta de expansão para resolver o problema da expansão térmica às vezes torna o equipamento bem mais caro (principalmente se o diâmetro do casco for grande) devido à dificuldade de construção. Nesse caso ele pode ser substituído por um trocador com feixe de

tubos em U.

O feixe de tubos em U apresenta a desvantagem de não permitir a substituição individual dos tubos (exceto os da fileira mais externa). A limpeza do lado externo aos tubos pode ser feita mecanicamente mas, do lado interno aos tubos, não é fácil; recomenda-se não utilizar feixe de tubos em U quando o fator de depósito do lado dos tubos for maior do que $0,002 \text{ hpé}^2\text{F/BTU}$ ^(4.1).

A Tabela 4.2 faz algumas recomendações quanto à escolha do tipo de feixe de tubos para trocadores de calor casco e tubo em função dos fatores de depósito.

TABELA 4.2 - RECOMENDAÇÕES PARA A ESCOLHA DO TIPO DE FEIXE DE TUBOS PARA TROCADORES DE CALOR CASCO E TUBO^(4.1)

Fator de depósito ($\text{hpé}^2\text{F/BTU}$)	Tipo de Feixe de Tubos	
Tubo (rd_i)	casco (rd_o)	
$\leq 0,002$	$> 0,002$	Tubos em U ou cabeçote flutuante
$> 0,002$	$> 0,002$	Tubos retos Cabeçote flutuante
	$\leq 0,002$	Tubos retos Espelho fixo com limpeza química do lado do casco

(e) Material do casco e dos tubos

Os materiais usados para a fabricação do casco e dos tubos, recomendados pela TEMA, são:

- para o casco: aço carbono, aços de baixa liga, aços de alta liga, alumínio e ligas de alumínio, cobre e ligas de cobre.

para os tubos: aço carbono, aços de baixa liga, aços de alta liga, níquel e ligas de níquel, alumínio e ligas de alumínio, cobre e ligas de cobre.

A escolha depende do tipo de processo e do fluido utilizado e, às vezes, é feita pelo comprador do trocador.

4.2.2 - Bocais e placas de impacto

(a) A localização dos bocais no trocador depende do serviço requerido. Para aquecimento ou vaporização, os fluidos devem escoar da base para o topo do trocador. Para condensação ou resfriamento, os fluidos devem escoar do topo para a base do trocador.

(b) Diâmetros dos bocais (D_{bs} , D_{bt})

Para a determinação dos diâmetros dos bocais, deve-se primeiro verificar os diâmetros mínimos para os bocais, analisando as velocidades máximas dos fluidos nos bocais como segue:

para o bocal do casco a velocidade máxima para líquidos é dada por:

$$V_{bsmáx} = \sqrt{\frac{3000}{\rho_s}} \text{ (pé/s)}, \quad (4.1)$$

com ρ_s em (lbf/in^3).

para o bocal dos tubos, a velocidade máxima para líquidos considerada é $V_{btmáx} = 10 \text{ pé/s}$.

Para gases, recomenda-se em ambos os casos:

$$V_{bmáx} = 16,1 \sqrt{\frac{P}{\rho}} \quad (4.2)$$

onde:

P = pressão de operação para o fluido considerado (lbf/in^2).

Em função das velocidades máximas encontra-se os diâmetros mínimos para os bocais do casco ($D_{bsmín}$) e para os bocais dos tubos ($D_{btmín}$):

$$D_{bsmín} = \sqrt{\frac{4 W_s}{\rho_s \pi V_{bsmáx}}} \quad (\text{pe}) \quad (4.3)$$

$$D_{btmín} = \sqrt{\frac{4 W_t}{\rho_s \pi V_{btmáx}}} \quad (\text{pe}) \quad (4.4)$$

onde:

W_s , W_t = vazão dos fluidos do casco e dos tubos, respectivamente (t/m/h).

É bom que os bocais tenham as mesmas dimensões que as tubulações conectadas ao trocador mas, se estas não estão definidas, pode-se utilizar como recomendação os valores da tabela abaixo.

TABELA 4.3 - RECOMENDAÇÕES PARA DIÂMETROS DE CONEXÕES DO CASCO (4.5)

DIÂMETRO INTERNO DO CASCO (POL)	DIÂMETRO DAS CONEXÕES (POL)
Menor que 12	2
12 - 17 1/4	3
19 1/4 - 21 1/4	4
23 1/4 - 29	5
31 - 37	8
Acima de 39	10

(c) Placas de impacto

As placas d \circ impacto s \tilde{a} o usadas para proteger o feixe de tubos contra o impacto causado pelo fluido que vai escoar no casco. Ela deve ser colocada logo abaixo do bocal do casco. A TEMA recomenda usar placas de impacto quando o produto da densidade do fluido do casco (ρ_s) pela velocidade ao quadrado desse fluido no bocal (V_s^2) for maior do que 1500 lbm/pé s 2 para fluidos n \tilde{a} o abrasivos, n \tilde{a} o corrosivos e sem mudan \tilde{a} a de fase, e maior do que 500 lbm/pé s 2 para os outros fluidos. No caso do fluido do casco ser g \tilde{a} s, vapor condensando ou misturas l \tilde{i} quido-vapor deve-se usar sempre placas de impacto.

4.2.3 - Tubos

O "layout" dos tubos deve ser de tal maneira que minimize o desvio do fluxo em torno do feixe de tubos.

(a) Comprimento (L)

Para a defini \tilde{a} o do comprimento dos tubos deve-se considerar o desenho da instala \tilde{a} o, fatores econ \tilde{a} micos e padroniza \tilde{a} o existente. S \tilde{a} o tomados como padr \tilde{a} o os comprimentos de tubos de 8, 10, 12, 16 e 20 p \tilde{e} (4.2). Se n \tilde{a} o h \tilde{a} limita \tilde{a} o devido ao desenho, o mais econ \tilde{a} mico \tilde{e} o de 20 p \tilde{e} . Outros comprimentos de tubos podem ser utilizados.

(b) Diâmetros e espessura da parede dos tubos

Diâmetro externo dos tubos (d_2) - os diâmetros externos padr \tilde{a} o s \tilde{a} o: 1/4, 3/8, 1/2, 5/8, 3/4, 1 1/4, 1 1/2, 2 e 2 1/2 polegadas. Os mais usados s \tilde{a} o os diâmetros de 3/4, 1 e 1 1/2 polegadas, sendo que, normalmente:

- para fluidos com fator de dep \tilde{o} sito menor do que 0,003 usa-se o de 3/4 pol.

- para fluidos com fator de dep \tilde{o} sito maior do que 0,003 usa-se o de 1 pol.

· para fluido com problema de perda de carga, usar o de 1 1/2 pol.

O código TEMA apresenta tabelas que listam os diâmetros dos tubos com suas respectivas espessuras de parede (BWG) para cobre, aço e ligas, correspondentes às classes mecânicas de trocadores de calor R, C e B. Elas indicam também quais os diâmetros e os BWG preferidos.

Diâmetro interno dos tubos (d_i) - definido o diâmetro externo do tubo (d_2) e o BWG, ou seja, a espessura da parede do tubo (e), encontra-se o diâmetro interno do tubo por:

$$d_i = d_2 - 2e \text{ (pol)} \quad (4.5)$$

ou na Tabela 4.4, que mostra os diâmetros externos padrão dos tubos, com suas características correspondentes.

(c) Altura média das asperezas da superfície interna dos tubos (ϵ)^(4.6)

- para tubo de aço: $\epsilon = 0,00085$ pé;
- para tubo de ferro galvanizado: $\epsilon = 0,0005$ pé;
- para tubo de cobre e ligas: $\epsilon = 0,000005$ pé.

(d) Disposição dos tubos

A TEMA definiu quatro tipos de disposição dos tubos, relacionados com a direção do escoamento do lado do casco. A Figura 4.3 abaixo mostra os quatro tipos utilizados.

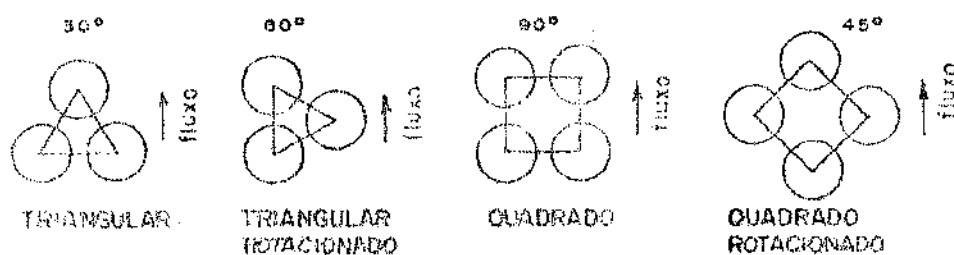


FIGURA 4.3 - DISPOSIÇÃO DOS TUBOS^(4.2)

TABELA 4.4 - CARACTERÍSTICAS DOS TUBOS^(4.2).

O.D. of Tubing d_2	B.W.G. Gauge	Thick- ness Inches e	Internal Area Sq. Inch a_2	Sq. Ft. External Surface Per Foot Length	Sq. Ft. Internal Surface Per Foot Length a_1	Weight Per Ft. Length Steel Lbs. ^a	I. D. Tubing Inches d_1	Moment of Inertia Inches ⁴	Section Modulus Inches ³	Radius of Gyration Inches	Constant C^*	O. D. I. D.	Metal Area (Transverse Metal Area) Sq. Inch
1/4	22	.028	.0295	.0655	.0503	.065	.124	.00312	.00333	.0792	16	1.289	.0195
1/4	24	.022	.0333	.0655	.0539	.056	.126	.00311	.00333	.0812	32	1.216	.0158
1/4	26	.018	.0360	.0655	.0560	.043	.124	.00229	.00271	.0824	36	1.160	.0131
3/8	16	.040	.0603	.0982	.0725	.171	.272	.00658	.0036	.1164	44	1.354	.0362
3/8	20	.015	.0731	.0982	.0798	.127	.305	.00055	.0029	.1212	114	1.233	.0374
3/8	22	.028	.0793	.0982	.0815	.104	.319	.00246	.0023	.1227	125	1.176	.0353
3/8	24	.022	.0860	.0982	.0867	.083	.337	.00038	.0020	.1246	134	1.133	.0284
1/2	16	.065	.1075	.1069	.0969	.392	.370	.0022	.0086	.1356	168	1.358	.0888
1/2	18	.049	.1259	.1069	.1052	.236	.362	.0018	.0072	.1606	196	1.234	.0594
1/2	20	.025	.1452	.1069	.1126	.174	.310	.0014	.0054	.1656	227	1.163	.0311
1/2	22	.028	.1548	.1069	.1162	.141	.344	.0012	.0046	.1874	241	1.120	.0215
5/8	12	.169	.1701	.1636	.1066	.402	.407	.0061	.0197	.1864	203	1.316	.177
5/8	13	.093	.1446	.1636	.1139	.332	.435	.0057	.0183	.1903	232	1.437	.156
5/8	14	.083	.1655	.1636	.1202	.479	.459	.0053	.0170	.1938	258	1.362	.141
5/8	15	.072	.1817	.1636	.1258	.425	.491	.0049	.0156	.1971	283	1.299	.125
5/8	16	.065	.1924	.1636	.1296	.398	.495	.0045	.0145	.1993	300	1.263	.114
5/8	17	.058	.2035	.1636	.1323	.350	.509	.0042	.0134	.2016	317	1.229	.103
5/8	18	.049	.2181	.1636	.1380	.303	.527	.0037	.0118	.2042	330	1.196	.099
5/8	19	.042	.2238	.1636	.1416	.262	.541	.0033	.0105	.2068	358	1.155	.077
5/8	20	.035	.2419	.1636	.1453	.221	.555	.0028	.0091	.2089	377	1.126	.055
3/4	10	.134	.1075	.1963	.1262	.584	.482	.0123	.0344	.2229	265	1.356	.360
3/4	11	.120	.2043	.1951	.1335	.809	.510	.0122	.0326	.2257	319	1.471	.218
3/4	12	.109	.2223	.1953	.1193	.748	.532	.0116	.0309	.2299	347	1.410	.220
3/4	13	.095	.2463	.1960	.1466	.666	.560	.0107	.0285	.2340	384	1.339	.196
3/4	14	.083	.2629	.1963	.1529	.592	.584	.0098	.0262	.2376	418	1.238	.174
3/4	15	.072	.2884	.1963	.1587	.523	.606	.0089	.0238	.2410	450	1.208	.153
3/4	16	.065	.3019	.1963	.1623	.476	.620	.0083	.0221	.2433	471	1.210	.140
3/4	17	.058	.3157	.1963	.1660	.428	.634	.0076	.0203	.2455	492	1.163	.126
3/4	18	.049	.3300	.1963	.1702	.367	.652	.0067	.0178	.2484	521	1.150	.104
3/4	20	.035	.3632	.1963	.1780	.269	.660	.0050	.0134	.2532	567	1.103	.079
7/8	10	.134	.2892	.2291	.1588	1.061	.607	.0221	.0505	.2662	451	1.441	.312
7/8	11	.120	.3166	.2291	.1662	.869	.675	.0208	.0475	.2703	424	1.378	.245
7/8	12	.109	.3750	.2291	.1720	.991	.657	.0196	.0449	.2736	529	1.332	.262
7/8	13	.095	.3995	.2291	.1723	.792	.686	.0189	.0411	.2770	575	1.277	.233
7/8	14	.083	.3948	.2291	.1856	.704	.729	.0164	.0374	.2915	616	1.234	.207
7/8	15	.075	.4359	.2291	.1950	.561	.745	.0137	.0312	.2873	680	1.174	.185
7/8	16	.065	.4742	.2291	.2034	.432	.777	.0109	.0249	.2925	740	1.126	.127
7/8	20	.035	.5030	.2291	.2107	.313	.805	.0082	.0187	.2972	794	1.087	.052
1	8	.165	.3256	.2618	.1754	1.462	.570	.0332	.0784	.3009	550	1.493	.433
1	10	.134	.4208	.2618	.1916	1.237	.732	.0330	.0700	.3098	656	1.356	.354
1	11	.120	.4526	.2618	.1930	1.129	.760	.0327	.0654	.3140	708	1.316	.332
1	12	.109	.4903	.2618	.2047	1.037	.782	.0307	.0615	.3174	749	1.279	.305
1	13	.095	.5153	.2618	.2121	.918	.810	.0290	.0559	.3217	804	1.233	.270
1	14	.083	.5403	.2618	.2193	.813	.834	.0271	.0507	.3255	852	1.199	.230
1	15	.072	.5755	.2618	.2243	.714	.856	.0227	.0455	.3291	898	1.167	.216
1	16	.065	.5915	.2618	.2278	.649	.870	.0210	.0419	.3314	927	1.149	.191
1	18	.049	.6300	.2618	.2361	.496	.902	.0166	.0332	.3386	997	1.109	.146
1	20	.035	.6793	.2618	.2435	.360	.930	.0124	.0247	.3414	1060	1.073	.106
1-1/4	7	.180	.6221	.3272	.2300	2.057	.890	.0800	.1425	.3836	970	1.404	.605
1-1/4	8	.165	.6518	.3272	.2409	1.921	.930	.0827	.1355	.3880	1037	1.359	.565
1-1/4	10	.134	.7574	.3272	.2571	1.598	.992	.0741	.1165	.3974	1182	1.213	.410
1-1/4	11	.120	.8012	.3272	.2643	1.440	1.010	.0688	.1100	.4018	1250	1.210	.426
1-1/4	12	.109	.8365	.3272	.2702	1.329	1.032	.0642	.1027	.4052	1305	1.211	.331
1-1/4	13	.095	.8725	.3272	.2775	1.173	1.050	.0579	.0926	.4097	1377	1.179	.345
1-1/4	14	.083	.9229	.3272	.2810	1.033	1.044	.0521	.0811	.4136	1440	1.133	.304
1-1/4	15	.075	.9852	.3272	.2932	.823	1.120	.0426	.0682	.4195	1537	1.115	.242
1-1/4	16	.065	1.042	.3272	.3016	.629	1.152	.0314	.0534	.4250	1626	1.085	.195
1-1/4	20	.035	1.094	.3272	.3093	.456	1.180	.0247	.0395	.4297	1707	1.059	.134
1-1/2	10	.134	1.132	.3927	.0225	1.955	1.232	.1354	.1006	.4853	1850	1.219	.575
1-1/2	12	.109	1.291	.3927	.3356	1.618	1.292	.1159	.1545	.4932	2014	1.170	.476
1-1/2	14	.093	1.308	.3927	.3492	1.253	1.304	.0931	.1241	.5018	2181	1.124	.370
1-1/2	16	.085	1.474	.3927	.3307	.996	1.370	.0256	.1008	.5079	2299	1.093	.293
1	11	.120	2.4113	.5236	.4608	2.470	1.260	.3144	.3144	.6660	1795	1.136	.709
1	13	.095	2.5173	.5236	.4739	1.934	1.819	.2486	.6744	.4014	1.105	.569	
1-1/2	9	.148	2.8115	.6540	.3770	3.717	2.204	.7592	.6074	.8332	3951	1.134	1.094

*Weights are based on low carbon steel with a density of 0.283322/inch³. For other metals multiply by the following factors:

Aluminum	0.95	Nickel-Chrome-Iron	1.07
A.I.S.I. 300 Series Stainless Steel	0.99	Admiralty	1.09
A.I.S.I. 300 Series Stainless Steel	1.02	Nickel and Nickel-Copper	1.13
Aluminum Bronze	1.04	Copper and Cupro-Nickel	1.14
Aluminum Brass	1.06		

^aLiquid Velocity = $\frac{\text{Lbs. Per Tube Per Hour}}{C \times \text{SP. GR. of Liquid}}$ in feet per sec. (Sp. Gr. of Water at 60°F. = 1.0)

O arranjo triangular ou triangular rotacionado não deve ser usado quando o fator de depósito do lado do casco for maior do que 0,002 $hp\cdot^{\circ}F/BTU$ e o casco vai ser limpo mecanicamente.

Quando os tubos estão dispostos em quadrado ou em quadrado rotacionado, uma faixa mínima para limpeza de 1/4 pol deve ser deixada entre tubos.

Os arranjos triangular (30°), quadrado e quadrado rotacionado são os mais usados.

A Tabela 4.5 mostra algumas recomendações para a escolha da disposição dos tubos no trocador.

TABELA 4.5 - RECOMENDAÇÕES PARA A ESCOLHA DA DISPOSIÇÃO DOS TUBOS NO TROCADOR (4.1)

<i>R E Q U I S I T O S</i>	<i>DISPOSIÇÃO</i>
Fator de depósito do lado do casco $\leq 0,002$	Triangular
Fator de depósito do lado do casco $> 0,002$	Quadrada
Quando é requerida limpeza mecânica da superfície externa dos tubos	Quadrada
Quando é requerida ou pode ser feita limpeza química do lado do casco	Triangular
Trocador com espelho fixo	Triangular
Trocador com feixes removíveis	Triangular ou Quadrada
Trocador com tubos em U	Triangular

(e) Distância entre centros de tubos adjacentes (p)

Os tubos devem ser espaçados com uma distância mínima do centro a centro de 1,25 vezes o diâmetro externo dos tubos. A Tabela 4.6 mostra as distâncias mais usadas, em função dos diâme-

etros externos dos tubos para os arranjos usuais.

TABELA 4.6 - DISTÂNCIA ENTRE CENTROS DE TUBOS ADJACENTES^(4.5)

Diâmetro externos dos tubos (em polegadas)	Distância em polegadas	
	Triangular	Quadrado
3/4	15/16 ~ 1	1
1	1 1/4	1 1/4
1 1/2	1 7/8	1 7/8
> 1 1/2	1,25 d ₂	1,25 d ₂

Define-se p_r ("pitch ratio") como a razão entre a distância entre os centros de tubos adjacentes e o diâmetro externo dos tubos:

$$p_r = \frac{p}{d_2} \quad (4.6)$$

A distância entre os tubos (d) é dada pela distância entre os centros de tubos adjacentes menos o diâmetro externo dos tubos:

$$d = p - d_2 \text{ (pol)} \quad (4.7)$$

(f) Número de trajetos de tubos (n)

Em geral o número mínimo de trajetos de tubos no trocador é 2 e o máximo 8, embora, em casos específicos, 1 passe ou mais de 8 passes possam ser utilizados.

Para trocadores com espelho fixo, um passe ou um númer

mero par de passes é mais comum. Para trocadores com tubos em U só é possível um número par de passes, e o número máximo recomendado é 6 passes.

(g) Espessura dos espelhos de tubos (e_e)

Toma-se como espessura mínima do espelho a soma do diâmetro externo dos tubos com a tolerância para corrosão e entalhe. Com base no valor da espessura mínima pode-se estimar a espessura do espelho.

A TEMA traz:

- . entalhe ("tube sheet pass partition groove") = 3/16 polegada ;
- . tolerância para corrosão (dada para cada classe de trocadores de calor e alguns materiais) conforme Tabela 4.7.

TABELA 4.7 - TOLERÂNCIA PARA CORROSÃO PARA OS ESPELHOS DE TUBOS^(4.2)

MATERIAL	C L A S S E S		
	CLASSE R	CLASSE C	CLASSE B
Aço Carbono	1/8 pol	1/16 pol	1/16 pol
Ligas	0 pol	0 pol	0 pol
Ferro fundido	1/8 pol	1/16 pol	1/16 pol

A espessura mínima do espelho é dada por:

$$e_e = d_2 + \frac{3}{16} + \text{tolerância para corrosão (pol)} \quad (4.8)$$

(h) Comprimento efetivo do tubo (L_1)

É dado pelo comprimento total do tubo menos duas ve

zes a espessura de um espelho de tubos:

$$L_1 = L + 2e_0 \text{ (pé)} \quad (4.9)$$

4.2.4 - Temperaturas de projeto (T_{p_s} , T_{p_t})

As temperaturas de projeto podem ser tomadas como sendo aproximadamente 50°F acima das temperaturas de operação dos fluidos.

4.2.5 - Pressões de projeto (P_{p_s} , P_{p_t})

Inicialmente as pressões devem ser analisadas separadamente para cada fluido e depois analisadas em conjunto. Em geral, pode-se tomar as pressões de projeto 10 a 20% maiores do que as pressões de operação dos fluidos.

Quando a pressão de operação mais baixa for superior a $2/3$ da pressão de operação mais alta, não há problema de pressão no trocador. Mas, se a pressão de projeto mais baixa for menor do que $2/3$ da pressão de operação mais alta, deve-se observar se vai ocorrer problema de pressão no trocador. Assim, se acontecer o rompimento de um tubo, o trocador inteiro ficará sujeito à pressão mais alta. Se não é possível diminuir essa pressão mais alta, tenta-se proteger o lado de baixa pressão, colocando uma válvula de segurança ou aumentando a pressão mais baixa^(4.1).

4.2.6 - Pressão de projeto para os bocais do casco e dos tubos (P_{pb_s} , P_{pb_t})

As classes de pressão para os bocais do trocador são dadas na Figura 4.4 em função das temperaturas de projeto e das pressões de projeto para os lados do casco e dos tubos.

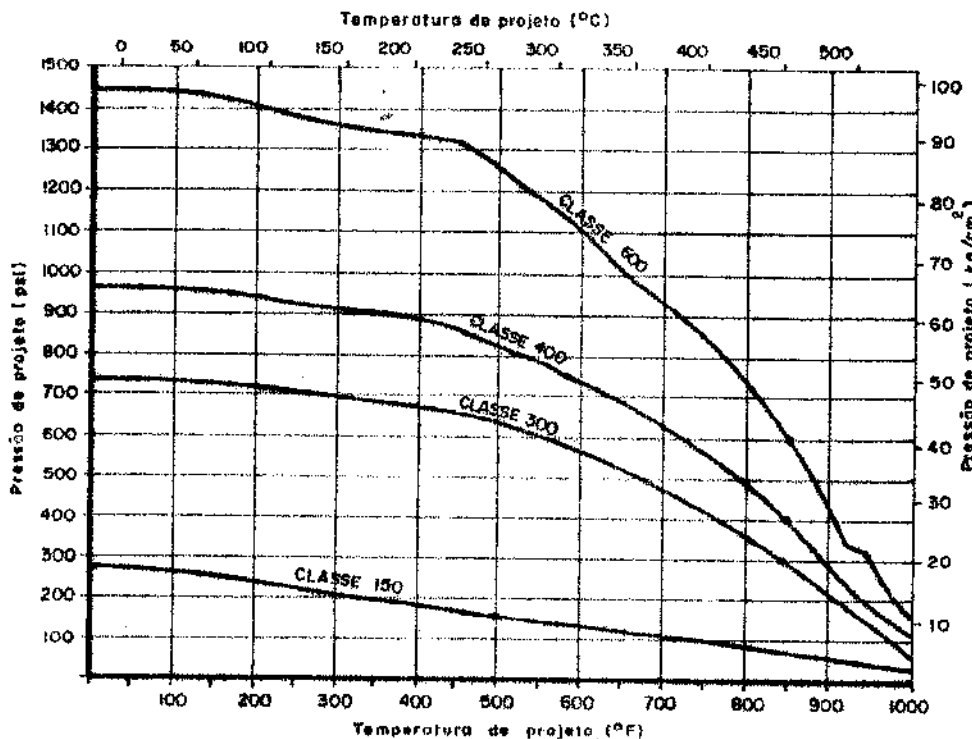


FIGURA 4.4 - PRESSÃO PARA OS BOCAIS DO TROCADOR (4.7)

4.2.7 - Calor trocado (Q)

A taxa de transferência de calor no trocador corresponde à troca de calor sensível de um fluido para o outro, considerando-se desprezível a perda de calor para o ambiente. Ela é dada por:

$$Q = W_s C_s \Delta T_s = W_t C_t \Delta T_t \text{ (BTU/h)}, \quad (4.10)$$

onde:

$\Delta T_s, \Delta T_t$ = diferenças entre as temperaturas de entrada e de saída dos fluidos do casco e dos tubos, respectivamente.

4.2.8 - Diferença média de temperaturas

(a) Diferença média logarítmica de temperaturas (DMLT)

A diferença média logarítmica de temperaturas é calculada como se o trocador fosse em contracorrente com um trajeto ou passe do lado do casco e um trajeto de tubos. É dada pela Figura 4.5 e pela equação (4.11):

$$DMLT = \frac{\Delta T_a - \Delta T_b}{\frac{\Delta T_a}{L_n} + \frac{\Delta T_b}{A}} \quad (4.11)$$

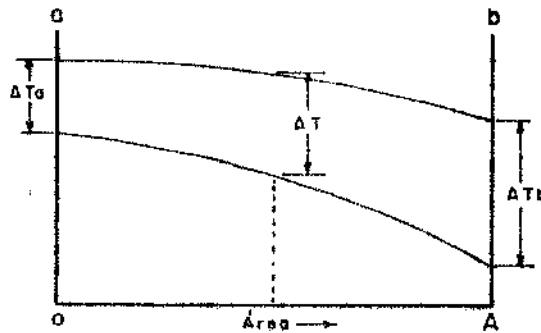


FIGURA 4.5 - DISTRIBUIÇÃO DE TEMPERATURA NUM TROCADOR DE CALOR COM CORRENTES OPOSTAS, DE PASSE ÚNICO

onde:

$\Delta T_a, \Delta T_b$ = diferença de temperaturas no terminal "a" e no terminal "b", respectivamente.

$$\Delta T_a = T_1 - t_2 \quad (4.11a)$$

$$\Delta T_b = T_2 - t_1 \quad (4.11b)$$

T_1, T_2 = temperaturas de entrada e saída do fluido quente, respectivamente.

t_1, t_2 = temperaturas de entrada e saída do fluido frio, respectivamente.

Se ΔT_a não for 50% maior do que ΔT_b , a diferença de temperaturas média aritmética diferirá em menos de 1% da DMLT, e poderá ser usada para simplificar os cálculos^(4.8).

(b) Fator de correção para a diferença média de temperaturas (F_t)

O valor de F_t é dado por gráficos e equações^(4.9) para cada geometria de escoamento de fluidos, em função de R e S definidos por:

$$R = \frac{T_1 - T_2}{t_2 - t_1} \quad (4.12)$$

$$S = \frac{t_2 - t_1}{T_1 - t_1} \quad (4.13)$$

Então:

Se $n = 1$, $F_t = 1,0$

Se $n \geq 2$, F_t é calculado pelas equações abaixo:

- Um passe do lado do casco e 2 passes de tubos:

$$F_{t_{1-2}} = \frac{\frac{\sqrt{R^2+1}}{R-1} \log_{10} \frac{1-S}{1-SR}}{\log_{10} \frac{\frac{2}{S} - 1 - R + \sqrt{R^2+1}}{\frac{2}{S} - 1 - R - \sqrt{R^2+1}}} \quad (4.14)$$

- Um passe do lado do casco e 4 passes de tubos:

$$F_{t_{1-4}} = \frac{\frac{\sqrt{4R^2+1}}{2(R-1)} \log_{10} \frac{1-S}{1-SR}}{\log_{10} \frac{1+V(\sqrt{4R^2+1} - 2R)}{1-V(\sqrt{4R^2+1} - 2R)}} \quad (4.15)$$

onde:

$$V = \frac{T_{t1} - T_{t2}}{4T_{s1} - (T_{t1} + 2t_i + T_{t2})} \quad (4.16)$$

t_i é a temperatura intermediária do fluido do tubo quando sai do 2º e entra no 3º passe de tubos. O valor de t_i pode ser obtido por tentativas da equação:

$$\left(\frac{t_i - T_{t1}}{T_{t2} - t_i} \right)^{\sqrt{4R^2+1}} = \frac{1+V(\sqrt{4R^2+1} - 2R)}{1+V(\sqrt{4R^2+1} + 2R)} \quad (4.17)$$

- Um passe do lado do casco e 6 passes de tubos:

Esse caso concorda bem com o caso de trocadores com 1 passe do casco e 2 passes de tubos operando com as mesmas temperaturas terminais.

- Um passe do lado do casco e infinitos passes de tubos

Esse caso se aproxima do caso em que ambos os fluxos estão completamente misturados. Mesmo assim, F_t geralmente é de 1 a 2% menor do que o valor de F_t para o trocador 1-2.

- Dois passes do lado do casco e 4 passes de tubos

$$F_{t_{2-4}} = \frac{\frac{\sqrt{R^2+1}}{2(R-1)} \log_{10} \frac{1-S}{1-SR}}{\log_{10} \frac{\frac{2}{S} - 1 - R + \frac{2}{S} \sqrt{(1-S)(1-SR)} + \sqrt{R^2+1}}{\frac{2}{S} - 1 - R + \frac{2}{S} \sqrt{(1-S)(1-SR)} - \sqrt{R^2+1}}} \quad (4.18)$$

- Três ou mais passes do lado do casco (trocadores 3-6, 4-8, 6-12, etc), calcular a partir de:

$$S_{N-2N} = \frac{1 - (1 - S_{1-2}R)^N}{R - \frac{1 - S_{1-2}R}{1 - S_{1-2}}} \quad (4-19)$$

- Um passe do lado do casco e 3 passes de tubos, etc., retira-se o valor de F_t da Figura 6 da referência (4.9). Geralmente não é usado.

(e) Diferença média de temperaturas (ΔT)

Ela é dada por:

$$\Delta T = DMLT \times F_t \quad (^{\circ}F) \quad (4.20)$$

4.2.9 - Trocadores em série ou em paralelo

(a) Verificação da necessidade de cascos em série

Quando se opera com grandes vazões, em geral, são requeridas passagens múltiplas no casco o que, na prática, é realizado com auxílio de múltiplos cascos possibilitando arranjos diversos. Um dos mais usados é o de cascos em série, usado quando o emprego de apenas uma unidade conduz a valores de F_t menores do que 0,8 ou quando há limitações do diâmetro ou do comprimento do equipamento. Nesse caso as unidades em geral devem ser iguais para economia na construção e facilidade de operação e manutenção. Dois ou mais passes do lado dos tubos costumam ser usados^(4.4).

Uma outra maneira de verificar se é necessário cascos em série é ver se:

$$2T_2 \geq t_1 + t_2 \text{ quando o fluido quente está no casco,}$$

$$\text{ou,} \quad 2t_2 \leq T_1 + T_2 \text{ quando o fluido frio está no casco.}$$

Se um desses limites é aproximado, então é necessário o uso de múltiplos cascos em série^(4.10).

Na prática usa-se no máximo até 6 cascos em série.

(b) Estimativa do número de cascos em série (n_{cs})

Existe uma técnica gráfica rápida para a estimativa do número suficiente de cascos em série^(4.10), explicada a seguir:

1º) Marcar as temperaturas terminais das duas correntes num papel gráfico comum, a temperatura de entrada do fluido quente e a temperatura de saída do fluido frio na ordenada do lado esquerdo do papel, e a temperatura de saída do fluido quente e a temperatura de entrada do fluido frio na ordenada do lado direito do papel. A distância entre as ordenadas é arbitrária, correspondente à quantidade total de calor trocado entre as duas correntes.

2º) Se o calor específico de cada corrente é constante, traçar linhas retas do ponto de temperatura de entrada até o de temperatura de saída de cada corrente. Se o calor específico de uma ou das duas correntes varia, calcula-se a temperatura desta corrente em função do calor adicionado ou removido pela outra. Nesse caso o procedimento acima continua válido mas com um erro adicional, cuja magnitude depende da curvatura da linha (ou das linhas) e da variação do coeficiente global de troca de calor.

3º) Iniciando pela temperatura de saída do fluido frio, puxar uma linha horizontal até que esta intercepte a linha do fluido quente. Desse ponto, descer uma linha vertical até que encontre a linha do fluido frio. Repetir o processo até que a linha horizontal intercepte a ordenada do lado direito do papel. O número de linhas horizontais (incluindo a que intercepta a ordenada do lado direito) é igual ao número de cascos em série, suficiente para desempenhar o serviço requerido.

(c) Cascos em paralelo

Para casos onde há limitação de dimensões e de perda de carga pode-se usar arranjo em paralelo.

4.2.10 - Área de troca de calor

A equação básica de transferência de calor a ser usada no projeto de trocadores de calor é:

$$Q = \int_A UATdA$$

No trocador as temperaturas dos fluidos não são constantes e com isso variam as propriedades térmicas dos fluidos e as resistências térmicas, implicando numa variação do coeficiente global de troca de calor U . No projeto do trocador calcula-se o valor médio de U com as propriedades dos fluidos nas temperaturas médias, e utiliza-se a diferença média de temperaturas.

Assim:

$$Q = UAMT \quad (\text{BTU/h}) \quad (4.21)$$

(a) Coeficiente global de troca de calor (U).

Se considerar que os tubos são aletados interna e externamente, a expressão do U é dada por:

$$U = \frac{1}{\frac{\eta_i h_i A_{ti}}{At_a} + \frac{At_a}{2k_{pt}\pi L_1} \frac{d_2}{d_i} + \frac{1}{\eta_o h_o} + \frac{rd_i At_a}{\eta_i A_{ti}} + \frac{rd_2}{\eta_e}}$$

(BTU/hp \circ F) (4.22)

onde:

At_a = área de troca de calor da superfície externa dos tubos, para tubos aletados externamente (pé^2);

At_i = área de troca de calor da superfície interna dos tubos, para tubos aletados internamente (pé^2);

η_o = eficiência total da superfície externa dos tubos;

η_i = eficiência total da superfície interna dos tubos;

rd_i = fator de depósito para o lado dos tubos ($\text{hp}\circ\text{F}/\text{BTU}$);

rd_o = fator de depósito para o lado do casco ($\text{hp}\circ\text{F}/\text{BTU}$).

Tem-se que:

$$\eta = 1 - \frac{A_a}{A} (1-\psi) \quad (4.23)$$

onde:

A_a = área de troca de calor das aletas (pé^2);

A = área total de troca de calor (pé^2);

ψ = eficiência das aletas

Para tubos não aletados:

$$U = \frac{1}{\frac{d_2}{h_i d_i} + \frac{d_2}{2k_{pt}} \frac{d_2}{d_i} + \frac{1}{h_o} + \frac{d_2}{d_i} rd_i + rd_o} \quad (\text{BTU/hp}\circ\text{F})$$

(4.24)

(b) Coeficiente global de troca de calor - Estimativa inicial (U_0)

Para a estimativa inicial do coeficiente global de troca de calor pode-se usar a Tabela 4.8^(4.11), que fornece uma faixa de valores de U para vários tipos de fluidos em função das viscosidades dos fluidos.

(c) Área de troca de calor (A)

É dada por:

$$A = \frac{Q}{U\Delta T} \quad (\text{pé}^2) \quad (4.25)$$

A área máxima de troca de calor recomendada é limitada a de um trocador com diâmetro interno do casco de 1,20m (48 pol), ou feixe de tubos de 15 t de peso^(4.1).

Para uma estimativa inicial (A_0) da área de troca térmica do trocador, usa-se U_0 estimado e determina-se ΔT conforme o item 4.2.8.

(d) Área de troca de calor por casco (A_{ts})

Ela é dada por:

$$A_{ts} = \frac{A_0}{n_{cs}} \quad (\text{pé}^2) \quad (4.26)$$

4.2.11 - Número total de tubos no trocador (N_t)

A área de troca térmica de um trocador é dada também por:

$$A_{ts} = N_t (\pi d_2 L_1) \quad (\text{pé}^2)$$

dai:

$$N_t = \frac{A_{ts}}{\pi d_2 L_1} \quad (4.27)$$

TABELA 4.8 - COEFICIENTE GLOBAL DE TROCA DE CALOR (4.11).

FLUIDO 1	FLUIDO 2	Fator de depósito total h_{pe}^U /BTU	U BTU / h pe^2 °F	FLUIDO 1	FLUIDO 2	Fator de depósito total h_{pe}^U /BTU	U BTU / h pe^2 °F
Water	Water	0.6015	250-300	Heavy organic liquids	Heavy organic liquids	0.005	10-30
Water	Gas, about 10 psig	0.001	15-20	Heavy organic liquids	Very heavy organic liquids	0.006	5-15
Water	Gas, about 100 psig	0.001	30-40				
Water	Gas, about 1,000 psig	0.001	60-100				
Water	Light organic liquids ^{**}	0.0015	125-175				
Water	Medium organic liquids ^{**}	0.002	75-125				
Water	Heavy organic liquids ^{**}	0.0025	40-75				
Water	Very heavy organic liquids ^{**}	0.0024					
Water	Heating						
Water	Cooling						
Oil, 30°	Gas, about 10 psig	0.0005	15-20	Water	Condensate, light organic vapors, pure component††	0.001	150-200
Oil, 30°	Gas, about 100 psig	0.0005	35-45	Water	Condensate, medium organic vapors, pure component††	0.001	100-150
Oil, 30°	Gas, about 1,000 psig	0.0005	70-110	Water	Condensate, heavy organic vapors, pure component††	0.002	75-100
Oil, 30°	Light organic liquids ^{††}	0.001	135-190				
Oil, 30°	Medium organic liquids ^{††}	0.0015	80-135				
Oil, 30°	Heavy organic liquids ^{††}	0.002	45-80				
Steam	Very heavy organic liquids ^{††}	0.0035	15-45	Water	Condensate, heavy organic vapors, pure component††		
Steam	Water	0.001	300-400				
Light organic liquids ^{††}	Light organic liquids ^{††}	0.002	100-110				
Light organic liquids ^{††}	Medium organic liquids ^{††}	0.0025	70-100				
Light organic liquids ^{††}	Heavy organic liquids ^{††}	0.003					
Light organic liquids ^{††}	Heating						
Light organic liquids ^{††}	Cooling						
Light organic liquids ^{††}	Very heavy organic liquids ^{††}	0.004	40-75				
Light organic liquids ^{††}	Heating		25-50				
Light organic liquids ^{††}	Cooling						
Medium organic liquids ^{††}	Medium organic liquids ^{††}	0.003	20-50				
Medium organic liquids ^{††}	Heavy organic liquids ^{††}	0.0035	5-25				
Medium organic liquids ^{††}	Heating						
Medium organic liquids ^{††}	Cooling						
Medium organic liquids ^{††}	Very heavy organic liquids ^{††}	0.0045	30-50				
Medium organic liquids ^{††}	Heating		15-35				
Medium organic liquids ^{††}	Cooling						

*The total fouling resistance and the overall heat transfer coefficient are based on the total outside tube area. Allowable pressure drops on each side are assumed to be about 10 psi, except for (1) low-pressure gas and condensing vapor where the pressure drop is assumed to be about 5 per cent of the absolute pressure, and (2) heavy organics where the allowable pressure drop is assumed to be about 20 to 30 psi. *Aqueous solutions give approximately the same coefficients as water. †Liquid ammonia gives about the same results as water. ‡Light organic liquids" include liquids with viscosities less than about 0.5 cp, such as hydrocarbons through C₆, gasoline, light alcohols and ketones, etc.

†Medium organic liquids" include liquids with viscosities between about 0.5 cp and 1.5 cp, such as kerosene, straw oil, hot gas oil, absorber oil and light crudes. **Heavy organic liquids" include liquids with viscosities greater than 1.5 cp, but not over 50 cp, such as cold gas oil, tube oils, fuel oils, greases, etc. ††Very heavy organic liquids" include tars, asphalt, polymer melts, greases, etc., having viscosities greater than about 50 cp. Estimation of coefficient for these materials is very uncertain. ††These values may be used for vapor mixtures when the condensing range of the vapor is less than half of the temperature difference between the outlet coolant and the vapor. If the condensing range is greater than this, or if there are significant amounts of noncondensable gas present, the coefficient should be reduced towards the values shown for gas cooling. In these cases, the accuracy of the estimation is very uncertain. §N/A, condensable.

com A_{ts} , d_2 e L_1 definidos anteriormente.

O número de tubos por trajeto (N_{tt}) é dado por:

$$N_{tt} = \frac{N_t}{n} \quad (4.28)$$

4.2.12 - Diâmetro interno do casco

(a) Número de tubos na fileira central do trocador (n_c)

Definido para os arranjos de tubos triangular e quadrado em função do número total de tubos^(4.12). Então:

. para arranjo triangular de tubos:

$$\text{Se } 20 < N_t \leq 2000 : n_c = 1,29 N_t^{\frac{1}{2,11}} \quad (4.29)$$

$$\text{Se } N_t > 2000 : n_c = 1,05 \sqrt{N_t} \quad (4.30)$$

. para arranjo quadrado de tubos:

$$\text{Se } 20 < N_t \leq 2000 : n_c = 1,397 N_t^{\frac{1}{2,11}} \quad (4.31)$$

$$\text{Se } N_t > 2000 : n_c = 1,129 \sqrt{N_t} \quad (4.32)$$

(b) Diâmetro do feixe de tubos (d_3)

O diâmetro do feixe de tubos é o diâmetro do limite dos tubos mais externos do feixe. É dado por:

$$d_3 = (n_c - 1)p + d_2 \text{ (pol)} \quad (4.33)$$

(c) Diâmetro interno do casco (d_1)

Conhecendo-se o diâmetro do feixe de tubos (d_3) e o tipo de trocador, encontra-se d_1 na Tabela 4.9 que dá valores aproximados do diâmetro interno do casco. Esta tabela é baseada em dados práticos de projetos de trocador de calor casco e tubo.

De acordo com a TEMA, toma-se o diâmetro máximo do casco igual a 60 polegadas. Trocadores com diâmetros maiores exigem

requisitos adicionais. Na prática, normalmente são utilizados diâmetros do casco até no máximo 48 polegadas.

Conhecendo-se o diâmetro interno do casco (d_1), o diâmetro externo dos tubos (d_2), a distância entre centros de tubos adjacentes (p) e o número de passagens de tubos (n), pode-se retirar na Tabela 4.10^(4.14) o valor do número total de tubos, mais próximo ao calculado pela equação (4.27). As quantidades apresentadas na referida tabela são valores reais, resultado da contagem do número de tubos para cada caso, em trocadores existentes dos Tipos S e P.

Para a determinação definitiva do número total de tubos, deve-se fazer o desenho da seção transversal do trocador com as dimensões e características já estabelecidas.

4.2.13 - Chicanas

(a) Classificação e tipos de chicanas

As chicanas são classificadas em transversais e longitudinais^(4.3). O objetivo das longitudinais é o controle da direção do fluxo do fluido do casco, de modo que duas correntes sejam obtidas. As chicanas transversais podem ser classificadas em: planas e em barras.

As chicanas planas são usadas para suportar os tubos, direcionar o fluxo através do feixe aproximadamente a ângulos retos aos tubos e para aumentar a turbulência do fluido do casco. Os tipos são: chicanas multi-segmentares, disco-e-anel, e chicana de orifício. Elas são mostradas na Figura 4.6^(4.3). As chicanas segmentares simples e dupla são as mais frequentemente usadas. As segmentares triplas e a segmentar sem tubos na janela são usadas para aplicações de baixa perda de carga. As chicanas disco-e-anel e as de orifício raramente são usadas.

As chicanas em barras são usadas para suportar os tubos e aumentar a turbulência do fluido do casco. O fluxo no trocador com chicanas em barra é paralelo ao fluxo dos tubos. A Figura 6, página 17 da referência (4.3), mostra quatro arranjos de aplicação dessas chicanas. Elas são pouco usadas.

A escolha do tipo de chicana, o espaçamento e o corte são fortemente influenciados pela vazão dos fluidos, perda de

TABELA 4.9 - VALORES APROXIMADOS DE d_1 E d_3 (4.13).

ϕ_1	(pol)	ESPELHO FIXO E TUBOS EM U	OUTSIDE PACKED HEAD	PULL THROUGH SPLIT RING	d_3 [pol]
10.02		9.62	8.52	6.42	6.02
12.09		11.67	10.59	8.49	10.04
13.38		12.85	11.88	8.78	11.30
15.23		14.81	13.75	11.65	13.11
17.25		16.79	15.75	13.65	15.06
19.25		18.76	17.75	15.65	17.00
21.25		20.75	19.75	17.65	18.96
23.00		22.50	21.50	19.40	20.66
27.00		26.46	25.50	23.40	24.56
31.00		30.43	29.50	27.40	28.45
35.00		34.40	33.50	31.30	32.33
39.00		38.37	37.50	35.30	36.25
42.00		41.34	40.50	38.25	38.14
48.00		47.30	46.50	44.20	45.04
51.00		50.27	49.50	47.20	47.53
54.00		53.24	52.50	50.10	50.83
60.00		59.21	58.50	56.00	56.72

TABELA 4.10 - CONTAGEM DOS TUBOS (4.14).

TABELA 4.10 - CONTAGEM DOS TUBOS (continuação)

Número de tubos no caso (Pn)	Número de tubos utilizados (Pn)	Classificação da tubulação em função dos diâmetros utilizados	Número de passos no tubo				Número de tubos utilizados em cada caso (Pn)									
			1	2	4	8										
21	15 1/4	3/4	15 1/16	▲	361	342	306	290	37	35 1/4	3/4	15 1/16	▲	1142	1200	
		3/4	1	□○	276	264	246	234			3/4	1	□○	929	930	
		3/4	1	△	318	304	279	262			3/4	1	▲	1090	1062	
		1	1 1/4	□○	170	168	157	150			1	1 1/4	□○	598	580	
		1	1 1/4	△	199	188	170	164	160		1	1 1/4	△	678	662	
		1	1 1/4	△	199						1	1 1/4	△	632	614	
23 1/4	23 1/2	3/4	15 1/16	▲	442	420	386	378	39	37 1/4	3/4	15 1/16	▲	1258	1246	
		3/4	1	□○	341	321	308	296	292		3/4	1	□○	1025	1012	
		3/4	1	△	381	369	349	326	326		3/4	1	▲	1206	1176	
		1	1 1/4	□○	210	199	197	186	184		1	1 1/4	□○	645	637	
		1	1 1/4	△	247	230	216	208	202		1	1 1/4	△	766	736	
		1	1 1/4	△	247						1	1 1/4	△	700	648	
25	25 3/8	3/4	15 1/16	▲	511	506	468	446	42	40 1/4	3/4	15 1/16	▲	1580	1577	
		3/4	1	□○	397	391	370	360	343		3/4	1	□○	1301	1171	
		3/4	1	△	470	452	422	394	382		3/4	1	▲	1609	1376	
		1	1 1/4	□○	250	248	224	216	210		1	1 1/4	□○	745	726	
		1	1 1/4	△	294	282	256	252	242		1	1 1/4	△	390	378	
		1	1 1/4	△	294						1	1 1/4	△	834	806	
27	25 3/4	3/4	15 1/16	▲	637	602	550	536	524	44	43 1/4	3/4	15 1/16	▲	1598	1564
		3/4	1	□○	465	452	427	418	408		3/4	1	□○	1201	1144	
		3/4	1	△	559	534	488	474	464		3/4	1	▲	1562	1396	
		1	1 1/4	□○	286	275	267	257	257		1	1 1/4	□○	856	837	
		1	1 1/4	△	349	334	302	296	286		1	1 1/4	△	90	921	
		1	1 1/4	△	349						1	1 1/4	△	834	806	
29	27 3/8	3/4	15 1/16	▲	721	692	640	620	594	48	46	3/4	15 1/16	▲	1650	1624
		3/4	1	□○	554	542	525	509	500		3/4	1	□○	1349	1227	
		3/4	1	△	630	604	556	536	508		3/4	1	▲	1562	1472	
		1	1 1/4	□○	348	340	322	314	313		1	1 1/4	□○	1535	1394	
		1	1 1/4	△	397	376	354	334	316		1	1 1/4	△	837	778	
		1	1 1/4	△	397						1	1 1/4	△	921	858	
31	29 3/8	3/4	15 1/16	▲	847	822	766	722	720	52	50	3/4	15 1/16	▲	1908	1834
		3/4	1	□○	633	616	590	586	570		3/4	1	□○	1620	1593	
		3/4	1	△	745	728	678	666	640		3/4	1	▲	1827	1845	
		1	1 1/4	□○	402	390	366	360	348		1	1 1/4	□○	837	809	
		1	1 1/4	△	472	454	430	420	400		1	1 1/4	△	90	921	
		1	1 1/4	△	472						1	1 1/4	△	1163	1076	
33	31 3/8	3/4	15 1/16	▲	974	938	872	812	826	56	54	3/4	15 1/16	▲	2247	2273
		3/4	1	□○	811	773	687	672	672		3/4	1	□○	1918	1890	
		3/4	1	△	970	830	774	760	732		3/4	1	▲	2212	2183	
		1	1 1/4	□○	660	453	430	420	414		1	1 1/4	□○	1216	1196	
		1	1 1/4	△	517	513	487	484	480		1	1 1/4	△	1405	1375	
		1	1 1/4	△	517	508	522	486	470		1	1 1/4	△	1633	1605	
35	33 3/8	3/4	15 1/16	▲	1022	1004	988	958	956	60	58	3/4	15 1/16	▲	2660	2556
		3/4	1	□○	327	811	773	762	756		3/4	1	□○	2341	2167	
		3/4	1	△	970	938	882	864	848		3/4	1	▲	2368	2346	
		1	1 1/4	□○	517	513	487	484	480		1	1 1/4	□○	1420	1371	
		1	1 1/4	△	608	592	566	546	532		1	1 1/4	△	1639	1615	
		1	1 1/4	△	608						1	1 1/4	△	1889	1797	

carga admissível, suporte necessário aos tubos e vibrações induzidas pelo fluxo.

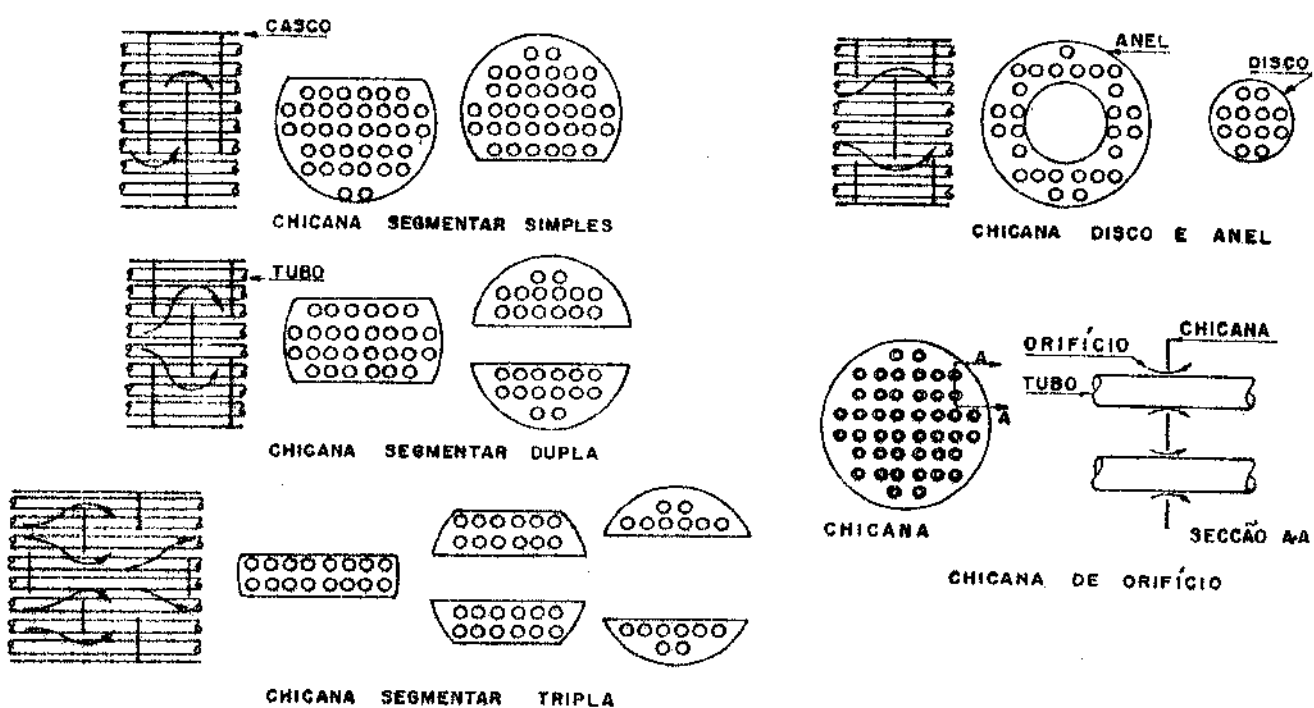


FIGURA 4.6 - CHICANAS PLANAS^(4.3)

(b) Espaçamento entre chicanas (ℓ_3)

Deve ser de tal maneira que a área livre de fluxo a través da janela da chicana seja aproximadamente igual a área do fluxo cruzado no feixe de tubos.

A TEMA define como espaçamento máximo o diâmetro interno do casco (d_1) e como espaçamento mínimo 1/5 do diâmetro do casco (em polegadas) ou 2 polegadas, escolhendo-se o maior deles.

Na prática recomenda-se adotar o espaçamento ℓ_3/d_1 entre 0,3 a 0,5.

(c) Distância entre as chicanas extremas e os espelhos de tubos (ℓ_{31}, ℓ_{32})

O espaçamento ℓ_3 refere-se às chicanas intermediárias. Os espaçamentos extremos (ℓ_{31}, ℓ_{32}) podem ser iguais a ℓ_3 ou não, dependendo do tipo construtivo do trocador. Para a estimativa

de ℓ_{31} e ℓ_{32} , toma-se inicialmente os valores mínimos de ℓ_{31} e ℓ_{32} a partir das equações:

$$\ell_{31\min} = D_{bs1} + \ell_{31f}(p\bar{e}) \quad (4.34)$$

$$\ell_{32\min} = D_{bs2} + \ell_{32f}(p\bar{e}) \quad (4.35)$$

onde:

D_{bs1} , D_{bs2} = diâmetros internos dos bocais de entrada e de saída do casco, respectivamente;

ℓ_{31f} , ℓ_{32f} = fatores para os espaçamentos (de entrada e de saída) obtidos nas Figuras 4.7 e 4.8^(4.1) em função do diâmetro interno do casco, do tipo do trocador e da pressão do projeto para os bocais do casco.

Para os espaçamentos máximos entre os espelhos e as chicanas extremas, a TEMA traz tabelas indicando o comprimento máximo sem apoio para tubos retos no trocador, para as três classes padrão de trocadores, de acordo com o material e o diâmetro externo dos tubos.

(d) Número de chicanas (N_{chi})

É dado pela expressão:

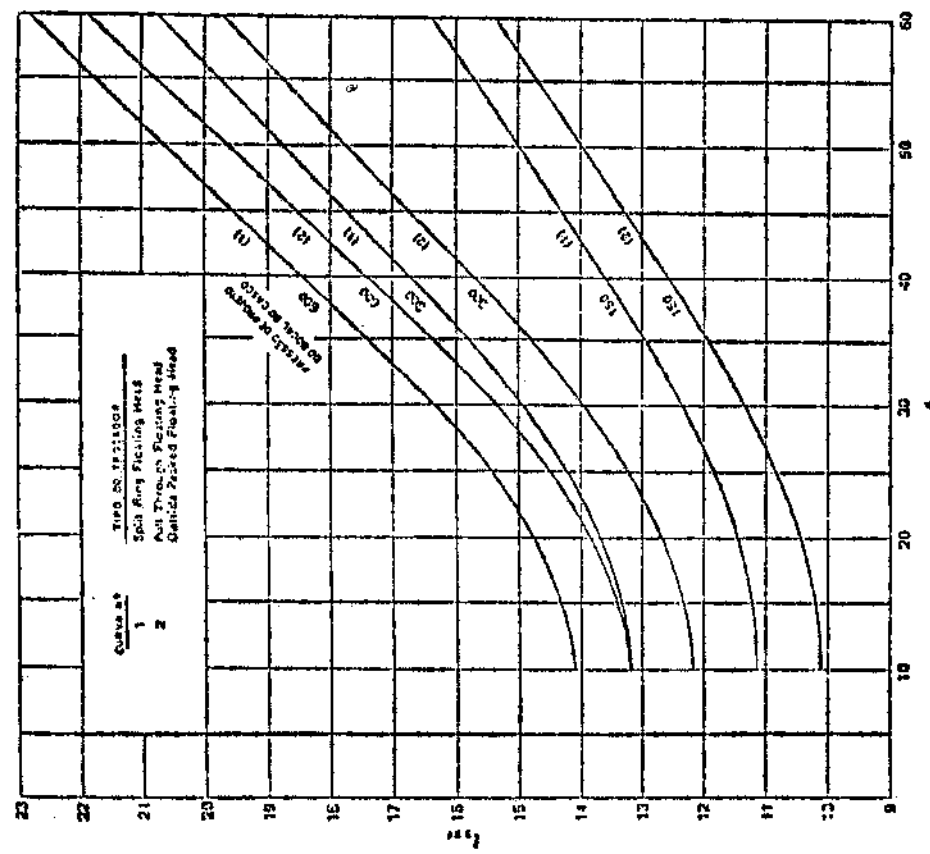
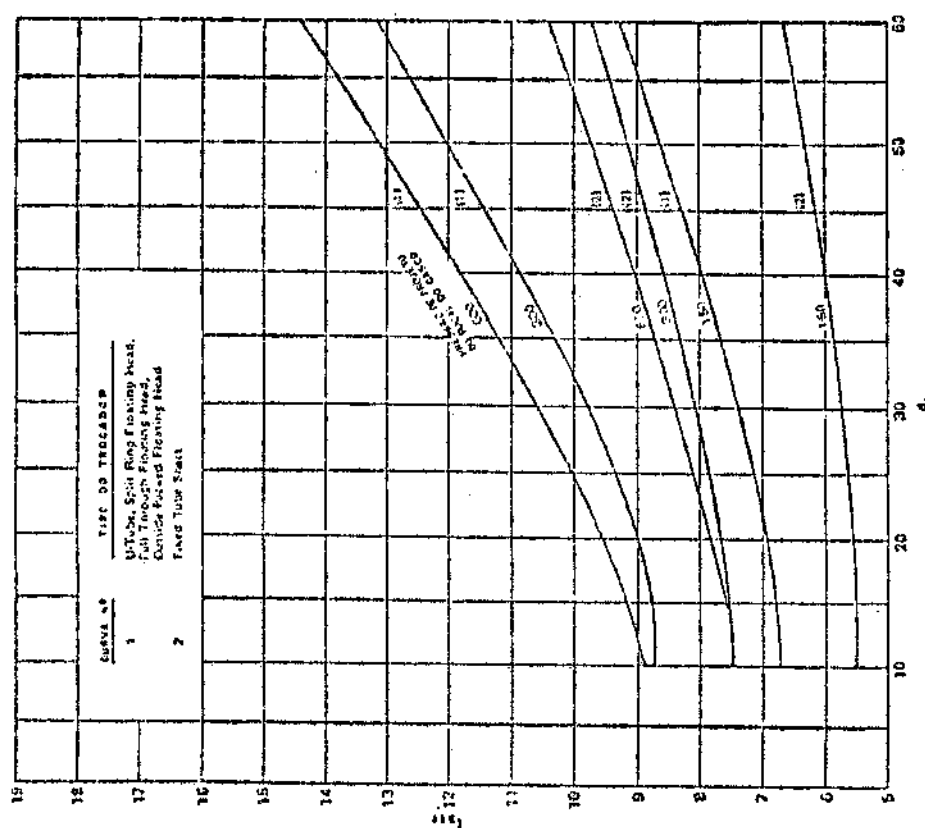
$$N_{chi} = \frac{\ell_1 - \ell_{31} - \ell_{32}}{\ell_3} + 1 \quad (4.36)$$

No caso de 2 passes de casco ($n_{cs} = 2$):

$$N_{chi} = 2 \left(\frac{\ell_1 - \ell_{31} - \ell_{32}}{\ell_3} + 1 \right) \quad (4.37)$$

(e) Corte da chicana (C_{chi})

O corte da chicana é definido como o segmento de altura ℓ_c e é expresso como percentagem do diâmetro interno do casco^(4.2); deve ser menor do que a metade do diâmetro para assegurar



rar que as chicanas adjacentes tenham pelo menos uma fileira de tubos em comum.

A posição do corte das chicanas depende do tipo e temperatura do fluido circulando no casco, podendo estar na horizontal, na vertical ou rotacionado.

Para líquidos no lado do casco, o corte de 20 a 25% do diâmetro é comum. Para gases à baixa pressão, o corte de 40 a 45% é mais comum e é usado para minimizar a perda de carga^(4.4).

A Tabela 4.11 mostra cortes de chicanas em função da razão d_1/ℓ_3 .

TABELA 4.11 - CORTES DE CHICANA^(4.15)

d_1/ℓ_3	ℓ_3/d_1 (%)	ℓ_c/d_1 (%)
1	100	45
1,5	67	34
2	50	25
3	33	20
4	25	16
5	20	16

(f) Diâmetro da chicana (d_{chi})

A TEMA fornece tabelas com a diferença (d_1-d_{chi}), em função do diâmetro do casco, para as três classes padrão de trocadores. Os valores de (d_1-d_{chi}) são os mesmos para as mesmas faixas do diâmetro do casco. A Tabela 4.12 abaixo mostra as diferenças (d_1-d_{chi}) para a classe R de trocadores.

TABELA 4.12 - DIFERENÇAS ENTRE d_1 e d_{chi} ^(4.2)

Diâmetro interno nominal do casco (pol)	$d_1 - d_{chi}$ (pol)
8-13	0,100
14-17	0,125
18-23	0,150
24-39	0,175
40-54	0,225
55 acima	0,300

(g) Diâmetro dos orifícios das chicanas (d_4)

Para o comprimento máximo dos tubos sem apoio menor ou igual a 36 pol., os orifícios das chicanas devem ser furados com 1/32 polegadas a mais do que o diâmetro externo dos tubos. Para um comprimento máximo dos tubos sem apoio maior do que 36 pol., os orifícios das chicanas devem ser furados de 1/64 polegadas a mais do que o diâmetro externo dos tubos^(4.2). Isto quer dizer:

- para $2\ell_3 \leq 36$ pol: $d_4 = \frac{1}{32}$ pol + d_2 (pol) (4.38)

- para $2\ell_3 > 36$ pol: $d_4 = \frac{1}{64}$ pol + d_2 (pol) (4.39)

4.2.14 - Tirantes de ligação e espaçadores

Tirantes de ligação, espaçadores ou outros meios e equivalentes de ligação do conjunto de chicanas podem ser utilizados com a finalidade de sustentar as chicanas transversais e manter as placas de suporte seguras na posição. A TEMA traz sugestões quanto à quantidade e diâmetro dos tirantes e espaçadores para vários diâmetros de trocadores.

4.2.15 - Tiras selantes ("sealing strips")

São um meio conveniente de diminuir o fluido que se desvia e escoa em torno do feixe de tubos. Para a verificação do uso de "sealing strips" adota-se o seguinte:

- "sealing strips" são adicionados ao projeto quando:

$$d_1 - d_3 > 1,5 \text{ (pol)}$$

ou,

$$d_1 - d_3 > 0,5 \text{ (pol)} \text{ e } S_{bp} / A_{ex} > 0,1$$

onde:

A_{ex} = área efetiva do fluxo cruzado no trocador e é dada por:

$$A_{ex} = S_m - S_{bp} \text{ (pol}^2\text{)} \span style="float: right;">(4.40)$$

S_{bp} = área para o desvio em torno do feixe de tubos, dada pelas e quações (A.3.c) e (A.3.d) do Anexo A.3.

S_m = área mínima para o fluxo cruzado próximo à linha central do trocador, dada pela equação (A.3.b).

. Não se adiciona "sealing strips" ao projeto quando:

- $d_1 - d_3 < 0,5$ (pol);
- vapores condensantes ou líquidos evaporando estão do lado do casco;
- chicanas triplamente segmentares são usadas.

Os "sealing strips" são usados para cada 5 ou 7 fileiras de tubos cruzadas pelo escoamento e o número de pares (N_{ss}) pode ser calculado por:

$$N_{ss} = \frac{N_r}{5} \quad (4.41)$$

onde N_r (definido no Capítulo 2) é dado pelas equações (2.57), (2.58) e (2.59).

4.2.16 - Número de tubos por chicana (N_{tchi})

Calcula-se o número de tubos por chicana através da expressão:

$$N_{tchi} = N_t (1-r_5) \quad (4.42)$$

onde,

r_5 = razão entre a área de uma janela de chicana (A_j) e a área total da seção do casco (A_T);

$$r_5 = \frac{A_j}{A_T} \quad (4.43)$$

com A_j e A_T dadas pelas equações (2.72) e (2.70) do Capítulo 2.

4.2.17 - Considerações gerais

No projeto de um trocador de calor várias premissas

básicas devem ser levadas em conta como foi visto até aqui, mas existem alguns detalhes que ainda devem ser considerados como:

- . Especificação inicial do tipo de trocador

A especificação inicial do tipo de trocador em geral é feita com base nos trocadores já existentes, caso os fluidos utilizados sejam os mesmos e tenham dado resultados satisfatórios. Assim, outras considerações são: expansão térmica, manutenção, fabricação, etc.

- . Posição dos trocadores

Normalmente os trocadores são posicionados na horizontal, podendo ser posicionados na vertical, dependendo do processo e quando é preciso diminuir o depósito de sujeiras dos fluidos.

- . Tamanho dos trocadores

Existem restrições quanto ao tamanho, altura, largura, comprimento, peso ou volume de um trocador. Alguns fatores a serem observados são: previsão para manutenção, uniformização com a planta no qual o trocador vai ser instalado, facilidade de remoção do feixe de tubos.

4.3 - TROCA DE CALOR E PERDA DE CARGA

4.3.1 - Troca de calor do lado dos tubos

(a) Velocidade média do fluido no escoamento dentro dos tubos (V_t)

é dada pela expressão:

$$V_t = \frac{W_t}{\rho_t N_{tt} S_{ti}} \quad (\text{pé/s}) \quad (4.44)$$

onde:

S_{ti} = área da seção interna do escoamento em um tubo;

$$S_{ti} = \frac{\pi d_i^2}{4} (\rho l^2) \quad (4.45)$$

(b) Número de REYNOLDS (Re_t) e número de PRANDTL (Prd_t) para o fluido dos tubos

Dados por:

$$Re_t = \frac{\rho_t V_t d_i}{\mu_t} \quad (4.46)$$

$$Prd_t = \frac{C_t \mu_t}{K_t} \quad (4.47)$$

(c) Coeficiente de película (h_i) e fator de COLBURN (J_4) para o lado dos tubos.

Os coeficientes de película para escoamento laminar, de transição e turbulento em tubos, para perfis de velocidade e de temperatura em desenvolvimento ou plenamente desenvolvidas, encontram-se na literatura conhecida sobre transferência de calor. As duas condições de contorno de maior interesse no desenvolvimento das expressões para os coeficientes são a de temperatura da superfície dos tubos constante e a da taxa de transferência de calor constante por unidade de comprimento.

Geralmente fluxo laminar ocorre em dutos fechados quando $Re < 2.100$, baseado no diâmetro equivalente (d_e). Na realidade o verdadeiro escoamento laminar raramente ocorre.

SIEDER e TATE fizeram uma correlação para aquecimento e resfriamento, para vários fluidos principalmente frações de petróleo, em tubos horizontais e verticais, e chegaram a uma equação para o escoamento laminar:

$$\frac{h_i d_e}{K_t} = 1,86 (Re_t Prd_t)^{1/3} \left(\frac{d_e}{L} \right)^{1/3} \left(\frac{\mu_t}{\mu_{Ti}} \right)^{0,14}$$

com $10 < L/d_e < 400$.

Essa equação dá um desvio de $\pm 12\%$ para o regime de transição, isto é, escoamento com $2.100 < Re < 10.000$ ^(4.5).

Para escoamento turbulento uma das primeiras equações usadas foi a de DITTUS-BOELTER, baseada em dados experimentais, cobrindo uma faixa do número de PRANDTL de 0,7 a 120, do número de REYNOLDS de 10.000 a 120.000 e de $\ell_1/d_2 > 60$:

$$\frac{h_i d_2}{K_t} = 0,023 Re_t^{0,8} Prd_t^n,$$

com $n = 0,4$ para aquecimento e $n = 0,3$ para resfriamento do fluido.

Uma outra equação é a de COLBURN, dada por:

$$\frac{h_i d_2}{K_t} = 0,023 Re_t^{0,8} Prd_t^{1/3}$$

A dificuldade com as equações de DITTUS-BOELTER e COLBURN é que elas são baseadas em suposições de que a influência do Re_t e do Prd_t pode ser expressa por potências simples. Isto é uma boa aproximação para o Re_t , mas não o é para o Prd_t .

A equação de SIEDER-TATE é essencialmente a mesma de COLBURN, mas um esquema diferente é usado para corrigir a influência das propriedades dos fluidos dependentes da temperatura^(4.16).

Ela é dada por:

$$\frac{h_i d_2}{K_t} = 0,027 Re_t^{0,8} Prd_t^{1/3} \left(\frac{\mu_t}{\mu_{Ti}} \right)^{0,14}$$

Uma correlação para o fator de COLBURN, para troca de calor, foi desenvolvida por PIERCE^(4.17) para tubos lisos na faixa completa do número de REYNOLDS, tomando as relações empíricas de cada regime de fluxo. Essas relações empíricas foram derivadas de dados experimentais para os regime laminar e de transição com $\ell_1/d_2 > 60$ e para o regime turbulento com $\ell_1/d_2 > 60$ e Prd_t entre 0,7 a 160. A equação resultante das premissas, dentro das faixas acima citadas, é:

$$J_4 = \left\{ \frac{1}{Re_t^{9,36}} + \frac{1}{\left[\frac{Re_t^{1,6}}{7,831 \times 10^{-14}} + \left(\frac{1,969 \times 10^6}{Re_t} \right)^8 \right]^{3/2}} \right\}^{1/12} \quad (4.48)$$

Para fluidos com alto número de PRANDTL ($\text{Pr}_t < 17.000$), tais como óleos, a correção de viscosidade de SIEDER-TATE é proposta para a equação (4.48). Então:

$$J = J_4 \left(\frac{\mu_t}{\mu_{Ti}} \right)^{0,14} \quad (4.49)$$

A viscosidade do fluido μ_{Ti} é determinada à temperatura interna da parede dos tubos (T_i).

Com o fator de COLBURN obtido, o coeficiente convectivo de troca de calor é dado por:

$$h_i = J \left(\frac{C_t \rho_t V_t}{\text{Pr}_t^{2/3}} \right) \quad (\text{BTU/h pé}^2 \text{F}) \quad (4.50)$$

Como resultado da pesquisa a respeito das expressões usadas para o coeficiente de troca de calor em tubos, optou-se pelo uso das equações (4.48), (4.49) e (4.50).

- (d) Temperatura interna (T_i) e temperatura externa (T_e) da parede dos tubos

Se h_i e h_o são conhecidos, analisando a Figura 2.2, considerando $T_i \neq T_e$ e ocorrência de depósito interno e externamente à parede dos tubos, tem-se:

$$Q = \frac{\Delta_t}{\Sigma R} = \frac{T_s - T_t}{R_o + R_{io}} = \frac{T_i - T_t}{R_{io}} = \frac{T_t - T_e}{R_o} \quad (4.51)$$

mas:

$$R_{io} = \left(\frac{1}{h_i} + rd_i \right) \frac{A}{A_i} = \left(\frac{1}{h_i} + rd_i \right) \frac{d_2}{d_i} ,$$

$$R_o = \frac{1}{h_o} + rd_o.$$

Daí:

$$\frac{1}{h_o} + R_{io} = \frac{1}{h_o} + rd_o + \left(\frac{1}{h_i} + rd_i \right) \frac{d_2}{d_i} , \text{ que é igual a}$$

$\frac{1}{h_o}$ (ver equação (4.24)) considerando que d_2/d_i é muito próximo de 1 e com isso $\ell_n(d_2/d_i)$ é zero. Então, da equação (4.51):

$$\frac{T_s - T_t}{U} = \left(\frac{1}{h_i} + rd_i \right) \frac{d_2}{d_i} = \frac{T_t - T_e}{h_o + rd_o}$$

. Para T_i :

$$\frac{T_s - T_t}{U} = \frac{T_i - T_t}{\left(\frac{1}{h_i} + rd_i \right) \frac{d_2}{d_i}}$$

Resolvendo fica:

$$T_i = T_t + U \left(\frac{1}{h_i} + rd_i \right) \frac{d_2}{d_i} (T_s - T_t) \quad (4.52)$$

. Para T_e :

$$\frac{T_s - T_t}{U} = \frac{T_t - T_e}{\frac{1}{h_o} + rd_o}$$

Resolvendo fica:

$$T_e = T_t - \left(\frac{1}{h_o} + rd_o \right) (T_s - T_t) \quad (4.53)$$

4.3.2 - Perda de carga do lado dos tubos

(a) Coeficiente de atrito para o fluido dos tubos (f_t)

Para a determinação do coeficiente de atrito para o fluido dos tubos determina-se primeiro o coeficiente de atrito isotérmico e depois corrige-se os efeitos de variação da viscosidade do fluido.

Analogamente ao fator de COLBURN, existe uma expressão para o fator de atrito para escoamento dentro dos tubos, que abrange todas as faixas do número de REYNOLDS. Ela foi desenvolvida por CHURCHILL^(4.18), baseada em dados experimentais para os regimes laminar, de transição e turbulento:

$$f_t = \left[\left(\frac{B}{Re_t} \right)^{22} + \frac{1}{(A_2 + B_2)^{7/2}} \right]^{1/2} \quad (4.54)$$

onde A_2 e B_2 são dadas por:

$$A_2 = \left[2,457 \frac{\ell_n}{d_i} \left(\frac{1}{\left(\frac{7}{Re_t} \right)^{0,9}} + \frac{0,27\epsilon}{d_i} \right) \right]^{16} \quad (4.55)$$

$$B_2 = \left(\frac{37.530}{Re_t} \right)^{16} \quad (4.56)$$

sendo ϵ definido no item 4.2.3 (c).

O fator de atrito não isotérmico para os tubos é:

$$f_t = f \left(\frac{\mu_{Ti}}{\mu_t} \right)^i \quad (4.57)$$

onde os valores de i estão na Tabela 4.13.

TABELA 4.13 - VALORES DO EXPOENTE i DA CORREÇÃO DA VISCOSIDADE PARA O FLUIDO DOS TUBOS (4.12)

$\frac{\mu_{Ti}}{\mu_t}$	ESCOAMENTO	
	LAMINAR	TURBULENTO
<1	0,34	0,14
>1	0,23	0,14

(b) Perda de carga por atrito nos tubos (ΔP_t)

A perda de carga por atrito em um tubo é dada por

$$(4.10) \quad \Delta P_t = 4f_F \frac{\ell}{d_i} \frac{\rho_t v_t^2}{2} \quad (\text{lbf/p}^2)$$

onde:

f_F = coeficiente de atrito de FANNING, baseado na tensão de cisalhamento na parede do tubo, e pode ser convertido nos coeficientes de atrito de Darcy (f_D) e de CHURCHILL (f_t) (citado no

item 4.3.2 (a)) pelas relações:

$$f_F = \frac{f_D}{4} = 2f_t$$

Expressões e gráficos para o coeficiente de atrito de FANNING são facilmente encontrados na literatura; são dadas em função do número de REYNOLDS, da aspereza da superfície interna dos tubos (ϵ) e para todos os regimes de escoamento.

Assim, em função do coeficiente de atrito de CHURCHILL:

$$\Delta P_t = 8f_t \frac{\ell_1}{d_i} \frac{\rho_t V_t^2}{2} n \quad (\text{lbf/pé}^2) \quad (4.58)$$

(c) Perda de carga nos bocais dos tubos
(ΔP_{bocais})

Dada por:

$$\Delta P_{\text{bocais}} = 1,8 \frac{\rho_t V_{bt}^2}{2}, \quad (\text{lbf/pé}^2) \quad (4.59)$$

onde:

V_{bt} = velocidade média do fluido nos bocais dos tubos:

$$V_{bt} = \frac{W_t}{\frac{\pi}{4} \rho_t D_{bt1} D_{bt2}} \quad (\text{pé/s}) \quad (4.60)$$

com D_{bt1} e D_{bt2} definidos no item 4.2.2 (b).

(d) Perda de carga na expansão, contração e retorno no cabeçote (ΔP_{ecr})^(4.16)

A perda de carga (ΔP_{ecr}) é dada por:

$$\Delta P_{\text{ecr}} = \Delta P_e + \Delta P_c + \Delta P_r \quad (\text{lbf/pé}^2) \quad (4.61)$$

onde:

ΔP_e = aumento de pressão devido à expansão;

ΔP_c = perda de pressão devido à contração;

ΔP_r = perda de carga devido ao retorno do fluxo no cabeçote.

ΔP_e e ΔP_c são calculadas através das expressões:

$$\Delta P_e = (1 - \sigma_e^2 - K_e) \frac{\rho_t V_t^2}{2} \quad (\text{lbf/pé}^2) \quad (4.62)$$

$$\Delta P_c = (1 - \sigma_c^2 + K_c) \frac{\rho_t V_t^2}{2} \quad (\text{lbf/pé}^2) \quad (4.63)$$

σ_e e σ_c são razões entre áreas, como segue:

$$\sigma_e = \frac{S_{ti_t}}{A_{dst}} \quad (4.64)$$

$$\sigma_c = \frac{S_{ti_t}}{A_{aet}} \quad (4.65)$$

onde:

S_{ti_t} = área da seção de escoamento através dos tubos do trajeto:

$$S_{ti_t} = S_{ti} N_{tt} \quad (4.66)$$

A_{dst} = área da seção de escoamento depois da saída do fluido nos tubos; varia dependendo do número de trajetos de tubos.

A_{aet} = área da seção de escoamento antes da entrada do fluido nos tubos; varia dependendo do número de trajetos de tubos.

Os valores dos coeficientes k_c e k_e foram determinados por KAYS^(4.19) para diferentes geometrias e confirmados por dados experimentais. São apresentados na Figura 4.9.

Uma maneira mais simples de calcular ΔP_{ecr} apresentada na referência (4.1) é:

• para tubos retos:

$$\text{se } n = 1: \Delta P_{ecr} = 0,9 \frac{\rho_t V_t^2}{2} \quad (\text{lbf/pé}^2) \quad (4.67)$$

$$\text{se } n > 1: \Delta P_{ecr} = 1,6n \frac{\rho_t V_t^2}{2} \quad (\text{lbf/pé}^2) \quad (4.68)$$

• para tubos em U:

$$\Delta P_{ecr} = 0,8n \frac{\rho_t V_t^2}{2} \quad (\text{lbf/pé}^2) \quad (4.69)$$

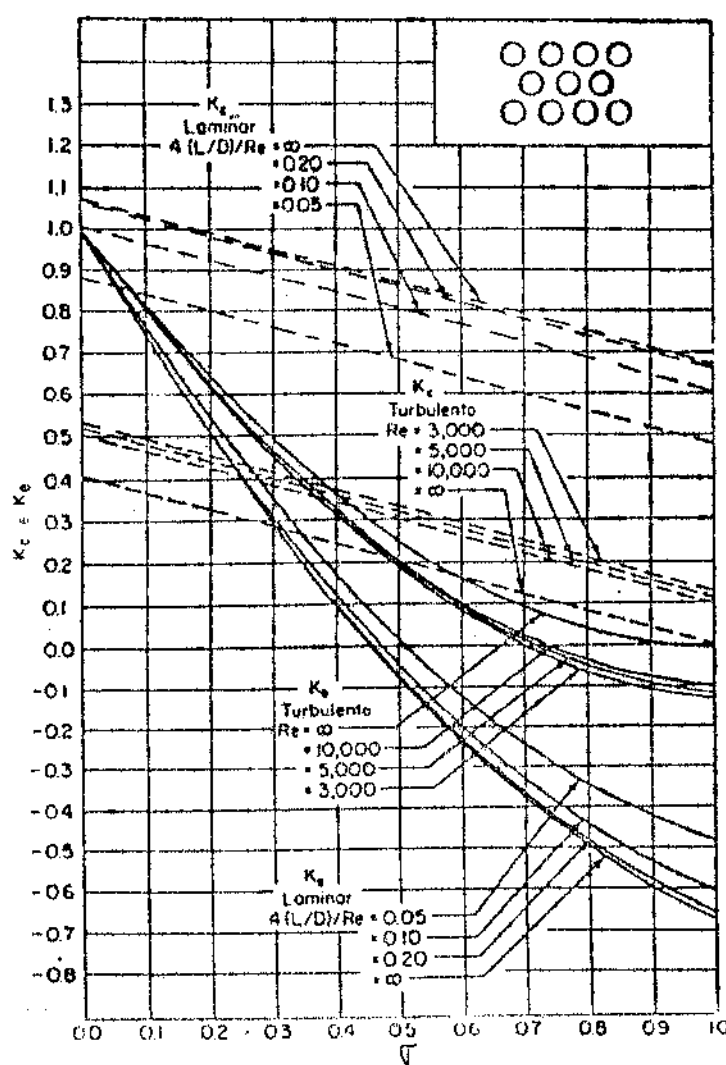


FIGURA 4.9 - COEFICIENTES DE PERDA DE CARGA NUM PEIXE DE TUBOS COM CONTRAÇÃO ABRUPTA NA ENTRADA E EXPANSÃO ABRUPTA NA SAÍDA^(4.19).

(e) Fator de correção para a perda de carga considerando a formação de depósito dentro dos tubos (f_d)

Para considerar o efeito do depósito na perda de carga nos tubos, a Tabela 4.14 fornece fatores de correção em função do diâmetro externo, espessura e material dos tubos.

TABELA 4.14 - FATORES DE CORREÇÃO PARA OS EFEITOS DO DEPÓSITO NA PERDA DE CARGA NOS TUBOS^(4.1)

d_2 (pol)	BWG	Material dos Tubos	
		aço	Liga não Ferrosa
3/4	18	1,28	1,14
	16	1,34	1,17
	14	1,41	1,20
	12	1,53	1,26
1	16	1,24	1,10
	14	1,28	1,12
	12	1,35	1,15
	10	1,43	1,19
1 1/2	14	1,18	-
	12	1,21	-
	10	1,25	-
	8	1,31	-

(f) Perda de carga total nos tubos (ΔP_{tT})

É dada por:

$$\Delta P_{tT} = n_{cs} (\Delta P_t + \Delta P_{bocais} + \Delta P_{ecr}) f_d (\text{lbf/pé}^2) \quad (4.70)$$

4.3.3 - Troca de calor e perda de carga do lado do casco

(a) Troca de calor e perda de carga no casco

O Capítulo 2 deste trabalho expõe três métodos de cálculo para a determinação da perda de carga e do coeficiente de troca de calor para o escoamento do fluido no lado do casco. A expressão de KERN para o cálculo da perda de carga no lado do casco engloba a perda de carga nos bocais do casco enquanto as expressões de TINKER e de BELL não englobam.

(b) Perda de carga para os bocais do casco
 $(\Delta P_{bocal\ 1}, \Delta P_{bocal\ 2})$

No caso em que o método usado para a determinação da perda de carga no casco não inclui a perda de carga nos bocais do casco, esta é determinada através da expressão:

$\Delta P_{bocal} = \rho_s g Z$ onde, g = aceleração da gravidade e Z (pé) é encontrado na Figura 4.10 em função da velocidade do fluido no bocal em questão e da relação $\mu_s / \rho_s D_{bs}$, com:

- . viscosidade do fluido do casco μ_s em centipoises;
- . densidade do fluido do casco ρ_s em lbm/pé^3 ;
- . diâmetro do bocal em polegadas e
- . V_{bs} (pé/s) dada por:

$$V_{bs} = \frac{W_s}{\frac{\pi}{4} D_{bs}^2 \rho_s}$$

Assim, para o bocal de entrada do casco:

$$V_{bs1} = \frac{W_s}{\frac{\pi}{4} D_{bs1}^2 \rho_s} \quad (\text{pé/s}) \quad (4.71)$$

$$\Delta P_{bocal\ 1} = \rho_s g Z_1 \quad (\text{lbf/pé}^2) \quad (4.72)$$

Para o bocal de saída do casco:

$$V_{bs2} = \frac{W_s}{\frac{\pi}{4} D_{bs2}^2 \rho_s} \quad (\text{pé/s}) \quad (4.73)$$

$$\Delta P_{bocal\ 2} = \rho_s g Z_2 \quad (\text{lbf/pé}^2) \quad (4.74)$$

Se os diâmetros dos bocais do casco são iguais, então $\Delta P_{bocal\ 1} = \Delta P_{bocal\ 2}$.

(c) Perda de carga total no casco (ΔP_{ST})

É dada por:

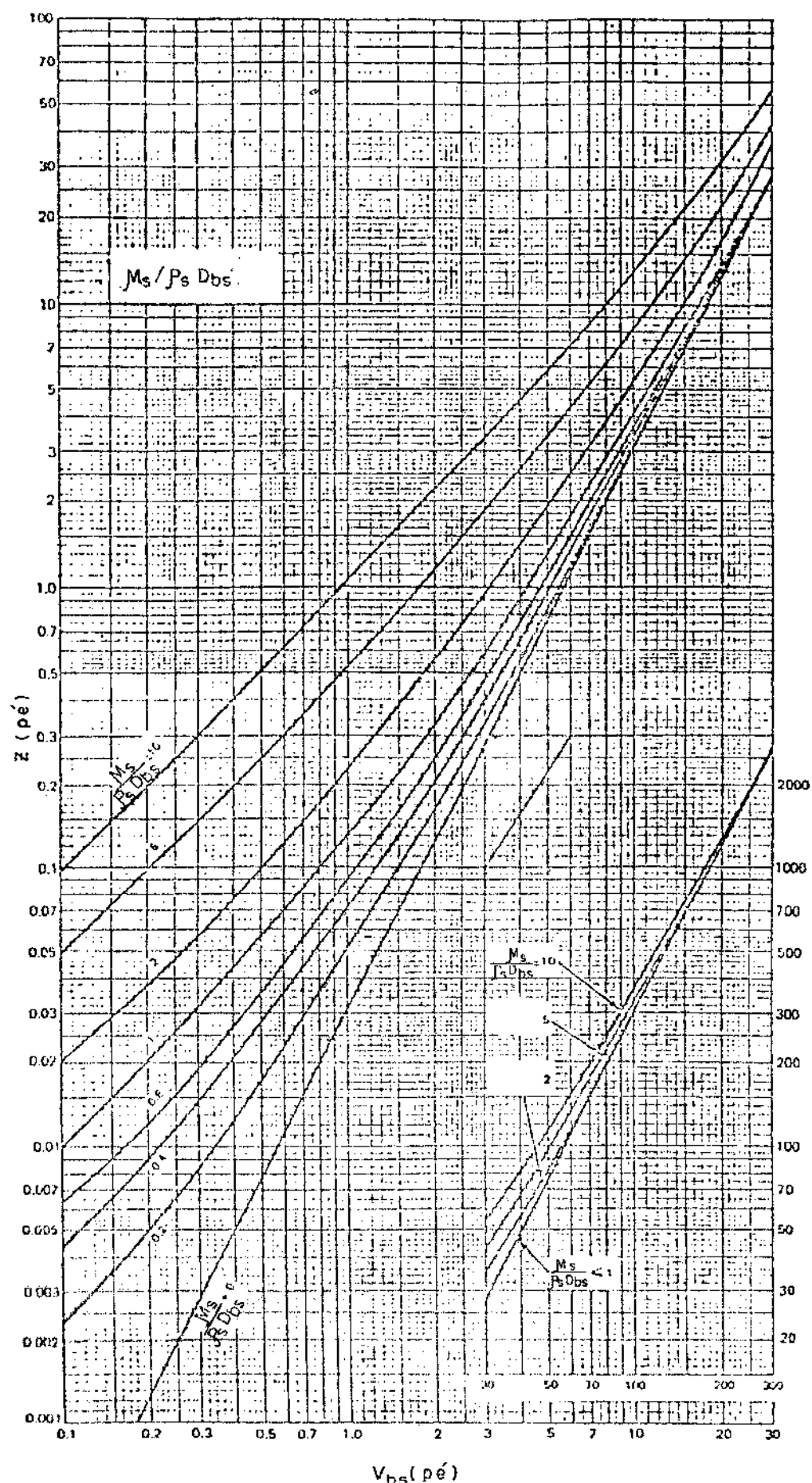


FIGURA 4.10 - PERDAS NO BOCAL DO CASCO^(4.1).

$$\Delta P_{sT} = \Delta P_s + \Delta P_{bocal\ 1} + \Delta P_{bocal\ 2} \quad (\text{lbf/in}^2)$$

(4.75)

4.4 - ROTEIRO DE CÁLCULO

O roteiro de cálculo para o dimensionamento da área de troca de calor para trocadores de calor casco e tubo, sem mudança de fase, toma como base a sequência de cálculos discutida nos itens 4.1 a 4.3. O caminho a ser tomado para se efetivar o referido dimensionamento é o seguinte:

. Primeira tentativa:

(a) Definir as condições de processo considerando o que foi apresentado no item 4.1.

(b) Estabelecer as definições preliminares bem como as características geométricas iniciais do trocador de acordo com o item 4.2. Para isso, algumas considerações devem ser feitas:

. a determinação do número de trajetos de tubos geralmente começa com a hipótese de 2 trajetos de tubos, podendo começar com 1 trajeto de tubos caso o trocador seja tipo espelho fixo;

. para a determinação do coeficiente global de troca de calor, estimar inicialmente um valor U_0 que corresponde ao intervalo dado na Tabela 4.8, em função dos fluidos utilizados;

. Com o valor de U_0 , estimar um valor inicial para a área de troca de calor através da equação (4.25);

. para a determinação do número total de tubos no trocador, usar a equação (4.27).

(c) Determinar o coeficiente de película para o lado dos tubos (h_i). Para isso, o fator de correção devido à variação da viscosidade do fluido dos tubos (ϕ_t), é tomado igual a 1,0, porque sua determinação depende do conhecimento do próprio h_i .

(d) Com o valor do coeficiente de película para o lado dos tubos, determinar a temperatura interna da parede dos tubos T_i através da equação (4.52). Conhecendo-se T_i , determinar

a viscosidade do fluido dos tubos a esta temperatura (μ_{T_i}) e calcular o fator de correção ϕ_t .

(e) Determinar a perda de carga total nos tubos. O fator de correção ϕ_t para a perda de carga tem o valor calculado no item d acima.

(f) Com o valor da perda de carga nos tubos, comparar com a perda de carga admissível para o fluido dos tubos. Caso a perda de carga nos tubos tenha resultado muito menor do que a perda de carga admissível, deve-se aumentar o número de passos de tubos ou diminuir o diâmetro dos tubos ou, alternativamente, deve-se aumentar o comprimento dos tubos e diminuir o número total de tubos no trocador. Caso a perda de carga calculada supere a admissível toma-se medidas contrárias.

O número de trajeto de tubos aumenta ou permanece o mesmo, de acordo com os testes da perda de carga nos tubos. Para estimar o número total de tubos no trocador, calcular através da equação (4.27), adotando-se o valor retirado da Tabela 4.10 mais próximo ao valor calculado.

(g) Determinar o coeficiente de película do lado dos tubos. O fator de correção devido à variação de viscosidade é tomado igual ao calculado no item d.

(h) Determinar o coeficiente de película para o lado do casco (h_o). Para isso, o fator de correção devido à variação da viscosidade do fluido do casco (ϕ_s), é tomado igual a 1,0, porque sua determinação depende do conhecimento do próprio h_o .

(i) Com o valor do coeficiente de película para o lado do casco, determinar a temperatura externa da parede dos tubos (T_e), pela equação (4.53). Conhecendo-se T_e , determinar a viscosidade do fluido do casco a esta temperatura (μ_{T_e}) e calcular o fator de correção ϕ_s .

(j) Determinar a perda de carga total para o lado do casco. O fator de correção ϕ_s tem o valor calculado no item i.

(k) Com os valores de h_i e h_o , calcular o coeficiente global de troca de calor, através da equação (4.22) ou da equação (4.24), caso os tubos não sejam aletados.

(l) Calcular a área de troca de calor desejada, pe
la equação (4.25).

(m) Tendo-se determinado a perda de carga para o lado do casco bem como a área de troca de calor, fazer os seguin
tes testes:

. comparar a perda de carga total no casco com a perda de carga admissível para o casco. Se a perda de carga calc
lada for maior do que a admissível, deve-se aumentar o corte da chicana, o espaçamento entre chicanas, a distância entre os centros de tubos adjacentes ou, colocar chicanas segmentares duplas ou triplas; se for menor toma-se medidas contrárias.

. comparar a área de troca de calor calculada (item l) com a área de troca de calor estimada (item b). Se o valor de uma está 5-10% do valor da outra então a área de troca de calor está dimensionada. Se isto não acontecer, deve-se admitir um novo valor para o coeficiente global de troca de calor U_0 e repetir os cálculos, até que se obtenha uma melhor harmonia entre os resultados da perda de carga nos tubos, da perda de carga no casco e prox
imidade de 10% entre as áreas de troca de calor estimada e calc
lada.

4.5 - APLICAÇÃO DO COMPUTADOR PARA REALIZAÇÃO DA SEQUÊNCIA DE CÁLCULO APRESENTADA NOS ITENS 4.1 A 4.4

O programa para o dimensionamento da área de troca de calor para trocadores de calor casco e tubo sem mudança de fase obedece à sequência de cálculos discutida nos itens 4.1 a 4.4 desse capítulo; ele foi desenvolvido em FORTRAN IV.

O computador utilizado foi um PDP 11/34 com operação através de disketes e com 16 k bytes de memória, instalado no Laboratório de Energia Solar da Universidade Federal da Paraíba.

Devido à limitação da capacidade de memória do com
putador bem como da capacidade de armazenamento (480 blocos) do diskete de trabalho, o programa completo de dimensionamento prec
sou ser desmembrado em 3 programas principais. Além disso, foi ne
cessário um estudo mais profundo de como manusear melhor o compu-

tador através da compilação e do "link" para tentar resolver esses problemas. Assim, os programas ficaram mais comprimidos, ocuparam menor espaço na memória e puderam ser executados.

. Hipóteses e testes assumidos no desenvolvimento dos programas.

Durante o desenvolvimento dos programas de dimensionamento da área de troca de calor A, foram feitas algumas considerações explicadas a seguir:

(a) As propriedades físicas dos fluidos do casco e dos tubos são tomadas à temperatura média de cada fluido, respectivamente.

(b) O critério adotado para a determinação do diâmetro dos bocais é relativamente arbitrário: para o diâmetro dos bocais do casco e dos tubos adotou-se o diâmetro mínimo permitido em cada caso, adicionado dos valores 4 pol. e 5 pol. respectivamente. Geralmente os bocais têm diâmetros iguais aos das linhas de processo a que pertence o trocador.

(c) Para os tubos:

. os tubos são considerados não aletados;

. a determinação do número de trajetos de tubos começa geralmente com a hipótese de 2 trajetos, um valor que aumenta ou permanece, de acordo com os resultados dos testes com a troca de calor e perda de carga;

. o número total de tubos, na 1^a tentativa é estimado através da equação (4.27). A partir 2^a tentativa, ele é estimado pela referida equação, adotando-se o valor da Tabela 4.10 mais próximo ao calculado.

(d) Para o cálculo da diferença média de temperatura considera-se que os fluxos estão sempre em contracorrente.

(e) No cálculo de F_t não foram consideradas as equações para trocadores 1-3, 2-6, etc., porque estes na prática, geralmente não são usados.

(f) O diâmetro interno do casco é tomado igual ao diâmetro nominal do casco. O diâmetro do trocador é o diâmetro intero do casco.

(g) Para a estimativa inicial do coeficiente global de troca de calor U_0 , o valor tomado na 1^a tentativa é o inferior no intervalo mencionado na Tabela 4.8, e aumenta de acordo com a relação:

$$\text{Incremento} = \frac{U_{\max} - U_{\min}}{10} \quad (4.76)$$

onde:

U_{\max} , U_{\min} = valores máximo e mínimo do coeficiente global de troca de calor na referida tabela.

Caso seja necessária a diminuição do U_0 , ela é feita por $(\frac{\text{Incremento}}{2})$.

(h) Para a determinação de n_c para o arranjo de tubos quadrado rotacionado, adotou-se as mesmas equações válidas para o arranjo de tubos quadrado (equações (4.30) e (4.31)).

(i) A distância entre chicanas foi considerada inicialmente igual à 0,4 vezes o diâmetro do casco, que é o valor médio do intervalo recomendado no item 4.2.13(b). Depois de vários testes, foi observado que o valor de 0,5 vezes o diâmetro do casco dá melhores resultados, por isso foi adotado.

(j) Espaçadores na janela da chicana: para o cálculo do número de espaçadores na janela (N_{esp_j}), dividiu-se o diâmetro da chicana com 4 cortes iguais, cabendo à área da janela cerca de 1/5 da área do círculo, e de acordo com as tabelas dadas na TEMA, o número mínimo de espaçadores na janela suposto foi:

- para diâmetro do casco ≤ 33 pol.: $N_{esp_j} = 1$
- para diâmetro do casco > 33 pol.: $N_{esp_j} = 2$.

(k) O fator de COLBURN J usado no cálculo do coeficiente de película nos tubos (h_i) foi o dado pelas equações (4.47) e (4.48).

(l) O cálculo da perda de carga do lado dos tubos devido à expansão, contração e retorno no cabeçote é efetuado pelas equações mais simples (4.66, 4.67 e 4.68) das equações citadas no item 4.3.2(d).

(m) Para um melhor aproveitamento da perda de carga admissível do lado dos tubos, o número de trajetos de tubos foi o único dos parâmetros citados no item 4.4(f) a ser alterado durante os testes entre as perdas de carga admissível e calculada.

(n) Para o lado do casco, o parâmetro considerado nas tentativas para um melhor aproveitamento da perda de carga admissível, foi o espaçamento entre chicanas.

No anexo C são apresentados o diagrama de blocos que mostra a lógica dos programas de dimensionamento da área de troca de calor e as listagens dos mesmos.

4.6 - EXEMPLO DE APLICAÇÃO

Para a aplicação da sequência de cálculo discutida nos itens 4.1 a 4.5 foi retirada da literatura um exemplo de cálculo; ele utiliza os dados fornecidos pela apostila do Curso de Informação sobre Trocadores de Calor^(4.1) e está apresentado na Figura 4.11. No computador, os dados de entrada do referido exemplo (lidos pela subrotina LERDAD, do Anexo C) estão dispostos da seguinte maneira:

TYPE DADOS.1

```
44,9496 48,7578 62,1803 62,3051 46,8537 62,2427 0,5200 0,9980
0,0000 0,7500 0,5840 0,9375 25,0000 20,0000 2,0000 0,0830
219,20 100,40 86,00 100,40 159,80 93,20 1,00 0,0699 0,3360
7,90 9,60 102,54 68,36 80,0 125,0 1,000 1,000 269,80 143,20
114 22 1 2 14 RESFRI CTIPOS TRIANG TUBORE ACCARB ACCARB 0,000005
0,6048 1,2095 1,9352 1,4514 0,9071 1,6933 0,0010 0,0020
110687,82 475764,98 0 0
```

FOLHA DE DADOS - TROCADOR DE CALOR

CLIENTE:
UNIDADE:
LOCAL :

OPERAÇÃO	Nº DO DOCUMENTO	REV.
----------	-----------------	------

FOLHA _____ DE _____
AUT. _____ DATA _____

ITEM N°	CARACTERÍSTICAS DE UMA UNIDADE		QUANT.	
	LADO DO CASCO	LADO DOS TUBOS		
1. SERVIÇO RESFRIAMENTO DE GASOLINA	GASOLINA (QUENTE)	ÁGUA (FRIA)		
2. DIMENSÃO TIPO	LIGADOS EM			
3. SUPERF. / UNIDADE CASCO / UNID.	SUPERFÍCIE / CASCO			
4.				
5.				
6. FLUIDO EM CIRCULAÇÃO	GASOLINA (QUENTE)	ÁGUA (FRIA)		
7. QUANTIDADE TOTAL FLUIDO ENT. (kg/h) (lb/h)	50.208,0 / 110.687,82	215.807,0 / 475.764,98		
8. VAPOR (kg/h) (lb/h)				
9. LÍQUIDO (kg/h) (lb/h)				
10. VAPOR D'ÁGUA (kg/h) (lb/h)	50.208,0 / 110.687,82	215.807,0 / 475.764,98		
11. NAO CONDENSAVEL (kg/h) (lb/h)				
12. FLUIDO VAPORIZ. OU CONDENS. (kg/h) (lb/h)				
13. VAPOR CONDENSADO (kg/h) (lb/h)	720,0 / 44.9496 - 781,0 / 48.75783	993,0 / 62.18023 - 998,0 / 62.0514		
14. DENSIDADE DO LÍQUIDO (kg/m³) (lb/ft³)	0,25/0,60475 - 0,50/1,2095	0,80/1,9352 - 0,60/1,4514		
15. VISCOSIDADE ENT. E SADA (cSt) (106/cP)				
16. PESO MOLECULAR DO VAPOR				
17. CALOR ESPECÍFICO DO LÍQ. (kcal/kg°C) (Btu/lb°F)	0,52 / 0,52	0,998 / 0,998		
18. CALOR LATENTE (kcal/kg) (Btu/lb)				
19. CONDUT. TÉRMICA (kcal/hm°C) (Btu/hp°F)	0,1/0,0672 - 0,108/0,0726	0,50/0,336		
20. TEMP. ENTRADA (°C) (°F)	100,0 / 219,2	30,0 / 86,0		
21. TEMP. SAIDA (°C) (°F)	38,0 / 100,4	38,0 / 100,4		
22. PRESSÃO DE OPERAÇÃO (kg/cm²-mn)	6,0 / 85,4518	4,0 / 56,9678		
23. Nº DE PASSOS POR CASCO				
24. VELOCIDADE DE CIRCULAÇÃO (m/seg) (ft/seg)				
25. QUEDA DE PRESSÃO (kg/cm²) (psi)	CALC.	PERM. 0,5 / 7,9	CALC. PERM. 6,74 / 9,6	
26. FATOR INCRUSTAÇÃO (kcal/hm²°C) (Btu/hp°F)				
27. CALOR TIRADO (kcal/h) (Btu/h)		MTD (CORRIGIDO) (C) (F)		
28. RENDIMENTO + SERVIÇO	1	LIMPO		
DETALHES DE CONSTRUÇÃO E MATERIAIS				
29. PRESSÃO DE PROJETO (kg/cm²-mn) (psi)				
30. PRESSÃO DE TESTE (kg/cm²-mn) (psi)				
31. TEMP. DE PROJETO (°C) (°F)				
32. TUBOS QUANT.	D.E.	BWG	COMP.	PASSO
33. CASCO D.E.	D.I.		ESPESS.	
34. TAMPO DO CASCO		TAMPO DO CABECOTE FLUTUANTE		
35. CARRETEL		TAMPO DO CARRETEL		
36. ESPelho FIxo		ESPELHO FLUTUANTE		
37. CHICANAS TRANSVERSAIS		PASSO	TIPO	ESPESS.
38. CHICANAS LONGITUDINAIS		TIPO		ESPESS.
39. SUPORTES DOS TUBOS		ESPESS.	Nº TIRANTES	
40. JUNTAS DE VEDAÇÃO		JUNTAS DE VEDAÇÃO SOBRESSAIENTES		
41. CONEXÕES DO CASCO - ENTRADA		SAÍDA	TIPO	
42. CONEXÕES DO CARRETEL - ENTRADA		SAÍDA	TIPO	
43. TOL. P/CORROSÃO: LADO DO CASCO		TIPO		
44. CÓDIGOS TEMA		ANEL DE TESTE		
45. PESOS: CASCO FEIXE TUBULAR		CHIOS D'ÁGUA		
46. FABRICANTE:				
47. DESENHO DE CONJUNTO				
48. OBSERVAÇÕES:				

FIGURA 4.11 - FOLHA DE DADOS PARA O EXEMPLO DE APLICAÇÃO (4.1).

Será feita a seguir a aplicação do roteiro de cálculo para o dimensionamento da área de troca de calor do exemplo, e será tomada como base para algumas determinações a classe R da TEMA.

Para a primeira tentativa:

1 - Condições de processo

O processo requisitado é o resfriamento de gasolina, utilizando a água como fluido frio.

(a) Temperaturas de operação

Foram definidas pelo processo:

- gasolina (fluido quente) - $T_1 = 219,2^{\circ}\text{F}$ e $T_2 = 100,4^{\circ}\text{F}$
- água (fluido frio) - $t_1 = 86^{\circ}\text{F}$ e $t_2 = 100,4^{\circ}\text{F}$

(b) Localização dos fluidos no trocador

- gasolina - fluido do casco
- água de resfriamento - fluido dos tubos

(c) Temperaturas médias

- fluido do casco - $T_s = \frac{219,2 + 100,4}{2} = 159,8^{\circ}\text{F}$
- fluido dos tubos - $T_t = \frac{86,0 + 100,4}{2} = 93,2^{\circ}\text{F}$

(d) Propriedades físicas médias dos fluidos

- fluido do casco - $\mu_s = 0,9071 \text{ lbm/h pé}^3$
 $K_s = 0,0699 \text{ BTU/h pé}^2\text{°F}$
 $C_s = 0,520 \text{ BTU/lbm}^{\circ}\text{F}$
 $\rho_s = 46,8537 \text{ lbm/pé}^3$
- fluido dos tubos - $\mu_t = 1,6933 \text{ lbm/h pé}^3$
 $K_t = 0,336 \text{ BTU/h pé}^2\text{°F}$
 $C_t = 0,998 \text{ BTU/lbm}^{\circ}\text{F}$
 $\rho_t = 62,2427 \text{ lbm/pé}^3$

(e) Perdas de carga admissíveis:

- . fluido do casco - $\Delta P_{a_s} = 7,9 \text{ lbf/pol}^2$
- . fluido dos tubos - $\Delta P_{a_t} = 9,6 \text{ lbf/pol}^2$

(f) Fatores de depósito

Na Tabela 4.1:

- . gasolina (casco) - $rd_o = 0,001 \text{ h pe}^{20}\text{F/BTU}$
- . água (tubos) - com $T_1 > 125^{\circ}\text{F}$ e velocidade $> 3 \text{ pé/s}$:
 $rd_i = 0,002 \text{ h pe}^{20}\text{F/BTU}$

(g) Descargas dos fluidos

- . casco - $w_s = 110.687,82 \text{ lbm/h}$
- . tubos - $w_t = 475.764,98 \text{ lbm/h}$

(h) número de cascos em série - tomar inicialmente
 $n_{cs} = 1$

2 - Definições preliminares e características do trocador

(a) Tipo do trocador

$$\Delta T_m = T_s - T_t = 159,8 - 93,2 = 66,2^{\circ}\text{F}$$

A diferença das temperaturas médias dos fluidos é $66,2^{\circ}\text{F}$, maior do que 50°F , por isso, como primeira aproximação, pode-se dizer que há necessidade de cabeçote flutuante. Na Tabela 4.2 com $rd_i = 0,002$ e $rd_o = 0,001$, o tipo que é recomendado é o trocador com tubos em U ou com cabeçote flutuante. O tipo escolhido, de acordo com a nomenclatura da TEMA, foi o BES com tubos retos.

(b) Materiais

- . casco - aço carbono
- . tubos - aço carbono

(c) Bocaís do trocador

Como as densidades de entrada e de saída dos fluidos são conhecidas, serão calculadas as velocidades máximas e os diâmetros mínimos para cada bocal.

bocaís do casco:

$$V_{bs1\max} = \sqrt{\frac{3000}{\rho_{s1}}} = \sqrt{\frac{3000}{44,9496}} = 8,16954 \text{ pé/s}$$

$$V_{bs2\max} = \sqrt{\frac{3000}{\rho_{s2}}} = \sqrt{\frac{3000}{48,75783}} = 7,84402 \text{ pé/s}$$

$$D_{bs1\min} = \sqrt{\frac{4W_s}{\rho_{s1}\pi V_{bs1\max}}} = \sqrt{\frac{4 \times 110.687,82}{44,9496 \times \pi \times 8,16954 \times 3600}} = 3,918 \text{ pol}$$

$$D_{bs2\min} = \sqrt{\frac{4W_s}{\rho_{s2}\pi V_{bs2\max}}} = \sqrt{\frac{4 \times 110.687,82}{48,75783 \times \pi \times 7,84402 \times 3600}} = 3,839 \text{ pol}$$

$$D_{bs1} = D_{bs1\min} + 3 = 6,918 \Rightarrow D_{bs1} = 7,0 \text{ pol}$$

$$D_{bs2} = D_{bs2\min} + 3 = 6,839 \Rightarrow D_{bs2} = 7,0 \text{ pol}$$

Esses valores estão na faixa recomendada pela Tabela 4.3.

bocaís dos tubos

$$V_{bt1\max} = V_{bt2\max} = 10 \text{ pé/s}$$

$$D_{bt1\min} = \sqrt{\frac{4W_s}{\rho_{t1}\pi V_{bt1\max}}} = \sqrt{\frac{4 \times 475.764,98}{62,18028 \times \pi \times 10 \times 3600}} = 0,5202 \text{ pé} = 6,242 \text{ pol}$$

$$D_{bt2\min} = \sqrt{\frac{4W_t}{\rho_{t2}\pi V_{bt2\max}}} = \sqrt{\frac{4 \times 475.764,98}{62,30514 \times \pi \times 10 \times 3600}} = 0,51968 \text{ pé} = 6,236 \text{ pol}$$

$$D_{bt1} = D_{bt1\min} + 4 = 10,242 \Rightarrow D_{bt2} = 10 \text{ pol}$$

$$D_{bt2} = D_{bt2\min} + 4 = 10,236 \Rightarrow D_{bt2} = 10 \text{ pol}$$

Os bocais têm geralmente os diâmetros correspondentes às linhas de processo a que estão ligados.

(d) Tubos

. comprimento - tomar $L = 20$ pé, que é o comprimento mais econômico.

. diâmetro externo - com $rd_i < 0,003$, usar $d_2 = \frac{3}{4}$ pol = 0,75 pol.

. espessura da parede dos tubos - para a classe R (TEMA), com $d_2 = 3/4$ pol o BWG preferido é o 14, então na Tabela 4.4: $e = 0,083$ pol.

. diâmetro interno - com $d_2 = 3/4$ pol e $e = 0,083$ pol: $d_i = d_2 - 2e = 0,75 - 2 \times 0,083 = 0,584$ pol.

. altura média das asperezas - como o material do casco é aço carbono: $\epsilon = 0,000005$ pé.

. disposição dos tubos - com $rd_i < 0,002$, a Tabela 4.5 recomenda o arranjo triangular de tubos: $\rightarrow \blacktriangleright$

. distância entre centros de tubos adjacentes - na Tabela 4.6, com $d_2 = 3/4$ pol e $\rightarrow \blacktriangleright$: $p = \frac{15}{16}$ pol = 0,9375 pol.

$$\text{"Pitch ratio"} = \frac{p}{d_2} = \frac{0,9375}{0,75} = 1,25$$

$$\text{distância entre tubos} = d = p - d_2 = 0,9375 - 0,75 = 0,1875 \text{ pol}$$

. número de trajetos de tubos - inicialmente tomar $n=2$.

. espessura dos espelhos de tubos - como o material dos tubos é aço carbono e a classe R, na Tabela 4.7: a tolerância para corrosão é 1/8 pol; então:

$$e_e = d_2 + \frac{3}{16} + \text{tolerância para corrosão} = \frac{3}{4} + \frac{3}{16} + \frac{1}{8} = 1,0625 \text{ pol}$$

tomar $e_e = 2,0 \text{ pol}$

. comprimento efetivo

$$L_1 = L - 2e_e = 20 - 2\left(\frac{2}{12}\right) = 19,6666 \text{ pé}$$

. condutividade térmica da parede dos tubos

$$K_{pt} = 25 \text{ BTU/h pé}^{\circ}\text{F}$$

(c) Temperaturas de projeto

Tomar 50°F acima das temperaturas médias dos fluidos:

$$\text{casco} - T_{ps} = T_s + 50^{\circ} = 159,8 + 50 = 209,8^{\circ}\text{F}$$

$$\text{tubos} - T_{pt} = T_t + 50^{\circ} = 93,2 + 50 = 143,2^{\circ}\text{F}$$

(f) Pressões de projeto

Tomar 20% acima dos valores das pressões de operação:

$$\text{casco} - P_{ps} = P_{os} \times 1,20 = 85,451826 \times 1,20 = 102,54 \text{ lbf/pol}^2$$

$$\text{tubos} - P_{pt} = P_{ot} \times 1,20 = 56,967884 \times 1,20 = 68,36 \text{ lbf/pol}^2$$

(g) Pressões de projeto para os bocais

4.4: . casco - com $T_{ps} = 209,8^{\circ}\text{F}$ e $P_{ps} = 102,54$, na Figura

$$P_{pbs} = 150 \text{ lbf/pol}^2$$

$$\text{tubos} - \text{com } T_{pt} = 143,2^{\circ}\text{F} \text{ e } P_{pt} = 68,36 \text{ lbf/pol}^2, \text{ na}$$

Figura 4.4:

$$P_{pbt} = 150 \text{ lbf/pol}^2$$

(h) Calor trocado

$$Q = W_s C_s \Delta T_s = 110.687,82 \times 0,520 \times (219,2 - 100,4)$$

$$Q = 6.837.850,77 \text{ BTU/h}$$

(i) Diferença média de temperaturas

diferença média logarítmica de temperaturas:

$$DMLT = \frac{(T_1 - t_2) - (T_2 - t_1)}{\ln \left(\frac{T_1 - t_2}{T_2 - t_1} \right)} = \frac{(219,2 - 100,4) - (100,4 - 86,0)}{\ln \left(\frac{219,2 - 100,4}{100,4 - 86,0} \right)} = 49,47^{\circ}\text{F}$$

Fator de correção para a diferença média de temperaturas:

$$R = \frac{T_1 - T_2}{t_2 - t_1} = \frac{219,2 - 100,4}{100,4 - 86,0} = 8,25$$

$$S = \frac{t_2 - t_1}{T_1 - t_1} = \frac{100,4 - 86,0}{219,2 - 86,0} = 0,1081081$$

com 1 passe do lado do casco ($n_{CS} = 1$) e 2 passes de tubos ($n=2$):

$$F_{t1-2} = \frac{\frac{\sqrt{R^2+1}}{R-1} \log_{10} \frac{1-S}{1-SR}}{\log_{10} \frac{\frac{2}{S}-1-R+\sqrt{R^2+1}}{\frac{2}{S}-1-R-\sqrt{R^2+1}}} = 0,826131$$

$$F_t = 0,826131$$

diferença média de temperaturas:

$$\Delta\tau = DMLT \times F_t = 49,47 \times 0,826131 = 40,87^{\circ}\text{F}$$

(j) Verificação da necessidade de cascos em série.

Como $F_t > 0,8$ não é necessário mais do que 1 casco.

(k) Estimativa inicial do coeficiente global e da área de troca de calor.

Na Tabela 4.8, com os fluidos gasolina e água: U varia de 80 a 135 BTU/h pé²°F. Tomar $U_0 = 80,0$ BTU/n pé²°F.

$$A_0 = \frac{Q}{U_0 \Delta T} = \frac{6.837.850,77}{80,0 \times 40,87} = 2.091,34 \text{ pé}^2$$

(l) Área de troca de calor por casco

$$A_{ts} = \frac{A_0}{n_{cs}} = \frac{2091,34}{1} = 2091,34 \text{ pé}^2$$

(m) Número total de tubos no trocador e número de tubos por trajeto.

$$N_t = \frac{A_{ts}}{\pi d_2 L_1} = \frac{2091,34 \times 12}{\pi \times 0,75 \times 19,666} = 541,58 + N_t = 541 \text{ tubos};$$

$$\text{com } N_t = 541, \text{ cálculo da nova } A_{ts} = N_t \pi d_2 L_1 = \frac{541 \times \pi \times 0,75 \times 19,666}{12}$$

$$A_{ts} = 2089,09 \text{ pé}^2 \rightarrow \text{novo } A_0 = 2089,09 \text{ pé}^2$$

$$\text{com 2 trajetos de tubos: } N_{tt} = \frac{N_t}{n} = \frac{541}{2} = 270 \text{ tubos}$$

(n) Número de tubos na fileira central do trocador

Como $N_t = 541 < 2000$, para arranjo triangular:

$$n_c = 1,29 N_t^{1/2,11} = 1,29 \times 541^{1/2,11} = 25,465 \rightarrow n_c = 25 \text{ tubos}$$

(o) Diâmetro do feixe de tubos

$$d_3 = (n_c - 1)p + d_2 = (25 - 1) \times 0,9375 + 0,75 = 23,25 \text{ pol}$$

(p) Diâmetro interno do casco

Com o tipo de trocador (BES) e o d_3 , interpolando na Tabela 4.9 tem-se: $d_1 = 25,66$ pol.

(q) Chicanas

- . tipo - segmentar simples
- . espaçamento entre chicanas:

$$\text{tomar } \ell_3 = 0,5 \quad d_1 = 0,5 \times 25,6621 \rightarrow \ell_3 = 12,831 \text{ pol}$$

. distância entre as chicanas extremas e os espelhos de tubos - estimar primeiro as distâncias mínimas:

$$\ell_{31\min} = D_{bs1} + \ell_{31f}$$

$$\ell_{32\min} = D_{bs2} + \ell_{32f};$$

com o tipo de trocador (BES), a pressão de projeto do bocal do casco (P_{pbs}) e o diâmetro interno do casco (d_1), obter os fatores ℓ_{31f} e ℓ_{32f} nas Figuras 4.7 e 4.8, respectivamente:

$$\ell_{31f} = 7,2 \text{ pol}$$

$$\ell_{32f} = 11,8 \text{ pol}$$

$$\ell_{31\min} = 7 + 7,2 = 14,2 \text{ pol}, \text{ tomar } \ell_{31} = 19,2 \text{ pol}$$

$$\ell_{32\min} = 7 + 11,8 = 18,8 \text{ pol}, \text{ tomar } \ell_{32} = 23,8 \text{ pol}$$

$$\cdot \text{número de chicanas: } N_{chi} = \frac{\ell_1 - \ell_{31} - \ell_{32}}{\ell_3} + 1, \text{ com}$$

$$\ell_1 = 12L_1 :$$

$$\ell_1 = 12 \times 19,66666 = 235,999 \text{ pol}$$

$$N_{chi} = \frac{235,999 - 19,2 - 23,8}{12,831} + 1 = 16 \text{ chicanas}$$

Determinação de novos valores de ℓ_{31} e ℓ_{32} devido ao arredondamento de N_{chi} :

$$\text{Soma } 1 = \ell_{31} + \ell_{32} = 19,2 + 23,8 = 43,0$$

$$\text{Soma 2} = \ell_1 - \ell_3 (N_{\text{chi}} - 1) = 235,99999 - 12,831(16-1) = 43,53499$$

$$\frac{\text{Soma 2} - \text{Soma 1}}{2} = \frac{43,53499999 - 43,0}{2} = 0,26749995$$

$$\ell_{31} = 19,2 + 0,26749995 = 19,4674995 = 19,467 \text{ pol}$$

$$\ell_{32} = 23,8 + 0,26749995 = 24,0674995 = 24,067 \text{ pol}$$

. corte das chicanas: na Tabela 4.11 em função de $d_1/\ell_3 = 2$.

$$c_{\text{chi}} = \frac{\ell_c}{d_1} = 0,25893812 \Rightarrow \ell_c = 0,25893812 \times 25,6621$$

$$\Rightarrow \ell_c = 6,644896 \text{ pol}$$

. diâmetro da chicana: na Tabela 4.12, com o diâmetro interno do casco d_1 e para a classe R: $d_1 - d_{\text{chi}} = 0,175 \text{ pol}$

$$d_{\text{chi}} = 25,4871 \text{ pol}$$

. diâmetro dos orifícios das chicanas:

$$\text{com } 2\ell_3 = 2 \times 12,83 = 25,66 \text{ pol}$$

$$\begin{aligned} \text{menor do que } 36 \text{ pol: } d_4 &= \frac{1}{32} \text{ pol} + d_2 = \frac{1}{32} + \frac{3}{4} = \\ &= 0,78125 \text{ pol} \end{aligned}$$

3 - Troca de calor e perda de carga para o lado dos tubos

(a) Coeficiente de película

. velocidade média do fluido nos tubos:

$$V_t = \frac{W_t}{\rho_t N_{tt} S_{ti}} = \frac{475.764,98}{62,2427 \times 270 \times 0,00186017 \times 3600} = 4,22751 \frac{\text{pé}}{\text{s}}$$

$$S_{ti} = \frac{\pi d_i^2}{4} = \frac{\pi \times 0,584^2}{4} = 0,26786476 \text{ pol}^2 = 0,00186017 \text{ pé}^2$$

. número de REYNOLDS para o fluido dos tubos

$$Re_t = \frac{\rho_t V_t D_i}{\mu_t} = \frac{62,2427 \times 4,22751 \times 0,584 \times 3600}{1,6933 \times 12} = 27.225,34$$

. número de PRANDTL para o fluido dos tubos

$$Prd_t = \frac{C_t \mu_t}{K_t} = \frac{0,998 \times 1,6933}{0,336} = 5,0295$$

. fator de COLBURN

Com $Re_t = 27.225,34$

$$J_4 = \left\{ \frac{1}{27.225,34^{9,36}} + \frac{1}{\left[\frac{27.225,34^{1,6}}{7,831 \times 10^{-14}} + \left(\frac{1,969 \times 10^6}{27.225,34} \right)^8 \right]^{3/2}} \right\}^{1/12}$$

calculando tem-se:

$$J_4 = 0,00298354$$

. fator de COLBURN corrigido: Supondo que $\left(\frac{\mu_t}{\mu_{T_i}}\right)^{0,14} = 1$

$$J = J_4 \left(\frac{\mu_t}{\mu_{T_i}}\right)^{0,14} = 0,00298354$$

. coeficiente de película:

$$h_i = J \left(\frac{C_t \rho_t V_t}{Prd_t^{2/3}} \right) = 0,00298354 \left(\frac{0,998 \times 62,2427 \times 4,22751 \times 3600}{5,0295^{2/3}} \right)$$

$$h_i = 0,00298354 \times 322,049,7017 = 960,85 \text{ BTU/h pé}^2 \text{ F}$$

(b) Perda de carga

. coeficiente de atrito isotérmico: com

$$Re_t = 27.225,34 \text{ e } \varepsilon = 0,000005 \text{ pé},$$

$$A_2 = \left[2,457 \ln \frac{1}{\left(\frac{7}{27.225,34} \right)^{0,9} + \frac{0,27 \times 0,000005 \times 12}{0,584}} \right]^{1/6} = 1,405615 \times 10^{20}$$

$$B_2 = \left(\frac{37.530}{27.225,34} \right)^{1/6} = 170,01375$$

$$f = \left[\left(\frac{8}{27.225,34} \right)^{2/2} + \frac{1}{(1,405615 \times 10^{20} + 170,01375)^{3/2}} \right]^{1/12} = 0,00303052$$

. temperatura interna da parede dos tubos:

$$T_i = T_t + U \left(\frac{1}{h_i} + \frac{rd_i}{d_i} \right) \frac{d_2}{d_i} (T_s - T_t) = 93,2 + 80,0 \left(\frac{1}{960,85} + 0,002 \right) \frac{0,75}{0,584} (159,8 - 93,2)$$

$$T_i = 114,01^{\circ}\text{F}$$

. viscosidade do fluido dos tubos à temperatura interna:

Na Tabela da Figura 14 do KERN^(4,5), as coordenadas são X=10,2 e Y=13,0. Com $T_i = 114,01^{\circ}\text{F}$:

$$\mu_{T_i} \approx 0,615 \text{ cp} = 0,615 \times 2,419 = 1,4883 \text{ lbm/h pé}$$

. coeficiente de atrito não isotérmico do fluido dos tubos: como

$$\frac{\mu_{T_i}}{\mu_t} = \frac{1,4883}{1,6933} = 0,8789 < 1 \text{ e o escoamento é turbulento,}$$

$$\text{na Tabela 4.13 } i=0,14, \text{ então } \phi_t = \left(\frac{\mu_{T_i}}{\mu_t} \right)^{0,14} = (0,8789)^{0,14} = 0,982$$

$$f_t = f\left(\frac{\mu T_1}{\mu t}\right)^{0,14} = 0,00303052 \times 0,982 = 0,00297626$$

. perda de carga por atrito nos tubos:

$$\Delta P_t = 8f_t \frac{L_1 \rho_t V_t^2 n}{D_i}$$

$$\Delta P_t = 8 \times 0,00297626 \times \frac{19,66666}{0,0486666} \times \frac{62,2427 \times 4,2275^2 \times 2}{2 \times 32,1739 \times 144} = 2,31 \frac{\text{lbf}}{\text{pol}^2}$$

. perda de carga nos bocais dos tubos:

Com $D_{bt1} = D_{bt2} = 10 \text{ pol.}$

$$V_{bt} = \frac{W_t}{\frac{\pi}{4} \rho_t D_{bt1} D_{bt2}} = \frac{475.764,98 \times 4 \times 12^2}{\pi \times 62,2427 \times 10^2 \times 3600} = 3,8929 \frac{\text{pe's}}{\text{pol}}$$

$$\Delta P_{bocais} = \frac{1,8 \rho_t V_{bt}^2}{2} = \frac{1,8 \times 62,2427 \times 3,8929^2}{2 \times 32,1739 \times 144} = 0,1832 \frac{\text{lbf}}{\text{pol}^2}$$

. perda de carga devido à expansão, contração e retorno no cabeçote: como os tubos são retos e $n=2$:

$$\Delta P_{ecr} = 1,6n \frac{\rho_t V_t^2}{2} = \frac{1,6 \times 2 \times 62,2427 \times 4,2275^2}{2 \times 32,1739 \times 144} = 0,3842 \frac{\text{lbf}}{\text{pol}^2}$$

. perda de carga total do lado dos tubos:

$$\Delta P_{tT} = n_{cs} (\Delta P_t + \Delta P_{bocais} + \Delta P_{ecr}) f_d = 1(2,312 + 0,1832 + 0,3842) \times 1,41$$

$$\Delta P_{tT} = 4,059954 \frac{\text{lbf}}{\text{pol}^2} = 4,1 \frac{\text{lbf}}{\text{pol}^2};$$

(na Tabela 4.14, com material dos tubos sendo aço carbono, com $d_2 = 3/4$ e BWG=14; $f_d = 1,41$).

A perda de carga admissível para o lado dos tubos é igual a $9,6 \frac{\text{lbf}}{\text{pol}^2}$; então:

$$\Delta P_{tT} = 4,1 \frac{\text{lbf}}{\text{pol}^2} < \Delta P_{at} = 9,6 \frac{\text{lbf}}{\text{pol}^2}$$

Como o diâmetro externo dos tubos já é o menor dos diâmetros usuais pode-se tentar aumentar a perda de carga do lado dos tubos, para que se aproxime da perda de carga admissível, aumentando o número de trajetos de tubos (n).

Retorna-se ao início dos cálculos, fazendo-se $n=4$, com o U_0 permanecendo o mesmo, e refaz-se os cálculos, alterando os parâmetros que dependem de n . Os parâmetros anteriores ao item 2.(i), já se encontram definidos e não mudam.

Primeira tentativa - 2^a Rodada

2. - Definições preliminares e características do trocador

(i) Diferença média de temperaturas

$$\cdot \text{DMLT} = 49,47^{\circ}\text{F}$$

• com 1 passe do lado do casco e 4 passes do lado dos tubos:

$$F_{t1-4} = \frac{\sqrt{4R^2+1} \log_{10} \frac{1-S}{1-SR}}{2(R-1) \frac{1+V(\sqrt{4R^2+1} - 2R)}{\log_{10} \frac{1-V(\sqrt{4R^2+1} + 2R)}{1+V(\sqrt{4R^2+1} - 2R)}}}$$

$$V = \frac{T_{t1}-T_{t2}}{4 T_{s1} - (T_{t1} + 2t_i + T_{t2})}$$

$$\left(\frac{t_i - T_{t1}}{T_{t2} - t_i} \right)^{\sqrt{4R^2+1}} = \frac{1+V(\sqrt{4R^2+1} - 2R)}{1-V(\sqrt{4R^2+1} + 2R)} ;$$

calculando t_i por tentativas tem-se: $t_i = 93,83^{\circ}\text{F}$.

Substituindo os valores de R , S e t_i , encontra-se $F_t = 0,829995$.

• diferença média de temperaturas

$$\Delta T = 49,47 \times 0,829995 = 41,06^{\circ}F$$

(j) Com $F_t > 0,8$, não há necessidade de cascos em série e n_{cs} continua igual a 1.

(k) Área de troca de calor - A_o permanece o mesmo.

$$A_o = \frac{Q}{U_o \Delta T} = \frac{6.837.850,77}{80,0 \times 41,06} = 2081,66 \text{ pé}^2$$

(l) Área de troca de calor por casco:

$$A_{ts} = \frac{A_o}{n_{cs}} = \frac{2081,66}{1} = 2081,66 \text{ pé}^2$$

(m) Número total de tubos e número de tubos por trajeto.

$$N_t = \frac{A_{ts}}{\pi d_2 L_1} = \frac{2081,66 \times 12}{\pi \times 0,75 \times 19,666} = 539,075 \Rightarrow N_t = 539$$

Para o arranjo \triangleright , $p=15/16$ pol, $d_2=3/4$ pol, e $n=4$, na Tabela 4.10 verifica-se que o número de tubos mais próximo ao N_t calculado é 550, para o qual corresponde um diâmetro interno do casco de 27,0 pol e um diâmetro de feixe de tubos de 25,375 pol. Assim:

$$A_o = 2.123,85 \text{ pé}^2$$

$$N_t = 550 \text{ tubos}$$

$$d_1 = 27,0 \text{ pol}$$

$$d_3 = 25,375 \text{ pol}$$

$$N_{tt} = \frac{N_t}{\pi} = \frac{550}{4} = 137,5 \Rightarrow N_{tt} = 137 \text{ tubos}$$

(n) Número de tubos na fileira central do trocador.

Com $d_3 = 25,375$, pol, $p = 0,9375$ pol e $d_2 = 0,75$ pol:

$$n_c = \frac{d_3 - d_2}{p} + 1 = \frac{25,375 - 0,75}{0,9375} + 1 = 27,2666 \rightarrow n_c = 27 \text{ tubos}$$

(q) Chicanas

. espaçamento: $\ell_3 = 0,5 \times d_1 = 0,5 \times 27 = 13,5$ pol

. distância entre as chicanas extremas e os espelhos de tubos: com $P_{pbs} = 150$ psi e $d_1 = 27,0$ pol, nas Figuras 4.7 e 4.8 tem-se:

$$\ell_{31f} = 7,25 \text{ pol}$$

$$\ell_{32f} = 12,0 \text{ pol}$$

$$\ell_{31min} = 7+7,25=14,25 \text{ pol, tomar: } \ell_{31} = 19,25 \text{ pol}$$

$$\ell_{32min} = 7+12,0=19,0 \text{ pol, tomar: } \ell_{32} = 24,0 \text{ pol.}$$

$$\text{. número de chicanas: } N_{chi} = \frac{235,9999 - 19,25 - 24,0}{13,5} = 15,277$$

$$N_{chi} = 15 \text{ chicanas}$$

$$\text{Soma 1} = \ell_{31} + \ell_{32} = 19,25 + 24,0 = 43,25 \text{ pol}$$

$$\text{Soma 2} = \ell_1 - \ell_3 (N_{chi} - 1) = 235,9999 - 13,5(15-1) = 46,99 \text{ pol}$$

$$\frac{\text{Soma}_2 - \text{Soma}_1}{2} = \frac{46,9999 - 43,25}{2} = 1,87499$$

$$\ell_{31} = 19,25 + 1,87499 = 21,125 \text{ pol}$$

$$\ell_{32} = 24,0 + 1,87499 = 25,875 \text{ pol}$$

$$\text{. corte: Tabela 4.11 com } \frac{d_1}{\ell_3} = \frac{27}{13,5} = 2,0$$

$$c_{chi} = \frac{\ell_c}{d_1} = 0,25893812$$

$$\ell_c = 0,25893812 \times 27,0 = 6,9913 \text{ pol}$$

. diâmetro da chicana: Tabela 4.12, com $d_1 = 27,0$ pol e classe R: $d_1 - d_{chi} = 0,175 \rightarrow d_{chi} = 27,0 - 0,175 = 26,825 \text{ pol.}$

3 - Troca de calor e perda de carga para o lado dos tubos

(a) Coeficiente de película

. Velocidade média do fluido nos tubos:

$$V_t = \frac{W_t}{\rho_t N_{tt} S_{ti}} = \frac{475.764,98}{62,2427 \times 137 \times 0,00186017 \times 3600} = 8,3316 \text{ pé/s}$$

. Número de REYNOLDS:

$$Re_t = \frac{\rho_t V_t D_i}{\mu_t} = \frac{62,2427 \times 8,3316 \times 0,584 \times 3600}{1,6933 \times 12} = 53.655,8$$

. Número de PRANDTL = 5,0295

. Fator de COLBURN: com $Re_t = 53.655,8$

$$J_4 = \left\{ \frac{1}{53.655,8^{0,36}} + \frac{1}{\left[\frac{53.655,8^{1,6}}{7.831 \times 10^{-14}} + \frac{(1,969 \times 10^6)^8}{53.655,8} \right]^{3/2}} \right\}^{1/12}$$

$$J_4 = 0,00260498$$

. Fator de COLBURN corrigido: com $\phi_t \left(\frac{\mu_t}{\mu_{Ti}} \right)^{0,14} = \frac{1}{0,982} = 1,0183$

$$J = J_4 \times \phi_t = 0,00260498 \times 1,0183 = 0,00265273$$

. Coeficiente de película: $h_i = 0,00265273 \left(\frac{0,998 \times 8,3316 \times 62,2427 \times 3600}{5,0295^{2/3}} \right)$

$$\rightarrow h_i = 1.683,68 \text{ BTU/h pé}^2 {}^{\circ}\text{F}$$

(b) Perda de carga

. Coeficiente de atrito isotérmico: com $Re_t = 53.655,8$
e $\epsilon = 0,000005$ pé:

$$A_2 = \left[2,457 \ln \frac{1}{\left(\frac{7}{53.655,8} \right)^{0,9} + \frac{0,27 \times 0,000005 \times 12}{0,584}} \right]^{1/6} = 4,643874 \times 10^{20}$$

$$B_2 = \left(\frac{37.530}{53.655,8} \right)^{1/6} = 0,00328239$$

$$f = \left[\left(\frac{8}{53.655,8} \right)^{2/2} + \frac{1}{(4,643874 \times 10^{20} + 0,00328239)^{3/2}} \right]^{1/12} = 0,00261$$

. temperatura interna da parede dos tubos:

$$T_i = 93,2 + 80,0 \left(\frac{1}{1,681,95} + 0,002 \right) \times \frac{0,75}{0,584} (159,8 - 93,2) = 110,953$$

$$T = 110,95^{\circ}\text{F}$$

. Viscosidade do fluido dos tubos à temperatura interna: na tabela da Figura 14 do KERN (4.5), as coordenadas são: $X=10,2$ e $Y=13,0$. Con $T_i = 110,95^{\circ}\text{F}$, $\mu_{Ti} = 0,63 \text{ cp} = 0,63 \times 2,42 = 1,5246$.

. coeficiente de atrito não isotérmico: como

$$\frac{\mu_{Ti}}{\mu_t} = \frac{1,5246}{1,6933} = 0,900372 < 1 \text{ e o escoamento é turbulento, na Tabela 4.13, } i = 0,14: \phi_t = \left(\frac{\mu_{Ti}}{\mu_t} \right)^{0,14} = (0,900372)^{0,14} = 0,985$$

$$f_t = f \left(\frac{\mu_{Ti}}{\mu_t} \right)^{0,14} = 0,00261 \times 0,985 = 0,002571$$

. perda de carga por atrito nos tubos:

$$\Delta P_t = 8 \times 0,002571 \times \frac{19,666}{0,04866} \times \frac{62,2427 \times 8,3316^2 \times 4}{2 \times 32,1739 \times 144} = 15,5024 \text{ lbf/pol}^2$$

. perda de carga nos bocais dos tubos não mudou:

$$\Delta p_{\text{bocais}} = 0,1832 \text{ lbf/pol}^2$$

. perda de carga devido à expansão, contração e retorno no cabeçote: $n=4$ e $V_t = 8,3316 \text{ pé/s}$.

$$\Delta P_{\text{ecr}} = \frac{1,6 \times 4 \times 62,2427 \times 8,3316^2}{2 \times 32,1739 \times 144} = 2,9842 \text{ lbf/pol}^2$$

. perda de carga total do lado dos tubos: com

$$f_d = 1,41.$$

$$\Delta P_{tT} = n_{cs} (\Delta P_t + \Delta p_{\text{bocais}} + \Delta P_{\text{ecr}}) f_d = 1 \times (15,5024 + 0,1832 + 2,9842) \times 1,41$$

$\Delta P_{tT} = 26,3244 \text{ lbf/pol}^2$, que é muito maior do que a perda de carga admissível para os tubos. Assim, retorna-se ao início dos cálculos fixando o $n=2$. Os parâmetros anteriores ao do item 2.(i) continuam os mesmos.

Primeira Tentativa - 3^a Rodada

2 - Definições preliminares e características do trocador

(i) Diferença média de temperaturas

- $DMLT = 49,47^\circ F$
- Com $n_{cs}=1$ e $n=2$: $F_t = 0,826131$
- $\Delta T = DMLT \times F_t = 49,47 \times 0,826131 = 40,87^\circ F$

(j) Com $F_t = 0,826132 > 0,8$, não há necessidade de cascos em série.

(k) Área de troca de calor

O coeficiente global continua o mesmo: $U_0 = 80,0 \text{ BTU/h pé}^2 \text{ }^\circ F$

$$A_0 = \frac{Q}{U_0 \Delta T} = 2091,34 \text{ pé}^2$$

(l) Área de troca de calor por casco: $A_{ts} = 2091,34 \text{ pé}^2$

(m) Número total de tubos no trocador e número de tubos por trajeto.

$$N_t = \frac{A_{ts}}{\pi D_2 L_1} = 541$$

Para o arranjo $\rightarrow \Delta$, $p=15/16 \text{ pol}$, $d_2=0,75 \text{ pol}$ e $n=2$, na Tabela 4.10 obtém-se $N_t=506$ que é o valor mais próximo ao calculado ($N_t=541$), com $d_1=25 \text{ pol}$ e $d_3=23,375 \text{ pol}$.

$$\text{Novo valor de } A_{ts}: A_{ts} = N_t \pi d_2 L_1 = \frac{506 \times \pi \times 0,75 \times 19,666}{12}$$

$$\rightarrow A_{ts} = 1.953,94 \text{ pé}^2$$

$$\text{Novo } A_o: A_o = 1.953,94 \text{ pé}^2$$

$$\cdot N_{tt} = \frac{N_t}{n} = \frac{506}{2} = 253 \text{ tubos}$$

(n) Número de tubos na fileira central do trocador

Com $d_3 = 23,375 \text{ pol}$; $p = 0,9375 \text{ pol}$ e $d_2 = 0,75 \text{ pol}$:

$$n_c = \frac{23,375 - 0,75}{0,9375} + 1 = 25,13 \rightarrow n_c = 25 \text{ tubos}$$

(q) Chicanas

. espaçamento: com $d_1 = 25,0 \text{ pol}$: $\ell_3 = 12,5 \text{ pol}$.

. com o tipo do trocador (BES), $P_{pbs} = 150,0 \text{ psi}$ e

$d_1 = 25,0 \text{ pol}$, nas Figuras 4.7 e 4.8:

$$\ell_{31f} = 7,13 \text{ pol}$$

$$\ell_{32f} = 11,8 \text{ pol}$$

então: $\ell_{31min} = 7+7,13=14,13 \text{ pol}$, tomar $\ell_{31}=19,13 \text{ pol}$

$\ell_{32min} = 7+11,8=18,8 \text{ pol}$, tomar $\ell_{32}=23,8 \text{ pol}$

$$\cdot N_{chi} = \frac{235,9999 - 19,13 - 23,8}{12,5} + 1 = 16 \text{ chicanas}$$

. novos valores de ℓ_{31} e ℓ_{32}

$$\text{Soma 1} = 19,13 + 23,8 = 42,93$$

$$\text{Soma 2} = 235,9999 - 12,5(16-1) = 48,5$$

$$\frac{\text{Soma 2} - \text{Soma 1}}{2} = 2,785$$

$$\ell_{31} = 19,13 + 2,785 = 21,915 \rightarrow \ell_{31} = 21,9 \text{ pol}$$

. corte: na Tabela 4.11 com $\frac{d_1}{\ell_3} = 2$: $c_{chi} = 0,258938$
então, $\ell_c = 0,258938 \times 25,0 \rightarrow \ell_c = 6,47345$ pol.

. diâmetro: na Tabela 4.12, com $d_1 = 25,0$ pol e classe R,

$$d_1 - d_{chi} = 0,175 \rightarrow d_{chi} = 24,825 \text{ pol.}$$

. d_4 : com $2 \times \ell_3 = 25,0$ pol, menor do que 36 pol,
 $d_4 = 0,78125$ pol.

3 - Troca de calor e perda de carga nos tubos

(a) Coeficiente de película

. Velocidade média do fluido dos tubos: com
 $S_{ti} = 0,00186017 \text{ pé}^2$.

$$V_t = \frac{475.764,98}{62,2427 \times 253 \times 0,00186017 \times 3600} = 4,511577 \text{ pé/s}$$

. número de REYNOLDS:

$$Re_t = \frac{\rho_t V_t D_i}{\mu_t} = \frac{62,2427 \times 4,511577 \times 0,584 \times 3600}{1,6933 \times 12} = 29.054,74$$

. número de PRANDTL: $Pr_{d_t} = 5,0295$

. Fator de COLBURN:

com $Re_t = 29.054,74$

$$J_4 = \left\{ \frac{1}{29.054,74^{0,36}} + \frac{1}{\left[\frac{29.054,74^{1,6}}{7,831 \times 10^{-14}} + \frac{(1,969 \times 10^6)^6}{29.054,74} \right]^{3/2}} \right\}^{1/12}$$

$$J_4 = 0,002495$$

. fator de COLBURN corrigido: $\left(\frac{\mu_t}{\mu_{Ti}} \right)^{0,14} = \frac{1}{0,985} = 1,015228$

$$J = J_4 \left(\frac{\mu_t}{\mu_{Ti}} \right)^{0,14} = 0,002945 \times 1,015228 = 0,00299$$

. coeficiente de película

$$h_i = 0,00299x\left(\frac{0,998 \times 62,2427 \times 4,511577 \times 3600}{5,0295^2}\right)$$

$$h_i = 1027,58 \text{ BTU/h pé}^2 \text{F}$$

(b) perda de carga

. coeficiente de atrito isotérmico: com

$$Re_t = 29.054,74 \text{ e } \epsilon = 0,000005 \text{ pé:}$$

$$A_2 = \left[2,457 \ln \frac{1}{\left(\frac{7}{29.054,74} \right)^{0,9}} + \frac{0,27 \times 0,000005 \times 12}{0,584} \right]^{1/16} = 1,585367 \times 10^{-20}$$

$$B_2 = \left(\frac{37.530}{29.054,74} \right)^{16} = 60,06$$

$$f = \left[\left(\frac{8}{29.054,74} \right)^{22} + \frac{1}{(1,585367 \times 10^{-20} + 60,06)^{3/2}} \right]^{1/12}$$

$$f = 0,002985$$

. temperatura interna da parede dos tubos:

$$T_i = 93,2 + 80,0 \left(\frac{1}{1027,58} + 0,002 \right) \times \frac{0,75}{0,584} \times (159,8 - 93,2) =$$

$$T_i = 113,54^\circ \text{F}$$

. viscosidade à temperatura interna: com X=10,2, Y=13,0 e $T_i = 113,54^\circ \text{F}$ na Figura 14 do KERN: $\mu_{T_i} = 0,62 \text{ cp}$

$$\mu_{T_i} = 1,5004 \text{ lbm/h pé}$$

. coeficiente de atrito não isotérmico: $\frac{\mu_{Ti}}{\mu_t} = \frac{1,5004}{1,6933} = 0,88608$
 é menor do que 1 e o escoamento turbulento na Tabela 4.13 $i=0,14$:
 $\phi_t = \left(\frac{\mu_{Ti}}{\mu_t}\right)^{0,14} = (0,88608)^{0,14} = 0,983$.

$$\cdot f_t = f_x \phi_t = 0,002985 \times 0,983 \rightarrow f_t = 0,002934$$

. perda de carga por atrito nos tubos:

$$\Delta P_t = 8 \times 0,002934 \times \frac{19,666}{0,04866} \times \frac{62,2427 \times 4,51157^2 \times 2}{2 \times 32,1739 \times 144} = 2,594 \text{ lbf/pol}^2$$

. perda de carga nos bocais dos tubos:

$$\Delta P_{bocais} = 0,1832 \text{ lbf/pol}^2$$

. perda de carga devido à expansão, contração e retorno: $\Delta P_{ecr} = 1,6 \times 2 \times \frac{62,2427 \times 4,51157^2}{2 \times 32,1739 \times 144} = 0,4375 \text{ lbf/pol}^2$

. perda de carga total do lado dos tubos: com $f_d = 1,41$:

$$\Delta P_{tT} = 1 \times (2,594 + 0,1832 + 0,4375) \times 1,41 = 4,53$$

$$\Delta P_{tT} = 4,53 \text{ lbf/pol}^2 \quad OK!$$

4 - Troca de calor e perda de carga para o lado do casco

(a) Características geométricas do trocador

Ver a sequência de cálculo do método de BELL dada no Anexo A.3.

. distância entre centros de tubos adjacentes paralela ao escoamento no casco: para o arranjo $\rightarrow \triangleright$, $p_p = 0,866 \times p$
 $p_p = 0,866 \times 0,9375 \rightarrow p_p = 0,811875 \text{ pol.}$

. número de fileiras de tubos encontradas pelo escoamento cruzado: $N_r = \frac{d_l - 2\%_c}{p_p} = \frac{25,0 - 2 \times 6,47345}{0,811875} = 14,846$

$$N_r = 15$$

. número de fileiras de tubos encontradas pelo es-

coamento na janela da chicana: $N_j = \frac{0,8\ell_c}{p_p} = \frac{0,8 \times 6,47345}{0,811875}$

$$N_j = 6,378765 \rightarrow N_j = 6$$

. ângulo de corte da chicana: $\theta = 2 \cos^{-1} \left(1 - \frac{2\ell_c}{d_1} \right)$

$$\theta = 2 \cos^{-1} \left(1 - \frac{2 \times 6,47345}{25,0} \right) = 122,35^\circ = 2,1354 \text{ rad.}$$

. área de uma janela de chicana: $A_j = \frac{1}{2} r_1^2 (\theta - \sin \theta)$

$$A_j = \frac{1}{2} \left(\frac{25,0}{2} \right)^2 \left[2,1354 - \sin(122,35) \right] = 100,83 \text{ pol}^2$$

. área total da seção do casco:

$$A_T = \frac{\pi d_1^2}{4} = \frac{\pi \times 25,0}{4} = 490,87$$

$$A_T = 490,87 \text{ pol}^2$$

. razão entre a área de 2 seções de janela e a área total:

$$r = \frac{A_{Tj}}{A_T} = \frac{2 \times 100,83}{490,87} = 0,410818$$

. razão entre a área de 1 janela e a área total:

$$r_5 = \frac{100,83}{490,87} = 0,205411$$

. número de tubos por chicana:

$$N_{tchi} = N_t (1 - r_5) = 506 (1 - 0,20541)$$

$$N_{tchi} = 402 \text{ tubos}$$

. espaçadores na janela das chicanas: como $d_1 = 25,0 \text{ pol} < 33 \text{ pol}$, então $N_{espj} = 1$.

. número de tubos por janela: $N_{tj} = N_t - N_{tchi} = 506 - 402 = 104$

$$N_{tj} = 104 \text{ tubos.}$$

. número de tubos na janela mais os espaçadores:

$$N_{tj1} = N_{tj} + N_{espj} = 104 + 1 = 105 \text{ tubos}$$

. número de fileiras de tubos encontradas pelo escoamento cruzado, em série no trocador:

$$N_{r1} = (N_{chi} + 1)N_r + (N_{chi} + 2)N_j = (16 + 1)15 + (16 + 2)6 \rightarrow N_{r1} = 363$$

. área mínima para o fluxo cruzado próximo à linha central do trocador: $S_m = (d_1 - n_c d_2) \ell_3 = (25,0 - 25 \times 0,75) \times 12,5$

$$S_m = 78,125 \text{ pol}^2 = 0,542535 \text{ pé}^2$$

. folga feixe-casco para o desvio: $\delta_{bp} = d_1 - (n_c - 1)p - d_2$

$$\delta_{bp} = 25,0 - (25 - 1) \times 0,9375 - 0,75 = 1,75 \text{ pol}$$

. área para o desvio em torno do feixe de tubos:

$$S_{bp} = \delta_{bp} \ell_3 \rightarrow S_{bp} = 2,25 \times 12,5 = 21,875 \text{ pol}^2$$

. fração da área do fluxo cruzado disponível para o desvio:

$$F_{bp} = \frac{S_{bp}}{S_m} = \frac{21,875}{78,125} = 0,28$$

. área para o vazamento tubo-chicana, por chicana:

$$S_{tb} = \frac{N_{tchi} \pi}{4 \times 144} (d_4^2 - d_2^2) = \frac{402 \times \pi}{4 \times 144} (0,78125^2 - 0,75^2) = 0,104918 \text{ pé}^2$$

. área para o vazamento casco-chicana, por chicana:

$$S_{sb} = \frac{\pi}{576} \left(\frac{360-6}{360} \right) (d_1^2 - d_{chi}^2) = \frac{\pi}{576} \left(\frac{360-122,35}{360} \right) (25,0^2 - 24,825^2)$$

$$S_{sb} = 0,031394 \text{ pé}^2$$

. área total de vazamento: $S_\ell = S_{tb} + S_{sb} = 0,136312 \text{ pé}^2$

. razão entre S_ℓ e S_m : $S_3 = \frac{S_\ell}{S_m} = \frac{0,136312}{0,542535} = 0,25125$

. razão entre S_ℓ , S_{tb} e S_{sb} : $S_4 = \frac{S_{tb} + 2S_{sb}}{S_\ell}$

$$S_4 = \frac{0,104918 + 2 \times 0,031394}{0,136312} = 1,23031$$

. área livre para o escoamento na janela da chicaninha:

$$S_j = \frac{\pi}{144} \left(\frac{d_1}{2} \right)^2 \left(\frac{\theta}{500} \right) - \left(\frac{d_1}{2} \right)^2 \left(\frac{\operatorname{sen}\theta}{2,144} \right) - \left(\frac{\pi d_2^2 N_{tj1}}{4 \times 144} \right) \rightarrow$$

$$S_j = \frac{\pi}{144} \left(\frac{25,0}{2} \right)^2 \left(\frac{125,35}{360} \right) - \left(\frac{25,0}{2} \right)^2 \left(\frac{\operatorname{sen}(122,35)}{2 \times 144} \right) - \left(\frac{\pi \times 0,75^2 \times 105}{4 \times 144} \right) = 0,378137 \text{ pé}^2$$

. área efetiva do fluxo cruzado: $A_{ex} = S_m - S_{bp}$

$$A_{ex} = 78,125 - 21,875 = 56,25 \text{ pol}^2$$

. tiras selantes (sealing strips): $d_1 - d_3 = 25,0 - 23,375 = 1,625 > 1,5 \text{ pol}$, então: há necessidade de tiras selantes.

. número de pares de tiras selantes: $N_{ss} = \frac{N_r}{6} = \frac{15}{6} = 2,5$

$\rightarrow N_{ss} = 3$ pares.

. fator de correção para o coeficiente de película do feixe ideal para levar em conta os efeitos das chicanas e das janelas:

$$\phi_B = 1 - r + 0,524r^{0,32} \left(\frac{S_m}{S_j} \right)^{0,03}$$

$$\phi_B = 1 - 0,410818 + 0,524 \times 0,410818^{0,32} \left(\frac{0,542535}{0,378137} \right)^{0,03} = 0,987658$$

(b) Coeficiente de película do lado do casco.

. fluxo de massa: $G_m = \frac{W_s}{S_m} = \frac{110.687,82}{0,542535} = 204.019,69 \text{ lbm/hp}^2$

. número de REYNOLDS: $Re_s = \frac{D_2 G_m}{\mu_s} = \frac{0,75 \times 204.019,69}{12 \times 0,9071}$

$$Re_s = 14.057,14.$$

. fator de troca de calor para o banco de tubos ideal: na Figura 2.12, com $Re_s = 14.057,14$, $p_r = 1,25$ e arranjo $\rightarrow \Delta$: $j_b = 0,009$.

. constante empírica dada na Tabela 2.2 para ϵ_h e regime turbulento: $\alpha_1 = 1,35$.

. fator de correção para considerar o desvio entre o feixe de tubos e o casco:

$$N_{ss} = 3 \rightarrow \frac{N_r}{2} = \frac{15}{2} = 7,5 \rightarrow N_{ss} < \frac{N_r}{2} \text{ então}$$

$$\epsilon_{h,t} = \exp \left[-1,35 \times 0,28 \left(1 - \sqrt{\frac{2 \times 3}{15}} \right) \right] = 0,905302$$

. fator de correção para considerar o efeito do número real de fileiras de tubos no trocador comparado ao número de fileiras de tubos do banco de tubos ideal:

$$x_t = \frac{(h_m/h_\infty)_{\text{feixe ideal}}}{(h_m/h_\infty)_{\text{trocador}}}$$

para $N_r = 15$, na Tabela 2.1: $(h_m/h_\infty)_{\text{feixe ideal}} = 0,95$

para $N_{r1} = 365$ na Tabela 2.1: $(h_m/h_\infty)_{\text{trocador}} = 1,0$

$$x_t = \frac{0,95}{1,0} = 0,95$$

. coeficiente de película para o trocador sem vazamentos: pela equação (2.76): $h_{nk} = \frac{j_s \epsilon_{h,t} C_s G_m \phi_b K_s}{x_t C_s \mu_s} \left(\frac{\mu_s}{\mu_{re}} \right)^{0,14}$

$$j_s = j_b = 0,009$$

$$h_{nl} = \frac{0,009 \times 0,987658 \times 0,905302 \times 0,52 \times 204.019,69}{0,95} \times \left(\frac{0,0699}{0,52 \times 0,9071} \right)^{2/3} \times 1$$

$$h_{nl} = 251,66 \text{ BTU/h } p\circ F$$

. coeficiente de troca de calor:

$$\left(1 - \frac{h_l}{h_{nl}}\right)_{ideal} = 0,45S_3 + 0,10 \cdot 1 - \exp(-30S_3) = \\ = 0,45 \times 0,25125 + 0,10 \cdot 1 - \exp(-30 \times 0,25125)$$

$$\left(1 - \frac{h_l}{h_{nl}}\right)_{ideal} = 0,21309$$

$$\left(1 - \frac{h_l}{h_{nl}}\right)_{trocador} = \left(1 - \frac{h_l}{h_{nl}}\right)_{ideal} \times S_4 = 0,21309 \times 1,23031 = 0,262067$$

$$\frac{h_l}{h_{nl}} = 1 - 0,262067 = 0,737933$$

$$h_l = h_o = 0,737933 h_{nl} = 0,737933 \times 251,66 = 185,71$$

$$h_o = 185,7 \text{ BTU/h } p\circ F$$

(c) Perda de carga do lado do casco.

. coeficiente de atrito: para arranjo triangular,
 $p_r = 1,25$ e $Re_s = 14.057,14 \Rightarrow f_x = 0,161$.

. constante empírica dada na Tabela 2.2 para ξ_{AP}
e regime turbulento; $\alpha_1 = 4,0$

. fator de correção para considerar o desvio entre o feixe de tubos e o casco; com $N_{ss} < \frac{N_r}{2}$:

$$\xi_{AP,t} = \exp \left[-\alpha_1 R_{bp} \left(1 - \sqrt[3]{\frac{2N_{ss}}{N_r}} \right) \right] = \exp \left[-4,0 \times 0,28 \left(1 - \sqrt[3]{\frac{2 \times 3}{15}} \right) \right]$$

$$\xi_{AP,t} = 0,744698$$

. temperatura externa da parede dos tubos:

$$T_e = T_s - U_0 \left(\frac{1}{h_0} + r d_o \right) (T_s - T_t) = 159,8 - 80,0 \left(\frac{1}{185,7} + 0,001 \right) (159,8 - 93,2)$$

$$T_e = 125,8^{\circ}\text{F}$$

: viscosidade do fluido do casco à temperatura externa da parede dos tubos: na tabela da Figura 14 do KERN^(4.5). As coordenadas são X=14,0, Y=10,5. Com $T_e = 125,8^{\circ}\text{F}$:

$$\mu_{T_c} = 0,46 \text{ cp} = 1,1132 \text{ lbm/h pé}$$

. fator de correção para considerar os efeitos do gradiente de viscosidade: $\phi_s = \left(\frac{\mu_s}{\mu_{T_e}} \right)^{0,14} = \left(\frac{0,9071}{1,1132} \right)^{0,14} = 0,9717$

$$\phi_s = 0,9717$$

. perda de carga no escoamento cruzado: da equação (2.56):

$$\Delta P_b = \frac{4f_x G_m^2 N_r}{2\rho_s \phi_s}$$

$$\Delta P_b = \frac{4 \times 0,161 \times (204,019,69)^2 \times 15}{2 \times 46,8537 \times 0,972 \times 32,1739 \times 3600^2 \times 144}$$

$$\Delta P_b = 0,073521 \text{ lbf/pol}^2$$

$$\Delta P_{bp} = \xi_{\Delta P, t} \Delta P_b = 0,073521 \times 0,744698 = 0,054751 \text{ lbf/pol}^2$$

. velocidade máxima no fluxo cruzado: $V_m = \frac{G_m}{\rho_s}$

$$V_m = \frac{204,019,69}{46,8537 \times 3600} = 1,209557 \text{ pé/s}$$

. velocidade na janela: $V_j = \frac{W_s}{S_j \rho_s} = \frac{110,687,82}{0,378137 \times 46,8537 \times 3600}$

$$V_j = 1,735419 \text{ pé/s}$$

. velocidade média geométrica: $V_z = \sqrt{V_m V_j} \rightarrow$

$$V_z = \sqrt{1,209557 \times 1,735419} = 1,448823 \text{ pé/s}$$

. perda de carga na janela: como o escoamento é turbulento: $\Delta P_j = (2+0,6 N_j) \frac{\rho_s V_z^2}{2} = (2+0,6 \times 6) \frac{46,8537 \times 1,448823^2}{2 \times 32,1739 \times 144}$

$$\Delta P_j = 0,059438 \text{ lbf/pol}^2$$

. perda de carga do lado do casco:

$$(1 - \frac{\Delta P_\ell}{\Delta P_{n_\ell}})_{ideal} = 0,57 S_3 + 0,27 [1 - \exp(-20 S_3)]$$

$$(1 - \frac{\Delta P_\ell}{\Delta P_{n_\ell}})_{ideal} = 0,57 \times 0,25125 + 0,27 [1 - \exp(-20 \times 0,25125)] \\ = 0,411438 < 0,7 \text{ então } (1 - \frac{\Delta P_\ell}{\Delta P_{n_\ell}})_{ideal} = 0,411438$$

$$(1 - \frac{\Delta P_\ell}{\Delta P_{n_\ell}})_{trocador} = 0,411438 \times S_4 = 0,411438 \times 1,23031 = 0,506196$$

$$\frac{\Delta P_\ell}{\Delta P_{n_\ell}} = 1 - 0,506196 = 0,493804$$

$$\Delta P_s = 2 \Delta P_{bp} \left(1 + \frac{N_j}{N_r}\right) + \left[(N_{chi}-1) \Delta P_{bp} + N_{chi} \Delta P_j \right] \left(\frac{\Delta P_\ell}{\Delta P_{n_\ell}}\right) \\ = 2 \times 0,054751 \left(1 + \frac{6}{15}\right) + \left[(16-1) 0,054751 + 16 \times 0,059438 \right] \times 0,493804$$

$$\Delta P_s = 1,0284 \text{ lbf/pol}^2$$

. perda de carga nos bocais do casco:

$$V_{bs1} = V_{bs2} = \frac{W_s}{\frac{\pi}{4} D_{bs2}^2 \rho_s} = \frac{110,687,82 \times 4 \times 144}{46,8537 \times 7^2 \times \pi \times 3600} = 2,45544 \text{ pé/s}$$

$$\Delta P_{bocal1} = \Delta P_{bocal2} = \rho_s g Z$$

$$\text{Na Figura 4.9, com } \frac{\mu_s (cp)}{\rho_s D_{bs1}} = \frac{0,9071}{2,42 \times 46,8537 \times 7} = 0,001143 :$$

$$Z = 0,186 \text{ pé}$$

$$\Delta P_{bocal1} = \frac{46,8537 \times 0,186 \times 32,1739}{32,1739 \times 144} = 0,060519 \text{ lbf/pol}^2$$

. perda de carga total do lado do casco:

$$\Delta P_{ST} = \Delta P_S + \Delta P_{bocal\ 1} + \Delta P_{bocal\ 2} = 1,0284 + 0,060519 + 0,060519$$

$$\Delta P_{ST} = 1,149 \text{ lbf/pol}^2$$

(d) coeficiente global de troca de calor: da equação (4.24).

$$U = \frac{1}{\frac{0,75 \times 1}{0,584 \times 1027,58} + \frac{0,75}{12 \times 2 \times 25} \ln\left(\frac{0,75}{0,584}\right) + \frac{1}{185,7} + 0,002 \times \frac{0,75}{0,584} + 0,001}$$

$$U = \frac{1}{0,010516} = 95,1 \text{ BTU/h pé}^2{}^{\circ}\text{F}$$

(e) área de troca de calor: da equação (4.25)

$$A = \frac{Q}{U\Delta T} = \frac{6.837.850,77}{95,1 \times 40,87} = 1759,28 \text{ pé}^2$$

A área estimada foi: $A'_o = 1953,94 \text{ pé}^2$

$$\text{porcentagem: } 1 - \frac{1759,28}{1953,94} = 0,051$$

A área calculada está a 5% da área estimada e é razoável, mas como a perda de carga do lado do casco resultou um pouco baixa, pode-se continuar os cálculos com o mesmo coeficiente global inicial (80 BTU/h pé²[°]F) e com um menor espaçamento (ℓ_3) entre chicanas.

O programa de dimensionamento repete os cálculos, variando os valores dos espaçamentos e fazendo os testes entre as perdas de carga admissíveis e as perdas de carga calculadas, bem como entre a área calculada e a área estimada.

Analisando-se as tentativas na Tabela 4.15 (pág. 209), verifica-se que os melhores resultados da perda de carga no casco, dentro da faixa de 10% de diferença entre as áreas estimada e calculada, correspondem a um espaçamento entre chicanas $\ell_3 = 5,50 \text{ pol.}$ O valor do coeficiente global de troca de calor estimado que dá a menor diferença entre as áreas calculada e estimada, correspondente à melhor perda de carga nos tubos e no casco é 124,0 BTU/h pé²[°]F.

O valor do diâmetro interno do casco correspondente é 21,0 pol.

Fazendo o cálculo para esses valores tem-se o trocador dimensionado. Descreve-se a seguir as etapas correspondentes a esta melhor tentativa.

2 - Definições preliminares e características do trocador.

(k) Área de troca de calor

$$U_0 = 124,0 \text{ BTU/h pé}^2 \text{°F}$$

$$A_0 = \frac{Q}{U_0 \Delta T} = \frac{6.837.850,77}{124,0 \times 40,87} = 1349,25 \text{ pé}^2$$

$$(l) \text{ Área de troca de calor por casco: } A_{ts} = 1349,25 \text{ pé}^2$$

(m) Número total de tubos no trocador e número de tubos por trajeto:

$$\cdot N_t = \frac{A_{ts}}{\pi D_2 L_1} = \frac{1349,25 \times 12}{\pi \times 0,75 \times 19,66} = 349,40 \rightarrow N_t = 349$$

Para o arranjo $\rightarrow \triangleright$, $p=15/16$ pol, $d_2=3/4$ pol e $n=2$, na Tabela 4.10 o número de tubos mais próximo ao N_t calculado é 342, para o qual $d_1=21,0$ pol e $d_3=19,25$ pol $\rightarrow N_t=342$ tubos.

$$\cdot \text{ com } n=2: N_{tt} = \frac{342}{2} = 171 \text{ tubos}$$

$$\cdot \text{ Novo } A'_0: \text{ como } n_{cs}=1, A'_0=A_{ts}: A_{ts} = \frac{342 \times \pi \times 0,75 \times 19,66}{12}$$

$$\rightarrow A'_0 = 1320,65 \text{ pé}^2$$

(n) Número de tubos na fileira central do trocador:

$$\text{com } N_t = 342 < 2000 \text{ e arranjo } \rightarrow \triangleright, n_c = 1,29 \times 342^{1/2,11}$$

$$\rightarrow n_c = 20 \text{ tubos}$$

(q) Chicanas

. espaçamento: dado na tentativa anterior, $\ell_3=5,5$ pol.

. com $d_1 = 21,0$ pol e $P_{pbs} = 150$ psi, nas Figuras 4.7
e 4.8: $\ell_{31f} = 6,94$ pol
 $\ell_{32f} = 11,52$ pol

$$\ell_{31\min} = 7 + 6,94 = 13,94 \text{ pol, tomar } \ell_{31} = 18,94 \text{ pol}$$

$$\ell_{32\min} = 7 + 11,52 = 18,52 \text{ pol, tomar } \ell_{32} = 23,52 \text{ pol}$$

$$\text{número de chicanas: } N_{chi} = \frac{235,9999 - 19,05 - 23,52}{4,65} + 1 = 36,19 \\ \rightarrow N_{chi} = 36 \text{ chicanas}$$

Novos ℓ_{31} e ℓ_{32} :

$$\text{Soma}_1 = \ell_{31} + \ell_{32} = 42,46$$

$$\text{Soma}_2 = 235,9999 - 5,5(36-1) = 43,499$$

$$\frac{\text{soma}_2 - \text{soma}_1}{2} = 0,519995 = 0,52$$

$$\ell_{31} = 18,94 + 0,52 = 19,46 \text{ pol}$$

$$\ell_{32} = 23,52 + 0,52 = 24,04 \text{ pol}$$

corte das chicanas: na Tabela 4.11 com $\frac{d_1 = 21,0}{\ell_3 = 5,5} = 3,8181$

$$\text{interpolando: } c_{chi} = \frac{\ell}{d_1} = 0,16712$$

$$\ell_c = 0,16712 \times 21,0 \rightarrow \ell_c = 3,50952 \text{ pol}$$

diâmetro da chicana: Tabela 4.12 com $d_1 = 21,0$, classe R, $d_1 - d_{chi} = 0,15$ pol: $d_{chi} = 20,85$ pol.

diâmetro dos orifícios da chicana: $d_4 = 0,78125$ pol.

3 - Troca de calor e perda de carga para o lado dos tubos

(a) coeficiente de película

velocidade média do fluido nos tubos: com
 $S_{ti} = 0,00186017 \text{ pé}^2$

$$V_t = \frac{475,764,98}{62,2427x17lx0,00186017x3600} = 6,67502 \text{ pés/s}$$

. número de REYNOLDS: $Re_t = \frac{62,2427x6,67502x0,584x3600}{1,6933x12}$

$$Re_t = 42,987,4$$

. número de PRANDTL: $Prd_t = 5,0295$

. fator de COLBURN: com $Re_t = 42,987,4$

$$J_4 = \left\{ \frac{1}{42,987,4}^{9,36} + \frac{1}{\left[\frac{42,987,4^{1,6}}{7,831x10^{-14}} + \left(\frac{1,969x10^6}{42,987,4} \right)^3 \right]^{3/2}} \right\}^{1/12}$$

$$J_4 = 0,002723$$

. fator de COLBURN corrigido: da tentativa anterior

$$\phi_t = 0,975.$$

$$J = J_4 \frac{1}{\phi_t} = \frac{0,002723}{0,975} = 0,00279289$$

. coeficiente de película

$$h_i = J \left(\frac{C_t \rho_t V_t}{Prd_t^{2/3}} \right) = 0,00279289 \left(\frac{0,998x62,2427x6,67502x3600}{5,0295^{2/3}} \right)$$

$$= 1,420,18 \rightarrow h_i = 1420,18 \text{ BTU/h pé}^2 \text{ F}$$

(b) Perda de carga

. coeficiente de atrito isotérmico: com $Re_t = 42,987,4$
e $\epsilon = 0,000005 \text{ pé}$.

$$A_2 = \left[2,457 \ln \frac{1}{\left(\frac{7}{42,987,4} \right)^{0,9} + \frac{0,27x0,000005x12}{0,584}} \right]^{16}$$

$$A_2 = 3,189086x10^{-20}$$

$$B_2 = \left(\frac{37,500}{42,987,4} \right)^{16} = 0,11247$$

$$C = \left[\left(\frac{3}{42,937,4} \right)^{1/2} + \frac{1}{(3,189086 \times 10^{-6} \times 0,11247)^{3/2}} \right]^{1/12}$$

$$f = 0,002736$$

. temperatura interna da parede dos tubos: com
 $h_i = 1420,18 \text{ BTU/h pé}^2 \text{ F}$

$$T_i = 93,2 + 124,0 \left(\frac{1}{1420,18} + 0,002 \right) \frac{0,75}{0,584} (159,8 - 93,2) = 121,8795$$

$$T_i = 121,88 \text{ F}$$

. viscosidade do fluido dos tubos à temperatura T_i : na Figura 14 do KERN^(4.5), com X=10,2 e Y=13,0:

$$\mu_{T_i} = 0,58 \text{ cp} = 1,4036 \text{ lbm/h pé}$$

. coeficiente de atrito corrigido:

$$\frac{\mu_{T_i}}{\mu_t} = \frac{1,4036}{1,6933} = 0,8289 < 1 \text{ e escoamento turbulento:}$$

$$\text{na Tabela 4.13, } i=0,14 \rightarrow \phi_t = \left(\frac{\mu_{T_i}}{\mu_t} \right)^{0,14} = (0,8289)^{0,14} = 0,974$$

$$\phi_t = 0,974$$

$$f_t = f \phi_t = 0,002736 \times 0,974 = 0,002664$$

. perda de carga por atrito:

$$\Delta P_t = 8 \times 0,002664 \times \frac{19,666}{0,048666} \times \frac{62,2427 \times 6,67502^2 \times 2}{2 \times 32,1739 \times 144} = 5,1553$$

$$\Delta P_t = 5,1553 \text{ lbf/pol}^2$$

. perda de carga nos bocais dos tubos:

$$\Delta P_{bocais} = 0,1832 \text{ lbf/pol}^2$$

. perda de carga devido à contração, expansão e re-

torno no cabeçote: $\Delta P_{ecr} = \frac{1,6 \times 2 \times 62,2427 \times 6,67502^2}{2 \times 32,1739 \times 144} = 0,95774 \text{ lbf/pol}^2$

. perda de carga total do lado dos tubos: com $f_d = 1,41$

$$\Delta P_{tT} = (5,1553 + 0,1832 + 0,9577) \times 1,41 = 8,877698$$

$$\Delta P_{tT} = 8,88 \text{ lbf/pol}^2$$

4 - Troca de calor e perda de carga para o lado do casco (BELL)

(a) Características geométricas

$$\cdot p_p = 0,811875 \text{ pol}$$

$$\cdot N_r = \frac{d_1 - 2\ell_c}{p_p} = \frac{21,0 - 2 \times 3,50952}{0,811875} = 17,22$$

$$N_r = 17$$

$$\cdot N_j = \frac{0,8\ell_c}{p_p} = \frac{0,8 \times 3,71256}{0,811875} = 3,458 \rightarrow N_j = 3$$

$$\cdot \theta = 2\cos^{-1}\left(1 - \frac{2\ell_c}{d_1}\right) = 2\cos^{-1}\left(1 - \frac{2 \times 3,50952}{21,0}\right) = 96,52^\circ = 1,68456 \text{ rad}$$

$$\cdot A_j = \frac{1}{2}r_1^2(\theta - \sin\theta) = \frac{1}{2}\left(\frac{21,0}{2}\right)^2 \left[1,68456 - \sin(96,52)\right] = 38,09$$

$$A_j = 38,09 \text{ pol}^2$$

$$\cdot A_T = \frac{\pi d_1^2}{4} = \frac{\pi \times 21,0^2}{4} = 346,36 \text{ pol}^2$$

$$\cdot r = \frac{2A_j}{A_T} = \frac{2 \times 38,09}{346,36} = 0,219944 = 0,22$$

$$\cdot r_5 = \frac{38,09}{346,36} = 0,11$$

$$\cdot N_{tchi} = N_t(1 - r_5) = 342(1 - 0,11) = 304,38 \rightarrow N_{tchi} = 304 \text{ tubos}$$

$$\cdot N_{esp1} = 1$$

$$\cdot N_{tj} = N_t - N_{tchi} = 342 - 304 = 38 \text{ tubos}$$

$$\cdot N_{tj1} = N_{tj} + N_{espj} = 38 + 1 = 39 \text{ tubos}$$

$$\cdot N_{r1} = (N_{chi} + 1)N_r + (N_{chi} + 2)N_j = (36+1)17 + (36+2)3 = 743$$

$$\cdot S_m = (d_1 - n_c d_2) \ell_3 = (21,0 - 20 \times 0,75) \times 5,5 = 33,0$$

$$S_m = 33,0 \text{ pol}^2 = 0,22916 \text{ pc}^2$$

$$\cdot \delta_{bp} = d_1 - (n_c - 1)p - d_2 = 21,0 - (20-1) \times 0,9375 - 0,75$$

$$\cdot \delta_{bp} = 2,4375 \text{ pol}$$

$$\cdot S_{bp} = \delta_{bp} \times \ell_3 = 2,4375 \times 5,5 = 13,40625 \text{ pol}^2$$

$$\cdot F_{bp} = \frac{S_{bp}}{S_m} = \frac{13,40625}{33,0} = 0,40625$$

$$\cdot S_{tb} = \frac{N_{tchi}\pi}{576} (d_4^2 - d_2^2) = \frac{304\pi}{576} = (0,78125^2 - 0,75^2) = 0,07934 \text{ pc}^2$$

$$\cdot S_{sb} = \frac{\pi}{576} \left(\frac{360-0}{360} \right) (d_1^2 - d_{chi}^2) = \frac{\pi}{576} \left(\frac{360-96,52}{360} \right) (21,0^2 - 20,85^2)$$

$$S_{sb} = 0,025059 \text{ pc}^2$$

$$\cdot S_\ell = S_{tb} + S_{sb} = 0,07934 + 0,025059 = 0,104399 \rightarrow S_\ell = 0,104399 \text{ pc}^2$$

$$\cdot S_3 = \frac{S_\ell}{S_m} = \frac{0,104399}{0,22916} = 0,45555927$$

$$\cdot S_4 = \frac{S_{tb} + 2S_{sb}}{S_\ell} = \frac{0,07934 + 2 \times 0,025059}{0,104399} = 1,240031$$

$$\cdot S_j = \frac{\pi}{144} \left(\frac{d_1}{2} \right)^2 \left(\frac{\theta}{360} \right) - \left(\frac{d_1}{2} \right)^2 \left(\frac{\sin \theta}{2 \times 144} \right) \sim \left(\frac{\pi d_2^2 N_{tj1}}{4 \times 144} \right),$$

$$S_j = \frac{\pi}{144} \left(\frac{21,0}{2} \right)^2 \left(\frac{96,52}{360} \right) - \left(\frac{21,0}{2} \right)^2 \left[\frac{\sin(96,52)}{2 \times 144} \right] - \left(\frac{\pi \times 0,75^2 \times 39}{4 \times 144} \right)$$

$$S_j = 0,14489 \text{ pc}^2$$

$$A_{ex} = S_m - S_{sb} = 0,22916 - 0,025059 = 0,204108 \text{ pc}^2$$

. $d_1 - d_3 = 21,0 - 19,25 = 1,75 > 1,5$ pol: há necessidade de tiras selantes.

$$\therefore N_{SS} = \frac{N_r}{6} = \frac{17}{6} = 2,833 \rightarrow N_{SS} = 3 \text{ pares}$$

$$\therefore \phi_B = 1 - r + 0,524r^{\frac{n+1}{n}} \left(\frac{S_{\text{m}}}{S_j} \right)^{\frac{n+1}{n}} = 1 - 0,22 + 0,524 \times 0,22^{\frac{3}{2}} \times \left(\frac{0,22916}{0,14489} \right)^{\frac{3}{2}}$$

$$\phi_B = 1,10725$$

(b) Coeficiente da película

$$\therefore G_m = \frac{W_s}{S_m} = \frac{110.687,82}{0,22916} = 483.001,4 \text{ lbm/h pe}^2$$

$$\therefore Re_s = \frac{D_2 G_m}{\mu_s} = \frac{0,75 \times 483.001,4}{12 \times 0,9071} = 33.279,25$$

$$\therefore j_b = 0,0066$$

$$\therefore \alpha_1 = 1,35$$

$$\therefore \frac{N_r}{2} = \frac{17}{2} = 8,5; N_{SS} = 3 \rightarrow N_{SS} < \frac{N_r}{2} \text{ então:}$$

$$\xi_{h,t} = \exp \left[-\alpha_1 F_{bp} \left(1 - \sqrt[3]{\frac{2N_{SS}}{N_r}} \right) \right]$$

$$\xi_{h,t} = \exp \left[-1,35 \times 0,40625 \left(1 - \sqrt[3]{\frac{2 \times 3}{17}} \right) \right] = 0,851413$$

$$\therefore x_t = \frac{(h_m/h_\infty)_{\text{ideal}}}{(h_m/h_\infty)_{\text{trocador}}}$$

com $N_r = 17$, na Tabela 2.1, $(h_m/h_\infty)_{\text{ideal}} = 0,956$

com $N_{r1} = 743$; $(h_m/h_\infty)_{\text{trocador}} = 1$

$$x_t = \frac{0,956}{1} = 0,956$$

$$\cdot h_{nl} = \frac{j_s \phi \xi_h t_s C_m}{x_t} \left(\frac{K_s}{C_s \mu_s} \right)^{2/3} \left(\frac{\mu_s}{\mu_{Te}} \right)^{0,14}$$

da tentativa anterior: $\phi_s = \left(\frac{\mu_s}{\mu_{Te}} \right)^{0,14} = 0,968$

$$h_{nl} = \frac{0,0066 \times 1,10725 \times 0,851413 \times 0,52 \times 483.001,4}{0,956} \times \left(\frac{0,0699}{0,52 \times 0,9071} \right)^{2/3} \times 0,968$$

$$h_{nl} = 443,1 \text{ BTU/h pe}^{20}\text{F}$$

$$\cdot \left(1 - \frac{h_\ell}{h_{nl}} \right)_{ideal} = 0,45 S_3 + 0,10 \left[1 - \exp(-30S_3) \right] = \\ = 0,45 \times 0,45555927 + 0,10 \left[1 - \exp(-30 \times 0,45555927) \right] = 0,305$$

$$\cdot \left(1 - \frac{h_\ell}{h_{nl}} \right)_{trocador} = \left(1 - \frac{h_\ell}{h_{nl}} \right)_{ideal} \times S_4 = 0,305 \times 1,240031$$

$$\left(1 - \frac{h_\ell}{h_{nl}} \right)_{trocador} = 0,378209 \rightarrow \frac{h_\ell}{h_{nl}} = 1 - 0,378209 = 0,62179$$

$$h_\ell = h_{nl} \times 0,62179 = 443,1 \times 0,62179 = 275,52$$

$$h_o = h_\ell = 276,0 \text{ BTU/h pe}^{20}\text{F}$$

(c) Perda de carga

$$\cdot Re_s = 33.279,23 \rightarrow f_x = 0,142$$

$$\cdot \alpha_1 = 4,0$$

$$\cdot \xi_{\Delta P, t} = \exp \left[-4,0 \times 0,40625 \left(1 - \sqrt[3]{\frac{2 \times 3}{17}} \right) \right] = 0,620881$$

$$\cdot T_e = 159,8 - 124,0 \left(\frac{1}{276,0} + 0,001 \right) (159,8 - 93,2) = 121,57^0\text{F}$$

$$\cdot \text{com } T_e = 122^0\text{F} \rightarrow \mu_{Te} = 0,47 \text{ cp} = 1,1374 \text{ lbm/h pe}$$

$$\text{. novo } \psi_S = \frac{\rho_S}{\rho_{\text{air}}^{\text{ideal}}} = \frac{0,9071}{1,1574} = 0,968$$

$$\cdot \Delta P_{\text{bp}} = \Delta P_{\text{b}} \cdot \rho_{\text{air}, t} = \frac{4F_x G_m N_r}{2 \rho_S \psi_S} \times \rho_{\text{air}, t}$$

$$\Delta P_{\text{bp}} = \frac{4 \times 0,142 \times (485,001,4)^2 \times 17 \times 0,620881}{2 \times 46,8537 \times 0,968 \times 32,1739 \times 3600^2 \times 144} = 0,25679228$$

$$\Delta P_{\text{bp}} = 0,2568 \text{ lbf/pol}^2$$

$$\cdot V_m = \frac{G_m}{\rho_s} = \frac{485,001,4}{46,8537 \times 3600} = 2,86555 \text{ pés/s}$$

$$\cdot V_j = \frac{N_s}{S_j \rho_s} = \frac{110,687,82}{0,14489 \times 46,8537 \times 3600} = 4,52915 \text{ pés/s}$$

$$\cdot V_z = \sqrt{V_m V_j} = \sqrt{2,86555 \times 4,52915} = 3,6015 \text{ pés/s}$$

$$\cdot \Delta P_j = (2+0,6N_j) \frac{\rho_s V_z^2}{2} = (2+0,6 \times 5) \times \frac{46,8537 \times 3,6015^2}{2 \times 32,1739 \times 144} = 0,2492 \text{ lbf/pol}^2$$

$$\cdot \left(1 - \frac{\Delta P_g}{\Delta P_{n\ell}}\right)_{\text{ideal}} = 0,57 S_3 + 0,27 \left[1 - \exp(-20 S_3)\right] =$$

$$= 0,57 \times 0,45555927 + 0,27 \left[1 - \exp(-20 \times 0,45555927)\right] = 0,5296$$

$$\cdot \left(1 - \frac{\Delta P_g}{\Delta P_{n\ell}}\right)_{\text{trocador}} = \left(1 - \frac{\Delta P_g}{\Delta P_{n\ell}}\right)_{\text{ideal}} \times S_4 = 0,5296 \times 1,240031 = 0,65672$$

$$\left(1 - \frac{\Delta P_g}{\Delta P_{n\ell}}\right)_{\text{trocador}} = 0,65672 \times \frac{\Delta P_g}{\Delta P_{n\ell}} = 1 - 0,65672 = 0,34328$$

$$\cdot \Delta P_s = 2 \Delta P_{\text{bp}} \left(1 + \frac{N_j}{N_r}\right) + \left[(N_{\text{chi}} - 1) \Delta P_{\text{bp}} + N_{\text{chi}} \Delta P_j \right] \left(\frac{\Delta P_g}{\Delta P_{n\ell}}\right)$$

$$\Delta P_s = 2 \times 0,2568 \left(1 + \frac{3}{17}\right) + \left[(50 - 1) \times 0,2568 + 36 \times 0,2492 \right] \times 0,34328$$

$$\Delta P_s = 6,7693 \text{ lbf/pol}^2$$

• $\Delta P_{\text{bocal } 1} = \Delta P_{\text{bocal } 2} = \rho_s g Z = 0,058567 \text{ lbf/pol}^2$

$$\text{com } \frac{\rho_s (Z)}{\rho_s D_{bs1}} = 0,001143 \rightarrow Z = 0,18 \text{ pé}$$

• $\Delta P_{ST} = \Delta P_s + \Delta P_{\text{bocal } 1} + \Delta P_{\text{bocal } 2} = 6,7093 + 2 \times 0,58567 = 6,8864$

$$\Delta P_{ST} = 6,886 \text{ lbf/pol}^2$$

• Coeficiente global de troca de calor:

$$U = \frac{1}{\frac{0,75}{0,584} \times \frac{1}{1.420,18} + \frac{0,75}{12 \times 2 \times 25,0} \ln\left(\frac{0,75}{0,584}\right) + \frac{1}{276,0} + 0,002 \times \frac{0,75}{0,584} + 0,001}$$

$$U = \frac{1}{0,0084} = 119,05 \rightarrow U = 119,0 \text{ BTU/h pé}^2 F$$

• Área de troca de calor: $A = \frac{Q}{UAT} = \frac{6.837.850,77}{119,0 \times 40,87}$

$$A = 1405,94 \text{ pé}^2$$

• Área estimada $\rightarrow A_0' = 1.520,65 \text{ pé}^2$

• Área calculada $\rightarrow A = 1.405,94 \text{ pé}^2$

Porcentagem

$$1 - \frac{A}{A_0'} = 0,0600 \rightarrow \text{Área calculada está a } 6,00\% \text{ da área estimada}$$

área estimada e o trocador encontra-se dimensionado, com os parâmetros seguintes:

diâmetro interno do casco: $d_1 = 21,0 \text{ pol}$

diâmetro externo dos tubos: $d_2 = 0,75 \text{ pol} = 3/4 \text{ pol}$

diâmetro interno dos tubos: $d_1 = 0,584 \text{ pol}$

diâmetro do feixe de tubos: $d_3 = 19,25 \text{ pol}$

diâmetro das chicanas: $d_{chi} = 30,85 \text{ pol}$

diâmetro dos orifícios das chicanas: $d_4 = 0,7812 \text{ pol}$

distância entre centros de tubos adjacentes:

$$p = 0,9375 \text{ pol} = 15/16 \text{ pol}$$

comprimento total dos tubos: $L = 20 \text{ pé}$

comprimento efetivo dos tubos: $L_1 = 19,66 \text{ pé}$

espaçamento entre chicanas: $\ell_3 = 5,5$ pol
 distância entre a chicana e o espelho de tubos da entra-
 da: $\ell_{31} = 19,46$ pol
 distância entre a chicana e o espelho de tubos da saída:
 $\ell_{32} = 24,04$ pol
 espessura da parede dos tubos (BWG=14): $e = 0,083$ pol
 espessura dos espelhos de tubos: $e_e = 2,0$ pol
 corte das chicanas: $c_{chi} = 16,71\%$
 número de trajatos de tubos: $n=2$
 número de cascos em série: $n_{cs} = 1$
 número total de tubos no trocador: $N_t = 342$ tubos
 número de chicanas: $N_{chi} = 36$ chicanas
 número de pares de tiras selantes: $N_{ss} = 3$
 diâmetro dos bocais do casco, entrada e saída:
 $D_{bs1} = D_{bs2} = 7$ pol
 diâmetro dos bocais dos tubos, entrada e saída:
 $D_{bt1} = D_{bt2} = 10$ pol
 número de tubos na janela da chicana: $N_{tj} = 38$ tubos
 número de tubos por chicana: $N_{tchi} = 304$ tubos
 número de tubos na fileira central do trocador:
 $n_c = 20$ tubos

5 - Discussão

O trocador do exemplo tem seus parâmetros dimensionados de maneira que a área de troca de calor seja suficiente para atender aos requisitos do processo, com o melhor aproveitamento possível das perdas de carga admissíveis do lado dos tubos e do casco. Na Tabela 4.15, são apresentados alguns parâmetros listados pelo computador durante a execução do programa de dimensionamento. Eles fornecem uma base para a análise das tentativas realizadas, sendo ACALC o valor da porcentagem entre as áreas estimada e calculada. I2 é o número que indica quantas tentativas foram realizadas com cada valor admitido do coeficiente global de troca de calor. No fim de cada tentativa são feitos testes entre as áreas estimada e calculada e entre as perdas de carga admissível e calculada. Neste ponto o programa altera ou não o valor do coeficiente global de troca de calor e/ou do espaçamento entre as chicanas. O número de

trajetos de tubos foi fixado na primeira tentativa como resultado dos testes entre as perdas de carga do lado dos tubos admissível e calculada. Estão mostrados os resultados consecutivos das tentativas realizadas, até a tentativa nº 73, que dá os melhores resultados para $U_0 = 118,5 \text{ BTU/h pé}^{2,0}\text{F}$. Para valores de U_0 iguais a 124,0, 129,5 e 135,0 BTU/h pé^{2,0}F só estão mostrados os resultados da melhor tentativa obtidas com cada um deles.

Como pode ser visto na referida tabela, pode ocorrer que valores diferentes do coeficiente global de troca de calor estimado inicialmente (U_0), levem a um mesmo trocador, isto é, a uma mesma área A'_0 . O processo de otimização encontra o espaçamento entre chicanas, para cada U_0 , que leva a uma menor diferença entre as áreas estimada e calculada e, simultaneamente, ao melhor aproveitamento das perdas de carga disponíveis.

O trocador escolhido é dado por:

$$U_0 = 124,0 \text{ BTU/h pé}^{2,0}\text{F},$$

$$d_1 = 21,0 \text{ pol},$$

$$\ell_5 = 5,5 \text{ pol},$$

$$n = 2.$$

A Tabela 4.16 mostra os parâmetros do trocador listados pelo computador no final do dimensionamento. A Figura 4.12 mostra a folha de dados, padrão da TEMA, preenchida com os parâmetros do trocador dimensionado.

TABELA 4.15 - PARÂMETROS LISTADOS PELO COMPUTADOR, PARA ANÁLISE DAS TENTATIVAS DO DIMENSIONAMENTO DA ÁREA DE TROCA DE CALOR

TENTATIVAS							
PARAMETROS	1 ^a	2 ^a	3 ^a	4 ^a	5 ^a	6 ^a	7 ^a
I ₂	0	1	0	1	0	1	0
U _o	80,0	80,0	85,5	85,5	91,0	91,0	96,5
l ₃	12,5	12,0	12,50	12,0	12,5	12,0	12,5
d ₁	25,0	25,0	25,0	25,0	25,0	25,0	23,25
ΔP _{tT}	4,53	4,53	4,525	4,525	4,525	4,525	6,223
A _o ¹	1953,94	1953,94	1953,94	1953,94	1953,94	1953,94	1621,85
A	1746,01	1745,96	1772,54	1747,58	1774,22	1749,00	1763,57
ΔP _{sT}	1,112	1,241	1,113	1,242	1,114	1,243	1,091
ACALC	0,106	0,106	0,093	0,106	0,092	0,105	0,08
TENTATIVAS							
PARAMETROS	8 ^a	9 ^a	10 ^a	11 ^a	12 ^a	13 ^a	14 ^a
I ₂	1	2	3	4	5	6	7
U _o	96,5	96,5	96,5	96,5	96,5	96,5	96,5
l ₃	12,0	11,5	11,0	10,5	10,0	9,5	9,0
d ₁	23,25	23,25	23,25	23,25	23,25	23,25	23,25
ΔP _{tT}	6,223	6,223	6,223	6,223	6,223	6,223	6,223
A _o ¹	1621,85	1621,85	1621,85	1621,85	1621,85	1621,85	1621,85
A	1736,11	1713,37	1684,90	1631,03	1605,57	1588,07	1565,68
ΔP _{sT}	1,22	1,323	1,486	1,70	1,90	2,161	2,418
ACALC	0,066	0,053	0,037	0,006	0,01	0,021	0,035
TENTATIVAS							
PARAMETROS	15 ^a	16 ^a	17 ^a	18 ^a	19 ^a	20 ^a	21 ^a
I ₂	8	9	10	11	12	13	14
U _o	96,5	96,5	96,5	96,5	96,5	96,5	96,5
l ₃	8,5	8,0	7,5	7,0	6,5	6,0	5,5
d ₁	23,25	23,25	23,25	23,25	23,25	23,25	23,25
ΔP _{tT}	6,223	6,223	6,223	6,223	6,223	6,223	6,223
A _o ¹	1621,85	1621,85	1621,85	1621,85	1621,85	1621,85	1621,85
A	1550,07	1530,16	1516,20	1500,15	1488,19	1476,60	1472,63
ΔP _{sT}	2,744	3,172	3,416	3,890	4,535	5,228	5,987
ACALC	0,044	0,057	0,065	0,075	0,082	0,09	0,092

TABELA 4.15 - PARÂMETROS LISTADOS PELO COMPUTADOR, PARA ANÁLISE DAS TENTATIVAS DO DIMENSIONAMENTO DA ÁREA DE TROCA DE CALOR - (continuação)

PARAMETROS	TENTATIVAS						
	22 ^a	23 ^a	24 ^a	25 ^a	26 ^a	27 ^a	28 ^a
I ₂	15	16	0	1	2	3	4
U _o	96,5	96,5	102,0	102,0	102,0	102,0	102,0
l ₃	5,0	4,65	11,625	11,125	10,625	10,125	9,625
d ₁	23,25	23,25	23,25	23,25	23,25	23,25	23,25
ΔP _{tT}	6,223	6,223	6,217	6,217	6,217	6,217	6,217
A _o	1621,85	1621,85	1621,85	1621,85	1621,85	1621,85	1621,85
A	1471,48	1472,28	1714,06	1693,24	1638,61	1612,81	1594,19
ΔP _{sT}	6,105	6,403	1,308	1,463	1,761	1,867	2,128
ACALC	0,093	0,092	0,054	0,042	0,010	0,006	0,017

TENTATIVAS

PARAMETROS	29 ^a	30 ^a	31 ^a	32 ^a	33 ^a	34 ^a	35 ^a
	29 ^a	30 ^a	31 ^a	32 ^a	33 ^a	34 ^a	35 ^a
I ₂	5	6	7	8	9	10	11
U _o	102,0	102,0	102,0	102,0	102,0	102,0	102,0
l ₃	9,125	8,625	8,125	7,625	7,125	6,625	6,125
d ₁	23,25	23,25	23,25	23,25	23,25	23,25	23,25
ΔP _{tT}	6,217	6,217	6,217	6,217	6,217	6,217	6,217
A _o	1621,85	1621,85	1621,85	1621,85	1621,85	1621,85	1621,85
A	1572,58	1555,52	1536,03	1520,97	1504,51	1488,61	1479,66
ΔP _{sT}	2,366	2,701	3,012	3,363	3,831	4,372	5,023
ACALC	0,030	0,041	0,053	0,062	0,072	0,082	0,088

TENTATIVAS

PARAMETROS	36 ^a	37 ^a	38 ^a	39 ^a	40 ^a	41 ^a	42 ^a
	36 ^a	37 ^a	38 ^a	39 ^a	40 ^a	41 ^a	42 ^a
I ₂	12	13	0	1	2	3	4
U _o	102,0	102,0	107,5	107,5	107,5	107,5	107,5
l ₃	5,625	5,125	11,625	11,125	10,625	10,125	9,625
d ₁	23,25	23,25	23,25	23,25	23,25	23,25	23,25
ΔP _{tT}	6,217	6,217	6,21	6,21	6,21	6,21	6,21
A _o	1621,85	1621,85	1621,85	1621,85	1621,85	1621,85	1621,85
A	1474,31	1471,42	1714,78	1700,29	1645,20	1614,26	1595,59
ΔP _{sT}	5,81	6,01	1,313	1,469	1,763	1,869	2,129
ACALC	0,091	0,093	0,054	0,046	0,014	0,005	0,016

TABELA 4.15 - PARÂMETROS LISTADOS PELO COMPUTADOR, PARA ANÁLISE DAS TENTATIVAS DO DIMENSIONAMENTO DA ÁREA DE TROCA DE CALOR -(continuação)

TENTATIVAS							
PARÂMETROS	43 ^a	44 ^a	45 ^a	46 ^a	47 ^a	48 ^a	49 ^a
I ₂	5	6	7	8	9	10	11
U ₀	107,5	107,5	107,5	107,5	107,5	107,5	107,5
l ₃	9,125	8,625	8,125	7,625	7,125	6,625	6,125
d ₁	23,25	23,25	23,25	23,25	23,25	23,25	23,25
ΔP _{tT}	6,21	6,21	6,21	6,21	6,21	6,21	6,21
A ₀	1621,85	1621,85	1621,85	1621,85	1621,85	1621,85	1621,85
A	1573,94	1556,85	1536,57	1522,22	1505,02	1489,79	1480,15
ΔP _{sT}	2,368	2,703	3,0142	3,366	3,834	4,375	5,027
ACALC	0,030	0,040	0,053	0,061	0,072	0,081	0,087
TENTATIVAS							
PARÂMETROS	50 ^a	51 ^a	52 ^a	53 ^a	54 ^a	55 ^a	56 ^a
I ₂	0	1	2	3	4	5	6
U ₀	113,0	113,0	113,0	113,0	113,0	113,0	113,0
l ₃	11,625	11,125	10,625	10,125	9,625	9,125	8,625
d ₁	23,25	23,25	23,25	23,25	23,25	23,25	23,25
ΔP _{tT}	6,205	6,205	6,205	6,205	6,205	6,205	6,205
A ₀	1621,85	1621,85	1621,85	1621,85	1621,85	1621,85	1621,85
A	1715,52	1700,11	1645,88	1620,65	1597,00	1574,53	1557,42
ΔP _{sT}	1,313	1,469	1,77	1,871	2,131	2,37	2,705
ACALC	0,055	0,046	0,015	0,001	0,015	0,029	0,040
TENTATIVAS							
PARÂMETROS	57 ^a	58 ^a	59 ^a	60 ^a	61 ^a	62 ^a	63 ^a
I ₂	7	8	9	10	11	12	0
U ₀	113,0	113,0	113,0	113,0	113,0	113,0	118,5
l ₃	8,125	7,625	7,125	6,625	6,125	5,625	10,5
d ₁	23,25	23,25	23,25	23,25	23,25	23,25	21,0
ΔP _{tT}	6,205	6,205	6,205	6,205	6,205	6,205	8,89
A ₀	1621,85	1621,85	1621,85	1621,85	1621,85	1621,85	1320,65
A	1537,86	1522,75	1506,24	1490,29	1481,31	1475,28	1633,39
ΔP _{sT}	3,017	3,368	3,837	4,378	5,03	5,818	1,637
ACALC	0,052	0,061	0,071	0,081	0,087	0,09	0,191

TABELA 4.15 - PARÂMETROS LISTADOS PELO COMPUTADOR, PARA ANÁLISE DAS TENTATIVAS DO DIMENSIONAMENTO DA ÁREA DE TROCA DE CALOR - (continuação).

PARAMETROS	TENTATIVAS						
	64 ^a	65 ^a	66 ^a	67 ^a	68 ^a	69 ^a	70 ^a
I ₂	1	2	3	4	5	6	7
U _o	118,50	118,50	118,50	118,50	118,50	118,50	118,50
l ₃	10,0	9,5	9,0	8,5	8,0	7,5	7,0
d ₁	21,0	21,0	21,0	21,0	21,0	21,0	21,0
ΔP _{tT}	8,89	8,89	8,89	8,89	8,89	8,89	8,89
A _o	1320,65	1320,65	1320,65	1320,65	1320,65	1320,65	1320,65
A	1622,40	1593,63	1572,63	1545,53	1485,11	1461,38	1444,75
ΔP _{sT}	1,878	2,111	2,434	2,745	3,275	3,691	4,382
ACALC	0,186	0,171	0,16	0,146	0,111	0,096	0,086
TENTATIVAS							
PARAMETROS	71 ^a	72 ^a	73 ^a	...	85 ^a	...	97 ^a
	8	9	10	...	10	...	10
I ₂	118,5	118,5	118,5	...	124,0	...	129,5
U _o	6,5	6,0	5,5	...	5,5	...	5,5
d ₁	21,0	21,0	21,0	...	21,0	...	21,0
ΔP _{tT}	8,89	8,89	8,89	...	8,883	...	8,876
A _o	1320,65	1320,65	1320,65	...	1320,65	...	1320,65
A	1424,02	1409,45	1392,67	...	1392,52	...	1394,20
ΔP _{sT}	5,094	5,945	6,806	...	6,811	...	6,815
ACALC	0,073	0,063	0,052	...	0,052	...	0,053
TENTATIVAS							
PARAMETROS	...	109 ^a
	...	10
I ₂	...	135,0
U _o	...	5,5
d ₁	...	21,0
ΔP _{tT}	...	8,869
A _o	...	1320,65
A	...	1394,66
ΔP _{sT}	...	6,82
ACALC	...	0,053

TABELA 4.16 - RESULTADOS DOS PARÂMETROS DO TROCADOR, DIMENSIONADOS NO COMPUTADOR.

TYPE: RESULT.1

PRICES=	RESERV	TEMPER	TIME	TIPOS
AMR	TRYANB	TRYAN	%	TUBORE
MATERS	ACDABR	ACDABR	%	ACDABR
FIDAL	0.0010	FIDAL	%	0.0020
DELPST	12.20	DELPST	%	9.40
PPS	102.54	PPS	%	68.36
PPBS	1567.00	PPBS	%	1160.00
R	0.8842850127	R	%	0.8854
HJ	1403.10	HJ	%	281.80
WS	110687.82	WS	%	275744.98
ROS	46.8937	ROS	%	0.5700
KS	0.0699	KS	%	0.9071
ROT	62.2822	ROT	%	0.9980
KT	0.73360	KT	%	1.6933
TS1	217.20	TS1	%	100.40
TT1	95.00	TT1	%	-
TS	159.80	TS	%	51.120
TPS	209.80	TPS	%	14.8120
AO	1326.65	AO	%	1396.00
UO	124.00	UO	%	120.00
D1FO	21.0000	D1FO	%	0.7500
D3FO	19.2800	D3FO	%	0.7812
D4FO	0.5840	D4FO	%	20.4000
FPO	0.9375	FPO	%	20.0000
L1PE	19.6667	L1PE	%	5.5000
L3I	19.4861	L3I	%	24.0139
LCFO	3.5000	LCFO	%	2.0000
E	0.0630	E	%	1.2500
D	0.1825	D	%	0.000005
N	2	N	%	1
NT	342	NT	%	36
NS	3	NS	%	14
DBSI	7	DBSI	%	7
DBT1	10	DBT1	%	10
NTJ	36	NTJ	%	304
NC	20	NC	%	0.16712
KPT	25.000	KPT	%	6.69
DELPST	6.81	DELPST	%	8.88

FOLHA DE DADOS - TROCADOR DE CALOR

OPERAÇÃO	Nº DO DOCUMENTO	REV.
----------	-----------------	------

CLIENTE:

FOLHA _____ DE _____

UNIDADE:

AUT. _____ DATA _____

LOCAL :

1	GERMICO RESFRIAMENTO DE GASOLINA	ITEM Nº	QNT.
2	DIMENSÃO	TÍPO BES	LIGADOS EM
3	SUPERF./ UNIDADE	CASCO / UNID.	SUPERFÍCIE / CASCO
CARACTERÍSTICAS DE UMA UNIDADE			
5		LADO DO CASCO	LADO DOS TUBOS
6	FLUIDO EM CIRCULAÇÃO	GASOLINA (QUENTE)	ÁGUA (FRIA)
7	QUANTIDADE TOTAL FLUIDO (kg/h) (lb/h)	50.208,0 / 110.687,82	215.607,0 / 475.764,94
8	VAPOR (kg/h) (lb/h)		
9	LÍQUIDO (kg/h) (lb/h)		
10	VAPOR D'ÁGUA (kg/h) (lb/h)	50.208,0 / 110.687,82	215.607,0 / 475.764,94
11	NÃO CONDENAVEL (kg/h) (lb/h)		
12	FLUIDO VAPORIZ. OU CONDENS. (kg/h) (lb/h)		
13	VAPOR CONDENADO (kg/h) (lb/h)	720,0 / 44,9496 - 781,0 / 48,75793	993,0 / 62,18023 - 993,0 / 62,0514
14	DENSIDADE DO LÍQUIDO (kg/m³(lb/pe³))	0,25 / 0,60415 - 0,50 / 1,2095	0,80 / 1,9352 - 0,60 / 1,2514
15	VISCOSIDADE ENT. E SAÍDA (cP) (106/cdps)		
16	PESO MOLECULAR DO VAPOR		
17	CALOR ESPECÍFICO DO FLUIDO (KCAL/KG°C(KJ/KG°F))	0,52 / 0,52	0,996 / 0,996
18	CALOR LATENTE (KCAL/KG) (KJ/KG)		
19	CONDUT. TÉRMICA (Kcal/hm²C)(Btu/hpē²F)	0,1 / 0,0672 - 0,108 / 0,0726	0,50 / 0,336
20	TEMP. ENTRADA (°C) (°F)	100,0 / 219,2	30,0 / 86,0
21	TEMP. SAÍDA (°C) (°F)	36,0 / 100,4	36,0 / 100,4
22	PRESSÃO DE OPERAÇÃO (kg/cm²(psi))	6,0 / 85,4518	4,0 / 56,9678
23	Nº DE PASSES POR CASCO		
24	VELOCIDADE DE CIRCULAÇÃO (m/kg) (ft/sec)		
25	QUEDA DE PRESSÃO (kgf/cm²(psi))	CALC. 6,81 psi PERM. 0,5 / 7,9	CALC. 6,23psi PERM. 6,74 / 7,9
26	FATOR INCUSTÁVEL (kgf/cm²(psi))	0,001 BTU / h pe²°F	0,002 BTU / h pe²°F
27	CALOR TÉRMICO (Kcal/h) (Btu/h)	6.857.850,77 BTU / h	MTC (CORRIGIDO) (C) E (F) 40,87°F
28	RENDIMENTO - SERVIÇO (%)		LIMPO
DETALHES DE CONSTRUÇÃO E MATERIAIS			
29	PRESSÃO DE PROJETO (kgf/cm²(psi))	102,54 psi	68,56 psi
30	PRESSÃO DE TESTE (kgf/cm²(psi))		
31	TEMP. DE PROJETO (°C) (°F)	209,8 °F	143,2 °F
32	TUBOS A. CAHIL. QUITIT 3142	D.E. 3/4 POL. DWG 14	CORR. 20 pe' PASSO > 15/16 POL
33	CASCO ACO CARBONO	D.E. 0.1-2.25 POL	ESPESS.
34	TAMPO DO CASCO		TAMPO DO CABECOTE FLUTUANTE
35	CARRETTEL		TAMPO DO CARRETTEL
36	ESPELHO FIXO		ESPELHO FLUTUANTE
37	CHICANAS TRANSVERSAIS	PASSO 5,5 POL TIPOSEG. SIMPLES	ESPESS.
38	CHICANAS LONGITUDINAIS	TIPO	ESPESS.
39	SUPORTES DOS TUBOS	ESPESS.	Nº TIRANTES
40	JUNTAS DE VEDAÇÃO	JUNTAS DE VEDAÇÃO SOBRESSALENTE	
41	CONEXÕES DO CASCO - ENTRADA 7 POL.	SAÍDA 7 POL TIPO	
42	CONEXÕES DO CARRETTEL-ENTRADA 10 POL.	SAÍDA 10 POL TIPO	
43	TOL. P/CORROSÃO: LADO DO CASCO 1/8 POL		LADO DOS TUBOS 1/8 POL
44	CÓDIGO: CLASSE R	ANEL DE TESTE	
45	PESOS: CASCO FEIXE TUBULAR		CHEIOS D'ÁGUA
46	FABRICANTE:		
47	DESENHO DE CONJUNTO		
OBSERVAÇÕES:			

FIGURA 4.12 - FOLHA DE DADOS COM O TROCADOR DIMENSIONADO.

REFERÊNCIAS BIBLIOGRÁFICAS

- 4.1 - GOLDSTEIN J.P., L. e GUMIEIRO, D. - "Projeto de Trocadores Casco e Tubo", Apostila do Curso de Informação sobre Trocadores de Calor, Instituto Brasileiro de Petróleo - Parte 1.
- 4.2 - STANDARDS OF TUBULAR EXCHANGER MANUFACTURERS ASSOCIATION - TEMA, Inc., 5th edition, 4th printing, New York (1974).
- 4.3 - SHAH, R.K. - "Classification of Heat Exchangers", do livro Heat Exchangers Thermal-Hydraulic Fundamentals and Design, editado por S. Kakaç, A.E. Bergles e F. Mayinger, McGraw-Hill Book Company, pp. 9-46, (1980).
- 4.4 - BELL, K.J. - "Construction Features of Shell and Tube Heat Exchangers", do livro Heat Exchangers Thermal-Hydraulic Fundamentals and Design, editado por S. Kakaç, A. E. Bergles e F. Mayinger, McGraw-Hill Book Company, pp. 537-558 (1980).
- 4.5 - KERN, D.Q. - "Process Heat Transfer", McGraw-Hill Book Co., New York (1950).
- 4.6 - SHAMES, I.H. - "Mecânica dos Fluidos - Análise de escoamentos", Editora Edgard Blücher Ltda., Capítulo 10, vol. 2, (1973).
- 4.7 - TELLES, P.C.S. - "Tubulações Industriais", Editora Livros Técnicos e Científicos, Rio de Janeiro (1974).
- 4.8 - KREITH, F. - "Princípios de Transmissão de Calor", Editora Edgard Blücher Ltda., Capítulo 12 (1977).
- 4.9 - BOWMANN, B.A., MUELLER, A.C. and NAGLE, W.M. - "Mean Temperature Difference in Design", Transactions of the ASME, May, pp. 283-294 (1940).

- 4.10 - BELL, K.J. - "Preliminary Design of Shell and Tube Heat Exchangers" - do livro Heat Exchangers Thermal-Hydraulic Fundamentals and Design, Editado por S. Kakaç, A. E. Bergles and F. Mayinger, McGraw-Hill Book Co., New York, pp. 559-579 (1980).
- 4.11 - BELL, K.J. - "Estimate S&T Exchanger Design Fast", Oil and Gas Journal, Dec. 4, vol. 76 nº 49 (1978).
- 4.12 - SCOVILL HEAT EXCHANGER TUBE MANUAL - Scovill Manufacturing Co., Connecticut, USA, 3rd edition, p. 69 (1957).
- 4.13 - MUELLER, A.C. - "Heat Exchangers", Handbook of Heat Transfer, editado por W.M. Rohsenow e J.P. Hartnett, Capítulo 18, McGraw-Hill Book Co., New York (1973).
- 4.14 - BELL, K.J. - "Delaware Method for Shell Side Design", do livro Heat Exchangers Thermal-Hydraulic Fundamentals and Design, editado por S. Kakaç, A. E. Bergles e F. Mayinger, McGraw-Hill Book Company, New York, pp. 581-618, (1980).
- 4.15 - TINKER, T. - "Shell Side Characteristics of Shell-and-Tube Heat Exchangers - A Simplified Rating System for Commercial Heat Exchangers", Transactions of the ASME, January, pp. 36-52 (1958).
- 4.16 - KAYS, W.M. and PERKINS, H.C. - "Forced Convection, Internal Flow in Ducts", Handbook of Heat Transfer, por W. M. Rohsenow e J.P. Hartnett, Capítulo 7, McGraw-Hill Book Co., New York (1973).
- 4.17 - PIERCE, B.L. - "Heat Transfer Colburn-Factor Equation Spans all Fluid-Flow Regimes", Chemical Engineering, December 17, pag. 113 (1979).
- 4.18 - CHURCHILL, S.W. - "Friction-Factor Equation Spans all Fluid Flow Regimes", Chemical Engineering, November 7, pp. 91-92 (1977).

4.19 - KAYS, W.M. - "Loss Coefficients for Abrupt Changes in Flow Cross Sections with Low Reynolds Number Flow in Single and Multiple-Tube Systems", Transactions of the ASME, vol. 72, pp. 1067-1074 (1950).

CAPÍTULO 5

CONCLUSOES

Os métodos de KERN, TINKER e BELL para o cálculo do coeficiente de película e da perda de carga do escoamento do lado do casco, para trocadores de calor casco e tubo sem mudança de fase, foram comparados entre si e em relação a dados experimentais. Como resultado da análise, pode-se dizer o seguinte:

O método de KERN é o mais simples de todos; ele não leva em conta o tipo de arranjos de tubos, cortes de janela diferentes de 25%, nem os desvios e vazamentos que ocorrem no trocador, e isto pode ser uma explicação do porque, da maior dispersão e imprecisão dos seus resultados, comparados com os outros dois métodos examinados. Como o método de KERN admite que o casco é preenchido totalmente pelo feixe de tubos, o que resulta em maiores velocidades para o escoamento cruzado no casco, pode-se verificar uma maior precisão de cálculo para os trocadores com menores folgas casco-feixe de tubos. É o caso, por exemplo, dos trocadores 7, 10 e 11, que têm menores folgas do que os trocadores 1, 2, 3, 6 e 12. Observa-se também que, o método de KERN oferece resultados mais precisos no regime turbulento do que nos regimes laminar e de transição. Os resultados do coeficiente de película são sempre subestimados e a perda de carga sempre superestimada.

Tanto quanto se pode constatar, é a primeira vez na literatura aberta que o método de KERN é comparado a valores experimentais.

O método de TINKER é o mais elaborado de todos, permitindo que se quantifique e se identifique o efeito das várias diferenças em que se divide o escoamento do lado do casco, havendo interação entre as mesmas, o que não ocorre nos demais métodos. Os resultados da perda de carga mostram uma tendência à superestimação em REYNOLDS baixos e à subestimação para REYNOLDS altos. Uma certa proximidade da estimativa correta ocorreu para REYNOLDS entre 300 e 10.000. Os coeficientes de película foram previstos muito melhores do que foram as perdas de carga, sendo os resultados mais agrupados do que os métodos de KERN e BELL nas faixas de

REYNOLDS entre 1 e 500; para REYNOLDS acima de 500, BELL se mostrou bem melhor.

O método de BELL, diferentemente do método de TINKER considera os fatores de correção independentes um do outro; mesmo assim ele apresentou em geral, um melhor agrupamento dos pontos de comparação dos valores calculados e experimentais, tanto para a troca de calor como para a perda de carga. Os trocadores 2, 3, 4, 6, 9 e 12, que possuem maiores folgas mas utilizam tiras se lantes, favorecem a uma melhor estimativa da troca de calor ao longo dos regimes de escoamento. Na faixa dos números de REYNOLDS entre 500 e 10.000, ele se mostra melhor agrupado em torno do valor 1,0, na troca de calor, do que o método de TINKER. Embora a perda de carga tenha mostrado vários pontos na região de subestimação, o método apresenta uma melhor estimativa à medida que o escoamento do lado do casco se aproxima do regime turbulento. Os trocadores acima também são os que obtiveram uma melhor estimativa para a perda de carga pelo método de BELL.

Os resultados deste trabalho são relativamente modestos do ponto de vista de dados experimentais apresentados porque, qualquer novo levantamento experimental é oneroso e complicado, não consistindo objetivo deste trabalho, e não há, como se pode constatar, outros dados disponíveis na literatura aberta. Mesmo assim, foram apresentados mais dados experimentais do que separadamente cada autor, isto é, BELL ou TINKER tiveram à disposição, visto que aqui foram reunidos os resultados de testes utilizados por ambos.

Num exame crítico das figuras que mostram a comparação dos valores calculados e experimentais, pelos métodos de KERN, TINKER e BELL, verifica-se que o resultado não é animador, levantando a dúvida quanto à validade de sua aplicação e quanto ao aparente sucesso dos trocadores que ao longo do tempo têm sido calculados por esses métodos, sendo o de KERN o mais popular de todos, devido à sua acessibilidade e simplicidade.

Quanto à validade da aplicação desses métodos pode-se argumentar que não há outros métodos disponíveis na literatura aberta. Qualquer novo desenvolvimento esbarra na complexidade do problema e na possível concorrência de métodos mais sofisticados disponíveis contra pagamento por parte de instituições particulares, como o HTRI nos Estados Unidos e o HTFS na Inglaterra. Tais métodos decorrem de aperfeiçoamentos introduzidos na metodo-

logia básica de TINKER e requerem computadores poderosos para sua aplicação. Os custos da implantação destes métodos são elevados, reduzindo o número de usuários que justifiquem sua aquisição. Pode-se concluir que há espaço para métodos mais simples, disponíveis na literatura aberta. Faltava, no entanto, compará-los entre si e estabelecer as margens de erro envolvidas.

Como explicar o aparente sucesso dos trocadores calculados usando os métodos em discussão, sabendo-se agora a taxa de erros envolvida:

A perda de carga é consistentemente superestimada por praticamente todos os métodos, principalmente pelo de KERN. As condições de processo, portanto, são sempre respeitadas, e a folga introduzida praticamente absorvida no sistema de tubulações de processo, onde outras folgas costumam ser consideradas.

A superestimação do coeficiente de película, que significa um subdimensionamento da superfície de troca térmica, ocorre apenas em determinadas situações, para determinados regimes de escoamento. O erro se torna importante apenas quando o coeficiente de película do lado do casco constitui a resistência térmica dominante. Mesmo assim, tem-se uma margem de segurança adicional, representada pelo fator de depósito ou incrustação, normalmente superestimado. Este fator, aliás, ainda constitui área em que muita pesquisa deve ser feita.

Os erros que poderiam levar ao subdimensionamento da superfície de troca térmica são, pois, contornados pelas margens de segurança mencionadas. O que pode ocorrer e deve ter ocorrido na maioria das vezes é o superdimensionamento dos trocadores, o que geralmente passa sem ser percebido. O maior mérito dos métodos mais recentes, desenvolvidos pelo HTRI e HTFS, é a sua maior precisão e confiabilidade, que resulta em trocadores mais compactos e, portanto, de menor investimento do que os provenientes dos métodos disponíveis na literatura aberta, que foram estudados neste trabalho.

O método de cálculo proposto permite a otimização da superfície de troca térmica, indicando a área mínima de troca de calor para um máximo aproveitamento das perdas de carga disponíveis.

ANEXO A

SEQUÊNCIAS DE CÁLCULO DO COEFICIENTE DE PELÍCULA E PERDA DE CARGA PARA O ESCOAMENTO NO CASCO

A.1 - SEQUÊNCIA DE CÁLCULO PARA A DETERMINAÇÃO DO COEFICIENTE DE PELÍCULA E DA PERDA DE CARGA PARA O ESCOAMENTO DO LADO DOS TUBOS E DO LADO DO CASCO, ATRAVÉS DO MÉTODO DE KERN.

(a) Troca de calor para o escoamento dentro dos tubos

$$\text{área da seção de escoamento nos tubos: } a_t' = \frac{a_t N_t}{144n} (\text{pé}^2) \quad (\text{A.1.a})$$

onde a_t' é encontrada na Tabela 4.4 em função do diâmetro externo do tubo (d_2) e do BWG do tubo.

$$\text{fluxo de massa: } G_t = \frac{w_t}{a_t} \quad (\text{lbm/hpe}^2) \quad (\text{A.1.b})$$

$$\text{velocidade do fluido nos tubos: } V_t = \frac{G_t}{3600 \rho_t} \quad (\text{pé/s}) \quad (\text{A.1.c})$$

$$\text{número de REYNOLDS: } Re_t = \frac{D_i G_t}{\mu_t} \quad (\text{A.1.d})$$

onde D_i é encontrado na Tabela 4.4, em função de d_2 e do BWG do tubo, e $D_i = \frac{d_i}{12}$ (pé).

μ_t é encontrado na Figura 14 do KERN^(2.1) na temperatura média do fluido do tubo (ou temperatura calórica calculada pelas equações (2.1), (2.2), (2.3), (2.4a) e (2.4b)) com as coordenadas x e y retiradas na tabela da figura.

fator de troca de calor (f_t): definido pela equação (2.9) e encontrado na Figura A.1.1^(2.1) com o valor do número de REYNOLDS e com o valor de (L_1/d_i) .

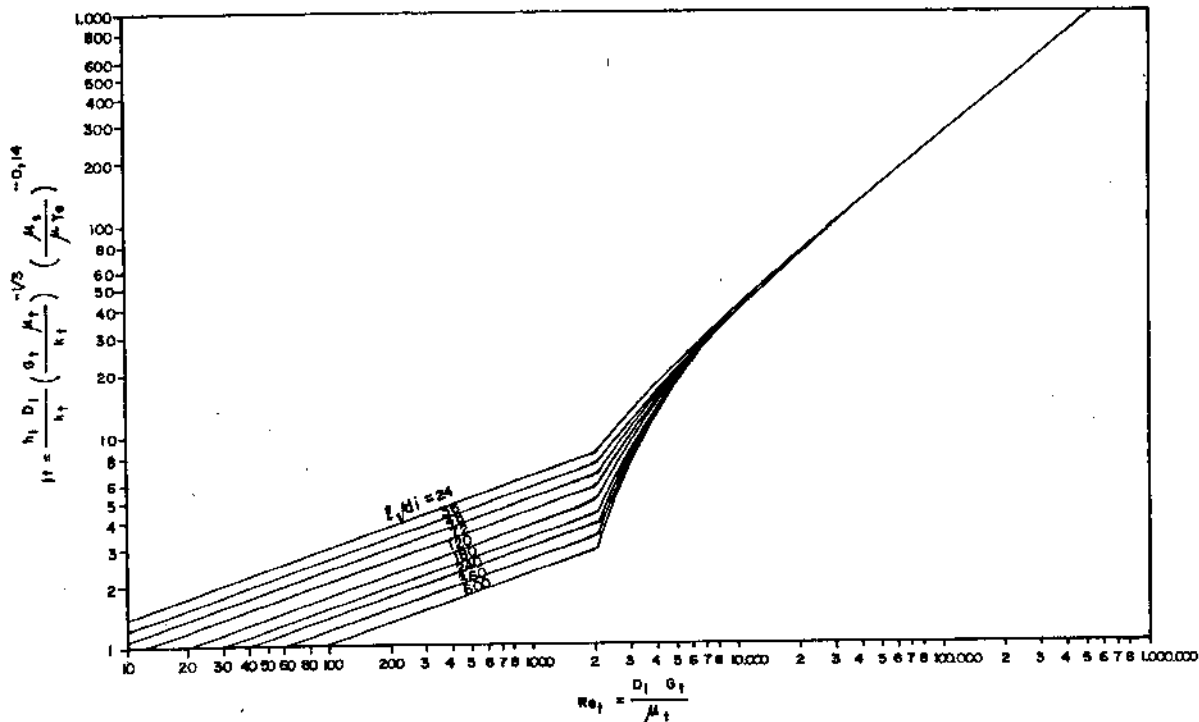


FIGURA A.1.1 - FATOR DE TROCA DE CALOR PARA O FLUIDO ESCOANDO NO INTERIOR DOS TUBOS^(2.1).

número de PRANDTL: $\text{Pr}_t = \frac{C_t \mu_t}{K_t}$ (A.1.e)

coeficiente de película para o lado dos tubos. Da definição do fator de troca de calor para os tubos, equação (2.9) vem:

$$h_i = j_t \frac{K_t}{D_i} \left(\frac{C_t \mu_t}{K_t} \right)^{1/3} \left(\frac{\mu_t}{\mu_{T_e}} \right)^{0,14} \text{ (BTU/h pé}^2\text{F}) \quad (\text{A.1.f})$$

(b) Troca de calor para o escoamento do lado do casco.

área da seção de escoamento equivalente no casco (a_s): equação (2.5).

fluxo de massa (G_S): equação (2.6).

número de REYNOLDS (Re_s): equação (2.11) onde D_e é calculado pelas equações (2.7) e (2.8), em pé e o μ_s é retirado da Figura

14 do KERN^(2.1) com a temperatura média do fluido do casco (ou temperatura calórica calculada pelas equações (2.1), (2.2), (2.3), (2.4a) e (2.4b)) com as coordenadas x e y retiradas na tabela da figura.

. fator de troca de calor (j_s): definido pela equação (2.10) e encontrado na Figura 2.1 em função do Re_s .

$$\text{. número de PRANDTL: } Pr_s = \frac{C_s \mu_s}{K_s} \quad (\text{A.1.g})$$

. coeficiente de película para o lado do casco (h_o). Da definição do fator de troca de calor para o casco, equação (2.10) vem:

$$h_o = j_s \frac{K_s}{D_e} \left(\frac{C_s \mu_s}{K_s} \right)^{1/3} \left(\frac{\mu_s}{\mu_{T_c}} \right)^{0,14} \text{ (BTU/h pé}^2\text{F)} \quad (\text{A.1.h})$$

(c) Temperatura da parede do tubo e correção para h_o e h_i .

. a temperatura da parede do tubo é calculada pelas equações (2.12a), (2.12b), (2.13a) e (2.13b), usando os valores não corrigidos de h_o e h_{io} , isto é, $\frac{h_o}{\phi_s}$ e $\frac{h_{io}}{\phi_t}$ pois ainda não se conhece a temperatura da parede.

$$\phi_t = \left(\frac{\mu_t}{\mu_{T_c}} \right)^{0,14} \quad (\text{A.1.i})$$

$$\phi_s = \left(\frac{\mu_s}{\mu_{T_c}} \right)^{0,14} \quad (\text{A.1.j})$$

. com a temperatura T_e , retira-se o valor de μ_{T_e} na Figura 14 do KERN^(2.1), usando as coordenadas x e y para o fluido dos tubos, retiradas na tabela da figura.

. com o valor de μ_{T_e} determina-se ϕ_t e ϕ_s .

. com os valores de ϕ_t e ϕ_s corrige-se h_o e h_i como indicado nas equações (2.14) e (2.15), sendo:

$$h_{io} = h_i \left(\frac{d_1}{d_2} \right) \quad (\text{A.1.k})$$

(d) Perda de carga para o escoamento do lado dos tubos.

- fator de atrito (f_t): encontrado na Figura A.1.2 em função do número de REYNOLDS Re_t .

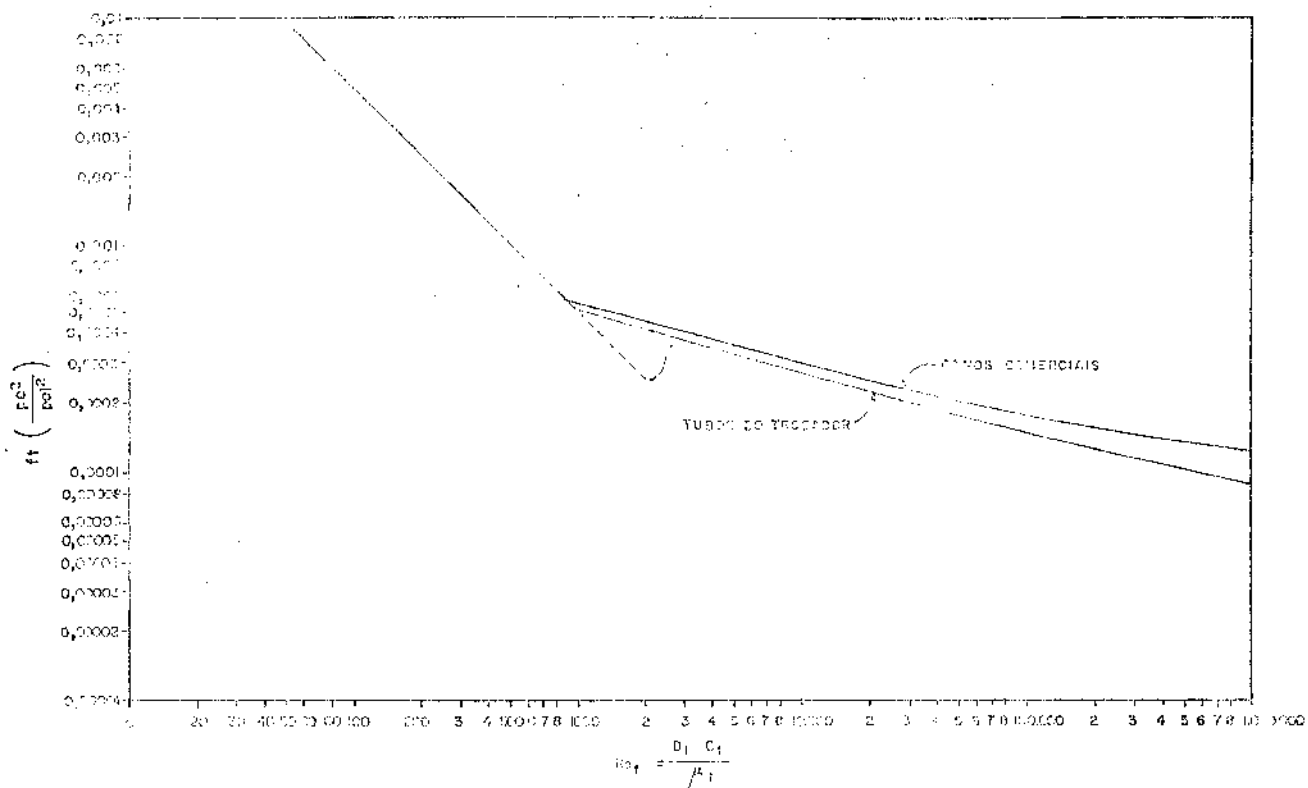


FIGURA A.1.2 - FATOR DE ATRITO PARA O FLUIDO DOS TUBOS^(2.1).

perda de carga: $\Delta P_t = \frac{f_t G_t^2 L_t n}{2 \rho_t D_t \phi_t (3600)^2} \left(\frac{\text{lbf}}{\text{pol}^2} \right)$ (A.1.e)

perda de carga no retorno dos tubos (ΔP_r):

definida por: $\Delta P_r = \frac{4n}{s} \frac{V_t^2}{2} \left(\frac{62,5}{144} \right) \left(\frac{\text{lbf}}{\text{pol}^2} \right)$ (A.1.m)

onde s é a densidade relativa do fluido do tubo, encontrada na Figura 6 do KERN^(2.1) para hidrocarbonetos e água, em função da temperatura.

Para densidades relativas iguais a 1,0, o termo $\frac{V_t^2}{2} \left(\frac{62,5}{144} \right)$ é encontrado na Figura 27 do KERN^(2.1) em função do fluxo de massa nos tubos (V_t).

perda de carga total para o enrugamento do lado dos tubos:

$$\Delta P_{\text{tot}} = \Delta P_t + \Delta P_r \quad \left(\frac{\text{lbf}}{\text{pol}^2} \right) \quad (\text{A.1.n})$$

(e) Perda de carga para o escoamento do lado do casco (ΔP_{ST})

- . fator de atrito para o escoamento do lado do casco (f_s): encontrado na Figura 2.3 em função do número de REYNOLDS (Re_s).
- . número de vezes que o feixe é cruzado (N_{cruza}): definido pela equação (2.16).
- . perda de carga para o lado do casco (ΔP_s): definida pela equação (2.17).

A.2 - SÉQUENCIA DE CÁLCULO PARA A DETERMINAÇÃO DO COEFICIENTE DE PELÍCULA E PERDA DE CARGA PARA O ESCOAMENTO DO LADO DO CASCO ATRAVÉS DO MÉTODO DE TINKER

A.2.1 - Sequência de Cálculo

(a) Características geométricas do trocador

- . constantes c_{14} , c_{15} e c_{16} : equações (2.25a), (2.25b) e (2.25c) respectivamente.

Caso sejam usadas tiras selantes, calcula-se e usa-se um novo c_{14} : equação (2.25e).

- . constante c_3 : equação (2.25d) onde c_3 é suposto ser igual ao corte da chicana.
- . constante para a área do escoamento cruzado (C_c): equações (2.29a), (2.29b) ou (2.29c), com $c_4 = 0,97$ na Tabela A.2.
- . área da seção do escoamento cruzado limitada pelo feixe de tubos (A_x): equação (2.33).
- . fração da seção transversal do casco não ocupada por tubos (α): equação (2.28).

- multiplicador de A_x , para obter a média geométrica de A_x , A_j (M_j): equações (2.26) e (2.27) com C definido no texto.
- multiplicador de A_x para o cálculo do número de REYNOLDS para a troca de calor (M): equações (2.28) e (2.29).
- correção para o coeficiente de película no lado do casco (E_s): equações (2.37) e (2.38).
- constante para os efeitos dos ângulos cruzados no escoamento cruzado (C_y): equações (2.50a), (2.51) e (2.50c).
- fator de perda de carga para a janela da chicana (γ): equações (2.55) e (2.56).
- número de espaços entre chicanas (N_{ec}): equação (2.49).

(b) Troca de calor para o escoamento do lado do casco

- parâmetro para o cálculo da troca de calor (N_h): equações (2.22), (2.23) e (2.24).
- fração da descarga do escoamento que atravessa a seção A_x , para cálculo do número de REYNOLDS para a troca de calor (F_h): equação (2.20).
- número de REYNOLDS para a troca de calor (Re_h): equação (2.32).
- fator de transferência de calor (β_c): Figuras 2.5, 2.6 e 2.7 em função do número de REYNOLDS e da razão p/d_2 .
- coeficiente de película para o escoamento entre as chicanas extremas (b_{ob}): equação (2.36).
- coeficiente de película para o lado do casco (b_o): equação (2.39).

(c) Perda de carga para o lado do casco.

- parâmetros para cálculo da perda de carga (N_p): equações (2.44), (2.45) e (2.46).
- fração da descarga do escoamento que atravessa a seção A_x , para o cálculo do número de REYNOLDS para a perda de carga (F_p):

equação (2.42).

- . número de REYNOLDS para a perda de carga (Re_p): equação (2.47).
- . fator de atrito do fluxo cruzado para a perda de carga (f_x): Figuras 2.3, 2.9 e 2.10 em função do número de REYNOLDS e da razão p/d_2 .
- . perda de carga para o lado do casco (ΔP_s): equação (2.54), multiplicada por 344 para obter o resultado em cm^2/m^2 .

A.2.2 - Dedução das expressões finais para os parâmetros de troca de calor N_h e de perda de carga N_p definidos no método de TINKER (2.5).

(a) Parâmetro N_h para o cálculo da troca de calor.

O parâmetro N_h foi definido no capítulo 2 pela equação (2.21):

$$N_h = \frac{Q_{CR}}{Q_{BR}} \left(\frac{p}{d_1} \right)^{1/2} + \frac{Q_{AR}}{Q_{BR}} \left(\frac{p}{d_1} \right)^{1/2} + \frac{Q_{ER}}{Q_{BR}} \left(\frac{p}{d_1} \right)^{1/2} \quad (\text{A.2.1.a})$$

onde Q_{AR} , Q_{ER} , Q_{CR} e Q_{BR} são as frações do escoamento segundo as correntes A, B, C, D e E (Figura 2.4) respectivamente, apresentadas na referência (2.5); elas são resumidas na Tabela A.1 para cada tipo de arranjo de tubos no trocador.

Para teste de aplicação das suposições feitas por TINKER, foram realizados experimentos em uma ampla faixa de trocadores comerciais. Essas suposições estão ilustradas na Tabela A.2 juntamente com os erros de aproximação correspondentes.

. N_h para o arranjo triangular de tubos. Substituindo na equação (A.2.1.a) as expressões de Q_{AR} , Q_{BR} , Q_{CR} e Q_{ER} para o arranjo triangular de tubos tem-se:

TABELA A.1 - QUANTIDADES RELATIVAS DAS CORRENTES DE FLUIDO NO TROCADOR PARA OS ARRANJOS DE TUBOS TRIANGULAR, QUADRADO E QUADRADO ROTACIONADO^(2.5).

CORRENTE	ARRANJOS DE TUBOS
TRIANGULAR	
Q_{AR}	$1,07 c_1 c_3 (1+x)^{-1/2} c_6^{-1/2} d_3^2 p^{-2} (d_4^2 - d_2^2)$
Q_{BR}	$0,95 c_4 (c_8 c_9)^{-1/2} l_3 d_3^{-1/2} p^{-1/2} (p-d_2)$
Q_{CR}	$0,95 (c_3 c_9 c_{10})^{-1/2} l_3 d_3^{-1/2} p^{1/2} (d_1 - d_3)^{3/2} (p-d_2)^{-1/2}$
Q_{ER}	$3,14 c_5 (1+x)^{1/2} c_{11}^{-1/2} d_1 (d_1 - d_{chi})$
QUADRADO	
Q_{AR}	$0,927 c_1 c_3 (1+x)^{1/2} c_6^{-1/2} d_3^2 p^{-2} (d_4^2 - d_2^2)$
Q_{BR}	$1,0 c_4 (c_7 c_9)^{-1/2} l_3 d_3^{-1/2} p^{-1/2} (p-d_2)$
Q_{CR}	$1,0 (c_7 c_9 c_{10})^{-1/2} l_3 d_3^{-1/2} p^{1/2} (d_1 - d_3)^{3/2} (p-d_2)^{-1/2}$
Q_{ER}	$3,14 c_5 (1+x)^{1/2} c_{11}^{-1/2} d_1 (d_1 - d_{chi})$
QUADRADO ROTACIONADO	
Q_{AR}	$0,927 c_1 c_3 (1+x)^{1/2} c_6^{-1/2} d_3^2 p^{-2} (d_4^2 - d_2^2)$
Q_{BR}	$1,18 c_4 (c_7 c_9)^{-1/2} l_3 d_3^{-1/2} p^{-1/2} (p-d_2)$
Q_{CR}	$0,84 (c_7 c_9 c_{10})^{-1/2} l_3 d_3^{-1/2} p^{1/2} (d_1 - d_3)^{3/2} (p-d_2)^{-1/2}$
Q_{ER}	$3,14 c_5 (1+x)^{1/2} c_{11}^{-1/2} d_1 (d_1 - d_{chi})$

onde os parâmetros $c_1, c_3, c_4, c_5, c_6, c_7, c_8, c_9, c_{10}, c_{11}, p, d_1, d_2, d_3, d_4, d_{chi}, l_3$ e $(1+x)$ estão definidos na nomenclatura dada.

TABELA A.2 - SUPOSIÇÕES QUANTO ÀS DIMENSÕES E FATORES DE RESISTÊNCIA PARA TROCADORES COMERCIAIS; COM OS CORRESPONDENTES ERROS DE APROXIMAÇÃO^(2.5)

DIMENSÕES	VALOR	ERRO (%)
Largura média do feixe de tubos entre as janelas das chicanas relativamente ao diâmetro do feixe: c_4	0,97	± 3
Fração aproximada dos tubos existentes relativa mente à contagem teórica admissível: c_1	0,94	± 4
Valor de M_j : baseado num p/d_2 de 1,25 a 1,50	-	± 7
FATORES DE RESISTÊNCIA		
Multiplicador do fator de atrito para alta velocidade de corrente C: c_{10}	0,667	± 18
Perda de altura dinâmica através dos orifícios tubo-chicana: c_6	4	± 50
Perda de altura dinâmica para o fluxo através de uma fileira de tubos: $c_7=c_8$	0,6	± 20
Perda de altura dinâmica no escoamento entre a chicana e o casco: c_{11}	3,0	± 50
Perda de altura dinâmica no escoamento através da janela da chicana: c_{12}	2,0	± 50
Expressão: $(1 - \frac{\ell c}{d_1})^{1/2} (1+x)^{1/2}$	0,95	± 10

onde:

$(1+x)$ = fator para a perda de carga relativa no escoamento cruzado pela janela da chicana.

M_j = multiplicador da área A_x para obter a média geométrica de A_x e A_j , sendo:

A_x = área da seção do escoamento cruzado limitado pelo feixe de tubos.

A_j = área para o escoamento na janela da chicana.

$$\begin{aligned}
 N_h = & \frac{p^{1/2} [0,93(c_8 c_9 c_{10})^{-1/2} \ell_3 d_3^{-1/2} p^{1/2} (d_1 - d_3)^{3/2} (p - d_2)^{-1/2}]}{d_1^{-1/2} [0,93 c_4 (c_8 c_9)^{-1/2} \ell_3 d_3^{-1/2} p^{-1/2} (p - d_2)]} + \\
 & + \frac{p^{1/2} [1,07 c_1 c_3 (1+x)^{1/2} c_6^{-1/2} d_3^2 p^{-2} (d_4^2 - d_2^2)]}{d_1^{-1/2} [0,93 c_4 (c_8 c_9)^{-1/2} \ell_3 d_3^{-1/2} p^{-1/2} (p - d_2)]} + \\
 & + \frac{p^{1/2} [3,14 c_5 (1+x)^{1/2} c_{11}^{-1/2} (d_1 - d_{\text{chi}})]}{d_1^{-1/2} [0,93 c_4 (c_8 c_9)^{-1/2} \ell_3 d_3^{-1/2} p^{-1/2} (p - d_2)]} \quad (\text{A.2.1.b})
 \end{aligned}$$

Das equações (2.25a), (2.25b) e (2.25c) tem-se respectivamente:

$$d_3 = \frac{d_1}{c_{14}} \quad ; \quad d_4 - d_2 = c_{15} d_2 \quad ; \quad d_1 - d_{\text{chi}} = c_{16} d_1$$

TINKER definiu também:

$$c_5 = c_9 = 1 - \frac{\ell_c}{d_1} \quad ; \quad d_4^2 - d_2^2 = 2d_2(d_4 - d_2)$$

$$\text{Mas } d_4 - d_2 = c_{15} d_2 \text{ então: } d_4^2 - d_2^2 = 2d_2(c_{15} d_2) = 2c_{15} d_2^2$$

Substituindo na equação (A.2.1.b) e desenvolvendo, tem-se:

$$\begin{aligned}
 N_h = & \frac{0,93 p^{1/2} c_8^{-1/2} c_9^{-1/2} c_{10}^{-1/2} \ell_3 \left(\frac{d_1}{c_{14}}\right)^{-1/2} p^{1/2} \left(d_1 - \frac{d_1}{c_{14}}\right)^{3/2} (p - d_2)^{-1/2}}{0,93 d_1^{-1/2} c_4 c_8^{-1/2} c_9^{-1/2} \ell_3 \left(\frac{d_1}{c_{14}}\right)^{1/2} p^{-1/2} (p - d_2)} + \\
 & + \frac{1,07 p^{1/2} c_1 c_3 (1+x)^{1/2} c_6^{-1/2} \left(\frac{d_1}{c_{14}}\right)^2 p^{-2} 2c_{15} d_2^2}{0,93 d_1^{-1/2} c_4 c_8^{-1/2} \left(1 - \frac{\ell_c}{d_1}\right)^{-1/2} \ell_3 \left(\frac{d_1}{c_{14}}\right)^{1/2} p^{-1/2} (p - d_2)} + \\
 & + \frac{3,14 p^{1/2} \left(1 - \frac{\ell_c}{d_1}\right) (1+x)^{1/2} c_{11}^{-1/2} d_1 c_{16} d_1}{0,93 d_1^{-1/2} c_4 c_3^{-1/2} \left(1 - \frac{\ell_c}{d_1}\right)^{-1/2} \ell_3 \left(\frac{d_1}{c_{14}}\right)^{1/2} p^{-1/2} (p - d_2)}
 \end{aligned}$$

Resolvendo:

$$\begin{aligned}
 N_h = & \frac{p^{1/2} p^{1/2} \left(\frac{d_1 c_{14} - d_1}{c_{14}} \right)^{3/2} p^{1/2}}{c_{10}^{1/2} \frac{d_1^{3/2}}{c_{14}^{1/2}} (p-d_2)^{1/2} d_1^{1/2} c_4 \frac{d_1^{1/2}}{c_{14}^{1/2}} (p-d_2)} + \\
 & + \frac{1,375 p^{1/2} c_1 c_3 (1+x)^{1/2} \frac{d_1^3}{c_{14}^2} 2 c_{15} d_2^{1/2} (1 - \frac{\ell_c}{d_1})^{1/2} p^{1/2}}{c_6^{1/2} p^2 d_1^{1/2} c_4^2 c_5 \frac{c_7^{1/2}}{c_{14}^{1/2}} (p-d_2)^2} + \\
 & + \frac{3,376 p^{1/2} (1 - \frac{\ell_c}{d_1}) (1+x)^{1/2} c_{16} c_7^{1/2} c_8^{1/2} (1 - \frac{\ell_c}{d_1})^{1/2} p^{1/2}}{c_{11}^{1/2} d_1^{1/2} c_4 \ell_3 \frac{d_1^{1/2}}{c_{14}^{1/2}} (p-d_2)}
 \end{aligned}$$

Ainda:

$$\begin{aligned}
 N_h = & \frac{p^{3/2} \frac{d_1^{3/2} (c_{14}-1)^{3/2}}{c_{14}^{3/2}} c_{14}^{1/2}}{c_4 c_{10}^{1/2} d_1^{1/2} d_1^{1/2} d_1^{1/2} (p-d_2)^{1/2}} + \\
 & + \frac{2,3 c_1 c_3 c_{15} c_8^{1/2} (1+x)^{1/2} (1 - \frac{\ell_c}{d_1})^{1/2} p d_2^2 d_1^2 c_{14}^{1/2}}{c_6^{1/2} c_4 c_{14}^2 d_1^{1/2} d_1^{1/2} \ell_3 p^2 (p-d_2)} + \\
 & + \frac{3,376 (1 - \frac{\ell_c}{d_1}) (1 - \frac{\ell_c}{d_1})^{1/2} (1+x)^{1/2} p c_{16} c_8^{1/2} d_2^2 c_{14}^{1/2}}{c_{11}^{1/2} d_1 c_4 \ell_3 (p-d_2)} \quad (\text{A.2.1.c})
 \end{aligned}$$

Tomando os valores de $c_1, c_4, c_6, c_7, c_8, c_{10}, c_{11}$ e de $(1+x)^{1/2}$ vezos $(1 - \frac{\ell_c}{d_1})^{1/2}$ dado na Tabela A.2 e substituindo na equação (A.2.1.c) obtém-se:

$$\begin{aligned}
 N_h = & \frac{d_1^{3/2} (c_{14}-1)^{3/2}}{c_{14}^{-1/2} c_{14}^{3/2} (0,97) (0,667)^{1/2} d_1^{3/2}} \left(\frac{p}{p-d_2} \right)^{3/2} + \\
 & + \frac{2,5 (0,94) c_3 c_{15} (0,60)^{1/2} (0,95)}{(4,0)^{1/2} (0,97) c_{14}^{-1/2} c_{14}^{3/2}} \left(\frac{d_2}{\ell_3} \right)^2 \left(\frac{p}{p-d_2} \right) \left(\frac{d_1}{\ell_3} \right) + \\
 & + \frac{3,576 (0,95) c_{14}^{-1/2} c_{16} (0,60)^{1/2}}{(3,0)^{1/2} (0,97)} \left(\frac{\ell_2}{\ell_3} \right) \left(\frac{p}{p-d_2} \right) \left(1 - \frac{\ell_c}{d_1} \right)
 \end{aligned}$$

Resulta então na expressão para o N_h :

$$\begin{aligned}
 N_h = & 1,36 \frac{(c_{14}-1)^{3/2}}{c_{14}^{-1/2}} \left(\frac{p}{p-d_2} \right)^{3/2} + 0,82 \frac{c_3 c_{15}}{c_{14}^{3/2}} \left(\frac{d_1}{\ell_3} \right) \left(\frac{d_2}{p} \right)^2 \left(\frac{p}{p-d_2} \right) + \\
 & + 1,48 c_{16} c_{14}^{-1/2} \left(\frac{d_1}{\ell_3} \right) \left(\frac{p}{p-d_2} \right) \left(1 - \frac{\ell_c}{d_1} \right) \quad (\text{A.2.1.d})
 \end{aligned}$$

. N_h para o arranjo quadrado de tubos: Analogamente à dedução do N_h para o arranjo triangular de tubos, substitui-se na equação (A.2.1.a) as expressões de Q_{AR} , Q_{BR} , Q_{CR} e Q_{ER} para o arranjo quadrado de tubos:

$$\begin{aligned}
 N_h = & \frac{p^{1/2} [1,0 (c_7 c_9 c_{10})^{-1/2} \ell_3 d_3^{-1/2} p^{1/2} (d_1 - d_3)^{3/2} (p-d_2)^{-1/2}]}{d_1^{-1/2} [1,0 c_4 (c_7 c_9)^{-1/2} \ell_3 d_3^{-1/2} p^{-1/2} (p-d_2)]} + \\
 & + \frac{p^{1/2} [0,927 c_1 c_3 (1+x)^{1/2} c_6^{-1/2} d_3^2 p^{1/2} (d_4^2 - d_2^2)]}{d_1^{-1/2} [1,0 c_4 (c_7 c_9)^{-1/2} \ell_3 d_3^{-1/2} p^{-1/2} (p-d_2)]} \\
 & + \frac{p^{1/2} [3,14 c_5 (1+x)^{1/2} c_{11}^{-1/2} (1) (d_1 - d_3)^{3/2}]}{d_1^{-1/2} [1,0 c_4 (c_7 c_9)^{-1/2} \ell_3 d_3^{-1/2} p^{-1/2} (p-d_2)]}
 \end{aligned}$$

Substituindo e desenvolvendo obtém-se:

$$\begin{aligned}
 N_h = & 1,26 \frac{(c_{14}-1)^{3/2}}{c_{14}^{-1/2}} \left(\frac{p}{p-d_2} \right)^{3/2} + 0,661 \frac{c_3 c_{15}}{c_{14}^{-3/2} \ell_3} \left(\frac{d_1}{\ell_3} \right) \left(\frac{d_2}{p} \right)^2 \left(\frac{p}{p-d_2} \right) + \\
 & + 1,578 c_{16} c_{14}^{-1/2} \left(\frac{d_1}{\ell_3} \right) \left(\frac{p}{p-d_2} \right) \left(1 - \frac{\ell_3}{d_1} \right) \quad (A.2.1.e)
 \end{aligned}$$

N_h para o arranjo quadrado rotacionado de tubos: Ainda, analogamente ao procedimento usado para a dedução do N_h para o arranjo triangular, substitui-se na equação (A.2.1.a) as expressões de Q_{AR}, Q_{BR}, Q_{CR} e Q_{ER} para o arranjo quadrado rotacionado de tubos:

$$\begin{aligned}
 N_h = & \frac{p^{1/2} [0,84(c_7 c_9 c_{10})^{-1/2} \ell_3 d_3^{-1/2} p^{1/2} (d_1-d_3)^{3/2} (p-d_2)^{-1/2}]}{d_1^{-1/2} [1,18 c_4 (c_7 c_9)^{-1/2} \ell_3 d_3^{-1/2} p^{-1/2} (p-d_2)]} + \\
 & + \frac{p^{1/2} [0,927 c_1 c_3 (1+x)^{1/2} c_6^{-1/2} d_3^2 p^{-2} (d_4^2 - d_2^2)]}{d_1^{-1/2} [1,18 c_4 (c_7 c_9)^{-1/2} \ell_3 d_3^{-1/2} p^{-1/2} (p-d_2)]} + \\
 & + \frac{p^{1/2} [5,14 c_5 (1+x)^{1/2} c_{11}^{-1/2} d_1 (d_1 - d_{chi})]}{d_1^{-1/2} [1,18 c_4 (c_7 c_9)^{-1/2} \ell_3 d_3^{-1/2} p^{-1/2} (p-d_2)]}
 \end{aligned}$$

Substituindo e desenvolvendo obtém-se:

$$\begin{aligned}
 N_h = & 0,5 \frac{(c_{14}-1)^{3/2}}{c_{14}^{-1/2}} \left(\frac{p}{p-d_2} \right)^{3/2} + 0,281 \frac{c_3 c_{15}}{c_{14}^{-3/2} \ell_3} \left(\frac{d_1}{\ell_3} \right) \left(\frac{d_2}{p} \right)^2 \left(\frac{p}{p-d_2} \right) + \\
 & + 1,67 c_{16} c_{14}^{-1/2} \left(\frac{d_1}{\ell_3} \right) \left(\frac{p}{p-d_2} \right) \left(1 - \frac{\ell_3}{d_1} \right) \quad (A.2.1.f)
 \end{aligned}$$

(b) Parâmetro N_p para o cálculo da perda de carga

Definido no capítulo 2; N_p é dado pela equação (2.43):

$$N_p = \frac{Q_{CR}}{1,25 Q_{PR}} \left(\frac{p}{d_1} \right)^{1/2} + \frac{Q_{ER}}{1,25 Q_{PR}} \left(\frac{p}{d_1} \right)^{1/2} \quad (\text{A.2.1.g})$$

N_p para o estrangulo triangular de tubos.

Tomando as expressões para Q_{PR} , Q_{CR} e Q_{ER} dadas na Tabela A.1 e substituindo na equação (A.2.1.g), obtém-se:

$$N_p = \frac{p^{1/2} [0,93(c_8 c_9 c_{10})^{-1/2} \ell_3 d_3^{-1/2} p^{1/2} (d_1 - d_3)^{3/2} (p-d_2)^{-1/2}]}{d_1^{1/2} [(1,25)(0,93)c_4(c_8 c_9)^{-1/2} \ell_3 d_3^{-1/2} p^{-1/2} (p-d_2)]} + \\ + \frac{p^{1/2} [3,14 c_5 (1+x)^{1/2} c_{11}^{-1/2} d_1 (d_1 - d_{chi})]}{d_1^{1/2} [(1,25)(0,93)c_4(c_8 c_9)^{-1/2} \ell_3 d_3^{-1/2} p^{-1/2} (p-d_2)]} \quad (\text{A.2.1.h})$$

Com os valores definidos para d_3 , $(d_4 - d_2)$, $(d_1 - d_{chi})$ e $(d_4^2 - d_2^2)$ no item "a" e substituindo em (A.2.1.h), obtém-se:

$$N_p = \frac{0,93 p^{1/2} c_8^{-1/2} c_9^{-1/2} c_{10}^{-1/2} \ell_3 \left(\frac{d_1}{c_{14}} \right)^{-1/2} p^{1/2} (d_1 - \frac{c_{14}}{c_{14}})^{3/2} (p-d_2)^{-1/2}}{(1,25)(0,93)d_1^{1/2} c_4 c_8^{-1/2} c_9^{-1/2} \ell_3 \left(\frac{d_1}{c_{14}} \right)^{1/2} p^{-1/2} (p-d_2)} + \\ + \frac{2,7 p^{1/2} (1 - \frac{\ell_3}{d_1}) (1+x)^{1/2} c_{11}^{-1/2} d_1 c_{16} d_1}{d_1^{1/2} c_4 c_8^{-1/2} (1 - \frac{\ell_3}{d_1})^{-1/2} \ell_3 \left(\frac{d_1}{c_{14}} \right)^{1/2} p^{-1/2} (p-d_2)}$$

Assim:

$$N_p = \frac{0,93 p^{3/2} d_1^{3/2} \left(\frac{c_{14}-1}{c_{14}} \right)^{3/2} \ell_{14}^{-1/2}}{c_4 c_{10}^{-1/2} d_1^{3/2} (p-d_2)^{3/2}} + \\ + \frac{2,7 \ell_3 c_{16} c_3^{1/2} c_{14}^{-1/2} d_1^2 p (1 - \frac{\ell_3}{d_1}) (1 - \frac{\ell_3}{d_1})^{1/2} (1+x)^{1/2}}{c_4 c_{11}^{-1/2} \ell_3 d_1 (p-d_2)} \quad (\text{A.2.1.i})$$

Tomando os valores de c_4 , c_8 , c_{11} , $(1 - \frac{\ell_c}{d_1})^{1/2}$ e $(1+x)^{1/2}$ dados na Tabela A.2 e substituindo na equação (A.2.1.i), resulta a expressão para N_p :

$$N_p = \frac{(c_{14}-1)^{3/2}}{c_{14}^{-1/2}} \left(\frac{p}{p-d_2} \right)^{3/2} + 1,19 c_{16} c_{14}^{1/2} \left(\frac{d_1}{\ell_3} \right) \left(\frac{p}{p-d_2} \right) \left(1 - \frac{\ell_c}{d_1} \right)$$

(A.2.1.j)

• N_p para o arranjo quadrado de tubos.

Usando o mesmo procedimento da geometria anterior, tem-se para o arranjo quadrado que:

$$N_p = \frac{p^{1/2} [1,0(c_7 c_9 c_{10})^{-1/2} \ell_3 d_3^{-1/2} p^{-1/2} (d_1-d_3)^{3/2} (p-d_2)^{-1/2}]}{d_1^{-1/2} [(1,25)(1,0) c_4 (c_7 c_9)^{-1/2} \ell_3 d_3^{-1/2} p^{-1/2} (p-d_2)]} +$$

$$+ \frac{p^{1/2} [3,14 c_5 (1+x)^{1/2} c_{11}^{-1/2} d_1 (d_1-d_{chi})]}{d_1^{-1/2} [(1,25)(1,0) c_4 (c_7 c_9)^{-1/2} \ell_3 d_3^{-1/2} p^{-1/2} (p-d_2)]}$$

Substituindo os valores definidos para d_3 , (d_4-d_2) , (d_1-d_{chi}) , $(d_4^2-d_2^2)$, c_4 , c_7 , c_{10} , c_{11} e $(1+x)^{1/2} (1 - \frac{\ell_c}{d_1})^{1/2}$, e resolvendo obtém-se a expressão para N_p :

$$N_p = \frac{(c_{14}-1)^{3/2}}{c_{14}^{-1/2}} \left(\frac{p}{p-d_2} \right)^{3/2} + 0,93 c_{16} c_{14}^{1/2} \left(\frac{d_1}{\ell_3} \right) \left(\frac{p}{p-d_2} \right) \left(1 - \frac{\ell_c}{d_1} \right)$$

(A.2.1.k)

• N_p para o arranjo quadrado rotacionado de tubos.

Analogamente ao arranjo quadrado, primeiramente obtém-se:

$$N_p = \frac{p^{1/2} [0,84(c_7 c_9 c_{10})^{-1/2} l_3 d_3^{-1/2} p^{1/2} (d_1 - d_3)^{3/2} (p - d_2)^{-1/2}]}{d_1^{-1/2} [(1,25)(1,18)c_4(c_7 c_9)^{-1/2} l_3 d_3^{-1/2} p^{-1/2} (p - d_2)]} + \\ + \frac{p^{1/2} [3,14 c_5 (1 + x)^{1/2} c_{14}^{-1/2} d_3 (c_3 - c_{\text{chic}})]}{d_1^{-1/2} [(1,25)(1,18)c_4(c_7 c_9)^{-1/2} l_3 d_3^{-1/2} p^{-1/2} (p - d_2)]}$$

Fazendo as substituições citadas, obtém-se a expressão para o N_p :

$$N_p = 0,72 \frac{(c_7 c_9^{-1})^{3/2}}{c_{14}^{-1/2}} \left(\frac{p}{p - d_2} \right)^{3/2} + 0,93 c_{16} c_{14}^{-1/2} \left(\frac{d_1}{l_3} \right) \left(\frac{p}{p - d_2} \right) \left(1 - \frac{l_c}{d_1} \right) \quad (\text{A.2.1.2})$$

A.3 - SEQUÊNCIA DE CÁLCULO PARA A DETERMINAÇÃO DO COEFICIENTE DE PELÍCULA E DA PERDA DE CARGA PARA O LADO DO CASCO PELO MÉTODO DE BELL.

(a) Características Geométricas do Trocador

- . distância entre centros de tubos adjacentes, paralela ao escoamento (pp): equações (2.59a), (2.59b) e (2.59c).
- . número de fileiras de tubos encontradas no escoamento cruzado (N_r): equação (2.57).
- . número de fileiras de tubos encontradas pelo escoamento na janela (N_j): equação (2.65).
- . ângulo de corte da chicana (θ): equação (2.67).
- . área de uma janela de chicana (A_j): equação (2.72) ou na tabela da área de segmentos circulares na TEMA (2.4).
- . área total da seção do casco (A_T): equação (2.70).
- . razão entre a área da seção de janelas e a área da seção do casco (β): equação (2.75). Caso sejam conhecidos o número total

de tubos no trocador (N_t) e o número de tubos na janela de chicana (N_{tj}), calcula-se por:

$$r = \frac{2N_{tj}}{N_t}$$

. número de tubos por chicana (N_{tchj}): caso não seja conhecido, calcula-se por $N_{tchj} = N_t(1-r_5)$ (equação (4.42)) com $r_5 = \frac{A_j}{A_T}$ (equação (4.47)).

. número de tubos na janela da chicana (N_{tj}): equação (3.3)

. número de tubos na janela mais os espaçadores (N_{tj1}): equação (3.4).

. número de fileiras de tubos encontradas no escoamento cruzado em série no trocador (N_{rl}): equação (2.78).

. área mínima para o escoamento cruzado próxima à linha central do trocador (S_m):

$$S_m = (d_1 - n_c d_2) \ell_3 \text{ (pol}^2\text{)} \quad (\text{A.3.b})$$

onde n_c é dado pelas equações (4.26), (4.27), (4.28) e (4.29) do capítulo 4.

. área para o desvio em torno do feixe de tubos (S_{bp}):

$$\delta_{bp} = d_1 - (n_c - 1)p - d_2 \quad (\text{pol}) \quad (\text{A.3.c})$$

$$S_{bp} = \delta_{bp} \ell_3 \text{ (pol}^2\text{)} \quad (\text{A.3.d})$$

. fração da área do fluxo cruzado disponível para o desvio (F_{bp}): equação (2.61).

. distância do corte da chicana medida do topo da chicana até o casco (β_C): equação (2.58).

. área para o vazamento tubo-chicana, por chicana (S_{tb}):

$$\beta_{tb} = \frac{N_{tchj} \pi}{(4) \cdot (2+4)} (d_4^2 - d_2^2) \text{ (pol}^2\text{)} \quad (\text{A.3.e})$$

- área para o vazamento casco-chicana, por chicana (S_{sh}):

$$S_{sh} = \frac{\pi}{(4)(144)} \left(\frac{360-\theta}{360}\right) (d_1^2 - d_{chi}^2) \text{ (pé}^2\text{)} \quad (\text{A.3.f})$$

com θ em graus

- área total para os vazamentos da chicana (S_g):

$$S_g = S_{tb} + S_{sh} \quad (\text{A.3.g})$$

- área livre para o escoamento através da janela (S_j):

$$S_j = \frac{\pi}{144} \left(\frac{d_1}{2}\right)^2 \left(\frac{\theta}{360}\right) - \left(\frac{d_1^2}{2}\right) \left(\frac{\sin\theta}{(2)(144)}\right) - \left(\frac{\pi d_2^2 N_{tj1}}{(4)(144)}\right) \text{ (pé}^2\text{)} \quad (\text{A.3.h})$$

com θ em graus.

- fator de correção para o coeficiente de película do feixe ideal para levar em conta os efeitos das chicanas e das janelas (ϕ): equação (2.74).

(b) Troca de calor para o escoamento do lado do casco.

- fluxo de massa para o escoamento cruzado, baseado em S_m (G_m):

$$G_m = \frac{W_s}{S_m (\text{pé}^2)} \left(\frac{\ell b m}{h p e^2}\right) \quad (\text{A.3.i})$$

- número de REYNOLDS para o casco (Re_s): equação (2.55).

- fator de troca de calor do banco de tubos ideal (j_b); com o arranjo de tubos, o número de REYNOLDS e o p_r nas Figuras 2.11 e 2.12.

- fator de correção considerando o efeito do desvio, no coeficiente de troca de calor do escoamento cruzado (ξ_h): equações (2.59) e (2.60), com o valor de α_1 na Tabela 2.2 para o regime de escoamento considerado.

. fator de correção para considerar o efeito do número real de fileiras de tubos no trocador comparado ao número de fileiras de tubos do banco de tubos ideal (X):

$$\text{-- } Re_s \leq 100, \quad X_l = \left(\frac{N_{r1}}{N_r} \right)^{0,18}$$

$$\text{-- } 100 < Re_s < 1000, \quad X = 1,0$$

$\text{-- } Re_s \geq 1000$, X_t é dado pela equação (2.77) com os valores de $(h_m/h_\infty)_{\text{ideal}}$ e $(h_m/h_\infty)_{\text{trocador}}$ na Tabela 2.2 em função de N_r e N_{r1} , respectivamente.

. coeficiente de película para o trocador sem desvio e sem vazamentos (h_{n_l})

$\text{-- } \text{regime turbulento: equação (2.76)}$

$\text{-- } \text{regime laminar: equação (2.79)}$

. coeficiente de troca de calor para o lado do casco (h_o):

$\text{-- } (1 - \frac{h_l}{h_{n_l} \text{ ideal}})$ é dada pela equação (2.85) ou na Figura

(2.16) em função de S_l/S_m .

$\text{-- } (1 - \frac{h_l}{h_{n_l} \text{ trocador}})$ é dada pela equação (2.84).

$\text{-- } \text{com } (1 - \frac{h_l}{h_{n_l} \text{ trocador}})$ encontra-se h_l

O coeficiente de película procurado (h_o) é o h_l calculado.

(c) Perda de carga para o escoamento do lado do casco.

. coeficiente de atrito do banco de tubos ideal (f_x): com o arranjo de tubos, o número de REYNOLDS e o p_r , nas Figuras 2.11, 2.13 e 2.14.

. fator de correção considerando o desvio, na perda de carga do escoamento cruzado ($\xi_{\Delta p}$): equações (2.59) e (2.60), com o valor

de α_1 na Tabela 2.2, para o regime de escoamento considerado.

. perda de carga no fluxo cruzado (ΔP_b): equação (2.56) com $m=0,14$.

. perda de carga no fluxo cruzado corrigida levando em conta o desvio:

$$\Delta P_{bp} = \Delta P_b \xi_{\Delta P} \quad (\text{lbf}/\rho c^2) \quad (\text{A.3.j})$$

. velocidade máxima no escoamento cruzado (V_m):

$$V_m = \frac{G_m}{\rho_s 3600} \quad (\text{pé/s}) \quad (\text{A.3.k})$$

. velocidade na janela da chicana (V_j):

$$V_j = \frac{W_s}{S_j \rho_s 3600} \quad (\text{pé/s}) \quad (\text{A.3.l})$$

. velocidade média geométrica de V_m e V_j : equação (2.64).

. perda de carga na janela da chicana (ΔP_j):

- $Re_s \leq 100$: equações (2.66) e (2.68)

- $Re_s > 100$: equação (2.69).

. perda de carga do lado do casco (ΔP_s):

- $(1 - \frac{\Delta P_\ell}{\Delta P_{n\ell}})$ é dada pela equação (2.82) ou na Figura (2.15), em função de S_ℓ/S_m .

Se o valor de $(1 - \frac{\Delta P_\ell}{\Delta P_{n\ell}})$ for maior do que 0,7, assume-se igual a 0,7 constante.

- $(1 - \frac{\Delta P_\ell}{\Delta P_{n\ell}})$ trocador é dada pela equação (2.81), em função do valor anterior.

$$\text{com } \left(1 - \frac{\Delta P_{\ell}}{\Delta P_{n\ell}}\right) \text{ encontra-se } \left(\frac{\Delta P_{\ell}}{\Delta P_{n\ell}}\right)$$

$\Delta P_{n\ell}$ trocador

A perda de carga procurada é dada, finalmente, pela equação (2.83).

Na Figura A.1.3 está mostrado o desenho de um trocador tendo as suas dimensões representadas pelos símbolos correspondentes:

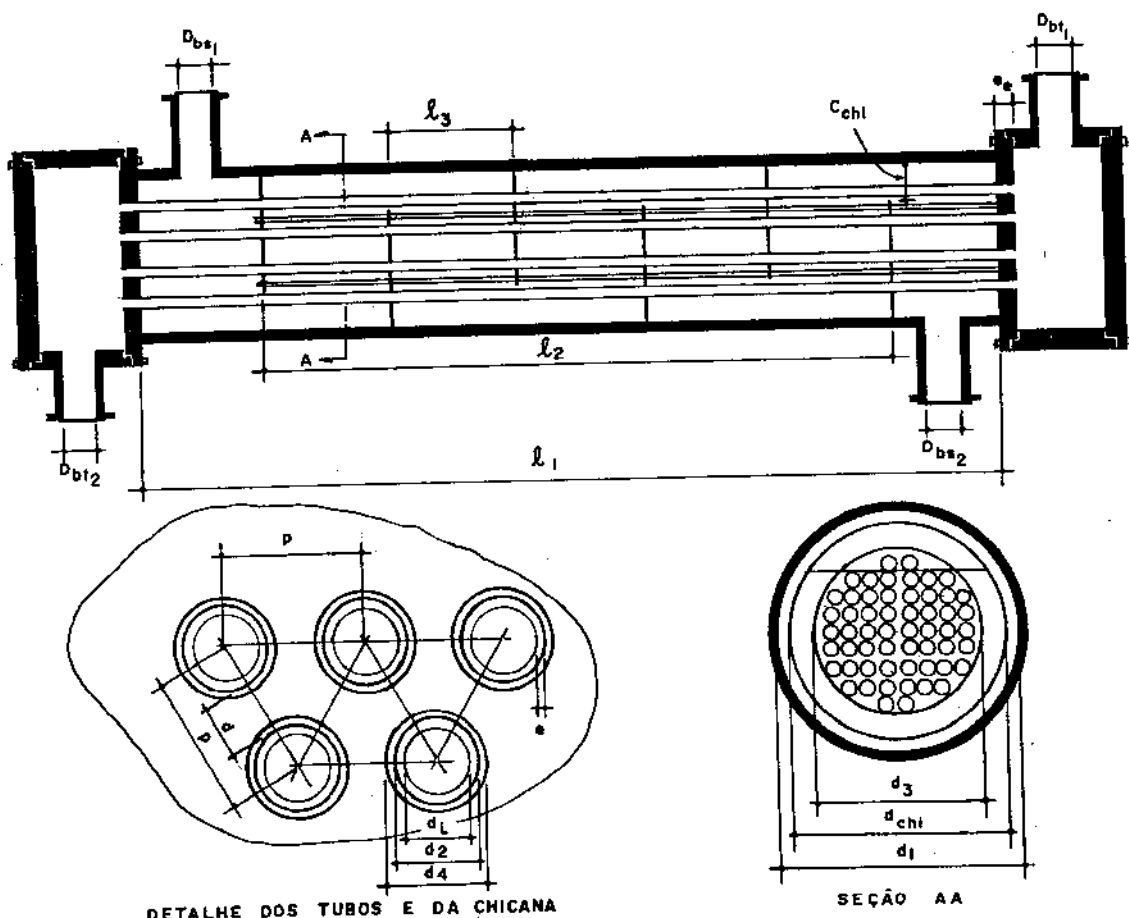


FIGURA A.1.3 - DESENHO DE UM TROCADOR COM SUAS DIMENSÕES REPRESENTADAS.

ANEXO B

DIAGRAMA DE BLOCOS E LISTAGENS DOS PROGRAMAS DOS MÉTODOS DE CÁLCULO DA TROCA TÉRMICA E PERDA DE CARGA NO CASCO.

B.1 - DIAGRAMA DE BLOCOS

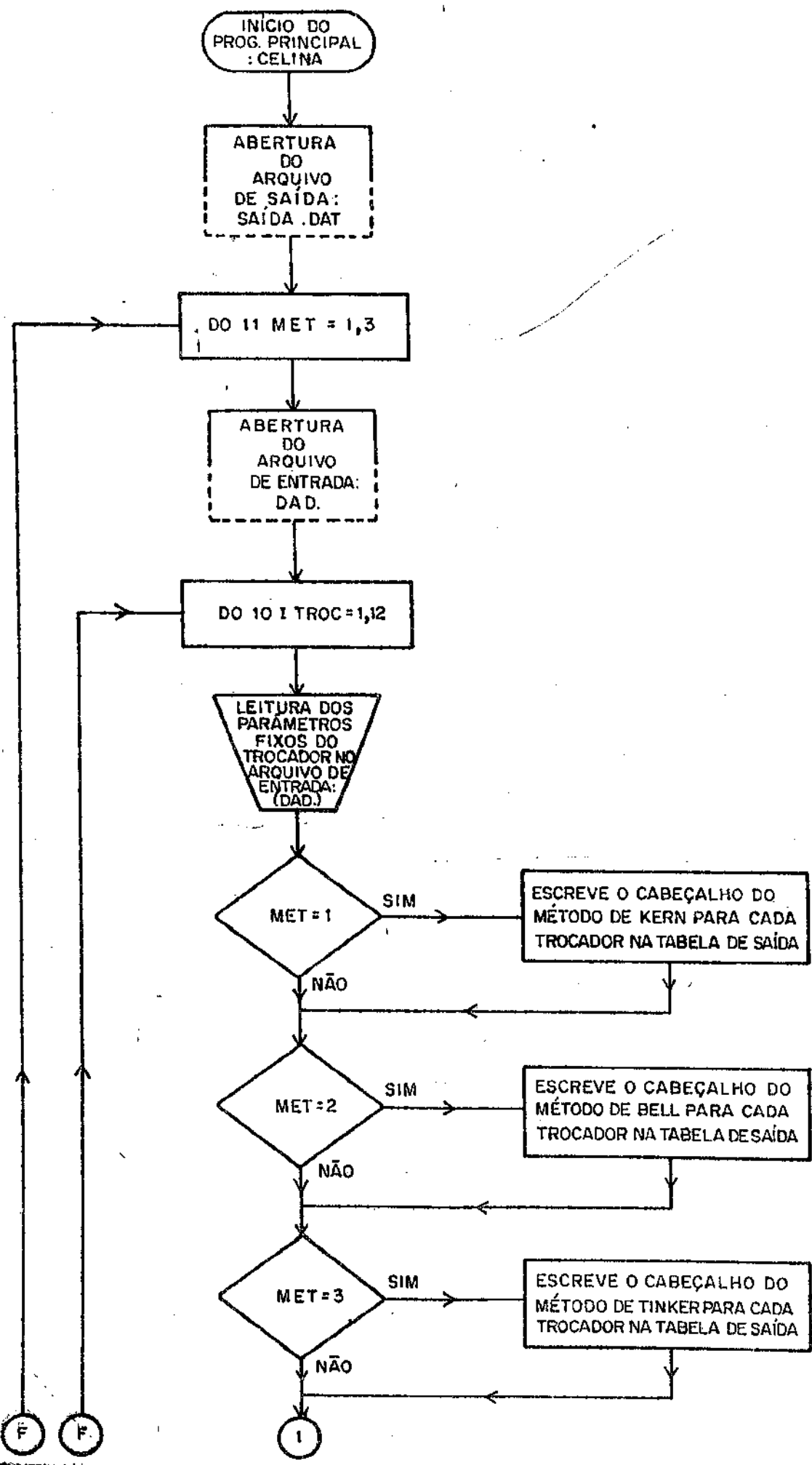
No diagrama de blocos é mostrada a lógica utilizada nos programas para o cálculo da comparação entre os métodos de KERN, TINKER e BELL, discutidos nos Capítulos 2 e 3, e no Anexo A.

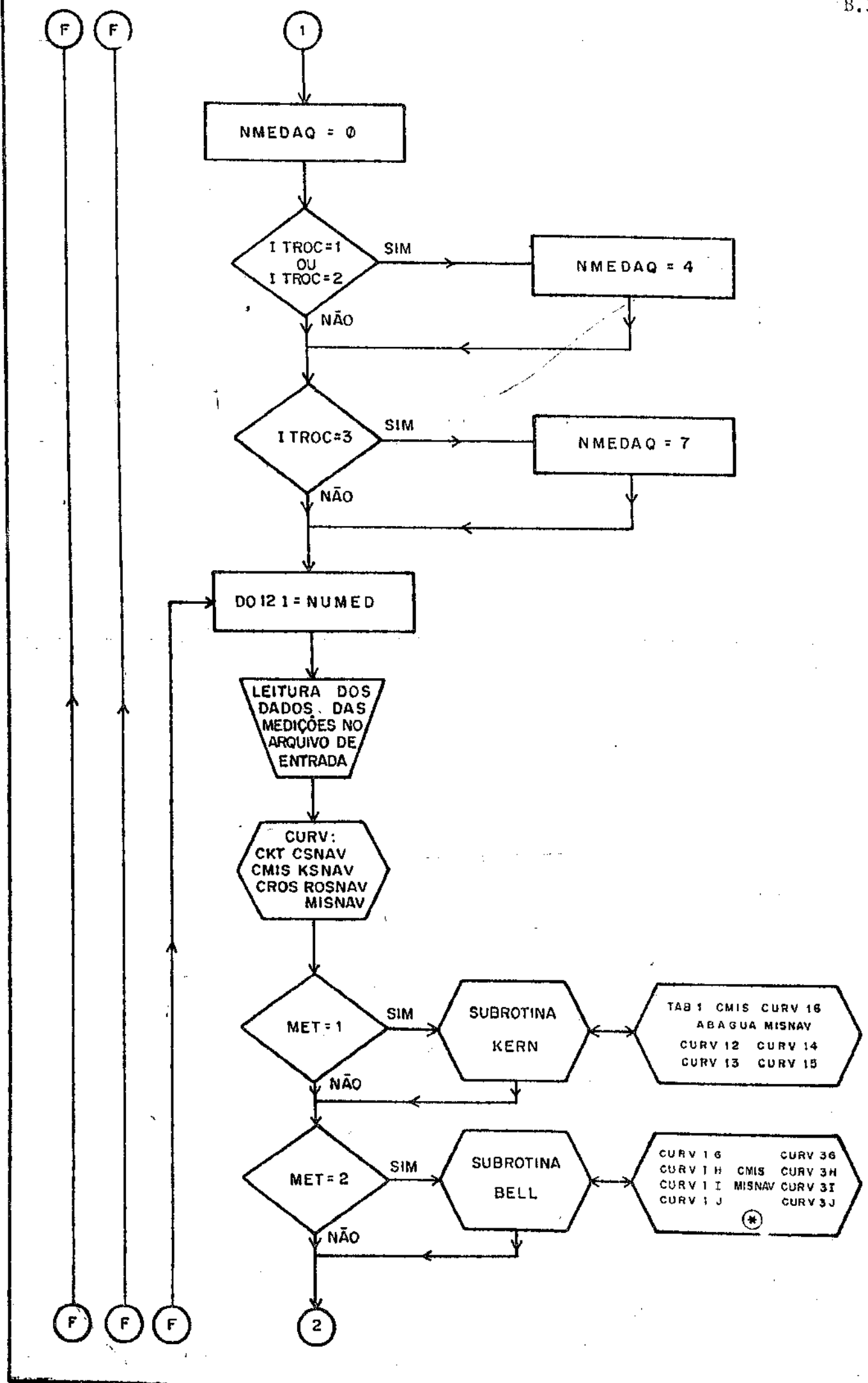
B.2 - LISTAGENS

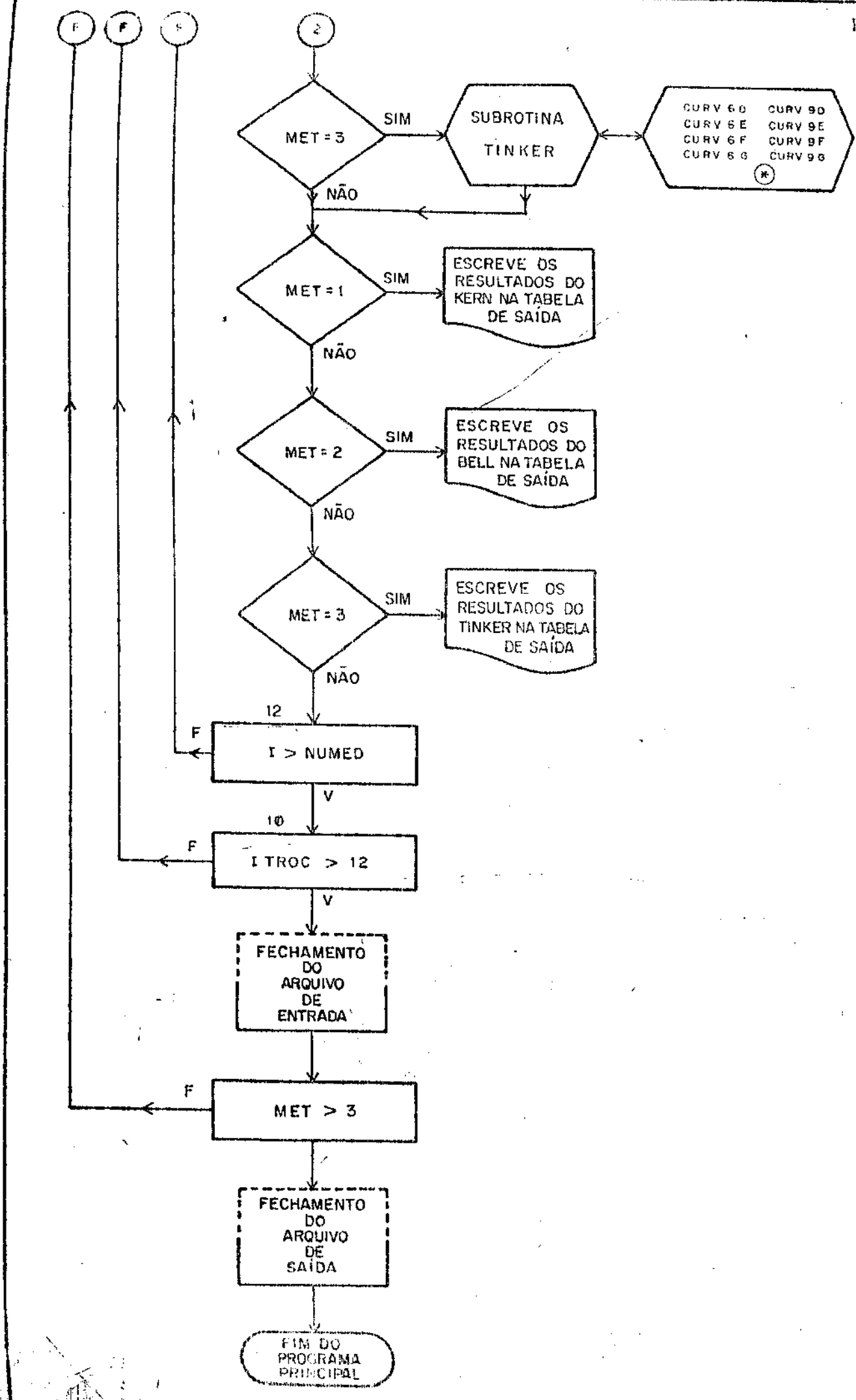
As listagens dos referidos programas estão apresentadas na sequência seguinte:

- CELINA - programa principal que fornece os dados de entrada, chama as subrotinas dos 3 métodos e prepara o arquivo de saída dos resultados.
- KERN - subrotina do método de KERN.
- TINKER - subrotina do método de TINKER.
- BELL - subrotina do método de BELL.
- CURV - arquivo com as funções correspondentes às curvas dos gráficos de cada método, montadas através do programa CEL, a partir de tabelas das coordenadas de cada curva, utilizando o método dos mínimos quadrados (interpolação linear e polinomial). A função ABAGUA (viscosidade da água) foi montada através do programa CRIASU, pelo método das diferenças divididas. A 'TABELA.DAT' é a TAB1 do KERN.
- DAD - tabela dos dados de entrada (trocadores e respectivos dados experimentais).
- DISF - arquivo com o restante das funções dos métodos que não se encontra em CURV.

**DIAGRAMA DE BLOCOS PARA OS PROGRAMAS DA COMPARAÇÃO
DOS MÉTODOS DE CÁLCULO**







PROGRAMA PARA A COMPARACAO ENTRE OS MÉTODOS DE BELL, TINKER E
KERN: LE OS DADOS, CHAMA AS SUBROTINAS E ESCREVE A TABELA DE SAÍDA DOS RESULTADOS

PROJ.PAS CEDIDA
IMPLICIT REAL*8 (R=0)
PARAMETER PI=3.1415926, GC=32.1739

LOGICAL FGCNSC

INTEGER NCHI,NTJ,I,ITROC,NCHI,NTJ,NSS,NC,NUMED,ITROC,N,
ITROC,NTJ,NG,PROCES,APR,NUTROC,MED

OPEN(UNIT=10,DEVICE='DSK',ACCESS='SEQUENTIAL',FILE='SATDA-DAT')
PARA;

MET=1 - MÉTODO USADO KERN
MET=2 - MÉTODO USADO BELL
MET=3 - MÉTODO USADO TINKER

DO 11 MET=1,3

OPEN(UNIT=20,DEVICE='DSK',ACCESS='SEQUENTIAL',FILE='DAU..')
INICIO DO CALCULO PARA OS TROCADORES

LEITURA DOS PARÂMETROS FIXOS DOS TROCADORES

DO 10 ITROC=1,12

TYPE 1599,ITROC

FORMAT(10X*'TROCADOR '12*'*)

READ(20,1)ARK,CCHI,D1PD,D3PD,D2PD,04PD,13PD,NCHI,NTJ,NTCHI,NTJ1
1 NSS

READ(20,111)D1PD,PPD,D,PR,BWG,DC,CHIPO,F1S,C1,NT,N,NUMED
TYPE 989,ARK,CCHI,D1PD,D3PD,D2PD,04PD,13PD,NCHI,NTJ,NTCHI,D1PD
1,PPD,D,PR,DC,CHIPO,BWG,F1S,C1,NT,N,NEJ1,NSS,NUMED

FORMAT(A3,6F,51)

FORMAT(4F,1,3F,31)

FORMAT(1XA3,6F,3T,5F,1,2F,51)

NUTROC=ITROC

IF(ITROC.EQ.1) WRITE(10,78101)

FORMAT(11)

IF(MET.EQ.1) WRITE(10,8) ITROC

FORMAT(76X'TROCADOR '#12,2X'-'2X'KERN'/76X21('*')/1X106(''=')/1X,
1 MED,6X,PROCES,6X,RES,9X,HD,9X,HDE,9Y,DELPSS,7X,DELPEK,8X,HD/HDE
2'5X'DELPS/DELPEK'/1X106(''='))

IF(MET.EQ.2.AND.NUTROC.EQ.1) GO TO 117

IF(MET.EQ.2) WRITE(10,15) ITROC

FORMAT(76X'TROCADOR '#12,2X'-'2X'BELL'/76X21('*')/1X106(''=')/1X,
1 MED,6X,PROCES,6X,RES,9X,HD,9X,HDE,9Y,DELPSS,7X,DELPS,8X,HD/HDE
2'5X'DELPS/DELPS/1X106(''='))

IF(MET.EQ.3) WRITE(10,18) ITROC

FORMAT(76X'TROCADOR '#12,2X'-'2X'TINKFR/76X23('*')/1X106(''=')/
11X'MED,2X,PROCES,6X,RES,6X,REP,8X,HD,9X,HDE,7X,DELPSS,8X
2'DELPS,6X,HD/HDE,4X,DELPSS/DELPS/1X106(''='))

NMEDAQ=0

IF(ITROC.EQ.1.DR,ITROC.EQ.2) NMEDAQ=4

IF(ITHROC.EQ.0.1) NMEDAO=7
IF(ITHROC.EQ.1.2) NMEDAO=11

CALCULOS PARA AS MEDICORES

FUCASC=FALSE.

DO 12 I=1,NMEDAO

TYPE 9999,I

FORMAT(10X,I,"NMEDAO ",I)

MEDEI

DEFINIR OS PADRIS DE MEDICOES

READ(20,5) H,TFCP,RS,TF1,TF2,WT,TG1,TG2,HPE,DELPEK,DELPSF

TYPE 5,MTHSCP,RS,TF1,TF2,WT,TG1,TG2,HPE,DELPEK,DELPSF

FORMAT(F,1,F,1,5E)

IF(I.GT.NMEDAO) FUCASC=TRUE.

TMFF=(TF1+TF2)/2.0D0

TMFO=(TG1+TG2)/2.0D0

IF(FOCASC) GO TO 6

TS=TMFF

TT=TMFO

IF(.NOT.FUCASC) GO TO 7

TS=TMFO

TT=TMFF

KT=CKT(TT)

CT=CCY(TT)

RUT=CRDT(TT)

IF(ITHROC.GE.4) GO TO 16

CS=.581937346+7.666350-4,TS

-CS=.439801401+5.789338970-4,TS

KS=.6833846154-2.477752040-5*TS

ROS=CROS(TS)

MIS=CMIS(TS)

GO TO 21

CS=CSNAV(TS)

KS=KSNAV(TS)

ROS=RUSNAV(TS)

MIS=MISNAV(TS)

IF(FOCASC) PROCES=1RESPT

IF(.NOT.FUCASC) PROCES=1AQUECI

IF(ITHROC.LT.4) NC=24

TYPE 999,CS,ROS

FORMAT(10X' CS='F11.6' ' ROS='F11.6')

TYPE 998,TS,MIS

FORMAT(10X' TS='F11.6' MIS='F11.6')

TYPE 997,TT,KT

FORMAT(10X' TT='F11.6' KT ='F11.6')

IF(MET.EQ.1)CALL KERN(ARR,D2PO,RWG,NT,N,KT,WT,PD,LT1PO,D1PO,D,
1L3PO,PPO,WS,PI,MIS,KS,CS,ROS,HO,DELPS,PES,CT,GC,TS,TT,FOCASC,
2NUTROC,R1IU,MED,MITECP)

IF(MET.EQ.2.AND.NUTROC.EQ.1) GO TO 24

IF(MET.EQ.2) CALL BELL(ARR,PI,D1PO,D2PO,D4PO,L3PO,NT,PPO,NSS,PR,
1WS,NCHI,DCHIPO,NTJ,F1S,CCHI,NTCHI,GC,HO,DELPS,RES,MIS,ROS,KS,CS,
2,D,NTJ1,NC,PD1H,TT,NUTROC,D3PO,MED,MITECP)

IF(MET.EQ.3) CALL TINKER(ARR,PI,NSS,N,HT,PPO,DCHIPO,D1PO,D2PO,
1D4PO,L3PO,WS,MIS,F1S,ROS,CCHI,NT,LT1PO,HO,DELPS,REH,REP,CS,KS,NC

```
2,8010,ET,NUTROC*(R,D3PD,MED,MTTECP)
RELU1=RD/RUE
IF(*MET.EQ.1) REL2=DELPSC,DELPERK
IF(*ET.NE.1) REL2=DELPSS,DELPSE

1 F(*MET.EQ.1) WRITE(16,9) 1,PROCES,REL2,RD,RUE,DELPSS,DELPERK,RELU1,
1 REL2
FORMAT(2X12,6XA7,5XF6.1,4X2(F7.2,4X)2(F9.3,SX)1XF6.0,4X,F10.6)
IF(MET.EQ.2,AND,NUTROC,69,11,) GO TO 25
1 F(*ET.EQ.2) WRITE(16,9) 1,PROCES,REL2,RD,RUE,DELPSS,DELPSE,RELU1,
2 REL2
IF(MET.EQ.3) WRITE(16,17) 1,PROCES,REL1,REL2,RD,RUE,DELPSS,DELPSE,
1 REL1,REL2
FORMAT(2X12,3XA6,4XF6.1,3XF6.1,4X2(F7.2,4X)F9.3,3AF9.3,4XF9.6,
1 SXF9.6)
CONTINUE
WRITE(16,13)
FORMAT(1X100(' '))///
CONTINUE
WRITE(16,14)
FORMAT(///)
CLOSE(UNIT=20)

11 CONTINUE
CLOSE(UNIT=10)
STOP 'EXECUCAO CONCLUIDA POR MEIOS NORMAIS'
END
```

SUBROUTINE KERN(ARK,D2PO,BWG,NT,N,KT,PT,ROT,D1PO,D1PD,D,
1 L3PO,DEPU,RES,PI,KS,CS,MIS,HD,DEPS,RES,CT,GC,TB,TT,FJCASC,
2 NUTROC,L0D0,MFD,MITECP)

SUBROUTINE QUE CALCULA A PERDA DE CALOR E A PERDA DE CARGA
PARA O FLUIDO NO LADO DO CASCO PELO METODO DE KERN.

IMPLICIT REAL*8 (A-E)

INTEGER KS,LCRUZA,NT,L,BWG,KT,NUTROC,DRD,MFD

LOGICAL FJCASC

TYPE, 994

FORMAT(//10A*#,"ENTRET NA KERN")
T H D C A D R C A L C U L O P

LADO DOS TUBOS

ATUBOT=0.0295

IF(NUTROC.GE.4)ATUBOT=TAK1(D2PO,BWG,1)

AFTUBO=ATUBOT*NT/(144*H)

GT=WT/AFTUBO

WT=GT/(3600*ROT)

D1PO=0.194

IF(NUTROC.GE.4) D1PU=TAK1(D2PO,BWG,2)

DIPE=D1PO/12.0

MITCP=ABAGUA(TT)

MIT=MITCP*2.42

RET=DIPE*GT/MIT

JTKERN=CURV12(RFT)

RDI=JTKERN*KT/DIPE*(CT+MTT/KT)**(1./3.)

RD1D=RDI*D1PU/D2PO

LADO DO CASCO

ASSPE=D1PU*D3PO/(144*PPD)

GS=wS/ASSPE

IF(ARK.EQ.'TRI')DEPU=4*(6.43*PPD**2-PT*D2PO**2/8.0)/(PT*D2PO
1 /2.0)

IF(ARK.EQ.'QUA'+OK+ARK.EQ.'QRO')DEPU=4*(PPD**2-P1*D2PU**2/4.0)/
1 (P1*D2PU)

DEPE=DEPU/12.0

RES=DEPE,GS/MIS

JSKERN=CURV13(RES)

RD0=(JSKERN*KS/DEPE)*(CS*MIS/KS)**(1./3.)

IF(FJCASC).TE=TT,RD0=(TS-PT)/(RDI0+RD0)

IF(.NOT.FJCASC).TE=TT,RD0=(TT-TS)/(RDI0+RD0)

MITECP=ABAGUA(TE)

MITET=MITECP*2.42

IF(NUTROC.GE.4) GO TO 1

MITES=CMIS(TE)

GO TO 2

MITES=MITECP*2.42

PIT=(MIT/MITET)**0.14

FIS=(MIS/MITES)**0.14

H1=RDI*FIT

HD=RD0*FIS

P E R D A D E C A R G A

RADU-DUS-TURDS

```

FTKPR=PI*(NCRV14(GF**))
FSKPR=NCRV15(GF**)
L1PF=L1P0/12.0
DELPTE=(FTKPR*GF**2)*L1PF*N/(2*RDT*3600**2*GC*D1PE*FIT),
DRELT=CURV14(TT)
DELPRE=4*GF*V1**2*62.5/(DRELT*2*GC*144)
DELPTR=DELPTE+DELPRE

```

RADU DU CRASH

```

NCRUZA=12*D1PF/LRDP
D1PF=D1P0/12.0
DELPSC=144*FSKERN*NCRUZA*D1PE*GS**2/(2*RDS*F1S*GC*DEPE*3600**2)
IF(NUTRDC.EQ.2.AND.NED.EQ.1) GO TO 3000
IF(NUTRDC.EQ.4.AND.NED.EQ.1) GO TO 3000
GO TO 4000

```

TYPE 2500

FORMAT(//10X*## SUBROUTINE KERN ##)

AUX1=PI ; AUX2=GC

TYPE 2200,NUTRDC,NED

FORMAT(10X*NUTRDC='I11.10X*MED*3X'='I+1)

TYPE 995,LT,DRELT

FORMAT(10X'TT'4X='F11.4,10X'DPDT ='F11.6)

TYPE 996,RES,FSKERN

FORMAT(10X'RFS ='F11.4,10X*FSKERN='F11.6)

TYPE 997,KET,FTKERN

FORMAT(10X*KET ='F11.4,10X*FTKERN='F11.6)

TYPE 998,DEPD,JSKEPR

FORMAT(10X'DEPD ='F11.4,10X*JSKEPR='F11.6)

TYPE 2000,ASSPE,GS

FORMAT(10X*ASSPE ='F11.6,10X*GS'4X'='F11.2)

TYPE 1500,RDI,RDIO

FORMAT(10X'RDI ='F11.6,10X*RDIO ='F11.6)

TYPE 993,JTKERN,M1T&T,M1T,GT,WT,AFTUB0,N,NCHI,MITES,TE
FORMAT(10X*JTKERN='F11.6,10X*M1T='F11.6/10X*M1T'3X'='F11.6
1,10X*GT'4X'='F11.6/10X*WT'4X'='I11,10X*AFTUB0='F11.6/10X*N'5X'='
2111,10X*NCHI ='I11/10X*MITES ='F11.6,10X*TE'4X'='F11.6)

TYPE 1000,DELPSC,ASSPE,WS,ROS,PPD,L3PO,D,D1PO,TE,MITECP,F1S,F1T

1,NCRUZA,DEPE,AUX1,AUX2,FQCASC,RD0,MIS,KS,CS,RDI,KT,TS,HI,HD

FORMAT(10X*DELPSC ='F11.6,10X*ASSPE ='F11.6/10X*WS'4X'='I11
1,10X*ROS'3X'='F11.6/10X*PPD'3X'='F11.6,10X*L3PO ='F11.6/10X

2*D*5X='F11.6,10X*D1PO ='F11.6/10X*TE'4X'='F11.6,10X*MITECP='

3F11.6/10X*F1S'3X'='F11.6,10X*FIT'3X'='F11.6/10X,NCRUZA='I11,10X

4*DEPE ='F11.6/10X*P1'4X'='F11.6/10X*GT'4X'='F11.6/10X*FQCASC='

5I11,10X*RD0'3X'='F11.6/10X*MIS'3X'='F11.6,10X*KS'4X'='F11.6/10X

6*CS'4X'='F11.6,10X*RDI'3X'='F11.6/10X*TE'4X'='F11.6,10X*PS'4X

7'='F11.6/10X*HT'4X'='F11.6,10X*HD'4X'='F11.6)

RETURN

END

SUBROUTINE TINKER(ARR,PI,NSS,NCHI,PPD,DCHIPO,D1PO,D2PO,D4PO
L,B3PO,WS,MIS,PTS,K08,CCHI,NT,L1PO,HD,DELPS,RFH,REP,CS,K5,NC
Z,HD10,TT,AUTROC,PK,D3PO,MED,MTTECP)

SUBROTINA QUE CALCULA A TROCA DE CALOR E A PERDA DE CARGA
PARA O FLUIDO DO LADDO DO CASCO PELÔ-METODO DE TINKER

IMPLICIT REAL*8 (A-H)

INTEGER NSS,NT,NC,K08,NCHI,NB,ARR,NTTROP,MD

C A L C U L O D A S C A R A C T E R I S T I C A S G E O -
M E T F I C A S

C4 = 0.97

C7 = 0.60

C11 = 3.0

DCPD=CCHI*D1PO

IF(GU1ROC.LT.3) D3PO=(NC-1)*PPD+D2PO

C14=D1PO/D3PO

C15=(D4PO-D1PO)/D2PO

C16=(D1PO-DCHIPO)/D1PO

IF(NSS.GT.0) C14=1+(C14-1)/4.0+1.5*C16

C2=CCHI

C3=1-C2

IF(ARR.EQ.'TRI'.OR.ARR.EQ.'QUA') CA=C4*(PPD-D2PO)/(PPD+144)
IF(ARR.EQ.'GRD') CA=1.414*C4*(PPD-D2PO)/(PPD+144)

AXSPE=CA*D3PO,D3PO

IF(ARR.EQ.'TRI') C=866

IF(ARR.EQ.'QUA') C=1.0

IF(ARR.EQ.'GRD') C=.9999

ALFA=1-(0.786/C)*(D2PO/PPD)**2

EMINHO=DSQRT(0.786*C2*D1PO+ALFA/(144*CA*D3PO))

MJ=DSQRT(C14)*EMINHO

SJ=0.7*B3PO/D1PO

M=(1/(1+SJ*(1/MJ*k0.6-1)))*1.67

D2PE=D2PO/12.0

L2PO=L3PO*(NCHI-1)

ES=(L2PO+(L1PO-L2PO)*(2*B3PO/(L1PO-L2PO))*#0.6)/D1PO

IF(ARR.EQ.'TRI') CX=1.155*(1-LCPD/D1PO)

IF(ARR.EQ.'QUA') CX=1.0*(1-LCPD/D1PO)

IF(ARR.EQ.'GRD') CX=1.414*(1-LCPD/D1PO)

YZINHO=(4.06/CX)*(144*CA*D3PO/(C2*D1PO**ALFA))*#0.85

Y=YZINHO/C14**0.85

NB=NCHI+1

T R O C A D E C A L D O R

BL0C01=((C14-1)**1.5/DSQRT(C14))*(PPD/(PPD-D2PO))**1.5

BL0C02=(D1PO/L3PO)*(D2PO/PPD)**2*PPD/(PPD-D2PO)

BL0C03=(D1PO/L3PO)*(1-LCPD/D1PO)*PPD/(PPD-D2PO)

IF(ARR.EQ.'TRI') NH=1.26*BL0C01+0.82*C15*C3*BL0C02/C14**1.5+

1.148*C16*DSQRT(C14)*BL0C03

IF(ARR.EQ.'QUA') NH=1.26*BL0C01+0.561*C15*C3*BL0C02/C14**1.5

1.1378*C16*DSQRT(C14)*BL0C03

IF(ARR.EQ.'GRD') NH=0.9*BL0C01+0.281*C15*BL0C02/C14**1.5+1.167

1.*C16*C3*DSQRT(C14)*BL0C03/DSQRT(C11)

FH=1/(1+NH*DSQRT(D1PO/PPD))

MISCP=MIS/2.42

REH=D2PO,FH,WS/{29*MISCP*M*AXSPE,

IF(ARR.NE.'TRI') GD TO 10

IF(PR_EU_1.25) HU=CURV6A(RFH)
 IF(PR_EU_1.33) HU=CURV6B(RFH)
 IF(PR_EU_1.50) HU=CURV6C(RFH)
 IF(PR_EU_1.200) HU=CURV6D(RFH)
 IF(PR_EU_1.208) HU=CURV6E(RFH)
 IF(PR_EU_1.375) HU=CURV6F(RFH)
 IF(PR_EU_1.416) HU=CURV6G(RFH)
 GO TO 20
 IF(ARR_EQ_1.0) HU=CURV7(RFH)
 IF(ARR_EQ_1.0) HU=CURV8(RFH)
 RHO=(16.1*HOUKS/D_P0)*(CS*HISCP/KS)*((1.0/3.0))
 IF(FUCASC) TF=TT+RHO*(TS-TT)/(RDT0+RDC)
 IF(NUT_FUCASC) TS=IT_RHO*(TT-TS)/(RDT0+RDC)
 IF(NUTROC_EQ_4) GU TO 30
 MITES=CMIS(IF),
 GO TO 40
 *ITESEMITECP#2.49
 FIS=(MIS/MITES)*0.14
 HOB=RHO*FIS;
 HOB=ES,HOB;

PERIODOS DE CARGA

IF(ARR_EQ_1.0) RP=BL0C01+1.18*C16*D50FT(C14)*BL0C03
 IF(ARR_EQ_1.0) RP=BL0C01+0.93*C16*D50FT(C14)*BL0C03
 IF(ARR_EQ_1.0) RP=0.72*BL0C01+0.93*C16*D50FT(C14)*BL0C03
 FP=1/(0.8*NE*DSORT(D1PO/RHO)),
 REP=D2PO*FP*WS/(29*HISCP*AXSPE),
 IF(ARR_NE_1.0) GO TO 50
 IF(PR_EQ_1.25) FTINK=CURV9A(REP)
 IF(PR_EQ_1.33) FTINK=CURV9B(REP)
 IF(PR_EQ_1.50) FTINK=CURV9C(REP)
 IF(PR_EQ_1.200) FTINK=CURV9D(REP)
 IF(PR_EQ_1.208) FTINK=CURV9E(REP)
 IF(PR_EQ_1.375) FTINK=CURV9F(REP)
 IF(PR_EQ_1.416) FTINK=CURV9G(REP)
 GO TO 60
 IF(ARR_EQ_1.0) FTINK=CURV10(REP)
 IF(ARR_EQ_1.0) FTINK=CURV11(REP)
 DELPS=j44*(FP*WS/(1.DS*AXSPE))*2*(1+RHO/D1PO)*0.335*CX*D1PO*
 1 NB*FTINK/(RHO*FIS*RHO*4),
 IF(NUTROC_EQ_2.AND.MED_EQ_1) GO TO 222
 IF(NUTROC_EQ_4.AND.MED_EQ_1) GO TO 222
 GO TO 333

PROCEDIMENTO PARA TESTAR A SUBROTINA

222 TYPE 111,
 FORMAT(//26X*'** SUB ROTINA "TINKER"**',)
 TYPE 1,NUTROC,MED,MITECP,MITES,NC,D3PD,C14,C15,C16,MIS
 FORMAT(10X'NUTROC='14.6,10X'MED'3X='14.6/10X'MITECP='F14.6,10X
 1*MITES ='F14.6/10X'NC'4X='14.6,10X'D3PD ='F14.8/10X'C14'3X='F14.8
 210X'C15'3X='F14.8/10X'C16'3X='F14.8,10X'MIS'3X='F14.8)
 TYPE 2,C2,C3,CA,AXSPE,CALFA,EMINHO,FTS
 FORMAT(10X'C2'4X='F14.6,10X'C3'4X='F14.6/10X'CA'4X='F14.8,10X
 1'AXSPE ='F14.8/10X'C5X='F14.6,10X'ALFA ='F14.8/10X'EMINHO=,
 2'F14.8,10X'FIS'3X='F14.6)
 TYPE 3,MJ,SJ,M,L2PD,ES,CX,YZINHO,Y,NB,D1PO
 FORMAT(10X'MJ'4X='F14.6,10X'SJ'4X='F14.8/10X'M'5X='F14.8,10X
 1'L2PD ='F14.8/10X'ES'4X='F14.8,10X'C4X='F14.8/10X'YZINHO=

4 *F14.6,10X*5X*='F14.8/10X*NH*4X*='I14,10X*D1PO ='F14.6)
4 TYPE 9,BL00CD1,BL00CD2,BL00CD3,NH,FII,REH,BO,HDB,BO,RUS
4 FORMAT(10A*BLOCO1,='F14.6,10X*BLOCO2='F14.8/10X*BLOCO3='F14.8,10X
4 1 *NH*4X*='F14.8/10X*FH*4X*='F14.8,10X*REH*3X*='F14.5/10X*BO*4X
4 2 *='F14.5,10X*HDB*3X*='F14.5/10X*BO*4X*='F14.5,10X*RUS*3X*='F14.6)
4 TYPE 9,RP,PF,HEP,FTINK,DELPSS,MISCP,C4,NSS
4 FORMAT(10X*NH*4X*='F14.8,10X*FP*4X*='F14.8/10X*REP*3X*='F14.5,
4 1 10X*FTINK ='F14.8/10X*DELPSS ='F14.5,10X*MISCP ='F14.8/10X*C4
4 2 *4X*='F14.5,10X*NSS*3X*='I14)
333 RETURN
END

SUBROUTINA BELL(BCR,P1,D1PO,D2PO,D4PO,L3PO,NT,PP0,NSS,PK,
1,NS,NCNT,DCHIPO,NTJ,FIS,CCHI,NTCHI,G0,40,DEUPS,RES,MIS,R0S,KS,CS
2,D,NTJ1,NC,RD10,TT,NUTRUC,D3PO,XED,ITECP)

SUBROTINA QUE CALCULA A TROCA DE CALOR E A PERDA DE CARGA
PARA O FLUIDO DO LADO DO CASCO PELO MÉTODO DE BELL

IMPLICIT REAL,*8(A-Z)

INTEGER NCNT,NP1,N0S,NT,NR,NTJ,NCHI,NS,NTJ1,ARR,NUTRUC,NC
1, *MED

TYPE 400

FORMAT(//26X*## SUB ROTINA "BELL",/)

C A R A C T E R I S T I C A S G E O M E T R I C A S

D2PE=D2PO/12.0

IF(NUTRUC.GE.3) NTFC=NC

IF(NUTRUC.GE.4) NTFC=(D3PO-D2PO)/PP0+1.0
SMSPO=(D1PO+NTFC*D2PO)*L3PO

SMSPE=SMSPO/144.0

IF(NUTRUC.GE.4) GO TO 80

SAPSPU=(D1PO-(NTFC-1)*PP0-D2PO)*L3PO

GO TO 90

SBPSPU=(D1PO-D3PO)*L3PO

FBP=SBPSPU/SMSPO

NC=NTFC

IF(ARR.EQ.'TRI') GO TO 1

IF(ARR.EQ.'QUA') GO TO 2

IF(ARR.EQ.'GRD') GO TO 3

PNPO=PP0/2.0

PPPO=0.6660254*PP0

GO TO 4

PNPO=0.7071068*PP0

PPPO=PNPO

LCPO=CCHI*D1PO

NR=D1PO*(1-2*LCPO/D1PO)/PPPO+0.5

R1=2.*DFLUAT(NTJ)/DFLUAT(NT)

NJ=0.8*LCPO/PPPO

NR1=(NCHI+1)*NR+(NCHI+2)*NJ

STBSPE=(D4PO**2-D2PO**2)*NTCHI*PI/576.0

TET=DBLE(2.0*ACOS(SNGL(1-2*LCPO/D1PO)))

TETA=TET*180./PI

SSBSPE=(PI/576.0)*((360-TETA)/360.0)*(D1PO**2*DCHIPO**2)

SLSPE=STBSPE+SSBSPE

S3=SLSPE/SMSPE

S4=(STBSPE+2*SSBSPE)/SLSPE

SJSPE=(PI*(D1PO/2.0)**2*TETA/360.0-(D1PO/2.0)**2*DSIN(TET))

1/2.0*PI*D2PO**2*NTJ1/4.0)/144.0

FI=1-R1+0.524*R1**0.32*(SMSPE/SJSPE)**0.03

L3PE=L3PO/12.0

T R O C A D E C A L O R

GM=NS/SMSPE

RES=D2PE*GM/MIS

IF(ARR.EQ.'TRI') GO TO 5

```

5 IF(ARR.EQ.'QUA') GO TO 6
IF(ARR.EQ.'GRD') GO TO 7
IF(PR.EQ.1.25.OR.PR.EQ.1.33) JRELL=CURV1A(RES)
IF(PR.EQ.1.400) JRELL=CURV1G(RES)
IF(PR.EQ.1.208) JRELL=CURV1H(RES)
IF(PR.EQ.1.375) JRELL=CURV1I(RES)
IF(PR.EQ.1.416) JRELL=CURV1J(RES)
IF(PR.EQ.1.501) JRELL=CURV1D(RES)
GO TO 11
IF(PR.EQ.1.25.OR.PR.EQ.1.33) JRELL=CURV1B(RES)
IF(PR.EQ.1.501) JRELL=CURV1E(RES)
GO TO 11
IF(PR.EQ.1.25.OR.PR.EQ.1.33) JRELL=CURV1C(RES)
IF(PR.EQ.1.501) JRELL=CURV1F(RES)
GO TO 11
11 IF(RES.LT.100.0) ALFA1=1.5
IF(RES.GE.100.0) ALFA1=1.35
IF(NSS.LE.(NP/2)) RNS=DEFDAT(NSS)/DEFDAT(NP)
IF(NSS.LE.(NP/2)) QCIH=DEXP(-ALFA1*FPP*(1-(2*RNS)**(1.0
1/3.0)))
IF(GE.GT.(NP/2)) QCIH=1.0
IF(RES.LE.100.0) A1S=(DEFDAT(NR1)/DEFDAT(NP))*0.18
IF(RES.GT.100.0.AND.RES.LT.1000.0) A1S=1.0
IF(RES.GE.1000.0) XIS=1/(1.073-0.744/NP+0.351/NR1**3)
RDO=(JRELL*FT*QCIH*(S*GM/XIS)*(KS/(CS*MTS))**2.0/3.0)
IF(FDCASC) TE=TT+RD0*(TS-FT)/(RDO+RDO)
IF(.NOT.FDCASC) TE=TT-RDO*(TT-TS)/(RDO+RDO)
IF(NUTRC.GE.4) GU TO 12
MITES=CMIS(TE)
GO TO 13
12 MITES=MITECP*2.42
FIS=(MIS/MITES)**0.14
HNL=RDO*FIS
RELHID=0.45*S3+0.10*(1-DEXP(-30*S3))
RELH=RELHID*S4
MD=(1-RELH)*HNL
c PERDA DE CARGA
13 IF(ARR.EQ.'TRI') GO TO 20
IF(ARR.EQ.'GRD') GO TO 30
IF(ARR.EQ.'QUA') GO TO 40
20 IF(PR.EQ.1.25) FBELL=CURV3A(RES)
IF(PR.EQ.1.33) FBELL=CURV3B(RES)
IF(PR.EQ.1.50) FBELL=CURV3E(RES)
IF(PR.EQ.1.200) FBELL=CURV3G(RES)
IF(PR.EQ.1.208) FBELL=CURV3H(RES)
IF(PR.EQ.1.375) FBELL=CURV3I(RES)
IF(PR.EQ.1.416) FBELL=CURV3J(RES)
GO TO 50
30 IF(PR.EQ.1.25) FBELL=CURV3C(RES)
IF(PR.EQ.1.33) FBELL=CURV3D(RES)
IF(PR.EQ.1.50) FBELL=CURV3F(RES)
GO TO 50
40 IF(PR.EQ.1.25) FBELL=CURV4A(RES)
IF(PR.EQ.1.33) FBELL=CURV4B(RES)
IF(PR.EQ.1.50) FBELL=CURV4C(RES)
50 IF(RES.LT.100.0) ALFA2=0
IF(RES.GE.100.0) ALFA2=0
IF(RES.GE.(NP/2)) OCTPC=DEXP(-ALFA2*FPP*(1-(2*RNS)**(1.0/3.0)))

```

```

1 IF(NSD=LT.(NR/2)) ACIPC=1.0
2 DELPHP=F4*BLDD*GM+R2*QCIPC*NR/(2*RDS*CC*FIS*3600*2)
3 VM=GH/(RDL*3600)
4 VJ=WS/(SJSP*ROS*3600)
5 VZ=DJSRT(VM*VJ)
6 IF(HES.GT.100.0) GO TO 60
7 RD1PO=D1PU/2.0
8 R01PE=R01FD/12.0
9 PMJ=PI*D2E*NTJ1+RD1PE*TET
10 D3PE=D3PD*PMJ
11 DELPJ=20*(M1S*VZ*12/(GC*3600))+NJ+2E*(M1S*VZ/(GC*D3PE*3600))
12 *D3PE/D3PD+ROS*VZ*4/2/GC
13 GO TO 70
14 DELPJ=(2+0.0*NJ)*D3PE*VZ*2/(2*GC)
15 RECPID=0.57*33+0.27*(1-0.0*P(-20*S3))
16 IF(RECPID.GT.0.7) RELPID=0.7
17 RELP=RELPID*54
18 RELP1=1.0-RELP
19 DELPS=2*DELPHP*(1+NJ/NR)+((NCHI-1)*DEPPR+NCIH*DELPJ)*RELP1
20 IF(NUTRUC.EQ.2.AND.MED.EQ.1) GO TO 101
21 IF(NUTRUC.EQ.4.AND.MED.EQ.1) GO TO 101
22 IF(NUTRUC.EQ.5.AND.MED.EQ.1) GO TO 101
23 IF(NUTRUC.EQ.7.AND.MED.EQ.1) GO TO 101
24 GO TO 777

```

RUTINA PARA TESTE DA SUB ROTINA:

```

TYPE 100
FORMAT(//10X*** SUBROTINA BELL ##)
TYPE 102,NUTRUC,MED,D3PD,PMJ,CS,KS,NTFC,TS
FORMAT(10X'NUTRUC='I14,10X'MED'3X='I14/10X*D3PD ='F14.6,10X
1 'PMJ'3X='F14.6/10X*CS*4X='F14.6,10X*KS*4X='F14.6/10X*NIFC;
2 '2X='F14.6,10X*TS*4X='F14.6)
TYPE 111,NC,SMSPO,SMSPE,GM,RES,D2PD,MTS,JBFLL
FORMAT(10X'NC'4X='I14,10X'SMSPO ='F14.8/10X'SMSPE ='F14.8,10X
1 'GM'4X='F14.6/10X'RES'3X='F14.6,10X*D2PD ='F14.6/10X*MIS*3X
2 ='F14.6,10X*JBFLL ='F14.8)
TYPE 222,VM,NTCHI,VJ,SJSPE,ROS,WS,PETA,NCHI,NJ,QCIH
FORMAT(10X'VM'4X='F14.6,10X'NTCHI ='I14/10X'VJ'4X='F14.6,10X
1 'SJSPE ='F14.8/10X'RUS'3X='F14.6,10X'WS*4X='I14/10X'PETA ='I
2 F14.6,10X'NCHI ='I14/10X'NJ'4X='F14.6,10X'QCIH*2X='F14.8)
TYPE 333,SSBSPE,FIS,VZ,STBSPE,RELP,DEPPR,SBPSPO,RELHID,D4PD,NT
FORMAT(10X'SSBSPE='F14.6/10X'FIS'3X='F14.6/10X'VZ'4X='F14.6,
1 '10X*STBSPE='F14.6/10X*RELP ='F14.6,10X*DELPHP='F14.6/10X'SBPS
2 PD='F14.6,10X*RELHID='F14.6/10X*D4PD ='F14.6,10X'NT'4X='I14)
TYPE 444,CCHI,FBP,PPPD,LCPO,NR,R1,PI,NRI,XIS,NTJ
FORMAT(10X'CCHI ='F14.6,10X*FBP'3X='F14.8/10X*PPPD ='F14.8,
1 '10X'LCPO ='F14.8/10X'NR'4X='I14,10X'R1'4X='F14.7/10X'FI'4X
2 ='F14.8,10X'NRI'3X='I14/10X'XIS'3X='F14.8,10X'NTJ'3X='I14)
TYPE 555,RD0,SUSPE,S3,S4,D1PD,NSS,TE,MIYEG
FORMAT(10X'RD0'SUSPE,S3,S4*D1PD*NSS*TE,MIYEG
1 'S4'4X='F14.8/10X'D1PD ='F14.6,10X*NSS'3X='I14/10X'TE'4X
2 ='F14.6,10X*MIYEG ='F14.6)
TYPE 666,FBELL,QCIPC,TET,DELPJ,RELPID,RELP1,H0,DELPS,D3PE,RELH
FORMAT(10X'FBELL ='F14.8,10X*QCIPC ='F14.8/10X*TET'3X='F14.8,
1 '10X*DELPJ ='F14.5/10X*RELPID='F14.6,10X*RELP1 ='F14.6,10X'H0'
2 '4X='F14.6,10X*DELPJ ='F14.5/10X*D3PE ='F14.6,10X*RELP1'2X
3 ='F14.6)
RETURN
END

```

1F(TT) L1. -20.000000.DR.IT.GT. 10.000000 GO TU 1
 $A(1) = -0.2000000000000000D+02$; $B(1) = -0.2000000000000000D+02$
 $A(2) = -0.1000000000000000D+02$; $B(2) = -0.3000000000000000D+01$
 $A(3) = 0.1000000000000000D+00$; $B(3) = -0.4000000000000000D-01$
 $A(4) = 0.1000000000000000D+02$; $B(4) = 0.4999999999999999D-03$
 $A(5) = 0.2000000000000000D+02$; $B(5) = -0.1666666666666666D-04$
 $A(6) = 0.3000000000000000D+02$; $B(6) = 0.8333333333333332D-06$
 $A(7) = 0.4000000000000000D+02$; $B(7) = -0.3333333333333334D-07$
 1F(TT) L2. 40.000000.DR.IT.GT. 120.000000 GO TU 2
 $A(1) = 0.4000000000000000D+02$; $B(1) = 0.4000000000000000D+02$
 $A(2) = 0.5000000000000000D+02$; $B(2) = 0.1400000000000000D+01$
 $A(3) = 0.6000000000000000D+02$; $B(3) = -0.1500000000000000D-01$
 $A(4) = 0.7000000000000000D+02$; $B(4) = 0.0000000000000000D+00$
 $A(5) = 0.8000000000000000D+02$; $B(5) = 0.8333333333333337D-05$
 $A(6) = 0.9000000000000000D+02$; $B(6) = -0.4166666666666666D-06$
 $A(7) = 0.1000000000000000D+03$; $B(7) = 0.1666666666666667D-07$
 1F(TT) L3. 100.000000.DR.IT.GT. 150.000000 GO TU 3
 $A(1) = 0.1000000000000000D+03$; $B(1) = 0.1000000000000000D+03$
 $A(2) = 0.1100000000000000D+03$; $B(2) = 0.7500000000000000D+00$
 $A(3) = 0.1200000000000000D+03$; $B(3) = -0.9999999999999999D-02$
 $A(4) = 0.1300000000000000D+03$; $B(4) = 0.2499999999999999D-02$
 $A(5) = 0.1400000000000000D+03$; $B(5) = -0.8333333333333332D-05$
 $A(6) = 0.1500000000000000D+03$; $B(6) = 0.2083333333333331D-06$
 $A(7) = 0.1600000000000000D+03$; $B(7) = -0.4166666666666665D-08$
 $A(8) = 0.6944444444444442D-10$
 1F(TT) L4. 150.000000.DR.IT.GT. 220.000000 GO TU 4
 $A(1) = 0.1500000000000000D+03$; $B(1) = 0.1500000000000000D+03$
 $A(2) = 0.1700000000000000D+03$; $B(2) = 0.4000000000000000D+00$
 $A(3) = 0.1900000000000000D+03$; $B(3) = -0.3000000000000000D-02$
 $A(4) = 0.2000000000000000D+03$; $B(4) = 0.0000000000000000D+00$
 $A(5) = 0.2100000000000000D+03$; $B(5) = -0.18352380523843174D-22$
 $A(6) = 0.2200000000000000D+03$; $B(6) = 0.137642853928823805D-23$
 $A(7) = 0.5555555555555554D-10$; $B(7) = 0.833333333333333277D-09$
 1F(TT) L5. 220.000000.DR.IT.GT. 280.000000 GO TU 5
 $A(1) = 0.2200000000000000D+03$; $B(1) = 0.2200000000000000D+03$
 $A(2) = 0.2300000000000000D+03$; $B(2) = 0.2400000000000000D+00$
 $A(3) = 0.2400000000000000D+03$; $B(3) = -0.2000000000000000D+00$
 $A(4) = 0.2500000000000000D+03$; $B(4) = -0.296461531539005119D-21$
 $A(5) = 0.2600000000000000D+03$; $B(5) = 0.197641021026003412D-22$
 $A(6) = 0.2700000000000000D+03$; $B(6) = 0.4166666666666666D-07$
 $A(7) = 0.2800000000000000D+03$; $B(7) = -0.2499999999999999D-08$
 $A(8) = 0.833333333333333270-10$
 1F(TT) L6. 270.000000.DR.IT.GT. 320.000000 GO TU 6
 $A(1) = 0.2700000000000000D+03$; $B(1) = 0.2700000000000000D+03$
 $A(2) = 0.2800000000000000D+03$; $B(2) = 0.1600000000000000D+00$
 $A(3) = 0.2900000000000000D+03$; $B(3) = -0.1000000000000000D-02$
 $A(4) = 0.3000000000000000D+03$; $B(4) = 0.27528570785764761D-21$
 $A(5) = 0.3100000000000000D+03$; $B(5) = -0.917619026192158700D-23$
 $A(6) = 0.3200000000000000D+03$; $B(6) = 0.229404756548039675D-24$
 $A(7) = 0.3300000000000000D+03$; $B(7) = -0.458809513096079350D-26$
 $A(8) = 0.352930394689291808D-28$

$$XL = b(8)$$

DD 7 I=7,2,-1

$\Delta B = R(T) + (TT - A(T-1)) * X_L$
 $A B A G O A \rightarrow \Delta B$

```

REAL*8 D2PO,BWG,N
REAL A1,A2,A3
INTEGER I,BNG
OPEN(UNIT=10,DEVICE='DSK',FILE='TABELA.DAT')
READ(10,1,END=100) D2PO,BNG,TAB1,A1,A2,A3
FORMAT(10,1,3F7.3)
IF(CHWGTAB.NE.BNG.AND.D2PDTA.NE.D2PO) GO TO 10
IF(N.EQ.1) TAB1=A1
IF(N.EQ.2) TAB1=A2
IF(N.EQ.3) TAB1=A3
RETURN
TYPE 20,BWG,D2PO
FORMAT('10A'???'NA' TABELA NAO EXISTE BWG='14' E D2PO='F11.6//')
STOP '???' DAFCUCAU INTERRUMPIDA DEVIDO A UM ERRO FATAL'
END

REAL*8 FUNCTION CURV16(X)
REAL*8 A
IF(X.LT. -60000D+02)
*CURV16=-.12111D-05*X**2+.18578D-03*X+.9024D+00
IF(X.GE. -60000D+02.AND.X.LT. -70000D+02)
*CURV16=-.12111D-05*X**2+.18578D-03*X+.9024D+00
IF(X.LT. -60000D+02)
*CURV16=-.12111D-05*X**2+.18578D-03*X+.9024D+00
IF(X.GE. -60000D+02.AND.X.LT. -70000D+02)
*CURV16=-.12111D-05*X**2+.18578D-03*X+.9024D+00
IF(X.LT. -60000D+02.OR.X.GT. -70000D+03) WRITE(5,100)
FORMAT(5X'A APROXIMACAO NAO E BOA PARA "ALTRES
* FORA DOS INTERVALOS TABULADOS')
RETURN
END

REAL*8 FUNCTION CURV14(X)
REAL*8 X
X=DLOG(X)
IF(X.LT. -40943D+01) CURV14=DEXP(-.98102D+00*X+-77816D+00)
IF(X.GE. -40943D+01.AND.X.LT. -46052D+01)
*CURV14=DEXP(-.98102D+00*X+-77816D+00)
IF(X.GE. -46052D+01.AND.X.LT. -69078D+01)
*CURV14=DEXP(-.10056D+01*X+-65353D+00)
IF(X.GE. -69078D+01.AND.X.LT. -92103D+01)
*CURV14=DEXP(-.27242D+00*X+-57041D+01)
IF(X.GE. -92103D+01.AND.X.LT. -11513D+02)
*CURV14=DEXP(-.25838D+00*X+-58383D+01)
IF(X.GE. -11513D+02.AND.X.LT. -13592D+02)
*CURV14=DEXP(-.22124D+00*X+-62733D+01)
IF(X.GE. -13592D+02) CURV14=DEXP(-.22124D+00*X+-62733D+01)
IF(X.LT. -40943D+01.OR.X.GT. -13592D+02) WRITE(5,100)
FORMAT(5X'A APROXIMACAO NAO E BOA PARA VALORES
* FORA DOS INTERVALOS TABULADOS')
X=DEXP(X)
RETURN
END

REAL*8 FUNCTION CURV13(X)
REAL*8 X
X=DLOG(X)
IF(X.LT. -23026D+01) CURV13=DEXP(-.46387D+00*X+-46065D+00)
IF(X.GE. -23026D+01.AND.X.LT. -52983D+01)
*CURV13=DEXP(-.46383D+00*X+-46065D+00)
IF(X.GE. -52983D+01.AND.X.LT. -69078D+01)

```

```

*CURV13=DEXP( .11745D+01*X**2+ .36251D+00*X+-1250800+00)
IF(X.GE. .69078D+01.AND.X.LT. .92103D+01)
*CURV13=DEXP( .69171D+03*X**2+ .51122D+00*X+-76727D+00)
IF(X.GE. .92103D+01.AND.X.LT. .11513D+02)
*CURV13=DEXP( .54782D+00*X+-10438D+01)
IF(X.GE. .11513D+02.AND.X.LT. .13916D+02)
*CURV13=DEXP( .55746D+00*X+-11698D+01)
IF(X.GE. .11916D+02) CURV13=DEXPL(.55746D+00*X+-11698D+01)
IF(X.LT. .23026D+01.DR.X.GT. .13816D+02) WRITE(5,100)
FORMAT(5X,'APROXIMACAO NAO E BOA PARA VALORES')
* PARA DOS INTERVALOS TABELADOS)
X=DEXP(X)
RETURN
END

REAL*8 FUNCTION CURV15(X)
READ*8 X
X=DLGIC(X)
IF(X.LT. .23026D+01)
*CURV15=DEXP(.10537D+00*X**2+-15753D+01*X+-75442D+01)
IF(X.GE. .23026D+01.AND.X.LT. .44998D+01)
*CURV15=DEXP(.10537D+00*X**2+-15753D+01*X+-75442D+01)
IF(X.GE. .44998D+01.AND.X.LT. .59915D+01)
*CURV15=DEXP(.10512D+00*X**2+-14527D+01*X+-61655D+00)
IF(X.GE. .59915D+01.AND.X.LT. .68924D+01)
*CURV15=DEXP(-.16689D+00*X+-45554D+01)
IF(X.GE. .68924D+01.AND.X.LT. .91050D+01)
*CURV15=DEXP(-.19789D+00*X+-43420D+01)
IF(X.GE. .91050D+01.AND.X.LT. .11408D+02)
*CURV15=DEXP(-.18674D+00*X+-44419D+01)
TE(X.GE. .11408D+02.AND.X.LT. .13710D+02)
*CURV15=DEXP(-.42309D+00*X+-15701D+01)
IF(X.GE. .13710D+02.AND.X.LT. .13816D+02)
*CURV15=DEXP(.14663D+02*X+-20959D+03)
IF(X.GE. .13816D+02) CURV15=DEXP(.14663D+02*X+-20959D+03)
IF(X.LT. .23026D+01.DR.X.GT. .13816D+02) WRITE(5,100)
FORMAT(5X,'APROXIMACAO NAO E BOA PARA VALORES')
* PARA DOS INTERVALOS TABELADOS)
X=DEXP(X)
RETURN
END

REAL*8 FUNCTION CURV12(X)
READ*8 X
X=DLGIC(X)
IF(X.LT. .34012D+01) CURV12=DEXP(.34194D+00*X+-89990D+00)
IF(X.GE. .34012D+01.AND.X.LT. .46052D+01)
*CURV12=DEXP(.34194D+00*X+-89990D+00)
IF(X.GE. .46052D+01.AND.X.LT. .69078D+01)
*CURV12=DEXP(.33528D+00*X+-86673D+00)
IF(X.GE. .69078D+01.AND.X.LT. .92103D+01)
*CURV12=DEXP(.15948D+00*X**2+-15616D+01*X+-45435D+01)
IF(X.GE. .92103D+01.AND.X.LT. .10597D+02)
*CURV12=DEXP(.12156D+00*X**2+-15968D+01*X+-80164D+01)
IF(X.GE. .10597D+02.AND.X.LT. .11513D+02)
*CURV12=DEXP(.82619D+00*X+-39471D+01)
IF(X.GE. .11513D+02.AND.X.LT. .13122D+02)
*CURV12=DEXP(.75885D+00*X+-31756D+01)
IF(X.GE. .13122D+02) CURV12=DEXP(.75885D+00*X+-31756D+01)
IF(X.LT. .34012D+01.DR.X.GT. .13122D+02) WRITE(5,100)
FORMAT(5X,'APROXIMACAO NAO E BOA PARA VALORES')
* PARA DOS INTERVALOS TABELADOS)

```

```

X=DEXP(X)
RETURN
END
REAL*8 FUNCTION CSNAV (X)
REAL*8 X
IF(X.LT. .50000D+02) CSNAV = .55938D-03*X+ .40120D+00
IF(X.GE. .50000D+02.AND.X.LT. .20000D+03)
*CSNAV = .55938D-03*X+ .40120D+00
IF(X.LT. .50000D+02) CSNAV = .55938D-03*X+ .40120D+00
IF(X.GE. .50000D+02.AND.X.LT. .20000D+03)
*CSNAV = .55938D-03*X+ .40120D+00
IF(X.LT. .50000D+02.DR.X.GT. .20000D+03) WRITE(5,100)
FORMAT(5X,A APROXIMACAO NAO E BOA PARA "VALORES
* FORA DOS INTERVALOS TABULADOS")
RETURN
END
REAL*8 FUNCTION RUSNAV(X)
REAL*8 X
IF(X.LT. .50000D+02) RUSNAV=-.22511D-01*X+ .58500D+02
IF(X.GE. .50000D+02.AND.X.LT. .20000D+03)
*RUSNAV=-.22511D-01*X+ .58500D+02
IF(X.LT. .50000D+02) RUSNAV=-.22511D-01*X+ .58500D+02
IF(X.GE. .50000D+02.AND.X.LT. .20000D+03)
*RUSNAV=-.22511D-01*X+ .58500D+02
IF(X.LT. .50000D+02.DR.X.GT. .20000D+03) WRITE(5,100)
FORMAT(5X,A APROXIMACAO NAO E BOA PARA "VALORES
* FORA DOS INTERVALOS TABULADOS")
RETURN
END
REAL*8 FUNCTION MISNAV(X)
REAL*8 X
X=DLOG(X)
IF(X.LT. .39120D+01) MISNAV=DEXP(-.32807D+01*X+ .20628D+02)
IF(X.GE. .39120D+01.AND.X.LT. .52983D+01)
*MISNAV=DEXP(-.32807D+01*X+ .20628D+02)
IF(X.LT. .39120D+01) MISNAV=DEXP(-.32807D+01*X+ .20628D+02)
IF(X.GE. .39120D+01.AND.X.LT. .52983D+01)
*MISNAV=DEXP(-.32807D+01*X+ .20628D+02)
IF(X.LT. .39120D+01.DR.X.GT. .52983D+01) WRITE(5,100)
FORMAT(5X,A APROXIMACAO NAO E BOA PARA "VALORES
* FORA DOS INTERVALOS TABULADOS")
X=DEXP(X)
RETURN
END
REAL*8 FUNCTION KSNAV (X)
REAL*8 X
X=DLOG(X)
IF(X.LT. .39120D+01)
*KSNAV =DEXP(.59667D+00*X**2+- .53425D+01*X+ .93451D+01)
IF(X.GE. .39120D+01.AND.X.LT. .46052D+01)
*KSNAV =DEXP(.59667D+00*X**2+- .53425D+01*X+ .93451D+01)
IF(X.GE. .46052D+01.AND.X.LT. .52983D+01)
*KSNAV =DEXP(.15140D-01*X**2+- .26555D+00*X+- .17007D+01)
IF(X.GE. .52983D+01)
*KSNAV =DEXP(.15140D-01*X**2+- .26555D+00*X+- .17007D+01)
IF(X.LT. .39120D+01.DR.X.GT. .52983D+01) WRITE(5,100)
FORMAT(5X,A APROXIMACAO NAO E BOA PARA "VALORES
* FORA DOS INTERVALOS TABULADOS")
X=DEXP(X)
RETURN

```

```

END
REAL*8 FUNCTION CURV1G(X)
REAL*8 X
X=DLLOG(X)
IF(X.LT. .00000D+00) CURV1G=DEXP(-.69374D+00*X+ .55376D+00)
IF(X.GE. .00000D+00.AND.X.LT. .36889D+01)
*CURV1G=DEXP(-.69374D+00*X+ .55376D+00)
IF(X.GE. .36889D+01.AND.X.LT. .55215D+01)
*CURV1G=DEXP(-.14166D-01*X**2+-53185D+00*X+ .13637D+00)
IF(X.GE. .55215D+01.AND.X.LT. .86995D+01)
*CURV1G=DEXP(-.38097D+00*X+-.11404D+01)
IF(X.GE. .86995D+01.AND.X.LT. .11513D+02)
*CURV1G=DEXP(-.33525D+00*X+-.13645D+01)
IF(X.GE. .11513D+02) CURV1G=DEXP(-.33525D+00*X+-.13645D+01)
IF(X.LT. .00000D+00.OR.X.GT. .11513D+02) WRITE(5,100)
FORMAT(5X,'A APROXIMACAO NAO E BOA PARA VALORES
* FORA DOS INTERVALOS TABELADOS')
X=DEXP(X)
RETURN
END
REAL*8 FUNCTION CURV1H(X)
REAL*8 X
X=DLLOG(X)
IF(X.LT. .00000D+00) CURV1H=DEXP(-.69214D+00*X+ .53929D+00)
IF(X.GE. .00000D+00.AND.X.LT. .36889D+01)
*CURV1H=DEXP(-.69214D+00*X+ .53929D+00)
IF(X.GE. .36889D+01.AND.X.LT. .55215D+01)
*CURV1H=DEXP(-.79894D-02*X**2+-58424D+00*X+ .23807D+00)
IF(X.GE. .55215D+01.AND.X.LT. .86995D+01)
*CURV1H=DEXP(-.38097D+00*X+-.11404D+01)
IF(X.GE. .86995D+01.AND.X.LT. .11513D+02)
*CURV1H=DEXP(-.33525D+00*X+-.13645D+01)
IF(X.GE. .11513D+02) CURV1H=DEXP(-.33525D+00*X+-.13645D+01)
IF(X.LT. .00000D+00.OR.X.GT. .11513D+02) WRITE(5,100)
FORMAT(5X,'A APROXIMACAO NAO E BOA PARA VALORES
* FORA DOS INTERVALOS TABELADOS')
X=DEXP(X)
RETURN
END
REAL*8 FUNCTION CURV1J(X)
REAL*8 X
X=DLLOG(X)
IF(X.LT. .00000D+00) CURV1J=DEXP(-.66837D+00*X+ .26594D+00)
IF(X.GE. .00000D+00.AND.X.LT. .36889D+01)
*CURV1J=DEXP(-.66837D+00*X+ .26594D+00)
IF(X.GE. .36889D+01.AND.X.LT. .55215D+01)
*CURV1J=DEXP(-.77992D-01*X**2+-312779D+01*X+ .14570D+01)
IF(X.GE. .55215D+01.AND.X.LT. .86995D+01)
*CURV1J=DEXP(-.38097D+00*X+-.11404D+01)
IF(X.GE. .86995D+01.AND.X.LT. .11513D+02)
*CURV1J=DEXP(-.33525D+00*X+-.13645D+01)
IF(X.GE. .11513D+02) CURV1J=DEXP(-.33525D+00*X+-.13645D+01)
IF(X.LT. .00000D+00.OR.X.GT. .11513D+02) WRITE(5,100)
FORMAT(5X,'A APROXIMACAO NAO E BOA PARA VALORES
* FORA DOS INTERVALOS TABELADOS')
X=DEXP(X)
RETURN
END
REAL*8 FUNCTION CURV1I(X)
REAL*8 X

```

```

X=DLOG(X)
IF(X.LT. .000000+00) CURV1=DEXP(-.67100D+00*X+.30620D+00)
IF(X.GE. .000000+00 AND X.LT. .36889D+01)
*CURV1=DEXP(-.67100D+00*X+.30620D+00)
IF(X.GE. .36889D+01 AND X.LT. .55215D+01)
*CURVII=DEXP(-.69754D+01*X+-.12186D+01*X+.13794D+01)
IF(X.GE. .55215D+01 AND X.LT. .86995D+01)
*CURVII=DEXP(-.38097D+00*X+-.11404D+01)
IF(X.GE. .86995D+01 AND X.LT. .11513D+02)
*CURVII=DEXP(-.33525D+00*X+-.13645D+01)
IF(X.GE. .11513D+02) CURV1I=DEXP(-.33525D+00*X+-.13645D+01)
IF(X.LT. .000000+00 OR X.GT. .11513D+02) WRITE(5,100)
FORMAT(5X'A APROXIMACAO NAO E BOA PARA VALORES
* FORA DOS INTERVALOS TABELADOS')
X=DEXP(X)
RETURN
END
REAL*8 FUNCTION CURV6D(X)
REAL*8 X
X=DLOG(X)
IF(X.LT. .000000+00) CURV6D=DEXP(.45908D+00*X+-.40249D+00)
IF(X.GE. .000000+00 AND X.LT. .23026D+01)
*CURV6D=DEXP(.45908D+00*X+-.40249D+00)
IF(X.GE. .23026D+01 AND X.LT. .46052D+01)
*CURV6D=DEXP(.49038D+00*X+-.46753D+00)
IF(X.GE. .46052D+01 AND X.LT. .69078D+01)
*CURV6D=DEXP(.58615D+00*X+-.92156D+00)
IF(X.GE. .69078D+01 AND X.LT. .92103D+01)
*CURV6D=DEXP(.59383D+00*X+-.95980D+00)
IF(X.GE. .92103D+01) CURV6D=DEXP(.59383D+00*X+-.95980D+00)
IF(X.LT. .000000+00 OR X.GT. .92103D+01) WRITE(5,100)
FORMAT(5X'A APROXIMACAO NAO E BOA PARA VALORES
* FORA DOS INTERVALOS TABELADOS')
X=DEXP(X)
RETURN
END
REAL*8 FUNCTION CURV6E(X)
REAL*8 X
X=DLOG(X)
IF(X.LT. .000000+00) CURV6E=DEXP(.45969D+00*X+-.40791D+00)
IF(X.GE. .000000+00 AND X.LT. .23026D+01)
*CURV6E=DEXP(.45969D+00*X+-.40791D+00)
IF(X.GE. .23026D+01 AND X.LT. .46052D+01)
*CURV6E=DEXP(.49154D+00*X+-.47434D+00)
IF(X.GE. .46052D+01 AND X.LT. .69078D+01)
*CURV6E=DEXP(.58662D+00*X+-.92457D+00)
IF(X.GE. .69078D+01 AND X.LT. .92103D+01)
*CURV6E=DEXP(.59383D+00*X+-.95980D+00)
IF(X.GE. .92103D+01) CURV6E=DEXP(.59383D+00*X+-.95980D+00)
IF(X.LT. .000000+00 OR X.GT. .92103D+01) WRITE(5,100)
FORMAT(5X'A APROXIMACAO NAO E BOA PARA VALORES
* FORA DOS INTERVALOS TABELADOS')
X=DEXP(X)
RETURN
END
REAL*8 FUNCTION CURV6G(X)
REAL*8 X
X=DLOG(X)
IF(X.LT. .000000+00) CURV6G=DEXP(.51726D+00*X+-.61093D+00)
IF(X.GE. .000000+00 AND X.LT. .23026D+01)

```

```

*CURV6G=DEXP( .517260+00*X+-610930+00)
IF(x.GE. .230260+01.AND.x.LT. .460520+01)
*CURV6G=DEXP( .495020+00*X+-548280+00)
IF(x.GE. .460520+01.AND.x.LT. .690780+01)
*CURV6G=DEXP( .600660+00*X+-101530+01)
IF(x.GE. .690780+01.AND.x.LT. .921030+01)
*CURV6G=DEXP( .593830+00*X+-959800+00)
IF(x.GE. .921030+01) CURV6G=DEXP( .593830+00*X+-959800+00)
IF(x.LT. .000000+00.OR.x.GT. .921030+01) WRITE(5,100)
FORMAT(5X'A APROXIMACAO NAO E BOA PARA VALORES
* FORA DOS INTERVALOS TABELADOS')
X=DEXP(X)
RETURN
END
REAL*8 FUNCTION CURV6F(X)
REAL*8 X
X=DLOG(X)
IF(x.LT. .000000+00) CURV6F=DEXP( .481250+00*X+-555370+00)
IF(x.GE. .000000+00.AND.x.LT. .230260+01)
*CURV6F=DEXP( .411250+00*X+-555370+00)
IF(x.GE. .230260+01.AND.x.LT. .460520+01)
*CURV6F=DEXP( .520530+00*X+-642710+00)
IF(x.GE. .460520+01.AND.x.LT. .690780+01)
*CURV6F=DEXP( .507650+00*X+-995890+00)
IF(x.GE. .690780+01.AND.x.LT. .921030+01)
*CURV6F=DEXP( .593830+00*X+-959800+00)
IF(x.GE. .921030+01) CURV6F=DEXP( .593830+00*X+-959800+00)
IF(x.LT. .000000+00.OR.x.GT. .921030+01) WRITE(5,100)
FORMAT(5X'A APROXIMACAO NAO E BOA PARA VALORES
* FORA DOS INTERVALOS TABELADOS')
X=DEXP(X)
RETURN
END
REAL*8 FUNCTION CURV9D(X)
REAL*8 X
X=DLOG(X)
IF(x.LT. .230260+01) CURV9D=DEXP(-.105290+01*X+ .601660+01)
IF(x.GE. .230260+01.AND.x.LT. .424850+01)
*CURV9D=DEXP(-.105290+01*X+ .601660+01)
IF(x.GE. .424850+01.AND.x.LT. .690780+01)
*CURV9D=DEXP( .126770+00*X+2+-192520+01*X+ .751120+01)
IF(x.GE. .690780+01.AND.x.LT. .105970+02)
*CURV9D=DEXP( .351140-01*X+2+-853520+00*X+ .2418740+01)
IF(x.GE. .105970+02.AND.x.LT. .115130+02)
*CURV9D=DEXP(-.145280+00*X+ .621130+00)
IF(x.GE. .115130+02) CURV9D=DEXP(-.145280+00*X+ .621130+00)
IF(x.LT. .230260+01.OR.x.GT. .115130+02) WRITE(5,100)
FORMAT(5X'A APROXIMACAO NAO E BOA PARA VALORES
* FORA DOS INTERVALOS TABELADOS')
X=DEXP(X)
RETURN
END
REAL*8 FUNCTION CURV9E(X)
REAL*8 X
X=DLOG(X)
IF(x.LT. .230260+01) CURV9E=DEXP(-.104320+01*X+ .595730+01)
IF(x.GE. .230260+01.AND.x.LT. .424850+01)
*CURV9E=DEXP(-.104320+01*X+ .595730+01)
IF(x.GE. .424850+01.AND.x.LT. .690780+01)
*CURV9E=DEXP( .122460+00*X+2+-194470+01*X+ .754710+01)

```

```

IF(X.GE. .69078D+01, AND X.LT. .10597D+02)
*CURV9E=DEXP(.33668D-01*X**2+-82320D+00*X+.40284D+01)
IF(X.GE. .10597D+02, AND X.LT. .11513D+02)
*CURV9E=DEXP(-.14528D+00*X+.62113D+00)
IF(X.GE. .11513D+02) CURV9E=DEXP(-.14528D+00*X+.62113D+00)
IF(X.LT. .23026D+01, DR.X.GT. .11513D+02) WRITE(5,100)
FORMAT(5X,A APROXIMACAO NAO E BOA PARA VALORES
* FORA DOS INTERVALOS TABELADOS')
X=DEXP(X)
RETURN
END
REAL*8 FUNCTION CURV9G(X)
REAL*8 X
X=DLOG(X)
IF(X.LT. .23026D+01) CURV9G=DEXP(-.88501D+00*X+.48634D+01)
IF(X.GE. .23026D+01, AND X.LT. .42485D+01)
*CURV9G=DEXP(-.88501D+00*X+.48634D+01)
IF(X.GE. .42485D+01, AND X.LT. .69078D+01)
*CURV9G=DEXP(-.13052D+00*X**2+-19976D+01*X+.72323D+01)
IF(X.GE. .69078D+01, AND X.LT. .10597D+02)
*CURV9G=DEXP(-.22473D-01*X**2+-55468D+00*X+.24107D+01)
IF(X.GE. .10597D+02, AND X.LT. .11513D+02)
*CURV9G=DEXP(-.11668D+00*X+.29634D+00)
IF(X.GE. .11513D+02) CURV9G=DEXP(-.11668D+00*X+.29634D+00)
IF(X.LT. .23026D+01, DR.X.GT. .11513D+02) WRITE(5,100)
FORMAT(5X,A APROXIMACAO NAO E BOA PARA VALORES
* FORA DOS INTERVALOS TABELADOS')
X=DEXP(X)
RETURN
END
REAL*8 FUNCTION CURV9F(X)
REAL*8 X
X=DLOG(X)
IF(X.LT. .23026D+01) CURV9F=DEXP(-.90374D+00*X+.50190D+01)
IF(X.GE. .23026D+01, AND X.LT. .42485D+01)
*CURV9F=DEXP(-.90374D+00*X+.50190D+01)
IF(X.GE. .42485D+01, AND X.LT. .69078D+01)
*CURV9F=DEXP(-.13377D+00*X**2+-20481D+01*X+.74619D+01)
IF(X.GE. .69078D+01, AND X.LT. .10597D+02)
*CURV9F=DEXP(-.20807D-01*X**2+-53280D+00*X+.23729D+01)
IF(X.GE. .10597D+02, AND X.LT. .11513D+02)
*CURV9F=DEXP(-.12363D+00*X+.37535D+00)
IF(X.GE. .11513D+02) CURV9F=DEXP(-.12363D+00*X+.37535D+00)
IF(X.LT. .23026D+01, DR.X.GT. .11513D+02) WRITE(5,100)
FORMAT(5X,A APROXIMACAO NAO E BOA PARA VALORES
* FORA DOS INTERVALOS TABELADOS')
X=DEXP(X)
RETURN
END
REAL*8 FUNCTION CURV3G(X)
REAL*8 X
X=DLOG(X)
IF(X.LT. .00000D+00) CURV3G=DEXP(-.10001D+01*X+.45321D+01)
IF(X.GE. .00000D+00, AND X.LT. .23026D+01)
*CURV3G=DEXP(-.10001D+01*X+.45321D+01)
IF(X.GE. .23026D+01, AND X.LT. .63969D+01)
*CURV3G=DEXP(-.10823D+00*X**2+-18054D+01*X+.58464D+01)
IF(X.GE. .63969D+01, AND X.LT. .10597D+02)
*CURV3G=DEXP(-.26135D-01*X**2+-369655D+00*X+.21308D+01)
IF(X.GE. .10597D+02, AND X.LT. .11513D+02)

```

```

100 * CURV3G=DEXP(-.11582D+00*X+-10886D+01)
    IF(X.GE. .11513D+02) CURV3G=DEXP(-.11582D+00*X+-10886D+01)
    IF(X.LT. .00000D+00.DR.X.GT. .11513D+02) WRITE(5,100)
    FORMAT(5X'A APROXIMACAO NAO E BDA PARA VALORES')
    * FORA DOS INTERVALOS TABELADOS()
    X=DEXP(X)
    RETURN
END

REAL*8 FUNCTION CURV3H(X)
REAL*8 X
X=DLOG(X)
IF(X.LT. .00000D+00) CURV3H=DEXP(-.10009D+01*X+ .44865D+01)
IF(X.GE. .00000D+00.AND.X.LT. .23026D+01)
    * CURV3H=DEXP(-.10009D+01*X+ .44865D+01)
    IF(X.GE. .23026D+01.AND.X.LT. .63969D+01)
    * CURV3H=DEXP(-.10790D+00*X*2+-17954D+01*X+ .57759D+01)
    IF(X.GE. .63969D+01.AND.X.LT. .10597D+02)
    * CURV3H=DEXP(-.26058D-01*X*2+-.69051D+00*X+ .20747D+01)
    IF(X.GE. .10597D+02.AND.X.LT. .11513D+02)
    * CURV3H=DEXP(-.11467D+00*X+-.11016D+01)
    IF(X.GE. .11513D+02) CURV3H=DEXP(-.11467D+00*X+ .11016D+01)
    IF(X.LT. .00000D+00.DR.X.GT. .11513D+02) WRITE(5,100)
    FORMAT(5X'A APROXIMACAO NAO E BDA PARA VALORES')
    * FORA DOS INTERVALOS TABELADOS()
    X=DEXP(X)
    RETURN
END

REAL*8 FUNCTION CURV3J(X)
REAL*8 X
X=DLOG(X)
IF(X.LT. .00000D+00) CURV3J=DEXP(-.10212D+01*X+ .34208D+01)
IF(X.GE. .00000D+00.AND.X.LT. .23026D+01)
    * CURV3J=DEXP(-.10212D+01*X+ .34208D+01)
    IF(X.GE. .23026D+01.AND.X.LT. .63969D+01)
    * CURV3J=DEXP(-.99001D-01*X*2+-.15551D+01*X+ .42188D+01)
    IF(X.GE. .63969D+01.AND.X.LT. .10597D+02)
    * CURV3J=DEXP(-.23731D-01*X*2+-.55891D+00*X+ .92578D+00)
    IF(X.GE. .10597D+02.AND.X.LT. .11513D+02)
    * CURV3J=DEXP(-.92652D-01*X+-.13509D+01)
    IF(X.GE. .11513D+02) CURV3J=DEXP(-.92652D-01*X+ .13509D+01)
    IF(X.LT. .00000D+00.DR.X.GT. .11513D+02) WRITE(5,100)
    FORMAT(5X'A APROXIMACAO NAO E BDA PARA VALORES')
    * FORA DOS INTERVALOS TABELADOS()
    X=DEXP(X)
    RETURN
END

REAL*8 FUNCTION CURV3I(X)
REAL*8 X
X=DLOG(X)
IF(X.LT. .00000D+00) CURV3I=DEXP(-.10081D+01*X+ .36549D+01)
IF(X.GE. .00000D+00.AND.X.LT. .23026D+01)
    * CURV3I=DEXP(-.10081D+01*X+ .36549D+01)
    IF(X.GE. .23026D+01.AND.X.LT. .63969D+01)
    * CURV3I=DEXP(-.10085D+00*X*2+-.16000D+01*X+ .44886D+01)
    IF(X.GE. .63969D+01.AND.X.LT. .10597D+02)
    * CURV3I=DEXP(-.24466D-01*X*2+-.58568D+00*X+ .11292D+01)
    IF(X.GE. .10597D+02.AND.X.LT. .11513D+02)
    * CURV3I=DEXP(-.95750D-01*X+-.13158D+01)
    IF(X.GE. .11513D+02) CURV3I=DEXP(-.95750D-01*X+ .13158D+01)
    IF(X.LT. .00000D+00.DR.X.GT. .11513D+02) WRITE(5,100)

```

(0.25)

```

100 FORMAT(5X,A APROXIMACAO NAO E BOA PARA VALORES
      * FORA DOS INTERVALOS TABELOADOS,) X=DEXP(X)
      RETURN
      END
      REAL*8 FUNCTION CMIS (X)
      REAL*8 X
      IF(X.LT. -80000D+02)
      *CMIS = .44921D-03*X**2+-18404D+00*X+ 21845D+02
      IF(X.GE. -80000D+02,AND,X.LT. -20000D+03)
      *CMIS = .44921D-03*X**2+-18404D+00*X+ 21845D+02
      IF(X.LT. -80000D+02)
      *CMIS = .44921D-03*X**2+-18404D+00*X+ 21845D+02
      IF(X.GE. -80000D+02,AND,X.LT. -20000D+03)
      *CMIS = .44921D-03*X**2+-18404D+00*X+ 21845D+02
      IF(X.LT. -80000D+02,OR,X.GT. -20000D+03) WRITE(5,100)
      FORMAT(5X,A APROXIMACAO NAO E BOA PARA "VALORES
      * FORA DOS INTERVALOS TABELOADOS")
      RETURN
      END
      REAL*8 FUNCTION CRDS (X)
      REAL*8 X
      IF(X.LT. -80000D+02) CRDS = -.23333D-01*X+ .52467D+02
      IF(X.GE. -80000D+02,AND,X.LT. -20000D+03)
      *CRDS = -.23333D-01*X+ .52467D+02
      IF(X.LT. -80000D+02) CRDS = -.23333D-01*X+ .52467D+02
      IF(X.GE. -80000D+02,AND,X.LT. -20000D+03)
      *CRDS = -.23333D-01*X+ .52467D+02
      IF(X.LT. -80000D+02,OR,X.GT. -20000D+03) WRITE(5,100)
      FORMAT(5X,A APROXIMACAO NAO E BOA PARA "VALORES
      * FORA DOS INTERVALOS TABELOADOS")
      RETURN
      END
      REAL*8 FUNCTION CKT (X)
      REAL*8 X
      IF(X.LT. -32000D+02) CKT = .47128D-03*X+ .31512D+00
      IF(X.GE. -32000D+02,AND,X.LT. -17600D+03)
      *CKT = .47128D-03*X+ .31512D+00
      IF(X.LT. -32000D+02) CKT = .47128D-03*X+ .31512D+00
      IF(X.GE. -32000D+02,AND,X.LT. -17600D+03)
      *CKT = .47128D-03*X+ .31512D+00
      IF(X.LT. -32000D+02,OR,X.GT. -17600D+03) WRITE(5,100)
      FORMAT(5X,A APROXIMACAO NAO E BOA PARA "VALORES
      * FORA DOS INTERVALOS TABELOADOS")
      RETURN
      END
      REAL*8 FUNCTION CCT (X)
      REAL*8 X
      IF(X.LT. -32000D+02)
      *CCT = .10817D-05*X**2+-24838D-03*X+ 10124D+01
      IF(X.GE. -32000D+02,AND,X.LT. -21200D+03)
      *CCT = .10817D-05*X**2+-24838D-03*X+ 10124D+01
      IF(X.LT. -32000D+02)
      *CCT = .10817D-05*X**2+-24838D-03*X+ 10124D+01
      IF(X.GE. -32000D+02,AND,X.LT. -21200D+03)
      *CCT = .10817D-05*X**2+-24838D-03*X+ 10124D+01
      IF(X.LT. -32000D+02,OR,X.GT. -21200D+03) WRITE(5,100)
      FORMAT(5X,A APROXIMACAO NAO E BOA PARA "VALORES
      * FORA DOS INTERVALOS TABELOADOS")
      RETURN

```

END
REAL*8 FUNCTION CROT (X)
REAL*8 X
IF(X.LT. -3.000D+02)
•CROT = -76066D-04*X**2+ .30491D-02*X+ .62497D+02
IF(X.GE. .32000D+02.AND.X.LT. .21200D+02)
•CROT = -76066D-04*X**2+ .30491D-02*X+ .62497D+02
IF(X.LT. -3.200D+02)
•CROT = -76066D-04*X**2+ .30491D-02*X+ .62497D+02
IF(X.GE. .32000D+02.AND.X.LT. .21200D+02)
•CROT = -76066D-04*X**2+ .30491D-02*X+ .62497D+02
IF(X.LT. -32000D+02.DR.X.GT. .21200D+03) WRITE(9,100)
• FORMATTED APPROXIMACAO PARA OS VALORES
• PARA OS TATILHADOS TABULADOS
RETURN
End

```

PROGRAM CCB
IMPLICIT REAL,B (A,B,S,X,Y)
LOGICAL ZA
COMMON /BL1/ A0,A1,B0,SX,SY,SXY,SX2,S2X,X0,XN,ZA,X00,XNN,TIPO,OUTF
COMMON /BL2/ A2,B,SA21,SX3,SX4
ZA=.FALSE. ; YNF=.T. ; OUTF=.T.
TYPE 10
FORMAT(//10X*'ARQUIVO DE ENTRADA ?'5(*=i)*> ',s)
ACCEPT 11,YNF
FORMAT(A10)
TYPE 15
FORMAT(//10A*NOME DA ROTINA ?'5(*=i)*> ',s)
ACCEPT 11,OUTF
TYPE 16
FORMAT(//10X*'ARQUIVO DE SAIDA ?'=====> ',s)
ACCEPT 11,OUTFED
OPEN(UN=T=1,DEVICE='DSK',ACCESS='SERIN',FILE=YNF)
OPEN(UNIT=2,DEVICE='DSK',ACCESS='SEQOUT',FILE=OUTFED)
WRITE(2,25)OUTF
FORMAT(6X'REALIZAR FUNCAO 'A6'(X)',6X'REAL(X)')
READ(1,20,END=70,ERR=60)REGR,TIPO,N
FORMAT(A2,1X,A3,I)
IF(TIPO.EQ.'LOG')NOT.ZA)WRITE(2,100)
FORMAT(6X'X='DLLOG(X))
IF(REGR.EQ.'F'.OR.REGR.EQ.'FI') GO TO 80
SX=0.; SY=0.; SXY=0.; S2X=0.; SX3=0.; SX4=0.; SX2=0.

TIPO2=TIPO ; REGR4=REGR
DO 40 I=1,N
READ(1,30,END=70,ERR=65) X,Y
IF(TIPO.CE.'NDRI') GO TO 35
X=DLLOG(X) ; Y=DLLOG(Y)
FORMAT(2D)
IF(ZA) GO TO 33
X0=X ; ZA=.TRUE.
IF(I.EQ.1) X0=X
IF(I.EQ.N) XN=X
XNN=X

CALCULO DAS SOMATURIAS

SX=SX+X
SY=SY+Y
SX2=SX2+X**2
SXY=SXY+X*Y
IF(REGR.EQ.'RL') GO TO 40
SX2Y=SX2Y+Y*X**2
SX3=SX3+X**3
SX4=SX4+X**4
CONTINU
IF(REGR.EQ.'RL') S2X=SX**2
IF(REGR.EQ.'RP') CALL QUAD2
IF(REGR.EQ.'RP') CALL QUAD3
GO TO 19
TYPE 61,YNF
FORMAT(/10X'HA!' UM ERRO NO ARQUIVO '#10'(CABECALHO')
GO TO 70
TYPE 66,YNF
FORMAT(/10X'HA!' UM ERRO NO ARQUIVO '#10'(VALORES X E Y'))

```

```

70 CLOSE(UNIT=1) ; CLOSE(UNIT=2) ; STOP
71 TYPE 81
72 FORMAT(//10X'PROGRAMA COMPLETAOO NORMAMENTE'/10X'VOCE QUER
73 1 RODAR NOVAMENTE ?'/10X'===== > ',$)
74 ACCEPT 85,I
75 FORMAT(A3)
76 TIPO=TIPO2 ; REGR=REGR2 ; ZA=.FALSE.
77 IF(REGR.EQ.'RP')CALL WRTPOL
78 IF(REGR.EQ.'RL')CALL WRTLIN
79 WRITE(2,90)X00,XNN
80 FORMAT(6X'IF(X.LT.-D11.5'.OR.X.GT.+D11.5') WRITE(5,100)//100+
81 23X+FORMAT(6X,'APROXIMACAO NAO E BOA PARA VALORES',/5X,*
82 3 'PURA DOS INTERVALOS TABULADOS'))')
83 IF(TIPO.EQ.'LOG')WRITE(2,111)
84 FORMAT(6X'X=BEXP(X)')
85 WRITE(2,112)
86 FORMAT(6X'RETURN//5X-END')
87 CLOSE(UNIT=1) ; CLOSE(UNIT=2)
88 IF(I.EQ.0) STOP
89 GO TO 5
90 END

```

SUBROUTINE QUAD2

INTERPOLACAO LINEAR

```

IMPLICIT REAL*8(A-H,O-S,U-Z)
LOGICAL ZA
COMMON/BL1/A0,A1,N,SX,SY,SXY,SX2,S2X,Y0,XN,ZA,X00,XNN,TIPO,OUTF
A1 = (SY * SX2 - SX * SXY) / (N * SX2 - S2X)
A0 = (N * SXY - SX * SY) / (N * SX2 - S2X)
CALL WRTLIN
RETURN
END

```

SUBROUTINE QUAD3

```
IMPLICIT REAL*8 (A-H,O-S,X,Y)
```

```
LOGICAL ZA
```

```
COMMON/BL1/A0,A1,N,SX,SY,SXY,SX2,S2X,Y0,XN,ZA,X00,XNN,TIPO,OUTF
COMMON/BL2/A2,R,SX2Y,SX3,SX4
```

```

A=SX
B=SX2
C=SX3
D=SX4
E=SY
F=SXY
G=SX2Y
BLDCO1=N*B-A**2
A2=(BLDCO1*(N*G-B*E)+N*(A*B*F-N*C*F+C*A*E)-E*B*A**2)/(N*(N*C**2
1 +D*BLDCO1+2*(A*B*C))-B**2*(A**2+BLDCO1))
A1=(N*F-A*E-A2*(N*C-A*B))/BLDCO1
A0=(E-A1+B*A2)/N
CALL WRTPOL
RETURN
END

```

```

SUBROUTINE WRITLN
IMPLICIT REAL*8(A,D,S,X,Y)
LOGICAL ZA
COMMON/B1/A0,A1,N,SX,SY,SXY,S2X,S2Y,X0,XN,ZA,X00,XNN,TIPO,OUTF
IF(X0.EQ.X00) GO TO 10
IF(.NOT.ZA) GO TO 15
IF(TIPO.EQ.'NOR') WRITE(2,100) X0,XN,OUTF,A0,A1
IF(TIPO.EQ.'LOG') WRITE(2,400) X0,XN,OUTF,A0,A1
RETURN
10 IF(TIPO.EQ.'NOR') WRITE(2,200) X00,OUTF,A0,A1
IF(TIPO.EQ.'LOG') WRITE(2,500) X00,OUTF,A0,A1
GO TO 5
RETURN
15 IF(TIPO.EQ.'NOR') WRITE(2,300) XNN,OUTF,A0,A1
IF(TIPO.EQ.'LOG') WRITE(2,600) XNN,OUTF,A0,A1
RETURN
FORMAT(6X*IF(X.GE.'D11.5'.AND.X.LT.'D11.5'))//5X*'A6'='D11.5'*X+
1D11.5)
FORMAT(6X*IF(X.GE.'D11.5'.AND.X.LT.'D11.5'))//5X*'A6'=DEXP(
1('D11.5'*X+'D11.5'))
FORMAT(6X*IF(X.LT.'D11.5') 'A6'='D11.5'*X+'D11.5)
FORMAT(6X*IF(X.LT.'D11.5') 'A6'=DEXP('D11.5'*X+'D11.5'))
FORMAT(6X*IF(X.GE.'D11.5') 'A6'='D11.5'*X+'D11.5)
FORMAT(6X*IF(X.GE.'D11.5') 'A6'=DEXP('D11.5'*X+'D11.5'))
END

```

```

SUBROUTINE WRTPOL
IMPLICIT REAL*8(A,D,S,X,Y)
LOGICAL ZA
COMMON/B1/A0,A1,N,SX,SY,SXY,S2X,X0,XN,ZA,X00,XNN,TIPO,OUTF
COMMON/B2/A2,R,S2Y,SX3,SX4
IF(X0.EQ.X00) GO TO 10
IF(.NOT.ZA) GO TO 15
IF(TIPO.EQ.'LOG') WRITE(2,100) X0,XN,OUTF,A2,A1,A0
IF(TIPO.EQ.'NOR') WRITE(2,125) X0,XN,OUTF,A2,A1,A0
RETURN
10 IF(TIPO.EQ.'LOG') WRITE(2,150) X00,OUTF,A2,A1,A0
IF(TIPO.EQ.'NOR') WRITE(2,175) X00,OUTF,A2,A1,A0
GO TO 5
RETURN
15 IF(TIPO.EQ.'LOG') WRITE(2,200) XNN,OUTF,A2,A1,A0
IF(TIPO.EQ.'NOR') WRITE(2,225) XNN,OUTF,A2,A1,A0
RETURN
FORMAT(6X*IF(X.GE.'D11.5'.AND.X.LT.'D11.5'))//5X*'A6'=DEXP('D11.5
1'*X**2+'D11.5'*X+'D11.5')
FORMAT(6X*IF(X.GE.'D11.5'.AND.X.LT.'D11.5'))//5X*'A6'='D11.5
1'*X**2+'D11.5'*X+'D11.5)
FORMAT(6X*IF(X.LT.'D11.5'))//5X*'A6'=DEXP('D11.5'*X**2+'D11.5
1'*X+'D11.5')
FORMAT(6X*IF(X.LT.'D11.5'))//5X*'A6'='D11.5'*X**2+'D11.5'*X+'D11.5)
FORMAT(6X*IF(X.GE.'D11.5'))//5X*'A6'
1=DEXP('D11.5'*X**2+'D11.5'*X+'D11.5')
FORMAT(6X*IF(X.GE.'D11.5'))//5X*'A6'='D11.5'*X**2+'D11.5'*X+'D11.5
END

```



```

120      ENDIF(1,3)
130      FORMATTED READ(D1,"SOCTAIA" R 5.2 PNTADA 6>> 1$)
140      FORMATTED READ(D2,"SOCTAIA" R 5.2 PNTADA 6>> 1$)
150      FORMATTED READ(D3,"SOCTAIA" R 5.2 PNTADA 6>> 1$)
160      FORMATTED READ(D4,"SOCTAIA" R 5.2 PNTADA 6>> 1$)
170      FORMATTED READ(D5,"SOCTAIA" R 5.2 PNTADA 6>> 1$)
180      FORMATTED READ(D6,"SOCTAIA" R 5.2 PNTADA 6>> 1$)
190      FORMATTED READ(D7,"SOCTAIA" R 5.2 PNTADA 6>> 1$)
200      FORMATTED READ(D8,"SOCTAIA" R 5.2 PNTADA 6>> 1$)
210      FORMATTED READ(D9,"SOCTAIA" R 5.2 PNTADA 6>> 1$)
220      FORMATTED READ(D10,"SOCTAIA" R 5.2 PNTADA 6>> 1$)
230      FORMATTED READ(D11,"SOCTAIA" R 5.2 PNTADA 6>> 1$)
240      FORMATTED READ(D12,"SOCTAIA" R 5.2 PNTADA 6>> 1$)
250      FORMATTED READ(D13,"SOCTAIA" R 5.2 PNTADA 6>> 1$)
260      END

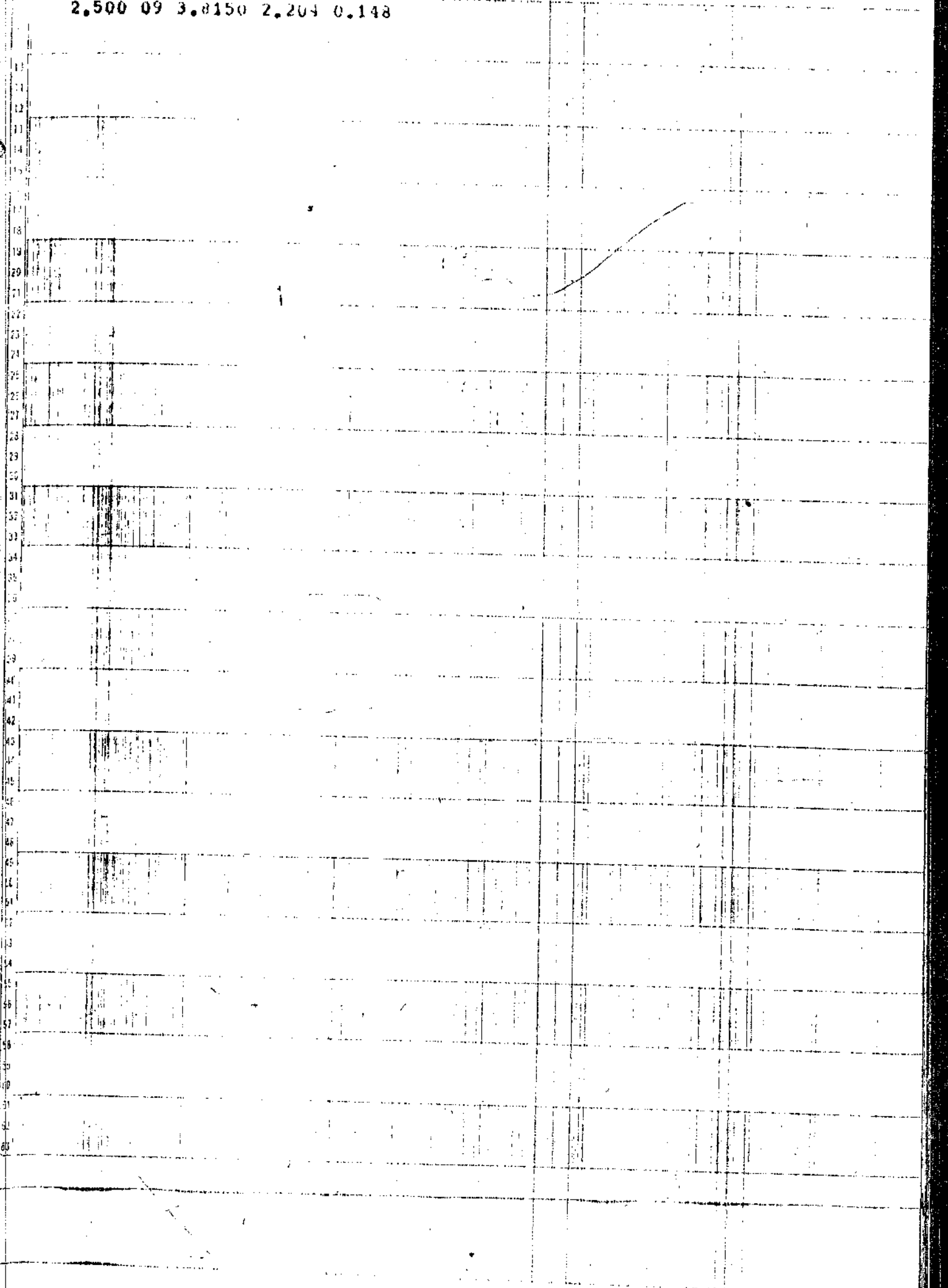
270      SUBROUTINE SOCTAIA(X,Y,Z,AU,GRMAX)
280      INTEGER I,J,K,L,M,N,MAX
290      DOUBLE PRECISION X,Y,Z,AU,GRMAX
300      L=1 ; S=1,I=1,J=1
310      DO 20 K=3,10,2
320      DO 10 I=1,3
330      S(I,K)=C(I+1,K-1)*S(I,K-1)/(C(I+1,1)*S(I,1))
340      S=S-1 ; L=L+1
350      CONTINUE
360      RETURN .
370      END

380      SUBROUTINE SOCTAII(X,Y,Z,AU,GRMAX)
390      INTEGER I,J,K,L,M,N,MAX
400      DOUBLE PRECISION X,Y,Z,AU,GRMAX
410      K=1,I=1,J=1
420      IF (X.GT.0.0) THEN
430      GRMAX=GRMAX+GRMAX(WRITE(10,20),VAR,M(1,1),VAR,
440      1,K,I,GRAJ+1,J,K)
450      IF (X.LT.0.0) THEN
460      GRMAX=GRMAX+GRMAX(WRITE(10,30),KANT,VAR,M(1,1),VAR,
470      1,K,I,GRAJ+1,J,K)
480      DO 10 I=1,3
490      DO 10 J=1,3
500      S1=1+C(I,J)*(C(I,J)*S(I,J))
510      S2=S1+GRMAX
520      IF (PORN)
530      FORMATTED WRITE(CM3,I,J,GR,1,A31,GT,(P14.6))
540      I=I+1,J=J+1
550      FORMATTED WRITE(CM3,I,J,GR,1,A31,GT,(P14.6))
560      I=I+1,J=J+1
570      FORMATTED WRITE(CM3,I,J,GR,1,A31,GT,(P14.6))
580      I=I+1,J=J+1
590      END

```

0.250	22	0.0295	0.194	0.026
0.250	24	0.0333	0.236	0.022
0.250	26	0.0356	0.213	0.016
0.375	18	0.0603	0.277	0.019
0.375	20	0.0731	0.305	0.035
0.375	22	0.0739	0.319	0.026
0.375	24	0.0800	0.331	0.022
0.500	16	0.1075	0.371	0.006
0.500	18	0.1269	0.412	0.019
0.500	20	0.1452	0.442	0.036
0.500	22	0.1536	0.443	0.020
0.625	12	0.1311	0.457	0.039
0.625	15	0.1476	0.435	0.019
0.625	14	0.1655	0.454	0.013
0.625	15	0.1817	0.464	0.022
0.625	16	0.1926	0.495	0.035
0.625	17	0.2035	0.505	0.038
0.625	18	0.2131	0.527	0.049
0.625	19	0.2238	0.541	0.032
0.625	20	0.2419	0.495	0.035
0.750	10	0.1625	0.582	0.114
0.750	11	0.2043	0.513	0.120
0.750	12	0.2223	0.533	0.109
0.750	13	0.2463	0.560	0.095
0.750	14	0.2679	0.584	0.093
0.750	15	0.2894	0.606	0.072
0.750	16	0.3019	0.623	0.105
0.750	17	0.3157	0.631	0.056
0.750	18	0.3339	0.652	0.049
0.750	20	0.3632	0.680	0.035
0.875	10	0.2892	0.607	0.134
0.875	11	0.3166	0.535	0.120
0.875	12	0.3390	0.557	0.109
0.875	13	0.3685	0.585	0.095
0.875	14	0.3948	0.709	0.083
0.875	16	0.4359	0.745	0.065
0.875	18	0.4712	0.777	0.049
0.875	20	0.5090	0.805	0.035
1.000	08	0.3526	0.679	0.105
1.000	10	0.4208	0.732	0.134
1.000	11	0.4536	0.760	0.120
1.000	12	0.4803	0.782	0.109
1.000	13	0.5153	0.810	0.095
1.000	14	0.5463	0.834	0.083
1.000	15	0.5755	0.856	0.072
1.000	16	0.5945	0.870	0.065
1.000	18	0.6390	0.902	0.049
1.000	20	0.6793	0.930	0.035
1.250	07	0.6221	0.890	0.100
1.250	08	0.6648	0.920	0.165
1.250	10	0.7574	0.982	0.134
1.250	11	0.8012	1.010	0.120
1.250	12	0.8365	1.032	0.109
1.250	13	0.8825	1.060	0.095
1.250	14	0.9229	1.084	0.083
1.250	16	0.9852	1.120	0.065
1.250	18	1.0420	1.152	0.049
1.250	20	1.0910	1.180	0.035
1.500	10	1.1920	1.232	0.134

1.500	12	1.2910	1.282	0.109
1.500	14	1.3980	1.334	0.083
1.500	16	1.4740	1.370	0.065
2.000	11	2.4330	1.760	0.120
2.000	13	2.5730	1.812	0.095
2.500	09	3.8150	2.204	0.148



DAD

TRI	0.2040	9.1360	0.0000	0.2493	0.2598	2.6430	5	46	424	49	0
	16.1250	0.3323	0.0830	1.375	22	9.0560	1.000	1.000	470	1	9
	88410	144.7	155.2	115600	176.2	172.4	695.	1577.000	1265.400		
	47390	142.6	157.1	114300	176.5	173.6	442.	491.000	441.500		
	29240	141.5	158.7	114700	176.3	174.3	310.	206.000	92.600		
	37800	142.2	157.5	112900	175.8	173.5	376.	208.000	283.000		
	88330	123.4	127.1	115000	155.0	145.2	639.	1570.000	1326.100		
	74980	122.8	126.5	113900	154.9	144.7	573.	1160.000	931.200		
	46700	123.8	126.3	114900	156.4	143.6	404.	460.000	426.100		
	31280	123.9	126.1	114900	157.9	142.2	309.	212.000	199.500		
	87920	122.9	126.9	114100	154.9	145.3	667.	1470.000	1214.000		
TRI	0.2040	9.1360	0.0000	0.2493	0.2598	2.6430	5	46	424	49	2
	16.1260	0.3323	0.0830	1.375	22	9.0560	1.000	1.000	470	1	11
	65670	145.4	154.4	51540	174.2	168.4	618.	1020.000	853.670		
	38510	142.2	157.5	113400	174.4	173.0	403.	362.000	359.100		
	25900	140.2	159.0	113500	175.9	174.1	308.	179.000	168.150		
	14040	138.6	161.5	113300	175.9	174.9	200.	78.300	56.530		
	65670	123.7	126.6	116500	151.8	143.1	428.	997.000	628.900		
	28240	123.6	126.0	114300	156.8	143.6	325.	340.000	367.000		
	25870	123.9	125.9	113900	157.7	142.2	249.	196.000	178.980		
	13590	123.9	125.8	115100	160.6	140.0	164.	77.500	57.020		
	13860	124.9	125.6	115100	160.1	140.0	167.	75.900	59.408		
	38250	123.7	126.3	112600	156.5	143.5	314.	389.000	364.150		
	26260	123.5	125.6	117000	158.1	141.9	254.	175.000	171.370		
TRI	0.2040	9.1360	0.0000	0.2493	0.2598	2.6430	5	46	424	49	3
	16.1250	0.3323	0.0830	1.375	22	9.0560	1.000	1.000	470	1	14
	89210	144.5	155.6	112200	117.2	172.9	834.	1920.000	1699.200		
	75400	143.7	156.0	113100	177.1	173.1	734.	1430.000	1298.600		
	47390	142.5	157.7	113600	176.7	173.7	524.	602.000	559.800		
	30040	141.0	148.6	113100	175.6	173.9	390.	270.000	237.640		
	14040	138.9	161.4	113900	175.0	174.0	211.	63.500	66.930		
	58470	144.2	157.4	115200	177.2	173.9	589.	978.000	860.500		
	20080	139.9	159.3	114300	173.9	172.3	275.	1395.000	131.610		
	87930	123.2	127.4	113500	155.0	145.0	643.	1920.000	1711.900		
	74530	123.8	127.6	114700	156.6	145.0	584.	1432.000	1269.400		
	47000	124.0	126.9	114500	156.9	143.6	425.	566.000	570.500		
	29780	123.5	125.9	116000	158.4	141.2	311.	254.000	237.360		
	13810	123.8	125.4	114000	161.7	138.9	180.	69.400	68.880		
	20200	124.1	126.1	108600	160.0	140.3	239.	157.000	136.860		
	59240	123.6	127.0	115000	156.1	144.0	506.	990.000	730.300		
TRI	0.1800	8.0310	7.5000	0.3750	0.3950	1.0620	12	19	151	20	3
	23.0000	0.5310	0.1560	1.416	18	7.9690	1.000	1.000	170	1	9
	168.0	85.0	85.6	25000	150.0	122.5	76.	14.688	14.544		
	163.0	84.7	85.6	25000	150.0	124.5	1327	27.792	26.928		
	150.0	81.8	86.6	25000	150.0	126.0	230.	48.384	45.936		
	139.0	85.6	87.5	25000	150.0	127.5	311.	69.552	64.656		
	120.0	85.0	88.8	25000	150.0	131.5	55.0	171.360	149.760		
	112.0	85.0	88.9	25000	150.0	134.0	70.0	290.980	244.800		
	112.0	85.2	89.6	25000	150.0	137.0	73.5	413.280	355.520		
	104.0	84.8	89.8	25000	150.0	138.5	82.8	612.000	486.4720		
	96.0	85.0	90.8	25000	150.0	140.0	106.0	1055.520	800.6640		
IJKI	0.1800	8.00700	7.5000	0.3750	0.3950	1.0620	18	20	150	21	3
	23.0000	0.5310	0.1560	1.416	18	7.9690	1.000	1.000	170	1	11
	168.0	85.1	85.6	25000	150.0	98.0	1029	27.360	27.360		
	163.0	84.9	85.6	25000	150.0	100.5	1663	36.000	36.000		
	157.0	84.9	86.0	25000	150.0	106.0	232.	64.800	64.800		
	1320	84.9	86.0	25000	150.0	111.0	264.	89.280	87.840		
	150.0	85.1	86.6	25000	150.0	115.0	369.	122.400	119.520		
	139.0	85.3	87.2	25000	150.0	118.5	445.	167.040	162.720		
	129.0	85.2	87.6	25000	150.0	121.0	5937	237.600	228.960		

110.0	8370	85.0	88.9	25000	150.0	125.5	72.0	371.520	352.800
108.0	11800	85.0	89.8	25000	150.0	128.5	91.0	587.520	557.280
96.0	16200	85.2	90.9	25000	150.0	132.0	105.0	950.400	881.280
94.0	20200	85.2	91.7	25000	150.0	134.0	119.0	1257.120	1150.560
TRI 0.2200	10.2300	9.1250	0.3750	0.3950	1.5620	9	38	224	39 4
23.0000	0.5310	0.1560	1.416	18	10.1600	1.000	1.000	292	1 8
163.0	4380	85.0	85.8	92500	150.0	117.0	30.4	73.440	70.560
157.0	7200	85.3	86.4	92500	150.0	120.5	43.8	115.200	106.560
150.0	11000	85.0	86.4	92500	150.0	126.0	51.0	195.840	175.680
145.0	13700	85.1	86.7	92500	150.0	127.0	60.5	233.280	201.600
145.0	15500	85.1	86.8	92500	150.0	128.0	65.3	293.760	254.880
145.0	20200	85.1	87.1	92500	150.0	131.0	72.5	408.960	341.280
139.0	22800	85.0	87.1	92500	150.0	132.0	78.0	482.400	394.560
139.0	25000	84.8	87.0	92500	150.0	133.0	79.3	524.160	419.040
TRI 0.1900	3.5270	3.2580	0.3750	0.3850	1.1560	10	4	36	5 0
14.0000	0.4530	0.0780	1.208	20	3.5100	1.000	1.000	40	1 15
150.0	475	87.7	88.0	18500	149.0	119.0	32.4	73.440	73.440
150.0	675	86.3	88.8	18500	151.0	120.0	46.0	97.920	96.480
145.0	945	87.0	87.6	18500	150.0	123.5	53.5	122.400	120.960
137.0	1260	85.0	85.6	18500	149.0	124.0	65.3	164.160	161.280
129.0	3540	85.6	87.0	18500	150.5	134.8	109.0	540.000	514.080
129.0	4410	84.9	86.5	18500	151.0	136.5	122.0	720.000	679.680
290.0	612	69.5	69.9	18500	121.0	97.2	39.4	164.160	164.160
351.0	900	67.0	67.5	18500	121.0	101.0	42.0	239.040	237.600
322.0	1550	67.2	67.9	18500	119.5	102.0	67.5	385.920	381.600
309.0	1980	66.6	67.4	18500	121.5	105.0	70.4	460.800	452.160
309.0	2250	67.3	68.2	18500	119.5	105.0	80.0	555.840	545.760
268.0	3060	66.4	69.4	18500	121.0	109.0	87.0	835.200	816.480
268.0	3620	68.7	69.7	18500	120.0	109.0	98.0	914.400	887.040
258.0	4710	68.6	69.8	18500	121.5	111.2	116.0	1310.400	1267.200
240.0	6000	70.2	71.5	18500	120.0	112.0	120.2	1900.800	1828.800
TRI 0.2400	5.49810	5.5000	0.3750	0.3850	2.0310	9	15	109	16 0
23.0000	0.4530	0.0780	1.208	20	5.9580	1.000	1.000	124	1 18
163.0	1020	85.0	85.9	57500	151.5	120.0	13.1	48.960	48.960
168.0	1770	85.2	85.6	57500	150.0	121.0	21.1	97.920	97.920
163.0	4260	84.5	85.4	57500	149.0	122.0	48.3	213.120	210.240
163.0	4800	83.3	84.4	57500	151.0	122.5	55.0	218.880	214.560
163.0	5800	83.8	85.1	57500	150.0	123.5	63.0	295.200	289.440
163.0	7750	82.4	83.9	57500	150.0	126.0	69.5	426.240	416.160
150.0	8600	84.3	85.9	57500	151.0	127.0	83.0	426.240	414.720
145.0	13900	82.6	84.8	57500	150.0	131.0	102.0	914.400	880.160
133.0	17300	85.4	87.5	57500	150.0	133.5	115.0	1195.200	1152.000
125.0	27000	84.6	87.5	57500	150.0	130.0	151.0	2217.600	2102.400
365.0	2510	66.6	67.6	57500	150.0	120.0	21.8	226.960	227.520
290.0	3040	70.7	71.1	57500	121.0	102.0	28.0	262.080	260.640
365.0	3690	66.2	66.8	57500	120.0	102.0	31.9	311.040	308.160
365.0	4210	65.9	66.6	57500	121.0	101.5	36.9	391.680	388.800
309.0	6240	67.6	68.5	57500	119.5	102.5	52.3	555.840	550.080
309.0	10800	65.9	67.4	57500	121.0	105.0	82.0	1048.320	1029.600
290.0	13500	65.8	67.4	57500	120.0	106.0	89.0	1425.600	1396.800
268.0	18200	66.7	68.5	57500	121.0	108.5	109.0	2016.000	1958.400
TRI 0.2000	8.0070	7.2500	0.0250	0.6400	1.5620	23	7	61	8 3
47.0000	0.7500	0.1250	1.200	18	7.9400	1.000	1.000	68	2 6
129.0	11400	90.3	92.2	65000	140.0	119.5	70.0	868.320	856.800
129.0	14300	89.5	91.5	65000	139.5	120.5	80.0	1137.600	1123.200
125.0	17100	90.3	92.5	65000	140.0	122.0	91.0	1670.400	1641.600
125.0	20700	89.2	91.8	65000	140.0	135.9	97.0	2160.000	2116.800
125.0	23900	90.0	92.9	65000	140.0	124.0	112.0	2707.200	2649.600
110.0	28100	90.3	93.5	65000	140.0	125.6	125.0	3600.000	3528.000
TRI 0.2450	7.9590	7.8440	0.3750	0.3860	5.5000	11	33	210	34 0

79.0000	0.4530	0.6780	1.208	24	7.9220	1.000	1.000	246	1	7
21.1	27000	154.0	160.0	83500	190.2	164.2	128.0	1147.680	1117.440	
21.1	34000	154.0	160.0	83500	190.2	166.0	147.0	1483.200	1438.560	
21.1	36100	154.0	160.0	83500	189.6	165.8	156.0	1728.000	1684.800	
20.8	40500	154.0	161.0	83500	190.2	166.4	171.0	2016.000	1958.400	
20.8	45000	154.0	160.0	83500	190.2	167.2	181.0	2361.600	2275.200	
20.8	49500	154.0	160.0	83500	189.8	167.8	150.0	2592.000	2491.200	
20.8	54000	155.0	161.0	83500	190.2	169.0	206.0	2808.000	2692.800	
TRI	0.5000	7.9590	7.8440	0.3750	0.3860	5.5000	11	67	176	68
79.0000	0.4530	0.6780	1.208	24	7.9220	1.000	1.000	243	1	9
21.1	18000	154.0	157.0	83500	189.0	162.8	87.2	417.600	403.200	
21.1	27000	154.0	158.0	83500	190.3	165.5	107.0	705.600	676.800	
21.1	29700	154.0	158.0	83500	190.5	166.8	119.0	799.200	764.640	
21.1	33700	154.0	159.0	83500	190.3	167.5	125.0	972.000	927.360	
20.8	36100	155.0	160.0	83500	190.0	168.0	132.0	1051.200	1008.000	
20.8	40500	154.0	159.0	83500	190.3	168.3	144.0	1209.600	1152.000	
20.8	45000	154.0	160.0	83500	190.0	169.3	152.0	1440.000	1353.600	
20.8	49500	154.0	160.0	83500	189.8	169.5	164.0	1641.600	1540.800	
20.8	54000	154.0	161.0	83500	190.3	170.5	175.0	1886.400	1771.200	
TRI	0.2000	8.0200	7.1000	0.6250	0.6380	3.1250	19	9	59	10
71.0000	0.7500	0.1250	1.200	18	7.9760	1.000	1.000	68	1	1
38.5	490	79.9	120.2	140000	125.0	125.0	7.8	6.480	6.480	
38.5	950	80.0	116.6	140000	125.0	125.0	10.7	14.832	14.832	
39.0	1800	80.1	113.3	140000	125.0	125.0	16.2	42.480	42.480	
42.2	2700	80.0	111.0	140000	125.0	124.0	21.3	67.824	67.824	
42.2	4950	80.0	106.8	140000	125.0	125.0	30.2	150.480	150.480	
42.2	6300	80.0	104.4	140000	125.0	124.0	33.9	216.720	214.560	
42.2	11300	80.0	101.0	140000	125.0	124.0	51.5	419.040	416.160	
42.2	19400	80.0	100.2	140000	125.0	124.0	59.5	636.480	630.720	
42.2	18500	80.1	99.1	140000	125.0	123.0	71.0	884.160	876.960	
42.2	23000	80.2	97.9	140000	125.0	123.0	82.0	1152.000	1140.980	
24.4	27000	80.0	97.0	140000	125.0	123.0	90.0	1504.800	1483.200	
24.4	900	141.0	141.0	140000	180.4	151.0	9.23	6.480	6.480	
25.0	2430	140.0	140.0	140000	180.4	151.3	22.90	19.584	19.584	
25.0	4500	140.0	140.0	140000	179.6	153.0	37.80	43.200	43.200	
24.4	6190	140.0	140.0	140000	180.6	145.8	46.80	64.800	63.360	
24.4	8540	140.0	141.0	140000	180.4	157.1	54.90	105.120	103.680	
24.4	11100	140.0	141.0	140000	180.0	158.2	66.70	164.160	161.280	
24.4	18200	140.0	141.0	140000	179.6	160.4	90.40	354.240	347.040	
23.4	22700	140.0	141.0	140000	180.0	162.0	104.00	524.160	511.200	
23.4	27300	140.0	142.0	140000	180.2	163.0	120.00	734.400	720.000	
23.4	33500	140.0	142.0	140000	180.6	164.1	130.00	1042.560	1015.200	
23.4	38200	140.0	142.0	140000	180.4	164.6	152.00	1310.400	1267.200	
23.4	44700	140.0	142.0	140000	180.0	165.2	168.00	1749.600	1699.200	
23.4	57000	140.0	143.0	140000	180.0	166.3	198.00	2736.000	2649.600	

```
REAL*8 FUNCTION CURV11(REH)
RETURN
END
REAL*8 FUNCTION CURV8(REH)
RETURN
END
REAL*8 FUNCTION CURV10(REH)
RETURN
END
REAL*8 FUNCTION CURV7(REH)
RETURN
END
REAL*8 FUNCTION CURV1B(RES)
RETURN
END
REAL*8 FUNCTION CURV1C(RES)
RETURN
END
REAL*8 FUNCTION CURV1E(RES)
RETURN
END
REAL*8 FUNCTION CURV1F(RES)
RETURN
END
REAL*8 FUNCTION CURV3D(RES)
RETURN
END
REAL*8 FUNCTION CURV3C(RES)
RETURN
END
REAL*8 FUNCTION CURV3F(RES)
RETURN
END
REAL*8 FUNCTION CURV4A(RES)
RETURN
END
REAL*8 FUNCTION CURV4B(RES)
RETURN
END
REAL*8 FUNCTION CURV4C(RES)
RETURN
END
REAL*8 FUNCTION CURV6A(REH)
RETURN
END
REAL*8 FUNCTION CURV6B(REH)
RETURN
END
REAL*8 FUNCTION CURV6C(REH)
RETURN
END
REAL*8 FUNCTION CURV9A(REP)
RETURN
END
REAL*8 FUNCTION CURV9B(REP)
RETURN
END
REAL*8 FUNCTION CURV9C(REP)
RETURN
END
```

```
REAL*8 FUNCTION CURV1A(RES)
RETURN
END
REAL*8 FUNCTION CURV1D(RES),
RETURN
END
REAL*8 FUNCTION CURV3A(RES),
RETURN
END
REAL*8 FUNCTION CURV3B(RES),
RETURN
END
REAL*8 FUNCTION CURV3E(RES),
RETURN
END
```

ANEXO C

DIAGRAMA DE BLOCOS E LISTAGENS DOS PROGRAMAS PARA O
DIMENSIONAMENTO TERMO-HIDRÁULICO

C.1 - DIAGRAMA DE BLOCOS

No diagrama de blocos é mostrada a lógica utilizada nos programas para o dimensionamento da área de troca de calor, discutido no Capítulo 4. Deve-se observar que, a partir da subrotina PERDA (5^a folha), os testes de verificação realizados pelo DIMEN3, entre as áreas estimada e calculada e, entre as perdas de carga do lado do casco admissível e calculada, apresentam-se bem detalhados.

C.2 - LISTAGENS

As listagens encontram-se na seguinte sequência:

- DADOS.1, DADOS.3 - dados de entrada do exemplo 1 e do exemplo 2, respectivamente.

(a) DIMEN1 - primeiro programa principal

- LERDAD - subrotina que lê os dados de entrada

DEFIN2 - subrotina que determina parte das definições preliminares.

- C1 - funções CLA150 e CLA300, que determinam P_{pbs} e P_{pbt} na Figura 4.4 (montadas através do CEL).

• NCS1 - função que determina o número suficiente de cascos em série, referente ao método gráfico apresentado no item 4.2.9(b).

(b) DIMEN2 - segundo programa principal

- CATGEO - subrotina que determina as características geométricas do trocador.

• TROPET - subrotina que calcula o coeficiente de película e a perda de carga para o lado dos tubos.

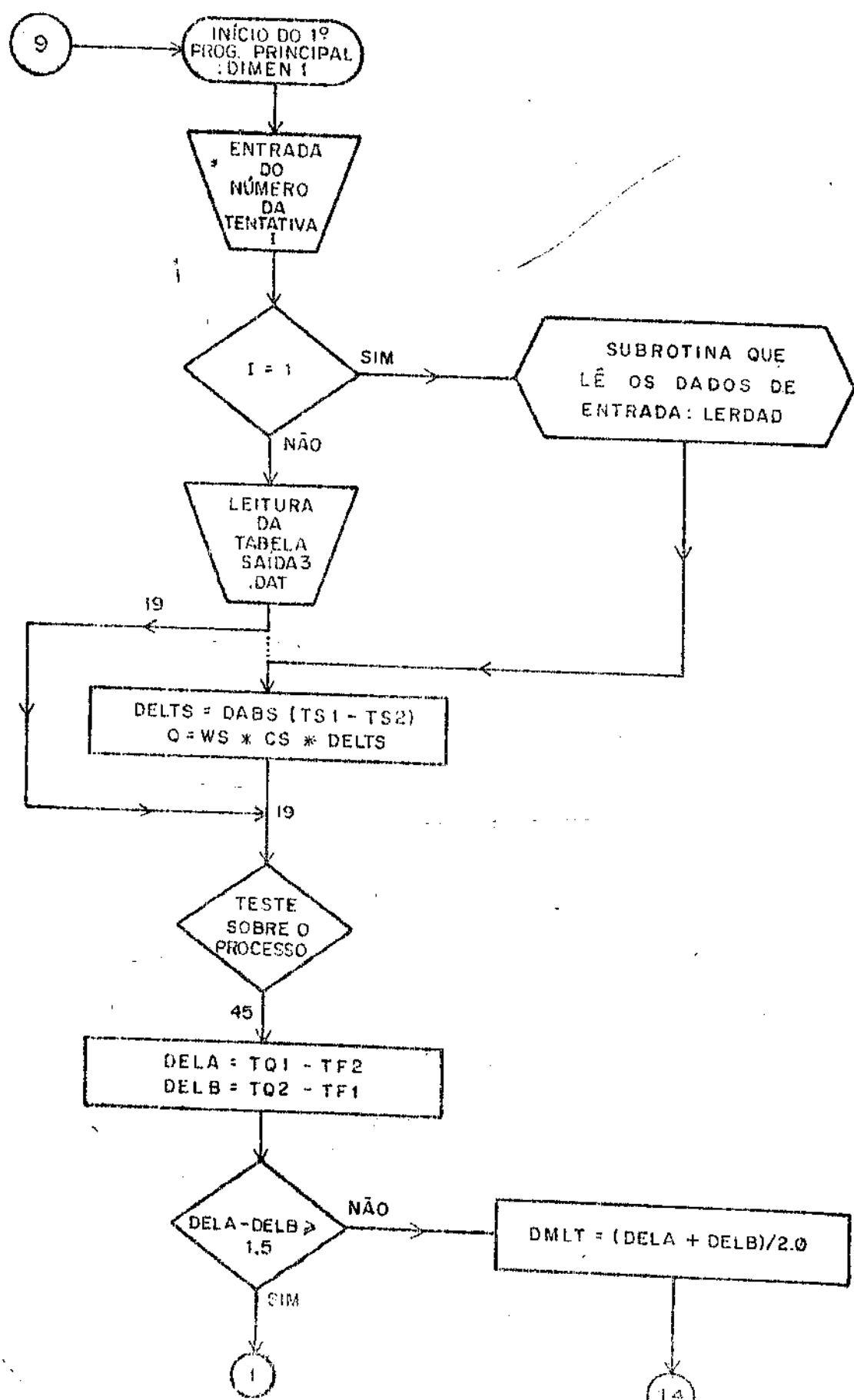
- C3, C4 - subrotinas com as funções que determinam os fatores β_{31f} e β_{32f} (Figuras 4.7 e 4.8) (montadas através do CEL)
- NTU, NTUBOS - subrotinas para a determinação do número total de tubos do trocador na Tabela 4.10 (NTU lê valores de d_1 e d_3 na TAB11A.DAT e NTUBOS lê valores de N_t na TAB11B.DAT).
- TAB15A, TAB15B, TAB15C - funções que fornecem o fator de correção f_d (Tabela 4.14), de acordo com o material dos tubos.

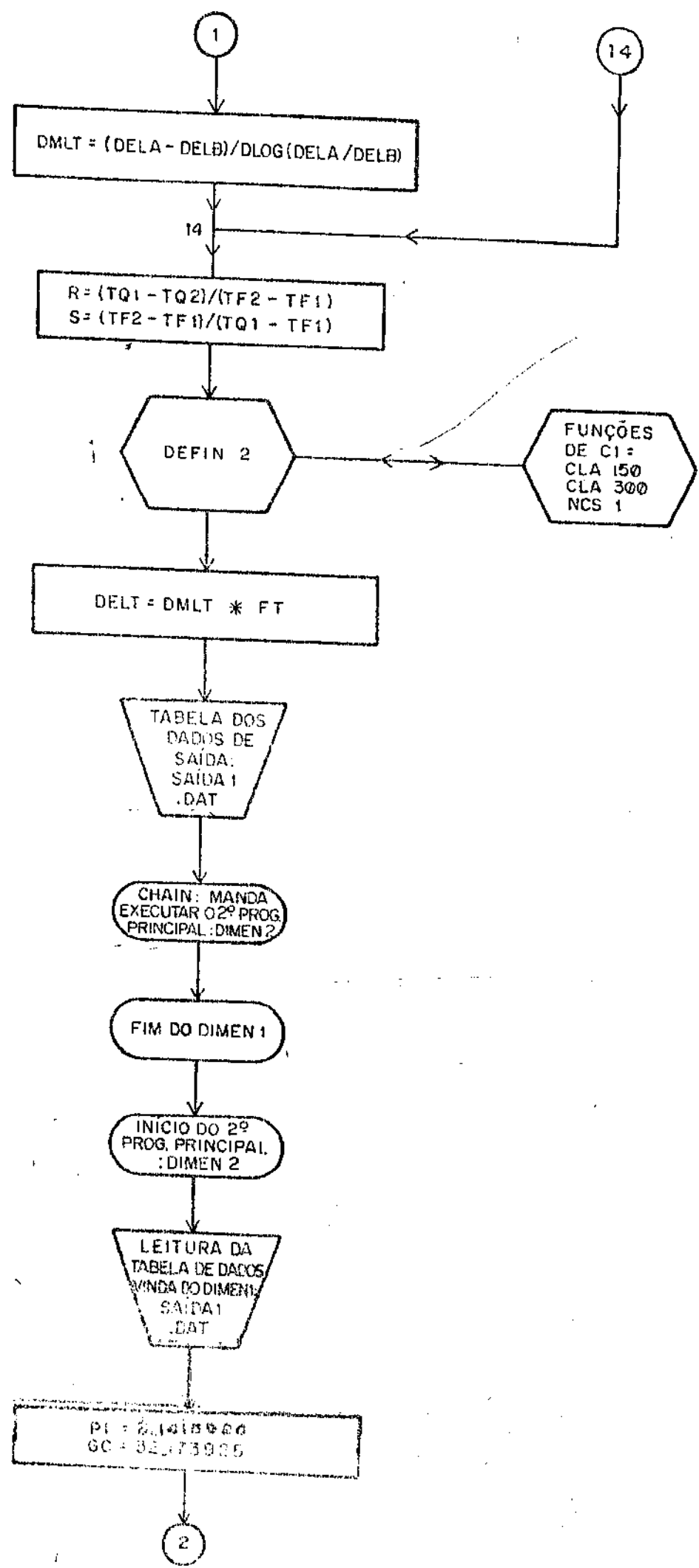
(c) DIMEN3 - terceiro programa principal

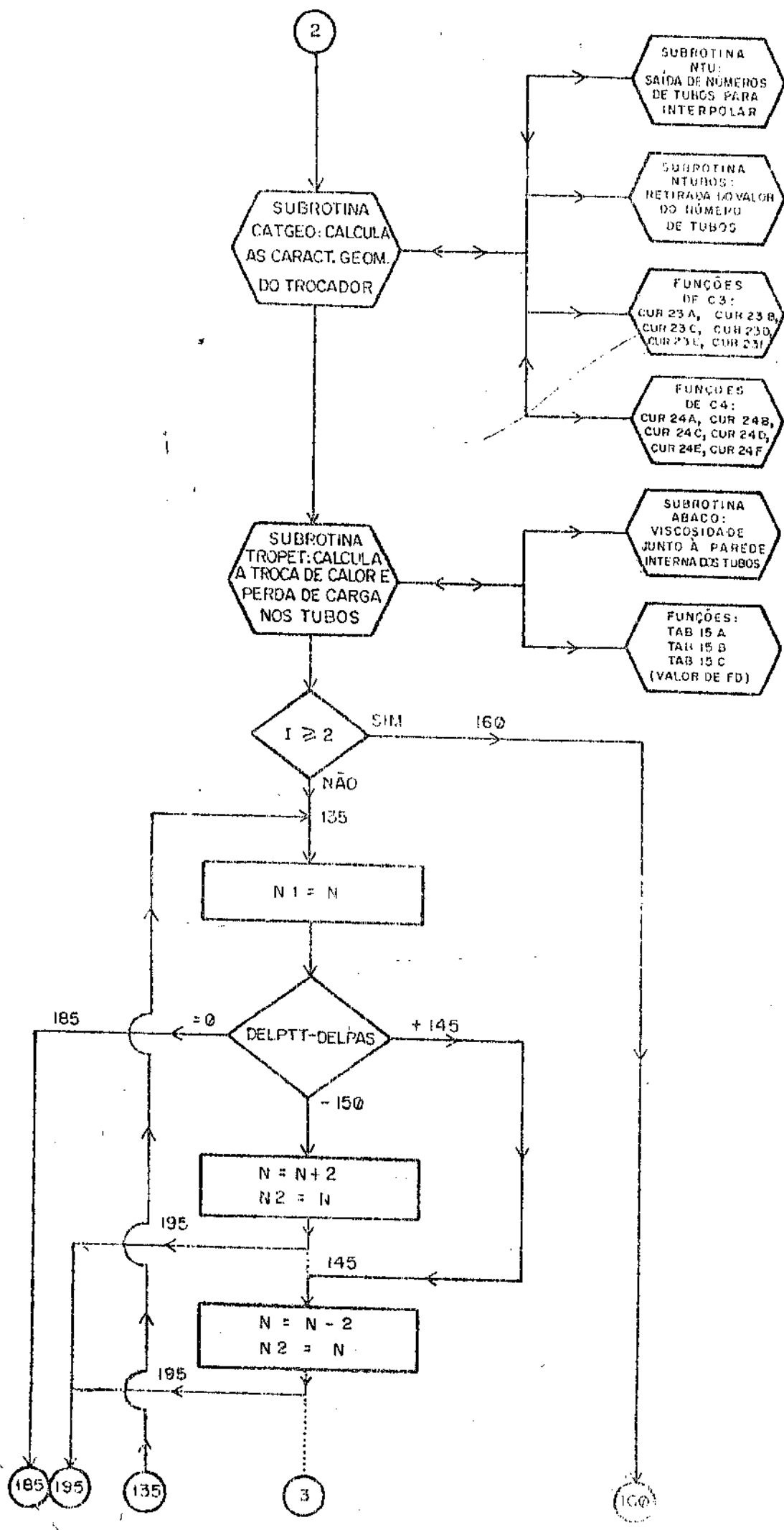
Faz os testes entre as áreas de troca térmica estimada e calculada e, entre as perdas de carga no casco admissível e calculada; de acordo com esses testes o programa envia dados para uma nova tentativa ou fornece os resultados dos parâmetros dimensionados do trocador.

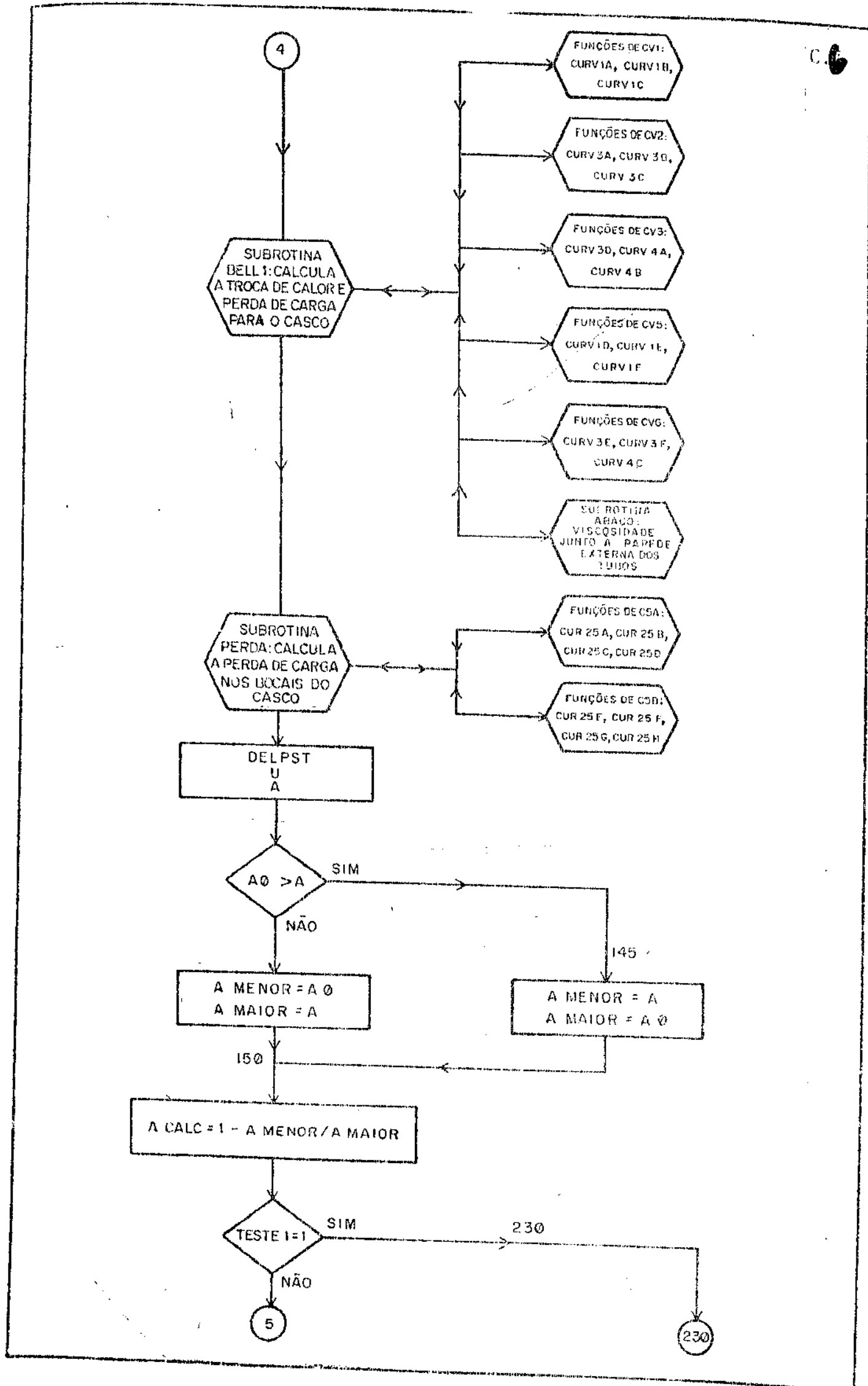
- BELL1 - subrotina do método de BELL que calcula o coeficiente de película e a perda de carga do lado do casco.
- PERDA - subrotina que calcula a perda de carga nos bocais do casco.
- RESULT - subrotina que cria o arquivo e lista os parâmetros dimensionados do trocador.
- CV1, CV2, CV3, CV5, CV6 - contêm as funções que determinam o fator de troca de calor e o coeficiente de atrito do método de BELL (montadas através do CEL).
- ABACO - subrotina que determina a viscosidade de líquidos (figura dada pela TEMA^(4.2)).
- ABACOA, ABACOB - funções de ABACO (montadas através de CEL).
- CSA, CSB - contêm as funções para a determinação de Z (Figura 4.10) (montadas através do CEL).
- TAB11A.DAT - tabela de subrotina NTU
- TAB11B.DAT - tabela da subrotina NTUBOS
- VISCO.DAT - tabela da subrotina ABACO: fornece as coordenadas referentes a cada líquido, dadas na figura citada.

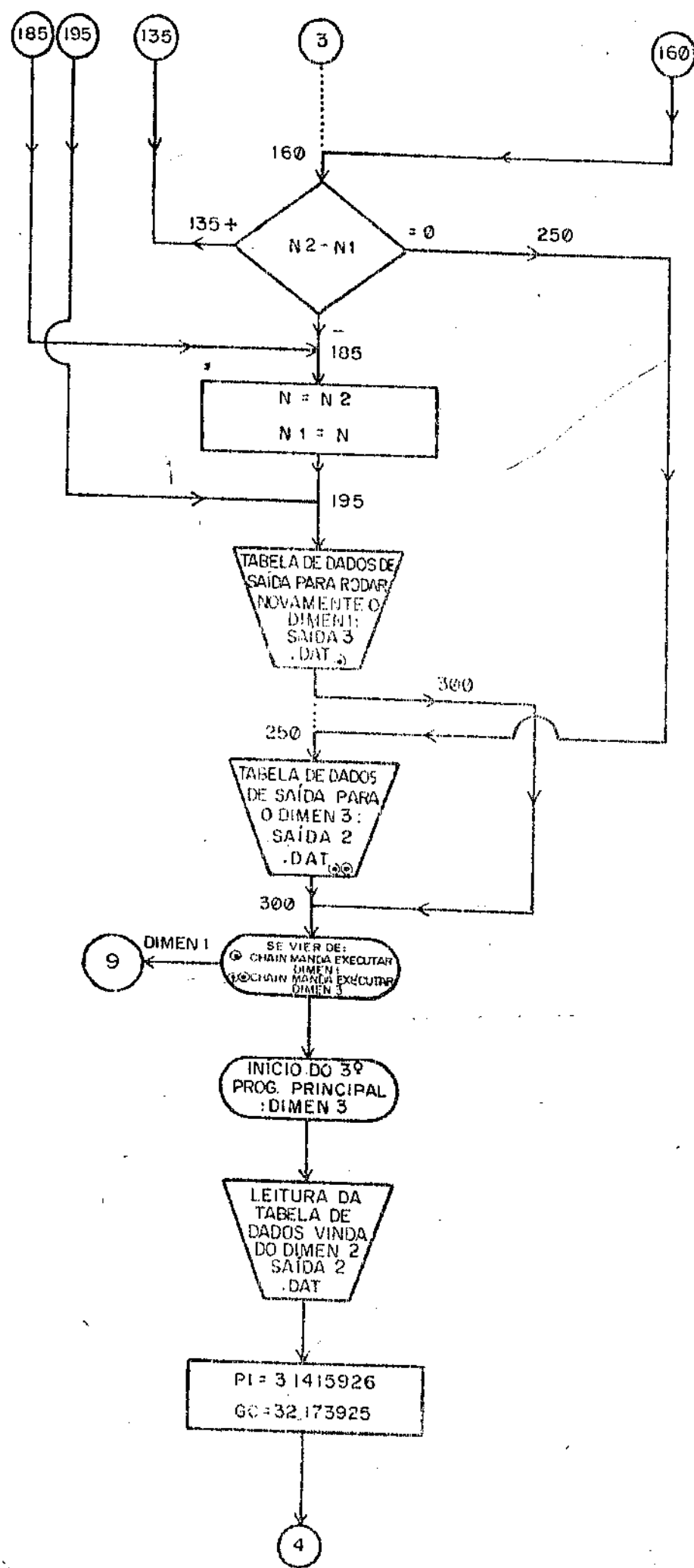
**DIAGRAMA DE BLOCOS PARA OS PROGRAMAS DO
DIMENSIONAMENTO**

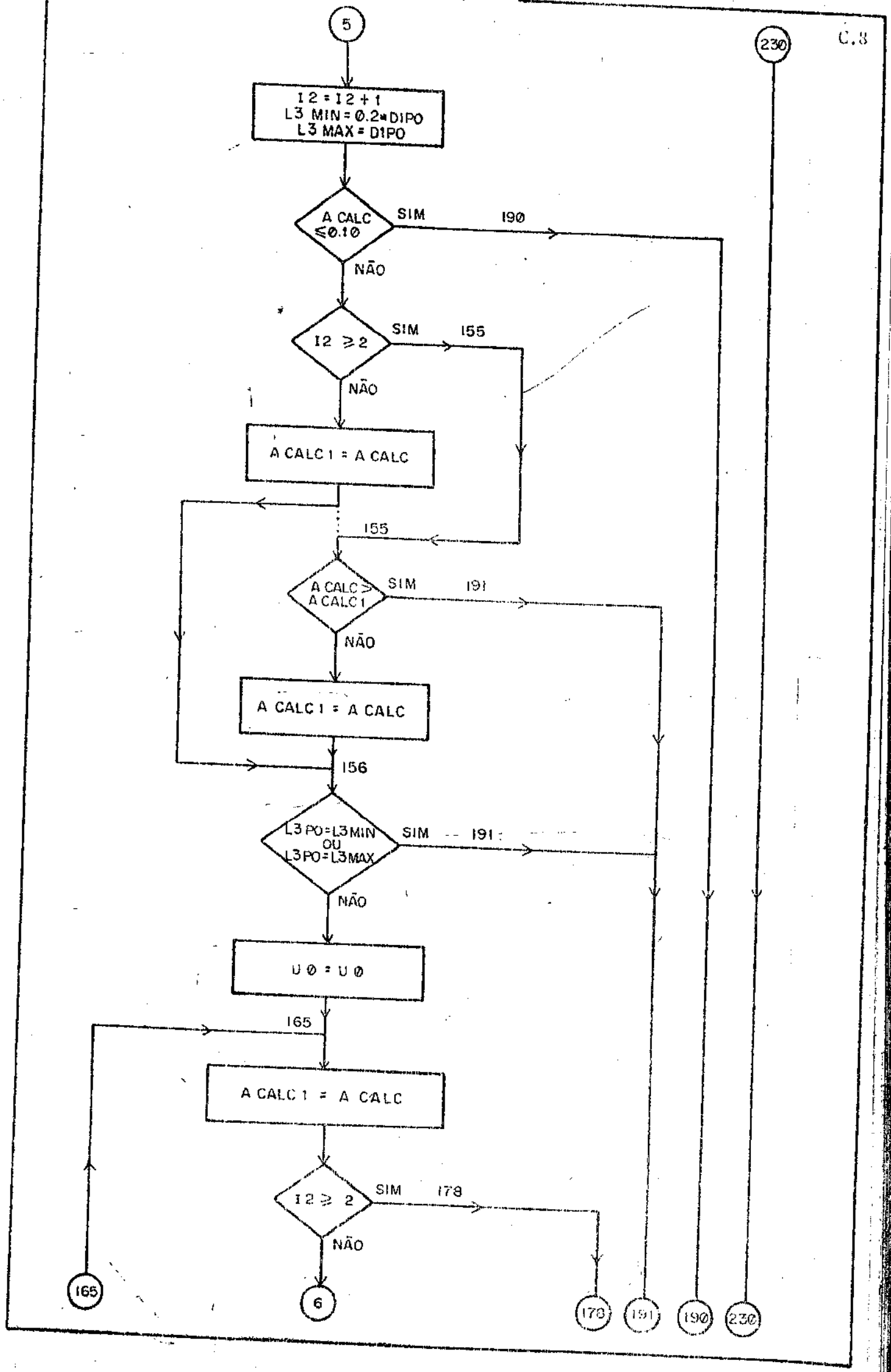


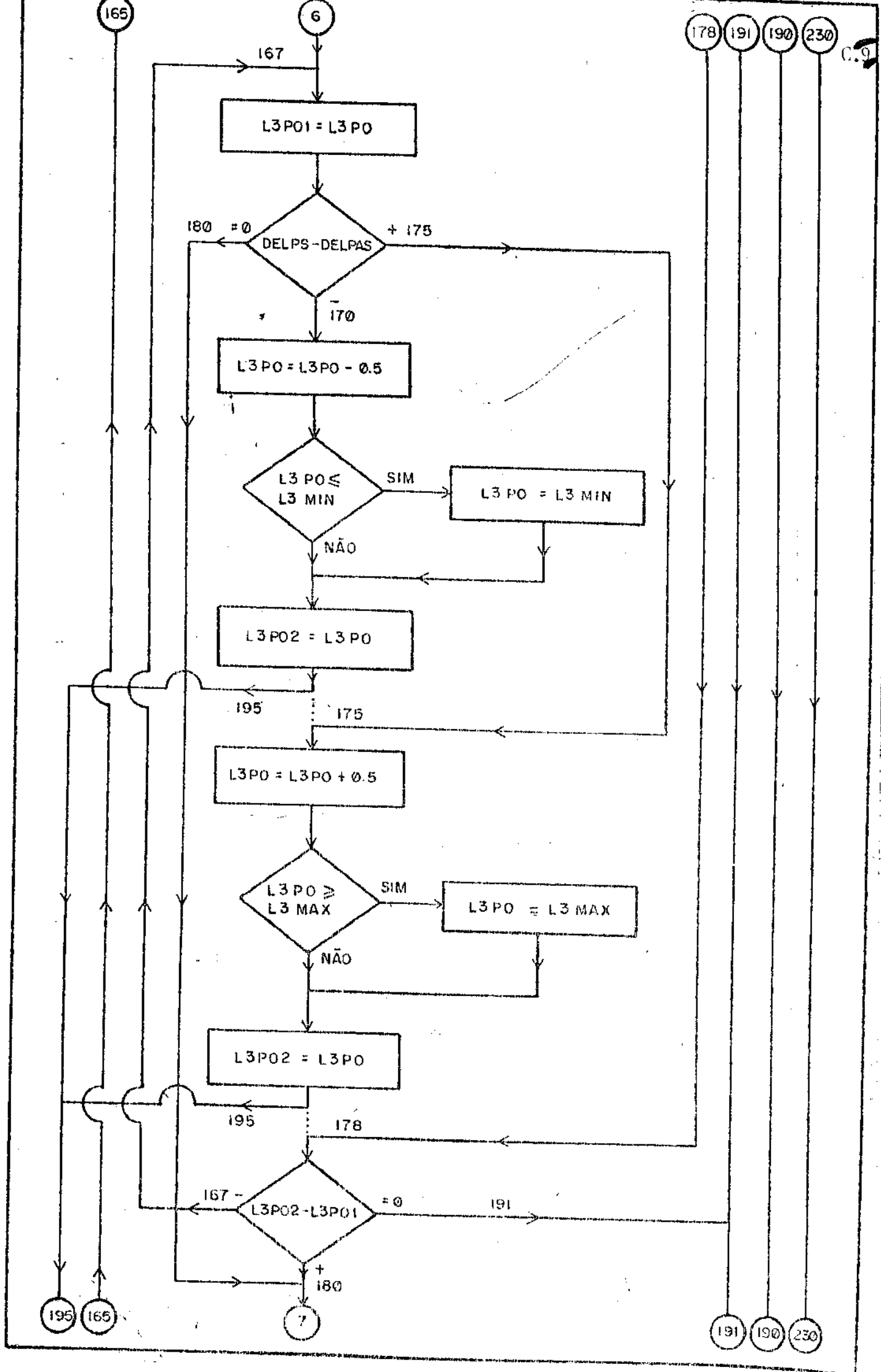


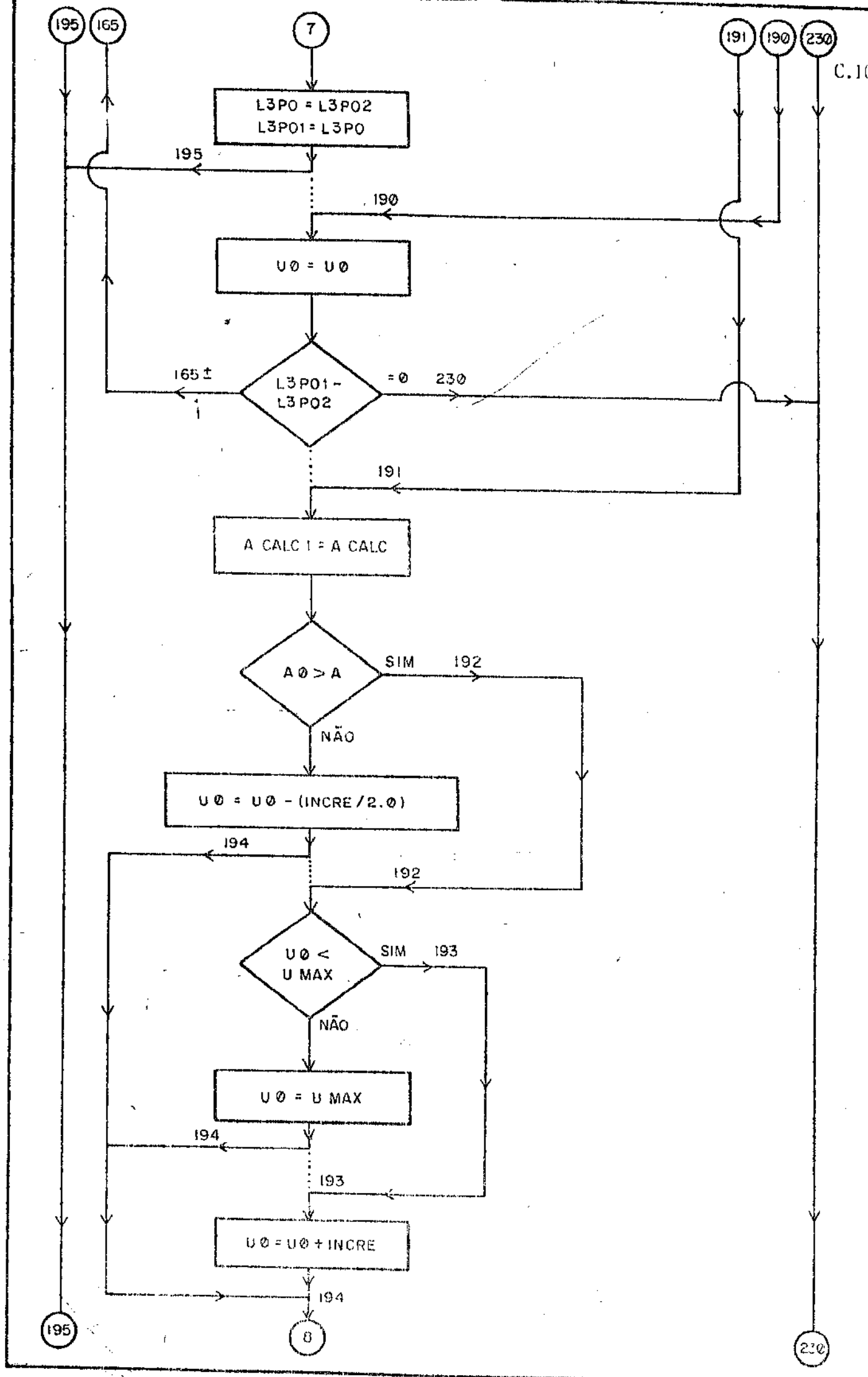




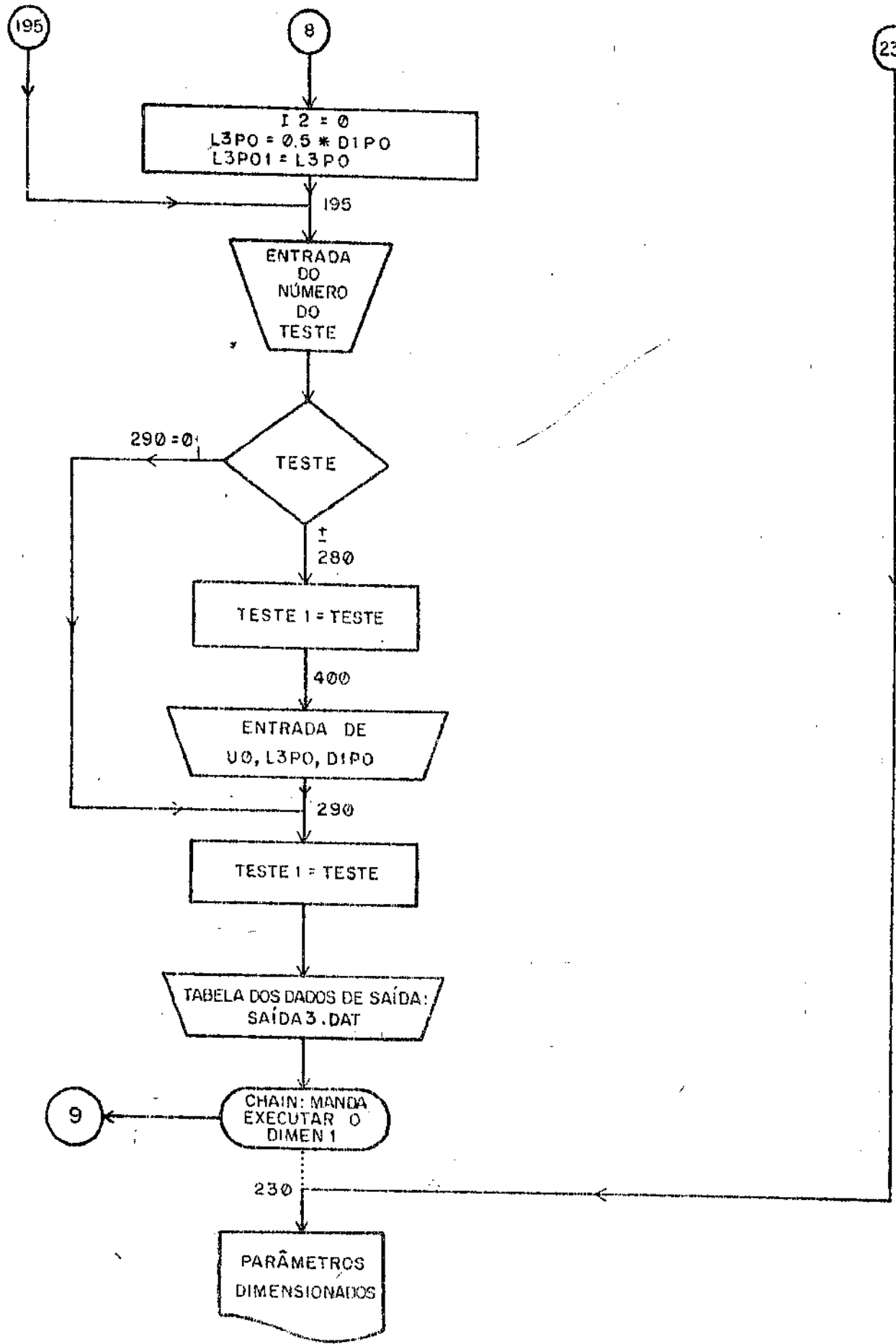








230



```

0001      PROGRAM DIMEN1
0002      EXTERNAL CLA150, CLA300, NCS
0003      IMPLICIT REAL*8(A-Z)
0004      REAL*8 PROGNM(3)
0005      LOGICAL*1 SAIDA3(10), SAIDA1(12), NOME1(18), NM(18)
0006      INTEGER*2 LIQS, LIGT, NCS, N, I, BN(), NI, N2, I2, TESTE1, INDEC
0007      COMMON/COMUM/D1PO
0008      COMMON/COMUM1/T$, TT
0009      COMMON/COMUM2/PPO, ARR
0010      COMMON/COMUM3/LTOT
0011      COMMON/COMUM4/FIT
0012      COMMON/COMUM5/CT, CFT
0013      COMMON/COMUM8/ROS
0014      COMMON/COMU10/MIS
0015      COMMON/COMU14/WT, TIPO
0016      COMMON/COMU15/ROT
0017      COMMON/COMU16/WS
0018      COMMON/COMU17/FIS
0019      COMMON/COMU18/L, EE, TIPO
0020      COMMON/COMU20/MIT1, MIT2
0021      COMMON/COMU21/LIQS
0022      COMMON/COMU22/D2PO
0023      COMMON/COMU23/NCS
0024      COMMON/COMU24/ERP, RDI, TUBO, MATERT, BNG
0025      COMMON/COMU25/R, S
0026      COMMON/COMU26/TF1, TF2, TQ1, TQ2
0027      COMMON/COMU27/N
0028      COMMON/COMU28/PPBS
0029      COMMON/COMU32/A
0030      COMMON/COMU35/FT
0031      COMMON/COMU38/MIS1, MIS2
0032      COMMON/COMU39/PPBT
0033      COMMON/COMU43/KPT, E, MATER8, DELPAS, DELPAT
0034      COMMON/COMU45/TS1, TS2
0035      COMMON/COMU47/RDO
0036      COMMON/COMU48/PROCES
0037      COMMON/COMU50/KT
0038      COMMON/COMU51/CS, KS
0039      COMMON/COMU52/TPS, TPT, PPS, PPT
0040      COMMON/COMU56/UMAX, UMIN
0041      COMMON/COMU59/TT1, TT2
0042      COMMON/COMU60/ROS1, ROS2, ROT1, ROT2
0043      COMMON/COMU62/I2
0044      COMMON/COMU67/INDEC

```

C

DADOS DE ENTRADA

C

VAZAO DOS FLUIDOS-WS,WT

C

NUMERO DO FLUIDO DO CASCO E DO FLUIDO DOS TUBOS NA LISTA DAS COORDENADAS PARA A VISCOSIDADE-LIQS,LIGT

C

TIPO DE PROCESSO(REFERE-SE SEMPRE AO FLUIDO DO CASCO)-PROCES

C

TEMPERATURAS DE ENTRADA E SAIDA DO FLUIDO DO CASCO-TS1, TS2

C

TEMPERATURAS DE ENTRADA E SAIDA DO FLUIDO DOS TUBOS-TT1, TT2

C

DENSIDADE E VISCOSIDADE DE ENTRADA E SAIDA DO FLUIDO DO CAS-

C CO-ROS1,MIS1,ROS2,MIS2
 C DENSIDADE E VISCOSIDADE DE ENTRADA E SAIDA DO FLUIDO DOS TU-
 C BOS-ROT1,MIT1,ROT2,MIT2
 C TEMPERATURAS MEDIAS-TS,TT
 C PROPRIEDADES MEDIAS DO FLUIDO DO CASCO-ROS,MIS,CS,KS
 C PROPRIEDADES MEDIAS DO FLUIDO DOS TUBOS-ROT,MIT,CT,KT
 C PERDAS DE CARGA ADMISSIVEIS-DELPAS,DELPAT
 C PRESSAO DE OPERACAO DOS FLUIDOS DO CASCO E DOS TUBOS-P0S,P0T
 C FATORES DE DEPOSITO-RD0,RD1
 C NUMERO DE CASCOS EM SERIE-NCS
 C TIPO CONSTRUTIVO DO TROCADOR-TIPO
 C DIAMETRO INTERNO INICIAL DO CASCO-D1P0
 C NUMERO DE TRAJETOS DE TUBOS-N
 C COMPRIMENTO TOTAL DOS TUBOS-L
 C ESPESSURA DOS ESPELHOS DE TUBOS-EE
 C ESPESSURA DA PAREDE DOS TUBOS-E
 C DIAMETRO EXTERNO DOS TUBOS-D2P0
 C DIAMETRO INTERNO DOS TUBOS-D1P0
 C DISPOSTICA DOS TUBOS(ARRANJOS)-ARR
 C TUBOS RETOS OU EM U-TUBO=TUBORE OU TUBOEU
 C DISTANCIA ENTRE CENTROS DE TUBOS ADJACENTES-P0
 C ALTURA MEDIA DAS ASPEREZAS DA PAREDE DOS TUBOS-ERP
 C CONDUTIBILIDADE TERMICA DA PAREDE DOS TUBOS-KPT
 C RAZAO DE VISCOSIDADE INICIAL PARA O FLUIDO DO CASCO-FIS
 C RAZAO DE VISCOSIDADE INICIAL PARA O FLUIDO DOS TUBOS-FIT
 C COEFICIENTE GLOBAL MINIMO DE TROCA DE CALOR-UMIN
 C COEFICIENTE GLOBAL MAXIMO DE TROCA DE CALOR-UMAX
 C VALOR INICIAL PARA AREA PARA TESTE-A
 C MATERIAL DO CASCO-MATERS
 C MATERIAL DOS TUBOS-MATERT
 C BIRMINGHAM WARE GAGE DO TUBO-BWG
 C PRESSOES DE PROJETO-PPS,PPT
 C TEMPERATURAS DE PROJETO-TPS,TPT
 C NUMERO INTEIRO PARA TESTE NO TERCEIRO PROGRAMA-T2
 C INDICACAO PARA O CALCULO DO ESPACAMENTO ENTRE CHICANAS - INDEC

```

0045      TYPE 10
0046 10 FORMAT(10X' ENTRADA DO NUMERO DA TENTATIVA; I= ', $)
0047 ACCEPT 20,I
0048 20 FORMAT(I3)
0049 IF(I.NE.1) GO TO 17
0051 CALL LERDAD
0052 GO TO 18
0053 17 TYPE 25,I
0054 25 FORMAT(1X,I3)
0055 DATA SAIDA3//'$','A','I','D','A','3',' ',' ','D','A','T'//
0056 OPEN(UNIT=2,NAME=SAIDA3,TYPE='OLD',ACCESS='SEQUENTIAL')
0057 READ(2,1)ROS1,ROS2,ROT1,ROT2,ROS,ROT,CS,CT
0058 1 FORMAT(8(1X,F7.4))
0059 TYPE 1,ROS1,ROS2,ROT1,ROT2,ROS,ROT,CS,CT
0060 READ(2,1)D1P0,D2P0,DIPO,PPO,KPT,L,EE,E
0061 TYPE 1,DIPO,D2P0,DIPO,PPO,KPT,L,EE,E
0062 READ(2,2)TS1,TS2,TT1,TT2,TS,TT,A,KS,KT
0063 2 FORMAT(7(1X,F7.2),2(1X,F7.4))
  
```

```
0064      TYPE 2,TS1,TS2,TT1,TT2,TS,TT,A,KS,KT
0065      READ(2,3)DELPAS,DELPAT,PPS,PPT,UMIN,UMAX,FIS,FIT,TPS,TPT
0066 3     FORMAT(4(1X,F6.2),2(1X,F5.1),2(1X,F5.3),2(1X,F7.2))
0067      TYPE 3,DELPAS,DELPAT,PPS,PPT,UMIN,UMAX,FIS,FIT,TPS,TPT
0068      READ(2,4)LQS,LQT,NQS,N,BWG,PROCES,TIPO,ARR,TUBO,MATERS
1,MATERT,ERP
0069 4     FORMAT(5(1X,I3),6(1X,A6),1X,F8.6)
0070      TYPE 4,LQS,LQT,NQS,N,BWG,PROCES,TIPO,ARR,TUBO,MATERS
1,MATERT,ERP
0071      READ(2,5)MIS1,MIS2,MIT1,MIT2,MIS,MIT,RDG,RDI
0072 5     FORMAT(8(1X,F7.4))
0073      TYPE 5,MIS1,MIS2,MIT1,MIT2,MIS,MIT,RDO,RDI
0074      READ(2,6)WS,WT,I2,ACALC1,TESTE1,INDEC
0075 6     FORMAT(2(1X,F10.2),1X,I3,1X,F5.3,2(1X,I1))
0076      TYPE 6,WS,WT,I2,ACALC1,TESTE1,INDEC
0077      READ(2,7)DMLT,R,S,PPBS,PPBT,Q
0078 7     FORMAT(2(1X,F6.2),1X,F8.6,2(1X,F6.2),1X,F12.2)
0079      TYPE 7,DMLT,R,S,PPBS,PPBT,Q
0080      READ(2,8)DELT,U0,FT,N1,N2,L3P0,L3P01,L3P02,L3MIN,L3MAX
0081 8     FORMAT(2(1X,F6.2),1X,F8.6,2(1X,I3),5(1X,F6.3))
0082      TYPE 8,DELT,U0,FT,N1,N2,L3P0,L3P01,L3P02,L3MIN,L3MAX
0083      CLOSE(UNIT=2)
0084      GO TO 19
0085 18    TYPE 1000,TS,TS1,TS2,CS,KS,ROS
0086 1000  FORMAT(6(1X,F11.4))
0087      TYPE 1000,TT,TT1,TT2,CT,KT,ROT
0088      TYPE 15,PROCES
0089 15    FORMAT(1X,A6)
0090      DELTS=DABS(TS1-TS2)
C      CALOR REQUERIDO
0091      Q=WL*KCS*DELTS
C      CALCULO DA DIFERENCA REAL DE TEMPERATURA
0092 19    IF(PROCES.EQ.'RESFRI')GO TO 9
0093      TF1=TS1
0094      TF2=TS2
0095      TQ1=TT1
0096      TQ2=TT2
0097      GO TO 45
0098      TQ1=TT1
0099 9     TF1=TT1
0100      TF2=TT2
0101      TQ1=TS1
0102      TQ2=TS2
0103 45    DELA=TQ1-TF1
0104      DELB=TQ2-TF1
0105      IF((DELA-DELB).GE.1.5) GO TO 11
C      A DIFERENCA DE TEMPERATURA USADA E A DIFERENCA DE TEMPERA-
C      TURA MEDIA ARITMETICA
0106      DMLT=(DELA+DELB)/2.0
0107      GO TO 14
0108      DMLT=(DELA-DELB)/DLOG(DELA/DELB)
0109 11    R=(TQ1-TQ2)/(TF2-TF1)
0110 14    S=(TF2-TF1)/(TQ1-TF1)
0111      TYPE 401,R,S,TF1,TF2,TQ1,TQ2
0112      FORMAT(6(1X,F8.4))
```

FORTRAN IV

V02.04

PAGE 004

```

0114      TYPE 801,L3P01,L3P01,L3P02
0115  801  FORMAT(3(1X,F7.4))
0116      CALL DEFIN2
0117      DELT=DMLT*FT
0118      TYPE 200
0119  200  FORMAT(//3X'ARQUITO DE SAIDA DO DIMENT'>,'>',S)
0120      ACCEPT 210,SAIDA1
0121  210  FORMAT(12A1)
0122      TYPE 215,SAIDA1
0123  215  FORMAT(1X,12A1)
0124      OPEN(UNIT=2,NAME=SAIDA1,TYPE='NEW',ACCESS='SEQUENTIAL')
0125      WRITE(2,1)ROS1,ROS2,ROT1,ROT2,RD0,ROT,CG,C*
0126      WRITE(2,1)D1PO,D2PO,D1PO,PPO,K1T,L,SE,E
0127      WRITE(2,2)TS1,TS2,TT1,TT2,TS,TT,A,KS,KT
0128      WRITE(2,3)DELPAS,DELPAT,PPS,PPT,UHIN,UMAX,FIS,FTI,TPS,TPT
0129      WRITE(2,4)LIQS,LIRT,NCS,N,BUG,PROCES,TIPO,ARR,TUBO,MATERS
1,MATERT,ERP
0130      WRITE(2,5)MIS1,MIS2,MIT1,MIT2,MIS,MIT,RD0,RDI
0131      WRITE(2,6)WS,WT,I2,ACALC1,TESTE1,INDEC
0132      WRITE(2,12)DMLT,R,S,PPBS,PPBT,O,T
0133  12   FORMAT(2(1X,F6.2),1X,F9.6,2(1X,F6.2),1X,F12.2,1X,I3)
0134      WRITE(2,8)DELT,U0,FT,N1,N2,L3P01,L3P01,L3P02,L3MIN,L3MAX
0135      TYPE 9,DELT,U0,FT,N1,N2,L3P01,L3P01,L3P02,L3MIN,L3MAX
0136      CLOSE(UNIT=2,DISPOSE='SAVE')
0137      TYPE 30
0138  30   FORMAT(10X' INSTRUCAO PARA CHAMAR O "CHAIN", NOME1',,$)
0139      ACCEPT 35,NOME1
0140  35   FORMAT(18A1)
0141      TYPE 40,NOME1
0142  40   FORMAT(1X,18A1,/)
0143      CALL IRAD50(18,NOME1,PROGNM)
0144      CALL R50ASC(18,PROGNM,NM)
0145      TYPE 40,NM
0146      CALL CHAIN(PROGNM,0)
0147      END
DIMEN1

```

```
0001      SUBROUTINE LERDAD
0002      IMPLICIT REAL*8(A-Z)
0003      LOGICAL*1 NOME(9)
0004      INTEGER*2 LIQS,LIQT,NCS,N,BWG,I2,INDEC
0005      COMMON/COMUM/D1PO
0006      COMMON/COMUM1/TS,TT
0007      COMMON/COMUM2/PPO,ARR
0008      COMMON/COMUM3/LIRT
0009      COMMON/COMUM4/FIT
0010      COMMON/COMUM5/CT-MIT
0011      COMMON/COMUM8/RDS
0012      COMMON/COMU10/MIS
0013      COMMON/COMU14/WT,D1PO
0014      COMMON/COMU15/ROT
0015      COMMON/COMU16/WS
0016      COMMON/COMU17/FIS
0017      COMMON/COMU18/L-EE,TTPO
0018      COMMON/COMU20/MIT1-MIT2
0019      COMMON/COMU21/LIQS
0020      COMMON/COMU22/D2PO
0021      COMMON/COMU23/NCS
0022      COMMON/COMU24/ERP,ROT-TUBO,MATER,T,BWG
0023      COMMON/COMU27/N
0024      COMMON/COMU32/A
0025      COMMON/COMU38/MTS1,MTS2
0026      COMMON/COMU43/KPT,E,MATERS,DELPAS,DELPAT
0027      COMMON/COMU45/TS1,TS2
0028      COMMON/COMU47/RDD
0029      COMMON/COMU48/PROCES
0030      COMMON/COMU50/KT
0031      COMMON/COMU51/CS,KS
0032      COMMON/COMU52/TPS,TPT,PPS,PPT
0033      COMMON/COMU56/UMAX,UMIN
0034      COMMON/COMU59/TT1,TT2
0035      COMMON/COMU60/ROS1,ROS2,ROT1,ROT2,ROS,ROT,CS,CT
0036      COMMON/COMU62/I2
0037      COMMON/COMU67/INDEC
0038      DATA NOME//'D','A','D','D','S',' ',' ','D','A','T'//
0039      OPEN(UNIT=2,NAME=NOME,TYPE='OLD',ACCESS='SEQUENTIAL')
0040      READ(2,1)ROS1,ROS2,ROT1,ROT2,ROS,ROT,CS,CT
0041      1 FORMAT(8(1X,F7.4))
0042      TYPE 1,ROS1,ROS2,ROT1,ROT2,ROS,ROT,CS,CT
0043      READ(2,1)D1PO,D2PO,DIPO,PPO,KPT,L,EE,E
0044      TYPE 1,D1PO,D2PO,DIPO,PPO,KPT,L,EE,E
0045      READ(2,2)TS1,TS2,TT1,TT2,TS,TT,A,KS,KT
0046      2 FORMAT(7(1X,F7.2),2(1X,F7.4))
0047      TYPE 2,TS1,TS2,TT1,TT2,TS,TT,A,KS,KT
0048      READ(2,3)DELPAS,DELPAT,PPS,PPT,UMIN,UMAX,FIS,FIT,TPS,TPT
0049      3 FORMAT(4(1X,F6.2),2(1X,F5.1),2(1X,F5.3),2(1X,F7.2))
0050      TYPE 3,DELPAS,DELPAT,PPS,PPT,UMIN,UMAX,FIS,FIT,TPS,TPT
0051      READ(2,4)LIQS,LIQT,NCS,N,BWG,PROCES,TIPO,ARR,TUBO,MATERS
0052      4 FORMAT(5(1X,I3),6(1X,A6),1X,FB,6)
0053      TYPE E 4,LIQS,LIQT,NCS,N,BWG,PROCES,TIPO,ARR,TUBO,MATERS
```

FORTRAN IV 902.04

PAGE 002

```
1, MATERT, ERP
0054 READ(2,5)MIS1,MIS2,MIT1,MIT2,MIS,MIT,RDD,RUJ
0055 5 FORMAT(8(1X,F7.4))
0056 TYPE 5,MIS1,MIS2,MIT1,MIT2,MIS,MIT,RDD,RUJ
0057 READ(2,6)WS,WT,I2,IMDEC
0058 6 FORMAT(2(1X,F10.2),1X,I5,1X,I1)
0059 TYPE 6,WS,WT,I2,IMDEC
0060 CLOSE(UNIT=2)
0061 RETURN
0062 END
LERDAD
```

FOR/LIST/TTI DEFIN2
FORTRAN IV 2000.04

PAGE 001

```

0001      SUBROUTINE DEFIN2
0002      EXTERNAL CLA150, CLA300, NCST
0003      IMPLICIT REAL*8(A-Z)
0004      INTEGER NCS, N, I1, NCST
0005      COMMON /COMU1/ TS, TF
0006      COMMON /COMU2/ TCS
0007      COMMON /COMU3/ R
0008      COMMON /COMU4/ T1, T2, T3, T4
0009      COMMON /COMU5/ TQ1, TQ2
0010      COMMON /COMU6/ R1, R2
0011      COMMON /COMU7/ TS1
0012      COMMON /COMU8/ TS2
0013      COMMON /COMU9/ TS3
0014      C DEFINICOES PRELIMINARES
0015      506      TYPE 504, NCS, N, R, S
0016      FORMAT(3X, NCS='13', 3X, N='1000', 3X, R='1.000000E+00', 3X, S='F8.6')
0017      507      TYPE 507, TF1, TF2, TQ1, TQ2
0018      FORMAT(4(1X,F8.4))
0019      IF(R.NE.1) GO TO 10
0020      TYPE S
0021      5      FORMAT(3X, 'R E IGUAL A 1.0, ENTRE COM O VALOR DE "FT",
1 /RETIRAR DO GRAFICO EM FUNCAO DE NCS, N, R, S')
0022      ACCEPT S, FT
0023      6      FORMAT(1X,F8.6)
0024      TYPE 6, FT
0025      GO TO 55
0026      10     SQRT1=DSQRT(R**2+1,0)
0027      17     IF(NCS.NE.1)GO TO 45
0028      IF(N.NE.4)GO TO 40
0029      C TENTATIVAS E ERROS PARA ESTIMAR UM VALOR DA TEMPERATURA
0030      C INTERMEDIARIA NA SAIDA DO SEGUNDO PARA O TERCEIRO TRAJETO
0031      C DOS TUBOS
0032      TTIO=(TF1+TF2)/2.000
0033      TTIOO=TTIO
0034      I1=0
0035      20     I1=I1+1
0036      V=(TF2-TF1)/(4*TQ1-TF1-2*TTIO-TF2)
0037      SQRT2=DSQRT(4*R**2-1)
0038      A1=1+V*(SQRT2-2*R)
0039      B1=1-V*(SQRT2+2*R)
0040      EQ=DEXP((DLOG(A1)-DLOG(B1))/SQRT2)
0041      TTI=(EQ*TF2+TF1)/(1+EQ)
0042      IF(DABS(TTI-TTIO).LE.1.0D-3)GO TO 35
0043      IF(I1.GT.13)GO TO 25
0044      TTIO=TTI
0045      GO TO 20
0046      25     T,I=TTIOO
0047      TYPE 30
0048      30     FORMAT(' TTI SERA CALCULADA PELA MEDIA')
0049      C FOI ENCONTRADO UM VALOR PARA TTI
0050      55     V=(TF2-TF1)/(4*TQ1-TF1-2*TTI-TF2)
0051      FT=((SQRT2*(2*(R-1)))*DLOG10((1-V)*(1+V)))/DLOG10((1+V*(
1-SQRT2*2*R))/(1-V*(SQRT2+2*R)))
0052      GO TO 55

```

```

63 40  FT=((SQRT1*(R-1))*DL0910((1-S)/((1-SQR1)*(1-SQR1))))/DL0610((2/S-1-R*
1 SQRT1)/(2/S-1-R-SQRT1))
64      GO TO 53
65 45  IF(NCR.NE.2)GO TO 50
66      S1=2/S-1-R+(2/S)*0506T((1-S)/((1-SQR1)))
67      FT=((SQRT1*(2*(R-1)))*DL0910((1-S)/((1-SQR1)))/DL0610((S1+
1 SQRT1)*(S1-SQRT1))
68      GO TO 54
69 50  SN2N=(1-(1-NCS)*(1-NSR))/((R-(1-NSR)*(1-S)))
70      TYPE SN2N,NSR,NSC,SN2N
71 505  FORMAT(1X,F8.3,F8.3,F8.3)
72 51  FT=((CL4117)*((1-NSR)*(1-NSC)*(1-SN2N*(R)))*DL0610((2/
1 SN2N-1-R+SQRT1)))/((S1-S)-0.0127)
73      C - NECESSIDADE DE CASO DE EM SERVICO
74 55  IF(FT.LT.0.48)GO TO 60
75      C - FUNCAO TRUE CALCULADA NOUS LAGO HEPEDORTE
76      IF(FT.LT.0.48)NCS=NCS1(FT),TEN,TEN,TEN
77      GO TO 17
78      C - PESSOA DE PROJETO PARA O BOCAL DO CASO DE
79      C - PARA O BOCAL DAS TUBOS
80 60  P1=CLA150(TPS)
81 61  P2=CLA150(TPT)
82 62  TYPE 75,P1,P2
83 63  FORMAT(2(1X,F6.2))
84 64  IF(P1=PPS)62,61,61
85 65  PPBS=150.0
86 66  GO TO 70
87 67  P1=CLA300(TPS)
88 68  IF(P1=PPS)65,64,64
89 69  PPBT=150.0
90 70  GO TO 80
91 71  PPBS=600.0
92 72  IF(P2=PPT)67,66,66
93 73  PPBT=150.0
94 74  GO TO 80
95 75  P2=CLA300(TPT)
96 76  IF(P2=PPT)69,68,68
97 77  PPBT=300.0
98 78  GO TO 80
99 79  PPBT=600.0
100 80  TYPE 15,FT,PPBS,PPBT
101 81  FORMAT(1X,F8.6,2(1X,F6.2))
102 82  RETURN
103 83  END

```

LISTING C1

TRAN IV V02.04

PAGE 001

```

FUNCTION CLA150(X)
REAL*8 CLA150,X
IF(X.LT. -0.00000000D+00) 
*CLA150=-0.24636364D+00*X+ 0.27300000D+03
IF(X.GE. 0.00000000D+00,AND,X.LT. 0.10000000D+04)
*CLA150=-0.24636364D+00*X+ 0.27300000D+03
IF(X.LT. 0.00000000D+00)
*CLA150=-0.24636364D+00*X+ 0.27300000D+03
IF(X.GE. 0.00000000D+00,AND,X.LT. 0.10000000D+04)
*CLA150=-0.24636364D+00*X+ 0.27300000D+03
RETURN
END

```

150

TRAN IV

V02.04

PAGE 001

```

FUNCTION CLA300(X)
REAL*8 CLA300,X
IF(X.LT. -0.00000000D+00) 
*CLA300=-0.92657343D-03*X**2+ 0.28020979D+00*X+ 0.70874126D+03
IF(X.GE. 0.00000000D+00,AND,X.LT. 0.10000000D+04)
*CLA300=-0.92657343D-03*X**2+ 0.28020979D+00*X+ 0.70874126D+03
IF(X.LT. 0.00000000D+00)
*CLA300=-0.92657343D-03*X**2+ 0.28020979D+00*X+ 0.70874126D+03
IF(X.GE. 0.00000000D+00,AND,X.LT. 0.10000000D+04)
*CLA300=-0.92657343D-03*X**2+ 0.28020979D+00*X+ 0.70874126D+03
RETURN
END

```

A300

JTRAN IV

V02.04

PAGE 001

```

FUNCTION NCS1(TF1,TF2,TQ1,TQ2)
REAL*8 TF1,TF2,TQ1,TQ2,X4,Y4
INTEGER*2 NCSMAX,NCS1
NCSMAX=6
NCS1=0
Y4=TF2
10 X4=((Y4-TQ2)*10.0)/(TQ2-TQ1)+10.0
NCS1=NCS1+1
IF(X4.GE.10.0)RETURN
IF(NCS1.GT.NCSMAX)GO TO 20
Y4=((X4-10.0)*(TF1-TF2))/10.0+TF1
GO TO 10
20 RETURN
END

```

NCS1

.FOR/LIST:TT: DIMEN2
 FORTRAN IV V02.04

PAGE 001

```

0001      PROGRAM DIMEN2
0002      EXTERNAL CUR23A,CUR23B,CUR23C,CUR23D,CUR23E,CUR23F
0003      EXTERNAL CUR24A,CUR24B,CUR24C,CUR24D,CUR24E,CUR24F
0004      IMPLICIT REAL*8(A-Z)
0005      REAL*8 PROGNM(3)
0006      LOGICAL*1 SAIDA1(10),SAIDA2(12),SAIDA3(12),NOME2(18),NM(18)
0007      INTEGER*2 LIQS,LTOT,NCS,N,BWG,DRS1,DRS2,DBT1,DBT2,I,NC,NCHI,
1INT,NTT,NTUB1,NTUB2,NT1,NARR,NT2,MATT,N1,N2,I2,TESTE1,INDEC
0008      COMMON/COMUM/D1PO
0009      COMMON/COMUM1/TS,TT
0010      COMMON/COMUM2/FPO,ARR
0011      COMMON/COMUM3/LTQT
0012      COMMON/COMUM4/FIT
0013      COMMON/COMUM5/CY,HT1
0014      COMMON/COMUM6/PI,GC
0015      COMMON/COMUM7/DBS2
0016      COMMON/COMUM8/ROS
0017      COMMON/COMUM9/DBS1
0018      COMMON/COMU11/RET,TT,MIT1CP,F,DELPT,DELPO,DELPEC,FJ
0019      COMMON/COMU14/WT,D1PO
0020      COMMON/COMU15/ROT
0021      COMMON/COMU16/WS
0022      COMMON/COMU17/FIS
0023      COMMON/COMU18/L,EE,TIPO
0024      COMMON/COMU19/INCRE,A0
0025      COMMON/COMU20/MIT1/MIT2
0026      COMMON/COMU22/D2PO
0027      COMMON/COMU23/NCS
0028      COMMON/COMU24/ERP,ROT,TUBO,MATERT,BWG
0029      COMMON/COMU27/N
0030      COMMON/COMU28/PPBS
0031      COMMON/COMU29/CCHI
0032      COMMON/COMU30/D
0033      COMMON/COMU31/DELT
0034      COMMON/COMU32/A
0035      COMMON/COMU33/H1
0036      COMMON/COMU34/Q
0037      COMMON/COMU35/I
0038      COMMON/COMU37/DBT2
0039      COMMON/COMU40/DBT1,L1PE
0040      COMMON/COMU41/DELPTT
0041      COMMON/COMU42/LCPO,D3PO,DCHIPO,NT,NCHI,NC,L3PO,FR,D4PO
0042      COMMON/COMU44/VRT
0043      COMMON/COMU46/U0
0044      COMMON/COMU50/RT
0045      COMMON/COMU53/L31,L32
0046      COMMON/COMU56/UMAX,UMIN
0047      COMMON/COMU57/NTT
0048      COMMON/COMU59/TT1,TT2
0049      COMMON/COMU60/ROS1,ROS2,ROT1,ROT2
0050      COMMON/COMU61/UT
0051      COMMON/COMU64/J4
0052      COMMON/COMU66/L3PO1
0053      COMMON/COMU67/INDEC

```

FORTRAN IV V02.04

PAGE 602

```

0054      DATA SAIDA1//'S','A','I','D','A','I',' ','D','A','T'/
0055      OPEN(UNIT=1,NAME=SAIDA1,TYPE='OLD',ACCESS='SEQUENTIAL')
0056      READ(1,1)ROS1,ROS2,ROT1,ROT2,ROS,ROT,CS,CT
0057      1 FORMAT(8(1X,F7.4))
0058      TYPE 1,ROS1,ROS2,ROT1,ROT2,ROS,ROT,CS,CT
0059      READ(1,1)D1PO,D2PO,DPPO,KPT,L,EE,E
0060      TYPE 1,D1PO,D2PO,DPPO,KPT,L,EE,E
0061      READ(1,2)TS1,TS2,TT1,TT2,TS,TT,A,KS,KT
0062      2 FORMAT(7(1X,F7.2),2(1X,F7.4))
0063      TYPE 2,TS1,TS2,TT1,TT2,TS,TT,A,KS,KT
0064      READ(1,3)DELPAS,DELPAT,PPS,PPT,UMIN,UMAX,EIS,FIT,TPS,TPT
0065      3 FORMAT(4(1X,F6.2),2(1X,F5.1),2(1X,F5.3),2(1X,F7.2))
0066      TYPE 3,DELPAS,DELPAT,PPS,PPT,UMIN,UMAX,EIS,FIT,TPS,TPT
0067      READ(1,4)LIQS,LIQT,NCS,N,BNG,PROCES,TIPO,ARR,TUBO,MATERS
1,MATERT,ERP
0068      4 FORMAT(5(1X,I3),6(1X,A6),1X,F8.6)
0069      TYPE 4,LIQS,LIQT,NCS,N,BNG,PROCES,TIPO,ARR,TUBO,MATERS
1,MATERT,ERP
0070      READ(1,5)MIS1,MIS2,MIT1,MIT2,MIS,MIT,RDO,RDI
0071      5 FORMAT(8(1X,F7.4))
0072      TYPE 5,MIS1,MIS2,MIT1,MIT2,MIS,MIT,RDO,RDI
0073      READ(1,6)WS,WT,I2,ACALC1,TESTE1,INDEC
0074      6 FORMAT(2(1X,F10.2),1X,I3,1X,F5.3,2(1X,I1))
0075      TYPE 6,WS,WT,I2,ACALC1,TESTE1,INDEC
0076      READ(1,12)DMLT,R,S,PPBS,PPBT,Q,T
0077      12 FORMAT(2(1X,F6.2),1X,F8.6,2(1X,F6.2),1X,F12.2,1X,I3)
0078      TYPE 12,DMLT,R,S,PPBS,PPBT,Q,I
0079      READ(1,8)DELT,U0,FT,N1,N2,L3PO,L3P01,L3P02,L3MIN,L3MAX
0080      8 FORMAT(2(1X,F6.2),1X,F8.6,2(1X,I3),5(1X,F6.3))
0081      TYPE 8,DELT,U0,FT,N1,N2,L3PO,L3P01,L3P02,L3MIN,L3MAX
0082      CLOSE(UNIT=1,DISP='SAVE')
0083      PI=3.1415926
0084      GC=32.173925
0085      C CARACTERISTICAS GEOMETRICAS DO TROCADOR
0086      CALL CATGEO
0087      C TROCA DE CALOR E PERDA DE CARGA PARA OS TUBOS
0088      CALL TROPET
0089      IF(I.GE.2) GO TO 160
0090      135 N1=N
0091      TYPE 136,DELPAT,DELPAT
0092      136 FORMAT(2(1X,F7.4))
0093      IF(DELPAT-DELPAT)>150,185,145
0094      150 N=N+2
0095      N2=N
0096      GO TO 195
0097      145 N=N-2
0098      N2=N
0099      GO TO 195
0100      160 IF(N2-N1)>185,250,135
0101      185 N=N2
0102      N1=N
0103      195 TYPE 15,I
0104      15 FORMAT(3X,I3)
0104      TYPE 220

```

FORTRAN IV

V02.04

PAGE 603

```

0105 220 FORMAT(//3X'ARQUIVO DE SAIDA PARA ROVAR NOVAMENTE 0
0106      1 DIMEN1//3X'DBS: COLOCAR SAIDA3.DAT' //, '$')
0107      ACCEPT 230,SAIDA3
0108      FORMAT(12A1)
0109      TYPE 240,SAIDA3
0110      FORMAT(1X,12A1)
0111      OPEN(UNIT=2,NAME=SAIDA3,TYPE='NEW',ACCESS='SEQUENTIAL')
0112      WRITE(2,1)ROS1,ROS2,ROT1,ROT2,ROS,ROT,CS,CT
0113      WRITE(2,1)D1PO,D2PO,D3PO,PP0,KPT,L,EE,E
0114      WRITE(2,2)TS1,TS2,TT1,TT2,TS,TT,A,KS,KT
0115      WRITE(2,3)DELPAS,DELPAT,PPS,PPT,UMIN,UMAX,FIS,FIT,TPS,TPT
0116      WRITE(2,4)LTQS,LQT,NCS,N,BUG,PROCES,TIPO,ARR,TUBO,MATER
0117      1,MATER,T,ERP
0118      WRITE(2,5)MIS1,MIS2,MIT1,MIT2,MIS,MIT,RB0,ROT
0119      WRITE(2,6)WS,WT,I2,ACALC1,TESTE1,INDIC
0120      WRITE(2,7)DMLT,R,S,PPRS,PFRT,Q
0121      7 FORMAT(2(1X,F5.2),1X,F8.6,2(1X,F6.2),1X,F12.2)
0122      WRITE(2,8)DELT,U0,FT,N1,N2,L3PO,L3P01,L3P02,L3MIN,L3MAX
0123      CLOSE(UNIT=2,DISPOSE='SAVE')
0124      TYPE 260
0125      250 FORMAT(//3X'ATENCAO==>NO CALL CHAIN,ESCREVER:OK DIMENSÃO')
0126      GO TO 300
0127      200 TYPE 200
0128      210 FORMAT(12A1)
0129      TYPE 215,SAIDA2
0130      215 FORMAT(1X,12A1)
0131      OPEN(UNIT=2,NAME=SAIDA2,TYPE='NEW',ACCESS='SEQUENTIAL')
0132      WRITE(2,1)ROS1,ROS2,ROT1,ROT2,ROS,ROT,CS,CT
0133      WRITE(2,1)D1PO,D2PO,D3PO,PP0,KPT,L,EE,E
0134      WRITE(2,2)TS1,TS2,TT1,TT2,TS,TT,A,KS,KT
0135      WRITE(2,3)DELPAS,DELPAT,PPS,PPT,UMIN,UMAX,FIS,FIT,TPS,TPT
0136      WRITE(2,4)LTQS,LQT,NCS,N,BUG,PROCES,TIPO,ARR,TUBO,MATER
0137      1,MATER,T,ERP
0138      WRITE(2,5)MIS1,MIS2,MIT1,MIT2,MIS,MIT,RB0,ROT
0139      WRITE(2,6)WS,WT,I2,ACALC1,TESTE1,INDIC
0140      WRITE(2,12)DMLT,R,S,PPRS,PFRT,Q,1
0141      WRITE(2,8)DELT,U0,FT,N1,N2,L3PO,L3P01,L3P02,L3MIN,L3MAX
0142      WRITE(2,9)INCRE,H1,A0,DELPTT,DCHTP0,D4P0,D3P0
0143      9 FORMAT(1X,F4.2,2(1X,F7.2),4(1X,F7.4))
0144      10 WRITE(2,10)NT,NC,NCHI,DRS1,DRS2,DBT1,DBT2,L31,L32
0145      11 FORMAT(7(1X,I4),2(1X,F7.4))
0146      11 FORMAT(2(1X,F6.4),1X,F8.5,1X,F7.5,2(1X,F7.4))
0147      CLOSE(UNIT=2,DISPOSE='SAVE')
0148      300 TYPE 18,DBT2,DRS1,DRS2,NT,NCHI,NC,PR,D,RET,F
0149      18 FORMAT(6(1X,I4),2(1X,F6.4),1X,F10.2,1X,F9.6)
0150      TYPE 19,DELPTT,DELPT,DELPRO,DELPEC,MITCP,D4P0,DCHTP0,UT
0151      19 FORMAT(8(1X,F7.4))
0152      TYPE 20,FD,INCRE,TH1,A0,LCP0,L3PO,CCHI,BP0
0153      20 FORMAT(2(1X,F4.2),3(1X,F7.2),1X,F8.5,1X,F6.3,1X,F7.5
0154      1,1X,F7.4)
0154      TYPE 30

```

FORTRAN IV

V02.04

PAGE 004

```
0155 30  FORMAT(/,10X' INSTRUCAO PARA CHAMAR O "CHAIN", NOME2//,$)
0156      ACCEPT 35,NOME2
0157 35  FORMAT(18A1)
0158      TYPE 40,NOME2
0159 40  FORMAT(1X,18A1,//)
0160      CALL IRAD50(18,NOME2,PROGNM)
0161      CALL R50ASC(18,PROGNM,NM)
0162      TYPE 40,NM
0163      CALL CHAIN(PROGNM,,0)
0164      END
DIMEN2
```

0001 SUBROUTINE CALBED
0002 EXTERNAL CUR23A,CUR23B,CUR23C,CUR23D,CUR23E,CUR23F
0003 EXTERNAL CUR24A,CUR24B,CUR24C,CUR24D,CUR24E,CUR24F
0004 IMPLICIT REAL *8 (A-Z)
0005 INTEGER*2 DBT1,DBT2,DBS1,DBS2,NT,NF,NCH,I,NCS,NLT,NCL
0006 DATA,NTUBI,NTUB2,FMAX,IINDL
0007 COMMON/COMU1/DBP0
0008 COMMON/COMU2/DBP1,FIRK
0009 COMMON/COMU3/PI,GC
0010 COMMON/COMU4/ZBSS2
0011 COMMON/COMU5/ZROS
0012 COMMON/COMU6/ZRBS1
0013 COMMON/COMU7/ZRBT1
0014 COMMON/COMU8/ZRDI
0015 COMMON/COMU9/ZWS
0016 COMMON/COMU10/ZFTS
0017 COMMON/COMU11/ZFE,TOP
0018 COMMON/COMU12/ZINCRE,DO
0019 COMMON/COMU13/ZO2PO
0020 COMMON/COMU14/ZNCS
0021 COMMON/COMU15/ZN
0022 COMMON/COMU16/ZPPBS
0023 COMMON/COMU17/ZCCHJ
0024 COMMON/COMU18/ZD
0025 COMMON/COMU19/DELT
0026 COMMON/COMU20/ZA
0027 COMMON/COMU21/ZQ
0028 COMMON/COMU22/ZQ1
0029 COMMON/COMU23/ZDBT2
0030 COMMON/COMU24/ZDBT1,L1,EE
0031 COMMON/COMU25/ZLCPO,D3PO,DCHIPO,NL,NCH,NC,CAPE,PR,UDPO
0032 COMMON/COMU26/ZU0
0033 COMMON/COMU27/ZL31+L32
0034 COMMON/COMU28/ZUMAX,UMIN
0035 COMMON/COMU29/ZNT
0036 COMMON/COMU30/ZROS1,R012,R011,R012
0037 COMMON/COMU31/ZL3P01
0038 COMMON/COMU32/ZINDFC
C CARACTERISTICAS GEOMETRICAS DO TROCADOR
C DIAMETRO DOS BOCais - VERIFICACAO DOS DIAMETROS MINIMOS
0039 VBS1MA=DSQRT(3000/RUS1)
0040 VBS2MA=DSQRT(3000/RUS2)
0041 DBS1MI=(DSQRT(4*WBS1*CRUS1*PI*XVBS1MA*3600))**12.0
0042 DBS2MI=(DSQRT(4*WBS2*CRUS2*PI*XVBS2MA*3600))**12.0
0043 VBTMAX=10.0
0044 DBT1MI=(DSQRT(4*WT/CRUT1*PI*XVBTMAX*3600))**12.0
0045 DBT2MI=(DSQRT(4*WT/CRUT2*PI*XVBTMAX*3600))**12.0
0046 DBS1=IFIX(DBS1MI+.5)+3
0047 DBS2=IFIX(DBS2MI+.5)+3
0048 DBT1=IFIX(DBT1MI+.5)+4
0049 DBT2=IFIX(DBT2MI+.5)+4
C TUBOS
0050 L1PE=L-2*EE/12.0

FORTRAN IV V02.04

PAGE 002

```

0051      D=PPO+D2PO
0052      DIPE=DIP0/12.0
0053      D2PE=D2PO/12.0
0054      PR=PPO/D2PO
0055      INCRE=(UMAX-UMIN)/10.0
0056      IF(I,NE,1) GO TO 70
0058      U0=UMIN
0059      70      AO=R/(U0*DELT)
0060      ATS=AO/FLOAT(NCS)
0061      NT=IFIX(ATSF*(PI*D2PE*L1PE))
0062      TYPE 20250,I,EE,PJ,D2PE,L1PE,NCS,NT,INTA
0063      2025      FORMAT(5(1X,F8.3),3(1X,T4))
0064      NTA=NT
0065      IF(CARR,NE,'TRIANG') GO TO 74
0067      EXPNT=1.0/2.11
0068      TESTF=FLOAT(NT)
0069      TYPE 20250,TESTF,ATS,NT
0070      20250     FORMAT(2(1X,F8.3),1X,T4)
0071      IF(NT.LE.2000) NC=IFIX(1.397*FLOAT(NT)**EXPNT)
0073      IF(NT.GT.2000) NC=IFIX(1.05*DSQRT(FLOAT(NT)))
0075      NCA=NC
0076      GO TO 75
0077      74      EXPNT=1.0/2.11
0078      IF(NT.LE.2000) NC=IFIX(1.397*FLOAT(NT)**EXPNT)
0080      IF(NT.GT.2000) NC=IFIX(1.129*DSQRT(FLOAT(NT)))
0082      NCA=NC
0083      TYPE 750,M,DPO,D2PO
0084      750      FORMAT(1X,1S,2(1X,F7.4))
0085      D3PO=(NC-1)*PPO+D2PO
0086      D3POA=D3PO
0087      TYPE 760,D3PO,D3POA
0088      760      FORMAT(2(1X,F7.4))
0089      IF(TIPO,EQ,'CTIPOL',OR,TTPO,ER,'CTIPUS') CLASST=1.0
0091      IF(TIPO,EQ,'CTIPOT',OR,TTPO,ER,'CTIPOP',OR,TTPO,ER,'CTIPOW')
1 CLASST=1.0
1 CLASST=2.0
C USO DA TABELA 4.9
0095      IF(TIPO,EQ,'CTIPOL',OR,TTPO,ER,'CTIPOM',OR,TTPO,ER,'CTIPON')
1 CLASST=2.0
1**2+1.00862406*D3PO+0.314692943
TYPE 720,D1PO
0098      770      FORMAT(1X,'VALOR DE D1PO',F2.4)
0099      IF(TIPO,EQ,'CTIPOW') D1PO=-0.00002743*D3PO**2+1.02848908*
1D3PO+1.76458795
TYPE 720,D1PO
IF(TIPO,EQ,'CTIPOT',OR,TTPO,ER,'CTIPOW') D1PO=0.00022*D3PO**
10.99410233*D3PO+3.63159404
D1POA=D1PO
0105      IF(I,NE,85,76
C ENTRADA NA TABELA 4.10 PARA OBTIR O VALOR DO
C NUMERO DE TUBOS MOTS PROXIMO AO CALCULADO
0106      76      IF(TIPO,ER,'CTIPUS',OR,TTPO,ER,'CTIPOT') GO TO 77
0108      77      GO TO 85
0109      77      IF(D1PO,LT,8.021) GO TO 84

```

```

0111      CALL RTRN01(K1,DEHM1,EL1,DP1,DPO1,TYPE)
0112      TYPE 770,100
0113      IF(CARR.EQ.'C')THEN
0114      IF(NTUR1.EQ.1)GO TO 100
0115      CALL RTRN01(K1,K2,EL1,DP1,DPO1,TYPE)
0116      D1P1=D1P01+L1P01*(1.0-EL1)
0117      D1P2=D1P01*(1.0-EL1)+L1P01*EL1
0118      D1P3=D1P01*(1.0-EL1)+L1P01*EL1
0119      D1P4=D1P01*(1.0-EL1)+L1P01*EL1
0120      IF(NTUR1.EQ.2)GO TO 78
0121      NT=NTUR1
0122      GO TO 80
0123      NT=NTUR1
0124      IF(NTUR1.EQ.1)GO TO 100
0125      IF(NTUR1.EQ.2)GO TO 100
0126      D1P1=D1P01
0127      D2P01=D1P01
0128      GO TO 83
0129      D1P01=D1P01
0130      D3P01=D1P01
0131      D2P01=D1P01
0132      D3P01=D1P01
0133      NC=1E3*(D1P1-D2P01)/D1P01-0.5
0134      IF(NTUR1.EQ.3)GO TO 84
0135      NT=NTUR1
0136      D3P01=D1P01
0137      NC=NC1A
0138      D1P01=D1P01
0139      TYPE 770,100
0140      1000  FORMAT(5X,10F10.0)
0141      85   AD=NTUR1+1000+100
0142      NTT=1000
0143      C   CH1CNC1
0144      IF(CT(AD).LT.0)GO TO 100
0145      L3P01=L3P01
0146      L3P01=L3P01
0147      86   L3P01=L3P01
0148      L3P01=L3P01
0149      IF(L3P01.LT.0)GO TO 100
0150      CALL CUR23(B1P01,PPR1,CLASST,L31P)
0151      TYPE 770,100
0152      L31M1N=1081+31F
0153      L31MAX=52+0
0154      L31=L31M1N+51+0
0155      IF(L31.GT.131MAX) L31=L31MAX
0156      IF(TIPO1,0,101T20510,0)=3+0
0157      IF(TIPO1,0,101T20510,0)=4+0
0158      IF(TIPO1,0,101T20510,0)=5+0
0159      IF(TIPO1,0,101T20510,0)=6+0
0160      IF(TIPO1,0,101T20510,0)=7+0
0161      IF(TIPO1,0,101T20510,0)=8+0
0162      CALL CUR24(B1P01,PPR1,CLAV1,N2F)
0163      L32M1N=1081+32F
0164      L32MAX=52+0
0165      L32=L32M1N+51+0
0166      IF(L32.GT.132MAX) L32=L32MAX
0167      L1P01=L1P01
0168      IF(NC1.EQ.1)GO TO 87
0169      NC1=1E3*(D1P1-D2P01)/D1P01+10
0170      GO TO 87
0171      NC1=1E3*(D1P1-D2P01)/D1P01+10
0172      GO TO 87
0173      NC1=1E3*(D1P1-D2P01)/D1P01+10
0174      S0M01=1.0/E132

```

FORTRAN IV 102-64

JGAL 2014

THE FEDERAL TRADE COMMISSION

伊南國

1913. 1914.

Page 605

FOR/LIST/TT: NTU
FORTRAN IV 002.04

PAGE 001

```

0001 SUBROUTINE MTU(C1P0, C2P0, C3P0, C4P0, C5P0)
0002 LOGICAL X1, X2, X3, X4, X5, X6, X7, X8, X9, X10
0003 REAL*8 C1P0, C2P0, C3P0, C4P0, C5P0, C6P0
0004 DIMENSION X(10), Y(10)
0005 T=1.0D0, T1=1.0D0
0006 D1=C1P0+C2P0+C3P0+C4P0+C5P0+C6P0
0007 D2=C1P0+C2P0+C3P0+C4P0+C5P0+C6P0
0008 D3=C1P0+C2P0+C3P0+C4P0+C5P0+C6P0
0009 TYPE=1
0010 X(1)=T
0011 X(2)=T1
0012 TYPE=2
0013 Y(1)=C1P0
0014 Y(2)=C2P0
0015 Y(3)=C3P0
0016 Y(4)=C4P0
0017 Y(5)=C5P0
0018 Y(6)=C6P0
0019 CLOSE(UNIT=1)
0020 DO 77 I=1,23
0021 K=I-1
0022 J=K
0023 IF(C1P0-X(I)>X(K)-X(J)) THEN
0024 X(K)=X(I)
0025 X(I)=X(J)
0026 J=J+1
0027 IF(J>23) GOTO 77
0028 IF(X(1).EQ.X(23)) GOTO 77
0029 RETURN
0030 END

```

LIBRARY STAFF: NTUB08
EDITION: IV VOL2+04

PAGE 00

FOR/LIST:TT: C3

FORTRAN IV V02,04

PAGE 001

```

0001      SUBROUTINE CUR22(DIPO,PPBS,CLASS1,L31F)
0002      IMPLICIT REAL*8(A-Z)
0003      TYPE 1,DIPO,PPBS,CLASS1
0004      FORMAT(1X,F7.4,1X,F6.2,1X,F3.1)
0005      IF(CLASS1.EQ.1.0.AND.PPBS.EQ.1.0) L31F=CUR22A(DIPO)
0007      IF(CLASS1.EQ.1.0.AND.PPBS.EQ.2.0) L31F=CUR22B(DIPO)
0009      IF(CLASS1.EQ.1.0.AND.PPBS.EQ.4.0) L31F=CUR22C(DIPO)
0011      IF(CLASS1.EQ.2.0.AND.PPBS.EQ.1.0) L31F=CUR23A(DIPO)
0013      IF(CLASS1.EQ.2.0.AND.PPBS.EQ.2.0) L31F=CUR23B(DIPO)
0015      IF(CLASS1.EQ.2.0.AND.PPBS.EQ.4.0) L31F=CUR23E(DIPO)
0017      TYPE 1000,L31F
0018 1000  FORMAT(1X,F5.2)
0019      RETURN
0020      END
CUT.24

```

FORTRAN IV

V02,04

PAGE 001

```

0001      FUNCTION CUR23A(X)
0002      REAL*8 CUR23AX
0003      IF(X.LT. 0.1999999D+02)
0004      *CUR23A=0.66450214D-03*X**2+ 0.65223201D-02*X**4+ 0.65211905D+01
0005      IF(X.GE. 0.1999999D+02) CUR23A=0.66450214D-03*X**2+ 0.5000000D+02
0006      *CUR23A=0.66450214D-03*X**2+ 0.65223201D-02*X**4+ 0.65211905D+01
0007      IF(X.GE. 0.5000000D+02) CUR23A=0.66450214D-03*X**2+ 0.6000000D+02
0008      *CUR23A=0.66450214D-03*X**2+ 0.6000000D+02
0009      IF(X.GE. 0.6000000D+02)
0010      *CUR23A=0.6500000D+01*X**4+ 0.56593533D+01
0011      RETURN
0012      END
CUT.23A

```

FORTRAN IV

V02,04

PAGE 001

```

0001      FUNCTION CUR23B(X)
0002      REAL*8 CUR23BX
0003      IF(X.LT. 0.1000000D+01)
0004      *CUR23B=0.14437229D-02*X**3+ 0.4570926D-03*X**5+ 0.84959524D+01
0005      IF(X.GE. 0.1000000D+01) CUR23B=0.14437229D-02*X**3+ 0.4570926D-03*X**5+ 0.84959524D+01
0006      IF(X.GE. 0.5000000D+02) CUR23B=0.1150000D+00*X**4+ 0.4254335D+01
0007      IF(X.GE. 0.6000000D+02)
0008      *CUR23B=0.1150000D+00*X**4+ 0.6250337D+01
0009      RETURN
0010      END
CUT.23B

```

4.1 FURNITURE CURR30(X)
4.2 販賣之新舊木製品
4.3 IF(X,L,T, 0,100000)OR(0,0)
4.4 本CURR30(X)為一木製品之新舊木製品求定算式。其一為以新舊木製品之新舊率 0.016280957 加上之
IF(X,L,T, 0,100000)為新舊木製品之新舊率之乘積。其二為以新舊木製品之新舊率 0.016280957 加上之
木製品之新舊率之乘積。其三為新舊木製品之新舊率之乘積。其四為新舊木製品之新舊率之乘積。
4.5 IF(X,L,T, 0,100000)為新舊木製品之新舊率之乘積。
4.6 本CURR30(X)為一木製品之新舊木製品求定算式。其一為以新舊木製品之新舊率 0.016280957 加上之
IF(X,L,T, 0,100000)為新舊木製品之新舊率之乘積。其二為以新舊木製品之新舊率 0.016280957 加上之
木製品之新舊率之乘積。其三為新舊木製品之新舊率之乘積。其四為新舊木製品之新舊率之乘積。
4.7 IF(X,L,T, 0,100000)為新舊木製品之新舊率之乘積。
4.8 本CURR30(X)為一木製品之新舊木製品求定算式。其一為以新舊木製品之新舊率 0.016280957 加上之
IF(X,L,T, 0,100000)為新舊木製品之新舊率之乘積。其二為以新舊木製品之新舊率 0.016280957 加上之
木製品之新舊率之乘積。其三為新舊木製品之新舊率之乘積。其四為新舊木製品之新舊率之乘積。
4.9 IF(X,L,T, 0,100000)為新舊木製品之新舊率之乘積。

CU1231-01 2010-01-01
CU1232-01 2010-01-01
CU1233-01 2010-01-01
CU1234-01 2010-01-01
CU1235-01 2010-01-01
CU1236-01 2010-01-01
CU1237-01 2010-01-01
CU1238-01 2010-01-01
CU1239-01 2010-01-01
CU1240-01 2010-01-01
CU1241-01 2010-01-01
CU1242-01 2010-01-01

FOR/LIST:TT: C4
FORTRAN IV V02,04

PAGE 001

```
00-1      SUBROUTINE CUR24( D1P0 , P1P0 , CLA , L32F )
00-2      IMPLICIT REALISTIC
00-3      TYPE 1-D1P0 , P1P0 , CLA
00-4      FORMAT(IX,F7.3,1X,6E13)
00-5      IF( CLA .EQ. 3.0 ) THEN P1P0 = 1.0E+00 ELSE P1P0 = 0.0E+00
00-6      IF( CLA .EQ. 3.0 AND P1P0 .NE. 1.0E+00 ) THEN P1P0 = 1.0E+00
00-7      IF( CLA .EQ. 3.0 AND P1P0 .NE. 0.0E+00 ) THEN P1P0 = 0.0E+00
00-8      IF( CLA .EQ. 4.0 AND P1P0 .NE. 1.0E+00 ) THEN P1P0 = 1.0E+00
00-9      IF( CLA .EQ. 4.0 AND P1P0 .NE. 0.0E+00 ) THEN P1P0 = 0.0E+00
00-10     IF( CLA .EQ. 4.0 AND P1P0 .NE. 1.0E+00 ) THEN P1P0 = 1.0E+00
00-11     IF( CLA .EQ. 4.0 AND P1P0 .NE. 0.0E+00 ) THEN P1P0 = 0.0E+00
00-12     IF( CLA .EQ. 4.0 AND P1P0 .NE. 1.0E+00 ) THEN P1P0 = 1.0E+00
00-13     IF( CLA .EQ. 4.0 AND P1P0 .NE. 0.0E+00 ) THEN P1P0 = 0.0E+00
00-14     IF( CLA .EQ. 4.0 AND P1P0 .NE. 1.0E+00 ) THEN P1P0 = 1.0E+00
00-15     IF( CLA .EQ. 4.0 AND P1P0 .NE. 0.0E+00 ) THEN P1P0 = 0.0E+00
00-16     IF( CLA .EQ. 4.0 AND P1P0 .NE. 1.0E+00 ) THEN P1P0 = 1.0E+00
00-17     IF( CLA .EQ. 4.0 AND P1P0 .NE. 0.0E+00 ) THEN P1P0 = 0.0E+00
00-18     TYPE 1-D1P0 , P1P0 , CLA
00-19     1000 FORMAT(IX,F8.2)
00-20     RETURN
00-21     END
```

FORTRAN IV V02,04 PAGE 001

```
00-1      FUNCTION CUR24A(X)
00-2      REAL30 CUR24A,X
00-3      IF(X .LT. 0.1000000D+02) *
00-4      *CUR24=0.22619041D-02*X*X*X+0.32023610D-01*X+0.11198214D+02
00-5      IF(X .GE. 0.1000000D+02) THEN X = 0.45000000D+02
00-6      *CUR24=0.22619041D-02*X*X*X+0.32023610D-01*X+0.11198214D+02
00-7      IF(X .GE. 0.45000000D+02) THEN X = 0.60000000D+02
00-8      *CUR24=0.13700000D+00*X+0.31450000D+01
00-9      IF(X .GE. 0.60000000D+02) *
00-10     *CUR24=0.13700000D+00*X+0.31450000D+01
00-11     RETURN
00-12     END
00-13     CUR24A
```

FORTRAN IV V2.04 PAGE 001

```
00-1      FUNCTION CUR24B(X)
00-2      REAL30 CUR24B,X
00-3      IF(X .LT. 0.1000000D+02) *
00-4      *CUR24=0.29309524D-02*X*X*X+0.28359048D-01*X+0.13107629D+02
00-5      IF(X .GE. 0.1000000D+02) THEN X = 0.45000000D+02
00-6      *CUR24=0.29309524D-02*X*X*X+0.28359048D-01*X+0.13107629D+02
00-7      IF(X .GE. 0.45000000D+02) THEN X = 0.60000000D+02
00-8      *CUR24=0.20300000D+00*X+0.31450000D+01
00-9      IF(X .GE. 0.60000000D+02) *
00-10     *CUR24=0.20300000D+00*X+0.31450000D+01
00-11     RETURN
00-12     END
```

JULIAN TU

VO2, O2

PAGE 001

```

0001 FUNCTION CUR24C(X)
0002 REAL*8 CUR24C,X
0003 IF(X.LT.-0.10000000D+00)
0004 *CUR24C=0.3226190511-012X**2+...+0.17227317D-02X**4+C*390744.0D+02
0005 IF(X.GE.-0.10000000D+00) AND(X.LT.0.10000000D+00)
0006 *CUR24C=0.3226190511-020X**2+...+0.17227319D-02X**4+C*1310746.0D+02
0007 IF(X.GE.0.10000000D+00) AND(X.LT.0.20000000D+00)
0008 *CUR24C=0.3226190511-050X**2+...+0.17227319D-02X**4+C*6000000.0D+02
0009 IF(X.GE.0.20000000D+00) AND(X.LT.0.30000000D+00)
0010 *CUR24C=0.3226190511-077X**2+...+0.17227319D-02X**4+C*1000000.0D+02
0011 RETURN
0012 END

```

WATERMAN TV

VO2, %

PAGE 001

```

00 1      FUNCTION CUR24D(X)
00 2      REAL*8 CUR24D,X
00 3      IF(X.LT. 0.10000000402)1
00 4      *CUR24D=0.20952381D-02*X*X*X*X+0.23571429D-01*X**4+0.10126190D+02
00 5      IF(X.GE. 0.10000000D+02)401X,X,L7. 0.45000000D+02
00 6      *CUR24D=0.20952381D-02*X*X*X*X+0.23571429D-01*X**4+0.10126190D+02
00 7      IF(X.GE. 0.45000000D+02)401X,X,L7. 0.60000000D+02
00 8      *CUR24D=0.13900000D+00*X**4+0.70150000D+01
00 9      IF(X.GE. 0.60000000D+02)401
00 10     *CUR24D=0.13900000D+00*X**4+0.70150000D+01
00 11     RETURN
00 12     END

```

Journal of Health Politics

11880-2-6

MAPS 853

```

0001 FUNCTION CUR24E(X)
0002   REAL*8 CUR24E,X
0003   IF(X.LE. -0.19999999D+0.0) THEN
0004     *CUR24E=-0.29604737D-0.21374D-0.12137202D+0.0
0005     IF(X.GE. -0.10000000D+0.0) THEN
0006       CUR24E=-0.29604737D-0.21374D-0.12137202D+0.0
0007     IF(X.GE. -0.45000000D+0.0) THEN
0008       CUR24E=-0.20000000D+0.0D+0.0D+0.0D+0.0D+0.0D
0009     IF(X.GE. -0.60000000D+0.0) THEN
0010       CUR24E=0.20000000D+0.0D+0.0D+0.0D+0.0D+0.0D
0011     RETURN
0012   END

```

卷之三

卷之三

PAGE 001

FOR/LIST/TT: DIMENS
FORTRAN IV V02.04

PAGE 001

```

0001 PROGRAM DIMENS
0002 EXTERNAL ABACDA,ABACDB
0003 EXTERNAL CURV1A,CURV1B,CURV1C,CURV1D,CURV1E,CURV1F,CURV3A
1,CURV3B,CURV3C,CURV3D,CURV3E,CURV3F,CURV4A,CURV4B,CURV4C:
0004 IMPLICIT REAL*8(A-Z)
0005 REAL*8 PROGRAM(3)
0006 LOGICAL*1 SATDAZ(10),SATDBZ(32),NOMEZ(18),NM(18)
0007 INTEGER*2 LIOS,LTQT,NCS,II,BW,I,DESL,DEB2,ORT1,ORT2,I,NC,NCHI,
1,INJ,MR,PR1,NSG,NV,NCHI,NTJ,NTL,NT1,N2,NESP,JI2,TESTE,TESTE1
1,IMDEC 1
0008 COMMON/COMU1/DIPO
0009 COMMON/COMU11/TB,TT
0010 COMMON/COMU12/PPD,ARR
0011 COMMON/COMU13/CT,MIT
0012 COMMON/COMU14/PI,GC
0013 COMMON/COMU15/DBS2
0014 COMMON/COMU16/R0S
0015 COMMON/COMU17/DBS1
0016 COMMON/COMU18/NTJ,NSS
0017 COMMON/COMU19/NTJ,NS
0018 COMMON/COMU20/DELPB1,DELPB2
0019 COMMON/COMU21/WT,DIPO
0020 COMMON/COMU22/ROT
0021 COMMON/COMU23/WS
0022 COMMON/COMU24/FIS
0023 COMMON/COMU25/L,EE,TIPO
0024 COMMON/COMU26/LIQS
0025 COMMON/COMU27/D2P0
0026 COMMON/COMU28/NCS
0027 COMMON/COMU29/ERP,RDI,TUBO,MATER,T,BWG
0028 COMMON/COMU30/N
0029 COMMON/COMU31/PPES
0030 COMMON/COMU32/CDHI
0031 COMMON/COMU33/0
0032 COMMON/COMU34/A
0033 COMMON/COMU35/HI
0034 COMMON/COMU36/0
0035 COMMON/COMU37/DBT2
0036 COMMON/COMU38/HIS1,HIS2
0037 COMMON/COMU39/PPRT
0038 COMMON/COMU40/DBT1,L3PI
0039 COMMON/COMU41/DELPAT
0040 COMMON/COMU42/LCPO,DEPO,DCI,IPD,N,NC,NCI,NCI,LEPO,PR,D4PO
0041 COMMON/COMU43/KPT,E,MATER,S,DELPAS,DELPAT
0042 COMMON/COMU44/TS1,TS2
0043 COMMON/COMU45/U0
0044 COMMON/COMU46/R00
0045 COMMON/COMU47/PROCES
0046 COMMON/COMU48/DELPST
0047 COMMON/COMU49/KT
0048 COMMON/COMU50/RS,K8
0049 COMMON/COMU51/DS,KS
0050 COMMON/COMU52/TPS,TPI,PPS,FPI
0051 COMMON/COMU53/L31,L32
0052 COMMON/COMU54/NTCHI

```

FORTRAN IV

V02.04

PAGE 002

```

0052      COMMON/COMU55/0
0053      COMMON/COMU58/H0,RES,DELP5
0054      COMMON/COMU59/TT1,TT2
0055      COMMON/COMU61/UT
0056      COMMON/COMU63/A0
0057      COMMON/COMU65/ACALC
0058      DATA SA(DA2//$10*'A'//10*'A'//20*'A'//D10*'A'//T//)
0059      OPEN(UNIT=1,NAME=SA,I12,T12=OLD,ACCESS='SEQUENTIAL')
0060      READ(1,10)ROS1,ROSC,RDT1,RDT2,ROS,ROT,CS,CT
0061      1   FORMAT(8(1X,F7.4))
0062      READ(1,10)D1PO,D2PO,R1PO,PP0,KPT,L,EE,E
0063      READ(1,2)TS1,TS2,TT1,TT2,TS,TT,NKS,KF
0064      2   FORMAT(7(1X,F7.2),2(1X,F7.4))
0065      READ(1,3)DELPAS,DELPAT,PPS,PPT,UMIN,UMAX,FIS,FIT,TPS,TPT
0066      3   FORMAT(4(1X,F6.2),2(1X,F6.1),2(1X,F5.3),2(1X,F7.2))
0067      READ(1,4)LIQS,LICOT,NCS,NZNG,PROCES,TIPO,APP,TUBO,MATERS
1,MITERT,ERP
0068      4   FORMAT(8(1X,I3),8(1X,A3),1X,F8.6)
0069      READ(1,5)NHS1,MIS2,MIT1,MIT2,MIS,MIT,RDD,RDT
0070      5   FORMAT(8(1X,F7.4))
0071      READ(1,6)WS,WT,I2,ACALC1,TESTE1,INDEC
0072      6   FORMAT(2(1X,F10.2),1X,I3,1X,F6.3,2(1X,I1))
0073      READ(1,12)MLT,R,S,PPBS,PPBT,Q,I
0074      12  FORMAT(2(1X,F6.2),1X,F8.6,2(1X,F6.2),1X,F12.2,1X,I3)
0075      READ(1,8)DELT,U0,FT,N1,N2,L3PO,L3PO1,L3PO2,L3MIN,L3MAX
0076      8   FORMAT(2(1X,F6.2),1X,F8.6,2(1X,I3),5(1X,F6.3))
0077      READ(1,9)INCRE,HI,A0,DELPNT,DCHIPO,D4PO,D3PO
0078      9   FORMAT(1X,F4.2,2(1X,F7.2),4(1X,F7.4))
0079      READ(1,10)NT,NC,NCHI,DRS1,DRS2,DRT1,DRT2,L31,L32
0080      10  FORMAT(7(1X,I4),2(1X,F7.4))
0081      READ(1,11)PR,D,LCPO,CCHI,L1PE,UT
0082      11  FORMAT(2(1X,F6.4),1X,F8.5,1X,F7.5,2(1X,F7.4))
0083      CLOSE(UNIT=1,DISP='SAVE')
0084      PI=3.1415926
0085      GC=32.173925
0086      INDEC=1
0087      TYPE 2500,I2,U0,L3PO,D1PO,DELPNT
0088      2500  FORMAT(2X,I2='I3,2X/U0='F6.2,2X'L3PO='F6.3,2X'D1PO='
1,F7.4,2X'DELPNT='F7.4)
C      PERDA DE CALOR E PERDA DE CARGA PARA O CASCO
0089      C      CELL,BELL
0090      C      PERDA DE CARGA NOS BOCais DO CASCO
0091      C      PERDA DE CARGA TOTAL PARA O LADO DO CASCO
0092      C      DELPAT=DELPAS+DELPBT+DELPB2
0093      C      TYPE 2000,D2PO,D1PO,KPT,RDD,RDT,HI
0094      C      2000  FORMAT(5(1X,F7.4),1X,F7.2)
C      COEFICIENTE GLOBAL DE TROCA DE CALOR
0095      C      D=1.0*(R2PO/(HI*CIPO)+D2PO*LOC+R2PO*DEPD)/(2*2*KPT)+1.0*
1.0*FRD1*D2PO/D1PO+RDD
C      AREA DE TROCA DE CALOR
A=1.0*(L2*DELTA)
0096      C      TYPE 2000,I,N,DELPNT,DELPAS,A0,A1,U0,UMAX,THURE
0097      C      2000  FORMAT(2(1X,I4),2(1X,F6.2),2(1X,F7.2),2(1X,F5.1),1X,F4.2)

```

JETRAN IV

V02.04

PAGE 003

```

086 C      TESTE ENTRE AS ÁREAS E ENTRE AS PERDAS DE CARGA
087 IF(A0,GT,A) GO TO 145
088 AMENOR=A0
089 AMAIOR=A
090 GO TO 150
091 145 AMENOR=A
092 AMAIOR=A0
093 150 ACALC=1... (AMENOR=AMAIOR)
094 TYPE 7000,TESTE1
095 FORMAT(3X,TESTE1='T1')
096 IF(TESTE1,EQ,1) GO TO 230
097 TYPE 1000,DELPST,ACALC=1,U,DELPAS
098 FORMAT(1X,F7.4,1X,F5.3,1X,I4,1X,F6.2,1X,F6.2)
099 I2=I2+1
100 L3MIN=0.2*D1PO
101 L3MAX=D1PO
102 C      TYPE 160,ACALC1,L3PO,L3P01,L3P02
103 C160 FORMAT(1X,F5.3,3(1X,F5.3))
104 IF(ACALC,LE,0.10) GO TO 190
105 IF(I2,GE,2)GO TO 155
106 ACALC1=ACALC
107 GO TO 156
108 155 IF(ACALC,GT,ACALC1)GO TO 191
109 ACALC1=ACALC
110 156 IF(L3PO,EQ,L3MIN,OR,L3PO,EQ,L3MAX) GO TO 191
111 U0=U0
112 ACALC1=ACALC
113 IF(I2,GE,2)GO TO 178
114 L3P01=L3PO
115 Y=DELPST-DELPAS
116 TYPE 250,Y
117 250 FORMAT(3X,Y='F10.7')
118 IF(Y)170,180,175
119 170 L3PO=L3PO-0.5
120 IF(L3PO,LE,L3MIN) L3PO=L3MIN
121 L3P02=L3PO
122 GO TO 195
123 175 L3PO=L3PO+0.5
124 IF(L3PO,GE,L3MAX) L3PO=L3MAX
125 L3P02=L3PO
126 GO TO 195
127 176 X=L3P02-L3P01
128 TYPE 29,X
129 29 FORMAT(3X,X='F9.6')
130 IF(X)167,191,180
131 180 L3PO=L3P02
132 L3P01=L3PO
133 GO TO 195
134 U0=U0
135 IF(L3P01-L3P02)165,230,165
136 ACALC1=ACALC
137 IF(A0,GT,A) GO TO 192
138 UQ=U0-(INCRE/2.0)
139 GO TO 194
140

```

```

0157 192 IF(UO.LT.UMAX) GO TO 193
0159 UO=UMAX
0160 GO TO 194
0161 193 UO=UO+INCRE
0162 194 I2=0
0163 L3P0=0,L3D1P0
0164 L3P01=L3P0
0165 195 TYPE 4050,I2+UO,L3P0,L3P01,L3P02
0166 4000 FORMAT(2X,I2+I3,2X,I0+I6,I2+2X,I3P0,F6.3,2X,I3P01=
1 F6.3,2X,I3P02,F6.3)
0167 TYPE 260
0168 260 FORMAT(3X/TESTE DO UO: SE NA AUDANCIA ELE REPETE UM VALOR JA
1 1 3X/TESTADO ESCREVER 0 SE NAO, ESCREVER O >>>,,$)
ACCEPT 270,TESTE
0170 270 FORMAT(1X,I1)
TYPE 270,TESTE
0171 IF(TESTE)280,290,280
0172 280 TESTE1=TESTE
0173 280 TESTE1=TESTE
TYPE 400,
0175 300 FORMAT(/,3X/ENTRE COM O VALOR DE "(UO,L3P0,D1P0)==>> /,$)
ACCEPT 300,UO,L3P0,D1P0
0176 300 FORMAT(1X,F6.2,1X,F6.3,1X,F7.4)
0178 290 TESTE1=TESTE
TYPE 200
0180 200 FORMAT(/,3X/ARQUIVO DE SAIDA DO DIMENS ? ==>> /,$)
ACCEPT 210,SAIDAS
0181 210 FORMAT(12A1)
TYPE 215,SAIDAS
0184 215 FORMAT(1X,12A1)
OPEN(UNIT=2,NAME=SAIDAS,TYPE='NEW',ACCESS='SEQUENTIAL')
0186 WRITE(2,1)ROS1,ROS2,ROT1,ROTP,ROS,ROT,C8,CT
0187 WRITE(2,1)D1PO,D2PO,DIPO,PPO,KPT,L,EE,E
0188 WRITE(2,2)TS1,TS2,TT1,TT2,TS,TT,A,KS,KT
0189 WRITE(2,3)DELPAS,DELPAT,PPS,PPT,UMIN,UMAX,FIS,FIT,TPS,TPT
0190 WRITE(2,4)LIQS,LIQT,NCS,N,BWG,PROCES,TIPO,ARR,TUBO,MATERS
1,MYTERT,ERP
0191 WRITE(2,5)MIS1,MIS2,MIT1,MIT2,MIS,MIT,RDO,FBI
0192 WRITE(2,6)WS,WT,I2,ACALC1,TESTE1,INDEC
0193 WRITE(2,7)BMLT,R,S,PPBS,PPBT,Q
0194 7 FORMAT(2(1X,F6.2),1X,F8.6,2(1X,F6.2),1X,F12.2)
0195 WRITE(2,8)DELT,UO,FT,N1,N2,L3P0,L3P01,L3P02,L3MIN,L3MAX
0196 CLOSE(UNIT=2,DISP='SAVE')
TYPE 30
0198 30 FORMAT(/10X' INSTRUCAO PARA CHAMAR O "CHAIN", NOME3: ',,$)
ACCEPT 35,NOME3
0200 35 FORMAT(10A1)
TYPE 40,NOME3
0202 40 FORMAT(1X,10A1,'/')
CALL TRADSO(18,NOME3,PROGNM)
CALL FSQASC(18,PROGNM,NM)
TYPE 40,NM
CALL CHAIN(FSQGNM,0)
0207 230 TYPE 220
0208 220 FORMAT(/,3X/ SAIDA DOS PARAMETROS DIMENSIONADOS: ',,$)

```

0209 CALL RESULT
0210 STOP
0211 END

WILLISTON, N.D.
FEBRUARY 19 1929.

PAGE 605

RACTEN 19

Vol. 2, 04

NR1=CHCH1+1 *NR1=(NR1+2) MOD 4
 SMSPO=01FO-NCRD2PO3AL 3FO
 SMSPR=SHSPD/144.0
 O2PE=O2FO/12.0
 O3LBP=01FO-(NR-1) *O3LBP=12FO
 S3LBP=01FO-S3LBP
 S4LBP=01FO-S4LBP
 S5LBP=01FO-S5LBP
 S6LBP=01FO-S6LBP
 S7LBP=01FO-S7LBP
 S8LBP=01FO-S8LBP
 T1LBP=01FO-T1LBP
 T2LBP=01FO-T2LBP
 T3LBP=01FO-T3LBP
 NR1=0
 GO TO 30
 N1=N1+1 (N1<3, GOTO 30)
 BM=BM+SMSPR
 RE1=RE1+SMSPR
 T1=1, T2=0, T3=0, T4=0, T5=0, T6=0, T7=0, T8=0
 F1=1X+F5, 3+A(4X+F9, 2))
 IF (ARR.EQ.1, TRTAN(1)) GO TO 75
 IF (ARR.EQ.2, TRTAN(2)) GO TO 56
 IF (ARR.EQ.3, TRTAN(3)) GO TO 57
 IF (PR.EQ.1, 50) GO TO 38
 JBELL=CURV1A(RES)
 GO TO 30
 IF (PR.EQ.1, 50) GO TO 39
 JBELL=CURV1B(RES)
 GO TO 50
 IF (PR.EQ.1, 50) GO TO 40
 JBELL=CURV1C(RES)
 GO TO 50
 JBELL=CURV1D(RES)
 GO TO 50
 JBELL=CURV1E(RES)
 GO TO 50
 JBELL=CURV1F(RES)
 T1=T1, T2=0, T3=0
 F1=1X+F6, 2))
 F2=1X+F10, 2))
 F3=1X+F14, 2))
 T1=1, T2=0, T3=0, T4=0, T5=0, T6=0, T7=0, T8=0
 IF (S1.EQ.1, T1=1) IF (S1.EQ.2, T2=1) IF (S1.EQ.3, T3=1)
 IF (S2.EQ.1, T4=1) IF (S2.EQ.2, T5=1) IF (S2.EQ.3, T6=1)
 IF (S3.EQ.1, T7=1) IF (S3.EQ.2, T8=1) IF (S3.EQ.3, T9=1)
 T10=1, T11=0, T12=0, T13=0, T14=0, T15=0, T16=0, T17=0, T18=0

11.2.2.1

130

1. 請問，您是誰？
答：我是新竹市立高中學生，我叫王宇翔，今年17歲。

2. 您是怎麼知道要來這裡的？
答：我是在網路上看到的，因為我對這裡很感興趣，所以就來了。

3. 您為什麼會對這裡感興趣？
答：因為這裡有許多歷史遺跡，而且這裡的風景也很美，所以我對這裡感興趣。

4. 您在這裡待了多久？
答：我在這裡待了約半個小時。

5. 您在這裡做了什麼？
答：我在這裡拍了很多照片，也走訪了許多歷史遺跡。

6. 您覺得這裡的風景如何？
答：這裡的風景非常美，讓我感覺到這裡的歷史和文化。

7. 您在這裡遇到了誰？
答：我在這裡遇到了一位老先生，他告訴我很多關於這裡的歷史。

8. 您在這裡學到了什麼？
答：我在這裡學到了很多關於這裡歷史的文化知識。

9. 您對這裡的印象如何？
答：我對這裡的印象很好，這裡是一個很有歷史感的地方。

10. 您會再回來這裡嗎？
答：我會再回來這裡，因為這裡是一個很有歷史感的地方。

FORTRAN IV

UOR, Q4

PAGE 004

FORTRAN IV PERFORATED LISTINGS

PAGE 901

001 SUBROUTINE PERIOD
002 EXTRAL CUR25A-CUR25B-CUR25C-CUR25D-CUR25E
003 1-CUR25E+CUR25F+CUR25F+CUR25G-CUR25H
004 TABL307 REALLOCATED
005 TIME-INTERVAL 0.033-0.032
006 CONFORMING MAP PROJECTION
007 CONFORMING PROJECTION
008 CONFORMING PROJECTION
009 CONFORMING PROJECTION
010 CONFORMING PROJECTION
011 CONFORMING PROJECTION
012 CONFORMING PROJECTION
013 CONFORMING PROJECTION
014 CONFORMING PROJECTION
015 CONFORMING PROJECTION
016 CONFORMING PROJECTION
017 CONFORMING PROJECTION
018 CONFORMING PROJECTION
019 CONFORMING PROJECTION
020 CONFORMING PROJECTION
021 CONFORMING PROJECTION
022 CONFORMING PROJECTION
023 CONFORMING PROJECTION
024 CONFORMING PROJECTION
025 CONFORMING PROJECTION
026 CONFORMING PROJECTION
027 CONFORMING PROJECTION
028 CONFORMING PROJECTION
029 CONFORMING PROJECTION
030 CONFORMING PROJECTION
031 CONFORMING PROJECTION
032 CONFORMING PROJECTION
033 CONFORMING PROJECTION
034 CONFORMING PROJECTION
035 CONFORMING PROJECTION
036 CONFORMING PROJECTION
037 CONFORMING PROJECTION
038 CONFORMING PROJECTION
039 CONFORMING PROJECTION
040 CONFORMING PROJECTION
041 CONFORMING PROJECTION
042 CONFORMING PROJECTION
043 CONFORMING PROJECTION
044 CONFORMING PROJECTION
045 CONFORMING PROJECTION
046 CONFORMING PROJECTION
047 CONFORMING PROJECTION
048 CONFORMING PROJECTION
049 CONFORMING PROJECTION
050 CONFORMING PROJECTION
051 CONFORMING PROJECTION
052 CONFORMING PROJECTION
053 CONFORMING PROJECTION
054 CONFORMING PROJECTION
055 CONFORMING PROJECTION
056 CONFORMING PROJECTION
057 CONFORMING PROJECTION
058 CONFORMING PROJECTION
059 CONFORMING PROJECTION
060 CONFORMING PROJECTION
061 CONFORMING PROJECTION
062 CONFORMING PROJECTION
063 CONFORMING PROJECTION
064 CONFORMING PROJECTION
065 CONFORMING PROJECTION
066 CONFORMING PROJECTION
067 CONFORMING PROJECTION
068 CONFORMING PROJECTION
069 CONFORMING PROJECTION
070 CONFORMING PROJECTION
071 CONFORMING PROJECTION
072 CONFORMING PROJECTION
073 CONFORMING PROJECTION
074 CONFORMING PROJECTION
075 CONFORMING PROJECTION
076 CONFORMING PROJECTION
077 CONFORMING PROJECTION
078 CONFORMING PROJECTION
079 CONFORMING PROJECTION
080 CONFORMING PROJECTION
081 CONFORMING PROJECTION
082 CONFORMING PROJECTION
083 CONFORMING PROJECTION
084 CONFORMING PROJECTION
085 CONFORMING PROJECTION
086 CONFORMING PROJECTION
087 CONFORMING PROJECTION
088 CONFORMING PROJECTION
089 CONFORMING PROJECTION
090 CONFORMING PROJECTION
091 CONFORMING PROJECTION
092 CONFORMING PROJECTION
093 CONFORMING PROJECTION
094 CONFORMING PROJECTION
095 CONFORMING PROJECTION
096 CONFORMING PROJECTION
097 CONFORMING PROJECTION
098 CONFORMING PROJECTION
099 CONFORMING PROJECTION

FORTRAN IV

V02.04

PAGE 002

```
0065      Z2=CUR25D(VBS2)
0066      GO TO 134
0067 128  IF(RZ2.GE.1.5)GO TO 130
0069      Z2=CUR25E(VBS2)
0070      GO TO 134
0071 130  IF(RZ2.GE.3.5)GO TO 132
0073      Z2=CUR25F(VBS2)
0074      GO TO 134
0075 132  IF(RZ2.GE.7.5)GO TO 133
0077      Z2=CUR25G(VBS2)
0078      GO TO 134
0079 133  Z2=CUR25H(VBS2)
0080 134  DELPB2=(RDS*GC*Z2)/(144.0*GC)
0081 135  TYPE 1000,DELPB1,DELPB2,Z1,Z2
0082 1000 FORMAT(4(1X,F8.6))
0083      RETURN
0084      END
PERDA
```

PERLISTITI RESUPY
SOTRAN IV 962-04

PAGE 603

SUPPLY LINE RESUPY

TRANSPORT REGIMENT (4-1)

1. TRANSPORT REGIMENT (4-1)

2. TRANSPORT REGIMENT (4-1) - TRANSPORT REGIMENT (4-1) - TRANSPORT REGIMENT (4-1)

3. TRANSPORT REGIMENT (4-1)

4. TRANSPORT REGIMENT (4-1)

5. TRANSPORT REGIMENT (4-1)

6. TRANSPORT REGIMENT (4-1)

7. TRANSPORT REGIMENT (4-1)

8. TRANSPORT REGIMENT (4-1)

9. TRANSPORT REGIMENT (4-1)

10. TRANSPORT REGIMENT (4-1)

11. TRANSPORT REGIMENT (4-1)

12. TRANSPORT REGIMENT (4-1)

13. TRANSPORT REGIMENT (4-1)

14. TRANSPORT REGIMENT (4-1)

15. TRANSPORT REGIMENT (4-1)

16. TRANSPORT REGIMENT (4-1)

17. TRANSPORT REGIMENT (4-1)

18. TRANSPORT REGIMENT (4-1)

19. TRANSPORT REGIMENT (4-1)

20. TRANSPORT REGIMENT (4-1)

21. TRANSPORT REGIMENT (4-1)

22. TRANSPORT REGIMENT (4-1)

23. TRANSPORT REGIMENT (4-1)

24. TRANSPORT REGIMENT (4-1)

25. TRANSPORT REGIMENT (4-1)

26. TRANSPORT REGIMENT (4-1)

27. TRANSPORT REGIMENT (4-1)

28. TRANSPORT REGIMENT (4-1)

29. TRANSPORT REGIMENT (4-1)

30. TRANSPORT REGIMENT (4-1)

31. TRANSPORT REGIMENT (4-1)

32. TRANSPORT REGIMENT (4-1)

33. TRANSPORT REGIMENT (4-1)

34. TRANSPORT REGIMENT (4-1)

35. TRANSPORT REGIMENT (4-1)

36. TRANSPORT REGIMENT (4-1)

37. TRANSPORT REGIMENT (4-1)

38. TRANSPORT REGIMENT (4-1)

39. TRANSPORT REGIMENT (4-1)

40. TRANSPORT REGIMENT (4-1)

41. TRANSPORT REGIMENT (4-1)

42. TRANSPORT REGIMENT (4-1)

43. TRANSPORT REGIMENT (4-1)

44. TRANSPORT REGIMENT (4-1)

45. TRANSPORT REGIMENT (4-1)

46. TRANSPORT REGIMENT (4-1)

47. TRANSPORT REGIMENT (4-1)

48. TRANSPORT REGIMENT (4-1)

49. TRANSPORT REGIMENT (4-1)

50. TRANSPORT REGIMENT (4-1)

51. TRANSPORT REGIMENT (4-1)

52. TRANSPORT REGIMENT (4-1)

53. TRANSPORT REGIMENT (4-1)

54. TRANSPORT REGIMENT (4-1)

55. TRANSPORT REGIMENT (4-1)

56. TRANSPORT REGIMENT (4-1)

57. TRANSPORT REGIMENT (4-1)

58. TRANSPORT REGIMENT (4-1)

59. TRANSPORT REGIMENT (4-1)

Figures and Tables

102 / 04

PAGE 602

112 J. M. S.

PAGE 604

RELATION: CURVE(X)
RELATION: CURVE(B,X)
TYPE: EXP
TOPIC: EXP(1.3,2)
X=EXP(X)
EF(X,1,T,-0.2775576D-16)
*CUEF(1)=EXP(-0.62654627D+0.1074+0.2775576D+0.0)
EF(X,0,T,-0.2775576D-16)=-0.1074+0.2775576D+0.0
*CUEF(0)=EXP(-0.62654627D+0.1074+0.2775576D+0.0)
EF(X,1,T,-0.23020851D-16)=EXP(-0.1074+0.23020851D+0.0)
*CUEF(1)=EXP(-0.45906603D+0.0)+0.23020851D+0.0
EF(X,0,T,-0.34011974D-0)=EXP(-0.34011974D-0.0)+0.34011974D-0.0
*CUEF(0)=EXP(-0.23369532D+0.1074+0.23369532D+0.0)+0.34011974D-0.0
EF(X,0,T,-0.41996097D-0)=EXP(-0.41996097D-0.0)+0.41996097D-0.0
*CUEF(0)=EXP(-0.13000777D+0.0)+0.41996097D-0.0
EF(X,1,T,-0.62654627D-0)=EXP(-0.62654627D-0.0)+0.62654627D-0.0
*CUEF(1)=EXP(-0.2775576D+0.1074+0.2775576D+0.0)+0.62654627D-0.0
EF(X,0,T,-0.91049797D-0)=EXP(-0.91049797D-0.0)+0.91049797D-0.0
*CUEF(0)=EXP(-0.17006977D+0.1074+0.17006977D+0.0)+0.91049797D-0.0
EF(X,1,T,-0.11513925D-0)=EXP(-0.11513925D-0.0)+0.11513925D-0.0
*CUEF(1)=EXP(-0.23020851D+0.1074+0.23020851D+0.0)+0.11513925D-0.0

FORTRAN IV

1002,04

```

001      FUNCTION CURV3B(X)
002      REAL*8 CURV3B,X
003      X=FLLOG(X)
004      IF(X.LT.-0.27755576D-16) *
005      *CURV3B=DEXP(-0.10061110D+01*X+ 0.38990593D+03)
006      IF(X.GE.-0.27755576D-16,AND,X.LT.-0.23025831D+01) *
007      *CURV3B=DEXP(-0.10061110D+01*X+ 0.38990593D+03)
008      IF(X.GE.-0.23025831D+01,AND,X.LT.-0.36883795D+01) *
009      *CURV3B=DEXP(-0.26521657D+01*X+ 0.377248918D+03)
010      IF(X.GE.-0.36883795D+01,AND,X.LT.-0.44051702D+01) *
011      *CURV3B=DEXP(-0.27754234D+01*X+ 0.377248918D+03)
012      IF(X.GE.-0.44051702D+01,AND,X.LT.-0.534493449D+01) *
013      *CURV3B=DEXP(-0.33155681D+01*X+ 0.377248918D+03)
014      IF(X.GE.-0.534493449D+01,AND,X.LT.-0.59272553D+01) *
015      *CURV3B=DEXP(-0.41512048D+01*X+ 0.377248918D+03)
016      IF(X.GE.-0.59272553D+01,AND,X.LT.-0.62103547D+01) *
017      *CURV3B=DEXP(-0.45606331D+01*X+ 0.3724372837D+03)
018      RETURN
019      END
020      CURV3B

```

FORTRAN IV

1002,04

PAGE 001

```

001      FUNCTION CURV3C(X)
002      REAL*8 CURV3C,X
003      X=FLLOG(X)
004      IF(X.LT.-0.27755576D-16) *
005      *CURV3C=DEXP(-0.10525565D+01*X+ -0.10574693D+01)
006      IF(X.GE.-0.27755576D-16,AND,X.LT.-0.23025831D+01) *
007      *CURV3C=DEXP(-0.10525565D+01*X+ -0.10574693D+01)
008      IF(X.GE.-0.23025831D+01,AND,X.LT.-0.36883795D+01) *
009      *CURV3C=DEXP(-0.2652384D+01*X+ -0.172925834D+01)
010      IF(X.GE.-0.36883795D+01,AND,X.LT.-0.46051702D+01) *
011      *CURV3C=DEXP(-0.3452068D+00*X+ -0.172925834D+01)
012      IF(X.GE.-0.46051702D+01,AND,X.LT.-0.53447147D+01) *
013      *CURV3C=DEXP(-0.41665605D+00*X+ -0.172925834D+01)
014      IF(X.GE.-0.53447147D+01,AND,X.LT.-0.59272553D+01) *
015      *CURV3C=DEXP(-0.45606331D+01*X+ -0.172925834D+01)
016      IF(X.GE.-0.59272553D+01,AND,X.LT.-0.62103547D+01) *
017      *CURV3C=DEXP(-0.4959536D+01*X+ -0.172925834D+01)
018      RETURN
019      END
020      CURV3C

```

FORLIST ITT: C93
PTRAN IV U02.04

PAGE 001

```

0001      FUNCTION CURV3D(X)
0002      REAL*8 CURV3D,X
0003      X=DLG(X)
0004      IF(X.LT. -0.277555760-16) *
0005      *CURV3D=DEXP(-0.98525649D+01*X+0.3489167504*X**2+0.1256968604*X**3)
0006      IF(X.GE. -0.277555760-16) *
0007      *CURV3D=DEXP(-0.98525649D+01*X+0.3489167504*X**2+0.1256968604*X**3)
0008      IF(X.LT. -0.236025857-04) *
0009      *CURV3D=DEXP(-0.1020473704*X+0.3489167504*X**2+0.1256968604*X**3)
0010      IF(X.GE. -0.236025857-04) *
0011      *CURV3D=DEXP(-0.1020473704*X+0.3489167504*X**2+0.1256968604*X**3)
0012      IF(X.LT. -0.336828750-01) *
0013      *CURV3D=DEXP(-0.13730117D+01*X+0.3489167504*X**2+0.1256968604*X**3)
0014      IF(X.GE. -0.336828750-01) *
0015      *CURV3D=DEXP(-0.13730117D+01*X+0.3489167504*X**2+0.1256968604*X**3)
0016      IF(X.LT. -0.21037030-01) *
0017      *CURV3D=DEXP(-0.17730117D+01*X+0.3489167504*X**2+0.1256968604*X**3)
0018      IF(X.GE. -0.21037030-01) *
0019      *CURV3D=DEXP(-0.17730117D+01*X+0.3489167504*X**2+0.1256968604*X**3)
0020      IF(X.LT. -0.15129250-02) *
0021      *CURV3D=DEXP(-0.13730117D+01*X+0.3489167504*X**2+0.1256968604*X**3)
0022      X=DEXP(X)
0023      RETURN
0024      END
0025

```

PTRAN IV U02.04

PAGE 001

```

0001      FUNCTION CURV4A(X)
0002      REAL*8 CURV4A,X
0003      X=DLG(X)
0004      IF(X.LT. -0.277555760-16) *
0005      *CURV4A=DEXP(-0.10061463D+01*X+0.3489167504*X**2+0.1256968604*X**3)
0006      IF(X.GE. -0.277555760-16) *
0007      *CURV4A=DEXP(-0.10061463D+01*X+0.3489167504*X**2+0.1256968604*X**3)
0008      IF(X.LT. -0.25025851D+01) *
0009      *CURV4A=DEXP(-0.99580721D+01*X+0.3489167504*X**2+0.1256968604*X**3)
0010      IF(X.GE. -0.25025851D+01) *
0011      *CURV4A=DEXP(-0.99580721D+01*X+0.3489167504*X**2+0.1256968604*X**3)
0012      IF(X.LT. -0.22505939D+00) *
0013      *CURV4A=DEXP(-0.2271D-04*X+0.34891375D+01)
0014      IF(X.GE. -0.22505939D+00) *
0015      *CURV4A=DEXP(-0.2271D-04*X+0.34891375D+01)
0016      IF(X.LT. -0.21202663D+00) *
0017      *CURV4A=DEXP(-0.21202663D+00*X+0.34891675D+02)
0018      IF(X.GE. -0.21202663D+00) *
0019      *CURV4A=DEXP(-0.21202663D+00*X+0.34891675D+02)
0020      IF(X.LT. -0.15129250-02) *
0021      *CURV4A=DEXP(-0.16938756D+01*X+0.3489167504*X**2+0.1256968604*X**3)
0022      X=DEXP(X)
0023      RETURN
0024      END
0025

```

```

001      FUNCTION CURV4B(X)
002      REAL*8 CURV4B,X
003      X=DLG(X)
004      IF(X.LT. 0.27755576D-16) *
005      *CURV4B=DEXP(-0.96535316D+00*X+ 0.37444388D+01)
006      IF(X.GE. 0.27755576D-16,AND.X.LT. 0.23025851D+01) *
007      *CURV4B=DEXP(-0.96535316D+00*X+ 0.37444388D+01)
008      IF(X.GE. 0.23025851D+01,AND.X.LT. 0.46051702D+01) *
009      *CURV4B=DEXP(-0.99607793D+00*X+ 0.37444388D+01)
010      IF(X.GE. 0.46051702D+01,AND.X.LT. 0.74009045D+01) CURV4B=*
011      *DEXP(-0.71917123D+00*X+0.17000917D+01+C01 0.95552983D+01)
012      IF(X.GE. 0.76069236D+01,AND.X.LT. 0.92100347D+01) CURV4B=*
013      *DEXP(-C1 1.499D+00*X+0.17000917D+01+C1 1.6011744D+02)
014      IF(X.GE. 0.92100347D+01,AND.X.LT. 0.95129587D+02) *
015      *CURV4B=DEXP(-C1 1.5129587D+02)
016      IF(X.GE. 0.11312925D+02) *
017      *CURV4B=DEXP(-0.15341740D+01+C1 0.74359436D+00)
018      X=DEXP(X)
019      RETURN
020      END
021
CURV4B

```

CAR/LIST/TTT: 005

ETRAN IV

902.04

PAGE 001

```

001      FUNCTION CURV10(X)
002      REAL*8 CURV10,X
003      X=DLG(X)
004      IF(X.LT. 0.27755576D-16) *
005      *CURV10=DEXP(-0.69335127D+00*X+ 0.28045785D+01)
006      IF(X.GE. 0.27755576D-16,AND.X.LT. 0.23025851D+01) *
007      *CURV10=DEXP(-0.69335127D+00*X+ 0.28045785D+01)
008      IF(X.GE. 0.23025851D+01,AND.X.LT. 0.46051702D+01) *
009      *CURV10=DEXP(-0.72727102D+00*X+0.17000917D+01+C01 0.422993D+01)
010      IF(X.GE. 0.46051702D+01,AND.X.LT. 0.74009045D+01) CURV10=*
011      *DEXP(-0.72727102D+00*X+0.17000917D+01+C1 0.422993D+01)
012      IF(X.GE. 0.76069236D+01,AND.X.LT. 0.92100347D+01) CURV10=*
013      *DEXP(-C1 1.499D+00*X+0.17000917D+01+C1 1.6011744D+02)
014      IF(X.GE. 0.92100347D+01,AND.X.LT. 0.95129587D+02) *
015      *CURV10=DEXP(-C1 1.5129587D+02)
016      IF(X.GE. 0.11312925D+02) *
017      *CURV10=DEXP(-0.25220774D+01+C1 0.74359436D+00)
018      IF(X.GE. 0.27755576D+01) FORM10=A APPROXIMATE VALUE FOR X TYPE 100
019      FORM10=A APPROXIMATE VALUE FOR X TYPE 100
020      * FORMA ECG INTERMANAGE TABLE
021      X=DEXP(X)
022      RETURN
023      END
024
CURV10

```

DATA TRON JV

102 04

PAGE 001

```

FUNCTION CURV1E(X)
REAL(X) CURV1E,X
X=LOG(X)
IF(X.LT.-6.277555760-16)
*CURV1E=-EXP(-0.6412187D+0.0000000000000000)
    IF(X.GE.-0.277555760-16) RETURN(0.0)
    X=(X+6.277555760-16)/13.862943611111111
    CURV1E=EXP(-C+0.6412187D+0.0000000000000000)
    C=0.6412187D+0.0000000000000000
    DO 100 I=1,10
        A=CURV1E*(X-I)
        B=CURV1E*(X-I-1)
        C=C-A+B
        D=A-B
        A=C
        B=D
        CURV1E=CURV1E+C
        IF(D.EQ.0.0) GOTO 100
        X=X-1.3862943611111111
    100 CONTINUE
    CURV1E=CURV1E+C
    RETURN(CURV1E)
END

```

THE JAPAN GATE

202-07

PAGE 001

100.67
100.74
100.85
100.95
101.00
101.12
101.18
101.25
101.30
101.35

FOR/LIST: CV6
FORTRAN IV 902.04

PAGE 001

```

0001      FUNCTION CURV3E(X)
0002      REAL*8 CURV3E,X
0003      X=DL00(X)
0004      IF(X.LT. 0.27755576D-16) *
0005      *CURV3E=DEXP(-0.10157878D+01*X+ 0.33741436D+01)
0006      IF(X.GE. 0.27755576D-16.AND.X.LT. 0.23025851D+01) *
0007      *CURV3E=DEXP(-0.10157878D+01*X+ 0.33741436D+01)
0008      IF(X.GE. 0.23025851D+01) *
0009      *CURV3E=DEXP(-0.10157878D+01*X+ 0.33741436D+01)
0010      IF(X.GE. 0.33969297D+01.AND.X.LT. 0.37903783D+01) *
0011      *CURV3E=DEXP(-0.22755584D-01*X+ 0.13137763D+01)CURV3E=
0012      IF(X.GE. 0.37903783D+01.AND.X.LT. 0.45199169D+00) *
0013      *CURV3E=DEXP(-0.25328452D-01*X+ -0.35449384D+01)
0014      IF(X.GE. 0.45199169D+00) *
0015      *CURV3E=DEXP(-0.25328452D-01*X+ -0.35449384D+01)
0016      RETURN
0017
0018
CURV3E

```

FORTRAN IV 902.04

PAGE 001

```

0001      FUNCTION CURV3F(X)
0002      REAL*8 CURV3F,X
0003      X=DL00(X)
0004      IF(X.LT. 0.27755576D-16) *
0005      *CURV3F=DEXP(-0.99868639D+00*X+ 0.27702489D+01)
0006      IF(X.GE. 0.27755576D-16.AND.X.LT. 0.23025851D+01) *
0007      *CURV3F=DEXP(-0.99868639D+00*X+ 0.27702489D+01)
0008      IF(X.GE. 0.23025851D+01.AND.X.LT. 0.5298317474D+01)CURV3F=
0009      *DEXP(-0.98039568D-01*X**2+-0.14076385D-01*X+ 0.31957965D+01)
0010      IF(X.GE. 0.52983174D+01.AND.X.LT. 0.82940476D+01)CURV3F=
0011      *DEXP(-0.82911932D-01*X**2+-0.97706617D+00*X+ 0.21508758D+01)
0012      IF(X.GE. 0.82940496D+01.AND.X.LT. 0.10819778D+02)CURV3F=
0013      *DEXP(-0.69956597D-02*X**2+-0.21211395D-00*X+ -0.10399697D+01)
0014      IF(X.GE. 0.10819778D+02.AND.X.LT. 0.11512925D+02) *
0015      *CURV3F=DEXP(-0.19004505D+02*X+ -0.36577601D+00)
0016      IF(X.GE. 0.11512925D+02) *
0017      *CURV3F=DEXP(-0.19004505D+02*X+ -0.16357601D+00)
X=DL00(X)
RETURN
END
CURV3F

```

REFTRAN IV 14C2-06

SCHILLER

```

0001      FUNCTION CURV4C(X)
0002      REAL*8 CURV4C,X
0003      X=BLDG(X)
0004      IF(X.LT.-6.27755576D-16) *
0005      *CURV4C=DEXP(-0.19127117D+01X**2-1.29429492D+01)
0006      IF(X.GE.-6.27755576D-16) CURV4C=1.0
0007      ELSE CURV4C=DEXP(-0.19127117D+01X**2-1.29429492D+01)
0008      IF(X.GE.-6.23020103D-01) CURV4C=1.0
0009      ELSE CURV4C=DEXP(-0.35715046D-06*X**6+0.10575426D-05*X**4-
0010      -0.25275107D-03*X**2+0.17940101)
0011      IF(X.GE.-6.46051702D-01) CURV4C=1.0
0012      ELSE CURV4C=DEXP(-0.17624952D-06*X**6+0.05007274D-05*X**4-
0013      -0.17371758D-03*X**2+0.13737138D-01)
0014      IF(X.GE.-6.76009025D-01) CURV4C=1.0
0015      ELSE CURV4C=DEXP(-0.18242136D-01*X*X*X*X*X*X+0.459137256D+01)
0016      IF(X.GE.-6.10596155D-01) CURV4C=1.0
0017      ELSE CURV4C=DEXP(-0.19513320D+01*X*X*X*X*X*X+0.515120773D+01)
0018      IF(X.GE.-6.11512825D-01) CURV4C=1.0
0019      ELSE CURV4C=DEXP(-0.19312220D+01*X*X*X*X*X*X+0.42270233D+01)
0020      RETURN
0021      END

```

REGISTRATION

EUTRAN IV 172-93

Price: 60/-

IF(X,EE,-0,1230000000000000)
IF(X,EE,-0,2300000000000000)
IF(X,EE,-0,3066666666666666)
IF(X,EE,-0,1124286000000000)
IF(X,EE,-0,630000000000000)
IF(X,EE,-0,1281504640000000)
IF(X,EE,-0,1706666640000000)
IF(X,EE,-0,2140000000000000)
IF(X,EE,-0,1782770000000000)
IF(X,EE,-0,2563333333333333)
IF(X,EE,-0,15179128040000000)
IF(X,EE,-0,3270000000000000)
IF(X,EE,-0,51158445004000000)
IF(X,EE,-0,4446666666666666)
IF(X,EE,-0,1111111111111111)

ASSEMBLY LANGUAGE
FORTRAN IV HPG.004

PAGE 001

```

0001 FUNCTION CUR25A(X)
0002 .. REAL*8 CUR25A,X
0003 .. X=1.0D(X)
0004 .. IF(X.LT.-0.160937E+00)CUR25A=-X
0005 .. *DEXP(-0.160937E+00)+0.276278E+00
0006 .. X=X+0.276278E+00
0007 .. IF(X.GE.-0.160937E+00)CUR25A=0.0D(0)
0008 .. *DEXP(-0.160937E+00)+0.276278E+00
0009 .. X=X+0.276278E+00
0010 .. IF(X.LT.-0.129618E+00)CUR25A=-X
0011 .. *DEXP(-0.129618E+00)+0.397032E+00
0012 .. X=X+0.397032E+00
0013 .. IF(X.GE.-0.129618E+00)CUR25A=0.0D(0)
0014 .. *DEXP(-0.129618E+00)+0.397032E+00
0015 .. X=X+0.397032E+00
0016 .. CUR25A=X
0017 .. END

```

FORTRAN IV HPG.004

PAGE 001

```

0001 FUNCTION CUR25B(X)
0002 .. REAL*8 CUR25B,X
0003 .. X=1.0D(X)
0004 .. IF(X.LT.-0.230256E+01)CUR25B=-X
0005 .. *DEXP(-0.10709360D+00*X*X*2.0)
0006 .. IF(X.GE.-0.230256E+01)CUR25B=0.0D(0)
0007 .. *DEXP(-0.10709360D+0.0*X*X*2.0)+1.60D-01*DEXP(-0.1360D+0.1)
0008 .. IF(X.GE.-0.13604272D+0.1)CUR25B=0.0D(0)
0009 .. *CUR25B=DEXP(-0.13604272D+0.1)+0.36889795D+0.1
0010 .. IF(X.GE.-0.36889795D+0.1)CUR25B=0.0D(0)
0011 .. *CUR25B=DEXP(-0.19264432D+0.1)+0.36889795D+0.1
0012 .. IF(X.GE.-0.57032925D+0.1)CUR25B=0.0D(0)
0013 .. *CUR25B=DEXP(-0.19264432D+0.1)+0.36889795D+0.1
0014 .. IF(X.GE.-0.77286125D+0.1)CUR25B=0.0D(0)
0015 .. *CUR25B=DEXP(-0.19264432D+0.1)+0.36889795D+0.1
0016 .. CUR25B=X
0017 .. END

```

TRAN IV

V02.04

PAGE 001

```

0001 FUNCTION CUR25C(X)
0002 REAL*8 CUR25C,X
0003 X=DLOG(X)
0004 IF(X.LT.-0.23025851D+01)CUR25C=
0005 *DEXP(-0.86432248D-01*X**2+0.14190391D+01*X+-0.26329091D+01)
0006 IF(X.GE.-0.23025851D+01.AND.X.LT.-0.16094329D+01)CUR25C=
0007 *DEXP(-0.86432248D-01*X**2+0.14190391D+01*X+-0.26329091D+01)
0008 IF(X.GE.-0.16094329D+01.AND.X.LT.-0.36868790D+01)
0009 *CUR25C=DEXP(-0.18041485D+01*X**2+0.29986116D+01)
0010 IF(X.GE.-0.36868790D+01.AND.X.LT.-0.57037825D+01)
0011 *CUR25C=DEXP(-0.19904632D+01*X**2+0.34493158D+01)
0012 IF(X.GE.-0.57037825D+01)
0013 *CUR25C=DEXP(-0.19904632D+01*X**2+0.34493158D+01)
0014 RETURN
0015
0016 END
0017
0018 CUR25C

```

FORTRAN IV

V02.04

PAGE 001

```

0001 FUNCTION CUR25D(X)
0002 REAL*8 CUR25D,X
0003 X=DLOG(X)
0004 IF(X.LT.-0.23025851D+01)CUR25D=
0005 *DEXP(-0.13851026D+00*X**2+0.14677001D+01*X+-0.24059621D+01)
0006 IF(X.GE.-0.23025851D+01.AND.X.LT.-0.10536052D+00)CUR25D=
0007 *DEXP(-0.13851026D+00*X**2+0.14677001D+01*X+-0.24059621D+01)
0008 IF(X.GE.-0.10536052D+00.AND.X.LT.-0.17917595D+01)CUR25D=
0009 *DEXP(-0.93290061D-01*X**2+0.14063744D+01*X+-0.24131854D+01)
0010 IF(X.GE.-0.17917595D+01.AND.X.LT.-0.36888795D+01)
0011 *CUR25D=DEXP(-0.18053916D+01*X**2+0.28265835D+01)
0012 IF(X.GE.-0.36888795D+01.AND.X.LT.-0.57037825D+01)
0013 *CUR25D=DEXP(-0.19904632D+01*X**2+0.34493158D+01)
0014 IF(X.GE.-0.57037825D+01)
0015 *CUR25D=DEXP(-0.19904632D+01*X**2+0.34493158D+01)
0016 X=DEXP(X)
0017 RETURN
0018 END
0019 CUR25D

```

FORTRAN IV U02.04

PAGE 001

```

001      FUNCTION CUR2GE(X)
002      REAL*8 CUR2GE,X
003      X=10.0E0
004      IF(X.LT.-0.230258510501)CUR2GE=0.
005      *DEXP(-0.132679420-0.138692170-0.3601170-0.134120401)
006      IF(X.GE.-0.230258510501)CUR2GE=0.693147180562318
007      *DEXP(-0.132679420-0.138692170-0.3601170-0.134120401)
008      IF(X.GE.0.230258510501)CUR2GE=0.693147180562318
009      *DEXP(-0.132679420-0.138692170-0.3601170-0.134120401)
010      IF(X.GE.0.6124080401)CUR2GE=0.0
011      CUR2GE=DEXP(-0.132679420-0.138692170-0.3601170-0.134120401)
012      IF(X.GE.0.5303775000)CUR2GE=0.0
013      CUR2GE=1.0
014      END

```

FORTRAN IV U02.04

PAGE 001

```

001      FUNCTION CUR2SF(X)
002      REAL*8 CUR2SF,X
003      X=10.0E0
004      IF(X.LT.-0.230258510501)CUR2SF=0.
005      *DEXP(-0.132679420-0.138692170-0.3601170-0.134120401)
006      IF(X.GE.-0.230258510501)CUR2SF=0.693147180562318
007      *DEXP(-0.132679420-0.138692170-0.3601170-0.134120401)
008      IF(X.GE.0.230258510501)CUR2SF=0.693147180562318
009      *DEXP(-0.132679420-0.138692170-0.3601170-0.134120401)
010      IF(X.GE.0.6124080401)CUR2SF=0.0
011      CUR2SF=DEXP(-0.132679420-0.138692170-0.3601170-0.134120401)
012      IF(X.GE.0.5303775000)CUR2SF=0.0
013      CUR2SF=1.0
014      END

```

CHAPIN 19

962,04

```

11 FUNCTION CUR256(X)
12 REAL*8 CUR256,X
13 X=DL06(X)
14 IF(X.LT.-0.23025851D+00)CUR256=0.2934884000
15 *DEXP(-0.577710611D+00)+0.2934884000*(X+0.2934884000)
16 IF(X.GE.-0.23025851D+00)CUR256=0.2934884000*DEXP(-0.577710611D+00)
17 *(1.0-X*X)+(0.2934884000*X*X)-(0.2934884000*X*X*X*X)
18 CUR256=1.0+(0.2934884000*X*X)+(0.2934884000*X*X*X*X)+(0.2934884000*X*X*X*X*X)
19 IF(X.GE.0.23025851D+00)CUR256=0.2934884000*DEXP(0.577710611D+00)
20 *CUR256=0.2934884000*DEXP(0.577710611D+00)+(0.2934884000*X*X)
21 IF(X.LT.0.23025851D+00)CUR256=0.2934884000*DEXP(-0.577710611D+00)
22 *CUR256=0.2934884000*DEXP(-0.577710611D+00)+(0.2934884000*X*X)
23 RETURN
24 END

```

CHAPIN 19

962,04

PAGE 001

```

11 FUNCTION CUR25H(X)
12 REAL*8 CUR25H,X
13 X=DL06(X)
14 IF(X.LT.-0.23025851D+00)CUR25H=0.103973704000*(X+0.103973704000)
15 *CUR25H=DEXP(-0.103973704000*X)-0.103973704000*(X+0.103973704000)
16 IF(X.GE.-0.103973704000)CUR25H=0.103973704000*DEXP(-0.103973704000)
17 *DEXP(-0.103973704000*X)-0.103973704000*(X+0.103973704000)
18 IF(X.GE.0.103973704000)CUR25H=0.103973704000*DEXP(0.103973704000)
19 *CUR25H=0.103973704000*DEXP(0.103973704000*X)-0.103973704000*(X+0.103973704000)
20 IF(X.LT.0.103973704000)CUR25H=0.103973704000*DEXP(-0.103973704000)
21 *CUR25H=0.103973704000*DEXP(-0.103973704000*X)-0.103973704000*(X+0.103973704000)
22 X=DL06(X)
23 RETURN
24 END

```

TABELA TAB11A.DAT

RUN LER3
TAB11A.DAT

1	
3,071	3,311
2	
6,020	8,776
3	
12,000	10,750
4	
12,250	12,000
5	
12,250	13,000
6	
12,250	15,000
7	
12,250	19,000
8	
12,000	19,250
9	
12,250	21,500
10	
12,000	23,375
11	
12,000	25,375
12	
12,000	27,375
13	
12,000	29,375
14	
12,000	31,375
15	
12,000	33,375
16	
12,000	35,250
17	
12,000	37,250
18	
12,000	40,250
19	
12,000	42,250
20	
12,000	43,000
21	
12,000	50,000
22	
12,000	54,000
23	
12,000	58,000

WELA TABLE, DAT

REL LER				
38	32	26	20	18
57	30	24	24	20
22	18	16	14	11
52	26	20	20	15
21	16	16	14	12
52	56	47	42	36
51	52	48	47	44
37	32	28	26	25
52	52	40	37	30
52	32	26	23	21
109	98	85	82	78
10	84	74	72	68
57	52	44	42	40
10	72	59	57	50
9	44	34	32	28
57	144	131	127	120
110	101	90	88	76
57	63	56	54	50
95	90	81	77	70
50	56	51	46	44
170	160	140	136	126
163	152	136	133	110
16	92	86	84	72
118	132	116	112	108
58	82	75	70	64
279	224	194	186	178
211	201	181	176	166
170	124	116	110	94
118	178	168	164	142
152	110	102	94	82
301	232	252	244	234
273	256	242	236	210
172	162	152	148	126
56	224	216	208	188
148	142	136	129	116
371	342	314	306	290
318	308	279	269	260
119	188	170	164	160
116	264	246	240	234
170	168	157	150	146
442	420	396	376	364
381	369	349	326	326
267	230	213	206	202
341	321	308	297	292
210	199	197	191	184
31	508	458	417	384
40	452	423	377	362
394	232	236	231	242
297	391	370	361	343
100	246	224	216	210
157	692	556	526	524
119	534	488	441	464
117	534	302	291	296
110	632	427	411	408
116	225	257	247	250
11	692	540	511	514

TABELA TAB11B. DAT (continuação)

810	604	556	532	500
357	376	354	334	316
554	542	525	509	500
348	340	322	314	313
947	922	756	722	720
745	728	678	654	640
472	454	430	407	400
433	616	570	566	570
402	390	366	347	348
174	938	872	862	826
936	830	774	770	732
518	522	486	471	474
712	712	687	577	572
660	453	430	421	414
1102	1068	1004	934	956
670	938	882	867	848
639	592	556	547	533
437	911	777	771	756
557	512	637	477	476
1142	1200	1163	1104	1071
1070	1042	982	762	958
678	664	632	617	598
909	902	880	877	852
508	580	555	547	528
1317	1330	1250	1240	1212
1116	1176	1120	1107	1078
763	736	700	569	672
1105	1012	934	914	952
635	637	619	610	605
1311	1580	1498	1364	1456
1099	1378	1314	1296	1280
890	878	834	808	800
1201	1171	1144	1109	1087
765	728	708	666	680
1782	1738	1650	1624	1592
1562	1535	1464	1422	1394
990	966	921	899	871
1349	1327	1288	1270	1252
856	837	809	778	763
0	0	0	0	0
0	0	0	0	0
0	0	0	0	0
0	0	0	0	0
0	0	0	0	0
1905	1906	1934	1801	1766
1827	1845	1766	1734	1690
1188	1163	1098	1076	1055
1420	1598	1553	1538	1505
1029	1010	972	945	940
0	0	0	0	0
0	0	0	0	0
0	0	0	0	0
0	0	0	0	0
0	0	0	0	0
2512	2273	2210	2148	2110
2113	2502	2074	2010	2010
1670	1170	1527	1377	1262
1342	1370	1341	1311	1290
1114	1184	1153	1127	1106
0	0	0	0	0
0	0	0	0	0
0	0	0	0	0
0	0	0	0	0
2717	2630	2555	2317	2469
2100	2614	2377	2211	2356

TABELA TAB11B. DAT (continuação)

1605	1549	1531	1527
2214	2157	2143	2137
1400	1371	1357	1307
0	0	6	0
0	0	0	0
0	0	0	0
0	0	0	0
0	0	0	0
3243	3232	3193	3163
2545	2877	2797	2728
1851	1777	1744	1724
2556	2510	2485	2460
1615	1537	1537	1522
—	—	—	—

ABELA VISCO.DAT

1 LER1
1.2 4.8
0 12.5
3 13.0
7 9.1
2 8.2
3 8.8
3 7.2
0 15.0
1 14.2
5 17.0
1 15.3
2 16.1
7 15.8
0 15.5
2 14.4
6 13.8
0 17.0
6 13.8
2 27.4
0 24.8
2 21.3
2 13.0
2 14.3
5 18.4
6 17.2
5 13.8
8 14.3
5 16.6
2 18.0
2 16.0
6 23.1
1 16.5
3 2.0
1 13.9
1 12.8
1 18.7
1 13.5
3 10.9
2 11.5
0 8.1
0 9.6
2 13.2
1 15.9
0 6.6
2 24.3
5 12.8
2 6.0
2 3.6
2 2.5
1 1.2
1 1.2
1 0.2
4 1.5
1 1.3
1 1.2

2,5	26,8
2,7	15,8
3,2	12,2
3,6	8,9
4,0	18,2
4,6	0,2
5,2	7,1
5,1	7,5
5,1	7,5
5,9	20,8
6,2	8,4
6,4	9,0
6,8	5,6
6,7	7,5
7,2	4,7
7,5	11,4
7,6	8,3
8,0	30,0
8,9	19,6
9,0	23,6
9,1	8,4
9,7	7,0
10,2	25,8
10,7	10,3
10,1	11,6
10,5	3,7
10,4	16,3
10,4	10,5
10,3	11,6
10,8	15,5
10,3	3,3
10,9	18,1
10,6	16,2
11,0	17,0
13,7	10,0
11,0	16,4
12,3	15,8
10,3	17,7
10,9	17,3
10,9	5,2
10,3	1,0
10,6	15,9
10,2	16,6
10,4	13,9
12,7	13,1
14,4	12,3
13,9	15,7
14,2	12,7
13,7	10,4
13,8	16,7
13,9	14,5
16,2	10,9
14,8	10,5
11,5	11,9
13,7	11,6
13,5	12,1
13,8	10,9
14,4	—,4
14,0	10,5
11,6	15,0
10,0	20,0
10,3	21,3
10,0	23,6
10,9	23,2
10,9	26,9
10,7	27,7

ELA VISCO. DAT (continuação)

WELA T15A.DAT

REC LER2
REC,BAT
13 1.24
14 1.20
134 1.17
128 1.16
STOP --

WELA T15B.DAT

REC LER2
REC,BAT
13 1.17
14 1.15
148 1.12
124 1.10
STOP --

WELA T15C.DAT

REC LER2
REC,BAT
131 1.00
132 1.00
133 1.00
134 1.00
135 1.00
STOP --

ANEXO D

MÉTODOS DE CÁLCULO NUMÉRICO PARA O AJUSTE DE CURVAS

D.1 - MÉTODO DOS MÍNIMOS QUADRADOS

O método dos mínimos quadrados tem como princípio a minimização da soma dos quadrados dos desvios inerentes aos pontos apresentados em uma tabela.

As equações para a regressão polinomial pelos mínimos quadrados, para polinômios de grau n são:

$$\left\{ \begin{array}{l} ma_0 + (\sum x_i) a_1 + \dots + (\sum x_i^k) a_k + \dots + (\sum x_i^n) a_n = \sum y_i \\ (\sum x_i) a_0 + (\sum x_i^2) a_1 + \dots + (\sum x_i^{k+1}) a_k + \dots + (\sum x_i^{n+1}) a_n = \sum x_i y_i \\ \vdots \\ (\sum x_i^p) a_0 + (\sum x_i^{p+1}) a_1 + \dots + (\sum x_i^{k+p}) a_k + \dots + (\sum x_i^{n+p}) a_n = \sum x_i^p y_i \\ \vdots \\ (\sum x_i^n) a_0 + (\sum x_i^{n+1}) a_1 + \dots + (\sum x_i^{k+n}) a_k + \dots + (\sum x_i^{2n}) a_n = \sum x_i^{2n} y_i \end{array} \right.$$

onde a função polinomial é dada por:

$$y = a_n x^n + a_{n-1} x^{n-1} + \dots + a_1 x + a_0$$

e,

n = grau do polinômio, escolhido previamente

m = número de pontos dados na tabela

$a_0, a_1, a_2, \dots, a_n$ = coeficientes, determinados um em função do outro.

Para o grau $n=1$ o polinômio é uma função linear. Para $n=2$, o polinômio é uma função quadrática e para $n=3$ é um polinômio cúbico, etc.

Determinando-se os coeficientes para $n=1$ (reta) e para $n=2$ (parábola), tem-se das equações do sistema acima:

(a) reta ($n=1$):

$$\begin{cases} ma_0 + \sum x_i a_1 = \sum y_i \\ \sum x_i a_0 + \sum x_i^2 a_1 = \sum x_i y_i \end{cases}$$

Chamando: $A = \sum x_i$, $B = \sum x_i^2$, $E = \sum y_i$ e $F = \sum x_i y_i$, tem-se:

$$\begin{cases} ma_0 + Aa_1 = E \\ \sum x_i a_0 + Ba_1 = F \end{cases} \quad (1)$$

$$\begin{cases} \sum x_i a_0 + Ba_1 = F \\ Aa_0 + Ba_1 = F \end{cases} \quad (2)$$

De (1):

$$ma_0 = E - Aa_1$$

de onde:

$$a_0 = \frac{E - Aa_1}{m} \quad (D.1.1)$$

Substituindo em (2), tem-se:

$$a_1 = \frac{mF - AE}{mB - A^2} \quad (D.1.2)$$

Determina-se primeiro o coeficiente a_1 para depois determinar o coeficiente a_0 .

A função é então definida por:

$$y = a_1 x + a_0 \quad (D.1.3)$$

(b) parábola ($n=2$)

Analogamente ao que foi feito para o caso $n=1$:

$$\begin{cases} ma_0 + \sum x_i a_1 + \sum x_i^2 a_2 = \sum y_i \\ \sum x_i a_0 + \sum x_i^2 a_1 + \sum x_i^3 a_2 = \sum x_i y_i \\ \sum x_i^2 a_0 + \sum x_i^3 a_1 + \sum x_i^4 a_2 = \sum x_i^2 y_i \end{cases}$$

Chamando: $A = \sum x_i$, $B = \sum x_i^2$, $C = \sum x_i^3$, $D = \sum x_i^4$, $E = \sum y_i$, $F = \sum x_i y_i$

e $G = \sum x_i^2 y_i$, tem-se:

$$\left\{ \begin{array}{l} ma_0 + Aa_1 + Ba_2 = E \\ Aa_0 + Ba_1 + Ca_2 = F \end{array} \right. \quad (3)$$

$$\left\{ \begin{array}{l} Ba_0 + Ca_1 + Da_2 = G \\ \vdots \end{array} \right. \quad (4)$$

$$\left\{ \begin{array}{l} Ba_0 + Ca_1 + Da_2 = G \\ \vdots \end{array} \right. \quad (5)$$

De (3), vem:

$$ma_0 = E - Aa_1 - Ba_2$$

de onde:

$$a_0 = \frac{E - Aa_1 - Ba_2}{m} \quad (D.1.4)$$

Substituindo a_0 na expressão (4):

$$A\left(\frac{E - Aa_1 - Ba_2}{m}\right) + Ba_1 + Ca_2 = F$$

Deduzindo, chega-se à expressão:

$$a_1 = \frac{mF - AE - (mC - AB)a_2}{mB - A^2} \quad (D.1.5)$$

Tomando as expressões de a_0 e de a_1 e substituindo em (5), tem-se:

$$B\left(\frac{E - Aa_1 - Ba_2}{m}\right) + C\left(\frac{mF - AE - (mC - AB)a_2}{mB - A^2}\right) + Da_2 = G$$

Resolvendo, encontra-se:

$$a_2 = \frac{(mB - A^2)(mG - BE) + m(ABF - mCF + CAE) - EBA^2}{m[D(mB - A^2) - mC^2 + 2ABC] - B^2[A^2 + (mB - A^2)]} \quad (D.1.6)$$

Determina-se inicialmente a_2 , em seguida a_1 e por último o coeficiente a_0 .

A função é dada por:

$$y = a_2 x^2 + a_1 x + a_0 \quad (\text{D.1.7})$$

D.2 - MÉTODO DAS DIFERENÇAS DIVIDIDAS

Um outro modo de se obter um polinômio interpolador é fazendo uso do conceito de diferenças divididas.

Dada uma tabela:

x	y
x_0	y_0
x_1	y_1
\vdots	\vdots
x_n	y_n

As diferenças divididas de ordem zero no ponto x_i são dadas pelo valor da própria função:

$$f[x_i] = y_i = f(x_i), \quad (\text{D.1.8})$$

então, as diferenças divididas de ordem zero para uma determinada abscissa da tabela é a ordenada correspondente.

As diferenças divididas de 1ª ordem são definidas por:

$$f[x_i, x_j] = \frac{f[x_j] - f[x_i]}{x_j - x_i} \quad (\text{D.1.9})$$

então, nos pontos x_0 e x_1 tem-se:

$$f[x_0, x_1] = \frac{f[x_1] - f[x_0]}{x_1 - x_0},$$

nos pontos x_2 e x_3 :

$$f[x_2, x_3] = \frac{f[x_3] - f[x_2]}{x_3 - x_2}$$

e assim por diante..,

As de 2.^a ordem são dadas por:

$$f[x_i, x_j, x_k] = \frac{f[x_j, x_k] - f[x_i, x_j]}{x_k - x_i} \quad (D.1.10)$$

nos pontos x_1 , x_2 e x_3 vem:

$$f[x_1, x_2, x_3] = \frac{f[x_2, x_3] - f[x_1, x_2]}{x_3 - x_1}$$

As diferenças divididas de ordem k , nos pontos x_0 , x_1 , ..., x_k são definidas em termos das diferenças divididas de ordem $(k-1)$ por:

$$f[x_0, x_1, \dots, x_k] = \frac{f[x_1, \dots, x_k] - f[x_0, x_1, \dots, x_{k-1}]}{x_k - x_0} \quad (D.1.11)$$

Se a função é especificada nos pontos x_0, x_1, \dots, x_n , a tabela:

	dif.div. de ordem zero	dif.div. de ordem 1	dif.div. de ordem 2	dif.div. de ordem n
x_0	$f[x_0]$	$f[x_0, x_1]$	$f[x_0, x_1, x_2]$	$f[x_0, \dots, x_n]$
x_1	$f[x_1]$	$f[x_1, x_2]$	$f[x_1, x_2, x_3]$		
x_2	$f[x_2]$	$f[x_2, x_3]$		
.....
x_n	$f[x_n]$				

é chamada a tabela de suas diferenças divididas.

Finalmente, as diferenças divididas podem ser utilizadas para o cálculo do polinômio interpolador da tabela, através da expressão de NEWTON:

$$P_n(x) = f[x_0] + (x-x_0) f[x_0, x_1] + (x-x_0)(x-x_1) f[x_0, x_1, x_2] + \dots \\ + \dots + (x-x_0)(x-x_1) \dots (x-x_n) f[x_0, x_1, \dots, x_n] \quad (D.1.12)$$